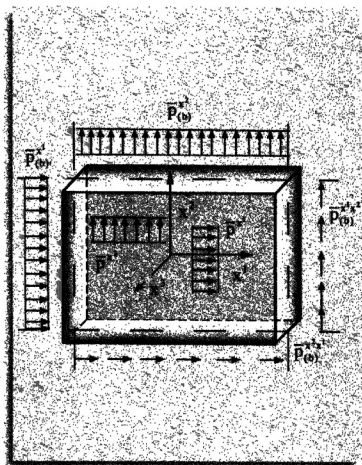


# طرق الطاقة

## في ميكانيك الإنشاءات الخطي

### طرق العناصر المنتهية

#### «الستاتيك»



د. م. سليمان أبو دياب





طرق الطاقة في ميكانيك الإنشاءات الخطي  
طرق العناصر المنتهية «الستاتيك»

- دار الحصاد للنشر والتوزيع: سوريا - دمشق  
برامكة - بجانب وكالة سانا - طابق أول  
هاتف و فاكس: 2126326 ص. ب : 4490
- دار الكلمة للنشر والتوزيع  
دمشق - برامكة جانب سانا: ص.ب: 2229
- الطبعة الأولى ١٩٩٨/١٠٠٠ نسخة
- حقوق النشر محفوظة



الدكتور المهندس سليمان أبو دياب

طرق الطاقة  
في ميكانيك الإنشاءات الخطي

طرق العناصر المنتهية  
«الستاتيك»



إلى

رجل ظلمته الطبيعة وآمل ألا يظلمه التاريخ

إلى

سعد الله ونوس



## مقدمة

ليس الهدف من هذا الكتاب إيجاد كافة الحلول العالقة لمشاكل نظرية المرونة وإنما يهدف قبل كل شيء إلى تمكين القارئ المبتدئ من الإلمام بالعرض العصري لمشاكل هذه النظرية و تزويده بالمعلومات الضرورية و الأسلوب المنهجي لدخول مجالات البحث العلمي و تحضيره و تنمية قدراته العلمية بحيث يستطيع معالجة معظم مشاكل النظرية . لهذا الغرض تم طرح المسائل التي يجب معالجتها ، بدءاً من أساسياتها وبشكلها الرياضي العام ثم اختيرت نماذج مبسطة لتوضيح أسلوب المعالجة . ولتجنب الالتباس والغموض في فهم أسلوب المعالجة درست المسائل حتى في تفاصيلها الرياضية والإنشائية. وعرضت المواضيع الإنشائية بمبكة رياضية معاصرة تعتمد على مبادئ حساب المؤثرات و قواعد حساب المتغيرات .

يتألف الكتاب من سبعة فصول تدرس ميكانيك الإنشاءات في المجال الخطي وتعالج مسائله بطريق العناصر المنتهية . يبدأ الفصل الأول منها بشروحات للمفاهيم الأساسية الإنشائية و الرياضية تتضمن عرضاً للجمل الإحداثية المستخدمة انسجماً مع مبادئ حساب المؤثرات وتعاريفاً لمؤثرة الإجهادات و التشوهات و تحويلاتها بين الجمل الإحداثية المختلفة . و يحتتم الفصل الأول بإيجاز بعض أساسيات قواعد حساب المتغيرات .

يدرس الفصل الثاني معادلات نظرية المرونة الأساسية لحالة جسم فراغي معرض لمؤثرات خارجية وتحدد فيه جوانب المسائل النظرية في إطارها العام .

تشتق مبادئ الطاقة الأساسية وهي مبدأ الطاقة الكامنة الأصغري ومبدأ الطاقة المتنعة الأصغري في الفصل الثالث و تشرح شروط استخدامها، وتستخدم مضارب لاغرانج لتعديل مبادئ الطاقة الأساسية من أجل الحصول على مبادئ الطاقة الموسعة . وهذه المبادئ تشكل إلى جانب قواعد حساب المتغيرات الأساس النظري لمعالجة المنشآت وفق طرق العناصر المنتهية .

و كمثال تعليمي نموذجي تعرض في الفصل الرابع طريقة العناصر المنتهية \_ نموذج الانتقالات لحل الجوائز الشبكية المستوية و الفراغية المعرضة للحمولات و المؤثرات الخارجية كالتأثيرات الحرارية وهبوط المساند و تعالج حالة وجود التوايض فيها .

يعالج الفصل الخامس الإطارات المستوية و الفراغية بطرق العناصر المنتهية و تشرح بإسهاب طريقة العناصر المنتهية \_ نموذج الانتقالات و طريقة العناصر المنتهية \_ النموذج المحين للإجهادات ويقترح نموذج آخر لطريقة العناصر المنتهية يتم فيه إجراء تعديل في أساسيات الطريقة على أساس اعتبار المؤثرات الخارجية على المستوى التفاضلي للعنصر المنتهي . و تقارن نتائج الطرق السابقة مع الحل الدقيق و مع بعضها البعض .

يخصص الفصل السادس لدراسة طرق العناصر المنتهية السابق ذكرها في حل البلاطات الرقيقة المنسوبة سواء إلى جملة إحدائيات ديكارتية أم إلى جملة إحدائيات طبيعية (منحنية) و ذلك لتمكين القارئ من معالجة طولوجيات هندسية معقدة . يبدأ الفصل بشروحات للتعاريف الأساسية للخواص الهندسية التفاضلية للعناصر المنتهية ذات الأشكال الهندسية غير المنتظمة و تشرح المفاهيم الأساسية في مبادئ حساب المؤثرات و قواعد تحويلها . كما تصاغ معادلات نظرية المرونة في الإحدائيات الطبيعية انطلاقاً منها في الإحدائيات الديكارتية و يحتتم الفصل بإجراء تطبيقات طرق العناصر المنتهية في إطار الإحدائيات الطبيعية .

و يخصص الفصل السابع لدراسة الشرائح والمنشآت المثنية المستوية . ويختتم الكتاب بملاحق توضح فيها بعض أنواع التوابع المستخدمة في عمليات التقريب والخطوط الأساسية لكيفية إجراء التكامل العددي و نصوص بلغة الـ C لبرامج مختلفة وملاحظات ختامية حول العلاقة المتبادلة بين طرق العناصر المنتهية المختلفة في ضوء أسلوب معالجة مختلف لطرق العناصر المنتهية.

## فهرس الكتاب

### مقدمة

- 1- مفاهيم أساسية إنشائية و رياضية
  - 1-1- جمل المحاور الإحداثية
  - 1-2- مؤثرة الإجهادات و صيغة كوشي
  - 1-3- تحويل مركبات الإجهادات
  - 1-4- الإجهادات الرئيسية و المستويات الرئيسية
  - 1-5- مؤثرة التشوهات
  - 1-6- تحويل مؤثرة التشوهات
  - 1-7- تحويل التكامل الحجمي إلى تكامل سطحي
  - 1-8- مقدمة في حساب المتغيرات
  - 1-8-1- وصف عام لمساثل حساب المتغيرات
  - 1-8-2- تعريف المتغير
  - 1-8-3- قابلية تبديل تنالي المتغير الأول و المشتق الأول
  - 1-8-4- معادلة أويلر التفاضلية
  - 1-8-5- تعلق التابعي بعدد من التوابع
  - 1-8-6- متغير تابع متعلق بعدة توابع
  - 1-9- المبرهنات الأساسية لحساب المتغيرات
  - 1-9-1- المبرهنة الأولى
  - 1-9-2- المبرهنة الثانية
  - 1-9-3- المبرهنة الثالثة
  - 1-9-4- المبرهنة الرابعة
  - 1-10- حلول المعادلة التكميلية

- 1-11- المصادر العلمية
- 2- معادلات نظرية المرونة
  - 1-2- معادلات التوازن
  - 2-2- علاقات التشوهات- الانتقالات
  - 2-3- قانون للمادة
  - 2-4- شروط التوافق
  - 2-5- المعادلات التفاضلية العامة لنظرية المرونة
  - 2-6- الشروط الطرفية
    - 2-6-1- الشروط الطرفية الهندسية
    - 2-6-2- الشروط الطرفية الميكانيكية
    - 2-7- ملاحظات حول قابلية الحل
- 3- مبادئ الطاقة الأساسية و الموسعة
  - 3-1- مبدأ الطاقة الكامنة الأصغري
    - 3-1-1- العمل الداخلي الكامن لقوى التشوه
    - 3-1-2- عمل القوى الخارجية
    - 3-1-3- اشتقاق مبدأ الطاقة الكامنة
    - 3-1-4- شروط استخدام مبدأ الطاقة الكامنة
  - 3-2- مبدأ الطاقة المتتممة الأصغري
    - 3-2-1- العمل الداخلي المتتم
    - 3-2-2- اشتقاق مبدأ الطاقة المتتممة
    - 3-2-3- شروط استخدام مبدأ الطاقة المتتممة الأصغري
  - 3-3- مبادئ الطاقة الموسعة
    - 3-3-1- مضارب لاغرنج و النهايات الحدية لتتابع بعدة متحولات مستقلة
    - 3-3-2- مبدأ الطاقة المتتممة المعدل



#### 4- معالجة الجوائز الشبكية بطريقة العناصر المنتهية - نموذج الانتقالات

4-1- معادلات نظرية المرونة لقضيب من جوائز شبكي

4-2- مبدأ الطاقة الكامنة الأصغري

4-3- خوارزميات طريقة العناصر المنتهية-نموذج الانتقالات

4-4- عنصر منتهي لجوائز شبكي مستوي

4-4-1- مصفوفة القساوة في المحاور الإحداثية العامة

4-4-2- شعاع الحمولات الخارجية المكافئة في المحاور الإحداثية العامة

4-4-3- حالة التأثيرات الحرارية

4-4-4- حالة هبوط المساند

4-4-5- معالجة النوايض

4-5- عنصر منتهي لجوائز شبكي فراغي

#### 5- معالجة الإطارات المستوية و الفراغية بطريقة العناصر المنتهية

5-1- تخفيض عدد مجاهيل نظرية المرونة

5-2- معادلات نظرية المرونة

5-2-1- معادلات التوازن

5-2-2- علاقات التشوهات-الانتقالات

5-2-3- قانون السلوك

5-2-4- علاقات قوى المقطع - الانتقالات

5-3- مبدأ الطاقة الكامنة الأصغري

5-4- عنصر منتهي إطاري فراغي-نموذج الانتقالات

5-5- عنصر منتهي إطاري فراغي-النموذج المهجين

5-5-1- الطاقة المتممة المعدلة لوسط مقسم إلى عناصر منتهية

5-5-2- خوارزميات الطريقة المهجينة

- 5-6- اقتراحات لمعالجة طرق العناصر المنتهية
- 5-6-1- عموميات ربط التوابع التقريبية بمحمولات العنصر و درجات الحرية
- 5-6-2- عنصر إطارى فراغى بتوابع تقريبية متعلقة بمحمولات العنصر .
- 5-7- الإطارات المستوية
- 5-7-1- نموذج الانتقالات
- 5-7-2- النموذج المحين للإجهادات
- 5-7-3- التطبيق المقترح لنموذج الانتقالات مع اعتبار الحمولة .
- 5-8- المصادر العلمية
- 6- عناصر منتهية لحل البلاطات الرقيقة
- 6-1- استخدام التوابع التقريبية في التحويل بين الإحداثيات الطبيعية ( المنحنية ) و الديكارية
- 6-1-1- الإحداثيات الطبيعية و اختيار التوابع التقريبية
- 6-1-2- شعاع المكان لنقطة ما لا على التعيين
- 6-1-3- أشعة القاعدة الأساسية
- 6-1-4- المعاملات المترية الأساسية
- 6-1-5- العنصر المساحي
- 6-1-6- المعاملات المترية الضدية
- 6-1-7- أشعة القاعدة الضدية
- 6-1-8- تحويل الانتقالات بين الإحداثيات الديكارية و الطبيعية
- 6-1-9- المشتق الأساسي
- 6-1-9-1- المشتق الأساسي لقيمة سلمية
- 6-1-9-2- المشتق الأساسي لمركبات شعاع
- 6-1-10- تعريف الجداء الموترى و الموتر
- 6-1-10-1- تعريف الجداء الموترى
- 6-1-10-2- تعريف الموتر

- 6-2- نظرية المرونة في الإحداثيات الديكارتية
- 6-2-1- مجاهيل نظرية المرونة
- 6-2-2- معادلات نظرية المرونة في الإحداثيات الديكارتية
- 6-2-2-1- معادلات التوازن
- 6-2-2-2- معادلات التشوهات - الانتقالات
- 6-2-2-3- قانون السلوك
- 6-2-2-4- علاقات قوى المقطع - الانتقالات
- 6-2-3- المعادلات التفاضلية للمسألة
- 6-2-4- الشروط الطرفية
- 6-2-5- حساب الإجهادات المتبقية
- 6-2-6- مبدأ الطاقة الكامنة الأصغري
- 6-3- نظرية المرونة في الإحداثيات الطبيعية
- 6-3-1- مجاهيل نظرية المرونة
- 6-3-2- معادلات نظرية المرونة
- 6-3-2-1- معادلات التوازن
- 6-3-2-2- علاقات التشوهات - الانتقالات
- 6-3-2-3- قانون السلوك
- 6-3-2-4- علاقات قوى المقطع - الانتقالات
- 6-3-3- المعادلة التفاضلية
- 6-3-4- مبدأ الطاقة الكامنة الأصغري
- 6-4- عنصر منتهي مستطيل من نموذج الانتقالات
- 6-5- عنصر منتهي مستطيل من النموذج المجهين للإجهادات
- 6-6- عنصر منتهي - نموذج الانتقالات بتوابع تقريبية متعلقة بالحمولات في الإحداثيات الطبيعية

## 7-الشرائح الرقيقة

7-1- معادلات نظرية المرونة في الإحداثيات الديكارتية

7-1-1- مجاهيل نظرية المرونة

7-1-2- معادلات نظرية المرونة

7-1-2-1- معادلات التوازن

7-1-2-2- علاقات التشوهات \_ الانتقالات

7-1-2-3- قانون السلوك

7-1-2-4- علاقات قوى المقطع \_ الانتقالات

7-1-3- المعادلة التفاضلية

7-1-4- الشروط الطرفية

7-1-4-1- الشروط الطرفية الهندسية

7-1-4-2- الشروط الطرفية الميكانيكية

7-1-5- توابع الإجهادات ( AIRY )

7-2- عنصر شريحة منتهي مستطيل من النموذج الهجين للإجهادات

7-3- عنصر منتهي مستطيل هجين لحل مسائل المنشآت المثنية المستوية

ملاحق الكتاب وملاحظات ختامية والمصطلحات العلمية

## 1- مفاهيم أساسية إنشائية و رياضية

### 1-1- جمل المخاور الإحداثية

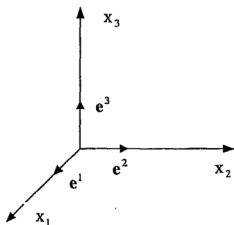
قبل البدء بكتابة معادلات نظرية المرونة لابد من تعريف الجاهيل التي نود البحث عنها في نطاق هذه النظرية و لابد أيضا من طرح و توضيح المعطيات المتوافرة لدينا أثناء بحثنا لهذه النظرية . و قبل البدء بالتحدث عن هذه الجاهيل أو هذه المعطيات يجب نسبها إلى جملة إحداثية ما وربما عدة جمل إحداثية. نماشيا مع التطور العلمي الحديث نجد أنه من المفيد اعتماد الأساليب الحديثة في صياغة معادلات نظرية المرونة . هذه الصياغة تعتمد في أساليبها على قواعد جديدة نسبيا يطلق عليها اسم قواعد حساب الموترات، لذلك نرى أنه من الأنسب بدء هذا الفصل بشروحات أساسية في علم قواعد حساب الموترات . لنحاول الآن التحرر من مفهوم الجمل الإحداثية الديكارتية الثابتة، و التي يرمز لتحولاتها المستقلة عادة  $(x,y,z)$  . ولنغير في البداية رموز هذه المتحولات بحيث تصبح  $(x^1, x^2, x^3)$ ، حيث تكتب القرائن 1,2,3 على أعلى المتحولات ( قرائن مرتفعة ) و لنفرض أن شعاع الواحدة على المحور  $x^1$  هو  $e_1$  و على  $x^2$  هو  $e_2$  و على  $x^3$  هو  $e_3$  و قرائن الأشعة الواحدة تكتب في الأسفل ( قرائن منخفضة ) . باعتبار أننا نكتب الآن معادلات نظرية المرونة في جملة الإحداثيات الديكارتية سنفرض أن الجملة  $(x^1, x^2, x^3)$  هي جملة متعامدة نظامية و أشعتها الواحدة  $(e_1, e_2, e_3)$  و سنسمي هذه الجملة جملة القاعدة الأساسية (شكل 1-1) . في الحالة العامة يمكن أن تكون هذه الجملة جملة إحداثيات منحنية (جمل الإحداثيات الأسطوانية، جمل الإحداثيات الكروية، ....) عندها يرمز لأشعتها الأساسية  $(g_1, g_2, g_3)$  و تكون طويلة أشعتها الأساسية غير مساوية للواحد . رغم أن اشتقاق معادلات نظرية المرونة يتم في جملة إحداثية ديكارتية إلا أننا سنتبع الأسلوب الحديث في صياغة هذا الاشتقاق بحيث إذا ما انتقل المرء إلى اشتقاق هذه المعادلات في جملة إحداثية منحنية فإنه، لن يجد أسلوب الصياغة غير مألوف . لنرى الآن ما الفائدة من تغيير رموز الجملة الديكارتية و أشعتها الأساسية .

ليكن لدينا جسم ما أو وسط منسوب إلى جملة القاعدة الأساسية، شعاع المكان لنقطة ما لا على التعيين إحداثياتها  $(x^1, x^2, x^3)$  من هذا الجسم يعبر عنه بالشكل :

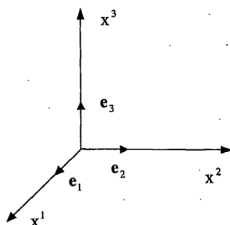
$$\mathbf{r} = x^1 \mathbf{e}_1 + x^2 \mathbf{e}_2 + x^3 \mathbf{e}_3 = \sum_{i=1}^3 x^i \mathbf{e}_i \quad (1.1)$$

الأحرف الغامقة  $\mathbf{e}$  استخدمت للدلالة على أن هذا المقدار شعاعي يدل استخدام الرمز القسّم المعروف  $\vec{e}$ ، وهذا الاصطلاح سنتبعه في سياق هذا الكتاب. نستخدم الآن اصطلاح اينشتاين (Einstein) لاختصار شكل كتابة مجموع المضاريب في العلاقة (1.1) والذي يقول أنه إذا وردت قرينة ما مرتين في جداء مضاريب، مرة في الأسفل ومرة في الأعلى يفهم ضمناً أن الجمع يتم على هذه القرينة ويستغنى عن كتابة رمز المجموع  $\sum$ . بناءً على هذا الاصطلاح تكتب العلاقة (1.1) بالشكل :

$$\mathbf{r} = x^i \mathbf{e}_i, \quad i = 1, 2, 3 \quad (1.2)$$



شكل 2-1 جملة القاعدة الضدية



شكل 1-1 جملة القاعدة الأساسية

لنعرف الآن جملة إحداثيات أخرى متحولاتها المستقلة  $(x_1, x_2, x_3)$  تكتب قرائنها في الأسفل (قرائن منخفضة) وأشعتها الأساسية  $(e^1, e^2, e^3)$  تكتب قرائنها في الأعلى (قرائن مرتفعة). في الحالة العامة تكون جملة الإحداثيات هذه أيضاً منحنية عندها يرمز لأشعة قاعدتها  $(g^1, g^2, g^3)$

و تكون طويلة هذه الأشعة غير مساوية للواحد. لنسمي الجملة الجديدة جملة القاعدة الضدية (شكل 1-2) . و نفرض أن العلاقات بين أشعة القاعدة الأساسية و أشعة القاعدة الضدية هي :

$$\begin{aligned} e_1.e^1 &= 1 ; e_1.e^2 = 0 ; e_1.e^3 = 0 \\ e_2.e^1 &= 0 ; e_2.e^2 = 1 ; e_2.e^3 = 0 \\ e_3.e^1 &= 0 ; e_3.e^2 = 0 ; e_3.e^3 = 1 \end{aligned} \quad (1.3)$$

و باستخدام الكتابة بالقرائن نتلخص هذه المعادلات بالمعادلة الوحيدة التالية :

$$e_i.e^j = \delta_i^j \quad ; \quad i, j = 1, 2, 3 \quad (1.4)$$

حيث  $\delta_i^j$  هو ما يعرف بموتره كرونكر، و تعرف كما يلي :

$$\delta_i^j = 1 \quad \text{if} \quad i = j \quad (1.5)$$

$$\delta_i^j = 0 \quad \text{if} \quad i \neq j$$

هذه العلاقات تنطبق أيضاً على جمل الأشعة (  $g_1, g_2, g_3$  ) ، (  $g^1, g^2, g^3$  ) في الإحداثيات المنحنية . تستخدم موتره كرونكر لاستبدال قرينة بأخرى كما سنرى لاحقاً . الجداءات السلمية لأشعة القاعدة الأساسية ببعضها البعض تسمى "المعاملات المترية الأساسية" و يرمز لها في حالة الإحداثيات المنحنية  $g_{ij}$  و سيرمز لها في حالة الإحداثيات الديكارتية المتعامدة النظامية  $\delta_{ij}$  :

$$e_i . e_j = \delta_{ij} \quad (1.6)$$

و ذلك لأنها مكافئة للمصفوفة الواحدية أو موتره كرونكر . و الجداءات السلمية لأشعة القاعدة الضدية ستسمى "المعاملات المترية الضدية" و هي في حالة الإحداثيات الديكارتية المتعامدة النظامية مساوية لموتره كرونكر  $\delta^{ij}$

$$e^i . e^j = \delta^{ij} \quad (1.7)$$

يمكن التعبير عن جملة أشعة القاعدة الأساسية بدلالة أشعة القاعدة الضدية و بالعكس . و تبين الطريقة التالية إمكانية هذا الانتقال بين الجملتين حيث سنوردها هنا فقط لحالة الجمل الإحداثية الديكارتية النظامية و يمكن استنتاجها لحالة الجمل المنحنية بالقياس . يمكن كتابة أشعة القاعدة الضدية بدلالة أشعة القاعدة الأساسية بالشكل :

$$e^1 = A^{11}e_1 + A^{12}e_2 + A^{13}e_3$$

$$\mathbf{e}^2 = A^{21}\mathbf{e}_1 + A^{22}\mathbf{e}_2 + A^{23}\mathbf{e}_3 \quad (1.8)$$

$$\mathbf{e}^3 = A^{31}\mathbf{e}_1 + A^{32}\mathbf{e}_2 + A^{33}\mathbf{e}_3$$

أو باختصار :

$$\mathbf{e}^i = A^{ij}\mathbf{e}_j \quad (1.9)$$

حيث  $A^{ij}$  معاملات يجب تعيينها .

نضرب العلاقة السابقة بأشعة القاعدة الضدية  $\mathbf{e}^K$  فنحصل على:

$$\mathbf{e}^i \cdot \mathbf{e}^K = A^{ij}\mathbf{e}_j \cdot \mathbf{e}^K \quad (1.10)$$

و بملاحظة العلاقتين (1.7) و (1.4) ينتج :

$$\delta^{ik} = A^{ij}\delta_j^k \quad (1.11)$$

الطرف اليميني في العلاقة (1.11) هو جداء مضارب ، يتم الجمع فيه على القرينة  $j$  أما القرينتان  $k$  و  $i$  فهما قرينتان مستقلتان و لا يتم عليهما الجمع . و هذا الجداء يكون له قيمة في حالة  $j$  مساوية  $k$  ( انظر تعريف موثرة كرونيكر ) و مساوٍ للصفر في حالة إختلاف  $j$  عن  $k$  ، إذاً يمكن الإستغناء عن القرينة  $j$  و استبدالها تماماً بالقرينة  $k$  أي أن :

$$A^{ij}\delta_j^k = A^{ik} \quad (1.12)$$

و هذه العلاقة هي خاصية أساسية لموثرّة كرونيكر حيث يتم بواسطتها استبدال قرينة بـ أخرى . و بالرجوع إلى العلاقة (1.11) نرى أن :

$$\delta^{ik} = A^{ik} \quad (1.13)$$

أي أن الانتقال من جملة أشعة القاعدة الأساسية إلى جملة أشعة القاعدة الضدية يتم بواسطة المعاملات المترية الضدية و التي تكون في حالة المحاور الإحداثية الديكارتية النظامية مساوية للمصفوفة الواحدية  $\delta^{ij}$  و تكون في حالة جملة المحاور الإحداثية للمنحنى مختلفة عنها ( $g^{ij} \neq \delta^{ij}$ )

$$\mathbf{e}^i = \delta^{ij}\mathbf{e}_j \quad (1.14)$$

و بشكل مماثل نرى أن :

$$\mathbf{e}_i = \delta_{ij}\mathbf{e}^j \quad (1.15)$$



و بالتدقيق في العلاقتين (1.14) و (1.15) يمكن الاستنتاج أنه تم رفع و خفض القرائن ( أو التحويل بين جمل الأشعة المختلفة ) بواسطة المعاملات المترية الأساسية والمعاملات المترية الضدية . حيث تم في العلاقة (1.14) رفع القرينة ز عن طريق الضرب بالمعاملات الضدية ، و في العلاقة (1.15) تم خفض القرينة ز عن طريق الضرب بالمعاملات المترية الأساسية . و هذه القواعد محققة أيضاً لأشعة أخرى منسوبة إلى إحدى الجملتين كشعاع الانتقالات لجسم ما مثلاً .

$$u = u_i e^i = u^i e_i \quad (1.16)$$

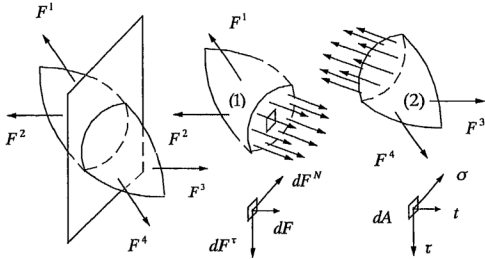
حيث  $u_i$  المركبات الأساسية،  $u^i$  المركبات القاعدية الضدية و بتطبيق هذه القواعد نجد أن :

$$u_i = \delta_{ij} u^j \quad (1.17)$$

$$u^i = \delta^{ij} u_j \quad (1.18)$$

بالطبع هذه المقدمة البسيطة لاتغني عن الرجوع إلى المفاهيم الأساسية لعلم حساب المؤثرات و يجب النظر إليها فقط كعامل مساعد في فهم ما سيتبع من صياغة لمعادلات نظرية المرونة و سيتم التعرض بتفصيل أكبر لمبادئ حساب المؤثرات في الجمل المنحنية في الفصل السادس من هذا الكتاب .

## 1-2- مؤثرة الإجهادات وصيغة كوشي



شكل 1-3 : القوى الداخلية و الإجهادات الداخلية .

بنتيجة الحملات الخارجية على الأوساط الإنشائية أو الأجسام تتولد فيها قوى داخلية تحافظ على تماسكها. لتتصور مقطعاً في جسم ما متوازن تحت تأثير مجموعة قوى خارجية . فكل جزء من أجزائه يجب أن يكون متوازناً تحت تأثير القوى الخارجية المؤثرة عليه و القوى الداخلية التي تظهر بنتيجة القطع ، و بالإضافة إلى ذلك يجب أن تكون القوى الداخلية على طرفي المقطع متساوية و متعاكسة وفق ما يقتضيه قانون نيوتن الثالث للفعل ورد الفعل شكل 1-3 .

بفرض أن  $dF$  محصلة القوى المؤثرة على عنصر تفاضلي  $dA$  من سطح المقطع، تسمى القوة المؤثرة على وحدة السطح بالإجهاد:

$$t = \frac{dF}{dA} \quad (1.19)$$

و القوة  $dF$  المؤثرة على وحدة السطح يمكن دوماً تحليلها إلى قوة عمودية على السطح  $dF^n$  و قوة مماسية لهذا السطح  $dF^t$  . تسمى القوة الناعمة على وحدة السطح بالإجهاد الناعمي و يرمز له عادة كما يلي:

$$\sigma = \frac{dF^n}{dA} \quad (1.20)$$

و تسمى القوة المماسية على وحدة السطح بالإجهاد المماسي و يرمز له بالشكل:

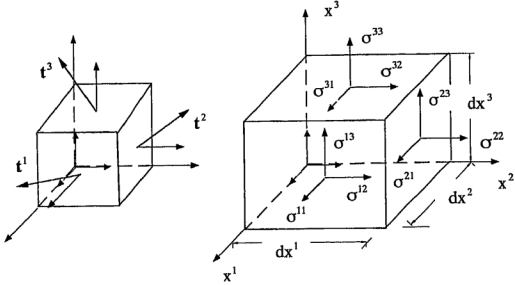
$$\tau = \frac{dF^t}{dA} \quad (1.21)$$

و يتم عادة تحليل الأخيرة إلى مركبتين متعامدتين مع بعضهما البعض .

و لتحديد حالة الإجهادات في نقطة ما من الجسم نستعين بمجمل عاود إحداثية ديكراتية قائمة و لكن جملة القاعدة الأساسية  $(x^1, x^2, x^3)$  بأشعتها الواحدة  $(e_1, e_2, e_3)$  .

في مقطع ناظمه المحور  $x^1$  و على بعد  $x^1 = \text{const}$  يكون للإجهادات ثلاث مركبات كما أسلفنا و هي الإجهاد الناعمي  $\sigma^{11}$  و الإجهاد المماسي  $\tau^{12}$  و الإجهاد المماسي  $\tau^{13}$  . القرينة الأولى للإجهاد تدل على اتجاه الناظم للمساحة المجعدة أو المحور العمودي على مركبة الإجهاد و القرينة الثانية تدل على اتجاه مركبة الإجهاد أو المحور الموازي لهذه المركبة . و سوف تستخدم في سياق هذا الكتاب الرمز  $\sigma$  أيضاً للإجهاد المماسي أي أننا سنكتب بدلاً من  $\tau^{12}$  الرمز  $\sigma^{12}$  و

بدلاً من  $\tau^{13}$  الرمز  $\sigma^{13}$  . و بشكل مماثل نستطيع أيضاً تحديد مركبات الإجهاد في مقطع ما  $x^2 = \text{const}$  و في مقطع  $x^3 = \text{const}$  (شكل 1-4) .



شكل 1-4 : مركبات الإجهادات على عنصر  
شكل 1-5 : تجميع مركبات الإجهادات  
تفاضلي بشكل متوازي مستطيلات مقطوع على وجوه متوازي المستطيلات  
من الوسط يمكن ترتيب مركبات الإجهاد التسعة بالشكل التالي :

$$\sigma^{ij} \equiv \begin{pmatrix} \sigma^{11} & \sigma^{12} & \sigma^{13} \\ \sigma^{21} & \sigma^{22} & \sigma^{23} \\ \sigma^{31} & \sigma^{32} & \sigma^{33} \end{pmatrix}; \quad i, j = 1, 2, 3 \quad (1.22)$$

و نظراً لخواص التحويل التي تمتلكها مركبات الإجهاد المرتبة هذه نطلق على مثل هذا التركيب مؤثرة الإجهادات (ستعرف على المؤثرات و خواصها في الفصول اللاحقة) . بافتراض أن أبعاد متوازي المستطيلات المقطوع تفاضلية و أن  $t^1, t^2, t^3$  هي أشعة محصلة الإجهادات على الأوجه التي نواظمها المحاور  $x^1, x^2, x^3$  على التوالي (شكل 1-5) يكون :

$$t^1 dx^2 dx^3 = \sigma^{11} e_1 dx^2 dx^3 + \sigma^{12} e_2 dx^2 dx^3 + \sigma^{13} e_3 dx^2 dx^3$$

$$\begin{aligned}
t^2 dx^1 dx^3 &= \sigma^{21} e_1 dx^1 dx^3 + \sigma^{22} e_2 dx^1 dx^3 + \sigma^{23} e_3 dx^1 dx^3 \\
t^3 dx^1 dx^2 &= \sigma^{31} e_1 dx^1 dx^2 + \sigma^{32} e_2 dx^1 dx^2 + \sigma^{33} e_3 dx^1 dx^2
\end{aligned}
\quad (1.23)$$

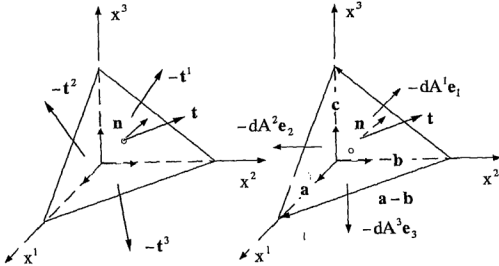
و بعد الاختصار يكون :

$$\begin{aligned}
t^1 &= \sigma^{11} e_1 + \sigma^{12} e_2 + \sigma^{13} e_3 \\
t^2 &= \sigma^{21} e_1 + \sigma^{22} e_2 + \sigma^{23} e_3 \\
t^3 &= \sigma^{31} e_1 + \sigma^{32} e_2 + \sigma^{33} e_3
\end{aligned}
\quad (1.24)$$

و باستخدام اصطلاح اينشتاين يصبح التعبير المختصر للعلاقة السابقة:

$$t^i = \sigma^{ij} e_j \quad (1.25)$$

و قبل حساب محصلة الإجهادات الكلية  $t$  المؤثرة في مقطع ما نأخذ (الشعاع  $n$ ) (شكل 7-1) ستعرف على المساحات الموجهة و نحسب مساقط شعاع الناطم للمقطع المطلوب حساب محصلة الإجهادات الكلية فيه بدلالة هذه المساحات .



شكل 7 : هرم مقطع من الجسم  
محصلة الإجهاد الكلية  $t$

شكل 6 : هرم مقطع من الجسم  
المساحات الموجهة ، أشعة النواظم

تمثل المساحات الموجهة المحاطة بمنحني مغلق بشعاع عمودي على المساحة المعتبرة و اتجاهه يحدد وفق قاعدة اليد اليمنى . فإذا ما دارت أصابع اليد اليمنى على المنحني بعكس اتجاه عقارب الساعة اتخذ ناظم المساحة هذه اتجاه إمام اليد اليمنى و طوليلة هذا الشعاع مساوية لقيمة المساحة. لتكن  $da^1, da^2, da^3$  قيم المساحات التي نواظمها المحاور  $x^1, x^2, x^3$  على التوالي أو الأشعة  $(e_1, e_2, e_3)$ . هذه المساحات يمكن التعبير عنها بالأشعة التالية :

$$\begin{aligned} da^1 e_1 &= \frac{1}{2} (b \wedge c) \\ da^2 e_2 &= \frac{1}{2} (c \wedge a) \\ da^3 e_3 &= \frac{1}{2} (a \wedge b) \end{aligned} \quad (1.26)$$

و مساحة المقطع الذي نواظمه الشعاع  $n$  يعبر عنه بالعلاقة :

$$da \cdot n = \frac{1}{2} (c - b) \wedge (a - b) = \frac{1}{2} [(c \wedge a) - (c \wedge b) - (b \wedge a)] \quad (1.27)$$

حيث  $da$  قيمة مساحة المقطع، وذلك بعد الأخذ بعين الاعتبار أن الجداء الخارجي لشعاعين متوازيين معدوم (وبالتالي الجداء الخارجي للشعاع في نفسه) بالمقارنة بين (1.26) و (1.27) بعد ملاحظة أن  $(b \wedge c) = - (c \wedge b)$  نجد أن :

$$da n = da^1 e_1 + da^2 e_2 + da^3 e_3 = da^i e_i \quad (1.28)$$

بضرب هذه العلاقة بالأشعة الواحدية  $e_j$  سوف نجد بعد ملاحظة العلاقة (1.17) أن :

$$da(n e^j) = da^i e_i e^j = da^i \delta_i^j = da^j \quad (1.29)$$

إذا ما عبرنا عن الآن عن شعاع الناظم بدلالة مركباته  $n^1, n^2, n^3$  على المحاور الإحداثية  $x^1, x^2, x^3$  على التوالي بالشكل :

$$n = n^1 e_1 + n^2 e_2 + n^3 e_3 = n^i e_i \quad (1.30)$$

نحصل بتعميض هذه العلاقة في العلاقة (1.28) . على :

$$da(n^i e_i e^j) = da(n^i \delta_i^j) = da n^j = da^j \quad (1.31)$$

و بالتالي يمكن حساب مركبات شعاع الناظم بدلالة قيم مساحات وجوه الهرم بالشكل :

$$n^j = \frac{dA^j}{dA} \quad (1.32)$$

لنعد الآن إلى حساب محصلة الإجهادات الكلية المؤثرة على المقطع الذي ناظمه الشعاع  $n$ . إن توازن الهرم المقطوع تحت تأثير القوى المطبقة عليه (شكل 7) يقتضي أن يكون :

$$t dA = t^1 dA_1 + t^2 dA_2 + t^3 dA_3 \quad (1.33)$$

و ذلك بعد إهمال القوى الحجمية ( وزن الهرم ) الموزعة في حجم الهرم المقطوع . بقسمة طرفي العلاقة السابقة على  $dA$  بعد استخدام العلاقة (1.29) نحصل على :

$$\begin{aligned} t &= t^1 (n \cdot e_1) + t^2 (n \cdot e_2) + t^3 (n \cdot e_3) \\ &= n (t^1 e_1 + t^2 e_2 + t^3 e_3) = n t^i e_i \end{aligned} \quad (1.34)$$

تسمّى القيمة السلميّة :

$$\sigma = t^1 e_1 + t^2 e_2 + t^3 e_3 = t^i e_i \quad (1.35)$$

المكائىء المزدوج للإجهادات ( stress dyadic ) و يمكن كتابتها بدلالة مؤثّرة الإجهادات  $\sigma^{ij}$  بتعويض العلاقة (1.25) في العلاقة (1.34) بالشكل :

$$\sigma = \sigma^{ij} e_i e_j \quad (1.36)$$

يتصف المكائىء المزدوج للإجهادات بالثبات عند نسب الإجهادات إلى جمل محاور إحداثيّة مختلفة . و بالعودة إلى العلاقة (1.34) سوف نجد أن محصلة الإجهاد الكلية المؤثرة على المقطع السّذي ناظمه  $n$  مساوية للتالي :

$$t = \sigma \cdot n \quad (1.37)$$

و لكتابة هذه العلاقة تفصيلياً نعوض العلاقتين (1.30) و (1.36) في العلاقة (1.37) فنحصل على صيغة كوشي للإجهادات :

$$t = \sigma^{ij} e_i e_j n^k e_k = \sigma^{ij} e_i n^k \delta_{jk} = \sigma^{ij} n_j e_i \quad (1.38)$$

$n_j$  هي مركبات شعاع الناظم المنسوبة إلى الجملة القاعدية الضديّة . و للحصول على مركبات  $t$  و التي سيرمز لها  $t^1(N), t^2(N), t^3(N)$  نتمييزها عن مركبات الإجهادات المحصلة على أوجه

متوازي المستطيلات ، يكفي أن نكتب الطرف الأول من العلاقة (1.38) بدلالة هذه المركبت و نقارن الطرف الأول مع الطرف الثاني لنجد أن :

$$t_{(N)}^i = \sigma^{ij} n_j \quad (1.39)$$

و الشكل التفصيلي لهذه العلاقة هو :

$$(t_{(N)}^1, t_{(N)}^2, t_{(N)}^3) = (n_1, n_2, n_3) \begin{pmatrix} \sigma^{11} & \sigma^{12} & \sigma^{13} \\ \sigma^{21} & \sigma^{22} & \sigma^{23} \\ \sigma^{31} & \sigma^{32} & \sigma^{33} \end{pmatrix} \quad (1.40)$$

وتعطي المركبتين الناعمة و المماسية لمحصلة الإجهادات الكلية هذه بالعلاقين التاليين على التوالي :

$$t_n = t \cdot n = \sigma^{ij} n_j n_i \quad (1.41)$$

$$t_s = \sqrt{|t|^2 - (t_n)^2} \quad (1.42)$$

### 1-3 تحويل مركبات الإجهادات :

للتعبير عن مركبات الإجهادات  $\sigma^{ij}$  المنسوبة إلى جملة المحاور الإحداثية الديكارتية  $(x^1, x^2, x^3)$  بأشعتها الأساسية  $(e_1, e_2, e_3)$  بدلالة مركبات الإجهادات  $\sigma^{\bar{k}\bar{l}}$  المنسوبة إلى جملة المحاور الإحداثية  $(x^{\bar{1}}, x^{\bar{2}}, x^{\bar{3}})$  بأشعتها الأساسية  $(e_{\bar{1}}, e_{\bar{2}}, e_{\bar{3}})$  والتي تربط بين أشعتهما الأساسية علاقة التحويل :

$$e_{\bar{k}} = a_{\bar{k}}^i e_i \quad (1.43)$$

حيث  $a_{\bar{k}}^i$  معاملات التحويل بين الجملتين . نعر عن المكافئ المزدوج للإجهادات  $\sigma$  في الجملتين كما يلي :

$$\begin{aligned} \sigma &= \sigma^{ij} e_i e_j = \sigma^{\bar{k}\bar{l}} e_{\bar{k}} e_{\bar{l}} \\ &= \sigma^{\bar{k}\bar{l}} a_{\bar{k}}^i a_{\bar{l}}^j e_i e_j \end{aligned} \quad (1.44)$$

و بعد نقل الطرف الثاني إلى الطرف الأول و إخراج الجداء  $e_i e_j$  خارج قوسين نحصل على :

$$(\sigma^{ij} - \sigma^{k\bar{i}} a_{\bar{k}}^{-i} a_i^{-j}) e_i e_j = 0 \quad (1.45)$$

و هذا يؤدي إلى علاقة تحويل الإجهادات التالية :

$$\sigma^{ij} = a_{\bar{k}}^{-i} \sigma^{k\bar{i}} a_i^{-j} \quad (1.46)$$

و بشكل مماثل نجد بالنسبة للتحويل العكسي أن :

$$\sigma^{\bar{i}\bar{j}} = a_k^{-i} \sigma^{kj} a_i^{-\bar{j}} \quad (1.47)$$

تربط المعاملات  $a_k^{-i}$  أشعة القاعدة الأساسية للجملتين ببعضهما البعض على شاكلة العلاقة (1.43) بالشكل :

$$e_k = a_k^{-i} e_i \quad \text{أو} \quad e_i = a_i^{-j} e_{\bar{j}} \quad (1.48)$$

لاكتشاف العلاقة التي تربط بين المعاملات  $a_k^{-i}$  و  $a_i^{-j}$  نعوض العلاقة (1.48) في العلاقة (1.43) فنحصل على :

$$e_{\bar{k}} = a_{\bar{k}}^{-i} a_i^{-j} e_j \quad (1.49)$$

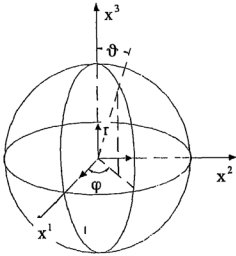
بضرب هذه العلاقة سلمياً بأشعة القاعدة الضدية  $e^{\bar{i}}$  و بعد ملاحظة خواص موتر كرونكسر نجد أن :

$$\delta_{\bar{k}}^{-i} = a_{\bar{k}}^{-i} a_i^{-j} \delta_{\bar{j}}^{-i} = a_{\bar{k}}^{-i} a_i^{-i} \quad (1.50)$$

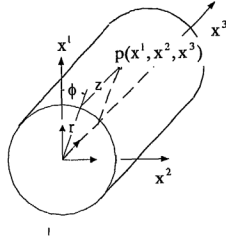
أي أن المعاملات  $a_{\bar{k}}^{-i}$  هي معكوس  $a_i^{-j}$  . و كمثال على هذا التحويل يمكن أن ندرس حالة تحويل موتر الإجهادات من الإحداثيات الديكارتية إلى الإحداثيات الأسطوانية والإحداثيات الكروية . ولهذا الغرض يجب تحديد معاملات التحويل  $a_k^{-i}$  . ففي الإحداثيات الأسطوانية (شكل 8-1) يمكن التعبير عن إحداثيات نقطة ما من القشرة الأسطوانية  $P(x^1, x^2, x^3)$



بالإحداثيات الأسطوانية  $P(x^1 = r, x^2 = \phi, x^3 = Z)$ . والعلاقات التي تربط الإحداثيات الديكارتية بالإحداثيات الأسطوانية يمكن استنتاجها من الشكل مباشرة .



شكل 9 : جملة الإحداثيات الكروية



شكل 8 : جملة الإحداثيات الأسطوانية

$$x^1 = r \cos \phi$$

$$x^2 = r \sin \phi$$

$$x^3 = Z$$

و شعاع المكان للنقطة  $p$  يعبر بالعلاقة :

$$\mathbf{R} = r \cos \phi \mathbf{e}_1 + r \sin \phi \mathbf{e}_2 + Z \mathbf{e}_3$$

فإذا اعتبرنا أن الأشعة القاعدية الأساسية للحزمة الأسطوانية فسوف نرى في الفصول اللاحقة أنه يمكن الحصول عليها باشتقاق العلاقة السابقة جزئياً بالنسبة للإحداثيات الأسطوانية بالشكل :

$$\mathbf{e}_r = \frac{\partial \mathbf{R}}{\partial r} = \cos \phi \mathbf{e}_1 + \sin \phi \mathbf{e}_2$$

$$\mathbf{e}_\phi = \frac{\partial \mathbf{R}}{\partial \phi} = -r \sin \phi \mathbf{e}_1 + r \cos \phi \mathbf{e}_2$$

$$\mathbf{e}_z = \frac{\partial \mathbf{R}}{\partial Z} = \mathbf{e}_3$$

و المصفوفة

$$a_k^i = \begin{pmatrix} \cos & \sin & 0 \\ -r \sin & r \cos & 0 \\ 0 & 0 & 1 \end{pmatrix}$$

تمثل معاملات التحويل المطلوبة . و ما علينا لكي نحول مركبات الإجهادات من الإحداثيات

الديكارتية إلى الإحداثيات الأسطوانية سوى إنجاز الجداء المثلث بالعلاقة (1.47).

أما بالنسبة للإحداثيات الكروية فنقطة ما من سطح الكرة (شكل 1-9) يمكن التعبير عنها في

الإحداثيات الكروية  $(\bar{x}^1 = r; \bar{x}^2 = \phi; \bar{x}^3 = \vartheta)$  بدلا من الإحداثيات الديكارتية . و

العلاقات التي تربط الإحداثيات الديكارتية والإحداثيات الكروية هي :

$$x^1 = r \sin \vartheta \cos \phi$$

$$x^2 = r \sin \vartheta \sin \phi$$

$$x^3 = r \cos \vartheta$$

و شعاع المكان للنقطة p هو

$$\mathbf{R} = r \sin \vartheta \cos \phi \mathbf{e}_1 + r \sin \vartheta \sin \phi \mathbf{e}_2 + r \cos \vartheta \mathbf{e}_3$$

و باعتبار أن  $\mathbf{e}_r, \mathbf{e}_\phi, \mathbf{e}_\vartheta$  أشعة القاعدة الأساسية للجملة الكروية نجد أن :

$$\mathbf{e}_r = \frac{\partial \mathbf{R}}{\partial r} = \sin \vartheta \cos \phi \mathbf{e}_1 + \sin \vartheta \sin \phi \mathbf{e}_2 + \cos \vartheta \mathbf{e}_3$$

$$\mathbf{e}_\phi = \frac{\partial \mathbf{R}}{\partial \phi} = -r \sin \vartheta \sin \phi \mathbf{e}_1 + r \sin \vartheta \cos \phi \mathbf{e}_2$$

$$\mathbf{e}_\vartheta = \frac{\partial \mathbf{R}}{\partial \vartheta} = r \cos \vartheta \cos \phi \mathbf{e}_1 + r \cos \vartheta \sin \phi \mathbf{e}_2 - r \sin \vartheta \mathbf{e}_3$$

و معاملات التحويل المطلوبة ممثلة بالمصفوفة التالية :

$$a_k^{-1} = \begin{pmatrix} \sin\vartheta\cos\varphi & \sin\vartheta\sin\varphi & \cos\vartheta \\ -r\sin\vartheta\sin\varphi & r\sin\vartheta\cos\varphi & 0 \\ r\cos\vartheta\cos\varphi & r\cos\vartheta\sin\varphi & -r\sin\vartheta \end{pmatrix}$$

#### 1-4-الإجهادات الرئيسية والمستويات الرئيسية

في كثير من الأحيان يهمنا البحث عن القيم الحدية (الأعظمية و الأصغرية) للإجهادات الناعمة و الإجهادات المماسية الوارد حسابها في العلاقات (1.41) و (1.42) و ذلك لأهميتها التصميمية . و باعتبار أن المحصلة الكلية للإجهادات الواردة في تلك العلاقات هي المحصلة الهندسية للإجهادات الناعمة  $t_n$  و الإجهادات المماسية  $t_s$  في المقطع الذي ناعمه الشعاع  $n$  ، بالتالي تكون قيم الإجهادات الناعمة أعظم ما يمكن في المقاطع التي تكون فيها قيم الإجهادات المماسية معدومة . تسمى الإجهادات الأعظمية هذه بالإجهادات الرئيسية و المستويات التي تقع فيها بالمستويات الرئيسية فإذا فرضنا أن المقطع المتخذ (الشكل 1-7) و الذي ناعمه  $n$  مستويا رئيسيا فيجب أن يكون هذا المستوي خاليا من الإجهادات المماسية و عليه يجب أن تتطابق محصلة الإجهادات الكلية  $t$  مع اتجاه الناعمة  $n$  و يمكن التعبير عن  $t$  بدلالة  $n$  بعلاقة الارتباط الخطية :

$$t = \lambda n \quad (1.51)$$

حيث  $\lambda$  طولية الشعاع  $t$  . بنقل الطرف الثاني من العلاقة السابقة إلى الطرف الأول و تعويض العلاقات (1.30) و (1.51) فيها نحصل على

$$\sigma^i n_i e_i - \lambda n^i e_i = 0 \quad (1.52)$$

وبعد ضرب هذه العلاقة سلميا بالأشعة  $e^k$  نحصل بعد ملاحظة أن :

$$n = n^i e_i = n_i e^i; \quad n^i \delta_i^k = n_i \delta^{ik} \quad (1.53)$$

$$n^k = n_i \delta^{ik}; \quad n^k = n_j \delta^{jk}$$

على :

$$(\sigma^{kj} - \lambda \delta^{kj}) n_j = 0 \quad (1.54)$$

تملك جملة المعادلات المتجانسة هذه حلا مغايرا للصفر فقط و فقط إذا كان معين مصفوفة أمثالها مكافئا للصفر .

$$\det(\sigma^{Kj} - \lambda \delta^{Kj}) = \begin{vmatrix} \sigma^{11} - \lambda & \sigma^{12} & \sigma^{13} \\ \sigma^{21} & \sigma^{22} - \lambda & \sigma^{23} \\ \sigma^{31} & \sigma^{32} & \sigma^{33} - \lambda \end{vmatrix} = 0 \quad (1.55)$$

بعد فك المعين نحصل على المعادلة المميزة:

$$-\lambda^3 + I_1 \lambda^2 - I_2 \lambda - I_3 = 0 \quad (1.56)$$

حيث :

$$\begin{aligned} I_1 &= \sigma^{11} + \sigma^{22} \sigma^{33} \equiv \sigma^{jj} \\ I_2 &= \sigma^{11} \sigma^{22} + \sigma^{22} \sigma^{33} + \sigma^{33} \sigma^{11} - ((\sigma^{12})^2 + (\sigma^{13})^2 + (\sigma^{23})^2) \\ &\equiv \frac{1}{2} (\sigma^{jj} \sigma^{jj} - \sigma^{jj} \sigma^{jj}) \end{aligned} \quad (1.57)$$

$$I_3 = \det[\sigma] = |\sigma^{jj}| = \begin{vmatrix} \sigma^{11} & \sigma^{12} & \sigma^{13} \\ \sigma^{21} & \sigma^{22} & \sigma^{23} \\ \sigma^{31} & \sigma^{32} & \sigma^{33} \end{vmatrix}.$$

تتصف المقادير  $I_1, I_2, I_3$  بثبات قيمها عند التحويل من جملة إحداثيات إلى أخرى . بفضل تناظر موتر الإجهادات  $\sigma^{ij}$  يمكن البرهان أن للمعادلة المميزة دوما جذورا حقيقية . و الجذور الثلاثة للمعادلة التكميلية هذه تمثل الإجهادات الرئيسية المطلوبة و هي كما هو معروف رياضيا القيم الذاتية لمصفوفة موتر الإجهادات . يقابل كل قيمة  $\lambda_1, \lambda_2, \lambda_3$  من قيم جذور المعادلة التكميلية مستوي رئيسي . و يتحدد هذا المستوي بناظمه الذي يمكن حساب نسب مركباته الثلاثة  $n_1(\lambda), n_2(\lambda), n_3(\lambda)$  من المعادلات المتجانسة (1.54) و من ثم الاستعانة بالعلاقة :

$$(n_1(\lambda_1))^2 + (n_2(\lambda))^2 + (n_3(\lambda))^2 = 1 \quad (1.58)$$

تسمى النواظم هذه بالأشعة الذاتية لمصفوفة موتر الإجهادات و هذه الأشعة تنتمي إلى ساحة الأعداد الحقيقية و متعامدة مع بعضها البعض و يوضح البرهان التالي خاصية تعامد هذه الأشعة . بفرض أن :

$$\begin{aligned} n(\lambda_1) &= n^i(\lambda_1) e_i \\ n(\lambda_2) &= n^i(\lambda_2) e_i \end{aligned} \quad (1.59)$$

هي الأشعة الذاتية الموافقة للقيم الذاتية  $\lambda_1, \lambda_2$  نجد بملاحظة العلاقة (1.52) أن :

$$\begin{aligned}\sigma^{ij}n_j(\lambda_1) &= \lambda_1 n^i(\lambda_1) \\ \sigma^{ij}n_j(\lambda_2) &= \lambda_2 n^i(\lambda_2)\end{aligned}\quad (1.60)$$

الجداء السلمي للشعاعين  $n(\lambda_1), n(\lambda_2)$  هو بعد ملاحظة العلاقة (1.59) و المعادلة الثانية من العلاقة (1.60) :

$$n(\lambda_1).n(\lambda_2) = n^i(\lambda_1)n^k(\lambda_2)\delta_{ik} = n^i(\lambda_1)\frac{1}{\lambda_2}\sigma^{kj}n_j(\lambda_2)\delta_{ik} \quad (1.61)$$

بمساعدة المعادلة الأولى من العلاقة (1.60) نجد أن :

$$\sigma^{kj}n^i(\lambda_1)\delta_{ik} = \sigma^{kj}n_k(\lambda_1) = \lambda_1 n^j(\lambda_1) \quad (1.62)$$

و بالعودة إلى العلاقة (1.60) يكون :

$$n(\lambda_1).n(\lambda_2) = \frac{\lambda_1}{\lambda_2} n^j(\lambda_1)n_j(\lambda_2) \quad (1.63)$$

و القرينة ز يتم عليها الجمع . الطرف الثاني من المعادلة السابقة ما هو إلا الجداء السلمي للشعاعين  $n(\lambda_1), n(\lambda_2)$  مضروباً بالنسبة  $\lambda_1/\lambda_2$  . و في حال اختلاف القيم الذاتية  $\lambda_1, \lambda_2$  لا يمكن أن تكون هذه المعادلة صحيحة إلا إذا كان :

$$n(\lambda_1).n(\lambda_2) = 0 \quad (1.64)$$

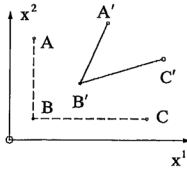
و بالتالي فالأشعة الذاتية متعامدة مع بعضها البعض . يمكن أن نجد أيضاً أنّ المستويات التي تحوي الإجهادات المماسية الحدية تنصّف الزاوية القائمة بين المستويات الرئيسية المحددة سابقاً و هي في العادة غير خالية من الإجهادات الناعمية و قيمة هذه الإجهادات تحددها العلاقات التالية :

$$\tau_1 = \frac{\lambda_2 - \lambda_3}{2}; \tau_2 = \frac{\lambda_1 - \lambda_3}{2} = \tau_{\max}; \tau_3 = \frac{\lambda_1 - \lambda_2}{2} \quad ; (\lambda_1)\lambda_2)\lambda_3) \quad (1.65)$$

## 1-5- مؤثرة التشوهات :

يتشوه الجسم المعرض للمؤثرات الخارجية كالحمولات و تغيرات درجات الحرارة و هبوط نقاط الاستناد . و كقيم مميزة لتحديد تشوه جسم ما أدخل مفهوم التشوهات . و قسمت التشوهات

إلى تشوّهات ناظمية (طولية) و تشوّهات (عرضية) . يفهم من التشوّه الناظمي (الطولي) التفسير الطولي لليف ما من المادة منسوب إلى طوله الأصلي . و يفهم من التشوّه المماسي أو العرضي (تشوّه القص) بأنه التغير الحاصل في الزاوية التي يصنعها ليفان متعامدان من المادة . لنفرض في البدء أنه لدينا ليفان من الوسط الخاضع للمؤثرات الخارجية ععدان بالنقاط  $A, B, C$  الواقعة في المستوي الديكارتي  $x^1 x^2$  قبل تطبيق المؤثرات الخارجية و قد انتقلت هذه النقاط إلى الوضعية  $A', B', C'$  بعد تطبيق المؤثرات الخارجية (شكل 1-10)



شكل 1-10 : ألياف من الجسم الخاضع للتشوه

نسمى المقادير :

$$\varepsilon_{11} = \frac{\overline{(A'B')_{x^1}} - \overline{AB}}{\overline{AB}} \quad (1.66)$$

$$\varepsilon_{22} = \frac{\overline{(A'C')_{x^2}} - \overline{AC}}{\overline{AC}}$$

بالتشوه الناظمي في الاتجاهين  $x^1$  و  $x^2$  على التوالي ، حيث  $(A'B')_{x^1}, (A'C')_{x^2}$  هي مساقط  $A'B', A'C'$  على المحورين  $x^1, x^2$  . و يسمى المقدار :

$$2\varepsilon_{12} = \angle BAC - \angle B'A'C' \quad (1.67)$$

بالتشوّه المماسي في المستوي  $x^1 x^2$  حيث  $\angle$  تشير إلى مقدار الزاوية .

و بالمثل سوف نجد أن هناك تشوهاً ناظماً باتجاه المحور  $x^3$  و هو  $\varepsilon_{33}$  و تشوهات مماسية في المستويين  $x^2x^3$  و  $x^3x^1$  و هي التشوهات  $\varepsilon_{23}$  و  $\varepsilon_{31}$  . و تعرف عادة التشوهات المماسية  $\varepsilon_{21} = \varepsilon_{12}$  و  $\varepsilon_{31} = \varepsilon_{13}$  و  $\varepsilon_{32} = \varepsilon_{23}$  . و ترتب التشوهات السابقة في مصفوفة ما يسمى بموتر التشوهات بالشكل التالي :

$$\varepsilon_{ij} = \begin{pmatrix} \varepsilon_{11} & \varepsilon_{12} & \varepsilon_{13} \\ \varepsilon_{21} & \varepsilon_{22} & \varepsilon_{23} \\ \varepsilon_{31} & \varepsilon_{32} & \varepsilon_{33} \end{pmatrix}; i, j = 1, 2, 3 \quad (1.68)$$

تحدد وضعية الجسم المعرض للمؤثرات الخارجية بعد التشوه بتعيين انتقالات كل نقطة من الجسم و يلزم لذلك تحديد مركبات انتقال كل نقطة من الجسم . فمثلاً وضعية الانتقال الجديدة للنقطة A و هي A' تتحدد بتعيين الشعاع:

$$\mathbf{u} = \mathbf{AA}' = u^1 \mathbf{e}_1 + u^2 \mathbf{e}_2 + u^3 \mathbf{e}_3 = u_1 \mathbf{e}^1 + u_2 \mathbf{e}^2 + u_3 \mathbf{e}^3 \\ = u^i \mathbf{e}_i = u_i \mathbf{e}^i; i = 1, 2, 3 \quad (1.69)$$

حيث  $u^1, u^2, u^3$  و  $u_1, u_2, u_3$  هي مركبات شعاع الانتقال الضدية و الأساسية على التوالي المنسوبة إلى جملة أشعة القاعدة الأساسية و الضدية و سوف نرى في الفصل القادم أن العلاقة التي تربط التشوهات السابقة بالانتقالات و التي تسمى عادة علاقة التشوهات - الانتقالات هي من الشكل:

$$\varepsilon_{ij} = \frac{1}{2} (u_{i,j} + u_{j,i} + u_{m,i} u^m_{,j}) \quad (1.70)$$

و ذلك عندما تكون التشوهات أصغر بكثير من الواحد ( $\varepsilon \ll 1$ ) .

## 1-6- تحويل موتر التشوهات

لنفرض أن موتر التشوهات  $\varepsilon_{ij}$  منسوب إلى جملة محاور إحداثية ديكارتية  $(x^1, x^2, x^3)$  بأشعتها الواحدية  $(\mathbf{e}_1, \mathbf{e}_2, \mathbf{e}_3)$  (جملة أساسية) أو تلك للمنطقة معها  $(x_1, x_2, x_3)$  بأشعتها الواحدية  $(\mathbf{e}^1, \mathbf{e}^2, \mathbf{e}^3)$  ، و يراد تحويلها إلى جملة محاور إحداثية  $(x^{\bar{1}}, x^{\bar{2}}, x^{\bar{3}})$  أشعتها

الأساسية  $(e_1, e_2, e_3)$  ترتبط معها جملة إحداثية أخرى  $(x_1, x_2, x_3)$  أشعتها الضدية  $(e^1, e^2, e^3)$  و لنفرض أن هذه الأشعة ترتبط مع بعضها البعض بالعلاقات التالية :

$$\begin{aligned} e_i &= a_i^{\bar{k}} e_{\bar{k}}; e^i = a_{\bar{k}}^i e^{\bar{k}} \\ e_{\bar{i}} &= a_{\bar{i}}^k e_k; e^{\bar{i}} = a_k^{\bar{i}} e^k \end{aligned} \quad (1.71)$$

حيث  $a_{\bar{k}}^i, a_i^{\bar{k}}$  و  $a_k^{\bar{i}}, a_{\bar{i}}^k$  معاملات مصفوفات التحويل . باعتبار أن الجداءات السلمية  $(e_i, e^i)$  و  $(e_{\bar{i}}, e^{\bar{i}})$  مساوية لمؤثره كرونيكر يمكن ببساطة الاستنتاج أن  $a_{\bar{k}}^i$  هي المصفوفة المعاكسة للمصفوفة  $a_i^{\bar{k}}$  هي المصفوفة المعاكسة للمصفوفة  $a_k^{\bar{i}}$  . في البدء سنعتبر عن الإحداثيات  $x^{\bar{i}}$  بدلالة مثلثتها  $x^i$  ، فشعاع المكان لنقطة ما في الفراغ يمكن التعبير عنه بالشكل :

$$r = x^{\bar{i}} e_{\bar{i}} = x^i e_i \quad (1.72)$$

بتعويض المعادلة الأولى من العلاقة (1.71) في العلاقة السابقة نجد أن :

$$x^{\bar{i}} e_{\bar{i}} = x^i a_i^{\bar{k}} e_{\bar{k}} \quad (1.73)$$

بضرب هذه العلاقة سلمياً بالأشعة  $e^{\bar{j}}$  و ملاحظة العلاقتين (1.4) و (1.12) يكون :

$$x^{\bar{j}} = x^i a_i^{\bar{j}} \quad (1.74)$$

و باستخدام نفس الأسلوب يمكن برهان العلاقات التالية :

$$\begin{aligned} x_{\bar{j}} &= x_i a_j^{\bar{i}} \\ x_j &= x_{\bar{i}} a_j^{\bar{i}} \\ x^{\bar{j}} &= x^{\bar{i}} a_i^{\bar{j}} \end{aligned} \quad (1.75)$$

و بالنسبة لتحويل الانتقالات يمكن أيضاً برهان العلاقات التالية :

$$\begin{aligned} u^{\bar{j}} &= u^{\bar{i}} a_i^{\bar{j}} \\ u_j &= u_i a_j^{\bar{i}} \end{aligned} \quad (1.76)$$

$$u^{\bar{j}} = u^{\bar{i}} a_i^{\bar{j}}$$

$$u_j = u_i a_j^{\bar{i}}$$

لنعرف الآن مؤثره التشوهات في الجملة الإحداثية  $x^{\bar{i}}$  على غرار مثلثتها في الجملة  $x^i$  بالشكل :



$$\varepsilon_{\bar{k}i} = \frac{1}{2}(u_{\bar{k},i} + u_{i,\bar{k}} + u_{\bar{k},m} \bar{u}^m_{,i}) \quad (1.77)$$

و لنحسب المقدار  $a_i^{\bar{k}} \varepsilon_{\bar{k}i} a_j^i$  فنجد بعد ضرب الطرف الثاني من العلاقة السابقة بالمقادير  $a_i^{\bar{k}} ; a_j^i$  أن:

$$a_i^{\bar{k}} \varepsilon_{\bar{k}i} a_j^i = \frac{1}{2}(a_i^{\bar{k}} u_{\bar{k},i} a_j^i + a_j^i u_{i,\bar{k}} a_i^{\bar{k}} + a_i^{\bar{k}} u_{\bar{k},m} \bar{u}^m_{,i} a_j^i) \quad (1.78)$$

باستخدام علاقات التحويل (1.76) و مشتق تابع التابع نستنتج بعد إيجاد مشتقات العلاقات (1.74) . (1.75) أن :

$$\begin{aligned} u_{i,j} &= \frac{\partial u_i}{\partial x^j} = a_i^{\bar{k}} \frac{\partial u_{\bar{k}}}{\partial x^{\bar{i}}} \cdot \frac{\partial x^{\bar{i}}}{\partial x^j} = a_i^{\bar{k}} u_{\bar{k},j} a_j^{\bar{i}} \\ u_{j,i} &= \frac{\partial u_j}{\partial x^i} = a_j^{\bar{i}} \frac{\partial u_{\bar{i}}}{\partial x^{\bar{k}}} \frac{\partial x^{\bar{k}}}{\partial x^i} = a_j^{\bar{i}} u_{\bar{i},\bar{k}} a_i^{\bar{k}} \\ u_{m,i} &= \frac{\partial u_m}{\partial x^i} = a_m^{\bar{m}} \frac{\partial u_{\bar{m}}}{\partial x^{\bar{k}}} \frac{\partial x^{\bar{k}}}{\partial x^i} = a_m^{\bar{m}} u_{\bar{m},\bar{k}} a_i^{\bar{k}} \\ u^m_{,j} &= \frac{\partial u^m}{\partial x^j} = a^{\bar{m}}_m \frac{\partial u^{\bar{m}}}{\partial x^{\bar{i}}} \frac{\partial x^{\bar{i}}}{\partial x^j} = a^{\bar{m}}_m u^{\bar{m}}_{,\bar{i}} a_j^{\bar{i}} \end{aligned} \quad (1.79)$$

و الجداء  $u_{m,i} u^m_{,j}$  يمكن تحويله بالشكل التالي :

$$\begin{aligned} u_{m,i} u^m_{,j} &= a_m^{\bar{m}} u_{\bar{m},\bar{k}} a_i^{\bar{k}} a^{\bar{m}}_m u^{\bar{m}}_{,\bar{i}} a_j^{\bar{i}} \\ &= a_i^{\bar{k}} u_{\bar{m},\bar{k}} a_i^{\bar{k}} \delta_{\bar{m}}^{\bar{m}} u^{\bar{m}}_{,\bar{i}} a_j^{\bar{i}} \\ &= a_i^{\bar{k}} u_{\bar{m},\bar{k}} u^{\bar{m}}_{,\bar{i}} a_j^{\bar{i}} \end{aligned} \quad (1.80)$$

باعتبار المساواة  $(a_i^{\bar{k}} u_{\bar{k},m} = a_i^{\bar{k}} u_{m,\bar{k}})$  وذلك لتماثل  $u_{\bar{m},\bar{k}}$  و  $u_{k,\bar{m}}$  تصبح مؤثرة التشوهات المعرفة بالعلاقة (1.70) كالتالي :

$$\varepsilon_{ij} = \frac{1}{2}(a_i^{\bar{k}} u_{\bar{k},i} a_j^{\bar{i}} + a_j^{\bar{i}} u_{i,\bar{k}} a_i^{\bar{k}} + a_i^{\bar{k}} u_{\bar{k},m} \bar{u}^m_{,i} a_j^{\bar{i}}) \quad (1.81)$$

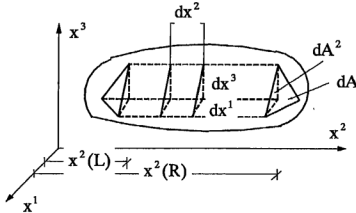
و بالمقارنة بين العلاقتين (1.78) و (1.81) نحصل على دستور تحويل التشوهات التالي :

$$\varepsilon_{ij} = a_i^{\bar{k}} \varepsilon_{\bar{k}i} a_j^{\bar{i}} \quad (1.82)$$

وهو مشابه للدستور تحويل موثرة الإجهادات .

### 7-1- تحويل التكامل الحجمي إلى تكامل سطحي (مقولة غاوس Gauss)

لنعتبر موشوراً تفاضلياً من جسم ما حروفه موازية للمحور  $x^2$  و مساحة مقطعه الذي ناظمه المحور  $x^2$  هي  $dA^2$  و لنفرض أن الموشور ممتد من الطرفين بحيث يتقاطع مع سطح الجسم (شكل 1-11). في أماكن تقاطع الموشور مع الجسم تنشأ مساحة  $dA$  تتمثل بمثلث رؤوسه هي نقاط تقاطع أضلاع الموشور مع الجسم . يشكل مستوي المساحة  $dA$  والمستويات المارة بأضلاع هذا المثلث و الموازية للمستويات الإحداثية  $x^1x^2, x^2x^3, x^1x^3$  هراً رسم مكبراً كما



شكل 1-11 : موشور تفاضلي مقتطع من الجسم ممتد باتجاه  $x^2$

في الشكل (6-1) . لنفرض أن حقلاً شعاعياً من الشكل:

$$\mathbf{u} = u(x^1, x^2, x^3, t) = u^{x^1}(x^1, x^2, x^3, t)\mathbf{e}_1 + u^{x^2}(x^1, x^2, x^3, t)\mathbf{e}_2 + u^{x^3}(x^1, x^2, x^3, t)\mathbf{e}_3 = u^i \mathbf{e}_i \quad (1.83)$$

معرفاً ضمن فراغ الجسم . يسمى المقدار:

$$\text{div } \mathbf{u} = \frac{\partial u^{x^1}}{\partial x^1} + \frac{\partial u^{x^2}}{\partial x^2} + \frac{\partial u^{x^3}}{\partial x^3} = u^i, i \quad (1.84)$$

بتفرق الحقل الشعاعي  $\mathbf{u}$  والتكامل :

$$\int_V \text{div } \mathbf{u} dV = \int_V \left( \frac{\partial u^1}{\partial x^1} + \frac{\partial u^2}{\partial x^2} + \frac{\partial u^3}{\partial x^3} \right) dV = \int_V u^i_{,i} dV \quad (1.85)$$

بالتكامل على تفرق حقل شعاعي . لنعتبر الآن جزء التكامل المتعلق بـ  $u^{x^2}$  فهو يساوي:

$$\begin{aligned} \int_V \frac{\partial u^{x^2}}{\partial x^2} dV &= \int_{A^2} \int_{x^2=x^2(l)}^{x^2=x^2(r)} \left( \frac{\partial u^{x^2}}{\partial x^2} dx^2 \right) dA^2 = \int_{A^2} u^{x^2}(x^2(r)) - u^{x^2}(x^2(l)) dA^2 \\ &= \int_{A^2} \left\{ \left[ u^{x^2}(x^2 = x^2(r)) \mathbf{e}_2 \right] [dA^2 \mathbf{e}_2] + \left[ u^{x^2}(x^2 = x^2(l)) \mathbf{e}_2 \right] [-dA^2 \mathbf{e}_2] \right\} \\ &= \int_A u^{x^2} \mathbf{e}_2 (n^2 \mathbf{e}_2) dA \end{aligned} \quad (1.86)$$

و ذلك بعد ملاحظة العلاقة (1.29) . و بالمثل نجد باعتبار الجزأين الآخرين للتكامل أن :

$$\int_V \frac{\partial u^{x^1}}{\partial x^1} dV = \int_A u^{x^1} \mathbf{e}_1 (n^1 \mathbf{e}_1) dA \quad (1.87)$$

$$\int_V \frac{\partial u^{x^3}}{\partial x^3} dV = \int_A u^{x^3} \mathbf{e}_3 (n^3 \mathbf{e}_3) dA$$

و يصبح التكامل الحجمي مكافئاً للتالي:

$$\begin{aligned} \int_V \text{div } \mathbf{u} dV &= \int_A \left[ u^{x^1} \mathbf{e}_1 (n^1 \mathbf{e}_1) + u^{x^2} \mathbf{e}_2 (n^2 \mathbf{e}_2) + u^{x^3} \mathbf{e}_3 (n^3 \mathbf{e}_3) \right] dA \\ &= \int_A (u^{x^1} \mathbf{e}_1 + u^{x^2} \mathbf{e}_2 + u^{x^3} \mathbf{e}_3) (n^1 \mathbf{e}_1 + n^2 \mathbf{e}_2 + n^3 \mathbf{e}_3) dA \\ &= \int_A \mathbf{u} \cdot \mathbf{n} dA \end{aligned} \quad (1.88)$$

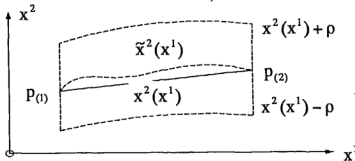
وهي العلاقة الرياضيّة المعبرّة عن مقولة غاوس في تحويل التكامل الحجمي إلى تكامل سطحي .

## 1-8-8- مقدمة في حساب المتغيرات

### 1-8-1- وصف عام لمسائل حساب المتغيرات .

تندرج مسائل حساب المتغيرات ضمن مسائل حساب القيم الحدية ، و لكن بشكل أعم مما هو عليه في طرح مسائل القيم الحدية لتابع بمتغير واحد أو بعدة متغيرات . إذ يتعلق الأمر كما نعلم في مسائل إيجاد القيم الحدية لتابع ما بإيجاد النقاط التي يكون فيها للتابع الحقيقي قيم عظمى أو قيم صغرى في مجال ما من مجالات تعريفه . أما في مسائل حساب المتغيرات فيتعلق الأمر بإيجاد منحنى أو سطح أو حجم ما تأخذ من أجله قيمة ما مرتبطة بهذا المنحني أو السطح أو الحجم قيمة حدية . و لإيضاح هذه المسألة سيتم شرحها على مسائل مبسطة . فمثلاً بين نقطتين  $p_{(1)}(x^1, x^2)$  ،  $p_{(2)}(x^1, x^2)$  ، من المستوي يمكن أن نمرّر عدداً لا نهائياً من المنحنيات المستمرة التي تمر بهاتين النقطتين . لنفرض أننا خصصنا لكل منحنى من هذه المنحنيات قيمة ما متعلقة به و لتكن في مثالنا هذا طول المنحني . و لنسمي هذه القيمة بالقيمة التابعة و التي يمكن حسابها كما نعلم بالشكل:

$$I = \int_{x^1(1)}^{x^1(2)} \sqrt{1 + \left(\frac{dx^2}{dx^1}\right)^2} dx^1 \quad (1.89)$$



شكل 1-12: توابع المقارنة ضمن المجال  $x^1(1) \leq x^1 \leq x^1(2)$

إذا هناك عدد لا نهائي من القيم  $I$  مقابلة لعدد المنحنيات المارة بين النقطتين  $p_{(1)}, p_{(2)}$  والقيم  $I$  تشكل بدورها تابعا للمنحنيات المفروضة و سنطلق على هذا التابع لتمييزه عن التوابع العادية (تابعي) كمرادف لكلمة (Functional). و مسألة حساب المتغيرات التي يمكن طرحها الآن هي إيجاد المنحني  $x^1(x^2)$  الذي يقابل القيمة الصغرى للتابعي  $I$  أو بمعنى هندسي إيجاد أقصر منحنى يربط بين النقطتين  $p_{(1)}, p_{(2)}$ .

قد يأخذ التابعي أشكالا أخرى و ليس من الضروري أن يكون الطول . فلو افترضنا أن  $p_{(1)}$  و  $p_{(2)}$  غير واقعيتين في مستوي أفقي واحد و ليس على شاقول واحد و أن  $p_{(1)}$  أعلى من  $p_{(2)}$  ، فمثلا إذا طلب إيجاد المنحني الواصل بين  $p_{(1)}$  و  $p_{(2)}$  ، و الذي إذا ما تدرجرت عليه كرة مادية تحت تأثير وزنها الذاتي وصلت الكرة من  $p_{(1)}$  إلى  $p_{(2)}$  بأقصر زمن ممكن ، في هذه الحالة يتمثل التابعي بالزمن اللازم للوصول من  $p_{(1)}$  إلى  $p_{(2)}$  و الشروط الطرفية للمسألة تتمثل بكون المنحني الذي يتم البحث عنه مارا بالنقطتين  $p_{(1)}$  ،  $p_{(2)}$  . كما أنه ليس من الضروري أيضا أن يكون التابعي تكاملا على الطول و قد يأخذ أشكالا أخرى للتكامل . كالتكامل على السطح مثلا ، و المثال التالي يوضح ذلك . لنفرض أنه لدينا منحنى فراغي مغلق طوله  $I$  نود تشكيله ليحيط بأصغر مساحة ممكنة . لنفرض أن  $\lambda$  مسقط المنحني الفراغي  $I$  على المستوي  $x^1x^2$  و أن  $B$  المساحة التي يحيط بها هذا المسقط . و لنفرض أن المساحة المغلقة من  $I$  يمكن التعبير عن معادلتها بالشكل  $x^3 = f(x^1, x^2)$  عندها يتمثل التابعي و ل نرمز له الآن ب  $S$  بدلا من  $I$  في المثال السابق بمساحة السطح  $x^3 = f(x^1, x^2)$  و التي يمكن حسابها بالشكل:

$$S = \int_0^1 \sqrt{1 + \left(\frac{\partial f}{\partial x^1}\right)^2 + \left(\frac{\partial f}{\partial x^2}\right)^2} dx^1 dx^2 \quad (1.90)$$

من أجل مساحة ما  $B$  تأخذ  $S$  قيمة محددة ، لذلك يمكن القول أن  $S$  تابعي للمساحة  $B$  والمسألة المطروحة تعني إيجاد السطح  $f(x^1, x^2)$  و الذي تأخذ من أجله  $S$  قيمتها الصغرى و الشروط الطرفية للمسألة تتلخص في البحث عن السطح الأصغري لنقاط محددة من  $\lambda$  حيث يجب أن تحسب تراتيب هذه النقاط  $x^3$  من شرط وقوعها على المنحني  $I$  و الذي يحصر المساحة التي يتم البحث عنها . و قبل الاستطرداد في معالجة المسألة سوف نوضح لماذا أدرجت مسائل حساب المتغيرات ضمن مسائل حساب القيم الحدية . من المعلوم أن مسألة حساب القيم الحدية لتابع ما

$f(x^1)$  تحول عادة إلى بحث عن حلول للمعادلة التفاضلية  $f'(x^1) = 0$  حيث تمثل المعادلة التفاضلية الشرط اللازم لوجود مثل هذه النهاية الحدية . و بالتالي تحقق القيم  $x^1$  التي يأخذ من أجلها التابع  $f(x^1)$  قيمة حدية المعادلة التفاضلية  $f'(x^1) = 0$  . و كذلك الأمر بالنسبة لمسائل حساب المتغيرات سوف نجد أن المنحنيات  $f(x^1)$  أو السطوح  $f(x^1, x^2)$  التي يأخذ من أجلها التابع  $I$  أو  $S$  قيمة حدية يجب أن تحقق معادلة تفاضلية تسمى بمعادلة اويلر التفاضلية . و للبحث عن توابع القيم الحدية للتابعي يسمح عادة بتوابع مقارنة فمثلا لإيجاد المنحني الأقصر  $x^2(x^1)$  الذي يصل بين النقطتين  $p_{(1)}, p_{(2)}$  شكل (1-12) يسمح بتوابع مقارنة  $\tilde{x}^2(x^1)$  يجب أن تكون كلها مارة من النقطتين السابقتين . فإذا ما حصرنا توابع المقارنة بالمجموعة  $\rho \left| \tilde{x}^2(x^1) - x^2(x^1) \right|$  من أجل  $x^1_{(1)} \leq x^1 \leq x^1_{(2)}$  فهذا يعني أننا أخذنا بعين الاعتبار توابع المقارنة  $\tilde{x}^2(x^1)$  الواقعة في جوار التابع الممثل للحالة الحدية ، و الذي يتم البحث عنه ، و ذلك عندما تكون  $\rho$  صغيرة. و في هذه الحالة نستطيع القول أن التابع  $x^2(x^1)$  يمثل حالة حدية نسبية .

### 1-8-2 - تعريف المتغير

لنفرض أن قيمة التابعي من أجل المنحني  $x^2(x^1)$  الممثل للنهاية الحدية هي  $I$  و أن قيمة التابعي من أجل منحني مقارنة  $\tilde{x}^2(x^1)$  هي  $\tilde{I}$  فإذا غسرت  $x^2(x^1)$  بالمقدار  $\Delta x^2(x^1) = \tilde{x}^2(x^1) - x^2(x^1)$  فإن تغير التابعي الملحق بهذا التغير هو  $\Delta I = \tilde{I} - I$  . لنأخذ الآن تغيرا خاصا للمقدار  $\Delta x^2(x^1)$  من الشكل :

$$\Delta x^2(x^1) = \tilde{x}^2(x^1) - x^2(x^1) = \varepsilon \eta(x^1) \quad (1.91)$$

حيث  $\eta(x^1)$  تابع عشوائي يحقق فقط شرط الاستمرارية كالمنحني  $x^2(x^1)$  ، و ليس من الضروري أن يكون متناه في الصغر و  $\varepsilon$  معامل متناه في الصغر يحقق الشرط  $\rho \left| \varepsilon \eta(x^1) \right| \leq$  و غير متعلق بالتحول  $x^1$  . نسمي هذا التغير الخاص للتابع  $x^2(x^1)$  بمتغير  $x^2(x^1)$  و ذلك

عندما ينتهي  $\varepsilon$  إلى الصفر ونرمز لهذا المتغير بالرمز  $\delta x^2$ ، ويمكن التعبير عنه بالصيغة الرياضية التالية :

$$\delta x^2 = \varepsilon \left( \frac{\partial \tilde{x}^2(x^1)}{\partial \varepsilon} \right)_{\varepsilon=0} \quad (1.92)$$

و ذلك لأنه يمكن بملاحظة العلاقة (1.91) التعبير عن  $\tilde{x}^2(x^1)$  بالشكل :

$$\tilde{x}^2(x^1) = x^2(x^1) + \varepsilon \eta(x^1) \quad (1.93)$$

و مشتق هذا التابع جزئيا بالنسبة للمقدار  $\varepsilon$  هو  $\eta(x^1)$  و عندما نضرب هذا المشتق بالمقدار  $\varepsilon$  نحصل على المتغير  $\Delta x^2(x^1)$  وفي حال سعي  $\varepsilon$  إلى الصفر نحصل على المتغير كما هو وارد في التعريف . قلنا أن للتابعي قيمة ملحقة بمنحني المقارنة  $\tilde{x}^2(x^1)$  و هذه القيمة هي  $\tilde{I}$  أصبحت بعد اعتبار المتغير الخاص لمنحني المقارنة تابعة للمقدار  $\varepsilon$  و تحقق المتراجحة و المعادلة التالين :

$$\tilde{I} = \tilde{I}(\varepsilon) \geq (\varepsilon = 0) = I \quad (1.94)$$

و ذلك لأنه عندما تنتهي  $\varepsilon$  إلى الصفر ينتهي منحني المقارنة  $\tilde{x}^2(x^1)$  إلى المنحني المطلوب  $\tilde{x}^2(x^1)$  و هذا ما يمكن استنتاجه من العلاقة (1.93) و بالتالي تنتهي قيمة  $\tilde{I}(\varepsilon = 0)$  المقابلة للتابع  $\tilde{x}^2(x^1)$  إلى قيمة  $I$  المقابلة للتابع  $x^2(x^1)$  . كما يمكن من العلاقة (1.89) الاستنتاج أن  $\tilde{I}(\varepsilon) \geq I$  بمقارنة الحدين  $\left( \frac{\partial \tilde{x}^2(x^1)}{\partial x^1} \right)^2, \left( \frac{\partial x^2(x^1)}{\partial x^1} \right)^2$  . نشر الآن  $\tilde{I}(\varepsilon)$  وفق سلسلة

تايلور بجوار  $\varepsilon = 0$  فنحصل على :

$$\tilde{I}(\varepsilon) = \tilde{I}(\varepsilon = 0) + \varepsilon \frac{\tilde{I}'(\varepsilon = 0)}{1!} + \varepsilon^2 \frac{\tilde{I}''(\varepsilon = 0)}{2!} + \dots + \varepsilon^n \frac{\tilde{I}^{(n)}(\varepsilon = 0)}{n!} \quad (1.95)$$

حيث  $\tilde{I}'$  تعني المشتق بالنسبة للمقدار  $\varepsilon$  . و بملاحظة العلاقة (1.94) و إدخال تعريف المتغير يُجد أن :

$$\delta I = \varepsilon \tilde{I}'(\varepsilon = 0) = \varepsilon \left( \frac{\partial \tilde{I}}{\partial \varepsilon} \right)_{\varepsilon=0} \quad (1.97)$$

يمثل المتغير الأول للتابعي والحد :

$$\delta^2 I = \varepsilon^2 \tilde{I}''(\varepsilon = 0) = \varepsilon^2 \left( \frac{\partial^2 \tilde{I}}{\partial \varepsilon^2} \right)_{\varepsilon=0} \quad (1.98)$$

متغيره الثاني وأخيرا الحد :

$$\delta^n I = \varepsilon^n \tilde{I}^{(n)}(\varepsilon = 0) = \varepsilon^n \left( \frac{\partial^{(n)} \tilde{I}}{(\partial \varepsilon)^n} \right)_{\varepsilon=0} \quad (1.99)$$

المتغير من الدرجة  $n$  .

### 1-3-8 قابلية تبديل متوالي المتغير الأول و المشتق الأول

ليكن لدينا المنحني  $g(x^2(x^1), x^1)$  المقابل لقيمة حدية لتابعي و منحنيات المقارنة له  $\tilde{g}(\tilde{x}^2(x^1), x^1)$  . هذه المنحنيات تابعة بدورها للمتحويل المستقل  $x^1$  ، و ترتبط مع بعضها البعض بتعريف المتغير الخاص لمنحني المقارنة بالشكل:

$$\tilde{g}(\tilde{x}^2(x^1), x^1) = g(x^2(x^1), x^1) + \varepsilon \eta(x^1) \quad (1.100)$$

باشتقاق هذه العلاقة بالنسبة للمقدار  $\varepsilon$  وإلغاء  $\varepsilon$  إلى الصفر ، ومن ثم الاشتقاق بالنسبة للمتحويل المستقل  $x^1$  نحصل على التوالي على :

$$\varepsilon \left( \frac{\partial \tilde{g}(\tilde{x}^2(x^1), x^1)}{\partial \varepsilon} \right)_{\varepsilon=0} = \delta g = \varepsilon \eta(x^1) \quad (1.101)$$

$$\frac{\partial}{\partial x^1} \{ \delta g \} = \{ \delta g \}_{,x^1} = \varepsilon \frac{\partial \eta(x^1)}{\partial x^1} \quad (1.102)$$

و اشتقاق العلاقة (1.100) أولا بالنسبة للمتحويل المستقل  $x^1$  و من ثم بالنسبة للمقدار  $\varepsilon$  و ضرب العلاقة الناتجة بالآخر  $\varepsilon$  وإلغاء  $\varepsilon$  إلى الصفر نحصل أيضا على التوالي على ما يلي :

$$\frac{\partial \tilde{g}(\tilde{x}^2(x^1), x^1)}{\partial x^1} = \tilde{g}_{,x^1} = \frac{\partial g(x^2(x^1), x^1)}{\partial x^1} + \varepsilon \frac{\partial \eta(x^1)}{\partial x^1} \quad (1.103)$$

$$\varepsilon \left( \frac{\partial}{\partial \varepsilon} \{ \tilde{g}_{,x^1} \} \right)_{\varepsilon=0} = \delta \{ g_{,x^1} \} = \varepsilon \frac{\partial \eta(x^1)}{\partial x^1} \quad (1.104)$$

بمقارنة العلاقتين (1.102) ، (1.104) نجد أن :

$$\{ \delta g \}_{,x^1} = \delta \{ g_{,x^1} \} \quad (1.105)$$

أي أن المتغير الأول و المشتق الأول قابليين للتبديل .



#### 1-4-8- معادلة أويلر التفاضلية

ذكرنا بالنسبة لمسائل حساب المتغيرات أنه لكي يأخذ تابعي ما قيمة حدية يجب أن يحقق المنحني المتعلق بهذا التابعي في حالته الحدية معادلة تسمى معادلة أويلر التفاضلية ، و سوف نستنتجها الآن لحالة مبسطة يكون فيها التابعي متعلقا بالتابع  $f$  المتعلق بدوره بالإحداثي المستقل  $x^1$  وبالتابع  $x^2(x^1)$  ومشتقه بالنسبة لـ  $x^1$  أي  $(x^2, x^1)$  على الشكل :

$$I = \int_{x^1(1)}^{x^1(2)} f(x^1, x^2(x^1), x^2, x^1(x^1)) dx^1 \quad (1.106)$$

بعد فرض أن توابع المقارنة على غرار تلك الواردة في العلاقة (1.93) و أنها تمر كلها من النقطتين الثابتتين  $p_{(1)}$  و  $p_{(2)}$  يكون عند هاتين النقطتين :

$$\tilde{x}^2(x^1(1)) = x^2(x^1(1)); \eta(x^1(1)) = 0 \quad (1.107)$$

$$\tilde{x}^2(x^1(2)) = x^2(x^1(2)); \eta(x^1(2)) = 0$$

وهاتان المعادلتان تمثلان الشروط الطرفية للمسألة. بتوابع المقارنة المذكورة تصبح قيمة التابعي  $\tilde{I}$  :

$$\tilde{I}(\varepsilon) = \int_{x^1(1)}^{x^1(2)} f(x^1, \tilde{x}^2(x^1), \tilde{x}^2, x^1(x^1)) dx^1 \quad (1.108)$$

$$= \int_{x^1(1)}^{x^1(2)} f(x^1, x^2(x^1) + \varepsilon \eta(x^1), x^2, x^1(x^1) + \varepsilon \eta, x^1(x^1)) dx^1$$

لنفرض أن التابع  $f$  مستمر و قابل للاشتقاق في مجال المقارنة المعتبر . و باعتبار أن التابع  $x^2(x^1)$  مقابل للقيمة الحدية للمتبع  $I$  ، بالتالي يأخذ التابعي أيضاً قيمة حدية من أجل  $\varepsilon = 0$  و هو مساوٍ لـ  $I$  . و بناءً عليه يجب أن ينعدم المشتق الأول للتابعي  $\tilde{I}(\varepsilon)$  من أجل  $\varepsilon = 0$  و المشتق الأول هو :

$$\begin{aligned}
I'(\varepsilon) &= \int_{x^{(2)}}^{x^{(2)}} (f_{,x^2} \tilde{x}^{z'} + f_{,(x^2,x^1)} \tilde{x}^{z',x^1}) dx^1 \\
&= \int_{x^{(1)}}^{x^{(2)}} (f_{,x^2} \eta(x^1) + f_{,(x^2,x^1)} \eta_{,x^1}(x^1)) dx^1 \quad (1.109)
\end{aligned}$$

و ذلك بعد استخدام مشتق تابع التابع . الفتحة تعني الاشتقاق بالنسبة للمقدار  $\varepsilon$  . و عليه ينعدم هذا المشتق عندما تسعى  $\varepsilon$  إلى الصفر .

$$\delta I = \varepsilon \tilde{I}_{(\varepsilon=0)} = \varepsilon \left\{ \int_{x^{(1)}}^{x^{(2)}} f_{,x^2} \eta(x^1) + f_{,(x^2,x^1)} \eta_{,x^1}(x^1) dx^1 \right\} = 0 \quad (1.110)$$

نلاحظ أننا انتقلنا من توابع المقارنة المميزة بالإشارة  $\sim$  إلى التوابع التي نبحث عنها و ذلك لتطابقها من أجل  $\varepsilon = 0$  . نكامل الحد الثاني من الطرف الثاني بالتجزئة فنحصل على :

$$\int_{x^{(1)}}^{x^{(2)}} f_{,(x^2,x^1)} \eta_{,x^1}(x^1) dx^1 = f_{,(x^2,x^1)} \eta(x^1) \Big|_{x^{(1)}}^{x^{(2)}} - \int_{x^{(1)}}^{x^{(2)}} [f_{,(x^2,x^1)}]_{,x^1} dx^1 \quad (1.111)$$

بالتعويض في العلاقة (1.110) وإخراج التابع العشوائي  $\eta(x^1)$  خارج قوسين ينتج :

$$\delta I = \varepsilon \left\{ f_{,(x^2,x^1)} \eta(x^1) \Big|_{x^{(1)}}^{x^{(2)}} + \int_{x^{(1)}}^{x^{(2)}} \eta(x^1) [f_{,x^2} - [f_{,(x^2,x^1)}]_{,x^1}] dx^1 \right\} = 0 \quad (1.112)$$

باعتبار أن الشروط الطرفية (1.107) محققة و أن  $\eta(x^1)$  تابع عشوائي ، فحتى ينعدم التركيب السابق يجب أن يكون :

$$f_{,x^2} - \frac{d}{dx^1} f_{,(x^2,x^1)} = 0 \quad (1.113)$$

و هي معادلة أويلر التفاضلية الموافقة لشرط انعدام المتغير الأول للتابعي  $I$  .

يجب عدم الالتباس في تفسير التعبير  $f_{,(x^2,x^1)}$  فهو لا يعني الاشتقاق أولاً بالنسبة للمتحول  $x^2$  و ثم بالنسبة للمتحول  $x^1$  كما يمكن التصور للوهلة الأولى وإنما يعني المشتق الجزئي للتابع  $f$  بالنسبة لمشتق التابع  $x^2$  . و لكي نكتب المعادلة التفاضلية بشكل تفصيلي لا بد من كتابة

التفاضل الكلي التابع  $g = f_{(x^2, x^1)} = \frac{\partial f}{\partial x^2, x^1}$  و ذلك باعتباره تابعا للمقادير  $x^2$  ،  $x^1$  :

$$\begin{aligned} \frac{d}{dx^1} g &= \left( \frac{\partial g}{\partial x^1} dx^1 + \frac{\partial g}{\partial x^2} dx^2 + \frac{\partial g}{\partial x^2, x^1} dx^2, x^1 \right) / dx^1 \\ &= \frac{\partial^2 f}{\partial x^2, x^1} + \frac{\partial^2 f}{\partial x^2, x^1 \partial x^2} x^2, x^1 + \frac{\partial^2 f}{\partial x^2, x^1 \partial x^2, x^1} x^2, x^1 x^1 \end{aligned} \quad (1.114)$$

وتصبح معادلة أولير التفاضلية بشكلها التفصيلي لهذه الحالة كالتالي:

$$\frac{\partial f}{\partial x^2} - \frac{\partial^2 f}{\partial x^2, x^1} + \frac{\partial^2 f}{\partial x^2, x^1 \partial x^2} x^2, x^1 + \frac{\partial^2 f}{\partial x^2, x^1 \partial x^2, x^1} x^2, x^1 x^1 = 0 \quad (1.115)$$

وهي تمثل الشرط اللازم لكي يأخذ التابع  $I$  قيمة حدية . و بالتالي للبحث عن المنحنيات التي تعطي تابعي ما قيمة حدية يجب البحث عن حلول معادلة أولير التفاضلية و التي تحقق الشروط الطرفية المطلوبة . و كمثال على ذلك نعود إلى المسألة المطروحة في الفقرة (1-8) و المتعلقة بالبحث عن أقصر منحنى يربط نقطتين مفروضتين . يتمثل التابع  $f$  أو تابع أولير بالتابع الموجود بعد إشارة التكامل في العلاقة (1.89) أي :

$$f = [1 + (x^2, x^1)^2]^{\frac{1}{2}}$$

هذا التابع لا يحوي  $x^1$  بشكل صريح كما لا يحوي  $x^2$  و بالتالي فمشتقه بالنسبة للتابع  $x^2$  مساو للصفر

$$f, x^2 = 0$$

نحسب الآن مشتقه  $\frac{d}{dx^1} f_{(x^2, x^1)}$  . لهذا الغرض نشق الآن جزئيا بالنسبة لمشتق التابع  $x^2$

$$f_{(x^2, x^1)} = \frac{1}{2} [1 + (x^2, x^1)^2]^{\frac{1}{2}} \cdot 2x^2, x^1 = x^2, x^1 / [1 + (x^2, x^1)^2]^{\frac{1}{2}} = \frac{u}{v}$$

و مشتقه الكلي بالنسبة للمتحول  $x^1$  يحسب بالشكل :

$$\frac{d}{dx^1} f_{(x^2, x^1)} = \frac{u'v - uv'}{v^2}$$

$$= \frac{1}{1 + (x^2, x^1)^2} \left\{ x^2, x^1 x^1 \left[ 1 + (x^2, x^1)^2 \right]^{\frac{1}{2}} - \frac{(x^2, x^1)^2 \cdot x^2, x^1 x^1}{\left[ 1 + (x^2, x^1)^2 \right]^{\frac{1}{2}}} \right\}$$

$$= (x^2, x^1 x^1) / \left[ 1 + (x^2, x^1)^2 \right]^{3/2}$$

و بالتالي ينتج من تطبيق معادلة اويلر التفاضلية على هذه المسألة العلاقة التالية :

$$f_{,x^2} - \frac{d}{dx^1} f_{,x^1} = x^2, x^1 x^1 / \left[ 1 + (x^2, x^1)^2 \right]^{3/2} = 0$$

و هذه العلاقة معروفة بأنها تعطي مقلوب نصف قطر الانحناء لمنحني  $(\frac{1}{\rho} = 0)$  أي أن  $(\rho \rightarrow \infty)$  و المنحني الذي نصف قطر انحناءه لا نهائي هو الخط المستقيم . إلا أنه يمكن استنتاج ذلك من العلاقة السابقة . باعتبار أن المخرج موجب دوماً و أكبر من الصفر فحتى ينعدم الكسر السابق لا بد من أن تساوي صورته الصفر أي :

$$x^2, x^1 x^1 = \frac{d^2 x^2}{(dx^1)^2} = 0$$

و بمكاملة هذه المعادلة مرتين نحصل على معادلة المنحني المطلوب

$$x^2 = c_0 + c_1 x^1$$

و هي معادلة خط مستقيم تحدد ثوابته  $c_0, c_1$  من شروط مروره في النقطتين  $P_{(2)}$  و  $P_{(1)}$  .

### 1-8-5. تعلق التابعي بعدد من التوابع

يمكن استنتاج معادلات اويلر التفاضلية و التي تحققها منحنيات متعلقة بتابعي ما متعلق بلوره بعدة متحولات مستقلة و بعدة توابع بشكل مماثل لما ورد في حالة تعلق هذا التابعي بمتحول مستقل وحيد و تابع وحيد ، و ذلك بعد افتراض متغير خاص لكل تابع يتعلق به التابعي . فلنفترض أن التابعي متعلق بالإضافة إلى  $x^1$  بالتوابع  $x^2, x^3$  و مشتقاتها بالشكل :

$$I = \int_{x^1(1)}^{x^1(2)} f(x^1, x^2, x^2, x^1, x^3, x^3, x^1) dx^1 \quad (1.116)$$

نأخذ الآن متغيرا خاصا لكل تابع من التوابع كما ورد سابقا بالصيغة :

$$\tilde{x}^2 = x^2 + \varepsilon \eta(x^1) \quad (1.117)$$

$$\tilde{x}^3 = x^3 + \varepsilon \zeta(x^1)$$

$\eta(x^1), \zeta(x^1)$  تابعا عشوائيان يحققان شروط الاستمرارية و  $\varepsilon$  متناه في الصغر . باتباع خطوات مشابهة لما سبق نحصل على المتغير الأول :

$$\delta I = \varepsilon \tilde{I}_{(\varepsilon=0)} = \varepsilon \left\{ \left[ \eta(f_{,x^2} - \frac{d}{dx^1} f_{,(x^2,x^1)}) + \zeta(x^3 - \frac{d}{dx^1} f_{,(x^3,x^1)}) \right] dx^1 \right\} = 0 \quad (1.118)$$

ما يعني أن الشرط اللازم لكي يأخذ  $I$  قيمة حدية يتلخص في تحقق المعادلتين التفاضليتين :

$$f_{,x^2} - \frac{d}{dx^1} f_{,(x^2,x^1)} = 0 \quad (1.119)$$

$$f_{,x^3} - \frac{d}{dx^1} f_{,(x^3,x^1)} = 0$$

و ينتج ذلك مباشرة من عشوائية التابعين  $\eta(x^1), \zeta(x^1)$  ، وهذه المعادلات تحدد المنحنيات التي تعطي تابعي متعلق بها قيمة حدية . أما نوع القيمة الحدية إن كانت صغرى أم عظمى أم قيمة مستقرة فتحدها إشارة المتغير الثاني فإذا كان  $\delta^2 I(0)$  فالقيمة الحدية عظمى وإذا كان  $\delta^2 I = 0$  فالقيمة الحدية مستقرة أما إذا كان  $\delta^2 I(0)$  فالقيمة الحدية صغرى .

#### 1-8-6- متغير تابع متعلق بعدة توابع

ليكن لدينا تابع ما  $f$  متعلق بالتابع  $x^2$  و مشتقه  $x^1, x^2$  أي :

$$f = f(x^2, x^2, x^1) \quad (1.120)$$

و لنفرض أن منحنيات المقارنة للتابعين هي :

$$\tilde{x}^2 = x^2 + \varepsilon \eta(x^1) \quad (1.121)$$

$$\tilde{x}^2_{,x^1} = x^2_{,x^1} + \varepsilon \eta_{,x^1}(x^1)$$

يحسب متغير هذين التابعين وفق العلاقة (1.92) بالشكل :

$$\delta x^2 = \varepsilon \left( \frac{\partial \tilde{x}^2(x^1)}{\partial \varepsilon} \right)_{\varepsilon=0} = \varepsilon \eta(x^1) \quad (1.122)$$

$$\delta x^2_{,x^1} = \varepsilon \left( \frac{\partial \tilde{x}^2_{,x^1}}{\partial \varepsilon} \right)_{\varepsilon=0} = \varepsilon \eta_{,x^1}(x^1)$$

مشتق التابع بالنسبة للمقدار  $\varepsilon$  هو :

$$\begin{aligned} \frac{\partial f}{\partial \varepsilon} &= \frac{\partial f}{\partial \tilde{x}^2} \frac{\partial \tilde{x}^2}{\partial \varepsilon} + \frac{\partial f}{\partial \tilde{x}^2_{,x^1}} \frac{\partial \tilde{x}^2_{,x^1}}{\partial \varepsilon} \\ &= \frac{\partial f}{\partial \tilde{x}^2} \eta(x^1) + \frac{\partial f}{\partial \tilde{x}^2_{,x^1}} \eta_{,x^1}(x^1) \end{aligned} \quad (1.123)$$

و ذلك باعتبار أن  $f$  تابع لكل من  $\tilde{x}^2$  و  $\tilde{x}^2_{,x^1}$  و كل منهما تابع للمقدار  $\varepsilon$  . وبضرب العلاقة السابقة بالمقدار  $\varepsilon$  وإلغاء  $\varepsilon$  إلى الصفر نحصل بعد ملاحظة العلاقتين (1.122) على :

$$\varepsilon \left( \frac{\partial f}{\partial \varepsilon} \right)_{\varepsilon=0} = \frac{\partial f}{\partial \tilde{x}^2} \varepsilon \eta(x^1) + \frac{\partial f}{\partial \tilde{x}^2_{,x^1}} \varepsilon \eta_{,x^1}(x^1) \quad (1.124)$$

$$\delta f = \frac{\partial f}{\partial \tilde{x}^2} \delta x^2 + \frac{\partial f}{\partial \tilde{x}^2_{,x^1}} \delta x^2_{,x^1}$$

و هكذا نجد أن متغير تابع ما متعلق بعدة متحولات يعامل معاملة التفاضل الكلي والعلاقة التالية تمثل بعض القواعد الأخرى لحساب المتغيرات .

$$\begin{aligned} \delta(f_1 + f_2) &= \delta f_1 + \delta f_2 \\ \delta(f_1, f_2) &= f_1 \delta f_2 + f_2 \delta f_1 \\ \delta\left(\frac{f_1}{f_2}\right) &= \frac{f_2 \delta f_1 - f_1 \delta f_2}{(f_2)^2} \end{aligned} \quad (1.125)$$

حيث  $f_1$  و  $f_2$  توابع على شاكلة التابع  $f$  في العلاقة (1.120). يمكن تعميم النتائج السابقة التي أجريت على توابع متعلقة بمتحول مستقل ومشتقة الأول على توابع ضمنية متعلقة بمتحول مستقل ومشتقاتها بالنسبة لهذا المتحول من الدرجة  $(n)$  وحالات أعم أخرى نلخصها في الحالات التالية:

\* حالة تعلق التابعي بمشتقات تابع ما حتى الدرجة  $(n)$

$$I = \int_{x^{(1)}}^{x^{(2)}} f(x^1, x^2, (x^2)', (x^2)'', \dots, (x^2)^{(n)}) dx^1 \quad (1.126)$$

حيث استبدلت كتابة للمشتق  $x^2, x^1$  بالكتابة  $(x^2)'$  و  $x^2, x^1$  بالكتابة  $(x^2)''$  وهكذا . متغير هذا التابع وفق العلاقة (1.124) من الشكل:

$$\delta I = \int_{x^{(1)}}^{x^{(2)}} \left[ \frac{\partial f}{\partial x^2} \delta x^2 + \frac{\partial f}{\partial (x^2)'} \delta (x^2)' + \frac{\partial f}{\partial (x^2)''} \delta (x^2)'' + \dots + \frac{\partial f}{\partial (x^2)^{(n)}} \delta (x^2)^{(n)} \right] dx^1 \quad (1.127)$$

بمكاملة الحدود على الطرف الثاني للعلاقة السابقة بالجزء عدة مرات بحيث يكامل  $k$  مرة حدد المشتق من المرتبة  $(k)$  بالشكل :

$$\begin{aligned} \int_{x^{(1)}}^{x^{(2)}} \frac{\partial f}{\partial (x^2)^{(k)}} \delta (x^2)^{(k)} = & \left[ \frac{\partial f}{\partial (x^2)^{(k)}} \delta (x^2)^{(k-1)} - \frac{d}{dx^1} \frac{\partial f}{\partial (x^2)^{(k)}} \delta (x^2)^{(k-2)} \right. \\ & + \dots + (-1)^{(k-1)} \frac{d^{k-1}}{(dx^1)^{(k-1)}} \frac{\partial f}{\partial (x^2)^{(k)}} \delta x^2 \Big|_{x^{(1)}}^{x^{(2)}} \\ & \left. + (-1)^k \int_{x^{(1)}}^{x^{(2)}} \frac{d^k}{(dx^1)^{(k)}} \frac{\partial f}{\partial (x^2)^{(k)}} \delta x^2 dx^1 \right] \end{aligned} \quad (1.128)$$

بعد تعويض الحدود المكاملة في العلاقة (1.127) والاشتراط أن  $\delta x^2$  ومشتقاتها حتى المرتبة  $(n-1)$  تتعدم في النقاط البدائية (1) و (2) نحصل على :

$$\delta I = \int_{x^{(1)}}^{x^{(2)}} \left[ \frac{\partial f}{\partial x^2} - \frac{d}{dx^1} \frac{\partial f}{\partial (x^2)'} + \dots + (-1)^n \frac{d^n}{(dx^1)^n} \frac{\partial f}{\partial (x^2)^{(n)}} \right] \delta x^2 = 0 \quad (1.129)$$

و بالتالي تكافئ معادلة اويلر - لاغرنج.

$$\frac{\partial f}{\partial x^2} - \frac{d}{dx^1} \frac{\partial f}{\partial (x^2)'} + \dots + (-1)^n \frac{d^n}{(dx^1)^n} \frac{\partial f}{\partial (x^2)^{(n)}} = 0 \quad (1.130)$$

شرط القيمة الحدية للتابعي I المعتر في العلاقة (1.126) .

**\* حالة تعلق التابعي بمشتقات m تابع حتى الدرجة (n)**

$$I = \int_{x^1(1)}^{x^1(2)} f(x^1, x^2, (x^2)', \dots, (x^2)^{(n)}, \dots, x^m, (x^m)', \dots, (x^m)^{(n)}) dx^1 \quad (1.131)$$

هذه الحالة مشابهة للحالة السابقة ، و بنتيجة إيجاد المتغير  $\delta I$  نحصل على m معادلة تفاضلية من معادلات اولر - لاغرنج كذلك المشتقة في العلاقة (1.130) و لا داعي لتكرار مثل هذا الاشتقاق مرة أخرى .

**\* حالة كون التابعي تكاملا على السطح**

ندرس الآن الحالة التي يكون فيها التابعي تكاملا على سطح ما و متعلقا بمحولين مستقلين بالإضافة إلى تعلقه بتابعين آخرين ومشتقيهما بالشكل :

$$I = \iint_A f(x^1, x^2, x^3(x^1, x^2), \frac{\partial x^3}{\partial x^1}(x^1, x^2)) dx^1 dx^2 \quad (1.132)$$

تؤخذ توابع المقارنة  $\tilde{x}^3(x^1, x^2)$  على غرار العلاقة (1.93) كما يلي :

$$\tilde{x}^3(x^1, x^2) = x^3(x^1, x^2) + \varepsilon \eta(x^1, x^2) \quad (1.133)$$

حيث  $\varepsilon$  متناه في الصغر ،  $\eta(x^1, x^2)$  تابع عشوائي يحقق شروط الاستمرارية . بأخذ المتغير الأول للعلاقة (1.132) نجد :

$$\delta I = \iint_A \left[ \frac{\partial f}{\partial x^3} \delta x^3 + \frac{\partial f}{\partial x^3, x^1} \delta x^3, x^1 + \frac{\partial f}{\partial x^3, x^2} \delta x^3, x^2 \right] dx^1 dx^2 \quad (1.134)$$

ملاحظة أن :

$$\frac{\partial}{\partial x^1} \left( \frac{\partial f}{\partial x^3, x^1} \delta x^3 \right) = \frac{\partial f}{\partial x^3, x^1} \delta x^3, x^1 + \delta x^3 \frac{\partial}{\partial x^1} \left( \frac{\partial f}{\partial x^3, x^1} \right) \quad (1.135)$$

$$\frac{\partial}{\partial x^2} \left( \frac{\partial f}{\partial x^3, x^2} \delta x^3 \right) = \frac{\partial f}{\partial x^3, x^2} \delta x^3, x^2 + \delta x^3 \frac{\partial}{\partial x^2} \left( \frac{\partial f}{\partial x^3, x^2} \right)$$



نحصل من العلاقة (1.134) على :

$$\begin{aligned} \delta I = & \iint_A \left[ \frac{\partial f}{\partial x^3} - \frac{\partial}{\partial x^1} \left( \frac{\partial f}{\partial x^3, x^1} \right) - \frac{\partial}{\partial x^2} \left( \frac{\partial f}{\partial x^3, x^2} \right) \right] \delta x^3 dx^1 dx^2 \\ & + \iint_A \left[ \frac{\partial}{\partial x^1} \left( \frac{\partial f}{\partial x^3, x^1} \delta x^3 \right) + \frac{\partial f}{\partial x^2} \left( \frac{\partial f}{\partial x^3, x^2} \delta x^3 \right) \right] dx^1 dx^2 \end{aligned} \quad (1.136)$$

باستخدام مقولة غاوس التالية في تحويل التكامل السطحي إلى تكامل منحنى :

$$\iint_A (u, x^1 + v, x^2) dx^1 dx^2 = \oint_C (u dx^2 - v dx^1) = \oint_C \left( u \frac{dx^2}{ds} - v \frac{dx^1}{ds} \right) ds \quad (1.137)$$

حيث  $v, u$  تابعين في  $x^2, x^1$  و قابلين للتفاضل،  $A$  سطح ما بطرف يمكن أن يكون مؤلفا من مجموعة منحنيات تلتقي مع بعضها البعض ولكن يجب أن يكون التقاؤها أملاسا دون انكسار ،  $C$  المنحني الذي يحدها المساحة  $A$  وهو موجه بالتوجيه الرياضي المعروف (إذا دارت أصابع اليد اليمنى على المنحني يكون إبهام اليد اليمنى متطابقا مع النواظم الموجب للمساحة )  $x^2(s), x^1(s)$  هي توابع التمثيل الوسيط للمنحني  $C$ ،  $s$  هو الطول المنحني . يمكن تحويل الحد الثاني من الطرف الأيمن للعلاقة (1.136) لنحصل على :

$$\begin{aligned} \delta I = & \iint_A \left[ \frac{\partial f}{\partial x^3} - \frac{\partial}{\partial x^1} \left( \frac{\partial f}{\partial x^3, x^1} \right) - \frac{\partial}{\partial x^2} \left( \frac{\partial f}{\partial x^3, x^2} \right) \right] \delta x^3 dx^1 dx^2 \\ & + \oint_C \left[ \frac{\partial f}{\partial x^3, x^1} \frac{dx^2}{ds} - \frac{\partial f}{\partial x^3, x^2} \frac{dx^1}{ds} \right] \delta x^3 ds = 0 \end{aligned} \quad (1.138)$$

و باعتبار أن التكامل المنحني ينعدم من أجل الشروط الطرفية المحددة للمسألة كما أسلفنا في الفقرة 1-8-1 أي أن  $(\delta x^3 = 0)$  على الطرف (الشرط الإلزامي في تعريف المتغير (1.133) ) أو من أجل الشروط الطبيعية حيث

$$\left[ \frac{\partial f}{\partial x^3, x^1} \frac{dx^2}{ds} - \frac{\partial f}{\partial x^3, x^2} \frac{dx^1}{ds} \right] = 0 \quad (1.139)$$

في هذه الحالة تتمثل معادلة أويلر - لاغرنج بالمعادلة التفاضلية الجزئية التالية

$$\frac{\partial f}{\partial x^3} - \frac{\partial}{\partial x^1} \left( \frac{\partial f}{\partial x^3, x^1} \right) - \frac{\partial}{\partial x^2} \left( \frac{\partial f}{\partial x^3, x^2} \right) = 0 \quad (1.140)$$

وهي مكافئة لشرط انعدام المتغير الأول للتابعي  $I$ .

## 9-1 المبرهنات الأساسية لحساب المتغيرات

### 1-9-1 المبرهنة الأولى

لنفترض أن التابع العشوائي  $\eta(x^1)$  مستمر إلى جانب مشتقه الأول في المجال  $[x^1_{(1)}, x^1_{(2)}]$  و قيمه معلومة في نقطة البدء ونقطة النهاية من هذا المجال و أن  $f(x^1)$  تابع في المجال نفسه . فإذا كان التكامل التالي:

$$\int_{x^1_{(1)}}^{x^1_{(2)}} f(x^1) \eta(x^1) dx^1 = 0 \quad (1.141)$$

عقفاً فهذا يعني بالضرورة أن التابع  $f(x^1)$  معدوم في كل نقاط هذا المجال أي :

$$f(x^1) = 0; \quad \forall x^1 \in [x^1_{(1)}, x^1_{(2)}]$$

يمكن برهان هذه المقولة بشكل غير مباشر . لنفرض أن التابع  $f(x^1)$  في نقطة ما من المجال  $x^1 = \xi^1$  مغاير للصفر مثلاً أكبر من الصفر  $f(\xi^1) > 0$  فوق خاصية الاستمرارية يكون التلبيع في المجال الجزئي  $[\xi^1_{(1)}, \xi^1_{(2)}]$  الواقع ضمن المجال الكلي  $[x^1_{(1)}, x^1_{(2)}]$  أيضاً موجباً . لنختار  $\eta(x^1)$  بالشكل :

$$\eta(x^1) = \begin{cases} 0 & \text{for } x^1_{(1)} \leq x^1 \leq \xi^1_{(1)} \\ (x^1 - \xi^1_{(1)})^2 (x^1 - \xi^1_{(2)})^2 & \text{for } \xi^1_{(1)} \leq x^1 \leq \xi^1_{(2)} \\ 0 & \text{for } \xi^1_{(2)} \leq x^1 \leq x^1_{(2)} \end{cases} \quad (1.142)$$

هذا التابع يحقق كل الشروط الواردة في المقولة . و ذلك لأن  $\eta(x^1_{(1)}) = \eta(x^1_{(2)}) = 0$  وكذلك الجداء  $(x^1 - \xi^1_{(1)})^2 (x^1 - \xi^1_{(2)})^2$  و مشتقه الأول يتعدمان من أجل  $x^1 = \xi^1_{(1)}$  و  $x^1 = \xi^1_{(2)}$  خارج المجال  $[\xi^1_{(1)}, \xi^1_{(2)}]$  يكون التابع  $\eta(x^1)$  مطابق للصفر . و باعتبار أن التابع  $\eta(x^1)$  خارج المجال  $[\xi^1_{(1)}, \xi^1_{(2)}]$  مطابق للصفر فيمكن كتابة التكامل (1.141) بالشكل :

$$\int_{\xi^1_{(1)}}^{\xi^1_{(2)}} f(x^1) (x^1 - \xi^1_{(1)})^2 (x^1 - \xi^1_{(2)})^2 dx^1 \quad (1.143)$$

و لهذا التكامل قيمة موجبة وفق المبرهنة الموسعة للقيمة المتوسطة للتكامل المحدود و القائلة بأنه إذا كان التابعان  $f(x^1), g(x^1)$  مستمرين في مجال ما  $[x^1(1), x^1(2)]$  و  $f(x^1)$  يحافظ على إشارته في المجال فإنه في المجال  $[x^1(1), x^1(2)]$  قيمة واحدة على الأقل  $\xi^1$  بحيث يكون :

$$\int_{x^1(1)}^{x^1(2)} f(x^1)g(x^1)dx^1 = g(\xi^1)\int_{x^1(1)}^{x^1(2)} f(x^1)dx^1 \quad (1.144)$$

و باعتبار أنه للتكامل (1.143) قيمة موجبة و هو بالفرض معدوم فهذا يعني أننا توصلنا إلى نتيجة مناقضة للفرض القائل بأن التابع  $f(x^1)$  مغاير للصفر و هذا بدوره يقتضي بأن يكون التابع  $f(x^1)$  مطابقا للصفر . و يمكن الآن برهان نفس النتيجة لحالة التكامل الثنائي .

## 1-9-2- المبرهنة الثانية

بافتراض أن التابع العشوائي  $\eta(x^1, x^2)$  مستمر إلى جانب مشتقاته الجزئية من المرتبة الأولى في المجال B و ينعدم على الطرف L لهذا المجال و أن  $f(x^1, x^2)$  تابع مستمر في المجال نفسه فإذا كان التكامل :

$$\iint_B f(x^1, x^2)\eta(x^1, x^2)dx^1dx^2 = 0 \quad (1.145)$$

محققا فهذا يعني بالضرورة أن  $f(x^1, x^2)$  مطابق للصفر في المجال B . للبرهان على ذلك نفترض أن التابع  $f(x^1, x^2)$  مغاير للصفر وليكن على سبيل المثال موجبا في نقطة  $p(\xi^1, \xi^2)$  ما من المجال B ، بفضل استمرارية هذا التابع فهو موجب أيضا في دائرة واقعة في جوار p نصف قطرها  $\rho$  و موجودة كلياً ضمن المجال B . نختار الآن التابع العشوائي  $\xi(x^1, x^2)$  بالشكل :

$$\eta(x^1, x^2) = \begin{cases} 0 & \text{for } (x^1 - \xi^1)^2 + (x^2 - \xi^2)^2 \geq \rho^2 \\ \left[ \rho^2 - (x^1 - \xi^1)^2 - (x^2 - \xi^2)^2 \right] & \text{for } (x^1 - \xi^1)^2 + (x^2 - \xi^2)^2 < \rho^2 \end{cases} \quad (1.146)$$

و هذا التابع العشوائي يحقق كل متطلبات المبرهنة السابقة و التكامل (1.145) ينقلص ليصبح تكاملاً لتابع موجب على مساحة الدائرة بنصف القطر  $\rho$  و هو لهذا السبب موجب . و هذا مناقض للفرض ، أي أن  $f(x^1, x^2)$  مطابق للصفر . المبرهتان الأولى و الثانية تبقيان صحيحتين

عندما يخضع التابع العشوائي  $\eta$  إلى شروط طرفية أفسى . كان نطلب أن يكون التابع مشتقات مستمرة حتى الدرجة  $n$  وأن ينعدم هو و مشتقاته ال  $(n-1)$  في النقاط الطرفية للمجال  $[x^{(1)}_{(1)}, x^{(1)}_{(2)}]$  أو الطرف  $L$  للمجال  $B$  يبقى الرهان للحالة الأخيرة كما في السابق و تستبدل القوة  $2 \cdot$  في العلاقتين  $(1.142), (1.146)$  بالقوة  $n+1$  . و كذلك الأمر يمكن برهان المقتولتين السابقتين للتكامل الثلاثي و للتكامل البعدي من المرتبة  $n$  .

### 3-9-1 المبرهنة الثالثة

إذا كان التابع  $g(x^1)$  مستمرا في المجال  $[x^1_{(1)}, x^1_{(2)}]$  و كان التكاملي :

$$\int_{x^{(1)}}^{x^{(2)}} g(x^1) \eta'(x^1) dx^1 = 0 \quad (1.147)$$

من أجل أي تابع  $\eta(x^1)$  المستمر هو و مشتقاته في المجال  $[x^1_{(1)}, x^1_{(2)}]$  والحق للشرط الطرقي  $\eta(x^1_{(1)}) = \eta(x^1_{(2)})$  فهذا يعني أن  $g(x^1)$  ثابت .  
نبدأ الراهان بفرض أن :

$$c = \frac{1}{x^{(2)} - x^{(1)}} \int_{x^{(1)}}^{x^{(2)}} g(x) dx \quad (1.148)$$

و التي يمكن كتابتها بالشكل :

$$\int_{x^{(1)}}^{x^{(2)}} [g(x^1) - c] dx^1 = 0 \quad (1.149)$$

نختار الآن التابع العشوائي  $\eta(x^1)$  كالنالي:

$$\eta(x^1) = \int_{x^1(t)}^{x^1(2)} [g(t) - c] dt, \eta'(x^1) = [g(x^1) - c] \quad (1.150)$$

و تصبح المعادلة (1.147) موافقة للمعادلة التالية :

$$\int_{x^1(1)}^{x^1(2)} g(x^1) [g(x^1) - c] dx^1 = 0 \quad (1.151)$$

نضرب طرفي المعادلة (1.149) بالثابت  $c$  - فينتج:

$$\int_{x^1(1)}^{x^1(2)} -c[g(x^1) - c]dx^1 = 0 \quad (1.152)$$

و يجمع المعادلتين (1.151) , (1.152) نحصل على :

$$\int_{x^1(1)}^{x^1(2)} [g(x^1) - c]^2 dx^1 = 0 \quad (1.153)$$

و عليه يكون  $g(x^1) = c$

#### 1-4 المبرهنة الرابعة

إذا كان التابعان  $b(x^1), a(x^1)$  مستمرين في المجال  $[x^1(1), x^1(2)]$  و تحقق التكامل :

$$\int_{x^1(1)}^{x^1(2)} [a(x^1)\eta(x^1) + b(x^1)\eta'(x^1)] dx^1 = 0 \quad (1.154)$$

من أجل أي تابع  $\eta(x^1)$  يحقق للشروط التي يحققها التابع نفسه في المبرهنة الثالثة فيجب أن

$$b'(x^1) = a(x^1) \text{ المشتق } [x^1(1), x^1(2)]$$

نفرض أولاً أن  $A(x) = \int_{x^1(1)}^{x^1(2)} a(t)dt$  فنحصل بعد استخدام التكامل بالتجزئة ومراعاة الشروط الطرفية للتابع العشوائي على :

$$\int_{x^1(1)}^{x^1(2)} a(x^1)\eta(x^1)dx^1 = -\int_{x^1(1)}^{x^1(2)} A(x^1)\eta'(x^1)dx^1 \quad (1.155)$$

و بهذا تصبح العلاقة (1-154) كما يلي :

$$\int_{x^1(1)}^{x^1(2)} [-A(x^1) + b(x^1)dx^1] \eta'(x^1)dx^1 = 0 \quad (1.156)$$

ووفق المبرهنة الثالثة يكون :

$$b(x^1) = A(x^1) + c = \int_{x^1(1)}^{x^1(2)} a(t)dt + c \quad (1.157)$$

و عليه نحصل باشتقاق الطرفين على :

$$b'(x^1) = a(x^1) \quad (1.158)$$

تقدم قواعد حساب المتغيرات المشروحة في الفقرات السابقة الغطاء النظري للطرق التقريبية التي يتم فيها تشكيل تابعي كطرق الطاقة التي سنتعرض لها في فصول لاحقة وطرق العناصر المنتهية التي تعتمد الطاقة كمعيار أو كضابط أساسي. إذ يمكن وفق قواعد حساب المتغيرات افتراض تواضع

تقريبية متعلقة بثوابت اختيارية يتم تحديدها من شرط انعدام المتغير الأول للتابعي الخاص بالمسألة المطروحة.

وقبل الشروع في حل بعض الأمثلة الإيضاحية لما ورد في بعض من الفقرات النظرية سنستعرض باختصار حل المعادلة التكميلية لحاجتنا إليها أثناء حساب الإجهادات الرئيسية .

### 10-1- حلول المعادلة التكميلية

ليكن لدينا المعادلة العامة من الدرجة الثالثة

$$Ax^3 + Bx^2 + Cx + D = 0; \quad A \neq 0 \quad (1.159)$$

بالقسمة على A تتحول هذه المعادلة إلى الشكل:

$$x^3 + ax^2 + bx + c = 0; \quad a = \frac{B}{A}; \quad b = \frac{C}{A}; \quad c = \frac{D}{A} \quad (1.160)$$

نحاول الآن حذف أمثال  $x^2$  لذلك نجري التحويل:

$$x = y - \frac{a}{3} \quad (1.161)$$

فتأخذ المعادلة (1.160) بعد تعويض التحويل السابق فيها الشكل المبسط التالي:

$$y^3 + py + q = 0 \quad (1.162)$$

بحسب مميز هذه المعادلة بالشكل:

$$\Delta = \left(\frac{q}{2}\right)^2 + \left(\frac{p}{3}\right)^3 \quad (1.163)$$

ووفق قيمة مميز هذه المعادلة نميز ثلاث حالات :

فإذا كان  $\Delta > 0$  هناك حل حقيقي واثنان عقديان.

وإذا كان  $\Delta = 0$  هناك ثلاث حلول حقيقية أحدها مضاعف.

أما إذا كان  $\Delta < 0$  فهناك ثلاث حلول حقيقية.

تعطى الحلول العامة للمعادلة التكميلية وفق كاردان كما يلي:

$$y_1 = u + v$$

$$y_2 = -\frac{u+v}{2} + \frac{u-v}{2}i\sqrt{3} \quad (1.164)$$

$$y_3 = -\frac{u+v}{2} - \frac{u-v}{2}i\sqrt{3}$$

حيث:

$$\begin{aligned} u &= \sqrt[3]{-\frac{q}{2} + \sqrt{\left(-\frac{q}{2}\right)^2 + \left(\frac{p}{3}\right)^3}} \\ v &= \sqrt[3]{-\frac{q}{2} - \sqrt{\left(-\frac{q}{2}\right)^2 + \left(\frac{p}{3}\right)^3}} \end{aligned} \quad (1.165)$$

وهذه الحلول يمكن الحصول عليها عن طريق حسابها باستخدام التوابيع المثلثية للحالة التي يكون فيها  $\Delta < 0$  والتي تملك ثلاث جذور حقيقية حيث تحسب هذه الجذور وفق الترتيب التالي:  
نحسب أولاً الزاوية  $\varphi$  بحساب جيب تمامها :

$$\cos \varphi = \frac{-\frac{q}{2}}{\sqrt[3]{\left(\frac{|p|}{3}\right)^3}} \quad (1.166)$$

ومن ثم نحسب الجذور الحقيقية الثلاثة للمعادلة بالترتيب التالي:

$$\begin{aligned} y_1 &= 2\sqrt[3]{\left(\frac{|p|}{3}\right)^3} \cos \frac{\varphi}{3} \\ y_2 &= 2\sqrt[3]{\left(\frac{|p|}{3}\right)^3} \cos\left(\frac{\varphi}{3} - 60^\circ\right) \\ y_3 &= 2\sqrt[3]{\left(\frac{|p|}{3}\right)^3} \cos\left(\frac{\varphi}{3} + 60^\circ\right) \end{aligned} \quad (1.167)$$

وقبل الانتقال إلى الفصل اللاحق سوف نستعرض عددا من الأمثلة لتعميق فهمنا للمواضيع التي نوقشت في هذا الفصل.

### مثال 1-1:

لدينا في نقطة p من جسم ما حالة إجهادية محددة بالمركبات :

$$\sigma^{ij} = \begin{pmatrix} 2. & -2. & 0. \\ -2. & 4. & -2. \\ 0. & -2. & 4. \end{pmatrix} \quad \text{kN/mm}^2$$

والمطلوب :

- إيجاد المركبتين الناطمية  $t_N$  والمماسية  $t_S$  على وفي مستوي محدد بالمعادلة:

$$4x^1 + 2x^2 - 2x^3 = 1$$

- حساب الإجهادات الرئيسية في النقطة p .

- تعيين نواظم المستويات الرئيسية.

في البدء نعين الناظم على المستوي المذكور

$$\mathbf{n} = \frac{\nabla(4x^1 + 2x^2 - 2x^3 - 1)}{|\nabla(4x^1 + 2x^2 - 2x^3 - 1)|} = \frac{4\mathbf{e}^1 + 2\mathbf{e}^2 - 2\mathbf{e}^3}{\sqrt{(4)^2 + (2)^2 + (2)^2}} = \frac{1}{\sqrt{24}}(4\mathbf{e}^1 + 2\mathbf{e}^2 - 2\mathbf{e}^3)$$

وبعلها نحسب مركبات محصلة الاجهادات الكلية المؤثرة على المستوي الذي ناظمه  $\mathbf{n}$

$$t^i_N = \sigma^{ij}n_j = \frac{1}{\sqrt{24}} \begin{pmatrix} 4 & 2 & -2 \end{pmatrix} \begin{pmatrix} 2. & -2. & 0. \\ -2. & 4. & -2. \\ 0. & -2. & 4. \end{pmatrix} = \frac{1}{\sqrt{24}} \begin{pmatrix} 4 \\ 4 \\ -12 \end{pmatrix}$$

ثم نحسب المركبتين الناطمية  $t_N$  والمماسية  $t_S$

$$t_N = \mathbf{t} \cdot \mathbf{n} = \frac{1}{\sqrt{24}} \begin{pmatrix} 4 & 4 & -12 \end{pmatrix} \frac{1}{\sqrt{24}} \begin{pmatrix} 4 \\ 2 \\ -2 \end{pmatrix} = 2.$$

$$t_S = \sqrt{|\mathbf{t}|^2 - t_N^2} = \sqrt{\frac{176}{24} - 4} = \sqrt{\frac{10}{3}} = 1.8257$$



لنحسب الآن الإجهادات الرئيسية والمساوية لجذور المعادلة المميزة المعين مصفوفة الأمثال:

$$\begin{vmatrix} 2-\lambda & -2. & 0. \\ -2. & 4.-\lambda & -2. \\ 0. & -2. & 4.-\lambda \end{vmatrix} = 0 \quad \text{or} \quad -\lambda^3 + I_1\lambda^2 - I_2\lambda + I_3 = 0$$

$$I_1 = 2 + 4 + 4 = 10$$

$$I_2 = 2 \times 4 + 4 \times 4 + 4 \times 2 - [(-2)^2 + (0)^2 + (-2)^2] = 24$$

$$I_3 = \det \sigma^y = 2(16 - 4) + 2(-8) = 8$$

وتصبح المعادلة المميزة كالتالي:

$$-\lambda^3 + 10\lambda^2 - 24\lambda + 8 = 0$$

نجري التحويل:

$$\bar{\lambda} = \lambda - \frac{10}{3}; \quad \lambda = \bar{\lambda} + \frac{10}{3}$$

فنحصل على المعادلة المبسطة:

$$-\bar{\lambda}^3 - \frac{28}{3}\bar{\lambda} - \frac{56}{27} = 0; \quad y^3 + py + q = 0$$

وتميزها يساوي:

$$\Delta = \left(\frac{q}{2}\right)^2 + \left(\frac{p}{3}\right)^3 = \left(\frac{-56}{2 \times 27}\right)^2 + \left(\frac{-28}{3 \times 3}\right)^3 < 0$$

وبالتالي للمعادلة ثلاث جذور حقيقية نحسب بعد حساب :

$$\cos \varphi = \frac{-\frac{q}{2}}{\sqrt{\left(\frac{|p|}{3}\right)^3}} = \frac{-\left(-\frac{56}{54}\right)}{\sqrt{\left(\frac{-\frac{28}{3}}{3}\right)^3}} = 0.18898; \quad \varphi = 79.1066$$

كالتالي:

$$\bar{\lambda}_1 = 2\sqrt{\left(\frac{|p|}{3}\right)^3} \cos\frac{\varphi}{3} = 3.160626; \quad \lambda_1 = 6.493959$$

$$\bar{\lambda}_2 = 2\sqrt{\left(\frac{|p|}{3}\right)^3} \cos\left(\frac{\varphi}{3} - 60^\circ\right) = -0.223417; \quad \lambda_2 = 3.109916$$

$$\bar{\lambda}_3 = 2\sqrt{\left(\frac{|p|}{3}\right)^3} \cos\left(\frac{\varphi}{3} + 60^\circ\right) = -2.937209; \quad \lambda_3 = 0.396125$$

والقيم (0.396125, 3.109916, 6.493959) هي قيم الإجهادات الرئيسية الثلاثة.

لنحسب الآن نواظم المستويات الرئيسية الموافقة للإجهادات الرئيسية.

تعيين ناظم المستوي الرئيسي الموافق للإجهاد الرئيسي  $\lambda_1 = 6.493959$ :

نعوض هذه القيمة في جملة المعادلات المتجانسة فنحصل على جملة المعادلات لتعيين اتجاهات الناظم

:

$$\begin{pmatrix} 2. - 6.494 & -2. & 0. \\ -2. & 4. - 6.494 & -2. \\ 0. & -2. & 4. - 6.494 \end{pmatrix} \begin{pmatrix} n_1 \\ n_2 \\ n_3 \end{pmatrix} = \begin{pmatrix} -4.494 & -2. & 0. \\ -2. & -2.494 & -2. \\ 0. & -2. & -2.494 \end{pmatrix} \begin{pmatrix} n_1 \\ n_2 \\ n_3 \end{pmatrix} = 0$$

نختار  $n_1 = 1$ . فتكون مركبات الناظم المطلوب كالتالي :

$$\begin{pmatrix} n_1 \\ n_2 \\ n_3 \end{pmatrix} = \begin{pmatrix} 1. \\ 2.247 \\ -1.802 \end{pmatrix}$$

أويمكن حساب مركبات الناظم الواحدي بقسمة مركبات الناظم السابق على جذر مجموع مربع

للمركبات لنحصل على:

$$\begin{pmatrix} n_1 \\ n_2 \\ n_3 \end{pmatrix} = \begin{pmatrix} 0.328 \\ 0.737 \\ -0.591 \end{pmatrix}$$

وبشكل مماثل نحسب النواظم المتبقية فنجد أن الناظم الواحدي الموافق للإجهاد الرئيسي

$\lambda_2 = 3.110$  معطى بالشكل :

$$\begin{pmatrix} n_1 \\ n_2 \\ n_3 \end{pmatrix} = \begin{pmatrix} 0.591 \\ -0.328 \\ -0.737 \end{pmatrix}$$

والناظم الواحدي الموافق للإجهاد الرئيسي  $\lambda_3 = 0.396$  معطى بالشكل :

$$\begin{pmatrix} n_1 \\ n_2 \\ n_3 \end{pmatrix} = \begin{pmatrix} 0.737 \\ 0.391 \\ 0.328 \end{pmatrix}$$

مثال 1-2:

بين نقطتين  $p_1$  و  $p_2$  واقعتين على ارتفاع مختلف و لكن ليس على نفس المحور الشقلولي  $x^2$  ، يطلب البحث عن أقصر منحنى يصل بينهما و الذي إذا تدرجت عليه نقطة مادية تحت تأثير ثقلها فقط قطعت المسافة على المنحنى المطلوب في أقصر زمن ممكن .

الحل:

لنفرض أن معادلة المنحنى :

$$x^2 = x^2(x^1)$$

تعطى سرعة النقطة المادية بالعلاقة:

$$v = \sqrt{2gx^2}$$

والسرعة هي مشتق المسافة بالنسبة للزمن ومنها يمكن حساب الزمن التفاضلي  $dt$  لقطع مسافة

تفاضلية  $ds$ :

$$v = \frac{ds}{dt} \Rightarrow dt = \frac{ds}{v}$$

تحسب المسافة التفاضلية  $ds$  كما نعلم وفق العلاقة:

$$ds = \sqrt{1 + (x^2, x^1)^2} dx^1$$

وبالتالي يكون الزمن التفاضلي  $dt$  لقطع مسافة تفاضلية  $ds$ :

$$dt = \frac{\sqrt{1 + (x^2, x^1)^2}}{\sqrt{2gx^2}} dx^1; \quad t = \frac{1}{\sqrt{2g}} \int_{x^1(1)}^{x^1(2)} \frac{\sqrt{1 + (x^2, x^1)^2}}{\sqrt{x^2}} dx^1$$

معادلة اويلر التفاضلية:

$$F_{,x^2} - \frac{d}{dx^1} F_{,(x^2,x^1)} = 0$$

التابع  $F$  لا يحوي  $x^1$  لذلك يمكن كتابة معادلة اويلر السابقة بالشكل :

$$\frac{dF}{dx^2} - \frac{dF_{,(x^2,x^1)}}{dx^2} \cdot \frac{dx^2}{dx^1} = 0$$

والتي يمكن اختصارها كما يلي:

$$\frac{d}{dx^2} (F - x^2_{,x^1} F_{,(x^2,x^1)}) = 0$$

والتكامل المباشر لهذه المعادلة هو:

$$F - x^2_{,x^1} F_{,(x^2,x^1)} = c$$

نحسب الآن مشتق  $F$  بالنسبة للمشتق  $x^2_{,x^1}$  فنجد أن:

$$F_{,(x^2,x^1)} = \frac{1}{\sqrt{x^2}} \cdot \frac{1}{2} (1 + (x^2_{,x^1})^2)^{-\frac{1}{2}} \cdot 2x^2_{,x^1}$$

وبعد تعويض هذه القيمة وقيمة التابع  $F$  في التكامل المباشر لمعادلة اويلر نحصل على:

$$\frac{\sqrt{1 + (x^2_{,x^1})^2}}{\sqrt{x^2}} - \frac{(x^2_{,x^1})^2}{\sqrt{x^2} \sqrt{1 + (x^2_{,x^1})^2}} = \frac{1}{\sqrt{c_1}}$$

$$(x^2_{,x^1})^2 = \frac{c_1 - x^2}{x^2}$$

بفرض أن:

$$x^2 = \frac{c_1}{2} (1 - \cos u)$$

يكون:

$$x^2_{,x^1} = \frac{c_1}{2} u' \sin u$$

بالتعويض في المعادلة  $(x^2_{,x^1})^2 = \frac{c_1 - x^2}{x^2}$  وفصل متحولات المعادلة الناتجة نحصل على :

$$\frac{c_1}{2}(1 - \cos u)du = \pm dx^1$$

وبإجراء تكامل هذه المعادلة نحصل على التمثيل الوسيط للمنحني المطلوب:

$$x^1 = \pm \frac{c_1}{2}(u - \sin u) + c_2 \quad x^2 = \frac{c_1}{2}(1 - \cos u)$$

وهي المعادلات الوسيطة للمنحني المعروف بالسيكلويد .

مثال 1-3 :

يطلب حل المثال السابق بإجراء تكامل معادلة أويلر التفاضلية بالطريقة الاعتيادية أي دون اللجوء إلى التكامل المباشر .

كما وجدنا يعطى تابعي المسألة المطروحة بالشكل:

$$t = \frac{1}{\sqrt{2g}} \int_{x^1(1)}^{x^1(2)} \frac{\sqrt{1 + (x^2, x^1)^2}}{\sqrt{x^2}} dx^1$$

أي أن تابع لاغرنج F يكافئ بعد استبعاد الثابت  $\frac{1}{\sqrt{2g}}$  ، الذي يختزل عند التعويض في معادلة

أويلر، مايلي:

$$F = \frac{\sqrt{1 + (x^2, x^1)^2}}{\sqrt{x^2}} dx^1$$

وبهذا يصبح الحد الأول من معادلة أويلر التفاضلية كالتالي:

$$F_{,x^2} = - \frac{\sqrt{1 + (x^2, x^1)^2}}{2(x^2)^{3/2}}$$

ويصبح الحد الثاني بعد إتمام عملية الاشتقاق الجزئي بالنسبة للمشتق  $x^2, x^1$  ، والتام بالنسبة للمتحول المستقل  $x^1$  كما يلي:

$$\frac{d}{dx^1} F_{,(x^2,x^1)} = -\frac{(x^2,x^1)^2}{2(x^2)^{3/2}\sqrt{1+(x^2,x^1)^2}} + \frac{x^2,x^1}{(x^2)^{1/2}[1+(x^2,x^1)^2]^{3/2}}$$

وبالتعويض في معادلة اويلر نحصل على:

$$-\frac{\sqrt{1+(x^2,x^1)^2}}{2(x^2)^{3/2}} - \left[ -\frac{(x^2,x^1)^2}{2(x^2)^{3/2}\sqrt{1+(x^2,x^1)^2}} + \frac{x^2,x^1}{(x^2)^{1/2}[1+(x^2,x^1)^2]^{3/2}} \right] = 0$$

وبتوحيد المخارج وإجراء بعض الاختصارات نتتج لدينا المعادلة التفاضلية التالية:

$$2x^2 \cdot x^2,x^1x^1 + (x^2,x^1)^2 + 1 = 0$$

وهي معادلة تفاضلية من الشكل:

$$\phi(y, y', y'') = 0$$

حيث استبدلنا الرمز  $x^2$  بالرمز  $y$

$$2y \cdot y_{xx} + y'^2_x + 1 = 0$$

هذه المعادلة خالية من المتحول  $x$  نقوم بتخفيض مرتبتها بفرض أن :

$$\frac{dy}{dx} = Z(y) \quad y_{xx} = \frac{d^2y}{dx^2} = \frac{dz}{dx} = \frac{dz}{dy} \cdot \frac{dy}{dx} = Z_y Z$$

وهذا تتحول المعادلة التفاضلية من المرتبة الثانية إلى معادلة من المرتبة الأولى:

$$2 \cdot y \cdot Z \cdot Z_y + Z^2 + 1 = 0$$

نقوم الآن بفصل متحولات هذه الأخيرة لتصبح:

$$-\frac{dy}{y} = \frac{2Z \cdot dZ}{1+Z^2}$$

نجز تكامل طرفي المعادلة السابقة لنحصل على:

$$\ln c_1 + \ln \frac{1}{Y} = \int \frac{2Z \cdot dZ}{1+Z^2} = \ln(1+Z^2); \quad y = \frac{c_1}{1+Z^2}$$

بفرض أن:

$$\frac{dy}{dx} = Z = \text{tg} \frac{u}{2}$$

نحصل باستخدام العلاقات المثلثية على:

$$y = \frac{c_1}{1 + \operatorname{tg}^2 \frac{u}{2}} = c_1 \cos^2 \frac{u}{2} = \frac{c_1}{2} (1 - \cos u)$$

ومشتق هذا التابع بالنسبة للمتحول  $x$  هو:

$$\frac{dy}{dx} = \frac{dy}{du} \frac{du}{dx} = \frac{c_1}{2} \sin u \frac{du}{dx} = Z = \operatorname{tg} \frac{u}{2}$$

ومن العلاقة السابقة نحصل على  $dx$  بدلالة  $u$

$$dx = \frac{\frac{c_1}{2} \sin u du}{\operatorname{tg} \frac{u}{2}} = \frac{\frac{c_1}{2} 2 \sin \frac{u}{2} \cos \frac{u}{2} du}{\operatorname{tg} \frac{u}{2}} = c_1 \cos^2 \frac{u}{2} = \frac{c_1}{2} (1 - \cos u) du$$

وبعد إنجاز تكامل الطرفين ينتج:

$$x = \frac{c_1}{2} (u - \sin u) + c_2$$

وبالتالي يتمثل المنحني الناتج عن تكامل معادلة اويلر وسيطياً بالمعادلتين التاليتين:

$$x = \frac{c_1}{2} (u - \sin u) + c_2$$

$$y = \frac{c_1}{2} (1 - \cos u)$$

وهما المعادلتان الوسيطتان للسيكلويد .

#### مثال 4-1:

من بين كل المنحنيات الواقعة في المستوي  $(x^1, x^2)$  و التي تربط بين النقطتين  $p_1, p_0$  الواقعتين فيه يطلب البحث عن ذلك الذي إذا دار حول المحور  $x^1$  ولّد أصغر مساحة ممكنة . يعطى تفاضل الطول المنحني كما رأينا بالشكل:

$$ds = \sqrt{(dx^1)^2 + (dx^2)^2} = \sqrt{1 + \left(\frac{dx^2}{dx^1}\right)^2} dx^1$$

ويكون تفاضل المساحة الناتجة عن دوران المنحني حول المحور  $x^1$  كما يلي:

$$dA = 2\pi x^2 ds = 2\pi x^2 \sqrt{1 + \left(\frac{dx^2}{dx^1}\right)^2} dx^1$$

وبالتالي تكون المساحة الناتجة عن الدوران:

$$A = \int_{x^1(0)}^{x^1(1)} 2\pi x^2 \sqrt{1 + (x^2, x^1)^2} dx^1$$

نعتبر أن التابع بالشكل :

$$I = \int_{x^1(0)}^{x^1(1)} x^2 \sqrt{1 + (x^2, x^1)^2} dx^1$$

التابع  $F$  لا يحوي بشكل صريح على  $x^1$  فالتكامل المباشر لمعادلة اولر التفاضلية يعطي:

$$F - (x^2, x^1) F_{(x^2, x^1)} = c$$

ولكن لدينا:

$$F_{(x^2, x^1)} = \frac{x^2 \cdot 2(x^2, x^1)}{2\sqrt{1 + (x^2, x^1)^2}} = \frac{x^2 \cdot (x^2, x^1)}{\sqrt{1 + (x^2, x^1)^2}}$$

وهذا يفضي إلى المعادلة التالية:

$$x^2 \sqrt{1 + (x^2, x^1)^2} - \frac{x^2 \cdot (x^2, x^1)^2}{\sqrt{1 + (x^2, x^1)^2}} = c_1$$

والتي تصبح بعد الاختصار وفصل متحولاتها كالتالي:

$$\frac{c_1 dx^2}{\sqrt{(x^2)^2 - c_1^2}} = dx^1$$

وبعد إنجاز تكامل الطرفين وإجراء بعض العمليات الرياضية نحصل على معادلة المنحني المطلوب

$$x^1 - c_2 = c_1 \ln(x^2 + \sqrt{(x^2)^2 - (c_1)^2}) - c_1 \ln c_1; \quad x^2 + \sqrt{(x^2)^2 - (c_1)^2} = c_1 e^{\frac{x^1 - c_2}{c_1}}$$

$$x^2 = \frac{c_1}{2} \left( e^{\frac{x^1 - c_2}{c_1}} + e^{-\frac{x^1 - c_2}{c_1}} \right) = c_1 \cosh \frac{x^1 - c_2}{c_1}$$

وهي معادلة منحنى جيبي قطعي .



## مثال 1-5:

تعطى الطاقة الكامنة لحالة جاذب طوله 1 يعمل فقط على الانعطاف ومعرض لحمولة موزعة  $\bar{q}$  بالشكل:

$$\Pi = \frac{1}{2} \int_0^1 w_{,xx} EI w_{,xx} dx - \int_0^1 \bar{q} w dx$$

حيث  $w$  سهم الانعطاف للجاذب. والمطلوب:

- إيجاد المتغير الأول للتابعي  $\Pi$
- إيجاد معادلة اويلر الموافقة لشرط انعدام المتغير الأول للتابعي  $\Pi$
- استنتاج الشروط الطرفية التي يجب أن يحققها تابع الإنتقالات  $w$

يعطى المتغير الأول للتابعي  $\Pi$  بالشكل:

$$\delta \Pi = \int_0^1 w_{,xx} EI \delta w_{,xx} dx - \int_0^1 \bar{q} \delta w dx = 0$$

للحصول على معادلة اويلر نبدأ بتحويل الحد الأول باستخدام قاعدة مشتق جداء مضارب ومبرهنة غاوص

$$\begin{aligned} \int_0^1 (w_{,xx} EI \delta w_{,x})_{,x} dx &= \int_0^1 w_{,xx} EI \delta w_{,xx} dx + \int_0^1 (w_{,xx} EI)_{,x} \delta w_{,x} dx \\ \int_0^1 w_{,xx} EI \delta w_{,xx} dx &= w_{,xx} EI \delta w_{,x} \Big|_0^1 - \int_0^1 (w_{,xx} EI)_{,x} \delta w_{,x} dx \end{aligned}$$

بمعاملة الحد الأخير من العلاقة السابقة بنفس الأسلوب على غرار ما سبق نحصل على:

$$\begin{aligned} \int_0^1 [(w_{,xx} EI)_{,x} \delta w]_{,x} dx &= \int_0^1 (w_{,xx} EI)_{,xx} \delta w dx + \int_0^1 (w_{,xx} EI)_{,x} \delta w_{,x} dx \\ - \int_0^1 (w_{,xx} EI)_{,x} \delta w_{,x} dx &= -(w_{,xx} EI)_{,x} \delta w \Big|_0^1 + \int_0^1 (w_{,xx} EI)_{,xx} \delta w dx + \end{aligned}$$

ويصبح الحد الأول المذكور كالتالي:

$$\int_0^1 w_{,xx} EI \delta w_{,xx} dx = w_{,xx} EI \delta w_{,x} \Big|_0^1 - (w_{,xx} EI)_{,x} \delta w \Big|_0^1 + \int_0^1 (w_{,xx} EI)_{,xx} \delta w dx$$

بالعودة إلى العلاقة الأساسية التي تحدد المتغير الأول وتعويض العلاقة الأخيرة فيها وإخراج  $\delta$  خارج الأقواس نحصل على المعادلة التالية:

$$\delta \Pi = \int_0^1 (w_{,xx} EI)_{,xx} - \bar{q} \delta w dx + w_{,xx} EI \delta w_{,x} \Big|_0^1 - (w_{,xx} EI)_{,x} \delta w \Big|_0^1 = 0$$

وتكون معادلة اويلر الموافقة لشرط انعدام المتغير الأول للتابعي  $\Pi$  كالآتي:

$$(w_{,xx} EI)_{,xx} - \bar{q} = 0; \quad \frac{d^2}{dx^2} (EI w_{,xx}) - \bar{q} = 0$$

وحتى تكون معادلة اويلر السابقة مكافئة للصفر يجب أن تتحقق الشروط الطرفية التالية:

$$\delta w_{,x}(x=0) = \delta w_{,x}(x=1) = 0$$

$$\delta w(x=0) = \delta w(x=1) = 0$$

## 11-1- المصادر العلمية

- 1 . Mueller, H .  
Baumechanik ( Stabtragwerke ), Lehrbriefe (1-10 ) Zentralstelle fuer  
Hochschulfernstudium , Dresden 1982 .
- 2 . Goldner , H . ; Holzweiszg , F .  
Leitfaden der technischen Mechanik  
Fachbuchverlag , Leipzig 1982 .
- 3 . Reddy , J . N .  
Energy and Variational Methods in Applied Mechanics with an

- Introduction to The Finite Element Method .  
 John Wiley and Sohn , New York . Chister . Brisbane Toronto  
 . Singapore ,1984 .
- 4 . Smirnow , W , I .  
 Lehrgang der Hoeheren Mathematik , IV/1  
 Deutscher Verlag der Wissenschaften , Berlin 1988 .
- 5 . Klingbeil , E .  
 Tensorrechnung fuer Ingenieure , BI Hochschultaschenbuecher Band  
 197 , Wissenschaftsverlag Mannheim /Wien/ Zuerich , 1989 .



## 2- معادلات نظرية المرونة في جملة الإحداثيات الديكارتية

تبين من الفصل الأول أنه لنسب مجاهيل نظرية المرونة اختيرت جملتان إحداثيتان إحداها سميت جملة القاعدة الأساسية محاورها الإحداثية  $x^1, x^2, x^3$  وأشعتها المرتبطة بها  $e_1, e_2, e_3$  والأخرى سميت جملة القاعدة الضدية محاورها الإحداثية  $x_1, x_2, x_3$  وأشعتها المرتبطة بها  $e^1, e^2, e^3$ ، وهاتان الجملتان متطابقتان في حالة الجمل الإحداثية الديكارتية المتعامدة النظامية وطويلة أشعتها المرتبطة بهما هي واحدة الطول. ويمكن نسب مجاهيل نظرية المرونة إلى إحدى الجملتين أو كليهما ويمكن الانتقال بواسطة دساتير التحويل بين الجمل الإحداثية المختلفة. وقد جرت العادة أن تنسب الانتقالات والتشوهات أو ما يسمى بالمجاهيل الحركية (الكينماتيكية) لنظرية المرونة إلى جملة القاعدة الضدية، فالمركبات الثلاثة لانتقال نقطة ما من وسط إنشائي  $u_1, u_2, u_3$  في اتجاه المحاور الإحداثية الثلاثة  $x_1, x_2, x_3$  على التوالي والتي تحدد الوضعية الانتقالية لنقطة ما تحديداً تاماً تكتب قرائنها في الأسفل و يعبر عنها اختصاراً بـ  $u_i$ . كما أن مركبات التشوهات التي تحدد وضعية الوسط الإنشائي المتشوه هي تسعة تشوهات وعدد التشوهات المستقلة منها ستة فقط بسبب خاصية التناظر، ثلاثة منها تشوهات ناظمة و ثلاثة أخرى تشوهات مماسية وترتب هذه التشوهات في مصفوفة ما يسمى بمصفوفة موثرة التشوهات  $\varepsilon_{ij}$ . أما بالنسبة للإجهادات المجهولة و التي تحدد الحالة الإجهادية للجسم المتشوه فهي تسعة إجهادات ستة منها مستقلة فقط وهي تنسب عادة إلى جملة القاعدة الأساسية ولذلك تكتب قرائنها في الأعلى وترتب عادة في مصفوفة ما يسمى بمصفوفة موثرة الإجهادات  $\sigma^{ij}$ . وباختصار يلزم في نظرية المرونة لتعيين الحالة الانتقالية وحالة التشوهات و الحالة الإجهادية في جسم ما حساب خمسة عشر مجهولاً وهي:

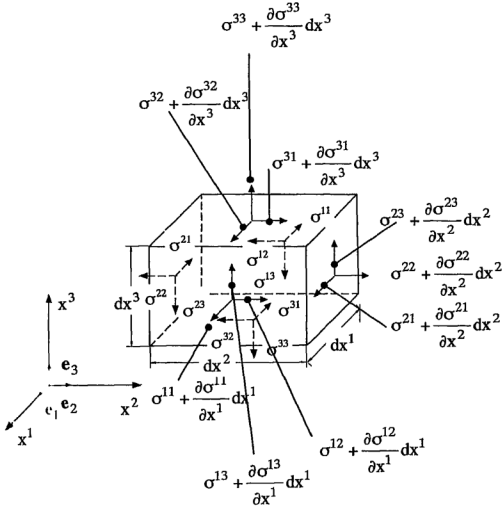
- ثلاث انتقالات  $u_i$

- ستة تشوهات  $\varepsilon_{ij} = \varepsilon_{ji}$

- ستة إجهادات  $\sigma^{ij} = \sigma^{ji}$

ولتعيين هذه المجاهيل لدينا مجموعة من المعادلات التفاضلية والجبرية وعددها خمسة عشر معادلة تحدها معادلات التوازن و علاقات التشوهات - الانتقالات و قانون السلوك تعرض فيما يلي:

## 1-2- معادلات التوازن



شكل (1-2) : تزايد الإجهادات في متوازي مستطيلات بأبعاد تفاضلية

نقتطع من الجسم المنسوب إلى جملة القاعدة الأساسية عنصرا حجميا بشكل متوازي مستطيلات متناهي في الصغر ، أطوال أضلاعه هي التفاضلات  $dx^1, dx^2, dx^3$  . كل وجهين من وجوهه

عمودين على أحد المحاور الإحداثية و موازيين بالتالي للمستوي المشكل بالمحورين الآخرين . لرصد تغير توابع الإجهادات في البداية مثلا باتجاه المحور الإحداثي  $x^1$  ننشر توابع الإجهادات المؤثرة على وجه متوازي للمستطيلات العمودي على المحور  $x^1$  و هي  $\sigma^{11}, \sigma^{12}, \sigma^{13}$  وذلك باتجاه المحور  $x^1$  وفق سلسلة تايلور

$$\begin{aligned}\sigma^{11}(x^1 + dx^1, x^2, x^3) &= \sigma^{11}(x^1, x^2, x^3) + \frac{\partial \sigma^{11}}{\partial x^1} \frac{dx^1}{1!} + \frac{\partial^2 \sigma^{11}}{(\partial x^1)^2} \frac{(dx^1)^2}{2!} + \dots \\ \sigma^{12}(x^1 + dx^1, x^2, x^3) &= \sigma^{12}(x^1, x^2, x^3) + \frac{\partial \sigma^{12}}{\partial x^1} \frac{dx^1}{1!} + \frac{\partial^2 \sigma^{12}}{(\partial x^1)^2} \frac{(dx^1)^2}{2!} + \dots \\ \sigma^{13}(x^1 + dx^1, x^2, x^3) &= \sigma^{13}(x^1, x^2, x^3) + \frac{\partial \sigma^{13}}{\partial x^1} \frac{dx^1}{1!} + \frac{\partial^2 \sigma^{13}}{(\partial x^1)^2} \frac{(dx^1)^2}{2!} + \dots\end{aligned}\quad (2.1)$$

و بشكل مماثل نحصل على تغير توابع الإجهادات باتجاه المحورين الآخرين  $x^2, x^3$  . بعد إهمال كافة حدود المراتب العليا في سلسلة تايلور نحصل على الحالة الإجهادية المبينة في الشكل (2-1) .  
نفترض أن محصلة القوى الحجمية المؤثرة على واحدة الحجم من الجسم هي  $\bar{f}$  و أن مركبات هذه المحصلة في اتجاه المحاور الإحداثية  $x^1, x^2, x^3$  هي على التوالي  $\bar{f}^1, \bar{f}^2, \bar{f}^3$  ، نحصل بكتابة معادلة القوى المؤثرة على متوازي المستطيلات باتجاه المحور  $x^1$  على المعادلة التالية :

$$\begin{aligned}(\sigma^{11} + \frac{\partial \sigma^{11}}{\partial x^1} dx^1) dx^2 dx^3 + (\sigma^{21} + \frac{\partial \sigma^{12}}{\partial x^2} dx^2) dx^1 dx^3 + \sigma^{31} + \frac{\partial \sigma^{31}}{\partial x^3} dx^3) dx^1 dx^2 \\ - \sigma^{11} dx^2 dx^3 - \sigma^{21} dx^1 dx^3 - \sigma^{31} dx^1 dx^2 - \bar{f}^1 dx^1 dx^2 dx^3 = 0\end{aligned}\quad (2.2 - a')$$

و بالاختصار و القسمة على  $dx^1 dx^2 dx^3$  ينتج :

$$\frac{\partial \sigma^{11}}{\partial x^1} + \frac{\partial \sigma^{21}}{\partial x^2} + \frac{\partial \sigma^{31}}{\partial x^3} + \bar{f}^1 = 0\quad (2.2 - a)$$

و بشكل مماثل نحصل بكتابة معادلة توازن القوى في اتجاه المحورين الآخرين  $x^2, x^3$  على :

$$\frac{\partial \sigma^{12}}{\partial x^1} + \frac{\partial \sigma^{22}}{\partial x^2} + \frac{\partial \sigma^{32}}{\partial x^3} + \bar{f}^2 = 0\quad (2.2-b)$$

$$\frac{\partial \sigma^{13}}{\partial x^1} + \frac{\partial \sigma^{23}}{\partial x^2} + \frac{\partial \sigma^{33}}{\partial x^3} + \bar{f}^3 = 0\quad (2.2-c)$$

المعادلات الثلاثة (2.2-c) ، (2.2-b) ، (2.2-a) تأخذ باستخدام طريقة الكتابة بالقرائن الشكل :

$$\frac{\partial \sigma^{ji}}{\partial x^j} + \bar{f}^i = 0 \quad (2.2)$$

و إذا كتبنا الحد  $\frac{\partial \sigma^{ji}}{\partial x^j}$  بالشكل  $j, \sigma^{ji}$  (كتابة قرينة الاشتقاق في الأسفل جوهريّة ) نأخذ المعادلة السابقة الشكل :

$$\sigma^{ji}, j + \bar{f}^i = 0 \quad (2.3)$$

إن تطبيق معادلات عزوم القوى حول ثلاثة محاور مارة بمركز ثقل متوازي المستطيلات و موازية للمحاور  $x^1, x^2, x^3$  على التوالي تعطينا خاصية تناظر الإجهادات الآنفه الذكر . و هذه المعادلات هي على التوالي :

$$\begin{aligned} \sigma^{23} &= \sigma^{32} \\ \sigma^{31} &= \sigma^{13} \\ \sigma^{12} &= \sigma^{21} \end{aligned} \quad (2.4)$$

أو

$$\sigma^{ji} = \sigma^{ij} \quad (2.5)$$

و بالتالي تقدم لنا علاقات التوازن ثلاث معادلات فقط من أجل حساب مجاهيل نظرية المرونة الخمسة عشر و تصاغ هذه العلاقات بالشكل :

$$\sigma^{ji}, j + \bar{f}^i = 0 \quad (2.6)$$

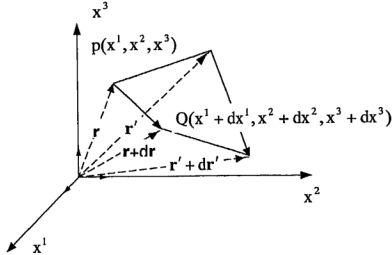
من الواضح أن معادلات التوازن الثلاثة هذه غير كافية لحساب الإجهادات الستة المجهولة .

## 2-2- علاقات التشوهات - الانتقالات

من المعلوم أنه لتعيين الحالة الانتقالية لجسم متشوه يلزمنا معرفة مركبات الانتقالات في اتجاه المحاور الإحداثية لكل نقطة من نقاط الجسم ، أما وضعية التشوه فيلزمنا لتحديدّها تحديدا تاما معرفة



الانتقالات النسبية بين أي نقطتين متجاورتين تفاضليا حيث يكون البعد بينهما مختلف بمقدار تفاضلي فقط. وهذا يقتضي أن تبقى الارتباطات الداخلية للجسم مصانة ولا يحدث أي كسر



شكل 2-2 ليف من الجسم قبل وبعد التشوه

بين أجزاء الجسم. لنفرض أن النقطتين  $Q(x^1 + dx^1, x^2 + dx^2, x^3 + dx^3)$  و  $p(x^1, x^2, x^3)$  متجاورتين تفاضليا و البعد بينهما  $ds$ ، قد انتقلنا بعد وضع التشوه إلى الوضعية الجديدة حيث أصبح البعد بينهما  $ds'$  شكل (2-2)، و لنفرض أن مركبات انتقالات النقطة  $p$  هي  $u^i$  فالشعاع :

$$u = u^1 e_1 + u^2 e_2 + u^3 e_3 = u^i e_i \quad (2.7)$$

يحدد الوضعية الانتقالية للنقطة  $p$  تماما . سوف نعتبر في البدء مركبات الإجهادات  $u_i$  شعاع المكان للنقطة  $p$  هو :

$$r = x^1 e_1 + x^2 e_2 + x^3 e_3 = x^i e_i \quad (2.8-a)$$

و للنقطة  $p'$  هو :

$$r' = r + u \quad (2.8-b)$$

البعد  $ds$  بين النقطتين  $p$  و  $Q$  هو الجذر التربيعي لتزايد شعاع المكان  $dr$

و يمكن حسابه بأخذ الجذر التربيعي للجداء السلمي :

$$\mathbf{dr} = dx^1 \mathbf{e}_1 + dx^2 \mathbf{e}_2 + dx^3 \mathbf{e}_3 = dx^i \mathbf{e}_i \equiv dx^i \mathbf{e}_j \quad (2.9)$$

$$\begin{aligned} \mathbf{dr} \cdot \mathbf{dr} &= dx^1 dx^1 \mathbf{e}_1 \mathbf{e}_1 + dx^1 dx^2 \mathbf{e}_1 \mathbf{e}_2 + dx^1 dx^3 \mathbf{e}_1 \mathbf{e}_3 \\ &+ dx^2 dx^1 \mathbf{e}_2 \mathbf{e}_1 + dx^2 dx^2 \mathbf{e}_2 \mathbf{e}_2 + dx^2 dx^3 \mathbf{e}_2 \mathbf{e}_3 \\ &+ dx^3 dx^1 \mathbf{e}_3 \mathbf{e}_1 + dx^3 dx^2 \mathbf{e}_3 \mathbf{e}_2 + dx^3 dx^3 \mathbf{e}_3 \mathbf{e}_3 \\ &= dx^i dx^j \mathbf{e}_i \mathbf{e}_j \end{aligned} \quad (2.10)$$

وملاحظة العلاقة (1.6) يعبر عن الجداء السلمي السابق بالشكل

$$(ds)^2 = \mathbf{dr} \cdot \mathbf{dr} = dx^i dx^j \delta_{ij} \quad (2.11)$$

التباعد بين النقطتين  $p'$  و  $Q'$  يحدده الشعاع  $\mathbf{dr}'$

$$\mathbf{dr}' = \mathbf{dr} + \mathbf{du} \quad (2.12)$$

$\mathbf{du}$  هو التفاضل الكلي للشعاع  $\mathbf{u}$  و يساوي التفاضل الكلي لمركباته:

$$\mathbf{du} = du^1 \mathbf{e}_1 + du^2 \mathbf{e}_2 + du^3 \mathbf{e}_3 = du^i \mathbf{e}_i \quad (2.13)$$

التفاضل الكلي للمركبة الأولى  $du^1$  هو :

$$du^1 = \frac{\partial u^1}{\partial x^1} dx^1 + \frac{\partial u^1}{\partial x^2} dx^2 + \frac{\partial u^1}{\partial x^3} dx^3 = \frac{\partial u^1}{\partial x^j} dx^j \quad (2.14)$$

و بشكل مماثل نحصل على التفاضل الكلي للمركبتين الأخريين :

$$du^2 = \frac{\partial u^2}{\partial x^j} dx^j \quad (2.15)$$

$$du^3 = \frac{\partial u^3}{\partial x^j} dx^j$$

و منه يصبح التفاضل الكلي للشعاع  $\mathbf{du}$  :

$$\mathbf{du} = \frac{\partial u^i}{\partial x^j} dx^j \mathbf{e}_i \quad (2.16)$$

و الشعاع  $\mathbf{dr}'$  يأخذ الشكل :

$$\mathbf{dr}' = dx^i e_i + \frac{\partial u^i}{\partial x^j} dx^j e_i = dx^m e_m + \frac{\partial u_m}{\partial x^n} dx^n e_n \quad (2.17)$$

نشكل الآن الجداء السلمي  $\mathbf{dr}' \cdot \mathbf{dr}'$  الذي هو مربع للمسافة بين  $p'$  و  $Q'$  أي :

$$\begin{aligned} (ds')^2 = \mathbf{dr}' \cdot \mathbf{dr}' &= dx^i dx^m \delta_{im} + \frac{\partial u^i}{\partial x^j} dx^j dx^m \delta_{im} \\ &+ \frac{\partial u^m}{\partial x^n} dx^n dx^i \delta_{im} + \frac{\partial u^i}{\partial x^j} \frac{\partial u^m}{\partial x^n} dx^j dx^n \delta_{im} \end{aligned} \quad (2.18)$$

نلاحظ أنه في التركيب السابق قد دخلت قرائن متعددة و هي  $i,j,m,n$  وكلها تأخذ القيم 1,2,3 . نحاول الآن إعادة صياغة هذا التركيب بحيث نستخدم قرائن متجانسة في حدوده . الحد الأول من هذا التركيب يمكن صياغته بالشكل :

$$dx^i dx^m \delta_{im} = dx^i dx^j \delta_{ij} \quad (2.19)$$

و الحدان الثاني و الثالث تعاد صياغتهما بالإستعانة بالعلاقة (1.17) .

$$\frac{\partial u^i}{\partial x^j} dx^j dx^m \delta_{im} = \frac{\partial u_m}{\partial x^j} dx^j dx^m = \frac{\partial u_i}{\partial x^j} dx^i dx^j \quad (2.20)$$

$$\frac{\partial u^m}{\partial x^n} dx^n dx^i \delta_{im} = \frac{\partial u_i}{\partial x^n} dx^n dx^i = \frac{\partial u_j}{\partial x^i} dx^i dx^j \quad (2.21)$$

أما الحد الأخير فيصاغ بالشكل :

$$\frac{\partial u^i}{\partial x^j} \frac{\partial u^m}{\partial x^n} dx^j dx^n \delta_{im} = \frac{\partial u_m}{\partial x^j} \frac{\partial u^m}{\partial x^n} dx^j dx^n = \frac{\partial u_m}{\partial x^i} \frac{\partial u^m}{\partial x^j} dx^i dx^j \quad (2.22)$$

يمكن التأكد من صحة هذه العلاقات بفك التراكييب السابقة مع مراعاة القرائن المستقلة و القرائن

التي يتم عليها الجمع إضافة إلى ملاحظة أن قرينة الاشتقاق  $\frac{\partial u_i}{\partial x^j}$  تكتب في الأسفل أي بالشكل

$u_{ij}$  . و تصبح العلاقة (2.18) مكافئة للصيغة :

$$(ds')^2 = dx^i dx^j \delta_{ij} + \frac{\partial u_i}{\partial x^j} dx^i dx^j + \frac{\partial u_j}{\partial x^i} dx^i dx^j + \frac{\partial u_m}{\partial x^i} \frac{\partial u^m}{\partial x^j} dx^i dx^j \quad (2.23)$$

إن مربع التطاول الذي حصل بين  $p$  و  $Q$  عند انتقالهما إلى الوضعية الجديدة  $p'$  و  $Q'$  هو :

$$(ds')^2 - (ds)^2 = \frac{\partial u_i}{\partial x^j} dx^i dx^j + \frac{\partial u_j}{\partial x^i} dx^i dx^j + \frac{\partial u_m}{\partial x^i} \frac{\partial u^m}{\partial x^j} dx^i dx^j$$

$$= \left( \frac{\partial u_i}{\partial x^j} + \frac{\partial u_j}{\partial x^i} + \frac{\partial u_m}{\partial x^i} \frac{\partial u^m}{\partial x^j} \right) dx^i dx^j \quad (2.24)$$

نعرف الآن موتر غرين Green للتشوهات :

$$(ds')^2 - (ds)^2 = 2\varepsilon_{ij} dx^i dx^j \quad (2.25)$$

بالمقارنة بين العلاقتين (2.24) و (2.25) نحصل على موتر التشوهات :

$$\begin{aligned} \varepsilon_{ij} &= \frac{1}{2} \left( \frac{\partial u_i}{\partial x^j} + \frac{\partial u_j}{\partial x^i} + \frac{\partial u_m}{\partial x^i} \frac{\partial u^m}{\partial x^j} \right) \\ &= \frac{1}{2} (u_{i,j} + u_{j,i} + u_{m,i} u^m_{,j}) \end{aligned} \quad (2.26)$$

ينشر هذه العلاقة مع الأخذ بعين الاعتبار أن مركبات الانتقالات المنسوبة إلى جملة القاعدة الأساسية وإلى جملة القاعدة الضدية هي نفسها في حالة الجمل الإحداثية الديكارتية ويظهر الاختلاف فيهما فقط في حالة الإحداثيات المنحنية، نحصل على ست علاقات ( بسبب خاصية التناظر  $\varepsilon_{ij} = \varepsilon_{ji}$  ) والمعروفة بعلاقات التشوهات الانتقالات في حالة السلوك الهندسي غير الخطي.

$$\begin{aligned} \varepsilon_{11} &= \frac{\partial u_1}{\partial x^1} + \frac{1}{2} \left[ \left( \frac{\partial u_1}{\partial x^1} \right)^2 + \left( \frac{\partial u_2}{\partial x^1} \right)^2 + \left( \frac{\partial u_3}{\partial x^1} \right)^2 \right] \\ \varepsilon_{22} &= \frac{\partial u_2}{\partial x^2} + \frac{1}{2} \left[ \left( \frac{\partial u_1}{\partial x^2} \right)^2 + \left( \frac{\partial u_2}{\partial x^2} \right)^2 + \left( \frac{\partial u_3}{\partial x^2} \right)^2 \right] \\ \varepsilon_{33} &= \frac{\partial u_3}{\partial x^3} + \frac{1}{2} \left[ \left( \frac{\partial u_1}{\partial x^3} \right)^2 + \left( \frac{\partial u_2}{\partial x^3} \right)^2 + \left( \frac{\partial u_3}{\partial x^3} \right)^2 \right] \\ \varepsilon_{12} &= \frac{1}{2} \left( \frac{\partial u_1}{\partial x^2} + \frac{\partial u_2}{\partial x^1} + \frac{\partial u_1}{\partial x^1} \frac{\partial u_1}{\partial x^2} + \frac{\partial u_2}{\partial x^1} \frac{\partial u_2}{\partial x^2} + \frac{\partial u_3}{\partial x^1} \frac{\partial u_3}{\partial x^2} \right) \\ \varepsilon_{23} &= \frac{1}{2} \left( \frac{\partial u_2}{\partial x^3} + \frac{\partial u_3}{\partial x^2} + \frac{\partial u_1}{\partial x^2} \frac{\partial u_1}{\partial x^3} + \frac{\partial u_2}{\partial x^2} \frac{\partial u_2}{\partial x^3} + \frac{\partial u_3}{\partial x^2} \frac{\partial u_3}{\partial x^3} \right); \\ \varepsilon_{31} &= \frac{1}{2} \left( \frac{\partial u_3}{\partial x^1} + \frac{\partial u_1}{\partial x^3} + \frac{\partial u_1}{\partial x^1} \frac{\partial u_1}{\partial x^3} + \frac{\partial u_2}{\partial x^1} \frac{\partial u_2}{\partial x^3} + \frac{\partial u_3}{\partial x^1} \frac{\partial u_3}{\partial x^3} \right) \end{aligned} \quad (2.27)$$

إذا اعتبرنا أن مشتقات الانتقالات صغيرة جدا أو أصغر بكثير من الواحد فيمكن إهمال جداءاتها

مع بعضها البعض

$$\frac{\partial u_m}{\partial x^i} \langle 1; \left( \frac{\partial u_m}{\partial x^i} \frac{\partial u^m}{\partial x^j} \right) \approx 0 \quad (2.28)$$

وتبسط العلاقات السابقة إلى :

$$\begin{aligned}\varepsilon_{11} &= \frac{\partial u_1}{\partial x^1}; \quad \varepsilon_{12} = \frac{1}{2} \left( \frac{\partial u_1}{\partial x^2} + \frac{\partial u_2}{\partial x^1} \right) \\ \varepsilon_{22} &= \frac{\partial u_2}{\partial x^2}; \quad \varepsilon_{23} = \frac{1}{2} \left( \frac{\partial u_2}{\partial x^3} + \frac{\partial u_3}{\partial x^2} \right); \quad \text{or} \quad \varepsilon_{ij} = \frac{1}{2} \left( \frac{\partial u_i}{\partial x^j} + \frac{\partial u_j}{\partial x^i} \right) = \frac{1}{2} (u_{i,j} + u_{j,i}) \\ \varepsilon_{33} &= \frac{\partial u_3}{\partial x^3}; \quad \varepsilon_{31} = \frac{1}{2} \left( \frac{\partial u_3}{\partial x^1} + \frac{\partial u_1}{\partial x^3} \right)\end{aligned}\quad (2.29)$$

وهي العلاقات المعروفة في مجال ميكانيك الإنشاءات الخطي (حالة السلوك الهندسي الخطي). وهذه العلاقات هي الأخرى ست معادلات تفاضلية جزئية نستطيع فيها تعيين كافة التشوهات المجهولة إذا ما علمت مركبات الانتقال الثلاثة .

## 2-3- قانون المادة

قانون المادة هي علاقات تربط بين حالة الإجهادات و حالة التشوهات الحاصلة في جسم ما. وفي مجال ميكانيك الإنشاءات الخطي يفترض أن تكون مادة الإنشاءات قيد الدراسة متجانسة أي أن خواص هذه المادة لا تتغير من نقطة إلى أخرى . كما سنفترض أن خواص المادة في نقطة ما واحدة في كل الاتجاهات و لا تتغير بتغير الاتجاه و يقال عندها أن المادة متناحية *isothrope* وسوف نعتبر هنا أيضا أن المادة مرنة . و هذه الخاصية تقتضي بأن تنعدم الإجهادات و التشوهات الناجمة عن حولات ما عند إزالة هذه الحمولات . أسهل افتراض لسلوك المادة هو السلوك الخطي الذي يعبر عنه بقانون هوك *Hooke* و الشكل العام له هو :

$$\sigma^{ij} = c^{ijkl} \varepsilon_{kl} \quad (2.30)$$

حيث  $c^{ijkl}$  هي معاملات المرونة للمادة . عدد هذه المعاملات وفق للعلاقة (2.30) هي 81 معامل باعتبار أن كل قرينة تأخذ القيم 1,2,3 على التوالي . غير أن خاصية تناظر الإجهادات تقتضي بأن تكون المعاملات  $c^{ijkl}$  مساوية للمعاملات  $c^{jikl}$  و خاصية تناظر التشوهات تقتضي بأن تكون المعاملات  $c^{ijkl}$  مساوية للمعاملات  $c^{jilk}$  و بالتالي يكون عدد المعاملات المستقلة

فقط 36 معاملا. عدد المعادلات التي تعطيها العلاقة (2.30) دون اعتبار التناظر هي تسع معادلات حيث  $i, j$  قرائن مستقلة لا يجري عليها الجمع بينما  $k$  قرائن يجري عليها الجمع. و باعتبار خواص التناظر يصبح عدد المعادلات المستقلة ست معادلات فقط. و في حالة المادة المتجانسة المتناحية يأخذ قانون هوك الشكل :

$$\begin{pmatrix} \sigma^{11} \\ \sigma^{22} \\ \sigma^{33} \\ \sigma^{12} \\ \sigma^{23} \\ \sigma^{31} \end{pmatrix} = \frac{E}{(1+\nu)(1-2\nu)} \begin{pmatrix} 1-\nu & \nu & \nu & & & \\ \nu & 1-\nu & \nu & & & \\ \nu & \nu & 1-\nu & & & \\ & & & 1-2\nu & & \\ & & & & 1-2\nu & \\ & & & & & 1-2\nu \end{pmatrix} \begin{pmatrix} \varepsilon_{11} \\ \varepsilon_{22} \\ \varepsilon_{33} \\ \varepsilon_{12} \\ \varepsilon_{23} \\ \varepsilon_{31} \end{pmatrix} \quad (2.31)$$

$E$  معامل المرونة أو معامل يونغ ،  $\nu$  معامل بواسون . هنا يجب الانتباه أن  $\varepsilon_{12}, \varepsilon_{23}, \varepsilon_{31}$  الواردة في العلاقة (2.29) هي نصف مثيلاتها  $\gamma_{12}, \gamma_{23}, \gamma_{31}$  و المعروفة عادة في الكتب التي تعتمد الطريقة المصفوفية في كتابة علاقات نظرية المرونة .

علاقات الإجهادات - التشوهات (2.30) هي علاقات قابلة للعكس - و معكوسها يعطي علاقات التشوهات - الإجهادات :

$$\begin{pmatrix} \varepsilon_{11} \\ \varepsilon_{22} \\ \varepsilon_{33} \\ \varepsilon_{12} \\ \varepsilon_{23} \\ \varepsilon_{31} \end{pmatrix} = \frac{1}{E} \begin{pmatrix} 1 & -\nu & -\nu & & & \\ -\nu & 1 & -\nu & & & \\ -\nu & -\nu & 1 & & & \\ & & & 1+\nu & & \\ & & & & 1+\nu & \\ & & & & & 1+\nu \end{pmatrix} \begin{pmatrix} \sigma^{11} \\ \sigma^{22} \\ \sigma^{33} \\ \sigma^{12} \\ \sigma^{23} \\ \sigma^{31} \end{pmatrix} \quad (2.32)$$

و الشكل العام لهذه العلاقات هو :

$$\varepsilon_{ij} = S_{ijkl} \sigma^{kl} \quad (2.33)$$

حيث  $S_{ijk\ell}$  هي معاملات المطاوعة للمادة . تساهم علاقات الإجهادات- التشوهات في نظرية المرونة بست معادلات جبرية مستقلة خطياً . في حالة السلوك الفيزيائي غير الخطي تكون معاملات المرونة المعرفة في العلاقة (2.30) تابعة أيضاً لحالة التشوهات .

## 2-4- شروط التوافق

شروط التوافق هي علاقات تربط مشتقات التشوهات ببعضها البعض وهي لا تضيف أي معادلات إضافية تساهم في إيجاد حلول نظرية المرونة . وإنما هي شروط يجب أن تحققها توابع التشوهات و بالتالي أيضاً الانتقالات لكي يتحقق ما يلي :

عند اقتطاع متوازي المستطيلات بأبعاد تفاضلية  $dx^1, dx^2, dx^3$  من جسم يتعرض لتشوهات ما يجب أن يملأ تماماً الفراغ الذي خلفه بعد تشوّهه و تشوّه الجسم الذي اقتطع منه . تعين توابع الانتقالات الثلاثة  $u_i$  الحالة الحركية (الكينماتيكية) للجسم تعيناً تاماً والحالة الحركية تتضمن حالة الانتقالات و حالة التشوهات . الجاهيل الحركية في نظرية المرونة هي تسعة ثلاثة انتقالات و ست تشوهات . وحتى تعين توابع الانتقالات الثلاثة الحالة الحركية للمتضمنة تسعة مجاهيل تعيناً وحيداً يجب أن تتواجد بين توابع التشوهات الستة المحسوبة من ثلاثة انتقالات (3-6) معادلة مستقلة ، أي ست معادلات مستقلة و هذه المعادلات يمكن الحصول عليها بالشكل التالي :

بافتراض أن القرائن  $i, j, k, \ell$  تتحول على  $x^1, x^2, x^3$  نحصل باشتقاق العلاقات (2.29) مرتين بتركيب مختلفة على :

$$\begin{aligned}\varepsilon_{ij,kl} &= \frac{1}{2}(u_{i,jkl} + u_{j,ikl}) \\ \varepsilon_{kl,ij} &= \frac{1}{2}(u_{k,lij} + u_{l,kij}) \\ \varepsilon_{ij,ki} &= \frac{1}{2}(u_{i,jki} + u_{j,iki}) \\ \varepsilon_{ki,ij} &= \frac{1}{2}(u_{k,ij} + u_{i,kj})\end{aligned}\quad (2.34)$$

بجمع العلاقة الأولى والثانية ينتج :

$$\varepsilon_{ij,kl} + \varepsilon_{kl,ji} = \frac{1}{2} (u_{i,jkl} + u_{j,ikl} + u_{k,lij} + u_{l,kij}) \quad (2.35)$$

و يجمع العلاقة الثالثة و الرابعة نحصل على :

$$\varepsilon_{ij,ki} + \varepsilon_{ki,ij} = \frac{1}{2} (u_{i, jki} + u_{j, iki} + u_{k, iij} + u_{i, kji}) \quad (2.36)$$

بالمقارنة نجد أن :

$$\varepsilon_{ij,kl} + \varepsilon_{kl,ji} = \varepsilon_{ij,ki} + \varepsilon_{ki,ij} \quad (2.37)$$

العلاقات السابقة تحتوي على 81 معادلة تنتج من إعطاء القرائن  $i, j, k, l$  التباديل  $x^1, x^2, x^3$  وست منها فقط معادلات مستقلة خطياً و المعادلات البقية إما معادلات تافهة غير ذي أهمية أو معادلات تنتج من المعادلات الستة المستقلة بتراكيب خطية ، و العلاقات الستة المستقلة خطياً هي :

$$\begin{aligned} \frac{\partial^2 \varepsilon_{11}}{(\partial x^2)^2} + \frac{\partial^2 \varepsilon_{22}}{(\partial x^1)^2} &= 2 \frac{\partial^2 \varepsilon_{12}}{\partial x^1 \partial x^2} \\ \frac{\partial^2 \varepsilon_{22}}{(\partial x^3)^2} + \frac{\partial^2 \varepsilon_{33}}{(\partial x^2)^2} &= 2 \frac{\partial^2 \varepsilon_{23}}{\partial x^2 \partial x^3} \\ \frac{\partial^2 \varepsilon_{11}}{(\partial x^3)^2} + \frac{\partial^2 \varepsilon_{33}}{(\partial x^1)^2} &= 2 \frac{\partial^2 \varepsilon_{13}}{\partial x^1 \partial x^3} \\ \frac{\partial}{\partial x^1} \left( -\frac{\partial \varepsilon_{23}}{\partial x^1} + \frac{\partial \varepsilon_{13}}{\partial x^2} + \frac{\partial \varepsilon_{12}}{\partial x^3} \right) &= \frac{\partial^2 \varepsilon_{11}}{\partial x^2 \partial x^3} \\ \frac{\partial}{\partial x^2} \left( -\frac{\partial \varepsilon_{13}}{\partial x^2} + \frac{\partial \varepsilon_{12}}{\partial x^3} + \frac{\partial \varepsilon_{23}}{\partial x^1} \right) &= \frac{\partial^2 \varepsilon_{22}}{\partial x^1 \partial x^3} \\ \frac{\partial}{\partial x^3} \left( -\frac{\partial \varepsilon_{12}}{\partial x^3} + \frac{\partial \varepsilon_{23}}{\partial x^1} + \frac{\partial \varepsilon_{13}}{\partial x^2} \right) &= \frac{\partial^2 \varepsilon_{33}}{\partial x^1 \partial x^2} \end{aligned} \quad (2.38)$$

لنعتبر أن جسماً ما يشكل وسطاً مستمراً يتعرض لحمولات خارجية . يتشوه هذا الوسط تحت تأثير الحمولات الخارجية و يغير شكله . إذا لم يحدث كسر في هذا الجسم نتيجة تطبيق الحمولات يبقى الجسم مشكلاً وسطاً مستمراً . لنفرض الآن أن هذا الجسم مقسم إلى عدد لا نهائي من متوازيات المستطيلات ذات الأبعاد التفاضلية . بنتيجة تشوه الجسم تشوه أيضاً متوازيات المستطيلات هذه ، لإعادة تشكيل الجسم يجب تجميع متوازيات المستطيلات هذه بعد تشوهها . و



المعادلات (2.38) تضمن إعادة هذا التجميع بشكل يبقى الجسم فيه كوسط مستمر . يستفاد أحياناً من معادلات شروط التوافق في تشكيل المعادلة التفاضلية العامة لنظرية المرونة بدلالة الإجهادات .

## 2-5- المعادلات التفاضلية العامة لنظرية المرونة :

بإيجاز ما سبق يتضح أنه لإيجاد المجاهيل الكينماتيكية (انتقالات و تشوهات) و المجاهيل الستاتيكية (الإجهادات) الخمسة عشر لنظرية المرونة . لدينا المعادلات التالية:

3- معادلات توازن و هي معادلات تفاضلية جزئية .

6- معادلات تربط التشوهات بالانتقالات و هي أيضاً معادلات تفاضلية جزئية .

6- معادلات تربط الإجهادات بالتشوهات و هي معادلات جبرية .

هناك إمكانيات عدة لصياغة المعادلات التفاضلية العامة لنظرية المرونة و هذه الإمكانيات تنضوي تحت ثلاث حالات .

**الحالة الأولى :** صياغة المعادلات التفاضلية العامة بدلالة الانتقالات فقط . إذ يمكن تعويض علاقات التشوهات - الانتقالات في علاقات الإجهادات - التشوهات فنحصل على علاقات تربط بين الإجهادات و الانتقالات و تعوض العلاقات الأخيرة الناتجة في معادلات التوازن فنحصل على المعادلات التفاضلية العامة بدلالة الانتقالات . يعتمد عادة أثناء إجراءات هذه الصياغة إلى إدخال فرضيات تسهيلية حسب الحالة التي نعالجها ( إطارات ، شرائح ، بلاطات ، . . . ) ، إذ يستعاض عادة عن الانتقالات في كل نقطة من المقطع بالانتقالات مثلاً في مركز ثقل المقطع و الدورانات مثلاً حول المحاور الرئيسية المارة بمركز ثقل المقطع . كمثال على هذه الفرضيات التسهيلية فرضية برنولي BERNOLLI ، فرضية تيموشنكو TIMOSHONKO ، فرضيات فلاسوف VLASOV . كما يستعاض عن الإجهادات في المقطع بتكاملها على المقطع المعبر بعد إدخال فرضيات تسهيلية أيضاً لتوزع الإجهادات (فرضية التوزع المنتظم للإجهادات قتل سانت فينانت (ST.VENANT)) ، و نتيجة هذه التكاملات تمثل قوى المقطع . إذا أجريت مثل هذه

الفرضيات التسهيلية نحصل عوضاً عن علاقات الإجهادات - الانتقالات على علاقات تربط بين قوى المقطع وبين الانتقالات والدورانات في نقاط مميزة وحول محاور مميزة للمقطع (علاقات قوى المقطع - الانتقالات) . تطبق بعدها علاقات التوازن على قوى المقطع وتعوض علاقات قوى المقطع - الانتقالات في معادلات التوازن الناتجة فنحصل على المعادلة العامة للمسألة موضوع البحث . تتميز المعادلة التفاضلية العامة للحالة الأولى بأنها تحتوي على عدد أقل من الجاهيل (ثلاث انتقالات) ولكن هذا العدد القليل من الجاهيل مقترن بارتفاع مرتبة المعادلات التفاضلية بالنسبة للحالات الأخرى. ويتم استخدام هذه الحالة عندما تعرض شروط طرفية مسبقة للانتقالات على السطح الخارجي للجسم موضوع البحث.

**الحالة الثانية :** صياغة المعادلات التفاضلية العامة بدلالة الإجهادات فقط . يتم صياغة المعادلات التفاضلية بدلالة الإجهادات باستخدام علاقات التوازن وشروط التوافق . و هي في الحالة العامة معادلات معقدة . إلا أن صياغتها لمادة مرنة متناحية سهلة . تستخدم مثل هذه الصياغة عند وجود شروط طرفية مفترضة مسبقاً للإجهادات يجب تحقيقها على السطح الخارجي للجسم موضوع الدراسة . درجة المعادلات التفاضلية هذه هي أخفض منها للحالة الأولى و هذه ميزة مناسبة لكنها مقترنة أحياناً بصعوبات وذلك إذا أردنا حساب الانتقالات لأن حسابها يجري عن طريق التكامل . يلجأ عادة في مثل هذه الحالة لإدخال ما يسمى بتوابع الإجهادات وقد أدخلها الرياضي الإنكليزي المعروف AIRY . فإذا ما حققت هذه التوابع معادلات التوازن (وهذا ما افترضه AIRY) فإن صياغة المعادلة التفاضلية تصبح أبسط و قريبة من شكلها في الحالة الأولى و بذلك تزداد مرتبة المعادلة التفاضلية .

**الحالة الثالثة :** صياغة المعادلات التفاضلية العامة بدلالة الانتقالات والإجهادات معاً. تستخدم هذه الحالة عند وجود شروط طرفية مفترضة مسبقاً للإجهادات و شروط طرفية مفترضة مسبقاً للانتقالات والمعادلات التفاضلية العامة تبقى على شكل مجموعتين من المعادلات التفاضلية الجزئية . المجموعة الأولى و تأخذ شكل معادلات التوازن المكتوبة بدلالة الإجهادات . و المجموعة الثانية هي علاقة الإجهادات بمشتقات الانتقالات . و نحصل عليها بتعويض علاقات التشوهات - الانتقالات في قانون المادة (أو علاقات الإجهادات - التشوهات) .

## 2-6- الشروط الطرفية :

يتطلب إيجاد الحلول الخاصة للمعادلات التفاضلية إعطاء شروط طرفية مسبقة كافية لتعيين ثوابت الحلول العامة . و الشروط الطرفية المسبقة هي في حالتنا هذه شروط معطاة على السطح الخارجي للجسم موضوع الدراسة . و هي إما انتقالات معلومة على السطح الخارجي أو قوى معلومة ( أو إجهادات ) مطبقة على هذا السطح . تمثل الانتقالات المعلومة على جزء السطح الخارجي الشروط الطرفية الهندسية و القوى المعلومة على جزء السطح الخارجي الشروط الطرفية الميكانيكية و فيمالي ستعبر بالمعادلات الرياضية عن هذه الشروط .

## 2-6-1- الشروط الطرفية الهندسية :

لنرمز لجزء السطح الخارجي للجسم الذي تكون فيه الانتقالات معلومة  $s_u$  ، و للانتقالات المعلومة على جزء هذا السطح  $\bar{u}_i$  . فإذا كانت توابع الانتقالات  $u_i$  تمثل حلا للمعادلات التفاضلية فهذه التوابع يجب أن تحقق الشروط الطرفية للانتقالات أي أنها سوف تتطابق مع الانتقالات المعلومة  $\bar{u}_i$  على جزء السطح الخارجي و يعبر عن هذا التطابق بالمعادلة :

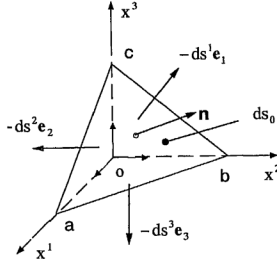
$$u_i = \bar{u}_i \quad \text{on } s_u \quad (2.39)$$

## 2-6-2- الشروط الطرفية الميكانيكية :

نرمز لجزء السطح الخارجي الذي تكون عليه القوى و بالتالي الإجهادات معلومة  $s_\sigma$  و هو يساوي إلى السطح الخارجي الكلي  $s$  منقوصاً منه جزء السطح  $s_u$  .

لنقتطع من السطح الخارجي هراً  $oabc$  أبعاده تفاضلية شكل (2-3) ، وجوهه الثلاثة  $oca, obc, oab$  و التي مساحتها  $ds_1, ds_2, ds_3$  واقعة في المستويات  $x^3x^1, x^2x^3, x^1x^2$

على التوالي والوجه الرابع abc يمثل جزءاً تفاضلياً من السطح  $s_0$  . نوجه نواظم هذه السطوح وفق قاعدة اليد اليمنى . وفق هذه القاعدة يكون ناظم السطح oab الموجب متجهاً



شكل 2-3 : هرم مقتطع من السطح الخارجي

باتجاه المحور  $x^3$  ، و هو اتجاه إمام اليد اليمنى ، إذا دار oa وفق أصابع اليد اليمنى ليتطابق مع ob . وهكذا يمكن استنتاج اتجاه الناظم الموجب لبقية السطوح . الحالة الإجهادية على السطوح oca, oac, oab متطابقة مع تلك التي في الشكل (1-2) أما على السطح abc ذي المساحة  $ds_0$  فتؤثر القوة المعطاة  $\bar{T}ds_0$  والمعلومة مسبقاً ، ومركباً على المحاور الإحداثية:  $\bar{T}ds_0 = \bar{T}^i ds_0 e_i$  حيث  $\bar{T}$  هو الإجهاد الكلي على وحدة السطح ،  $\bar{T}^i$  مركبات هذا الإجهاد في اتجاه المحاور الإحداثية . على الوجه oab تؤثر القوة:

$$\sigma^{31} ds_3 e_1 + \sigma^{32} ds_3 e_2 + \sigma^{33} ds_3 e_3$$

و على الوجه obc القوة :

$$\sigma^{11} ds_1 e_1 + \sigma^{12} ds_1 e_2 + \sigma^{13} ds_1 e_3$$

و على الوجه oac القوة:

$$\sigma^{12} ds_2 e_1 + \sigma^{22} ds_2 e_2 + \sigma^{23} ds_2 e_3$$

و مجموع هذه القوى المؤثرة يمكن التعبير عنه بالكتابة بالقرائن بالشكل :  $\sigma^j ds_j e_i$   
معادلات توازن هذه القوى تقتضي أن يكون :

$$-\sigma^j ds_j e_i + \bar{T}^i ds_o e_i = 0 \quad (2.41)$$

و بمقارنة المركبات مع بعضها البعض نجد أن :

$$\sigma^j ds_j = \bar{T}^i ds_o \quad (2.42)$$

أو

$$\sigma^j \frac{ds_j}{ds_o} = \bar{T}^i \quad (2.43)$$

ولكن مركبات شعاع الناظم على السطح abc على المحاور الإحداثية  $x^1, x^2, x^3$  هي على التوالي :

$$n_1 = \frac{ds_1}{ds_o}; n_2 = \frac{ds_2}{ds_o}; n_3 = \frac{ds_3}{ds_o} \quad (2.44)$$

أو باستخدام كتابة القرائن :

$$n_j = \frac{ds_j}{ds_o} \quad (2.45)$$

وختاما يعبر عن الشروط الطرفية الميكانيكية بالمعادلة :

$$\sigma^j n_j = \bar{T}^i; \text{ on } s_o \quad (2.46)$$

## 2-7- ملاحظات حول قابلية الحل

برهن كيرشهوف KIRCHHOFF أنه في المجال الخطي لنظرية المرونة يوجد حل وحيد للمجاهيم الستاتيكية و الكينماتيكية ( الحركية ). وهذا لا يعني أنه بإمكاننا إيجاد هذا الحل تحليليا . هناك حلول تحليلية وأغلبها لحالات هندسية بسيطة حتى أن هناك في المجال غير الخطي حلول وحيدة لبعض حالات التحميل البسيطة مع الأشكال الهندسية البسيطة للمنشآت. هناك أمثلة على عدم وحدانية الحل في الحالات غير الخطية : عند دراسة الاستقرار في المنشآت يحدث أحيانا في

حالة التوازن الحرج أن تزداد الانتقالات دون زيادة ملموسة في الحمل الذي أدى إلى هذه الحالة و ذلك عندما يصل مقدار الحمل إلى الحمل الحرج. وهذا يعني أنه يقابل لحالة تحميل معينة أكثر من وضعية انقالية . في حالة السلوك المرن المثالي - اللدن المثالي للمادة يمكن أن يصبح المنشأ مستقرا عند حمل معين ، و عند زيادة هذا الحمل يبقى الاستقرار قائما. وهذا يعني أنه لا نستطيع تحديد حالة إجهادات معينة مقابلة لحالة التشوهات الناشئة . في الحالة العامة لمعادلات نظرية المرونة في المجال الخطي لا نستطيع عادة إيجاد حلول المعادلات التفاضلية الجزئية و الجبرية بشكل تحليلي . و لذلك يلجأ إلى استخدام الطرق العددية . و من الطرق الهامة التي استخدمت في هذا المضمار طريقة العناصر المنتهية التي لاقت رواجاً واسعاً منذ بداية الستينات من هذا القرن ، و اقترن استخدام هذه الطريقة باستخدام طرق الطاقة كمعايير أو ضوابط لمقدار صحة الحلول التي حصل عليها و سيتم في الفصل الثالث شرح مبادئ الطاقة الأساسية للحالة العامة و التي بنيت عليها طريقة العناصر المنتهية - نموذج الانتقالات و طريقة العناصر المنتهية - نموذج الإجهادات .

## 2-8- المصادر العلمية

1. Washizu, K  
Variational Methods in Elasticity and Plasticity  
Oxford : Pergamon Press , 1987.
2. Zienkiewicz , O . C .  
Methode der Finiten Elemente  
VEB Fachbuchverlag , Leipzig 1987.
- 3- Goeldner , H .  
Lehrbuch Hohere Festigkeitslehre , Band 1 und 2  
VEB Fachbuchverlag , Leipzig 1984.
- 4- Goeldner, H .  
Arbeitsbuch Hohere Festigkeitslehre  
VEB Fachbuchverlag , Leipzig 1981.

### 3- مبادئ الطاقة الأساسية و الموسعة

قبل البدء بقراءة هذا الفصل يجب دراسة الفقرات المتعلقة بقواعد حساب المتغيرات بعناية فائقة و ذلك من أجل الفهم المتكامل للاشتقاقات التي سترد أثناء دراسة هذا الفصل. يقصد بمبادئ الطاقة الأساسية تلك التي يمكن اشتقاقها مباشرة من معادلات نظرية المرونة دون الاعتماد على مبادئ أخرى كنقطة انطلاق . ومبادئ الطاقة الموسعة تلك التي تتخذ مبدئاً أساسياً كنقطة انطلاق لهذا وتستخدم مضارب لاغرنج لتحرير المبادئ الأساسية من بعض الشروط الواجب تحقيقها و ذلك تلافياً للمصاعب التي قد تولدها مثل هذه الشروط . هناك مبدئان أساسيان للطاقة في مجال ميكانيك الإنشاءات الخطي، مبدأ الطاقة الكامنة الأصغري وهو يشكل القاعدة النظرية والمعياري الأساسي لطريقة العناصر المنتهية - نموذج الانتقالات، ومبدأ الطاقة الممتمة الأصغري و هو يشكل المعيار الأساسي لطريقة العناصر المنتهية - نموذج الإجهادات. في الطريقة الأولى تمثل الانتقالات المتغيرات العشوائية التي يتم افتراضها وفق نواظم و ضوابط معينة تتعلق بالمسألة المطروحة بينما تكون في الطريقة الثانية الإجهادات هي المتغيرات العشوائية. سوف نرى أن الانتقالات أو الإجهادات العشوائية التي يمكن اختيارها للتعبير عن الحالة الانتقالية أو الإجهادية يجب أن تحقق شروط طرفية يصعب تحقيقها عادة". لذلك تستخدم مضارب لاغرنج للاستغناء عن الشروط الطرفية وإعطاء حرية أكثر في اختيار المتغيرات العشوائية. فباستخدام مضارب لاغرنج يمكن تعديل مبادئ الطاقة الأساسية للحصول على مبادئ طاقة موسعة. فمثلاً يمكن تعديل مبدأ الطاقة الكامنة الأصغري للحصول على مبدأ الطاقة الكامنة المعدل الذي يختلف عن سابقه بإمكانية اختيار توابع عشوائية للإجهادات على سطح الوسط المدروس ، إضافة لاختيار توابع الانتقالات ضمن الوسط. المبدأ الأخير يمكن تعديله أيضاً للحصول على مبدأ الطاقة المعمم . والأخير يمكن تعديله أيضاً للحصول على مبدأ هيلنغر - رايسنر Hellinger-Reissner . كذلك يمكن تعديل مبدأ الطاقة الممتمة الأصغري للحصول على مبدأ الطاقة الممتمة المعدل ونستطيع اعتماداً على الأخير اختيار توابع للانتقالات على السطح الخارجي للوسط المدروس إضافة لإمكانية اختيار توابع الإجهادات ضمن الوسط المدروس . مبادئ الطاقة المعتلة تشكل أسس طرق العناصر

المنتهية للنموذج المختلط و النموذج الهجين. وسوف نتخذ مبدأ الطاقة المتممة المعدل كمثال على مبادئ الطاقة المعدلة لانتشاره الواسع إضافة لكونه نموذج مناسب في معالجة بعض الأوساط الإنشائية المعقدة طوبولوجياً و التي تتميز بتلاقي سطوحها وفق خطوط منكسرة كالمشآت المثنية المستوية (foalded Structures) (المكونة من بلاطات و شرائح متصلة ببعضها البعض وفق خطوط منكسرة). بالطبع لم نذكر كل مبادئ الطاقة المعدلة التي يمكن اشتقاقها و يمكن للقارئ المختص الرجوع إلى المراجع المذكورة في نهاية الفصل .

### 3-1- مبدأ الطاقة الكامنة الأصغري

#### 3-1-1- العمل الداخلي الكامن لقوى التشوه

لنأخذ متوازي مستطيلات بأبعاد تفاضلية مقتطعاً من جسم ما و لنفترض تزايداً للتشوهات باتجاه المحور  $x^1$  بالمقدار  $d\epsilon_{11} = d(\frac{\partial u_1}{\partial x^1})$  و تزايداً للتشوهات القاسية في المستوى  $x^1 x^2$  بمقدار  $2d\epsilon_{21}$  و هو المقدار  $d(\frac{\partial u_2}{\partial x^1} + \frac{\partial u_1}{\partial x^2})$ . تؤثر الإجهادات الناعمية  $\sigma^{11}$  على السطح الذي مساحته  $dx^2 dx^3$  و محصلة هذه الإجهادات هي القوة  $\sigma^{11} dx^2 dx^3 e_1$  و المثلثة بشعاع يتجه باتجاه المحور  $x^1$  . و مقدار الانتقال الحاصل و الناتج عن تزايد التشوه الناعمي بالمقدار  $d\epsilon_{11}$  يمكن التعبير عنه بشعاع الانتقال  $d\epsilon_{11} dx^1 e_1$  ، و العمل الداخلي المنجز هو الجداء السلمي لشعاع القوة و شعاع الانتقال أي :

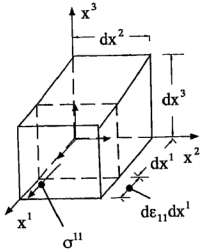
$$\sigma^{11} dx^2 dx^3 e_1 dx^1 d(\frac{\partial u_1}{\partial x^1}) e_1$$

و هو مساو للمقدار :

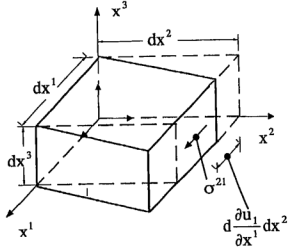
$$\sigma^{11} d\epsilon_{11} dV$$

حيث  $dV$  حجم متوازي المستطيلات بأبعاده التفاضلية . والجداء السلمي للشعاعين  $e_1$  و  $e_1$  مساو للواحد و يشكل مماثل ينتج العمل الذي تنجزه قوى التشوه من تزايد التشوه الناعمي  $d\epsilon_{33}$  و  $d\epsilon_{22}$  و هو على التوالي :  $\sigma^{33} d\epsilon_{33} dV, \sigma^{22} d\epsilon_{22} dV$  . بالنسبة لعمل القوى القاسية نجد

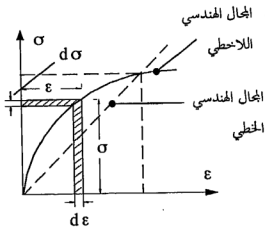




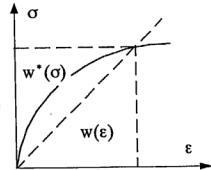
(a) التشوه الناظمي لتوازي مستطيلات  
بأبعاد تفاضلية باتجاه  $x^1$



(b) التشوه المماسي لتوازي مستطيلات  
بأبعاد تفاضلية في المستوي  $x^1 x^2$



(c) كثافة طاقة التشوه الكامنة  
وكثافة الطاقة المتممة



(d) الطاقة الكامنة  $w(\epsilon)$  و الطاقة  
المتعمة  $w^*(\sigma)$  لعنصر حجمي  $dV$

شكل 3-1- العمل الداخلي لقوى التشوه

أن جزء تزايد التشوهات القاصة  $d(\frac{\partial u_2}{\partial x^1} + \frac{\partial u_1}{\partial x^2})$  الذي يؤدي إلى انتقال في اتجاه الإجهادات  $\sigma^{21}$  هو المقدار  $d\frac{\partial u_1}{\partial x^2}$  شكل (3-1-b). و باعتبار أن التشوه صغير جدا فإن تغير زاوية القص مساو لقوس الزاوية نفسها و طول القوس هو  $(d\frac{\partial u_1}{\partial x^2})dx^2$  و بالتالي يكون شعاع الانتقال في اتجاه  $\sigma^{21}$  مساو للمقدار  $(d\frac{\partial u_1}{\partial x^2})dx^2 e_1$  ، تؤثر الإجهادات  $\sigma^{21}$  على المستوي ذي للمساحة  $dx^3 dx^1 e_1$  و شعاع القوة المحصلة لهذه الإجهادات هو :  $\sigma^{21} dx^3 dx^1 e_1$  و بالتالي يصبح العمل الداخلي المنجز مساو إلى :  $\sigma^{21} (d\frac{\partial u_1}{\partial x^2}) dx^2 dx^3 dx^1 e_1 \cdot e_1$  أو  $\sigma^{21} du_{1,2} dV$  . بشكل مماثل نجد أن هذا العمل لمركبات الإجهادات المماسية المتبقية  $\sigma^{12}, \sigma^{13}, \sigma^{23}, \sigma^{31}, \sigma^{32}$  هو على التوالي :  $\sigma^{12} du_{2,1} dV$  ،  $\sigma^{13} du_{3,1} dV$  ،  $\sigma^{23} du_{3,2} dV$  ،  $\sigma^{31} du_{1,3} dV$  ،  $\sigma^{32} du_{2,3} dV$  ، و عمل القوى المماسية على التفاضل الحجمي  $dV$  يصبح :

$$\sigma^{12} du_{2,1} dV + \sigma^{21} du_{1,2} dV + \sigma^{13} du_{3,1} dV + \sigma^{31} du_{1,3} dV + \sigma^{23} du_{3,2} dV + \sigma^{32} du_{2,3} dV$$

و هو مساو إلى :

$\sigma^{12} d\epsilon_{12} dV + \sigma^{21} d\epsilon_{21} dV + \sigma^{13} d\epsilon_{13} dV + \sigma^{31} d\epsilon_{31} dV + \sigma^{23} d\epsilon_{23} dV + \sigma^{32} d\epsilon_{32} dV$   
 يمكن التأكد من ذلك بتبديل التشوهات المماسية بقيمتها من العلاقات (2.27) . و عند تزايد التشوهات من القيمة 0 و حتى القيمة النهائية  $\epsilon$  يصبح العمل الداخلي لمجموع القوى الناعظمية و المماسية و يرمز له بالرمز  $dW(\epsilon)$  على التفاضل الحجمي  $dV$  كمايلي :

$$dW(\epsilon) = \int_0^{\epsilon_{11}} \sigma^{11} d\epsilon_{11} + \int_0^{\epsilon_{12}} \sigma^{12} d\epsilon_{12} + \int_0^{\epsilon_{13}} \sigma^{13} d\epsilon_{13} + \int_0^{\epsilon_{21}} \sigma^{21} d\epsilon_{21} + \int_0^{\epsilon_{22}} \sigma^{22} d\epsilon_{22} + \int_0^{\epsilon_{23}} \sigma^{23} d\epsilon_{23} \\ + \int_0^{\epsilon_{31}} \sigma^{31} d\epsilon_{31} + \int_0^{\epsilon_{32}} \sigma^{32} d\epsilon_{32} + \int_0^{\epsilon_{33}} \sigma^{33} d\epsilon_{33} dV = \int_0^{\epsilon_{ij}} \sigma^{ij} d\epsilon_{ij} dV \quad (3.1)$$

يسمى تغير هذا المقدار بالنسبة لوحدية الحجم من الجسم بكثافة الطاقة الكامنة للجسم .

$$w(\epsilon) = \int_0^{\epsilon_{ij}} \sigma^{ij} d\epsilon_{ij} \quad (3.2)$$

و التفاضل التام لهذا المقدار هو :

$$dw(\epsilon) = \sigma^{ij} d\epsilon_{ij} \quad (3.3)$$

في حالة الأجسام المرنة يكون التابع  $w(\epsilon)$  متعلقا فقط بحالة التشوهات ، بغض النظر عن كيفية حصول هذه التشوهات . ومخطط الإجهادات - التشوهات يتبع نفس المنحني عند التحميل و عند إزالة هذا التحميل . و التفاضل التام للتابع  $w(\epsilon)$  هو :

$$dw(\epsilon) = \frac{\partial w(\epsilon)}{\partial \epsilon_{ij}} d\epsilon_{ij} \quad (3.4)$$

بمقارنة (3.3) مع (3.4) ينتج :

$$\sigma^{ij} = \frac{\partial w(\epsilon)}{\partial \epsilon_{ij}} \quad (3.5)$$

حتى الآن حسب العمل الداخلي الناتج عن تغير حالة التشوهات بالنسبة لعنصر حجمي تفاضلي  $dV$  لحساب العمل الكلي الناتج على كامل الجسم يجب إجراء تكامل العلاقة (3.1) على كامل حجم الجسم .

$$W(\epsilon) = \int_V w(\epsilon) dV = \int_V \left( \int_0^{\epsilon_{ij}} \sigma^{ij} d\epsilon_{ij} \right) dV \quad (3.6)$$

وهذا التعبير يمثل العمل الداخلي الكامن لقوى التشوه و هو يساوي الطاقة المختزنة في الجسم أو ما يسمى طاقة التشوه الداخلي .

### 3-1-2- عمل القوى الخارجية

ليكن لدينا جسما ما يخضع بالإضافة إلى محصلة القوى الحجمية  $\bar{f}^1$  المؤثرة على واحدة الحجم من الجسم  $dV$  إلى قوى خارجية  $\bar{T}^i$  تؤثر على وحدة السطح  $ds$  من جزء السطح الذي تكون

فيه القوى مفترضة  $s_\sigma$  . لنفرض تزايداً في تابع الانتقالات  $u^i(x^1, x^2, x^3)$  الذي يصف الحالة الانتقالية للجسم مقداره التفاضل التام لهذا التابع . في هذه الحالة تنجز هذه القوى العمل التالي :

$$\begin{aligned} dW(V) &= \int_V \bar{f}^i e_i du^j e_j dV + \int_{s_\sigma} \bar{T}^i e_i du^j e_j ds \\ &= \int_V \bar{f}^i du^j \delta_{ij} dV + \int_{s_\sigma} \bar{T}^i du^j \delta_{ij} ds \\ &= \int_V \bar{f}^i du_i dV + \int_{s_\sigma} \bar{T}^i du_i ds \end{aligned} \quad (3.7)$$

و ذلك لأن القوى المجهولة  $T^i$  المؤثرة على جزء السطح الذي تكون فيه الانتقالات مفترضة  $s_\sigma$  لا تؤدي عملاً باعتبار أن التفاضل التام للانتقالات على هذا السطح مساو للصفر (تفاضل قيمة معلومة ثابتة) . فإذا افترضنا أن جملة القوى الخارجية المطبقة على الجسم هي جملة محافظة أي أن القوى الخارجية لا تغير شدتها و لا اتجاهها أثناء هذا الانتقال فإن العمل المنجز عند تغير الحالة الانتقالية من الوضع البدائي  $u_i(a)$  إلى الوضع النهائي  $u_i(b)$  يصبح :

$$\begin{aligned} W(u) &= \int_{u_i(a)}^{u_i(b)} dw(u) = \int_V \bar{f}^i dV \int_{u_i(a)}^{u_i(b)} du_i + \int_{s_\sigma} \bar{T}^i ds \int_{u_i(a)}^{u_i(b)} du_i \\ &= \int_V \bar{f}^i [u_{i(b)} - u_{i(a)}] dV + \int_{s_\sigma} \bar{T}^i [u_{i(b)} - u_{i(a)}] ds \end{aligned} \quad (3.8)$$

تمكنا هنا من فصل التكاملين الحجمي والمنحني أو بالأحرى إخراج القوى خارج إشارة التكامل المنحني لعدم تعلق هذه الأخيرة بالطريق المسلوك . والعلاقة (3.8) تعني أيضاً أن العمل الخارجي لا يتعلق بالمنحني الذي حصل عليه الانتقال أو طريق الانتقالات المسلوك و إنما فقط بوضعيي الانتقالات البدائية و النهائية.

### 3-1-3- ملخص معادلات نظرية المرونة في المجال الخطي و الشروط الطرفية

نلخص الآن معادلات نظرية المرونة في المجال الخطي لتسهيل الرؤيا الواضحة لما سنقوم به من اشتقاقات لاحقة . معادلات نظرية المرونة هي كما وردت في الفصل الأول:

(1) معادلات التوازن :

$$\sigma_{ij,j} + \bar{f}^i = 0 \quad (3.9)$$

(2) علاقات التشوهات - الانتقالات :

$$\varepsilon_{ij} = \frac{1}{2}(u_{i,j} + u_{j,i}) \quad (3.10)$$

(3) قانون المادة :

$$\varepsilon_{ij} = c^{ijkl} \varepsilon_{kl} \quad (3.11)$$

(4) الشروط الطرفية الهندسية :

$$u_i = \bar{u}_i \quad \text{on} \quad s_u \quad (3.12)$$

(5) الشروط الطرفية الميكانيكية :

$$\sigma_{ij} n_j - \bar{T}^i = 0 \quad \text{on} \quad s_\sigma \quad (3.13)$$

أو

$$T^i - \bar{T}^i = 0; T^i = \sigma_{ij} n_j \quad \text{on} \quad s_\sigma \quad (3.14)$$

المعادلات السابقة تمثل ملخصا لما ورد في الفصل الأول . و هنا نود التلميح إلى الشروط الطرفية .  
فالتابع  $u_i$  على  $s_u$  و  $T^i$  على  $s_\sigma$  هي توابع مشتقة من التوابع  $u_i$  ،  $\sigma_{ij}$  على التوالي التي تصف الحالة الانتقالية و الإجهادية على الجسم . أما  $\bar{u}_i$  و  $\bar{T}^i$  . فهي قيم معلومة مسبقا و لذلك ميزت بالإشارة -

### 3-4-1 اشتقاق مبدأ الطاقة الكامنة الأصغري

لنفترض أن جسما ما يشكل وسطا مستمرا موجود في حالة توازن . أي أن معادلات التوازن الداخلية لتوازن مستطيلات بأبعاد تفاضلية مقطوع من الجسم ( المعادلات (3.9) ) محققة بالإضافة إلى تحقق توازن الجسم تحت تأثير القوى الخارجية  $\bar{T}^i$  المؤثرة على جزء السطح الخارجي و بتعبير آخر يفترض أن الشروط الطرفية الميكانيكية (3.14) محققة . و لنفرض أيضا أن الجسم يخضع لشروط طرفية هندسية على جزء السطح الخارجي  $s_u$  ممثلة بالمعادلات (3.12) .

لنعطي هذا الجسم انتقالاً وهمياً مقداره المتغير الأول لتتابع الانتقالات الحقيقية  $\delta u^i(x^1, x^2, x^3)$  دون المساس بشروطه الطرفية الهندسية عندها يكون :

$$\int_V (\sigma_{ij}^{\#} + \bar{f}^i) \delta u_i dV + \int_{S_0} (T^i - \bar{T}^i) \delta u_i ds = 0 \quad (3.15)$$

في العلاقة (3.15) خفضت قرائن توابع الانتقالات  $\delta u^i$  لتصبح  $\delta u_i$  بعد مراعاة كون العمل الداخلي و العمل الخارجي هو الجداء السلمي لأشعة القوى و أشعة الانتقالات كما ورد توضيحها في الفقرتين 1-3 و 2-1 ، و الإشارة السالبة في الحد الأول تدل على أن اتجاه تزايد القوى الداخلية دوماً معاكس لاتجاه تزايد الانتقالات . إن الانتقال الرياضي من المعادلتين (3.9) و (3.14) إلى المعادلة (3.15) يعني إنشائياً الاستغناء عن تحقق معادلات التوازن الداخلية على متوازي المستطيلات بأبعاد تفاضلية و استبدالها بتحقيق معادلات التوازن على كامل حجم الجسم . كما يعني بشكل مماثل الاستغناء عن تحقق الشروط الطرفية الميكانيكية على هـم بأبعاد تفاضلية مقطوع من السطح الخارجي  $S_0$  و استبدالها بتحقيق الشروط الطرفية الميكانيكية على كامل السطح  $S_0$  . لندخل الآن بعض التحوييلات الرياضية على المعادلة (3.15) بغية تفسير مكوناتها إنشائياً . يمكن كتابة مشتق جداء مضارب بالشكل :

$$-\int_V (\sigma_{ij}^{\#} \delta u_i)_{,j} dV = -\int_V \sigma_{ij}^{\#} \delta u_{i,j} dV - \int_V \sigma_{ij}^{\#} \delta u_{i,j} dV \quad (3.16)$$

الحد اليساري من المعادلة السابقة هو تكامل على حجم الجسم  $V$  لتفرق المقدار  $\sigma_{ij}^{\#} \delta u_i$  و يمكن تحويله إلى تكامل على سطح الجسم الخارجي الكلي  $S$  ;  $(s = s_0 + s_u)$  وفق مقولة غاوص (Gauss) في تحويل التكامل الحجمي إلى تكامل سطحي :

$$-\int_V (\sigma_{ij}^{\#} \delta u_i)_{,j} dV = -\int_S \sigma_{ij}^{\#} n_j \delta u_i dS \quad (3.17)$$

بتعويض المعادلة (3.17) في المعادلة (3.16) و إعادة ترتيب الحدود الأخيرة نحصل على :

$$\begin{aligned} -\int_V \sigma_{ij}^{\#} \delta u_{i,j} dV &= \int_V \sigma_{ij}^{\#} \delta u_{i,j} dV - \int_S \sigma_{ij}^{\#} n_j \delta u_i dS \\ &= \int_V \sigma_{ij}^{\#} \delta u_{i,j} dV - \int_{S_0} \sigma_{ij}^{\#} n_j \delta u_i dS - \int_{S_u} \sigma_{ij}^{\#} n_j \delta u_i dS \end{aligned} \quad (3.18)$$

هنا تم تقسيم التكامل السطحي على  $S$  إلى تكاملين سطحيين على أجزاء السطح  $S_0, S_u$  . لنعيد الآن صياغة المعادلة (3.15) بمساعدة المعادلة (3.18) فنحصل على ما يلي :

$$\begin{aligned} & \int_V \sigma_{ij}^0 \delta u_{i,j} dV - \int_V \bar{f}^i \delta u_i dV - \int_{S_0} \bar{T}^i \delta u_i ds \\ & - \int_{S_0} (\sigma_{ij}^0 n_j - T^i) \delta u_i ds - \int_{S_u} \sigma_{ij}^0 n_j \delta u_i ds = 0 \end{aligned} \quad (3.19)$$

المقدار  $\sigma_{ij}^0 n_j$  هو نفسه  $T^i$  ( انظر العلاقة (3.14) ) و هو الإجهاد على وحدة السطح الخارجي الناشئ من تعويض معادلات سطح الجسم في توازن الإجهادات الداخلية و الحد قبل الأخير مساو بالتالي للصفر . الحد الأخير مساو للصفر باعتبار أننا اشتربنا تحقق الشروط الطرفية الهندسية إذ أن متغير مقدار معلوم مكافئ للصفر .

$$u_i = \bar{u}_i; \delta u_i = \delta \bar{u}_i = 0 \quad \text{on} \quad S_u \quad (3.20)$$

أما المقدار  $\delta u_{i,j}$  في الحد الأول فهو مكافئ لتغير التشوهات  $\delta \varepsilon_{ij}$  مع مراعاة خاصية التناظر لموترة التشوهات .

$$\varepsilon_{ij} = \frac{1}{2} (u_{i,j} + u_{j,i}); \delta \varepsilon_{ij} = \frac{1}{2} (\delta u_{i,j} + \delta u_{j,i}) = \delta u_{i,j} \quad (3.21)$$

بعد هذه الاعتبارات تصبح العلاقة (3.19) مكافئة للتالي :

$$\int_V \sigma_{ij}^0 \delta \varepsilon_{ij} dV - \int_V \bar{f}^i \delta u_i dV - \int_{S_0} \bar{T}^i \delta u_i ds = 0 \quad (3.22)$$

بتفحص العلاقة (3.22) نجد أن الحد الأول منها يمثل العمل الداخلي الكامن لقوى التشوه و أن الحدين الآخرين يمثلان عمل القوى الخارجية . و العلاقة (3.22) ككل تمثل مبدأ هاماً من مبادئ ميكانيك الإنشاءات و هو مبدأ الانتقالات الوهمية . ينص هذا المبدأ على أن مجموع العمل الداخلي الكامن لقوى التشوه و العمل الخارجي للقوى المؤثرة على جسم مستمر يجري انتقالاً وهما دون المساس بالشروط الطرفية الهندسية مساو للصفر شرط أن يكون الجسم معزولاً ( أي دون إضافة طاقة خارجية ) و أن تكون القوى المؤثرة على الجسم محافظة ( أي لا تغير شدتها أو اتجاهها أثناء الانتقال الوهمي ) . هذا المبدأ ساري المفعول سواء في المجال الفيزيائي الخطي بالإضافة إلى المجال الهندسي الخطي و غير الخطي لأننا حتى الآن لم نضع أية شروط يجب تحقيقها أثناء الاشتقاق و التي تحدد مجال الاستخدام . لنقصر الآن بحثنا على المجال الخطي و لنشترط سلوكاً فيزيائياً خطياً للمادة أي تحقق قانون هوك (3.11) عندها نستطيع إخراج إشارة المتغير خارج الحد الأول وفق الشكل :

$$\delta(\sigma^{ij}\varepsilon_{ij}) = \delta(c^{ijk\ell}\varepsilon_{k\ell}\varepsilon_{ij}) = c^{ijk\ell}(\varepsilon_{ij}\delta\varepsilon_{k\ell} + \varepsilon_{k\ell}\delta\varepsilon_{ij}) = 2c^{ijk\ell}\varepsilon_{k\ell}\delta\varepsilon_{ij} = 2\sigma^{ij}\delta\varepsilon_{ij} \quad (3.23)$$

كما نستطيع إخراج إشارة المتغير خارج الحدين الآخرين باعتبار أن متغير قيمة معلومة مساو للصفر. و بعد هذه الاشتراطات نحصل على مبدأ الطاقة الكامنة الذي يمكن كتابته بالشكل :

$$\delta\left(\frac{1}{2}\int_V \varepsilon_{ij}c^{ijk\ell}\varepsilon_{k\ell}dV - \int_V \bar{f}^i u_i dV - \int_{S_0} \bar{T}^i u_i ds\right) = 0 \quad (3.24)$$

$$\delta\Pi = \delta(\Pi_i + \Pi_a) = \delta\Pi_i + \delta\Pi_a = 0$$

حيث  $\Pi_i$  الطاقة الكامنة لقوى التشوه و  $\Pi_a$  طاقة القوى الخارجية و هي مكافئة لمكبوس عمل القوى الخارجية أما  $\Pi$  فهي الطاقة الكامنة للجسم. في هذا السياق لا بد أن نذكر أن التسمية الرياضية للقيمة  $\Pi$  هي ما نطلق عليه اسم تابعي أو (functional) هذا التابعي يأخذ قيمة حدية كما هو واضح من العلاقة (3.25) إذ أن متغيره الأول مساو للصفر . لتحديد ماهية هذه القيمة الحدية إن كانت قيمة صغرى أو عظمى نبحث عن إشارة المتغير الثاني للقيمة التابعة . المتغير الأول للتابعي  $\Pi$  وفق العلاقة (3.24) هو :

$$\delta\Pi = \int_V c^{ijk\ell}\varepsilon_{ij}\delta\varepsilon_{k\ell}dV - \int_V \bar{f}^i \delta u_i dV - \int_{S_0} \bar{T}^i \delta u_i ds \quad (3.25)$$

و المتغير الثاني بعد الأخذ بعين الاعتبار أن التابع الذي يجري أخذ متغيره هو  $\varepsilon_{ij}$  أو  $u_i$  وليس  $\delta\varepsilon_{ij}$  أو  $\delta u_i$  هو :

$$\delta^2\Pi = \int_V \delta\varepsilon_{ij}c^{ijk\ell}\delta\varepsilon_{k\ell}dV \geq 0 \quad (3.26)$$

و هذا المقدار موجب دوماً لأنه يحوي على مربع متغير التشوهات و على معاملات الصلابة للمادة الموجبة دوماً ، و هذا المربع موجب دوماً سواء أخذت التشوهات قيمة سالبة أم موجبة. بنسأ على ذلك نستنتج أن الطاقة الكامنة تأخذ في حالة الأجسام المرنة الموجودة في حالة توازن ثمانية حدية صغرى .



### 3-1-4- شروط استخدام مبدأ الطاقة الكامنة الأصغري

من خطوات الاشتقاق في الفقرة السابقة يتبين أن مجال استخدام مبدأ الطاقة الكامنة الأصغري مقتصر على المجال الفيزيائي الخطي. و هو المجال الذي يسري فيه مفعول قانون هوك للمادة. وهذا الشرط وصفناه أثناء عملية الاشتقاق عندما استبدلنا  $\epsilon_{xx}^{(k)}$  بمكافئها  $c_{xx}^{(k)}$  في العلاقة (3.23). أما في المجال الهندسي الخطي و غير الخطي فمبدأ الطاقة الكامنة الأصغري ساري المفعول. و يمكن استخدامه حتى في حالة الانتقالات الكبيرة و ذلك لأن الشرط الوارد في العلاقة (3.21) لا يتطلب سوى أن تكون موتره التشوهات متناظرة وهذا محقق إذا استخدمت العلاقات (2.26) لحالة السلوك الهندسي غير الخطي بدل استخدام العلاقة (2.29) لحالة السلوك الهندسي الخطي. اشترطنا أيضا أثناء الاشتقاق انعدام متغير الانتقالات على جزء السطح الخارجي الذي تكون عليه الانتقالات معلومة مسبقا ( $S_0$ ). وبالتالي يجب أثناء اختيار توابع الانتقالات أن نراعي تحقق الشروط الطرفية الهندسية. بعد افتراض الانتقالات المحققة للشروط الطرفية الهندسية. يجب استخدام علاقات التشوهات - الانتقالات، العلاقة (2.26) لحالة السلوك الهندسي اللاخطي أو العلاقة (2.29) لحالة السلوك الهندسي الخطي، للحصول على توابع التشوهات. بعدها يستخدم قانون المادة (3.11) للحصول على توابع الإجهادات. ومعنى ذلك أن الاستخدام يفترض التحقق الدقيق لهذه العلاقات (على عناصر تفاضلية مقتطعة من الجسم). بعد هذا يمكن تقييم قيمة تابعي الطاقة الكامنة وأخذ متغيره، الذي يؤدي إلى تحقيق معادلات التوازن (3.9) بشكل تكاملي فقط (على كامل الوسط المستمر أو الجسم) و الشروط الطرفية الميكانيكية (3.14) على  $S_0$ . لا بد في النهاية أن نذكر أن مبدأ الطاقة الكامنة الأصغري يشكل الأساس النظري لطريقة الانتقالات.

### 3-2- مبدأ الطاقة المتممة الأصغري

#### 3-2-1- العمل الداخلي المتمم

يراد حساب العمل الداخلي لقوى التشوه من أجل تزايد الإجهادات (على متوازي المستطيلات بأبعاد تفاضلية مقتطع من جسم ما)، بمقدار تفاضلي  $d\sigma_{ij}$ . بعد اتباع خطوات مشابهة للفقرة

2-1-1 في تحصيل مركبات الإجهادات على سطوح متوازي المستطيلات التفاضلي إلى قوى مؤثرة على هذه السطوح و تحديد الانتقالات الموافقة و الناتجة عن التشوهات  $\varepsilon_{ij}$  سوف نجد أن تفضل العمل الداخلي لقوى التشوه و الذي سنسميه العمل الداخلي المتمم تمييزا له عن العمل الداخلي الكامن ، مساو للمقدار:

$$dW^*(\sigma) = \int_0^{\sigma_{ij}} \varepsilon_{ij} d\sigma_{ij} dV \quad (3.27)$$

يسمى تغير هذا المقدار لواحدة الحجم من الجسم بكثافة الطاقة المتممة .

$$w^*(\sigma) = \int_0^{\sigma_{ij}} \varepsilon_{ij} d\sigma_{ij} \quad (3.28)$$

و التفاضل التام له هو :

$$dw^*(\sigma) = \varepsilon_{ij} d\sigma_{ij} \quad (3.29)$$

في حالة الأجسام المرنة يكون  $w^*(\sigma)$  تابعا للإجهادات فقط و بالتالي يعطى تفاضله التام بالعلاقة التالية :

$$dw^*(\sigma) = \frac{\partial w^*(\sigma)}{\partial \sigma_{ij}} d\sigma_{ij} \quad (3.30)$$

بمقارنة (3.30) مع (3.29) ينتج :

$$\varepsilon_{ij} = \frac{\partial w^*(\sigma)}{\partial \sigma_{ij}} \quad (3.31)$$

و العمل الداخلي المتمم على حجم الجسم يؤخذ بتكامل كثافة الطاقة المتممة على الحجم

$$W^*(\sigma) = \int_V \left( \int_0^{\sigma_{ij}} \varepsilon_{ij} d\sigma_{ij} \right) dV \quad (3.32)$$

### 3-2-2- اشتقاق مبدأ الطاقة المتممة الأصغري

سوف نقتصر في اشتقاق مبدأ الطاقة المتممة الأصغري على المجال الفيزيائي الخطي و على المجال الهندسي الخطي ، حيث يسري مفعول العلاقات (3.9) إلى (3.14) . لنفرض أننا أزحنا جسما

عن وضعية توازنه بتطبيق توابع إجهادات وهمية  $\delta\sigma_{ij}^*$  في الحجم  $V$  وأخرى موافقة لها على جزء السطح  $S_0$  وتحقق المساواة  $\delta T^i = \delta\sigma_{ij}^* n_j$ . فإذا استغنيا عن التحقق الدقيق للعلاقات التشوهات-الانتقالات (3.10) والشروط الطرفية الهندسية (3.12) و اكتفينا بتحققها تكاملياً على كامل حجم و سطح الجسم عندها نستطيع أن نكتب :

$$\int_V \left[ \varepsilon_{ij} - \frac{1}{2}(u_{i,j} + u_{j,i}) \right] \delta\sigma_{ij}^* dV + \int_{S_0} (u_i - \bar{u}_i) \delta\sigma_{ij}^* n_j ds = 0 \quad (3.33)$$

باعتبار تناظر مشتقات الانتقالات  $(u_{i,j} = u_{j,i})$  و إتباع خطوات مشابهة لتلك التي اتقلنا بها من العلاقة (3.16) إلى العلاقة (3.18) أي كتابة مشتق جداء مضارب و استخدم مقولة غاوص في تحويل التكامل الحجمي إلى تكامل سطحي ، نجد أن :

$$-\int_V \delta\sigma_{ij}^* u_{i,j} dV = \int_V \delta\sigma_{ij}^* u_i dV - \int_{S_0} \delta\sigma_{ij}^* n_j u_i ds - \int_{S_0} \delta\sigma_{ij}^* n_j u_i ds \quad (3.34)$$

بتعويض (3.34) في (3.33) و اختصار الحدود المتشابهة نحصل على :

$$\int_V \varepsilon_{ij} \delta\sigma_{ij}^* dV - \int_V \delta\sigma_{ij}^* u_i dV - \int_{S_0} \delta\sigma_{ij}^* n_j \bar{u}_i ds - \int_{S_0} \delta\sigma_{ij}^* n_j u_i ds = 0 \quad (3.35)$$

فإذا اخترنا توابع الإجهادات الوهمية محققة بشكل دقيق لمعادلات التوازن (3.9) والشروط الطرفية الميكانيكية (3.13) يكون :

$$\delta\sigma_{ij}^* + \delta\bar{T}^i = 0 ; \delta\sigma_{ij}^* = 0 \quad (3.36)$$

$$\delta\sigma_{ij}^* n_j + \delta\bar{T}^i = 0 ; \delta\sigma_{ij}^* n_j = 0 \quad \text{on} \quad S_0 \quad (3.37)$$

وبالتالي تبسط العلاقة (3.35) إلى :

$$\int_V \varepsilon_{ij} \delta\sigma_{ij}^* dV - \int_{S_0} \delta\sigma_{ij}^* n_j \bar{u}_i ds = 0 \quad (3.38)$$

الحد الأول يمثل العمل الداخلي المتمم على كامل حجم الجسم .

و هذه العلاقة تمثل مبدأ آخر من مبادئ ميكانيك الإنشاءات و هو مبدأ القوى الوهمية . يسري مفعول هذا المبدأ أيضاً في المجال الفيزيائي غير الخطي أيضاً و ذلك لأننا في اشتقاقنا السابقة لم نشترط سريان مفعول أي قانون للمادة . للحصول على مبدأ الطاقة المتتممة الأصغري سوف

نستطوع سلوكا فيزيائيا خطيا للمادة عندها نستطيع التعبير عن التشوهات بدلالة الإجهادات وفق العلاقة (2.33) و نخرج إشارة المتغير خارج الحد الأول .

$$\delta(\varepsilon_{ij}\sigma^{ij}) = \delta(s_{ijk\ell}\sigma^{k\ell}\sigma^{ij}) = s_{ijk\ell}(\sigma^{ij}\delta\sigma^{k\ell} + \sigma^{k\ell}\delta\sigma^{ij}) = 2s_{ijk\ell}\sigma^{k\ell}\delta\sigma^{ij} = 2\varepsilon_{ij}\delta\sigma^{ij} \quad (3.39)$$

إشارة المتغير يمكن خراجها خارج الحد الأخير من (3.39) باعتبار متغير  $\bar{u}_i$  مساو للصفر ( قيمة معلومة مسبقا ) فنحصل على :

$$\delta\left(\frac{1}{2}\int_V s_{ijk\ell}\sigma^{k\ell}\sigma^{ij}dV - \int_{s_u}\sigma^{ij}n_j\bar{u}_i ds\right) = 0 \quad (3.40)$$

القيمة السلمية بين القوسين الصغيرين تمثل الطاقة المتممة و يرمز لها عادة"  $\Pi_c$  . و معنى ذلك انه وفق الاشتراطات السابقة ينعدم المتغير الأول للطاقة المتممة لجسم مرن تحت تأثير مجموعة قوى متوازنة .

$$\Pi_c = \frac{1}{2}\int_V s_{ijk\ell}\sigma^{k\ell}\sigma^{ij}dV - \int_{s_u}\sigma^{ij}n_j\bar{u}_i ds \quad ; \quad \delta\Pi_c = 0 \quad (3.41)$$

بحساب المتغير الثاني  $\Pi_c$  مع اعتبار أن المتغير يجري على  $\sigma^{ij}$  وليس على  $\delta\sigma^{ij}$  نجد أن :

$$\delta^2\Pi_c = \int_V \delta\sigma^{ij}s_{ijk\ell}\delta\sigma^{k\ell}dV \geq 0 \quad (3.42)$$

و هذا المقدار موجب دوما لأن معاملات الليونة موجبة و مربع الإجهادات الاختيارية مقدار حدوده موجبة دوما . و منه ينتج أن الطاقة المتممة تأخذ أيضا حالة حدية صغرى .

### 3-3- شروط استخدام مبدأ الطاقة المتممة الأصغري

يقتصر سريان مفعول مبدأ الطاقة المتممة الأصغري المشتق في الفقرة السابقة على المجال الفيزيائي الخطي و على المجال الهندسي الخطي و من الواضح في العلاقة (3.33) أن علاقات التشوهات - الانتقالات و الشروط الطرفية الهندسية يتم تحقيقها تكامليا على حجم و سطح الجسم المعنصر . بينما يجب أن تحقق توابع الإجهادات المفترضة معادلات التوازن و الشروط الطرفية الميكانيكية تحقيقا دقيقا . نقطة الانطلاق الأساسية في استخدام مبدأ الطاقة المتممة إذا هي افتراض توابع

للإجهادات بثوابت اختيارية . وهذا الاختيار كما قلنا مقيد بالشروط الآتية الذكر . بعد هذا الافتراض يمكن تقييم الطاقة المتممة  $\Pi_c$  المعرفة في العلاقة (3.41). توابع الإجهادات على جزء السطح  $S_0$  هي توابع يتم الحصول عليها من توابع الإجهادات المفترضة للوسط الحجمي بتعويض معادلات أطراف الجسم المثلثة عادة لسطوح الجسم و تقييم جداءات الإجهادات في نواظم هذه السطوح . يمثل مبدأ الطاقة المتممة الأصغري الأساس النظري لطريقة القوى المعروفة في ميكانيك الإنشاءات .

### 3-3- مبادئ الطاقة الموسعة

لاستخدام مبدأ الطاقة الكامنة الأصغري يلزمنا اختيار توابع عشوائية لكن اختيارها مقيد بتحقيقها للشروط الطرفية الهندسية . ولاستخدام مبدأ الطاقة المتممة الأصغري يلزمنا اختيار توابع إجهادات عشوائية واختيارها بدوره مقيد بتحقيقها للشروط الطرفية الميكانيكية . ومسألة الاستخدام تغدو بالمعنى الرياضي بحثاً عن قيم حدية للطاقة الكامنة والطاقة المتممة بشروط طرفية . غالباً ما يكون تحقيق الشروط الطرفية مصحوباً بمشاكل يصعب التغلب عليها وخاصة عند استخدام مبدأ الطاقة المتممة . لذلك يلجأ عادة إلى تحويل مسألة البحث عن القيم الحدية بشروط طرفية إلى بحث عن قيم حدية بدون شروط طرفية بإدخال مضارب لاغرنج إلى مبادئ الطاقة الأساسية لنحصل على مبادئ الطاقة الموسعة التي سنشرحها بشكلها الرياضي في الفقرة الآتية . ولكن النهاية الحدية الصغرى التي تتميز بها الطاقة الكامنة أو الطاقة المتممة تصبح نهاية حدية غير معروفة إن كانت صغرى أم عظمى . ويرتبط على عدم المعرفة هذه جهل بطبيعة تقارب الحل الناتج عن استخدام مبادئ الطاقة الموسعة إلى الحل الصحيح . بينما يجب أن يتقارب الحل الناتج عن الاستخدام الصحيح لمبادئ الطاقة الأساسية من الجهة العليا لأن الحل الصحيح يمثل النهاية الحدية الصغرى . لا بد من التنويه هنا أن استخدام مضارب لاغرنج لإنشائها مشابه لاستخدامها رياضياً إلا أنه في المجال الإنشائي يجب تفسير مضارب لاغرنج لإنشائها من حيث ماهيتها و من حيث أماكن فرضها

في الوسط الإنشائي . و ستوضح هذه المعاني في الفقرات و الفصول القادمة أثناء تعديل مبدأ الطاقة المتماثلة الأصغري و استخدامه على بعض نماذج المنشآت .

### 3-3-1- مضاريب لاغرنج و النهايات الحدية لتتابع بمحولات مستقلة

ليكن لدينا التابع :

$$y = f(x_1, x_2, \dots, x_n) \quad (3.43)$$

حيث  $x_1, x_2, \dots, x_n$  متحولاته المستقلة ، و لنفرض أن هذا التابع معرف و مستمر في مجال ما و قابل للاشتقاق في مجال تعريفه . فالشرط اللازم لوجود النهاية الحدية لهذا التابع :

$$y^0 = f(x_1^0, x_2^0, \dots, x_n^0) \quad (3.44)$$

هو انعدام مشتقاته الجزئية بالنسبة للمتغيرات المستقلة  $x_1, x_2, \dots, x_n$  عند النقطة  $x_1^0, x_2^0, \dots, x_n^0$  أي :

$$\frac{\partial f}{\partial x_i}(x_1^0, x_2^0, \dots, x_n^0) = 0 \quad (3.45)$$

هذا الشرط لازم و ليس كافيا بعد لوجود نهاية حدية أو لتحديد ماهية هذه النهاية الحدية إن كانت صغرى أم عظمى . نقبل بأن الشرط الكافي لوجود نهاية حدية للتابع (3.43) هو أن يكون معين مصفوفة مشتقاته الجزئية من المرتبة الثانية عند النقطة  $(x_1^0, x_2^0, \dots, x_n^0)$  أكبر من الصفر .

$$\det \begin{pmatrix} f_{,x_1x_1} & f_{,x_1x_2} & \dots & f_{,x_1x_n} \\ f_{,x_2x_1} & f_{,x_2x_2} & \dots & f_{,x_2x_n} \\ \vdots & \vdots & \ddots & \vdots \\ f_{,x_nx_1} & f_{,x_nx_2} & \dots & f_{,x_nx_n} \end{pmatrix} > 0 \quad (3.46)$$

و النهاية الحدية هي نهاية صغرى إذا كانت مصفوفة المشتقات الجزئية من المرتبة الثانية موجبة بالتعريف أما ما عدا ذلك فالنهاية حدية عظمى . و أما في حال انعدام معين المصفوفة المذكورة فلا نستطيع تحميم وجود نهاية حدية . و مصفوفة المشتقات الجزئية هي موجبة بالتعريف إذا كانت قيم معينات مصفوفاتها الجزئية المتنامية كلها موجبة أي :

$$f_{,x_1x_1} \rangle 0; \left| \begin{array}{cc} f_{,x_1x_1} & f_{,x_1x_2} \\ f_{,x_2x_1} & f_{,x_2x_2} \end{array} \right| \rangle 0; \dots \left| \begin{array}{ccc} f_{,x_1x_1} & f_{,x_1x_2} & \dots & f_{,x_1x_n} \\ f_{,x_2x_1} & f_{,x_2x_2} & \dots & f_{,x_2x_n} \\ \vdots & \vdots & \ddots & \vdots \\ f_{,x_nx_1} & f_{,x_nx_2} & \dots & f_{,x_nx_n} \end{array} \right| \rangle 0 \quad (3.47)$$

كمثال على تحديد النهاية الحدية لتابع بمتحويلين مستقلين نأخذ التابع :

$$y = x_1^3 x_2^2 (1 - x_1 - x_2) \quad (3.48)$$

قاعدة انعدام المشتقات الجزئية من المرتبة الأولى تؤدي إلى :

$$f_{,x_1} = x_1^2 x_2^2 (3 - 4x_1 - 3x_2) = 0 \quad (3.49)$$

$$f_{,x_2} = x_1^3 x_2 (2 - 2x_1 - 3x_2) = 0$$

والنقاط المحتملة للنهاية الحدية هي  $(\frac{1}{2}, \frac{1}{3}), (c_2, 0), (0, c_1)$  حيث  $c_2, c_1$  ثوابت لا على التعيين . إذ أنه عند كل النقاط السابقة تنعدم جميع المشتقات الجزئية من المرتبة الأولى . وهذا الشرط لم يكن كافيا لتحديد النهاية الحدية . لنحدد الآن توابع مصفوفة المشتقات الجزئية من المرتبة الثانية (3.46) ونحسب قيم معينها عند النقاط المحتملة كقيم حدية فنجد أن :

$$\begin{aligned} f_{,x_1x_1} &= x_1 x_2^2 (6 - 12x_1 - 6x_2) \\ f_{,x_1x_2} &= f_{,x_2x_1} = x_1^2 x_2 (6 - 8x_1 - 9x_2) \\ f_{,x_2x_2} &= x_1^3 (2 - 2x_1 - 6x_2) \end{aligned} \quad (3.50)$$

و معين المصفوفة عند النقطة  $(\frac{1}{2}, \frac{1}{3})$  هو :

$$\left| \begin{array}{cc} -\frac{1}{9} & -\frac{1}{12} \\ -\frac{1}{12} & -\frac{1}{4} \end{array} \right| = \frac{3}{144} \rangle 0 \quad (3.51)$$

وبما أن أحد اللعينات الجزئية للمتنامية للمصفوفة و هو التالي:

$$f_{,x_1x_1} = -\frac{1}{9} \langle 0 \quad (3.52)$$

أصغر من الصفر فالمصفوفة ليست موجبة بالتعريف و النهاية الحدية عند النقطة  $(\frac{1}{2}, \frac{1}{3})$  هي نهاية حدية عظمى . أما في بقية النقاط المحتملة كنهاية حدية فإن معين المصفوفة مطابق للفسر و لا نستطيع عند هذه النقاط التحدث عن نهايات حدية . كما أسلفنا تستخدم مضارب لاغرنج لتحويل مسألة البحث عن قيم حدية لتابع ما أو قيمة تابعة بشروط طرفية إلى بحث عن قيم حدية دون شروط طرفية . لنفرض أننا نبحث عن قيمة حدية لتابع بعدة متحولات مستقلة .

$$y = (x_1, x_2, \dots, x_n) \quad (3.53)$$

المتحولات المستقلة لهذا التابع مرتبطة مع بعضها البعض بالشروط الطرقي .

$$\varphi(x_1, x_2, \dots, x_n) = 0 \quad (3.54)$$

و نريد الآن البحث عن قيمة حدية للتابع (3.53) تحقق الشرط الطرقي (3.54) . نشكل الآن التابع :

$$F(x_1, x_2, \dots, x_n, \lambda) = f(x_1, x_2, \dots, x_n) + \lambda \varphi(x_1, x_2, \dots, x_n) \quad (3.55)$$

حيث  $\lambda$  مضروب لاغرنج الذي أدخل بالنسبة لتابع لاغرنج  $F$  كمتحول مستقل . يستعاض الآن عن الشرط اللازم لوجود نهاية حدية للتابع  $f$  بالشرطين التاليين للتابع  $F$  :

$$\frac{\partial F}{\partial x_i}(x_1, x_2, \dots, x_n, \lambda) = 0 \quad (3.56)$$

$$\frac{\partial F}{\partial \lambda}(x_1, x_2, \dots, x_n, \lambda) = \varphi(x_1, x_2, \dots, x_n) = 0 \quad (3.57)$$

يلاحظ أن الشرط الطرقي (3.54) محتوى في الشرط اللازم لوجود نهاية حدية لتابع لاغرنج كمثال تطبيقي نأخذ التابع :

$$f(x_1, x_2, x_3) = (x_1 - 1)^2 + (x_2 - 1)^2 + (x_3 - 1) \quad (3.58)$$

الذي نود البحث عن نهاية حدية له تحقق الشرط :

$$\varphi(x_1, x_2, x_3) = x_1 + 2x_2 + 3x_3 + 4 = 0 \quad (3.59)$$

لإيجاد النهاية الحدية التي تحقق الشرط السابق نقوم بحساب أحد المتحولات المستقلة بدلالة المتحولين الآخرين من الشرط الطرقي نفسه و نعوضه في المعادلة (3.58) فنحصل على معادلة



بمتحولين مستقلين فقط ، فإذا قمنا بحذف المتحول  $x_1$  نحصل بتطبيق شرط النهاية الحدية (3.45) على المعادلتين التاليتين :

$$\frac{\partial f}{\partial x_2} = 10x_2 + 12x_3 + 18 = 0 \quad (3.60)$$

$$\frac{\partial f}{\partial x_3} = 12x_2 + 20x_3 + 28 = 0$$

بحل هاتين المعادلتين يمكن حساب إحداثيات النقطة الحدية على المحورين  $x_2, x_3$  ، ويجري حساب  $x_1$  من المعادلة (3.59) . ونجد بالنتيجة أن النهاية الحدية تمثلها النقطة التي إحداثياتها  $(\frac{2}{7}, -\frac{3}{7}, -\frac{8}{7})$  ويمكن التأكد أن هذه النقطة تمثل نهاية حدية صغرى . الآن سوف نبحث عن النهاية الحدية باستخدام تابع لاغرنج . يأخذ تابع لاغرنج وفق العلاقة (3.55) الشكل :

$$F(x_1, x_2, x_3) = (x_1 - 1)^2 + (x_2 - 1)^2 + (x_3 - 1)^2 + \lambda(x_1 + 2x_2 + 3x_3 + 4) \quad (3.61)$$

و الشرط اللازم لوجود النهاية الحدية يفضي إلى المعادلات التالية:

$$\begin{aligned} \frac{\partial F}{\partial x_1} &= 2(x_1 - 1) + \lambda = 0 \\ \frac{\partial F}{\partial x_2} &= 2(x_2 - 1) + 2\lambda = 0 \\ \frac{\partial F}{\partial x_3} &= 2(x_3 - 1) + 3\lambda = 0 \end{aligned} \quad (3.62)$$

$$\frac{\partial F}{\partial \lambda} = x_1 + 2x_2 + 3x_3 + 4 = 0$$

بحل هذه المعادلات نحصل على قيمة مضروب لاغرنج  $\lambda = \frac{10}{7}$  وإحداثيات النقطة الحدية  $(\frac{2}{7}, -\frac{3}{7}, -\frac{8}{7})$  . لنرى ماذا تمثل هذه النهاية الحدية بالنسبة لتابع لاغرنج  $F$  إذا ما حللنا منه المتحولات  $x_1, x_2, x_3$  ، بمساعدة المعادلات الثلاثة الأولى من (3.62) . بعد هذا الإجراء نحصل على تابع لاغرنج الممثل بالمعادلة :

$$F(\lambda) = -\frac{14}{4}\lambda^2 + 10 = 0 \quad (3.63)$$

و القيمة  $\lambda = \frac{10}{7}$  تمثل فعلا النهاية الحدية للتابع  $F(\lambda)$  ولكنها أصبحت نهاية حدية عظمى . وهكذا بعد استخدام مضارب لاغرنج في تحويل مسألة البحث عن نهاية حدية بشروط طرفية إلى البحث عن نهاية حدية دون شروط طرفية لا يمكن الجزم بطبيعة النهاية الحدية التي سوف نحصل عليها . و هذه إحدى مساوئ مبادئ الطاقة المعدلة بمضارب لاغرنج مقترنة بإحدى الطرق التقريبية كطريقة العناصر المنتهية إذ أننا لا نستطيع الجزم بأن الحل الناتج يقارب الحل الصحيح من الجهة العليا أو من الجهة الدنيا ، و إنما نستطيع القول أن الحل الناتج يمثل النهاية الحدية المطلوبة .

### 3-3-2- مبدأ الطاقة المتممة المعدل

أثناء اشتقاق مبدأ الطاقة المتممة الأصغري في الفقرة 3-2-2 أوضحنا أنه يجب أن نختار توابع الإجهادات الوهمية محققة بشكل دقيق لمعادلات التوازن و الشروط الطرفية الميكانيكية. غالبا ما يرتبط تحقيق الشروط الطرفية الميكانيكية باستخدام توابع الإجهادات المفترضة بصعوبات ليس من السهل التغلب عليها . و لذلك نحول مسألة البحث عن نهاية حدية أصغرية للطاقة المتممة بشروط طرفية إلى بحث عن نهاية حدية لتابعي مناسب معدل للطاقة المتممة بدون شروط طرفية، و ذلك بإضافة الشروط الطرفية الميكانيكية وتشكيل تابع لاغرنج كما أسلفنا في الفقرة السابقة . في هذه الحالة يصبح لدينا حرية أكثر في اختيار توابع الإجهادات الافتراضية إذ أنه يطلب فقط أن تحقق هذه التوابع معادلات التوازن ، وهذا غالبا ما يكون سهل التحقيق . نشكل الآن تابع لاغرنج للطاقة المتممة على غرار الشكل الرياضي في الفقرة السابقة بإضافة الشروط الطرفية الميكانيكية إلى القيمة التابعة للطاقة المتممة (3.41). بعد ضرب هذه الشروط بمضارب لاغرنج  $\lambda_i$  نحصل على الطاقة المتممة المعدلة :

$$\Pi_{ch} = \frac{1}{2} \int_V \sigma_{ijk}^0 S_{ijk} \sigma^k dV - \int_{\sigma_0} \sigma_{ij}^0 n_j \bar{u}_i ds - \int_{\sigma_0} (\sigma_{ij}^0 n_j - \bar{T}^i) \lambda_i ds \quad (3.64)$$

$\lambda_i$  يمثل عددا من مضاريب لاغرنج المكافئة لعدد الشروط الطرفية الموجودة . و هذه المضاريب ذات الطبيعة الرياضية البحتة الآن يجب أن تفسر إنشائيا من شروط النهاية الحدية . فحتى نحصل على نهاية حدية للطاقة المتممة المعدلة  $\Pi_{ch}$  يجب أن ننعدم متغيرها الأول ، و هذا يعني أن :

$$\begin{aligned} \delta \Pi_{ch} = & \int_V \delta \sigma^{ij} s_{ijk} \sigma^{kl} dV - \int_{s_u} \delta \sigma^{ij} n_j \bar{u}_i ds \\ & - \int_{s_\sigma} \sigma^{ij} n_j \lambda_i ds - \int_{s_\sigma} (\sigma^{ij} n_j - \bar{T}^i) \delta \lambda_i ds = 0 \end{aligned} \quad (3.65)$$

نعيد صياغة الحد الأول بالشكل :

$$\begin{aligned} T_I = & \int_V \delta \sigma^{ij} s_{ijk} \sigma^{kl} dV = \int_V \varepsilon_{ij} \delta \sigma^{ij} dV \\ = & \int_V \left[ \varepsilon_{ij} - \frac{1}{2} (u_{ij} + u_{ji}) \right] \delta \sigma^{ij} dV + \int_V \frac{1}{2} (u_{i,j} + u_{j,i}) \delta \sigma^{ij} dV \end{aligned} \quad (3.66)$$

لقد تم إضافة و طرح الحد الأخير من المعادلة السابقة إلى الحد الأول من المعادلة (3.65) . العلاقة (3.65) تأخذ بالاستفادة من قاعدة اشتقاق جداء مضاريب :

$$(u_i \delta \sigma^{ij})_{,j} = u_{i,j} \delta \sigma^{ij} + u_i \delta \sigma^{ij}_{,j} \quad (3.67)$$

و اعتبار التناظر :

$$\frac{1}{2} (u_{i,j} + u_{j,i}) \delta \sigma^{ij} = u_{i,j} \delta \sigma^{ij} = (u_i \delta \sigma^{ij})_{,j} - u_i \delta \sigma^{ij}_{,j} \quad (3.68)$$

و استخدام تكامل غاوص في تحويل التكامل الحجمي إلى تكامل سطحي :

$$\int_V (u_i \delta \sigma^{ij})_{,j} dV = \int_s u_i \delta \sigma^{ij} n_j ds = \int_{s_u} u_i \delta \sigma^{ij} n_j ds + \int_{s_\sigma} u_i \delta \sigma^{ij} n_j ds \quad (3.69)$$

و ملاحظة أن توابع الإجهادات الافتراضية تحقق معادلات التوازن التالية بدقة :

$$\int_V (u_i \delta \sigma^{ij}_{,j}) dV = 0 \quad (3.70)$$

الشكل التالي :

$$T_I = \int_V \left[ \varepsilon_{ij} - \frac{1}{2} (u_{i,j} + u_{j,i}) \right] \delta \sigma^{ij} dV + \int_{s_u} \delta \sigma^{ij} n_j u_i ds + \int_{s_\sigma} \delta \sigma^{ij} n_j u_i ds \quad (3.71)$$

بتعويض هذا الحد في العلاقة (3.65) و تجميع الحدود المتوافقة نحصل على :

$$\begin{aligned}\delta\Pi_{ch} = & \int_V [\varepsilon_{ij} - \frac{1}{2}(u_{i,j} + u_{j,i})] \delta\sigma^{ij} dV + \int_{s_u} \delta\sigma^{ij} n_j (u_i - \bar{u}_i) ds \\ & + \int_{s_u} \delta\sigma^{ij} n_j (u_i - \lambda_i) ds - \int_{s_\sigma} (\sigma^{ij} n_j - \bar{T}^i) \delta\lambda_i ds = 0\end{aligned}\quad (3.72)$$

و باعتبار أن المتغيرات  $\delta\sigma^{ij}, \delta\lambda_i, \delta\sigma^{ij} n_j$  عشوائية فحتى ينعدم المتغير الأول للطاقة المتممة المعدلة يجب أن تتحقق المعادلات التالية :

$$\begin{aligned}\varepsilon_{ij} - \frac{1}{2}(u_{i,j} + u_{j,i}) &= 0 \quad \text{in } V \\ u_i - \bar{u}_i &= 0 \quad \text{on } s_u \\ u_i - \lambda_i &= 0 \quad \text{on } s_\sigma \\ \sigma^{ij} n_j - \bar{T}^i &= 0 \quad \text{on } s_\sigma\end{aligned}\quad (3.73)$$

من هذه العلاقات نستخدم العلاقة الثالثة فقط لنستدل على المعنى الإنشائي لمضاريب لاغرنج .

$$\lambda_i = u_i \quad \text{on } s_\sigma \quad (3.74)$$

و معنى ذلك أن مضاريب لاغرنج تمثل الانتقالات على  $s_\sigma$  ( السطح الذي تكون عليه القوى معلومة مسبقاً). هذه الانتقالات يسمح الآن باختيارها باستقلالية تامة عن الحالة الإجهادية المفترضة . بالعودة الآن إلى العلاقة (3.65) و تبديل  $\lambda_i$  بمكافئها  $u_i$  نحصل على :

$$\begin{aligned}\delta\Pi_{ch} = & \int_V \delta\sigma^{ij} S_{ijk\ell} \sigma^{k\ell} dV - \int_{s_u} \delta\sigma^{ij} n_j \bar{u}_i ds - \\ & - \int_{s_\sigma} \delta\sigma^{ij} n_j u_i ds - \int_{s_\sigma} (\sigma^{ij} n_j - \bar{T}^i) \delta u_i ds = 0\end{aligned}\quad (3.75)$$

بعد ملاحظة متغير الجداء :

$$\delta \int_{s_\sigma} \sigma^{ij} n_j u_i ds = \int_{s_\sigma} \delta\sigma^{ij} n_j u_i ds + \int_{s_\sigma} \sigma^{ij} n_j \delta u_i ds \quad (3.76)$$

و مراعاة (3.39) في إخراج إشارة المتغير خارج الحد الأول و إمكانية إخراجها خارج الحد الثالث و الجزء الأخير من الحد الرابع للعلاقة (3.75) نجد أن :

$$\delta\Pi_{ch} = \delta \left\{ \frac{1}{2} \int_V \sigma^{ij} S_{ijk\ell} \sigma^{k\ell} dV - \int_{s_u} \sigma^{ij} n_j \bar{u}_i ds - \int_{s_\sigma} (\sigma^{ij} n_j - \bar{T}^i) u_i ds \right\} = 0 \quad (3.77)$$

و مبدأ الطاقة المتممة المعدل يعبر عنه ختاماً بالعلاقين الرياضيتين .

$$\Pi_{ch} = \frac{1}{2} \int_V \sigma_{ijk}^0 S_{ijk} \sigma^{kl} dV - \int_{s_u} \sigma_{ij}^0 n_j \bar{u}_i ds - \int_{s_\sigma} (\sigma_{ij}^0 n_j - \bar{T}^i) u_i ds = 0 \quad (3.78)$$

$$\delta \Pi_{ch} = 0 \quad (3.79)$$

القيمة التابعية  $\Pi_{ch}$  تحتوي على توابع الإجهادات الافتراضية في الحجم  $V$  كمجاهيل. من هذه التوابع تشتق توابع الإجهادات على السطوح التي تكون فيها الانتقالات و الإجهادات معلومة . إضافة إلى الإجهادات المفترضة لدينا توابع انتقالات افتراضية على جزء السطح الذي تكون فيه الإجهادات معلومة ( $s_\sigma$ ) كمجاهيل مستقلة أخرى . في الفصول اللاحقة سوف نطبق هذا المبدأ على بعض النماذج الإنشائية . إن إدخال مضارب لاغرنج لتحقيق شرط أو مجموعة شروط طرفية على مبدأ الطاقة الكامنة أو على مبدأ الطاقة المتممة و على المبادئ المعدلة منهما يقضي إلى مبادئ معدلة أخرى لا مجال لحصرها في سياق هذا الكتاب .

### 3-4-المصادر العلمية

بالإضافة إلى المصادر المستخدمة في الفصول السابقة استخدمت المصادر التالية :

1 . Pian , T.H.H

Finite element method by variational principle with relaxed continuity requirement in : Variational methods in Engineering vol 1-2 Southampton uni . Perss , Southampton England 1973

2. Wunderlich , W .

Ein verallgemeinertes Variationsverfahren zur vollen oder teilweisen Diskretisierung mehrdimensionaler elastizitätsprobleme Ing . Archiv 39 ( 1970 ) p . 230 - 247 .

3. Pian , T . H . H . ; Tong , p .

Basis of finite element method for solid continua Int . j . Num. Meth. Eng . vol 1 ( 1969 ) p. 3 - 38 .

4. Washizu , K .

some considerations of basic theory for the finite element method ,  
Advanced compt . Methods in structure (Mech . and Design edited by J.  
T. oden ; R. W. clough and y. yamamoto ) , P. 39 - 53 , UAH Press. ,  
Alabama ( 1972 ) .

5. Zurmuehl , R .

Matrizen und ihre technischen Anwendung ,Springer - Verlag . Berlin  
Goettingen . Heidelberg , 1984 .

6 . Gellert , W . Kaestner , H . ; Hellwich , M , Kleine Enzyklopaedie  
Mathematik ,VEB Bibliographisches Institut, Leipzig 1986 .

7 . Gellert , W . ; Kaestner , H . ; Neuber , S .

Lexikon der Mathematik ,VEB Bibliographisches Institut ,Leipzig 1985

8 . Atluri , S . N . , Gallagher , R . H . ; Zienkiewicz , O . C . ; Hybrid and  
Mixed Finite Element Methods John Wiley & sons ; chichester , New  
York , Brisbane Toronto , Singapore , 1983 .

9 . Cook , K . D

concepts and application of finite element analysis, John Wiley & sons ,  
New York. Chichester. Brisbane. Toronto. singapore , 1981 .

10 . Toupin , R . A . , Washington , D . C .

A variational principle for mesh - type analysis of mechanical systems ,  
Transaction of ASME , Journal of Applied Mechanics , vol . 74 ( 1952 ) 3 .  
p .151 - 152 .

11 . Fraeys DE Veubeke , B . M . ; Geradin , M . ; Huch , A , H ogge , A .  
structural Dynamics and Heat conduction, Int. centre of mechanical  
sciences , courses and Lectures, No . 126 , springer - verlag , Wien - Neu  
york , 1972 .

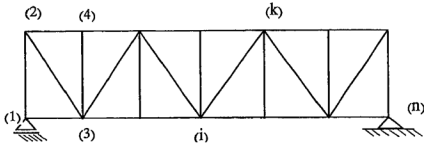
12 . Gladwell , G . M . L . ; Zimmerman , G .

on energy and complementary energy formulations of acoustics and  
structural vibration problems, Int . J of Sound and Vibration 3 ( 1966 ) 3 ,  
p . 233 - 241 .

#### 4- طريقة العناصر المنتهية - نموذج الانتقالات في حل المسائل وحيدة البعد

سوف تعرض في البدء طريقة العناصر المنتهية - نموذج الانتقالات في حل المسائل الوحيدة البعد على عناصر الجوائز الشبكية بتفصيل مسهب بغية التقدم المبسط للطريقة والإسهام السريع في استيعابها من قبل القارئ المبتدئ . في معالجة عناصر الجوائز الشبكية سوف يفترض أن :

- قضبان الجوائز تنقل القوى دون احتكاك
- اتصالات القضبان مع بعضها البعض مركزة أي أن محاور القضبان المتصلة بعقدة ما تتقاطع في مركز العقدة .
- تحميل الجوائز الشبكي يتم إما بقوى محورية على العناصر أو بقوى مركزة على العقد

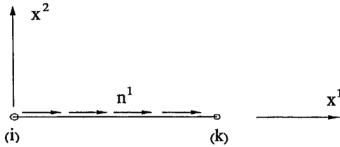


شكل 1-4 جوائز شبكي بـ n عقدة

#### 1-4- معادلات نظرية المرونة في قضيب من جوائز شبكي

لنقتطع من جوائز شبكي قضيب ما ( شكل 1-4 ) منسوب إلى جملة محاور إحداثية محلية. و عمل بمحمولة محورية موزعة  $\bar{n}^1$  تابعة للإحداثي  $x^1$  شكل (2-4). وفق الافتراضات المألوفة أعلاه يتعرض قضيب الجوائز الشبكي لقوى مقطع محورية أو لإجهادات محورية  $\sigma^{x^1}$  باتجاه

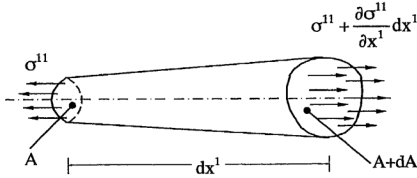
$x^1$  و  $x^2$  تعتمد بقية الإجهادات . كما أن التشوهات الحاصلة تقتصر على التشوه المحوري . ولهذا سوف نختصر هنا كتابة القرائن فعوضاً عن  $\sigma^{x^1 x^1}$  سنكتب  $\sigma^{11}$  وتستبدل بالرمز  $\varepsilon_{11}$  بالرمز  $\varepsilon_{x^1 x^1}$  وببساطة بالرمز  $E$  وهكذا...



شكل 4-2 : قضيب من جائل شبكي ، حالة التحميل ، الإحداثيات الخاصة .  
وبناء على ذلك تنقلص معادلات نظرية المرونة الخمسة عشر لتصبح على الشكل التالي :  
\* معادلات التوازن :

تنقلص معادلات التوازن الثلاثة إلى معادلة توازن واحدة باتجاه  $x^1$  وهي :

$$-\sigma^{11}A + \left(\sigma^{11} + \frac{d\sigma^{11}}{dx^1}dx^1\right)(A + dA) + \bar{n}^1 dx^1 = 0 \quad (4.1)$$



شكل 4-3 : عنصر تفاضلي من قضيب الجائل الشبكي



و ذلك بافتراض توزيع منتظم للإجهادات على سطوح المقاطع و بعد اختصار الحدود للتشابهة وإهمال الجداءات التفاضلية من المرتبة الثانية و القسمة على  $dx^1$  تصبح هذه المعادلة كما يلي :

$$\sigma^{11} \frac{dA}{dx^1} + \frac{d\sigma^{11}}{dx^1} A + \bar{n}^1 = 0 \quad (4.2)$$

أو

$$\frac{d}{dx^1} (\sigma^{11} A) + \bar{n}^1 = 0 \quad (4.3)$$

و الجداء  $\sigma^{11} A$  يمثل القوة  $N^1$  في المقطع  $A$  و يستعاض عادة عن معادلات توازن الإجهادات بمعادلات توازن قوى المقطع .

\* علاقات التشوهات - الانتقالات :

تتقلص علاقات التشوهات - الانتقالات الستة في الحالة الخطية إلى العلاقة :

$$\varepsilon_{11} = \frac{du_1}{dx^1} = u_{1,x^1} \quad (4.4)$$

و ذلك باعتبار أن التشوهات البقية معدومة .

\* قانون المادة :

يحتوي قانون المادة على علاقة واحدة أيضا تربط الإجهاد الناظمي بالتشوه و هو لحالة السلوك الخطي بوجود تشوهات مسبقة .

$$\sigma^{11} = E(\varepsilon_{11} - \bar{\varepsilon}_{11}) \quad (4.5)$$

و التشوهات المسبقة قد تحصل نتيجة تأثيرات خارجية كاختلاف درجات الحرارة و هبوط المساند أو غيرها . و المعادلات السابقة تمثل المعادلات الأساسية لنظرية المرونة في الحالة الخاصة المدروسة . يمكن الحصول على علاقات الإجهادات - الانتقالات بتعويض العلاقة (4.4) في (4.5) :

$$\sigma^{11} = (u_{1,x^1} - \bar{\varepsilon}_{11}) \quad (4.6)$$

و المعادلة التفاضلية التي تحكم المسألة نحصل عليها بتعويض الأخيرة في معادلة التوازن (4.3) .

$$\left[ EA(u_{1,x^1} - \bar{\varepsilon}_{11}) \right]_{,x^1} + \bar{n}^1 = 0 \quad (4.7)$$

#### 4-2- مبدأ الطاقة الكامنة الأصغري :

يمكن الحصول على مبدأ الطاقة الكامنة الأصغري لهذه الحالة الخاصة باتباع خطوات مماثلة لما ورد في الفقرة 3-1-4 و يكفي الآن بذكره في حالة عدم وجود تشوهات مسبقة .

$$\Pi = \sum_e \left( \frac{1}{2} \int_0^l \varepsilon_{11} E A \varepsilon_{11} dx^1 - \int_0^l \bar{n}^1 u_1 dx^1 \right) - \sum_m \bar{F}^{(m)} u_{1(m)} \quad (4.8)$$

$$\delta \Pi = 0 \quad (4.9)$$

حيث :

$\sum_e$  المجموع على عناصر الجائز الشبكي  
 $\bar{F}^{(m)}$  القوة المركزة في العقدة (m)

$\sum_m$  المجموع على عقد الجائز الشبكي المحملة بقوة مركزة  
 $l$  طول عنصر الجائز الشبكي

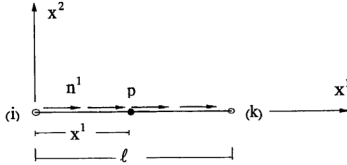
من الواضح أن الحد الأول من الطرف اليميني للعلاقة (4.8) يمثل طاقة التشوه للقوى الداخلية و الحدين الأخيرين من الطرف نفسه يمثلان عمل القوى الخارجية المؤلفة من قوى خطية موزعة وفق محاور العناصر و قوى مركزة في عقد الجائز الشبكي .

#### 4-3- خوارزميات طريقة العناصر المنتهية - نموذج الانتقالات .

لنقطع من الجائز الشبكي قضيبا (i)(k) و ننسبه إلى جملة محاور إحداثية محلية ليكن  $u_1(x^1)$  انتقال نقطة ما p ضمن العنصر و  $u_{1(i)}$ ,  $u_{1(k)}$  انتقالات العقدتين (i), (k) على التوالي في اتجاه  $x^1$  . إن البدء بتتابع انتقالات اختيارية يمرر نظريا أثناء اشتقاق مبدأ الطاقة الكامنة الأصغري و الذي يشكل الأساس النظري لحلنا هذا . لذلك من الممكن افتراض انتقال النقطة p ككثير حدود بثوابت اختيارية:

$$u_1(x^1) = c_0 + c_1 x^1 + c_2 (x^1)^2 + \dots + c_m (x^1)^m$$

$$= c_n (x^1)^n; n = 0, 1, 2, \dots, m \quad (4.10)$$



شكل 4-4 : قضيب من جوائز شبكي كعنصر منتهي ، الجملة الإحداثية

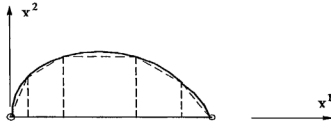
هذا الافتراض الرياضي البحث له ما يبرره نظرياً . يمكن أن يفترض عوضاً عن كثير الحدود هذا أي توابع رياضية أخرى محققة لشروط الاستمرارية و قابلية الاشتقاق . محاكمة منطقية نستنتج أنه إذا عبر التابع (4.10) فعلاً عن انتقال أي نقطة ضمن العنصر المنتهي (i),(k) بدلالة الإحداثي  $x^1$  فيجب أن يعطي انتقالات العقدتين (i),(k) ، إذا ما عوضنا إحداثييهما العقدتين المذكورتين  $x^1 = 0$  ,  $x^1 = l$  على التوالي في التابع نفسه .

$$u_{1(i)} = c_0 + 0 + 0 + \dots$$

$$u_{1(k)} = c_0 + c_1 l + c_2 l^2 + \dots \quad (4.11)$$

وهذا ما تقتضيه أيضاً الشروط الطرفية الهندسية على مستوى العنصر المنتهي. نلاحظ من المعادلتين السابقتين أنه يمكن أن نعطي ثابتين اختياريين فقط مضموناً ميكانيكياً و أنه يمكن تحديدهما بدلالة انتقال العقدتين (i),(k) . بناء على ذلك نجد أن عدد الثوابت الاختيارية للممكن تضمينها معنى ميكانيكياً أو للممكن تحديدها على الإطلاق مساو لعدد درجات الحرية للعنصر المنتهي والخطوة التالية نتلخص الآن في تحديد الثوابت الاختيارية  $c_0, c_1, c_2, \dots$  لكثير الحدود المفترض (4.10) . يفضل عادة اختيار التابع الافتراضي أبسط ما يمكن و من المراتب الدنيا إذ يمكن تقريب التوابع من المراتب العليا بتوابع بسيطة من المراتب الدنيا بعد تقسيمها إلى مجالات متجاورة شكل

(5-4) و العكس ليس ممكنا . لذلك نختار لمساأتنا المطروحة الثابت  $c_1$  و بالتالي كثير الحدود من المرتبة الأولى ليعبر عن التابع (الخط المستمر) التقريبي المفترض (4.10).



شكل 5-4: تابع من المراتب العليا مقرب بتابع خطي (الخط المنقط)

$$u_1(x^1) = c_0 + c_1 x^1 = c_n (x^1)^n; n = 0, 1 \quad (4.12)$$

و بناء على ذلك تصبح العلاقتان (4.11) بالشكل :

$$u_{1(i)} = c_0$$

$$u_{1(k)} = c_0 + c_1 \ell \quad (4.13)$$

نكتب هاتين العلاقتين باستخدام الكتابة بالقراءن بغية التعبير العام عن خوازميات الطريقة .

$$u_{1(p)} = c_n A^n_{(p)} ; (p) = (i), (k); n = 0, 1 \quad (4.14)$$

$$A^n_{(p)} = \begin{bmatrix} 1 & 0 \\ 1 & \ell \end{bmatrix} \quad (4.15)$$

إذ أن الصيغة (4.14) هي نفسها الصيغة التي يتم الحصول عليها للعناصر المنتهية الثنائية البعد والثلاثية البعد والاختلاف هو في حجم الثوابت وانتقالات العقد و المصفوفة المعلومـة  $A^n_{(p)}$  . يمكن الآن تعيين الثوابت الاختيارية  $c_n$  محل جملة المعادلات (4.14) بدلالة انتقالات العقد .

$$c_n = (A^n_{(p)})^{-1} u_{1(p)} = B^{(p)}_n u_{1(p)} \quad (4.16)$$

حيث المصفوفة  $B^{(p)}_n$  هي مقلوب المصفوفة  $A^n_{(p)}$  وهي مكافئة للتالي :

$$B^{(p)}_n = \begin{bmatrix} 1 & 0 \\ -\frac{1}{\ell} & \frac{1}{\ell} \end{bmatrix} \quad (4.17)$$

بتعويض الثوابت الاختيارية (4.16) في العلاقة (4.12) نحصل على علاقة تربط بين الانتقال لنقطة ما  $p(x^1)$  ضمن العنصر المنتهي و انتقالات عقده و هي :

$$u_i(x^1) = B^{(p)}_n \cdot (x^1)^n \cdot u_{i(p)} ; n = 0, 1 ; (p) = (i), (k) \quad (4.18)$$

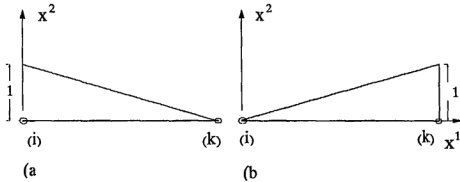
وهي تفصيليا :

$$u_i(x^1) = \left[ 1 - \frac{x^1}{\ell} \quad \frac{x^1}{\ell} \right] \begin{bmatrix} u_{i(i)} \\ u_{i(k)} \end{bmatrix} \quad (4.19)$$

أو باستخدام القرائن :

$$u_i(x^1) = N^{(p)} u_{i(p)} ; N^{(p)} = B^{(p)}_n (x^1)^n \quad (4.20)$$

حيث  $N^{(p)}$  هي ما يطلق عليه عادة توابع الشكل (form function) . ولها خاصية مشتركة لكل العناصر المنتهية ، هي تساوي الواحد في العقدة المعتبرة عند تعويض إحداثياتها فيها و الصفر في باقي العقد . بتعويض إحداثي العقدة (i) ( $x^1 = 0$ ) في العلاقة (4.19) نحصل على تابع الشكل الممثل بالشكل (a-6-4) و بتعويض إحداثي العقدة (k) ( $x^1 = \ell$ ) في نفس العلاقة نحصل على تابع الشكل الممثل بالشكل (b-6-4) . يمكن الآن الحصول على تشوهات نقطة ما ضمن العنصر المنتهي بدلالة انتقالات عقد العنصر باستخدام علاقات التشوهات - الانتقالات . بتطبيق العلاقة (4.4) نحصل على :



شكل 4-6 : توابع الشكل في العنصر المنتهي

$$\varepsilon_{11} = N^{(p)}, x^1 u_{1(p)} \equiv N^{(q)}, x^1 u_{1(q)} \quad (4.21)$$

حيث (q) قرينة ماثلة لـ (p). و الشكل التفصيلي لهذه العلاقة هو :

$$\varepsilon_{11} = \begin{bmatrix} -\frac{1}{\ell} & \frac{1}{\ell} \end{bmatrix} \begin{bmatrix} u_{1(i)} \\ u_{1(k)} \end{bmatrix} \quad (4.22)$$

بعد ذلك تقيم طاقة التشوه الداخلي الواردة في العلاقة (4.8) لعنصر منتهي لتصبح :

$$\begin{aligned} \Pi_i &= \frac{1}{2} \int_0^\ell \varepsilon_{11} EA \varepsilon_{11} dx^1 = \int_0^\ell u_{1(p)} N^{(p)}, x^1 EA N^{(q)}, x^1 u_{1(q)} dx^1 \\ &= \frac{1}{2} u_{1(p)} k^{1(p)1(q)} u_{1(q)} \end{aligned} \quad (4.23)$$

حيث  $k^{1(p)1(q)}$  مصفوفة الصلابة للعنصر المنتهي و هي تساوي :

$$k^{1(p)1(q)} = \int_0^\ell N^{(p)}, x^1 EA N^{(q)}, x^1 dx^1 \quad (4.24)$$

و هي تفصيليا مساوية لما يلي :

$$k^{1(p)1(q)} = \frac{EA}{\ell} \begin{bmatrix} 1 & -1 \\ -1 & 1 \end{bmatrix} = \begin{bmatrix} k^{1(i)1(i)} & k^{1(i)1(k)} \\ k^{1(k)1(i)} & k^{1(k)1(k)} \end{bmatrix} \quad (4.25)$$

لمعرفة ماهية مصفوفة القساوة نطبق على العنصر (i)(k) في العقدة (i) قوة باتجاه  $x^1$

مساوية لـ  $\frac{EA}{\ell}$  و بالتالي الإجهاد الحاصل في المقطع عند (i) هو  $\frac{E}{\ell}$  و التشوه الحاصل  $\frac{1}{\ell}$

. التشوه الحاصل من جهة أخرى هو مقدار تطاول العنصر على طوله الأصلي  $\frac{\Delta \ell}{\ell}$  و منه

نستنتج أن الانتقال الحاصل في النقطة (i) مكافئ إذا لواحدة الانتقالات . إذا  $k^{1(i)1(i)}$  يمثل

القوة الناشئة في (i) باتجاه محور العنصر لانتقال في (i) مقداره واحدة الانتقالات في اتجاه محور

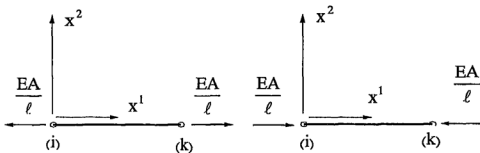
العنصر . في العقدة (k) تنشأ قوة معاكسة لتلك المطبقة في (i) و مقدارها  $-\frac{EA}{\ell}$  و هي

مكافئة للمقدار  $k^{1(k)1(i)}$  أي أن  $k^{1(k)1(i)}$  هو القوة الناشئة في (k) باتجاه محور العنصر

لانتقال مقداره واحدة الانتقالات في (I) في اتجاه محور العنصر. و بشكل مماثل يمكن تفسير المقادير  $k^{I(k)I(i)}$  ،  $k^{I(k)I(i)}$ .

ولانتقالات للعقد مقاديرها  $u_{I(q)}$  تنشأ قوى مقطع طرفية مساوية للمقدار :

$$F^{I(p)} = k^{I(p)I(q)} u_{I(q)} \quad (4.26)$$



شكل 4-8 : قوى المقطع الطرفية لانتقال

واحد في العقدة (k)

شكل 4-7 : قوى المقطع الطرفية لانتقال

واحد في العقدة (i)

هذه العلاقة يمكن استنتاجها مباشرة من مبدأ الانتقالات الوهمية فالمتغير الأول لطاقة التشوه الداخلية (4.23) مساو لما يلي :

$$\delta \Pi = \frac{1}{2} \delta u_{I(p)} k^{I(p)I(q)} u_{I(q)} + \frac{1}{2} u_{I(p)} k^{I(p)I(q)} \delta u_{I(q)} = \delta u_{I(p)} k^{I(p)I(q)} u_{I(q)} \quad (4.27)$$

و هو مكافئ لعمل القوى الداخلية الناشئة من انتقالات وهمية للعقد مقدارها  $\delta u_{I(p)}$  . فبما لو اعتبرنا قوى المقطع الطرفية قوى خارجية و أعطينا انتقالاتا وهميا للعقدتين (i) (k) مقداره  $u_{I(i)}$  ،  $u_{I(k)}$  يكون العمل الخارجي الوهمي :

$$\delta \Pi_a = F^{I(i)} \delta u_{I(i)} + F^{I(k)} \delta u_{I(k)} = \delta u_{I(p)} F^{I(p)} \quad (4.28)$$

مبدأ الانتقالات الوهمية يقتضي أن يكون العمل المنجز مساويا لعمل القوى الداخلية .

$$\delta u_{I(p)} F^{I(p)} = \delta u_{I(p)} k^{I(p)I(q)} u_{I(q)} \quad (4.29)$$

و منه نحصل على العلاقة (4.26) . بعد تقييم طاقة التشوه الداخلية في المحاور الإحداثية الخاصة سوف يجري تقييم الحد الممثل لعمل القوى الخارجية المحورية الموزعة على طول العناصر المنتهية

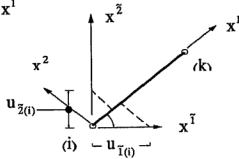
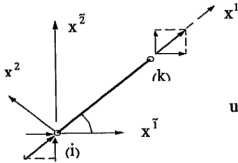
لتحويلها إلى حولات مكافئة مركزة على العقد . بافتراض أن  $\bar{n}^1$  تابع القوة المحورية الموزعة  
معبّر عنه بالتابع للإحداثي  $x^1$   $\bar{n}^1 = \bar{n}^1(x^1)$  عندها يكون العمل الخارجي لهذه القوة :

$$\Pi_n = \int_0^\ell \bar{n}^1(x^1) u_1 dx^1 = \left( \int_0^\ell \bar{n}^1(x^1) N^{(p)} dx^1 \right) u_{1(p)} = \bar{f}^{1(p)} u_{1(p)} \quad (4.30)$$

حيث  $\bar{f}^{1(p)}$  القوة المركزة على العقدتين (i),(k) من عنصر منتهي و المكافئة للقوى المحورية  
الموزعة و هي تفصيلياً :

$$\bar{f}^{1(p)} = \int_0^\ell \bar{n}^1(x^1) N^{(p)} dx^1 = \begin{bmatrix} \int_0^\ell \bar{n}^1(x^1) \left(1 - \frac{x^1}{\ell}\right) dx^1 \\ \int_0^\ell \bar{n}^1(x^1) \frac{x^1}{\ell} dx^1 \end{bmatrix} \quad (4.31)$$

تم حتى الآن إيجاد مصفوفة القساوة و بالتالي قوى المقطع الطرفية و القوى المركزة على العقد  
المكافئة للقوى الموزعة في المحاور الإحداثية المنطقية على محور العنصر و بناء على ذلك  
فالمعادلات السابقة في الفقرات 1-3, 2-3, 3-3 سارية المفعول بالنسبة لحالة الجوائز الشبكية  
المستوية و الفراغية على السواء . قبل تجميع هذه القوى و كتابة معادلات التوازن على العقد  
لا بد من نسب هذه المقادير إلى جملة محاور إحداثية عامة .



شكل 4-11- قوى المقطع الطرفية في المحاور  
الإحداثية العامة و الخاصة

شكل 4-10- العلاقة بين انتقالات العقد  
في المحاور الإحداثية العامة و الخاصة



4-4- عنصر منتهي لجائز شبكي مستوي :

4-4-1- تحويل مصفوفة القساوة من المحاور الإحداثية الخاصة إلى المحاور الإحداثية العامة :

بالنظر إلى الشكل (4-10) نجد أن انتقال العقدة (i) بمقدار  $u_{\bar{i}(i)}$  باتجاه  $x^{\bar{i}}$  و  $u_{\bar{z}(i)}$  باتجاه  $x^{\bar{z}}$  يؤدي إلى انتقالها باتجاه  $x^1$  (مع اعتبار k ثابتة) بالمقدار :

$$u_{1(i)} = u_{\bar{i}(i)} \cos \alpha + u_{\bar{z}(i)} \sin \alpha \quad (4.32)$$

و كذلك الأمر بالنسبة للعقدة k :

$$u_{1(k)} = u_{\bar{i}(k)} \cos \alpha + u_{\bar{z}(k)} \sin \alpha \quad (4.33)$$

بتجميع هاتين العلاقتين بالشكل المصفوفي نحصل على :

$$\begin{bmatrix} u_{1(i)} \\ u_{1(k)} \end{bmatrix} = \begin{bmatrix} \cos \alpha & \sin \alpha & 0 & 0 \\ 0 & 0 & \cos \alpha & \sin \alpha \end{bmatrix} \begin{bmatrix} u_{\bar{i}(i)} \\ u_{\bar{z}(i)} \\ u_{\bar{i}(k)} \\ u_{\bar{z}(k)} \end{bmatrix}$$

$$u_{1(p)} = T_1^{\bar{i}} u_{\bar{i}(p)} ; \quad \tilde{\ell} = x^{\bar{i}}, x^{\bar{z}} \quad (4.34)$$

و تصبح طاقة التشوه الداخلي بدلالة شعاع الانتقالات  $u_{\bar{i}(p)}$  المنسوب إلى جملة المحاور الإحداثية العامة بالشكل :

$$\Pi_i = \frac{1}{2} u_{\bar{i}(p)} T_1^{\bar{i}} k^{1(p)l(q)} T_1^{\bar{q}} u_{\bar{q}(q)} = \frac{1}{2} u_{\bar{i}(p)} k^{\bar{i}(p)\bar{q}(q)} u_{\bar{q}(q)} \quad (4.35)$$

و المنشور المصفوفي لهذا الجداء هو :

$$\Pi_i = \frac{1}{2} \begin{bmatrix} u_{\bar{i}(i)} u_{\bar{z}(i)} u_{\bar{i}(k)} u_{\bar{z}(k)} \end{bmatrix}$$

$$\begin{bmatrix} \cos^2 \alpha & \cos \alpha \sin \alpha & -\cos^2 \alpha & -\cos \alpha \sin \alpha \\ & \sin^2 \alpha & -\cos \alpha \sin \alpha & -\sin^2 \alpha \\ & & \cos^2 \alpha & \cos \alpha \sin \alpha \\ & & & \sin^2 \alpha \end{bmatrix} \begin{bmatrix} u_{\bar{i}(i)} \\ u_{\bar{z}(i)} \\ u_{\bar{i}(k)} \\ u_{\bar{z}(k)} \end{bmatrix} \quad (4.36)$$

المصفوفة المربعة السابقة تمثل مصفوفة القساوة لعنصر منتهي لجائز شبكي في المحاور الإحداثية العامة .

#### 4-4-2- شعاع الحمولات الخارجية في المحاور الإحداثية العامة :

يتم تحويل شعاع الحمولات الخارجية المركزة على العقد و المكافئة للحمولات الموزعة ضمن العناصر أيضا بتقييم العمل الخارجي (4.30) بدلالة شعاع الانتقالات  $u_{\bar{r}(p)}$  المنسوب إلى جملة المحاور الإحداثية العامة . و ذلك بتعويض العلاقة (4.34) في العلاقة (4.30) فنحصل على :

$$\Pi_a = \bar{f}^{l(p)} T_l^{\bar{r}} u_{\bar{r}(p)} \quad (4.37)$$

و الشكل المفصل لهذه العلاقة هو :

$$\Pi_a = \left[ u_{\bar{r}(i)} u_{\bar{z}(i)} u_{\bar{r}(k)} u_{\bar{z}(k)} \right] \begin{bmatrix} \cos \alpha \int_0^l \bar{n}^{-1}(x^1) \left(1 - \frac{x^1}{\ell}\right) dx^1 \\ \sin \alpha \int_0^l \bar{n}^{-1}(x^1) \left(1 - \frac{x^1}{\ell}\right) dx^1 \\ \cos \alpha \int_0^l \bar{n}^{-1}(x^1) \frac{x^1}{\ell} dx^1 \\ \sin \alpha \int_0^l \bar{n}^{-1}(x^1) \frac{x^1}{\ell} dx^1 \end{bmatrix} \quad (4.38)$$

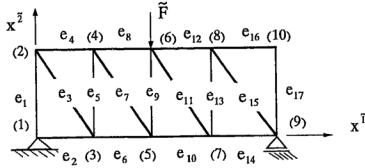
أو :

$$\Pi_a = \frac{1}{2} \left[ u_{\bar{r}(i)} u_{\bar{z}(i)} u_{\bar{r}(k)} u_{\bar{z}(k)} \right] \begin{bmatrix} \bar{f}^{l(i)} \cos \alpha \\ \bar{f}^{l(i)} \sin \alpha \\ \bar{f}^{l(k)} \cos \alpha \\ \bar{f}^{l(k)} \sin \alpha \end{bmatrix} \quad (4.39)$$

و هو ما يمكن استنتاجه مباشرة من الشكل 4-11 . بعد تحويل مصفوفات القساوة للعنصر و أشعة الحمولات المكافئة للحمولات الموزعة إلى المحاور الإحداثية العامة يمكن أن يتم الجمع

لتشكيل المعادلات الجبرية الخطية العامة لكامل المنشأ و التي تحوي انتقالات العقد كمجاهيل ، فالطاقة الكامنة للمنشأ تأخذ بتعويض القيم المحسوبة للطاقة الداخلية و الخارجية (4.37) ، (4.35) بدلالة الانتقالات المنسوبة إلى المحاور الإحداثية العامة في العلاقة (4.8) الشكل :

$$\Pi = \sum_e \left( \frac{1}{2} u_{\bar{z}(p)} T_1^T k^{l(p)l(q)} T_1^T u_{\bar{z}(q)} - \bar{f}^{l(p)} T_1^T u_{\bar{z}(q)} \right) - \sum_m \bar{F}^{\bar{z}(m)} u_{\bar{z}(m)} \quad (4.40)$$



شكل 4-12 : ترقيم عقد جاذر شبكي

حيث تم تحويل الحد الأخير على غرار الحد قبل الأخير إلى المحاور الإحداثية العامة . بعد إجراء الجمع على كامل عناصر المنشأ و تشكيل مصفوفة القساوة العامة بتجميع شعاع الانتقالات ليصبح ممثلاً على كامل عقد المنشأ نحصل على :

$$\Pi = \frac{1}{2} u_{\bar{z}(L)} k^{\bar{z}(L)\bar{z}(N)} u_{\bar{z}(N)} - \bar{f}^{\bar{z}(L)} u_{\bar{z}(L)} \quad (4.41)$$

حيث (L) , (N) قرينتان تتحولان على كامل عقد المنشأ.

بأخذ المتغير الأول للطاقة الناتجة و ملاحظة تناظر مصفوفة القساوة العامة و إخراج  $\delta u_{\bar{z}(L)}$  كعامل مشترك خارج قوسين ينتج :

$$\delta u_{\bar{z}(L)} (k^{\bar{z}(L)\bar{z}(N)} u_{\bar{z}(N)} - \bar{f}^{\bar{z}(L)}) = 0 \quad (4.42)$$

و باعتبار  $\delta u_{\bar{z}(L)}$  عشوائية تكون العلاقة (4.42) مكافئة للصفر إذا و فقط إذا كان :

$$k^{\bar{z}(L)\bar{z}(N)} u_{\bar{z}(N)} - \bar{f}^{\bar{z}(L)} = 0 \quad (4.43)$$

هذه المعادلات جبرية خطية تحوي شعاع الانتقالات لكل عقد المنشأ  $u_{\tilde{\pi}(N)}$  كمجهول ، أما  $\tilde{\ell}(L)$  فهي مصفوفة القساوة العامة وهي مصفوفة مربعة متناظرة و شاذة ، شعاع الحمولات الخارجية على كامل عقد المنشأ . تصبح هذه المعادلات قابلة للحل بعد تعويض الشروط الطرفية للانتقالات (2.39) فيها و سنستعرض بناء المعادلات العامة على الجائز الشبكي المين في الشكل (4-12) .

يتم البدء بترقيم عقد الجائز الشبكي بحيث يكون الفارق بين أي عقدتين متجاورتين أقل ما يمكن ، ثم ترقم عناصر المنشأ و يمكن أن يكون هذا الترقيم اختياريا دون مراعاة أية شروط. تشكل بعدها مصفوفة القساوة العامة والتي تحوي  $20 \times 20 = \tilde{\ell}(L) \times \tilde{\pi}(N)$  عنصرا بجميع مصفوفات العناصر بعد حسابها وتحويلها إلى جملة المخاور الإحدائية العامة. تتألف مصفوفة القساوة لعنصر جائز شبكي مستوي من  $4 \times 4$  عنصرا وتحتوي هذه المصفوفة على أربع مصفوفات جزئية كل منها  $2 \times 2$  عنصرا وهي تمثل كما رأينا القوى الطرفية التي تنشأ في عقدة ما نتيجة واحدة الانتقالات في العقدة نفسها أو في عقدة أخرى. وقبل إضافة مصفوفة العنصر إلى مصفوفة القساوة العامة نجزأ هذه الأولى إلى مصفوفاتها الجزئية حيث تضاف كل مصفوفة جزئية في مكانها المناسب في المصفوفة العامة. فمثلا مصفوفة العنصر  $e_8$  والذي يملك العقد (6)، (4) تحتوي على المصفوفات الجزئية  $k_{e_8}^{1(6)1(6)}, k_{e_8}^{1(6)1(4)}, k_{e_8}^{1(4)1(6)}, k_{e_8}^{1(4)1(4)}$  والتي سكتب رموزها  $k_{e_8}^{44}, k_{e_8}^{46}, k_{e_8}^{64}, k_{e_8}^{66}$  اختصارا ، نجد أنها أضيفت على الشكل التالي:

المصفوفة الجزئية  $k_{e_8}^{44}$  أضيفت في السطور  $4 \times 2$  والأعمدة  $4 \times 2$  للمصفوفة العامة.

المصفوفة الجزئية  $k_{e_8}^{46}$  أضيفت في السطور  $4 \times 2$  والأعمدة  $6 \times 2$  للمصفوفة العامة.

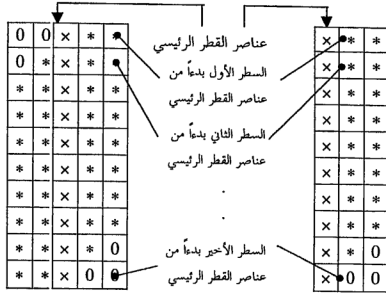
المصفوفة الجزئية  $k_{e_8}^{64}$  أضيفت في السطور  $6 \times 2$  والأعمدة  $4 \times 2$  للمصفوفة العامة.

المصفوفة الجزئية  $k_{e_8}^{66}$  أضيفت في السطور  $6 \times 2$  والأعمدة  $6 \times 2$  للمصفوفة العامة.

وهكذا يتم تجميع مصفوفات العناصر جميعها بنفس الأسلوب. ويجري تجميع أشعة الانتقالات لعقد المنشأ في شعاع عام يحتوي على  $\tilde{\pi}(N) = 20$  عنصرا وهو يمثل بمجاهيل جملة المعادلات الخطية النهائية. وكذلك الأمر بالنسبة لأشعة الحمولات الخارجية المركزة على العقد حيث تجمع في شعاع عام يحوي على  $\tilde{\ell}(L) = 20$  عنصرا وهو يمثل الطرف الثاني لجملة المعادلات الجبرية. بعد هذه الإجراءات نحصل على جملة المعادلات التالية:



يترقم مناسب لعقد المنشأ كما هو الحال في الشكل (4-12) تأخذ مصفوفة التساوية العامة شكلاً شريطياً لأعظم فرق بين رقمي عقدتين متجاورتين مضافاً إليه واحد .



شكل 4-14 : اختبار كامل المصفوفة

بضعف عرض الشريط - واحد

شكل 4-13 : اختبار نصف المصفوفة

بعرض الشريط فقط

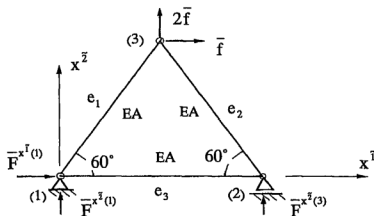
وهذا ما يسدي فائدة كبيرة أثناء استخدام الحاسوب لحل جملة المعادلات الخطية ، إذ يمكن الاستغناء عن العمليات الصفرية . و يتم الاختزان باستبعاد العناصر الصفرية و ترتيب عناصر القطر الرئيسي في عمود واحد تحت بعضها البعض كما في الشكلين (4-13) , (4-14) . من المعلوم أن طرق حل المعادلات الجبرية الخطية تنضوي تحت مجموعتين . المجموعة الأولى و تسمى الطرق المباشرة و التي يتم فيها الحل بشكل مباشر كخوارزميات غاوس للمصفوفات غير المتناظرة و خوارزميات غاوس المعدلة للمصفوفات المتناظرة و طريقة شولسكي للمصفوفات المتناظرة . و يجري اختبار المصفوفة بكاملها أي بضعف عرض الشريط منقوصاً منه واحد شكل (4-14) أثناء استخدام خوارزميات غاوس للمصفوفات غير المتناظرة و اختبار نصف المصفوفة شكل (4-13) للخوارزميات الأخرى . المجموعة الثانية و تسمى

الطرق غير المباشرة أو طرق التقريب المتتالي نذكر منها - طريقة التدرجات المترافقة (conjugate Gradient CG) و طريقة أخرى مطوّرة عن السابقة و تعرف بـ preconditioned Conjugate Gradient PCG) و بعض الطرق التي تعتمد التقريب المتتالي لا تحتاج إلى تشكيل مصفوفة القساوة العامة لكل المنشأ و إنما لعقدة ما و العقد الأخرى المتصلة معها . و على القارئ العودة إلى كتب الرياضيات المختصة بمعالجة طرق حل المعادلات الجبرية الخطية لتلبية متطلباته في هذا المجال . بنتيجة حل جملة المعادلات الجبرية الخطية نحصل على انتقالات عقد المنشأ في المحاور الإحداثية العامة . و بما أن قيم التأثير كالاتقالات ضمن العنصر و التشوهات و الإجهادات قد فرضت في جملة إحداثيات خاصة فلا بد قبل التمكن من حساب هذه القيم من تحويل انتقالات العقد إلى المحاور الإحداثية الخاصة . و هنا يبدأ الطريق العكسي لحساباتنا ، نعود إلى كل عنصر ابتداء من العنصر الأول و نحول انتقالات العقد المحددة له من المحاور الإحداثية العامة إلى المحاور الإحداثية الخاصة باستخدام العلاقة (4.34) ، بعدها نستطيع حساب انتقال أي نقطة ضمن العنصر باستخدام العلاقة (4.19) و التشوهات في أي نقطة وفق العلاقة (4.22) . و بناء على ذلك نستطيع حساب الإجهاد في أي نقطة ضمن العنصر باستخدام قانون المادة و قوى المقطع بإجراء تكامل الإجهادات على سطح المقطع والمثال التالي سوف يوضح كل الخطوات النظرية السابقة :

#### مثال 4-1:

المطلوب حساب الجانز الشبكي المؤلف من ثلاثة قضبان متساوية الصلابة و التي تشكل مثلثا متساوي الأضلاع طول ضلعه  $l$  و معرض في قمته إلى القوة الأفقية  $\bar{F}$  و الشاقولية  $2\bar{F}$  . ينصح عادة بتوجيه المحاور الإحداثية الخاصة للقضبان من العقدة الأدنى إلى العقدة الأعلى فمحور الخاص للقصيب  $e_1$  يتجه من العقدة (1) باتجاه العقدة (2) . بعد فرض محاور الإحداثيات الخاصة و العامة تبقى الخطوة الأولى في الحل إيجاد مصفوفات القساوة للعناصر وللمنشأ .

تقاس الزاوية بين المحاور الإحداثية العامة و الخاصة بتدوير الأولى باتجاه موجب حتى تنطبق على الأخيرة . والاتجاه الموجب يتحدد وفق قاعدة اليد اليمنى .



شكل م4-1 : الجائز الشبكي ، المحاور الإحداثية ، التحميل

مصغوفة القساوة للعنصر  $e_1$  :

وفق ما ورد أعلاه تكون الزاوية  $\alpha = 60^\circ$  و  $\cos \alpha = \frac{1}{2}$ ,  $\sin \alpha = \frac{\sqrt{3}}{2}$

$$k_{e_1} = \frac{EA}{\ell} \begin{bmatrix} \frac{1}{4} & \frac{\sqrt{3}}{4} & -\frac{1}{4} & -\frac{\sqrt{3}}{4} \\ \frac{\sqrt{3}}{4} & \frac{3}{4} & -\frac{\sqrt{3}}{4} & -\frac{3}{4} \\ -\frac{1}{4} & -\frac{\sqrt{3}}{4} & \frac{1}{4} & \frac{\sqrt{3}}{4} \\ -\frac{\sqrt{3}}{4} & -\frac{3}{4} & \frac{\sqrt{3}}{4} & \frac{3}{4} \end{bmatrix}$$

وللعنصر  $e_2$  تكون الزاوية  $\alpha = 300^\circ$  و  $\cos \alpha = \frac{1}{2}$ ;  $\sin \alpha = -\frac{\sqrt{3}}{2}$



$$k_{e_2} = \frac{EA}{\ell} \begin{vmatrix} \frac{1}{4} & -\frac{\sqrt{3}}{4} & -\frac{1}{4} & \frac{\sqrt{3}}{4} \\ \frac{\sqrt{3}}{4} & \frac{3}{4} & \frac{\sqrt{3}}{4} & -\frac{3}{4} \\ -\frac{1}{4} & \frac{\sqrt{3}}{4} & \frac{1}{4} & -\frac{\sqrt{3}}{4} \\ \frac{1}{4} & -\frac{\sqrt{3}}{4} & -\frac{1}{4} & \frac{\sqrt{3}}{4} \end{vmatrix}$$

أما العنصر الثالث فزاويته  $\alpha$  مساوية للصفر و  $\sin \alpha = 0$  و  $\cos \alpha = 1$

$$k_{e_3} = \frac{EA}{\ell} \begin{vmatrix} 0 & 0 & -1 & 0 \\ 0 & 0 & 0 & 0 \\ -1 & 0 & 1 & 0 \\ 0 & 0 & 0 & 0 \end{vmatrix}$$

يجمع مصفوفات القساوة و كتابة جملة المعادلات الخطية للمسألة نحصل على الجملة التالية :

$$\begin{matrix} * & * & * \\ \frac{EA}{\ell} \begin{vmatrix} \frac{5}{4} & \frac{\sqrt{3}}{4} & -\frac{1}{4} & -\frac{\sqrt{3}}{4} & -1 & 0 \\ \frac{\sqrt{3}}{4} & \frac{3}{4} & -\frac{\sqrt{3}}{4} & -\frac{3}{4} & 0 & 0 \\ \frac{1}{4} & \frac{\sqrt{3}}{4} & \frac{2}{4} & 0 & -\frac{1}{4} & \frac{\sqrt{3}}{4} \\ -\frac{1}{4} & -\frac{3}{4} & 0 & \frac{6}{4} & \frac{\sqrt{3}}{4} & -\frac{\sqrt{3}}{4} \\ -1 & 0 & -\frac{1}{4} & \frac{\sqrt{3}}{4} & \frac{5}{4} & -\frac{\sqrt{3}}{4} \\ 0 & 0 & \frac{\sqrt{3}}{4} & -\frac{3}{4} & -\frac{\sqrt{3}}{4} & \frac{3}{4} \end{vmatrix} \end{matrix} \begin{vmatrix} u_{x^T(1)} \\ u_{x^T(1)} \\ u_{x^T(2)} \\ u_{x^T(2)} \\ u_{x^T(3)} \\ u_{x^T(3)} \end{vmatrix} = \begin{vmatrix} \bar{F}^{x^T(1)} \\ \bar{F}^{x^T(1)} \\ \bar{f} \\ 2\bar{f} \\ 0 \\ \bar{F}^{x^T(3)} \end{vmatrix}$$

يلاحظ أن ردود الأفعال  $\bar{F}^{x\bar{z}(1)}$ ,  $\bar{F}^{x\bar{z}(2)}$ ,  $\bar{F}^{x\bar{z}(3)}$  في المسندين (1) و(3) على التوالي قد اعتبرت وكأنها قوى خارجية مؤثرة على الجملة الإنشائية. الشروط الطرفية تقتضي بأن يتعدم الانتقالين الأفقي والشاقولي في المسند (1) والانتقال الشاقولي في المسند (3) أي :

$$u_{x\bar{z}(1)} = \bar{u}_{x\bar{z}(1)} = 0$$

$$u_{x\bar{z}(1)} = \bar{u}_{x\bar{z}(1)} = 0$$

$$u_{x\bar{z}(3)} = \bar{u}_{x\bar{z}(3)} = 0$$

نحصل على جملة المعادلات التي تحكم المسألة بحذف السطر الذي يحوي القيمة الصفرية للانتقال والعمود المماثل له . و الأسطر و الأعمدة المحذوفة قد رمزت بنجمة \* أما جملة المعادلات للانتقالات المجهولة فهي المتبقية بعد الحذف و هي :

$$\frac{EA}{\ell} \begin{vmatrix} \frac{2}{4} & 0 & -\frac{1}{4} \\ 0 & \frac{6}{4} & \frac{\sqrt{3}}{4} \\ -\frac{1}{4} & \frac{\sqrt{3}}{4} & \frac{5}{4} \end{vmatrix} \begin{vmatrix} u_{x\bar{z}(2)} \\ u_{x\bar{z}(2)} \\ u_{x\bar{z}(3)} \end{vmatrix} = \begin{vmatrix} \bar{f} \\ 2\bar{f} \\ 0 \end{vmatrix}$$

و بحلها نحصل على الانتقالات المجهولة للعقد :

$$\begin{vmatrix} u_{x\bar{z}(2)} \\ u_{x\bar{z}(2)} \\ u_{x\bar{z}(3)} \end{vmatrix} = \frac{\bar{f}\ell}{EA} \begin{vmatrix} 1.961 \\ 1.356 \\ -0.077 \end{vmatrix}$$

و المعادلات الثلاثة المتبقية من مجموعة المعادلات أي :

$$\frac{EA}{\ell} \begin{vmatrix} -\frac{1}{4} & -\frac{\sqrt{3}}{4} & -1 \\ \frac{\sqrt{3}}{4} & -\frac{3}{4} & 0 \\ \frac{\sqrt{3}}{4} & -\frac{3}{4} & -\frac{\sqrt{3}}{4} \end{vmatrix} \begin{vmatrix} u_{x\bar{z}(2)} \\ u_{x\bar{z}(2)} \\ u_{x\bar{z}(3)} \end{vmatrix} = \begin{vmatrix} \bar{F}^{x\bar{z}(1)} \\ \bar{F}^{x\bar{z}(1)} \\ \bar{F}^{x\bar{z}(3)} \end{vmatrix}$$

تعطي ردود الأفعال بعد حساب الانتقالات المجهولة .

$$\begin{Bmatrix} \bar{F}^{x^1(1)} \\ \bar{F}^{x^2(1)} \\ \bar{F}^{x^3(3)} \end{Bmatrix} = \frac{EA}{\ell} \begin{bmatrix} -\frac{1}{4} & -\frac{\sqrt{3}}{4} & -1 \\ -\frac{\sqrt{3}}{4} & -\frac{3}{4} & 0 \\ \frac{\sqrt{3}}{4} & -\frac{3}{4} & -\frac{\sqrt{3}}{4} \end{bmatrix} \begin{Bmatrix} \bar{f}\ell \\ \bar{f}\ell \\ -0.077 \end{Bmatrix} = -\bar{f} \begin{Bmatrix} 1.000 \\ 1.866 \\ 0.134 \end{Bmatrix}$$

لحساب قيم التأثير في نقطة ما p من العنصر  $e_1$  يجب حساب انتقال عقدتيه الطرفيتين (1) و (2) في المحاور الإحداثية الخاصة . يجري التحويل وفق العلاقة (4.34) .

$$\begin{Bmatrix} u_{x^1(1)} \\ u_{x^1(2)} \end{Bmatrix} = \begin{bmatrix} \frac{1}{2} & \frac{\sqrt{3}}{2} & 0 & 0 \\ 0 & 0 & \frac{1}{2} & \frac{\sqrt{3}}{2} \end{bmatrix} \begin{Bmatrix} \bar{f}\ell \\ 0 \\ \bar{f}\ell \\ 1.961 \\ 1.356 \end{Bmatrix} = \frac{\bar{f}\ell}{EA} \begin{Bmatrix} 0 \\ 0 \\ 2.155 \end{Bmatrix}$$

و حال الانتقال في العنصر  $e_1$  يمثلها التابع :

$$u_{x^1} = \frac{\bar{f}\ell}{EA} \left\| 1 - \frac{x^1}{\ell} \right\| \begin{Bmatrix} 0 \\ 2.155 \end{Bmatrix}$$

و حالة التشوهات تتمثل بالتابع :

$$\epsilon_{11} = \frac{\bar{f}\ell}{EA} \left\| -\frac{1}{\ell} \right\| \begin{Bmatrix} 0 \\ 2.155 \end{Bmatrix} = u_{x^1, x^1}$$

أما حالة الإجهادات فتتمثل بالتابع :

$$\sigma^{11} = \frac{\bar{f}}{A} \left\| -1 \right\| \begin{Bmatrix} 0 \\ 2.155 \end{Bmatrix}$$

و قوى المقطع نحصل عليها بتكامل تابع الإجهادات على سطح مقطع القضيب :

$$N^{x^1} = \int_A \sigma^{11} dA = \sigma^{11} \cdot A = \bar{f} \left| -1 \quad 1 \right| \begin{vmatrix} 0 \\ 2.155 \end{vmatrix}$$

نحصل على الانتقال  $u_{x^1}$  أو قيم التشوه  $\epsilon_{11}$  أو قيم الإجهاد  $\sigma^{11}$  و قوة المقطع  $N^{x^1}$  في نقطة ما بتعويض إحداثيات هذه النقطة في التوابع الآتية الذكر. فمثلاً عند النقطة (1) يكون  $x^1 = 0$  وعند النقطة (2) يكون  $x^1 = l$ . بشكل مشابه نعالج حسابات قيم التآثر في العنصرين الآخرين فنحصل على قيمة قوة المقطع  $N^{x^1} = 0.155\bar{f}$  للعنصر  $e_2$  و  $N^{x^1} = -0.077\bar{f}$  للعنصر  $e_3$ . وعلى القارئ التأكد من صحة الحسابات الأخيرة بإجرائها وإجراء توازن عقد المنشأ. جدير بالذكر هنا أن إشارات قيم التوابع  $u_{x^1}, \epsilon_{11}, \sigma^{11}, N^{x^1}$  التي نحصل عليها في الحل النهائي هي تلك المتبعة في مقاومة المواد و ذلك نظراً لاستخدام العلاقات المعروفة في مقاومة المواد أثناء اشتقاق الطريقة. بينما لاحظنا أن قوى المقطع الطرفية الموجبة و القوى الخارجية الموجبة في طريقة العناصر المنتهية هي تلك التي تتفق باتجاهها مع الاتجاه الموجب للمحاور الإحداثية المتخذة. بعد هذا المثال التفصيلي لتطبيق طريقة العناصر المنتهية - نمذج الانتقالات - نتقل إلى معالجة هذه الطريقة و ذلك عندما يتعرض المنشأ لمؤثرات خارجية أخرى كالتأثيرات الحرارية و حالة هبوط المساند أو وجود انتقالات مسبقة لبعض العقد.

#### 4-4-3- حالة التأثيرات الحرارية :

لنفرض أن قضيباً من الجائز الشبكي أو عدة قضبان قد تعرضوا لتغير في درجة الحرارة مقداره  $\Delta t$  فالتشوه الحاصل نتيجة ذلك :

$$\bar{\epsilon}_{11} = \alpha_1 \Delta t \quad (4.45)$$

حيث  $\alpha_1$  معامل التمدد لمادة القضيب .

إذا اعتبرنا أن التشوه الحراري الحاصل تشوه مسبق . يكون التشوه الكلي مساو للتشوه الداخلي الحاصل نتيجة تأثير القوى الداخلية  $\epsilon_{11}$  مطروحاً منه التشوه المسبق الحاصل نتيجة

التأثيرات الحرارية  $\bar{\epsilon}_{11}$  . أي أن التشوه الكلي هو  $(\epsilon_{11} - \bar{\epsilon}_{11})$  . مبدأ الطاقة الكامنة لحالة الجواثر الشبكية (4.8) يأخذ بوجود التأثيرات الحرارية الشكل :

$$\Pi = \sum_e \left( \frac{1}{2} \int_0^\ell (\epsilon_{11} - \bar{\epsilon}_{11}) EA (\epsilon_{11} - \bar{\epsilon}_{11}) dx^1 - \int_0^\ell \bar{n}^1 u_1 dx^1 \right) - \sum_m \bar{F}^{(m)} u_{1(m)} \quad (4.46)$$

$$\delta \Pi = 0 \quad (4.47)$$

و المتغير الأول للطاقة الكامنة (4.46) مع اعتبار متغير القيمة المعلومة  $\bar{\epsilon}_{11}$  مساو للصفر ( $\delta \bar{\epsilon}_{11} = 0$ ) هو :

$$\begin{aligned} \delta \Pi = & \sum_e \left( \int_0^\ell \epsilon_{11} EA \delta \epsilon_{11} dx^1 - \int_0^\ell \bar{\epsilon}_{11} EA \epsilon_{11} dx^1 - \int_0^\ell \bar{n}^1 \delta u_1 dx^1 \right) \\ & - \sum_m \bar{F}^{(m)} \delta u_{1(m)} = 0 \end{aligned} \quad (4.48)$$

الحد الأول كما نعلم هو متغير طاقة التشوه الداخلية و الحد الثالث هو متغير طاقة القوى الخارجية الموزعة محولة إلى قوى مركزة على العقد مكافئة للسابقة ، و الحد الأخير يمثل متغير طاقة القوى الخارجية المركزة على العقد . و بتقييم الحد الثاني نحصل على متغير طاقة القوى الناتجة عن التأثيرات الحرارية . و لا بد لإجراء هذا التقييم من تحديد تابع التشوه الحراري  $\bar{\epsilon}_{11}$  في نقطة ما لا على التعيين  $p(x^1)$  من القضيبي المعرض للتأثيرات الحرارية . و سندرس الحالة التي يتعرض فيها قضيبي ما لتأثيرات حرارية غير منتظمة . فلنفرض أن قضيبي مساعديتيه (i), (k) قد تعرضت لتأثيرات حرارية تتمثل بتغيير درجة حرارة العقدة (i) بمقدار  $t_{(i)}$  و تغير درجة حرارة العقدة (k) بمقدار  $t_{(k)}$  . لتحديد تابع التأثيرات الحرارية ضمن العنصر يمكن أن نستخدم خوازميات مشابهة لتلك التي حدد فيها تابع الانتقالات ضمن العنصر بدلالة انتقالات العقد (الانتقال من المعادلة (4.12) إلى (4.19)) . بافتراض تغير خطي لتابع التأثيرات الحرارية نحصل على :

$$\Delta t = \left| 1 - \frac{x^1}{\ell} - \frac{x^1}{\ell} \frac{t_{(i)}}{t_{(k)}} \right| \quad (4.49)$$

أو باستخدام الكتابة بالقرائن

$$\Delta t = N^{(q)} t_{(q)} : (q) = (i), (k) \quad (4.50)$$

يصبح تابع التشوهات الحرارية

$$\bar{\varepsilon}_{11} = \alpha N^{(q)} t_{(q)} \quad (4.51)$$

و بالتالي الحد الممثل للتأثيرات الحرارية .

$$\delta \Pi_1 = \int_0^l \bar{\varepsilon}_{11} EA \delta \varepsilon_{11} dx^1 = \alpha t_{(q)} \left( \int_0^l N^{(q)} EA N^{(p),x^1} dx^1 \right) \delta u_{1(p)} = \delta u_{1(p)} \bar{t}^{1(p)} \quad (4.52)$$

و هو بالتفصيل :

$$\delta \Pi_1 = \left| \delta u_{1(i)} \quad \delta u_{1(k)} \right| \alpha \frac{EA}{2} \begin{vmatrix} -1 & -1 \\ 1 & 1 \end{vmatrix} \begin{vmatrix} t_{(i)} \\ t_{(k)} \end{vmatrix} \quad (4.53)$$

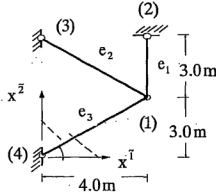
و شعاع القوى الحرارية  $\bar{t}^{1(p)}$  يجب إضافته إلى الحملات الخارجية بعد تحويله إلى الجملة الإحداثية العامة بطريقة مماثلة للشعاع  $\bar{f}^{1(p)}$  . و فيما يلي سنقدم مثلاً على معالجة التأثيرات الحرارية .

مثال 4-2 :

لدينا الجانز الشبكي المبين في الشكل م 4-2 ، معامل مرونة قضبانها جميعها  $E = 21000 \text{ kN/cm}^2$  و سطوح مقطعها  $A = 20 \text{ cm}^2$  و معامل تمددها الطولي  $\alpha = 0,000012$  يطلب إيجاد القوى في القضبان و الناتجة من ارتفاع درجة حرارة العقدة (4) بمقدار  $50^\circ \text{C}$  .

نوجه محاور القضبان الخاصة كما اتفق عليه سابقاً من رقم العقدة الأدنى إلى رقم العقدة الأعلى بعد هذا نستطيع حساب القوى الحرارية  $\bar{t}^{1(p)}$  المؤثرة في عقدتي القضيب وفق العلاقة (4.53) . وهنا نشير أيضاً إلى أن قياس الزاوية بين المحاور الإحداثية العامة والمحاور الإحداثية الخاصة يتم مثلما استنبطت علاقات التحويل (4.34) أي بتدوير المحاور الإحداثية العامة بعكس عقارب الساعة (بالإتجاه الموجب للمحور الثالث) لتتنطبق على المحاور الإحداثية الخاصة.

بالطبع ليس هذا إلا اصطلاح ويمكن قياس الزاوية بالشكل الذي نريده ولكن علينا عندها استخراج علاقات التحويل وفق اصطلاح الإشارة المعتمد.  
لنعد الآن إلى حساب القوى الحرارية في العنصر  $e_3$  :



شكل م 2-4: الجانز الشبكي، الأبعاد، الخواص الهندسية، التحميل الحراري

$$\bar{t}^P = \alpha_t \frac{EA}{2} \begin{bmatrix} -1 & -1 \\ 1 & 1 \end{bmatrix} \begin{bmatrix} t_{(1)} \\ t_{(4)} \end{bmatrix} = \frac{0.000012 \cdot 21000.50}{2} \begin{bmatrix} -1 & -1 \\ 1 & 1 \end{bmatrix} \begin{bmatrix} 0 \\ 50 \end{bmatrix} = \begin{bmatrix} -315 \\ 315 \end{bmatrix}$$

الجملة الإحداثية العامة تصنع مع الجملة الإحداثية الخاصة الزاوية  $\alpha = 216.87$  وبالتالي  
القوى الحرارية  $\bar{t}^{(p)}$  في المحاور الإحداثية العامة الموافقة  $\sin \alpha = -0.6, \cos \alpha = -0.8$   
للسابقة هي :

$$\bar{t}^{(p)} = \begin{bmatrix} -0.8 & -0.6 & 0 & 0 \\ 0 & 0 & -0.8 & -0.6 \end{bmatrix} \begin{bmatrix} -315 \\ 315 \end{bmatrix} = \begin{bmatrix} 252 \\ 189 \\ -252 \\ -189 \end{bmatrix}$$

قوة أفقية وشاقولية  
 مؤثرة في العقدة (1)  
 قوة أفقية وشاقولية  
 مؤثرة في العقدة (4)

بعد حساب مصفوفة القساوة للعناصر وجمعها إلى مصفوفة القساوة العامة ومعالجة الشروط  
الطرفية نحصل على جملة المعادلات الخطية التالية :

$$EA \begin{vmatrix} 0.256 & 0 \\ 0 & 0.477 \end{vmatrix} \begin{Bmatrix} u_{\bar{1}(1)} \\ u_{\bar{2}(1)} \end{Bmatrix} = \begin{Bmatrix} 252 \\ 189 \end{Bmatrix}$$

بحل هاتين المعادلتين نجد انتقالات العقدة (1) في الجملة الإحداثية العامة .

$$u_{\bar{1}(1)} = \frac{984.375}{EA}; u_{\bar{2}(1)} = \frac{396.226}{EA}$$

لحساب القوى في القضيبين  $e_1, e_2$  نجري الحسابات الإعتيادية كما في المثال السابق إذ نحول أولا انتقالات عقدتيهما إلى المحاور الإحداثية الخاصة ثم نجرى الحسابات الروتينية للتشوهات وبعدها قوى المقطع . و سنكتفي هنا باعطاء النتيجة :

$$N^{x^1}_{e_1} = -132 \text{ kN}; N^{x^1}_{e_2} = 109.95$$

و القوة في القضيب  $e_1$  ضاغطة و في  $e_2$  شادة . لحساب القوة في القضيب  $e_3$  نحسب أولا انتقالات عقدته في المحاور الإحداثية الخاصة .

$$\begin{Bmatrix} u_{1(1)} \\ u_{1(4)} \end{Bmatrix} = \frac{1}{EA} \begin{vmatrix} -0.8 & -0.6 & 0 & 0 \\ 0 & 0 & -0.8 & -0.6 \end{vmatrix} \begin{Bmatrix} 984.375 \\ 396.226 \\ 0 \\ 0 \end{Bmatrix} = \frac{1}{EA} \begin{Bmatrix} -1025.236 \\ 0 \end{Bmatrix}$$

والحالة الإجهادية في القضيب يعبر عنها قانون المادة (4.5) لحالة التشوهات الحرارية المسببة .

$$\sigma^{11} = E(\epsilon_{11} - \bar{\epsilon}_{11})$$

و القوة في القضيب  $e_3$  هي:

$$N^{x^1} = EA(\epsilon_{11} - \bar{\epsilon}_{11}) = EA\epsilon_{11} - \alpha EA \Delta t$$

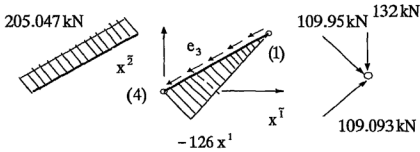
و هي بعد التعويض :

$$N^{x^1} = \left[ -\frac{1}{5} \quad \frac{1}{5} \right] \begin{Bmatrix} -1025.236 \\ 0 \end{Bmatrix} - 0.000012 \times 21000 \times 50 \left[ 1 - \frac{x^1}{5} \quad \frac{x^1}{5} \right] \begin{Bmatrix} 0 \\ 50 \end{Bmatrix} = 205.047 - 126x^1$$

و هذا التابع يعبر عن تغير القوة في القضيب  $e_3$  . حيث يبين هذا التابع أن تغير هذه القوة خطي . لنحسب الآن المحصلة الوسطية لهذه القوة و ذلك من اجل إجراء توازن العقدة (1) للتحقق من صحة الحل . القوة الوسطية في القضيب هي محصلة القوى المؤثرة عليه و تتألف من القوة الثابتة و مقدارها :



205.047 و القوة الموزعة  $126x^1$  - وقيمة القوة الموزعة عند العقدة (1) حيث  $x^1 = 0$  هي 0 و عند العقدة (4) حيث  $x^1 = 5$  هي  $126 \times 5$  - و الشدة الموزعة على الطول  $126 \text{ kN/m}$  - ومحصلتها هي مساحة المثلث الممثل لها أي  $-\frac{126 \times 5}{2}$  - و بالتالي محصلة القوة في القضيب  $e_3 = 315 - 205.047 = -109.093$  و تصبح العقدة (1) متوازنة تحت تأثير مجموعة القوى المؤثرة عليها (شكل م 4-2-ب) .



شكل م 4-2-ب توازن عقدة الجانز الشبكي

#### 4-4-4 حالة هبوط المساند

بغية إتمام الموضوع بشكل متكامل نود الآن معالجة حالات أخرى كهبوط المساند أو حالة وجود انتقالات مسبقة و حالة وجود نوابض عند مساند الجوائز الشبكية . و لنبدأ الآن بحالة حصول انتقالات مسبقة  $\bar{u}_{\bar{z}(L)}$  في بعض عقد الجانز الشبكي. في هذه الحالة تأخذ الطاقة الكامنة المقيمة في العلاقة (4.40) الشكل :

$$\Pi = \frac{1}{2} (u_{\bar{z}(L)} + \bar{u}_{\bar{z}(L)}) k^{\bar{z}(L)\bar{z}(N)} (u_{\bar{z}(N)} + \bar{u}_{\bar{z}(N)}) - \bar{f}^{\bar{z}(N)} (u_{\bar{z}(L)} + \bar{u}_{\bar{z}(L)}) \quad (4.54)$$

عدد عقد المنشأ  $L, N = 1, 2, 3, \dots$

و المتغير الأول للطاقة الكامنة هو :

$$\delta \Pi = \delta u_{\bar{r}(L)} [k^{\bar{r}(L)\bar{r}(N)} (u_{\bar{r}(N)} + \bar{u}_{\bar{r}(N)}) - \bar{f}^{\bar{r}(N)}] = 0 \quad (4.55)$$

و ذلك لأن المتغير الأول للانتقالات المعلومة مسبقا مساو للصفر ( $\delta \bar{u} = 0$ ) و بالتالي جملة المعادلات الخطية لهذه الحالة :

$$k^{\bar{r}(L)\bar{r}(N)} u_{\bar{r}(N)} = \bar{f}^{\bar{r}(N)} - k^{\bar{r}(L)\bar{r}(N)} \bar{u}_{\bar{r}(N)} \quad (4.56)$$

الحد الأخير من الطرف الثاني و هو جداء مصفوفة القساوة العامة في شعاع الانتقالات المسبقة يمثل تأثير هبوط المساند . و المثال التالي يوضح عدديا معالجة هذه الحالة :

#### مثال 3-4:

يطلب في حالة الجائز الشبكي السابق إيجاد القوى في قضبانه في حالة هبوط المسند (2) مقدار (1cm) في اتجاه المحور  $x^3$  .

بعد حساب مصفوفة القساوة العامة و ترتيب شعاع الانتقالات المسبقة لكل عقد الجائز الشبكي نستطيع حساب جدائهما :

$$k^{\bar{r}(L)\bar{r}(N)} \bar{u}_{\bar{r}(N)} = EA \times$$

0.256	0	0	-0.126	0.096	-0.128	-0.096	0	0	0
	0.477	0	-0.333	0.096	-0.072	-0.096	-0.072	0	0.333
		0	0	0	0	0	0	0	0
			0.333	0	0	0	0	-1	-0.333
				0.128	-0.96	0	0	0	0
					0.072	0	0	0	0
						0.128	0.096	0	0
							0.072	0	0

=
EA

وتصبح جملة المعادلات بعد معالجة الشروط الطرفية كما يلي:

$$EA \begin{vmatrix} 0.256 & 0 \\ 0 & -0.477 \end{vmatrix} = EA \begin{vmatrix} 0 \\ -0.333 \end{vmatrix}$$

و انتقالات العقدة (1) هي :

$$\begin{vmatrix} u_{x^1(1)} \\ u_{x^2(1)} \end{vmatrix} = \begin{vmatrix} 0 \\ -0.698 \end{vmatrix} \text{cm}$$

تتبع الآن الطريقة الإعتيادية في حسابات القوى في قضبان الجائز الشبكي و نحسبها الآن مفصلة للقضيب  $e_1$  : الانتقالات في الجملة الإحداثية الخاصة لعقدتي القضيب  $e_1$  هي :

$$\begin{vmatrix} u_{x^1(1)} \\ u_{x^1(2)} \end{vmatrix} \begin{vmatrix} 0 & 1 & 0 & 0 \\ 0 & 0 & 0 & 1 \end{vmatrix} \begin{vmatrix} 0 \\ -0.698 \\ 0 \\ -1 \end{vmatrix} = \begin{vmatrix} -0.698 \\ -1 \end{vmatrix} \text{cm}$$

و القوة في القضيب  $e_1$  :

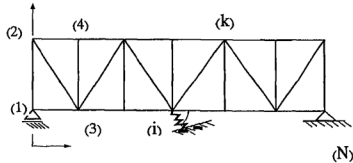
$$N^{x^1} = 21000 \times 20 \left[ -\frac{1}{300} \quad \frac{1}{300} \right] \begin{vmatrix} -0.698 \\ -1 \end{vmatrix} \approx -1057 \text{kN}$$

بحساب القوى في القضيبين الآخرين نحصل على :

$$N^{x^1}_{e_2} = 879.48; N^{x^1}_{e_3} = -879.48$$

و قوى العقدة (4) متوازنة تحت تأثير القوى السابقة .

#### 4-4-5- معالجة النوابط :



شكل 4-15: حالة نابض يميل بزاوية  $\alpha$  في العقدة (i) من جائز شبكي

في حالة وجود نابض ثابت صلابته  $c; (p), (q) = (i)$  يسند عقدة ما (i) من جائر شبكي تكون الطاقة الداخلية المتولدة عن قوى مرونة النابض و الناتجة عن انتقال العقدة (i) باتجاه محور النابض بمقدار  $(u_1(i))$  مساوية لما يلي :

$$\Pi_s = \frac{1}{2} u_{1(p)} c^{1(p)1(q)} u_{1(q)} ; (p), (q) = (i) \quad (4.57)$$

هذه الطاقة يجب تحويلها بدلالة انتقالات العقدة (i) باتجاهات المحاور الإحداثية العامة . و التحويل يتم بنفس الأسلوب المتبع في العلاقة (4.35) حيث ينتج :

$$\Pi_s = \frac{1}{2} u_{\tilde{1}(p)} T_1^{\tilde{1}} c^{1(p)1(q)} T_1^{\tilde{1}} u_{\tilde{1}(q)} ; \tilde{\ell}, \tilde{n} = \tilde{1}, \tilde{2} \quad (4.58)$$

و الشكل التفصيلي لهذه العلاقة هو :

$$\Pi_s = \frac{1}{2} \left| u_{\tilde{1}(i)} \quad u_{\tilde{2}(i)} \right| c \begin{vmatrix} \cos^2 \alpha & \sin \alpha \cos \alpha \\ \sin \alpha \cos \alpha & \sin^2 \alpha \end{vmatrix} \begin{vmatrix} u_{\tilde{1}(i)} \\ u_{\tilde{2}(i)} \end{vmatrix} \quad (4.59)$$

و هذه العلاقة يجب إضافتها إلى الطاقة الكامنة . ويتم هذا بإضافة المصفوفة  $T_1^{\tilde{1}} c^{1(p)1(q)} T_1^{\tilde{1}}$  في المكان الموافق للعقدة (i) في جملة المعادلة الخطية كما توضح العلاقة (4.61) . أما القوة المحورية في النابض فيتم حسابها بعد حساب الانتقالات المجهولة بحساب انتقال العقدة (i) باتجاه محور النابض وفق علاقة التحويل (4.34) و من ثم تطبيق العلاقة المعروفة :

$$N^s = -cu_1 \quad (4.60)$$

و أخيرا تكون جملة المعادلات الخطية في حالة وجود نابض في العقدة (i) بالشكل :

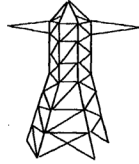
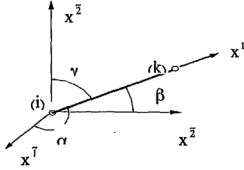
$$\begin{bmatrix} u_{\bar{1}(i)} \\ u_{\bar{2}(i)} \\ \\ \\ u_{\bar{1}(N)} \\ u_{\bar{2}(N)} \end{bmatrix} = \begin{bmatrix} \bar{f}_{\bar{1}(i)} \\ \bar{f}_{\bar{2}(i)} \\ \\ \\ \bar{f}_{\bar{1}(N)} \\ \bar{f}_{\bar{2}(N)} \end{bmatrix}$$

$$\begin{matrix} + c \cos^2 \alpha & + c \cos \alpha \sin \alpha \\ + c \cos \alpha \sin \alpha & + c \sin^2 \alpha \end{matrix}$$

(4.61)

#### 5-4- عنصر منتهي لجائز شبكي فراغي :

لنقطع من جائز شبكي فراغي (شكل 4-17) عنصر منتهي عقده ذات الرقم الأدنى (i) و ذات الرقم الأعلى (k). عادة يوجه محور القضيب  $x^1$  من العقدة (i) إلى العقدة (k) كما أسلفنا و يحدد عادة القضيب بإعطاء إحداثيات عقديته في الجملة الإحداثية العامة ولتكن إحداثيات العقدة i  $(x^{\bar{1}}(i), x^{\bar{2}}(i), x^{\bar{3}}(i))$  و إحداثيات العقدة k  $(x^{\bar{1}}(k), x^{\bar{2}}(k), x^{\bar{3}}(k))$ . إن زوايا الاتجاه للعنصر (i),(k) هي تلك التي يضعها مستقيم مواز للقضيب مار من مبدأ الإحداثيات و موجه بالاتجاه من (i) إلى (k) مع الاتجاهات الموجبة للمحاور الإحداثية الثلاثة  $x^{\bar{1}}, x^{\bar{2}}, x^{\bar{3}}$ . بفرض أن الزوايا مع المحاور  $x^{\bar{1}}, x^{\bar{2}}, x^{\bar{3}}$  هي على الترتيب  $\alpha, \beta, \gamma$  يمكن حساب تجميعات هذه الزوايا من مبادئ الهندسة التحليلية :



شكل 4-17- جوائز شبكي فراغي

شكل 4-18- عنصر من جوائز شبكي فراغي .

المحاور الإحداثية الخاصة و العامة

$$\begin{aligned}\cos \alpha &= \frac{x^1_{(k)} - x^1_{(i)}}{\ell} \\ \cos \beta &= \frac{x^2_{(k)} - x^2_{(i)}}{\ell} \\ \cos \gamma &= \frac{x^3_{(k)} - x^3_{(i)}}{\ell}\end{aligned}\quad (4.62)$$

حيث  $\ell$  طول القضيب (k) و يساوي :

$$\ell = \sqrt{(x^1_{(k)} - x^1_{(i)})^2 + (x^2_{(k)} - x^2_{(i)})^2 + (x^3_{(k)} - x^3_{(i)})^2} \quad (4.63)$$

خلافًا للحالة المستوية يحتوي شعاع الانتقالات في المحاور الإحداثية العامة على ثلاث مركبتين . وكذلك شعاع القوى الخارجية و هي مركبة في اتجاه كل محور من المحاور الإحداثية العامة .

و للحصول على مصفوفة القساوة العامة يجب تقييم طاقة التشوه الداخلي (4.23) المنسوبة إلى

الجملة الإحداثية الخاصة للعنصر في جملة المحاور الإحداثية العامة . إن انتقال العقدة (i) بمقدار

$u_{i(i)}$  باتجاه  $x^1$  و  $u_{z(i)}$  باتجاه  $x^2$  و  $u_{\bar{z}(i)}$  باتجاه  $x^3$  يؤدي إلى انتقالها باتجاه محور

القضيب  $x^1$  مع اعتبار k ثابتة بالمقدار :

$$u_{i(i)} = u_{i(i)} \cos \alpha + u_{z(i)} \cos \beta + u_{\bar{z}(i)} \cos \gamma \quad (4.64)$$

و كذلك الحال بالنسبة للعقدة k :

$$u_{i(k)} = u_{i(k)} \cos \alpha + u_{z(k)} \cos \beta + u_{\bar{z}(k)} \cos \gamma \quad (4.65)$$

وباستخدام الكتابة بالقرائن نستطيع التعبير عن العلاقتين السابقتين بالعلاقة :

$$u_{i(p)} = T_1^T u_{\bar{i}(p)} \quad (4.66)$$

و بالتحويل السابق تأخذ طاقة التشوه الداخلي شكلا مشابها للعلاقة (4.35) وهو :

$$\Pi_i = \frac{1}{2} u_{\bar{i}(p)} T_1^T k^{i(p)l(q)} T_1^{\bar{i}} u_{\bar{l}(q)} \quad (4.67)$$

حيث :

$$u_{\bar{i}(p)} = [u_{\bar{i}(i)} u_{\bar{i}(l)} u_{\bar{i}(k)} u_{\bar{i}(k)} u_{\bar{i}(k)} u_{\bar{i}(k)}] \quad (4.68)$$

شعاع انتقالات العقدتين (i) و (k) في المحاور الإحداثية العامة. وعليه تصبح مصفوفة القسولة لعنصر جاذب شبكي فراغي محولة إلى المحاور الإحداثية العامة كما يلي:

$$T_1^T k^{i(p)l(q)} T_1^{\bar{i}} = \frac{EA}{\ell}$$

$\cos^2 \alpha$	$\cos \alpha \cos \beta$	$\cos \alpha \cos \gamma$	$-\cos^2 \alpha$	$-\cos \alpha \cos \beta$	$-\cos \alpha \cos \gamma$
$\cos \alpha \cos \beta$	$\cos^2 \beta$	$\cos \beta \cos \gamma$	$-\cos \alpha \cos \beta$	$-\cos^2 \beta$	$-\cos \beta \cos \gamma$
$\cos \alpha \cos \gamma$	$\cos \beta \cos \gamma$	$\cos^2 \gamma$	$-\cos \alpha \cos \gamma$	$-\cos \beta \cos \gamma$	$-\cos^2 \gamma$
$-\cos^2 \alpha$	$-\cos \alpha \cos \beta$	$-\cos \alpha \cos \gamma$	$\cos^2 \alpha$	$\cos \alpha \cos \beta$	$\cos \alpha \cos \gamma$
$-\cos \alpha \cos \beta$	$-\cos^2 \beta$	$-\cos \beta \cos \gamma$	$\cos \alpha \cos \beta$	$\cos^2 \beta$	$\cos \beta \cos \gamma$
$-\cos \alpha \cos \gamma$	$-\cos \beta \cos \gamma$	$-\cos^2 \gamma$	$\cos \alpha \cos \gamma$	$\cos \beta \cos \gamma$	$\cos^2 \gamma$

(4.69)

أما شعاع الحملات الخارجية المركزة على العقد و المكافئة للحمولات الموزعة ضمن العناصر فيتم تحويلها بتقييم العمل الخارجي (4.30) المنسوب إلى الجملة الإحداثية الخاصة بدلالة شعاع الانتقالات (4.68) المنسوب إلى جملة المحاور الإحداثية العامة و ذلك بتعويض العلاقة (4.66) في العلاقة (4.30) فنحصل على :

$$\Pi_a = \bar{f}^{i(p)} T_1^T u_{\bar{i}(p)} \quad (4.70)$$

و هذه العلاقة بالتفصيل :

$$\Pi_a = \left[ u_{\bar{i}(l)} u_{\bar{z}(l)} u_{\bar{z}(l)} u_{\bar{i}(k)} u_{\bar{z}(k)} u_{\bar{z}(k)} \right] \begin{vmatrix} \cos \alpha \int_0^{\ell} \bar{n}^1(x^1) \left(1 - \frac{x^1}{\ell}\right) dx^1 \\ \cos \beta \int_0^{\ell} \bar{n}^1(x^1) \left(1 - \frac{x^1}{\ell}\right) dx^1 \\ \cos \gamma \int_0^{\ell} \bar{n}^1(x^1) \left(1 - \frac{x^1}{\ell}\right) dx^1 \\ \cos \alpha \int_0^{\ell} \bar{n}^1(x^1) \frac{x^1}{\ell} dx^1 \\ \cos \beta \int_0^{\ell} \bar{n}^1(x^1) \frac{x^1}{\ell} dx^1 \\ \cos \gamma \int_0^{\ell} \bar{n}^1(x^1) \frac{x^1}{\ell} dx^1 \end{vmatrix} \quad (4.71)$$

بعد تحويل كافة المؤثرات إلى الجملة الإحداثية العامة يمكن الجمع على كامل المنشأ بشكل مشابه لما ورد في حالة الجوائز الشبكية المستوية مع الفارق البسيط أنه في حالة الجوائز الفراغية تكون المصفوفة الجزئية الخاصة بكل عقدة مؤلفة من  $3 \times 3$  عنصرا عوضا عن كونها في الحالة للمستوية مؤلفة من  $2 \times 2$  عنصرا .

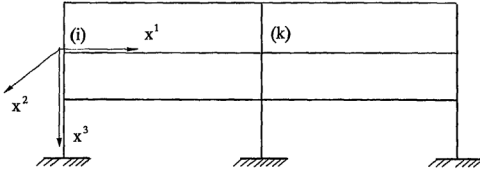
المصادر العلمية :

1. Rothe, A .  
Stabstatik fur Bauingenieure  
VEB verlag fur Bauwesen , Berlin 1984 .
2. Bochmann , F .  
Statik im Bauwesen , Bd . I , II und III  
VEB Verlag fur Bauwesen , Berlin 1977 .
3. Winkler , j ; Aurich , H .  
Technische Mechanik  
VEB Fachbuch verlag , Leipzig 1987 .



## 5- معالجة الإطارات المستوية والقragية بطريقة العناصر المنتهية

يقصد بالمنشآت الإطارية تلك المنشآت الناتجة من الاتصال الصلب لقضبان مقاومة لعزوم الانعطاف مع بعضها البعض (شكل 5-1). هذا الاتصال الصلب يسمح بنقل عزوم الانعطاف وقوى القص والقوى الناعمية. تصنف الإطارات عادةً تحت زمر معينة فنجد منها الإطارات الوحيدة الطابق والإطارات متعددة الطوابق، والإطارات الموثوقة والإطارات المتمفصلة ... إلخ. وسوف تعالج هذه الإطارات وفق الافتراضات الكلاسيكية المعروفة لنظرية الإطارات، وهذه الافتراضات هي:



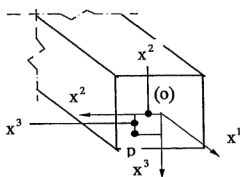
شكل 5-1: منشأ إطاري متعدد الطبقات

- أ- طول قضيب الإطار كبير جداً بالنسبة لأبعاد مقطعه.
- ب- تأثير القوى القاصة ضئيل بالنسبة لتأثير عزوم الانعطاف بحيث يمكن إهماله.
- ج- محور القضيب مستقيم أو أنه محني انحناء بسيطاً جداً بحيث يمكن اعتباره مستقيماً.
- د- تؤثر الحملات الخارجية في مستوي يمر بمحور القضيب وفصله المشترك مع مقطع القضيب يمثل محور عطالة رئيسي للمقطع وهو بنفس الوقت محور تناظر للمقطع.
- هـ- يفترض أن مادة القضيب مرنة ومتجانسة ويسري فيها مفعول قانون هوك.
- و- المقاطع المستوية قبل التشوه تبقى مستوية بعد التشوه (نظرية التشوه الأمثل للمقاطع). كما يفترض أن المقاطع المستوية العمودية على محور القضيب قبل التشوه تبقى عمودية على محور القضيب المشوه بعد التشوه (نظرية برنولي وNavier).

ز- القوى الخارجية المؤثرة عمودياً على محور القضيب يمكن اعتبارها وكأنها موزعة بانتظام على كامل ارتفاع المقطع.

ى- المقاطع المعرضة لعزوم قتل تنشوه فقط بدورائها حول محور مزدوجة عزوم القتل، وتحافظ على شكلها وكأنها شريحة صلبة. بينما يمكن لنقاط المقطع أن تنتقل باتجاه محور المزدوجة لكن تباع انتقالها ليس متعلقاً بالإحداثي المستقل المنطبق على محور المزدوجة ( فرضية سانت فينلانت Sant Venant).

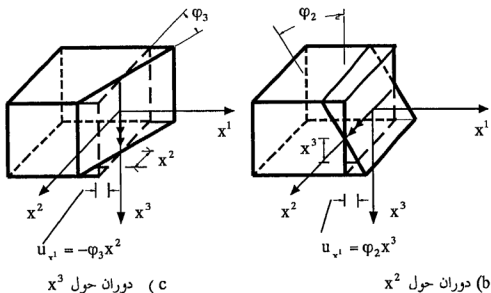
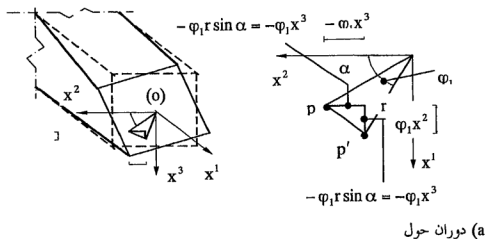
### 5-1- تخفيض عدد مجاهيل نظرية المرونة:



شكل 5-2: قضيب مقطوع من إطار فراغي

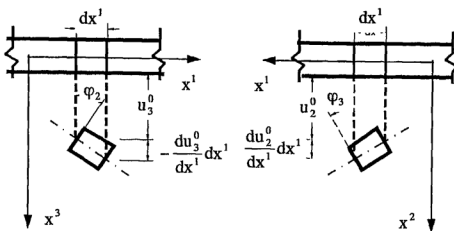
لنستعرض الآن مجاهيل نظرية المرونة لحالة قضيب مقطوع من إطار فراغي (شكل 5-2) يحقق الافتراضات السابقة. لتنسب القضيب للمقطع من الإطار إلى جملة محاور إحداثية محلية متعامدة نظامية  $(x^1, x^2, x^3)$  بحيث ينطبق محور القضيب على المحور  $x^1$ . لتحديد الحالة الانتقالية لمقطع القضيب يجب تحديد انتقالات كل نقطة منه  $P$  في اتجاه المحاور الإحداثية الثلاثة وهي على التوالي  $(u_1, u_2, u_3)$  وهذه هي نفسها المجاهيل التي تحدد تابع الانتقالات لجسم فراغي. وباعتبار  $P$  نقطة ما لاعلى التعيين من نقاط المقطع، يكون عدد المجاهيل اللازمة لتحديد المقطع المنشوه باعتباره جزءاً من جسم فراغي لانهاضي. ولكن باستخدام الافتراضات التسهيلية السابقة يمكن صياغة انتقال النقطة  $P$  بدلالة انتقالات نقطة مركز ثقل المقطع ودورانات المقطع حول المحاور الإحداثية الثلاثة.

لنفترض أن انتقالات نقطة مركز ثقل المقطع باتجاه المحاور  $x^1, x^2, x^3$  هي على التوالي  $u_1^0, u_2^0, u_3^0$ ، وأن دورانات المقطع حول المحاور نفسها هي على التوالي  $\varphi_1, \varphi_2, \varphi_3$ ، نجد باعتماد فرضية المقاطع المستوية والرجوع إلى الشكل (3-5) أن:



شكل 5-3: دورانات المقطع حول المحاور الاحداثية

$$\begin{aligned}
u_1 &= u_1^0 - \varphi_3 \cdot x^2 + \varphi_2 \cdot x^3 \\
u_2 &= u_2^0 - \varphi_1 \cdot x^3 \\
u_3 &= u_3^0 - \varphi_1 \cdot x^2
\end{aligned}
\tag{5.1}$$



شكل 4-5: فرضية برنولي: المقاطع العمودية على محور القضيب قبل التشوه تبقى عمودية على محور القضيب المشوه بعد التشوه. ١) انتقال تفاضلي باتجاه  $x^2$  . ب) انتقال تفاضلي باتجاه  $x^3$ . باعتبار أن مشتقات الانتقالات صغيرة، يمكن إلباس ظل الزاوية بالزاوية نفسها ويكون الدوران عند تغير الانتقالات في عنصر تفاضلي طوله  $dx^1$  حول  $x^2$  مكافئ لـ  $(-\frac{du_3^0}{dx^1})$  ، والإشارة السالبة تعني أن الانتقال للموجب يؤدي إلى زاوية دوران سالبة. وهذه الزاوية مكافئة (وفق نظرية برنولي) لزاوية دوران المقطع حول  $x^2$  (الزاويتين متساويتين بالتعمد شكل 4-5) أي:

$$\varphi_2 = (-\frac{du_3^0}{dx^1})
\tag{5.2}$$

وبشكل مائل نجد أن:

$$\varphi_3 = \left( -\frac{du_2^0}{dx_1} \right) \quad (5.3)$$

وبالتالي بعد افتراض التسهيلات السابقة يمكن التعبير عن انتقالات المقطع في أية نقطة منه بتحديد

$$u_i^0 \equiv \begin{bmatrix} u_1^0 \\ u_2^0 \\ u_3^0 \\ \varphi_1 \end{bmatrix} \quad (5.4)$$

أما بالنسبة لموتر التشوهات فتتقلص لتحتوي فقط على التشوه الناطمي  $\varepsilon_{11}$  والتشوهات العرضية  $\varepsilon_{12}$  ،  $\varepsilon_{13}$  ، أما التشوهات المتبقية فهي وفق الفرضية (1) مهملة أي:

$$\varepsilon_{22} = \varepsilon_{33} = \varepsilon_{32} = 0 \quad (5.5)$$

ويكون جزء موثر التشوهات الذي يجب تحديده هو:

$$\varepsilon_{ij} \equiv \begin{bmatrix} \varepsilon_{11} \\ \varepsilon_{12} \\ \varepsilon_{13} \end{bmatrix} \quad (5.6)$$

والإجهادات الحاصلة طبقاً لذلك والتي يجب تعيينها تلخص في جزء موثر الإجهادات

$$\sigma^{ii} \equiv \begin{bmatrix} \sigma^{11} \\ \sigma^{12} \\ \sigma^{13} \end{bmatrix} \quad (5.7)$$

أما الإجهادات المتبقية فتعتبر مهملة ( الفرضية 1 ):

$$\sigma^{22} = \sigma^{33} = \sigma^{23} = 0 \quad (5.8)$$

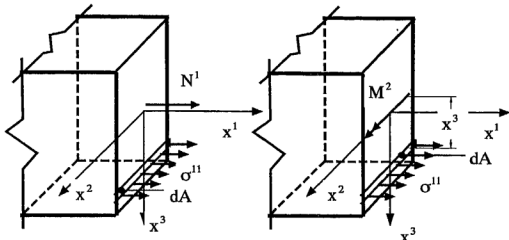
يلجأ عادةً إلى استخدام قوى المقطع أثناء كتابة معادلات التوازن على عنصر تفاضلي مقطوع من قضيب الإطار. وقوى المقطع المستقلة التي يجب تحديدها ممثلة بالقوة الناطمية  $N$  والتي تمثل

بتكامل الإجهادات الناطمية على سطح المقطع ( شكل 5-5-5 )

$$N^1 = \int_A \sigma^{11} dA \quad (5.9)$$

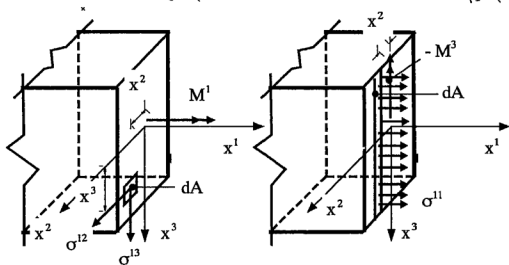
وعزم الانعطاف حول المحور  $x^2$  وهو تكامل عزم القوة التفاضلية  $\sigma^{11} dA$  حول المحور  $x^2$  على كامل سطح المقطع (شكل 5-5-ب)

$$M^2 = \int_A \sigma^{11} x^3 dA \quad (5.10)$$



(a) القوة الناعمية

(b) عزم الانعطاف  $M^2$



(d) عزم الفتل  $M^1$

(c) عزم الانعطاف  $M^3$

شكل 5-5: قوى المقطع المستقلة في مقطع من قضيب إطارى.

وعزم الانعطاف حول المحور  $x^3$  هو تكامل عزم القوى التفاضلية  $\sigma^{11} dA$  حول المحور  $x^3$  على كامل سطح المقطع (شكل 5-5-c)

$$M^3 = - \int_A \sigma^{11} x^2 dA \quad (5.11)$$

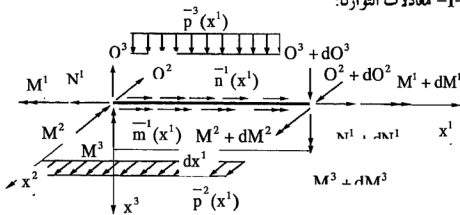
أما عزم القتل حول المحور  $x^1$  فهو تكامل عزم القوتين التفاضليتين  $\sigma^{12} dA$  و  $\sigma^{13} dA$  حول المحور  $x^1$  على كامل سطح المقطع (شكل 5-5-d)

$$M^1 = \int_A (-\sigma^{12} x^3 + \sigma^{13} x^2) dA \quad (5.12)$$

أما قوى المقطع المتبقية كقوتي القص  $Q^2$  باتجاه المحور  $x^2$  و  $Q^3$  باتجاه المحور  $x^3$  فهي قوى يمكن حسابها من عزم المقطع السابقة كما سنرى عند كتابة معادلات التوازن. وفيما يلي سنستعرض معادلات نظرية المرونة لحالة قضيب إطارى فراغى.

## 5-2-2 معادلات نظرية المرونة:

### 5-2-1-1 معادلات التوازن:



شكل 5-6: عنصر تفاضلي مقطوع من قضيب إطارى فراغى (قوى المقطع، الحمولات الخارجية).

لنقتطع من قضيب إطارى فراغى عنصرا تفاضليا بطول  $dx^1$  تؤثر عليه القوى الخارجية الموزعة  $\bar{n}(x^1), \bar{p}^2(x^1), \bar{p}^3(x^1)$  وعزوم الفتل الخارجية الموزعة  $\bar{m}(x^1)$ . نختار الاتجاه الموجب لقوى المقطع  $N^1, Q^2, Q^3, M^1, M^2, M^3$  كما في مقاومة المواد معاكسة للمحاور الإحداثية في جزء المقطع اليساري، ولذلك تكون الاتجاهات الموجبة لنفس القوى بعد تزايدها بمقدار تفاضلي على جزء المقطع اليميني موافقة للمحاور الإحداثية حسب قانون التأثير المتبادل. ومعادلات توازن مساقط القوى باتجاه المحاور الإحداثية  $x^1, x^2, x^3$  هي على التوالي:

$$\begin{aligned} N^1 + dN^1 - N^1 + \bar{n}^1(x^1).dx^1 &= 0 \\ Q^2 + dQ^2 - Q^2 + \bar{p}^2(x^1).dx^1 &= 0 \\ Q^3 + dQ^3 - Q^3 + \bar{p}^3(x^1).dx^1 &= 0 \end{aligned} \quad (5.13)$$

ومعادلات توازن العزوم حول المحاور الإحداثية  $x^1, x^2, x^3$  في نقطة مركز العنصر التفاضلي:

$$\begin{aligned} M^1 + dM^1 - M^1 + \bar{m}^1(x^1).dx^1 &= 0 \\ M^2 + dM^2 - M^2 - Q^3 \frac{dx^1}{2} - (Q^3 + dQ^3) \cdot \frac{dx^1}{2} &= 0 \\ M^3 + dM^3 - M^3 + Q^2 \frac{dx^1}{2} + (Q^2 + dQ^2) \cdot \frac{dx^1}{2} &= 0 \end{aligned} \quad (5.14)$$

ويإهمال الحدود التي تحتوي على مربعات التفاضل نحصل على جملة المعادلات التالية:

$$\begin{aligned} \frac{dN^1}{dx^1} &= -\bar{n}^1(x^1) & \frac{dM^1}{dx^1} &= -\bar{m}^1(x^1) \\ \frac{dQ^2}{dx^1} &= -\bar{p}^2(x^1) & \frac{dM^2}{dx^1} &= Q^3 \\ \frac{dQ^3}{dx^1} &= -\bar{p}^3(x^1) & \frac{dM^3}{dx^1} &= -Q^2 \end{aligned} \quad (5.15)$$



باشتقاق المعادلتين الخامسة والسادسة من العلاقة السابقة بالنسبة لـ  $x^1$  وتعويض المعادلتين الثانية والثالثة على الترتيب في المعادلتين الناتجتين عن الاشتقاق نحصل على معادلات التوازن التالية لقوى المقطع المستقلة:

$$\begin{aligned}\frac{dN^1}{dx^1} &= -\bar{n}^1(x^1) \\ \frac{d^2M^2}{(dx^1)^2} &= -\bar{p}^3(x^1) \\ \frac{d^2M^3}{(dx^1)^2} &= \bar{p}^2(x^1)\end{aligned}\tag{5.16}$$

$$\frac{dM^1}{dx^1} = -\bar{m}^1(x^1)$$

## 5-2-2- علاقات التشوهات - الانتقالات:

تمثل علاقات التشوهات - الانتقالات للحالة المدروسة بثلاث علاقات تحدد جزء متوترة التشوهات (5.6) وهي لحالة السلوك الهندسي الخطي كمايلي:

$$\begin{aligned}\epsilon_{11} &= \frac{\partial u_1}{\partial x^1} \\ \epsilon_{12} &= \frac{1}{2} \left( \frac{\partial u_1}{\partial x^2} + \frac{\partial u_2}{\partial x^1} \right) \\ \epsilon_{13} &= \frac{1}{2} \left( \frac{\partial u_1}{\partial x^3} + \frac{\partial u_3}{\partial x^1} \right)\end{aligned}\tag{5.17}$$

نكتب الآن التشوه الناظمي  $\varepsilon_{11}$  بدلالة عناصر شعاع الانتقالات (5.4). فنجد باستخدام المعادلة الأولى من العلاقات (5.1) والمعادلات (5.2), (5.3) أن:

$$\varepsilon_{11} = \frac{du_1^0}{dx^1} - x^2 \frac{d^2 u_2^0}{(dx^1)^2} - x^3 \frac{d^2 u_3^0}{(dx^1)^2} \quad (5.18)$$

التشوهات العرضية  $\varepsilon_{12}$  و  $\varepsilon_{13}$  نكتب بدلالة عناصر شعاع الانتقالات (5.4) وذلك باستخدام كافة معادلات العلاقات (5.1) والمعادلات (5.2), (5.3) بالشكل:

$$\varepsilon_{12} = \frac{1}{2} \left( -\varphi_3 + \frac{du_0^2}{dx^1} - x^3 \cdot \frac{d\varphi_1}{dx^1} \right) = \frac{1}{2} \left( -x^3 \cdot \frac{d\varphi_1}{dx^1} \right) \quad (5.19)$$

$$\varepsilon_{13} = \frac{1}{2} \left( \varphi_2 + \frac{du_0^2}{dx^1} + x^2 \cdot \frac{d\varphi_1}{dx^1} \right) = \frac{1}{2} \left( x^2 \cdot \frac{d\varphi_1}{dx^1} \right) \quad (5.20)$$

بتجميع العلاقات (5.18), (5.19), (5.20) نحصل على الشكل المصغوف التالي:

$$\begin{bmatrix} \varepsilon_{11} \\ \varepsilon_{12} \\ \varepsilon_{13} \end{bmatrix} = \begin{bmatrix} 1 & x^3 & -x^2 & 0 \\ 0 & 0 & 0 & -x^3 \\ 0 & 0 & 0 & x^2 \\ 0 & 0 & 0 & 2 \end{bmatrix} \begin{bmatrix} \frac{du_1^0}{dx^1} \\ -\frac{d^2 u_3^0}{(dx^1)^2} \\ \frac{d^2 u_2^0}{(dx^1)^2} \\ \frac{d\varphi_1}{dx^1} \end{bmatrix} \quad (5.21)$$

$$\varepsilon_{ii} = \bar{x}^{ij} \chi_{ij}$$

حيث  $\chi_{ij}$  شعاع مشتقات انتقالات نقطة مركز ثقل المقطع.

### 5-2-3- قانون السلوك:

تمثل علاقات الإجهادات-التشوهات للحالة المدروسة بثلاث علاقات أيضا تحدد جزء متوردة الإجهادات (5.7) وهي لحالة السلوك الفيزيائي الخطي:

$$\begin{bmatrix} \sigma^{11} \\ \sigma^{12} \\ \sigma^{13} \end{bmatrix} = \begin{bmatrix} E & 0 & 0 \\ 0 & \frac{E}{1+\gamma} & 0 \\ 0 & 0 & \frac{E}{1+\gamma} \end{bmatrix} \begin{bmatrix} \varepsilon_{11} \\ \varepsilon_{12} \\ \varepsilon_{13} \end{bmatrix} \quad (5.22)$$

$$\sigma^{ij} = C^{lijk} \varepsilon_{kl}$$

### 5-2-4- علاقات قوى المقطع - الانتقالات:

نحصل على قوى المقطع-الانتقالات بإجراء تكاملات الإجهادات (5.10), (5.11), (5.12), (5.9) بعد تعويض جزء متوردة الإجهادات في العلاقات (5.22) بمكافئة من العلاقات (5.21) وهي كالتالي:

$$\begin{bmatrix} N^1 \\ M^2 \\ M^3 \\ M^1 \end{bmatrix} = \begin{bmatrix} EA & 0 & 0 & 0 \\ 0 & EI_2 & 0 & 0 \\ 0 & 0 & EI_3 & 0 \\ 0 & 0 & 0 & GI_D \end{bmatrix} \begin{bmatrix} \frac{du^0_1}{dx^1} \\ \frac{d^2u^0_3}{(dx^1)^2} \\ \frac{d^2u^0_2}{(dx^1)^2} \\ \frac{d\varphi_1}{dx^1} \end{bmatrix} \quad (5.23)$$

$$M^i = E^ij \chi_j$$

حيث  $I_2, I_3$  عزوم عطالة المقطع حول المحورين  $x^2, x^3$  على التوالي و  $I_D$  عزم العطالة القطبي له:

$$I_2 = \int_A (x^3)^2 dA$$

$$I_3 = \int_A (x^2)^2 dA \quad (5.24)$$

$$I_D = \int_A [(x^2)^2 + (x^3)^2] dA = \int_A r^2 dA$$

والتكاملات:

$$\int_A x^2 dA = \int_A x^3 dA = 0 \quad (5.25)$$

معدومة لافتراضنا منذ البداية أن المحاور  $x^2, x^3$  هي محاور تناظر أو محاور العطالة الرئيسية للمقطع. أما العامل  $G$  فهو العامل المعروف في مقاومة المواد كعامل القص للمادة ويساوي:

$$G = \frac{E}{2(1 + \nu)} \quad (5.26)$$

## 5-2-5- المعادلات التفاضلية للمسألة :

تشكل المعادلات التفاضلية التي تحكم المسألة المطروحة بتطبيق الاشتقاقات (5.16) على قسوى المقطع من العلاقات (5.23) فنحصل على المعادلات التفاضلية التالية:

$$EA \frac{d^2 u_l^0}{(dx^1)^2} = -n^{-1} (x^1)$$

$$EI_2 \frac{d^4 u_3^0}{(dx^1)^4} = \bar{p}^3(x^1) \quad (5.27)$$

$$EI_3 \frac{d^4 u_2^0}{(dx^1)^4} = \bar{p}^2(x^1)$$

$$GI_D \frac{d^2 \varphi_1}{(dx^1)^2} = -\bar{m}^1(x^1)$$

وهنا نلاحظ أن المعادلات التفاضلية تحوي في ضمنها كل علاقات الوسط الإنشائي أي علاقات التشوهات-الانتقالات وقانون السلوك ومعادلات التوازن. والحلول الكلاسيكية تعتمد على إيجاد حلول هذه المعادلات وتحديد ثوابت الحل بحيث تتحقق الشروط الطرفية الكينماتيكية والميكانيكية. ونحن هنا لسنا بصدد دراسة مثل هذه الحلول وإنما ندرس الطرق المتغيرة في إيجاد حلول هذه المعادلات.

### 5-3- مبدأ الطاقة الكامنة الأصغري:

بعد هذا الاستعراض المفصل للمجاهيل الستاتيكية والكينماتيكية المؤثرة في حالة قضيب إطاري مقطوع من منشأ إطاري نستطيع كتابة مبدأ الطاقة الكامنة الأصغري لحالة الإطارات الفراغية تحت الشروط المفترضة أثناء استعراض المسألة، وذلك بتبديل موتر التشوهات العامة  $\varepsilon_{ij}$  بجزئها  $\varepsilon_{ij}$  المحدد في العلاقة (5.6) ومعاملات الصلابة العامة  $C^{ijkl}$  بجزئها  $C^{ijkl}$  وبعد أخذ الافتراضات الواردة في بداية هذا الفصل بعين الاعتبار يأخذ مبدأ الطاقة الكامنة الأصغري بالشكل:

$$\pi = \sum_{\epsilon} \left( -\int_V \varepsilon_{ij} c^{ijkl} \varepsilon_{kl} dv - \int_0^1 \bar{p}^i u_i dl - \sum_m \bar{F}^{(p)} u_{l(p)}^0 \right) \quad (5.28)$$

$$\delta\pi = 0 \quad (5.29)$$

حيث:

$\sum_e$  : المجموع على كامل عناصر المنشأ الإطاري.

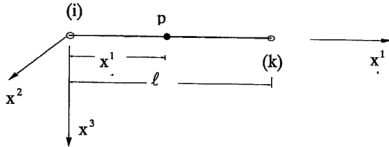
$\bar{F}^{(p)}$  : القوة الخارجية المركزة في الاتجاه  $l$  للمحور الإحداثي (عما فيها القوة الخارجية المركزة)  $m$  هي العقدة التي تؤثر فيها القوة.

$\sum_m$  : المجموع على العقد المحملة بقوة مركزة أو بعزم مركز.

$u_{l(p)}^0$  : شعاع انتقالات العقدة المحملة بقوى خارجية (انتقالات ودورانات).

إن الحد الأول من العلاقة (5.28) يمثل طاقة التشوه الداخلي والحد الثاني منها يمثل عمل القوى الخارجية الموزعة أما الحد الأخير فيمثل عمل القوى الخارجية المركزة والعزوم الخارجية المركزة.

#### 5-4- عنصر منتهي إطاري فراغي-نموذج الانتقالات:



شكل 5-7 : قضيب من إطار فراغي كعنصر منتهي ، الجملة الإحداثية

لنقطع من منشأ إطاري عنصراً منتهياً طوله  $l$  وعقدتيه الطرفيتين (i), (k) (شكل 5-7). لكل عقدة من عقدتيه ست درجات حرية وهي ثلاثة انتقالات في اتجاه المحاور الإحداثية الثلاثة وثلاثة دورانات حولها. إذاً عدد الثوابت الاختيارية التي يمكن تعيينها هي اثنا عشر ثابتاً اختيارياً وهو ما يجب أن يحتويه التابع التقريبي للانتقالات. نفترض التابع التقريبي لشعاع الانتقالات (5.4) لنقطة من محور الجناز تبعد عن العقدة (i) بمقدار  $x^1$  بالشكل:

$$\begin{bmatrix} u_2^0 \\ u_2^0 \\ u_2^0 \\ \varphi_1 \end{bmatrix} = \begin{bmatrix} 1 & x^1 & 0 & 0 & 0 & 0 & 0 & 0 & 0 & 0 & 0 & 0 \\ 0 & 0 & 1 & x^1 & (x^1)^2 & (x^1)^3 & 0 & 0 & 0 & 0 & 0 & 0 \\ 0 & 0 & 0 & 0 & 0 & 0 & 1 & x^1 & (x^1)^2 & (x^1)^3 & 0 & 0 \\ 0 & 0 & 0 & 0 & 0 & 0 & 0 & 0 & 0 & 0 & 1 & x^1 \end{bmatrix} \begin{bmatrix} c_0 \\ c_1 \\ c_2 \\ c_3 \\ c_4 \\ c_5 \\ c_6 \\ c_7 \\ c_8 \\ c_9 \\ c_{10} \\ c_{11} \end{bmatrix}$$

$$u_i^0 = x_i^n \cdot c_n \quad i=1,2,3,4 \quad c_n = c_0, c_1, \quad (5.30)$$

هذه التوابيع يجب أن تعطي انتقالات العقدتين (i), (k) عند تعويض إحداثياتهما فيها. بتعويض

إحداثيات العقدتين (i), (k) مع مراعاة العلاقات (5.2), (5.3) نحصل على جملة المعادلات التالية:

$$\begin{bmatrix} u_{1(i)}^0 \\ u_{2(i)}^0 \\ u_{3(i)}^0 \\ \varphi_{1(i)} \\ \varphi_{2(i)} \\ \varphi_{3(i)} \\ u_{1(k)}^0 \\ u_{2(k)}^0 \\ u_{3(k)}^0 \\ \varphi_{1(k)} \\ \varphi_{2(k)} \\ \varphi_{3(k)} \end{bmatrix} = \begin{bmatrix} 1 & 0 & 0 & 0 & 0 & 0 & 0 & 0 & 0 & 0 & 0 & 0 \\ 0 & 0 & 1 & 0 & 0 & 0 & 0 & 0 & 0 & 0 & 0 & 0 \\ 0 & 0 & 0 & 0 & 0 & 0 & 1 & 0 & 0 & 0 & 0 & 0 \\ 0 & 0 & 0 & 0 & 0 & 0 & 0 & 0 & 0 & 0 & 1 & 0 \\ 0 & 0 & 0 & 0 & 0 & 0 & 0 & -1 & 0 & 0 & 0 & 0 \\ 0 & 0 & 0 & 1 & 0 & 0 & 0 & 0 & 0 & 0 & 0 & 0 \\ 1 & 1 & 0 & 0 & 0 & 0 & 0 & 0 & 0 & 0 & 0 & 0 \\ 0 & 0 & 1 & 1 & 1^2 & 1^3 & 0 & 0 & 0 & 0 & 0 & 0 \\ 0 & 0 & 0 & 0 & 0 & 0 & 1 & 1 & 1^2 & 1^3 & 0 & 0 \\ 0 & 0 & 0 & 0 & 0 & 0 & 0 & 0 & 0 & 0 & 1 & 1 \\ 0 & 0 & 0 & 0 & 0 & 0 & 0 & -1 & -2l & -3l^2 & 0 & 0 \\ 0 & 0 & 0 & 1 & 2l & 3l^2 & 0 & 0 & 0 & 0 & 0 & 0 \end{bmatrix} \begin{bmatrix} c_0 \\ c_1 \\ c_2 \\ c_3 \\ c_4 \\ c_5 \\ c_6 \\ c_7 \\ c_8 \\ c_9 \\ c_{10} \\ c_{11} \end{bmatrix}$$

$$u_{l(p)}^0 = A_{l(p)}^n c_n \quad l=1,2,\dots,6 \quad (p) = (i),(k) \quad n=0,1,\dots,11$$

$$(5.31)$$

إن ترتيب أسطر المصفوفة للحصول على الثوابت المجهولة غير مناسب لإجراء عملية معكوس مصفوفة ويمكن ترتيبها بشكل مناسب بتبديل الأسطر ببعضها البعض، والأنسب من ذلك تجزئ جملة المعادلات وإيجاد الثوابت كمجموعات فمثلاً  $c_1, c_0$  متعلقة فقط بـ  $u_{1(k)}^0, u_{1(i)}^0$  والثوابت  $c_2, c_3, c_4, c_5$  متعلقة بـ  $u_{2(i)}^0, \varphi_{3(i)}, u_{2(k)}^0, \varphi_{3(k)}$  وهكذا. وحل جملة المعادلات بالنسبة للثوابت الاختيارية هو:

$$\begin{bmatrix} c_0 \\ c_1 \\ c_2 \\ c_3 \\ c_4 \\ c_5 \\ c_6 \\ c_7 \\ c_8 \\ c_9 \\ c_{10} \\ c_{11} \end{bmatrix} = \begin{bmatrix} 1 & 0 & 0 & 0 & 0 & 0 & 0 & 0 & 0 & 0 & 0 & 0 \\ -\frac{1}{l} & 0 & 0 & 0 & 0 & 0 & \frac{1}{l} & 0 & 0 & 0 & 0 & 0 \\ 0 & 1 & 0 & 0 & 0 & 0 & 0 & 0 & 0 & 0 & 0 & 0 \\ 0 & 0 & 0 & 0 & 0 & 1 & 0 & 0 & 0 & 0 & 0 & 0 \\ 0 & -\frac{3}{l^2} & 0 & 0 & 0 & -\frac{2}{l^3} & 0 & \frac{3}{l^2} & 0 & 0 & 0 & -\frac{1}{l} \\ 0 & \frac{2}{l^3} & 0 & 0 & 0 & \frac{1}{l^2} & 0 & -\frac{2}{l^3} & 0 & 0 & 0 & \frac{1}{l^2} \\ 0 & 0 & 1 & 0 & 0 & 0 & 0 & 0 & 0 & 0 & 0 & 0 \\ 0 & 0 & 0 & 0 & 1 & 0 & 0 & 0 & 0 & 0 & 0 & 0 \\ 0 & 0 & \frac{3}{l^2} & 0 & \frac{2}{l} & 0 & 0 & 0 & \frac{3}{l^2} & 0 & \frac{1}{l} & 0 \\ 0 & 0 & \frac{2}{l^3} & 0 & -\frac{1}{l^2} & 0 & 0 & 0 & -\frac{2}{l^3} & 0 & -\frac{1}{l^2} & 0 \\ 0 & 0 & 0 & 1 & 0 & 0 & 0 & 0 & 0 & 0 & 0 & 0 \\ 0 & 0 & 0 & -\frac{1}{l} & 0 & 0 & 0 & 0 & 0 & \frac{1}{l} & 0 & 0 \end{bmatrix} \begin{bmatrix} u_{1(i)}^0 \\ u_{2(i)}^0 \\ u_{1(k)}^0 \\ \varphi_{1(i)} \\ \varphi_{2(i)} \\ \varphi_{3(i)} \\ u_{1(k)}^0 \\ u_{2(k)}^0 \\ u_{3(k)}^0 \\ \varphi_{1(k)} \\ \varphi_{2(k)} \\ \varphi_{3(k)} \end{bmatrix}$$

$c_n = B^{(p)}_{n \quad u(p)}$        $p=1,2,\dots,6$        $(p) = (i),(k)$        $n=0,1,\dots,11$

(5.32)

نحصل على توابع الشكل المعثلة للتوابع التقريبية المفترضة بتعويض الثوابت الاختيارية من العلاقة السابقة في العلاقة (5.30):



$$\begin{bmatrix} u_1^0 \\ u_2^0 \\ u_3^0 \\ \varphi_1^0 \end{bmatrix} = \begin{bmatrix} h_1^2 & 0 & 0 & 0 & 0 & 0 & h_2^2 & 0 & 0 & 0 & 0 & 0 \\ 0 & h_1^4 & 0 & 0 & 0 & h_2^4 l & 0 & h_3^4 & 0 & 0 & 0 & h_4^4 l \\ 0 & 0 & h_1^4 & 0 & -h_2^4 l & 0 & 0 & 0 & h_3^4 & 0 & -h_4^4 l & 0 \\ 0 & 0 & 0 & h_1^2 & 0 & 0 & 0 & 0 & 0 & h_2^2 & 0 & 0 \end{bmatrix} \begin{bmatrix} u_1^0(i) \\ u_2^0(i) \\ u_3^0(i) \\ \varphi_1(i) \\ \varphi_2(i) \\ \varphi_3(i) \\ u_1^0(k) \\ u_2^0(k) \\ u_3^0(k) \\ \varphi_1(k) \\ \varphi_2(k) \\ \varphi_3(k) \end{bmatrix}$$

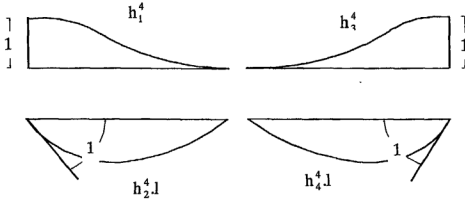
$$u_i^0 = x_i^n B^{l(p)} u_{l(p)}$$

$$= N^{l(p)}_i u_{l(p)} \quad l=1,2, \dots, 6 \quad (p) = (i), (k)$$

حيث:

$$\begin{aligned} h_1^2 &= 1 - \frac{x^1}{l} & ; & & h_2^2 &= \frac{x^1}{l} \\ h_1^4 &= 1 - 3\frac{(x^1)^2}{l} + 2\frac{(x^1)^3}{l^3} & ; & & h_2^4 &= \frac{x^1}{l} - 2\frac{(x^1)^2}{l^2} + \frac{(x^1)^3}{l^3} \\ h_3^4 &= 3\frac{(x^1)^2}{l^2} - 2\frac{(x^1)^3}{l^3} & ; & & h_4^4 &= -\frac{(x^1)^2}{l^2} + \frac{(x^1)^3}{l^3} \end{aligned} \quad (5.34)$$

وهذه التوابع معروفة بكتيرات حدود هيرميت (HERMITE) وكثيرا الحدود الأول والثاني هما من المرتبة الثانية وهما ممثلان في الشكل (4-6) أما كتيرات الحدود الأخرى فهي من المرتبة الرابعة (مرتبة كتيرات حدود Hermite) وهي ممثلة في الشكل 5-8.



شكل 5-8: كثيرات حدود Hermite

من الواضح أن هذه التوابع تحقق خاصية كونها مساوية للواحد في العقدة المعتبرة وللصفر في العقد الأخرى.

بتقسيم شعاع مشتقات التوابع التقريبية للانتقالات الوارد في العلاقة (5.21) نجد أن:

$$\begin{bmatrix} \frac{du_1^0}{dx^1} \\ \frac{d^2u_3^0}{(dx^1)^2} \\ \frac{d^2u_2^0}{(dx^1)^2} \\ \frac{dq_1}{dx^1} \end{bmatrix} = \begin{bmatrix} h_1^{2'} & 0 & 0 & 0 & 0 & 0 & h_2^{2'} & 0 & 0 & 0 & 0 & 0 \\ 0 & 0 & -h_1^{4''} & 0 & h_2^{4''} & 0 & 0 & 0 & -h_3^{4''} & 0 & h_4^{4''} & 0 \\ 0 & h_1^{4''} & 0 & 0 & 0 & h_2^{4''} & 0 & h_3^{4''} & 0 & 0 & 0 & h_4^{4''} \\ 0 & 0 & 0 & h_1^{2'} & 0 & 0 & 0 & 0 & 0 & h_2^{2'} & 0 & 0 \end{bmatrix} \begin{bmatrix} u_1^0(\xi) \\ u_2^0(\xi) \\ u_3^0(\xi) \\ \varphi_1(\xi) \\ \varphi_2(\xi) \\ \varphi_3(\xi) \\ \varphi_4(\xi) \\ u_1^0(\xi) \\ u_2^0(\xi) \\ u_3^0(\xi) \\ \varphi_1(\xi) \\ \varphi_2(\xi) \\ \varphi_3(\xi) \end{bmatrix} \quad (5.35)$$

$$= Nd_1^{l(p)} u_{l(p)}$$

تُحسب موترية التشوهات المختصرة (5.21) لنقطة لأعلى التعيين من قضيب الإطار الفراغي

بتعويض (5.35) في (5.21):

$$\varepsilon_{ij} = \bar{x}_{ij}^{-1} N d_i^{l(p)} u_{l(p)} \quad (5.36)$$

حيث  $\bar{x}_{ij}^{-1}$  هي المصفوفة المعطاة في العلاقة (5.21) وتحتوي على ثلاثة أسطر وأربع أعمدة. يمكن الآن تقييم طاقة التشوه الداخلي من إطار فراغي وهي تساوي:

$$\begin{aligned} \pi &= \frac{1}{2} \int_V \varepsilon_{ij} C^{llj} \varepsilon_{ij} dV \\ &= \frac{1}{2} \int_0^1 N d_r^{s(q)} \left[ \int_A (\bar{x}_{ij}^{-1} C^{llj} \bar{x}_{ij}^{-1}) dA \right] N d_i^{l(p)} u_{l(p)} dx^1 \end{aligned} \quad (5.36)$$

$$= \frac{1}{2} u_{s(q)} \left( \int_0^1 N d_r^{s(q)} E^n N d_i^{l(p)} dx^1 \right) u_{l(p)} \quad (5.37)$$

$$= \frac{1}{2} u_{s(q)} k^{s(q)l(p)} u_{l(p)}$$

حيث:

$$E^n = \int_0^A \bar{x}_{ij}^{-1} C^{llj} \bar{x}_{ij}^{-1} dA \quad (5.38)$$

مصفوفة تحوي على أربع أسطر وأربع أعمدة وهي مكافئة لمثلثتها في العلاقة (5.23) اما المصفوفة:

$$k^{s(q)l(p)} = \int_0^1 N d_r^{s(q)} E^n N d_i^{l(p)} dx^1 \quad (5.39)$$

فهي مصفوفة القساوة للعنصر المنتهي. بعد إنجاز الجداء المصفوفي السوارد في العلاقة (5.39) والتكاملات التفصيلية لعناصر المصفوفة الناتجة عن هذا الجداء نحصل على عناصر مصفوفة القساوة للعنصر المنتهي الإطاري الفراغي .

ومصفوفة القساوة هذه متناظرة وتحتوي على أربعة مصفوفات جزئية، كل منها تحتوي على  $(6 \times 6)$  عنصراً. ويمكن تفسير عناصرها أيضاً كقوى موافقة لانتقال مساوٍ لواحدة الانتقالات (الانتقالات والدورانات) بشكل مماثل لما ورد في الفقرة (4-3). إذ يكفي أن نعطي لجائز موثوق في عقدتي (i), (k) انتقالاً في العقدة (i) باتجاه المحاور  $x^1, x^2, x^3$  ودوراناً حول المحاور نفسها

مصنوفة القساوة تفصيلياً كالتالي:

(5.40)

بإيجاز التكمالات:

(5.41)

حیث:

(5.42)

نحصل على القوى المركزة على العقد المكافئة للحمولات الموزعة.

(5.43)

ويلاحظ أنهما مكافئة للقوى التي تحصل في قضيب موثوق من الطرفين معرض لتأثير الحمولات الخارجية الموزعة. في العلاقات السابقة يجب عدم الخلط بين  $l$  المستخدمة للتعبير عن الطول و  $l$  المستخدمة كقرينة.

قبل الجمع على كامل المنشأ لابد من تحويل تعابير الطاقة السابقة إلى جملة عاود إحداثية عامة. ولتكن هذه الجملة  $(x^1, x^2, x^3)$  أشعتها الواحدية  $(e_1, e_2, e_3)$ . كما يوضح الشكل (5-7). نسب العنصر المنتهي إلى جملة إحداثية خاصة مركزها في الطرف (i) من العنصر ومحورها  $x^1$  منطبق على محور العنصر واتجاهه الموجب من (i) إلى (k) وبالتالي يمكن حساب مركبات شعاع الوحدة  $e_1$  على هذا المحور. لابد أيضاً لتحديد الجملة الخاصة من تحديد محور آخر وليكن المحور  $x^2$  وذلك إما بإعطاء نقطة واقعة عليه في الاتجاه الموجب وعندها يكون من السهل أيضاً تحديد شعاع الوحدة عليه  $e_2$  أو إعطاء نقطة في المستوي  $x^1 x^2$  في الاتجاه الموجب للمحور  $x^2$  وعندها يجب اللجوء إلى مبادئ الهندسة التحليلية لتحديد شعاع الوحدة  $e_2$ . أما الشعاع الثالث فيتعين باعتبار الثلاثية  $(e_1, e_2, e_3)$  ثلاثية قائمة ويكون  $(e_3 = e_1 \times e_2)$ . بعد تحديد الجملتين تجري انسحاباً للجملة  $(x^1, x^2, x^3)$  بحيث ينطبق مركزها على مركز المقطع في (i) ومركبات هذا الانسحاب:

$$\begin{aligned} x^1 &= x^1(i) \\ x^2 &= x^2(i) \\ x^3 &= x^3(i) \end{aligned} \quad (5.44)$$

يمكن الآن التعبير عن انتقال العقدة (i) في الجملتين بشعاع المكان:

$$\vec{r}(i) = u_{i(0)}^0 e^1 = u_{i(0)}^0 e^T \quad (5.45)$$

حيث  $u_{i(0)}^0$  ،  $u_{i(0)}^0$  انتقالات العقدة (i) باتجاه المحاور الإحداثية الثلاثة على التوالي في الجملتين الخاصة والعامة.  $e^1$  ،  $e^T$  هي الأشعة الواحدية لجملتي إحداثيات ضدية منطبقة على الجملتين الأساسيتين الخاصة والعامة المعرفتين هنا. بضرب العلاقة (5.45) سلمياً بـ  $e_j$  نحصل على:

$$u_{i(0)}^0 e^1 e_j = u_{i(0)}^0 \delta_j^1 = u_{j(0)}^0 = u_{i(0)}^0 e^T e_j = u_{i(0)}^0 T_j^T \quad (5.46)$$

والعلاقة التفصيلية هي:

$$\begin{bmatrix} u_{1(i)}^0 \\ u_{2(i)}^0 \\ u_{3(i)}^0 \end{bmatrix} = \begin{bmatrix} \mathbf{e}^{\bar{1}} \cdot \mathbf{e}_1 & \mathbf{e}^{\bar{2}} \cdot \mathbf{e}_1 & \mathbf{e}^{\bar{3}} \cdot \mathbf{e}_1 \\ \mathbf{e}^{\bar{1}} \cdot \mathbf{e}_2 & \mathbf{e}^{\bar{2}} \cdot \mathbf{e}_2 & \mathbf{e}^{\bar{3}} \cdot \mathbf{e}_2 \\ \mathbf{e}^{\bar{1}} \cdot \mathbf{e}_3 & \mathbf{e}^{\bar{2}} \cdot \mathbf{e}_3 & \mathbf{e}^{\bar{3}} \cdot \mathbf{e}_3 \end{bmatrix} \begin{bmatrix} u_{\bar{1}(i)}^0 \\ u_{\bar{2}(i)}^0 \\ u_{\bar{3}(i)}^0 \end{bmatrix} \quad (5.47)$$

وفي كثير من المصادر العلمية يتم تحويل الدورانات أيضاً باستخدام نفس مصفوفة التحويل هذه أي:

$$\varphi_{j(i)} = \varphi_{\bar{i}(i)} T_j^{\bar{i}} \quad (5.48)$$

وتحويل انتقالات ودورانات العقدة (k) يتم أيضاً باستخدام نفس التحويل السابق. وتصبح طاقة التشوه الداخلي (5.38) بدلالة شعاع الانتقالات في المحاور الإحداثية العامة  $u_{\bar{i}(p)}$ :

$$\pi_i = \frac{1}{2} u_{\bar{s}(q)} T_s^{\bar{s}} k^{s(q)(p)} T_i^{\bar{i}} u_{\bar{i}(p)} \quad (5.49)$$

$$\pi_i = \frac{1}{2} u_{\bar{s}(q)} k^{\bar{s}(q)\bar{i}(p)} u_{\bar{i}(p)}$$

حيث:

$$k^{\bar{s}(q)\bar{i}(p)} = T_s^{\bar{s}} k^{s(q)(p)} T_i^{\bar{i}} \quad (5.50)$$

مصفوفة القساوة في المحاور الإحداثية العامة. وعمل القوى الخارجية المركزة على العقد المكافئة للحمولات الخارجية الموزعة ضمن العنصر يصبح بدلالة شعاع الانتقالات  $u_{\bar{i}(p)}$  مكافئاً:

$$\pi_a = \bar{f}^{\bar{i}(p)} T_i^{\bar{i}} u_{\bar{i}(p)} = \bar{f}^{\bar{i}(p)} u_{\bar{i}(p)} \quad (5.51)$$

حيث:

$$\bar{f}^{\bar{i}(p)} = \bar{f}^{\bar{i}(p)} T_i^{\bar{i}} \quad (5.52)$$

يتم تحويل الحد الأخير من العلاقة (5.28) والموافق لعمل القوى الخارجية المركزة كما في العلاقة (5.51):

$$\bar{f}^{\bar{i}(p)} u_{\bar{i}(p)}^0 = \bar{f}^{\bar{i}(p)} T_i^{\bar{i}} u_{\bar{i}(p)} = \bar{f}^{\bar{i}(p)} u_{\bar{i}(p)} \quad (5.53)$$

والآن نستطيع الجمع على كامل المنشأ للحصول على الطاقة الكامنة للمنشأ:

$$\pi = \sum_e \left( \frac{1}{2} u_{\bar{s}(q)} k^{\bar{s}(q)\bar{i}(p)} u_{\bar{i}(p)} - \bar{f}^{\bar{i}(p)} u_{\bar{i}(p)} \right) - \sum_m \bar{F}^{\bar{i}(p)} u_{\bar{i}(p)} \quad (5.54)$$

بعد هذا التجميع نحصل على علاقة شبيهة بـ (5.41) وشكلها بعد تجميع القرائن في العلاقة السابقة كالتالي:

$$\pi = \frac{1}{2} u_{\bar{s}(n)} k^{\bar{s}(n)\bar{T}(n')} u_{\bar{T}(n')} - \bar{f}^{\bar{T}(n)} u_{\bar{T}(n)}(n), (n'=1,2,3,...) \quad (5.55)$$

حيث  $k^{\bar{s}(n)\bar{T}(n')}$  مصفوفة القساوة العامة للمنشأ و  $u_{\bar{T}(n')}$  شعاع الانتقالات لكامل عقد المنشأ. بعد أخذ المتغير الأول ومساواته بالصفر وفق مبدأ الطاقة الكامنة الأصغري نحصل على جملة المعادلات الخطية التالية:

$$k^{\bar{s}(n)\bar{T}(n')} u_{\bar{T}(n')} = \bar{f}^{\bar{T}(n)} \quad (5.56)$$

بتعويض الشروط الطرفية للانتقالات وحل المعادلات الناتجة نحصل على شعاع انتقالات العقد المجهولة للمنشأ. بعد ذلك يمكن تحديد حالة التشوهات في أية نقطة من المقطع باستخدام العلاقتين (5.21)، (5.35) أو الحالة الاجهادية باستخدام (5.22)، (5.21)، (5.35) أو تحديد قوى المقطع باستخدام العلاقة (5.23)، (5.35).

أما بالنسبة لحالة المؤثرات الخارجية الأخرى كالحرارة وهبوط المساند ووجود النوايض فيتم التعامل معها بطريقة مشابهة للتي استعرضت في الفقرة (4-4) بالطبع مع وجود فارق في درجات الحرية إذ أن شعاع الانتقالات هنا يحتوي بالإضافة إلى الانتقالات الدورانات أيضاً.

## 5-5- عنصر منتهي إطارى فراغي - النموذج المهجين:

تنتطق هذه الطريقة كما ذكر في الفصل الثالث من مبدأ الطاقة المتممة المعدل الذي يحوي كتوابع افتراضية على الإجهادات ضمن الوسط للدروس إضافة إلى الانتقالات على جزء السطح الذي تكون فيه الإجهادات معلومة وقد طور هذا المبدأ البروفيسور T. H. H. Piah وطبقه على حل مسائل البلاطات بغية التغلب على متطلبات شروط استمرارية مشتقات توابع الانتقالات الافتراضية على الأطراف الفاصلة بين العناصر المنتهية عند استخدام نموذج الانتقالات. في هذه الفقرة سيطبق المبدأ السابق على الإطارات الفراغية بغرض تعليمي بحث علماً أن العنصر المطور هنا يحقق نتائج مرضية أكثر بكثير من مثيله نموذج الانتقالات الذي عرض في الفقرة (5-5)

3). إذ أن العنصر نموذج الانتقالات لا يستطيع تجسيد الشكل البياني لتوابع قوى المقطع إذا ما كانت عناصر المنشأ محملة بمحمولات موزعة وتظهر أخطاؤه فادحة في حسابات القوى القاصة والتي قد تصل إلى (50%).

وسوف نستعرض استخدام هذا المبدأ بدءاً من تحويل مبدأ الطاقة المتممة المعدل (3.78)، (3.79) المعطى في هاتين العلاقتين للجسم الفراغي أو الوسط الإنشائي المستمر إلى الشكل الذي يمكن استخدامه فيه على الوسط المقسم إلى عناصر منتهية وحتى الشكل المناسب للاستخدام على المسائل وحيدة البعد.

#### 5-5-1- الطاقة المتممة المعدلة لوسط مقسم إلى عناصر منتهية:

يعطى مبدأ الطاقة المتممة المعدل بالعلاقة الرياضية التالية:

$$\delta \pi_{eh} = \delta \left\{ \frac{1}{2} \int_V \sigma_{ij}^0 S_{ij}^0 \sigma_{ij}^0 dV - \int_{\Gamma_i} T_i^0 \bar{u}_i ds - \int_{\Gamma_o} (T_i^0 - \bar{T}_i^0) u_i ds \right\} = 0; \quad T_i^0 = \sigma_{ij}^0 n_j \quad (5.57)$$

بعد تقسيم الجسم أو الوسط الإنشائي إلى عناصر منتهية يمكن أن نعتبر أن جزء السطح الذي تكون فيه الانتقالات معلومة  $S_{ij}^0$  للعنصر المنتهي مؤلف من مجموع سطحين، السطح الأول " هو السطح الحقيقي " للعنصر  $S_{ij}^0$  والسطح الثاني هو سطح العنصر الطرقي المجاور لعناصر منتهية أخرى  $S_{ij}^{b,e}$  ونعتبر أيضاً أن السطح الذي تكون فيه الإجهادات أو القوى معلومة  $S_{ij}^0$  هو مجموع سطحين السطح الأول هو السطح الحقيقي للعنصر  $S_{ij}^0$  والسطح الثاني هو سطح العنصر الطرقي المجاور لعناصر منتهية أخرى  $S_{ij}^{b,e}$ . عندها يأخذ مبدأ الطاقة المتممة المعدل للوسط المقسم بعد استخدام الحرف  $p$  للدلالة على القوى الطرفية بدلاً من  $T$  الشكل التالي\* :

\* استخدام الحرف  $p$  هنا للدلالة على أطراف العنصر المنتهي وليس كقرينة ، ولا يتم الجمع عليه.



$$\delta\pi_{ch} = \delta\left\{\sum_e \left[\frac{1}{2}\int_V \sigma^{ij} s_{ijkl} \sigma^{kl} dv - \int_{s_{b,e}^i} p_e^i \bar{u}_i^e ds - \int_{s_{b,e}^e} p_{b,e}^i \bar{u}_i^{b,e} ds\right.\right. \\ \left.\left. - \int_{s_{b,e}^i} (p_e^i - \bar{p}_e^i) u_i^e ds\right] - \int_{s_{b,e}^i} (\Delta p_b^i - \bar{p}_b^i) u_i^b ds\right\} = 0 \quad (5.28)$$

: تعني الجمع على كامل عناصر الجسم أو الوسط المدروس.

$S_b^b$  : وتعني مجموع السطوح الفاصلة بين العناصر المنتهية المجاورة لبعضها البعض والتي تكون فيها الإجهادات معلومة.

معادلات السطوح الطرفية فيها وذلك للعنصرين المتجاورين  $e+1, e$  : هي القوى في السطوح  $S_b^b$  الناتجة عن توابع الإجهادات المفترضة بتعويض

$\bar{p}_b^i$  : هي القوى الخارجية المعلومة التي تؤثر في السطوح  $S_b^b$  . على السطح الفاصل بين عنصرين متجاورين  $e+1, e$  والذي تكون فيه القوى معلومة سوف توزع القوى الخارجية بشكل اعتباطي بحيث يكون:  $\bar{p}_b^i = p_{b,e}^i + \bar{p}_{b,e+1}^i$  عندها يأخذ الحد الأخير من المعادلة (5.28) الشكل:.

$$\int_{s_{b,e}^i} (\Delta p_b^i - \bar{p}_b^i) u_i^b ds = \int_{s_{b,e}^i} (p_{b,e}^i - \bar{p}_{b,e}^i) u_i^b ds + \int_{s_{b,e}^i} (p_{b,e+1}^i - \bar{p}_{b,e+1}^i) u_i^b ds \\ = \sum_e \int_{s_{b,e}^i} (p_{b,e}^i - \bar{p}_{b,e}^i) u_i^{b,e} ds \quad (5.59)$$

وهذا نستطيع إدخال الحد الأخير ضمن إشارة الجمع وتصبح الطاقة المتممة المعدلة:

$$\delta\pi_{ch} = \delta\left\{\sum_e \left[\frac{1}{2}\int_V \sigma^{ij} S_{ijkl} \sigma^{kl} dv - \int_{s_{b,e}^i} p_e^i \bar{u}_i^e ds - \int_{s_{b,e}^e} p_{b,e}^i \bar{u}_i^{b,e} ds\right.\right. \\ \left.\left. - \int_{s_{b,e}^i} (p_e^i - \bar{p}_e^i) u_i^e ds\right] - \int_{s_{b,e}^i} (p_{b,e}^i - \bar{p}_{b,e}^i) u_i^{b,e} ds\right\} = 0 \quad (5.60)$$

يتبسط هذا المبدأ عند استخدامه على المسائل الوحيدة البعد حيث تكون السطوح الحرة للقيضان أو ما أسميناه السطوح "الحقيقية" خالية من الإجهادات وفق نظرية السطوح الحرة. إذ أن

الحمولات تعتبر وكأنها مطبقة على محاور العناصر ووفق هذه الافتراضات تنعدم التكاملات على السطوح الحرة للعناصر وتبقى التكاملات على أطراف العناصر وبالتالي يكون:

$$\delta\pi_{ch} = \delta \left\{ \sum_e \left[ \frac{1}{2} \int_V \sigma^{ij} S_{ijkl} \sigma^{kl} dV - \int_{s_{b,e}^i} p_{b,e}^i \bar{u}_i^{b,e} ds - \int_{s_{\sigma}^i} (p_{b,e}^i - \bar{p}_{b,e}^i) u_i^{b,e} ds \right] \right\} = 0 \quad (5.61)$$

أثناء تطبيق هذا المبدأ يمكن أن نستغني في البداية عن معالجة الانتقالات المعلومة على جزء السطح  $S_{b,e}^i$  قبل الجمع على كامل المنشأ وتشكيل جملة المعادلات الخطية له ونوجل معالجتها إلى مابعد ذلك، في هذه الحالة يكون:

$$\int_{s_{b,e}^i} p_{b,e}^i \bar{u}_i^{b,e} ds - \int_{s_{b,e}^i} p_{b,e}^i u_i^{b,e} ds = \int_s p_{b,e}^i u_i^{b,e} ds \quad (5.62)$$

ويجرى هذا التكامل على كامل السطح الطرقي للعنصر عندها تأخذ العلاقة (5.61) الشكل التالي:

$$\delta\pi_{ch} = \delta \left\{ \sum_e \left[ \frac{1}{2} \int_V \sigma^{ij} s_{ijkl} \sigma^{kl} dV - \int_s p_{b,e}^i u_i^{b,e} ds + \int_{s_{\sigma}^i} \bar{p}_{b,e}^i u_i^{b,e} ds \right] \right\} = 0 \quad (5.63)$$

## 5-5-2- خوارزميات الطريقة المهجينة:

إن الحد الأول من العلاقة (5.63) يمثل الطاقة الداخلية المتممة ويحوي على توابع الإجهادات التي يمكن اختيارها بدلالة ثوابت يمكن تعيينها من شرط انعدام المتغير الأول للطاقة المتممة المعدلة الكلية. توابع الإجهادات لحالة قضيب إطارى فراغي ممثلة بموترية الإجهادات المختصرة المعطاة في العلاقة (5.28) كما رأينا، ومعاملات الليونة  $S_{ijkl}$  تختصر بناءً على الحالة الإجهادية وحالة التشوهات الخاصة بهذه الحالة إلى:

$$S_{liij} = \frac{1}{E} \begin{bmatrix} 1 & 0 & 0 \\ 0 & 1+\nu & 0 \\ 0 & 0 & 1+\nu \end{bmatrix} \quad (5.64)$$

للبدء في معالجة هذه الطريقة يجب افتراض توابع الإجهادات ضمن العنصر المنتهي. لكن من الواضح لمسألتنا هذه أن الإجهادات ليست ثابتة على ارتفاع المقطع وتغير بتغير الارتفاع، لذلك يستعاض عن افتراض توابع الإجهادات بافتراض توابع قوى المقطع الواردة في العلاقة (5.23) ولهذا لا بد من كتابة تعبير طاقة التشوه الداخلية للمتمة بدلالة قوى المقطع. نستخدم لهذا الغرض العلاقات (5.21)، (5.22)، (5.23). في البدء نعبر عن توابع الإجهادات بدلالة شعاع توابع الانتقالات  $\chi$  وذلك بتعويض العلاقة (5.21) في العلاقة (5.22):

$$\sigma^{ii} = C^{iiii} \bar{x}_{ij}^r \chi_r \quad (5.65)$$

يعبر عن الشعاع  $\chi_r$  بدلالة قوى المقطع  $M^s$  بإيجاد معكوس العلاقة (5.23)

$$\chi_r = (E^s)^{-1} \cdot M^s \quad (5.66)$$

ومن ثم نعوض العلاقة (5.66) في العلاقة (5.65):

$$\sigma^{ii} = C^{iiii} \bar{x}_{ij}^r (E^s)^{-1} \cdot M^s \quad (5.67)$$

وتصبح طاقة التشوه الداخلية المتمة مكافئة لـ:

$$\begin{aligned} \pi_i^* &= \frac{1}{2} \int_V \sigma^{ii} S_{iik} \sigma^{kk} dV \\ &= \frac{1}{2} \int_0^1 M^s (E^s)^{-1} \left( \int_0^1 \bar{x}_{ij}^r C^{iiii} S_{iik} C^{kkll} \bar{x}_{ll}^i dA (E^{n1})^{-1} M^1 dx^1 \right) \quad (5.68) \end{aligned}$$

وملاحظة أن جداء  $C^{kkll}$ ،  $S^{iik}$  مساوٍ للمصفوفة الواحدة وأن التكامل السطحي المتبقي هو نفسه التكامل (5.38) يختصر التعبير السابق إلى:

$$\pi_i^* = \frac{1}{2} \int_0^1 M^i S_{ij} M^j dx^1 ; S_{ij} = (E^s)^{-1} \quad (5.69)$$

إن افتراض توابع الإجهادات أو توابع قوى المقطع وتوابع الانتقالات على الأطراف يخضع لاشتراطات يجب تحققها ونكتفي هنا بذكر هذه الاشتراطات دون برهان:

• يجب أن تحتوي التوابع المفترضة للإجهادات على حدود تمكنا من التمثيل البياني لحالة إجهادات ثابتة.

• يجب أن تسمح توابع الانتقالات المفترضة بحركة المنشأ كجسم صلد.

• عند حصول حركة للمنشأ كجسم صلد يجب أن لا يحصل فيه بنتيجة التوابع المفترضة أي قوى داخلية. فهذا الشرط يمكن التحقق منه بإعطاء عنصر منتهي للمنشأ انتقالات موافقة لحركة انسحابية أو دورانية لجسم صلد. ليكن شعاع انتقالات عقد العنصر المعبر عن مثل هذه الحركة  $u_s(q)$  عندها يجب أن يتحقق:

$$k^1(p) s(q) u_s(q) = 0 \quad (5.70)$$

بالإضافة إلى ذلك يجب أن تتحقق في مستوى كل عنصر المترابطة التالية:

$$n_p \geq n_u - r \quad (5.71)$$

حيث:  $n_p$ : عدد الثوابت الاختيارية لتوابع الإجهادات أو قوى المقطع المفترضة.

$n_u$ : عدد درجات الحرية لكامل عقد العنصر.

$r$ : عدد الحركات الصلدة الممكنة للجسم.

وعلى مستوى كامل المنشأ يجب أن يكون:

$$n_p^g \geq n_u^g \quad (5.72)$$

$n_p^g$ : عدد الثوابت الاختيارية لتوابع الإجهادات أو قوى المقطع لكامل عناصر المنشأ.

$n_u^g$ : عدد درجات الحرية لكامل عقد المنشأ بعد معالجة الشروط الطرفية.

والأهم من ذلك كله هناك شرط يفترضه استخدام مبدأ الطاقة المتزنة المعدلة وهو أن تحقق توابع قوى المقطع معادلات التوازن الداخلية ضمن العنصر أي المعادلات (5.16).

كتوابع تقريبية لقوى المقطع نستخدم تلك التي اختارها المؤلف في مقال نشر له في مجلة مهندس البناء الألمانية وهي لحالة الحمولات المبينة في الشكل (5-6):

$$\begin{bmatrix} N^1 \\ M^2 \\ M^3 \\ M^1 \end{bmatrix} = \begin{bmatrix} EA & 0 & 0 & 0 & 0 & 0 \\ 0 & 0 & 0 & -2EI_2 & -6x^1EI_2 & 0 \\ 0 & 2EI_3 & 6x^1EI_3 & 0 & 0 & 0 \\ 0 & 0 & 0 & 0 & 0 & GI_D \end{bmatrix} \begin{bmatrix} \beta_1 \\ \beta_2 \\ \beta_3 \\ \beta_4 \\ \beta_5 \\ \beta_6 \end{bmatrix} + \begin{bmatrix} -x^{-1} & 0 & 0 & 0 \\ 0 & 0 & -\frac{(x^1)^2}{2} & 0 \\ 0 & \frac{(x^1)^2}{2} & 0 & 0 \\ 0 & 0 & 0 & -x^1 \end{bmatrix} \begin{bmatrix} -1 \\ \bar{p}_2 \\ \bar{p}_3 \\ \bar{p}_1 \\ \bar{m} \end{bmatrix}$$

$$M^i = p^{ik} \beta_k + \bar{p}_k^i \bar{\beta}^k \quad (5.73)$$

يلاحظ أن التوابع التقريبية لقوى المقطع مؤلفة من جزء متجانس يحتوي على الثوابت الاختيارية  $\beta_k$  وجزء آخر غير متجانس متعلق بتوابع الحمولات الخارجية المطبقة على العنصر المنتهي  $\bar{\beta}^k$ . واعتبار حالات التحميل المختلفة للعناصر المنتهية قد يكون شاقاً في معالجة المسائل العامة والمعقدة أكثر كما في حالة المسائل الثنائية البعد، إذ يجب دوماً اختيار توابع تقريبية متعلقة بالحمولات وتحقق بالإضافة إلى ذلك معادلات التوازن على الطرف المنتهي. لحالة العناصر غير المحملة ينعدم الحد الثاني من الطرف الأيمن للمعادلة (5.73) ويقتصر التابع التقريبي لهذه الحالة على الجزء المتجانس.

وسوف يعالج موضوع الحصول على التوابع التقريبية لحالات تحميل مختلفة أو لحالة وجود توابع حمولات لأعلى التعيين في فصل قادم يقترح فيه المؤلف مقارنة جديدة لطريقة العناصر المنتهية- نموذج الانتقالات يتم فيها ربط مباشر بين توابع الانتقالات وتوابع الحمولات. بالتابع التقريبي لقوى المقطع (5.73) تصبح طاقة التشوه الداخلية المتما:

$$\begin{aligned}\pi_i^* &= \frac{1}{2} \int_0^1 (p^{ik} \beta_k + \bar{p}_k \bar{\beta}^k) S_{ij} (p^j \beta_i + \bar{p}_i \bar{\beta}^j) dx^1 \\ &= \frac{1}{2} \beta_k H^{kl} \beta_l + \beta_k \bar{H}_i^k \bar{\beta}^i + \bar{\beta}^k \bar{H}_{kl} \bar{\beta}^l\end{aligned}\quad (5.74)$$

حيث:

$$H^{kl} = \frac{1}{2} \int_0^1 p^{ik} S_{ij} p^j dx^1 \quad (5.75)$$

$$\bar{H}_i^k = \int_0^1 \bar{p}_i \bar{p}^j S_{ij} p^{jk} dx^1 \quad (5.76)$$

$$\bar{H}_{kl} = \frac{1}{2} \int_0^1 \bar{p}_k \bar{p}_i S_{ij} \bar{p}^j dx^1 \quad (5.77)$$

المعادلة (5.76) مشكّلة بالأصل من مجموع مضروبين، ويستطيع المرء اختصارها إلى مضروب واحد بسبب خاصية التناظر لمجموع المضروبين.

بعد تقييم الحد الأول من الطاقة للتممة المعدلة (5.63) تنتقل إلى تقييم الحد الثاني والذي يمثل في الحالة العامة عمل القوى السطحية الطرفية الناتجة من التوابع التقريبية لقوى المقطع ضمن العنصر على السطوح الطرفية للعناصر المنتهية. والسطوح الطرفية لحالتنا هذه ليست إلا سطوح المقاطع الفاصلة بين العناصر المنتهية المتجاورة وفي العنصر المنتهي (i),(k) تنتج القوى الطرفية  $P_{b,e}^i$  من تعويض معادلات المقطعين الطرفيين للعنصر (i) (k) وهي  $x^1 = 0$  للطرف (i) و  $x^1 = 1$  للطرف (k) في التوابع التقريبية لقوى المقطع ضمن العنصر (5.73)، وبالتالي يكون:

$$\begin{bmatrix} -N_{(i)}^i \\ -Q_{(i)}^2 \\ -Q_{(i)}^3 \\ -M_{(i)}^1 \\ -M_{(i)}^2 \\ -M_{(i)}^3 \\ N_{(k)}^i \\ Q_{(k)}^2 \\ Q_{(k)}^3 \\ M_{(k)}^1 \\ M_{(k)}^2 \\ M_{(k)}^3 \end{bmatrix} = \begin{bmatrix} -EA & 0 & 0 & 0 & 0 & 0 \\ 0 & 0 & 6EI_3 & 0 & 0 & 0 \\ 0 & 0 & 0 & 0 & 6EI_2 & 0 \\ 0 & 0 & 0 & 0 & 0 & -GI_b \\ 0 & 0 & 0 & 2EI_2 & 0 & 0 \\ 0 & -2EI_3 & 0 & 0 & 0 & 0 \\ EA & 0 & 0 & 0 & 0 & 0 \\ 0 & 0 & 0 & 0 & 0 & 0 \\ 0 & 0 & 0 & 0 & -6EI_2 & 0 \\ 0 & 0 & 0 & 0 & 0 & GI_b \\ 0 & 0 & 0 & -2EI_2 & -6EI_1 & 0 \\ 0 & 2EI_3 & 6EI_1 & 0 & 0 & 0 \end{bmatrix} \begin{bmatrix} \beta_1 \\ \beta_2 \\ \beta_3 \\ \beta_4 \\ \beta_5 \\ \beta_6 \end{bmatrix} + \begin{bmatrix} 0 & 0 & 0 & 0 \\ 0 & 0 & 0 & 0 \\ 0 & 0 & 0 & 0 \\ 0 & 0 & 0 & 0 \\ 0 & 0 & 0 & 0 \\ -1 & 0 & 0 & 0 \\ 0 & -1 & 0 & 0 \\ 0 & 0 & -1 & 0 \\ 0 & 0 & 0 & -1 \\ 0 & 0 & -\frac{l^2}{2} & 0 \\ 0 & \frac{l^2}{2} & 0 & 0 \end{bmatrix} \begin{bmatrix} p_{-1} \\ p_{-2} \\ p_{-3} \\ p_{-1} \\ m \end{bmatrix} \quad (5-78)$$

$p_{b,e}^i = R^{ik} \beta_k + \bar{R}_k^i \bar{\beta}^k$  (5-78)  
 في الحد الثاني من العلاقة (5-63) هي توابع الانتقالات التي يمكن افتراضها بشكل اختياري  $u_i^{b,e}$  وذلك وفق مبدأ الطاقة المتضمنة المعدل. هذا الشعاع يختار عادة بدلالة انتقالات العقد و يجب أن يحوي كافة الانتقالات بما فيها الدورانات الموافقة لشعاع قوى المقطع الطرفية  $p_{b,e}^i$  الذي أخذت مركباته في العقدة (I) سالبة في العلاقة (5-78) وذلك لأن هذه القوى معاكسة للانتقالات الموجبة المفترضة. في الحالة العامة تأخذ توابع الانتقالات المفترضة هذه الشكل :

$$u_i^{b,e} = L_i^j . u_j \quad (5-79)$$

حيث  $L_i^j$  هي توابع الشكل.  $u_j$  شعاع انتقالات عقد العنصر وهو مكافئ للشعاع  $u_{(p)}^0$  في العلاقة (5-31) و يحوي لحالات هذه على اثني عشر درجة حرية و هي الانتقالات والدورانات باتجاه المحاور الإحداثية الثلاثة للعقدتين (k),(i) على التوالي. و بما أن الشعاع  $u_i^{b,e}$  يجب أن يحوي على نفس درجات الحرية ليتوافق مع الشعاع  $p_{b,e}^i$  ففي حالتنا هذه تكون توابع الشكل  $L_i^j$  هي المصفوفة الواحدة .

يمكن الآن تقييم الحد الآنف الذكر باستخدام العلاقتين (5-78),(5-79) مع الشكل:

$$T_i = \int_S p_{b,e}^i \cdot u_i^{b,e} \cdot dS = (R^{ik} \cdot \beta_k + \bar{R}_k^i \cdot \bar{\beta}^k) L_i^j \cdot u_j$$

$$= \beta_k \cdot T^{kj} u_j + \bar{\beta}^k \cdot \bar{T}_k^j u_j \quad (5-80)$$

حيث :

$$T^{kj} = R^{ik} \cdot L_i^j \quad (5-81)$$

$$\bar{T}_k^j = \bar{R}_k^i \cdot L_i^j \quad (5-82)$$

$T_k^j, \bar{T}_k^j$  مطابقان على التوالي لـ  $R^{ik}, \bar{R}_k^i$ . و ذلك لأن  $L_i^j$  مطابقة للمصفوفة الواحدية في حالة القضيب الإطاري الفراغي .

بقي الآن تقييم الحد الأخير من العلاقة (5-63) حيث تمثل  $\bar{p}_{b,e}^i$  قوى خارجية معطاة تؤثر على السطوح  $S_{b,e}^{b,e}$ . و لنعالج في البدء الحالة العامة، التي تكون فيها مثل هذه السطوح محملة بقوى خارجية معلومة شديداً في نقاط مميزة من العنصر المنتهي  $\bar{p}_{e,b}^k$  ( شدة القوة الخارجية الموزعة مثلاً في عقد العنصر المنتهي و في نقاط أخرى كمنتصف العنصر ). عندها نستطيع أن نعر عن تابع الحمولات على العنصر بالشكل:

$$\bar{p}_{b,e}^i = A_k^i \cdot \bar{p}_{e,b}^k \quad (5-83)$$

حيث  $A_k^i$  توابع الشكل للحمولة الموزعة. يتعلق عدد حدود تابع الشكل بعدد النقاط المتخذة لوصف تابع الحمولات. و الحد الأخير من العلاقة (5-63) يصبح:

$$T_4 = \int_{S_{b,e}^{b,e}} \bar{p}_{b,e}^i \cdot u_i^{b,e} \cdot dS = \bar{p}_{e,b}^k \int_{S_{b,e}^{b,e}} A_k^i \cdot L_i^j \cdot dS \cdot u_j = \bar{S}^j \cdot u_j \quad (5-84)$$

حيث :

$$\bar{S}^j = \bar{p}_{e,b}^k \int_{S_{b,e}^{b,e}} A_k^i \cdot L_i^j \cdot dS \quad (5-85)$$

و الشعاع الأخير لحالة القضيب الإطاري يحتوي على القوى الخارجية المركزة على العقد (كما فيها العزوم الخارجية) و ذلك لأن السطوح  $S_{b,e}^{b,e}$  ليست إلا سطوح المقاطع الفاصلة بين العناصر المنتهية المتجاورة و التي تؤثر فيها قوى خارجية معلومة.



و بتعويض حدود العلاقة (5-63) بمكافئاتها من العلاقات (5-74) (5-80) (5-84) نحصل على الطاقة المتتممة المعدلة :

$$\pi_{ch} = \sum_e \left( \frac{1}{2} \beta_k \cdot H^{kl} \cdot \beta_l + \beta_k \cdot \bar{H}_l^k \cdot \bar{\beta}_l^1 + \bar{\beta}^k \cdot \bar{H}_{kl} \cdot \bar{\beta}^1 - \beta_k \cdot T^{kj} \cdot u_j - \bar{\beta}_k \cdot \bar{T}_k^j \cdot u_j + \bar{s}^j \cdot u_j \right) \quad (5-86)$$

و المتغير الأول للطاقة المتتممة المعدلة وفق مبادئ حساب المتغيرات:

$$\delta \pi_{ch} = \frac{\partial \pi_{ch}}{\partial \beta} \cdot \delta \beta + \frac{\partial \pi_{ch}}{\partial u} \cdot \delta u = 0 \quad (5-87)$$

و باعتبار  $\delta \beta$  و  $\delta u$  متغيرات اختيارية فإن المعادلة (5-87) محققة فقط عندما يكون الحد الأول مكافئاً للصفر و في نفس الوقت الحد الثاني منها مكافئاً للصفر. إذا بأخذ المتغير الأول للعلاقة (5-86) بالنسبة للثوابت الاختيارية يكون :

$$(\beta_l \cdot H^{kl} + \bar{H}_l^k \cdot \bar{\beta}_l^1 - T^{kj} \cdot u_j) \cdot \delta \beta_k = 0 \quad (5-88)$$

من هذه المعادلة تتحدد الثوابت الاختيارية بدلالة شعاع الانتقالات لعقد العنصر. بمساواة الحدود بين القوسين الصغيرين بالصفر و نقل الحد الثاني و الثالث منها إلى الطرف الأيمن من المعادلة الناتجة و ضرب المعادلة الناتجة بـ  $H_{kr}^{kl}$  معكوس

$$\beta_r = H_{kr} \cdot (-\bar{H}_k^l \cdot \bar{\beta}_l^1 + T^{kj} \cdot u_j) \quad (5-89)$$

و المصفوفة  $H_{kr}$  تسمى مصفوفة المادة للعنصر، وهي مكافئة للمصفوفة التالية :

$$H_{kr} = \begin{bmatrix} \frac{1}{EAI} & 0 & 0 & 0 & 0 & 0 \\ 0 & \frac{1}{EI_3 l} & -\frac{1}{2EI_3 l^2} & 0 & 0 & 0 \\ 0 & -\frac{1}{2EI_3 l^2} & \frac{1}{3EI_3 l^3} & 0 & 0 & 0 \\ 0 & 0 & 0 & \frac{1}{EI_2 l} & -\frac{1}{2EI_2 l^2} & 0 \\ 0 & 0 & 0 & -\frac{1}{2EI_2 l^2} & \frac{1}{3EI_2 l^3} & 0 \\ 0 & 0 & 0 & 0 & 0 & \frac{1}{GI_D l} \end{bmatrix} \quad (5-90)$$

حيث يحقق كلا من  $H^{kl}, H_{kr}$  العلاقة التالية :

$$H^{kl}.H_{kr} = \delta_r^l \quad r=1,2 \quad 6 \quad (5-91)$$

بتعويض الثوابت الاختيارية (5-89) في العلاقة (5-86) نحصل بعد استبدال القرينة 1 بقرينة r ومكافئة r و القرينة k بأخرى موافقة t على :

$$\begin{aligned} \pi_{ch} = & \sum_e \frac{1}{2} (-\bar{H}_r^k . \bar{\beta}^r + T^{kj} . u_j) H_{kl} (-\bar{H}_s^l . \bar{\beta}^s + T^{ll} . u_l) + \\ & + H_{ll} (-\bar{H}_s^l . \bar{\beta}^s + T^{ll} . u_l) \bar{H}_r^l . \bar{\beta}^r + \bar{\beta}^r . \bar{H}_{tr} . \bar{\beta}^t \\ & H_{ll} (-\bar{H}_s^l . \bar{\beta}^s + T^{ll} . u_l) T^{lj} . u_j - \bar{\beta}^t . \bar{T}_l^j . u_j + \bar{s}^j . u_j \end{aligned} \quad (5-92)$$

و باختصار الحدود المتشابهة وإدخال بعض الاختصارات ينتج :

$$\pi_{ch} = \sum_e \left( -\frac{1}{2} . u_l . k^{lj} . u_j + \bar{f}^j . u_j + c \right) \quad (5-93)$$

حيث :

$$K^{ij} = T^{ll} . H_{kl} . T^{kj} \quad (5-94)$$

مصنوفة القساوة للعنصر المنتهي ، و :

$$\bar{f}^j = H_{ll} . \bar{H}_s^l . \bar{\beta}^s . T^{lj} - \bar{\beta}^t . \bar{T}_l^j + \bar{s}^j \quad (5-95)$$

القوة المركزة على العقد و المكافئة للحمولات الخارجية الموزعة ضمن العنصر و القوى المؤثرة على أطراف العنصر ، بينما :

$$c = -\frac{1}{2} \bar{H}_s^i \bar{\beta}^s \cdot H_n \bar{\beta}^s \cdot \bar{H}_i^i \bar{\beta}^i + \bar{\beta}^i \cdot \bar{H}_n \bar{\beta}^i \quad (5-96)$$

يمثل ثابتاً جبرياً.

بعد كتابة تعبير الطاقة المتممة المعدلة (5-93) بدلالة شعاع انتقالات العقد النسوبة إلى الحاور الإحداثية العامة وإجراء الجمع على كامل المنشأ بشكل مماثل لما رأينا في نموذج الانتقالات نحصل على الطاقة المتممة المعدلة لكامل المنشأ .

$$\pi_{en} = -\frac{1}{2} \cdot u_n \cdot k^{nn} \cdot u_n + \bar{f}^n \cdot u_n + c_i \quad (5-97)$$

و يأخذ المتغير الأول للعلاقة السابقة و مساواته بالصفر وفق مبدأ الطاقة المتممة المعدلة نحصل على جملة المعادلات الجبرية الخطية:

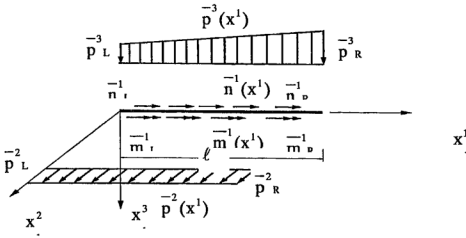
$$k^{nn'} \cdot u_{n'} - \bar{f}^n = 0 \quad (5-98)$$

جدير بالذكر هنا أن مصقوفة القساوة لعنصر منتهي اطاري فراغي هجين و المطورة في العلاقة (5-94) مكافئة تماماً لتلك المعطاة بالعلاقة (5-40) و أن القوى المركزة على العقد المكافئة للحمولات الخارجية الموزعة ضمن العنصر و المطورة في العلاقة (5-95) مكافئة لمثلثتها في العنصر نموذج الانتقالات (5-43) و ذلك بعد استبعاد الحد  $\bar{f}^n$  الذي يمثل القوى المركزة المكافئة للحمولات الخارجية المطبقة على الطرف الذي تكون فيه القوى معلومة.

و قبل الانتقال إلى الفقرة التالية نود معالجة حالة التحميل الأكثر شيوعاً و هي حالة التحميل بحمولة على شكل شبه منحرف (شكل 5-9) شدتها من اليسار مميزة بالرمز  $L$  و شدتها من اليمين تميز بإضافة الرمز  $R$  إلى الحمولة.

و يفهم من توزيع الحمولة أيضاً أن الحمولة الناعمية تتغير بشكل شبه منحرف على طول القضيب. و كذلك حمولة عزم الفتل أيضاً. في هذه الحالة أيضاً تفترض التوابع التقريبية لقوى المقطع كجزء متجانس غير متعلق بالحمولات الخارجية و جزء آخر غير متجانس متعلق بالحمولات الخارجية ( $M^i = p^{ik} \cdot \beta_k + \bar{p}_k^i \cdot \bar{\beta}^k$ ).

يبقى الجزء المتجانس واحداً لكل حالات التحميل ، بينما يختلف الجزء غير المتجانس من حالة تحميل إلى أخرى. و لحالة التحميل هذه نستخدم التابع التقريبي التالي:



شكل 5-9: حالة تحميل بحمولات على شكل شبه منحرف

$$\bar{p}_k^i \bar{p}^k = \begin{bmatrix} -x^1 & -\frac{(x^1)^2}{2} & 0 & 0 & 0 & 0 & 0 & 0 \\ 0 & 0 & 0 & 0 & -\frac{(x^1)^2}{2} & -\frac{(x^1)^3}{6} & 0 & 0 \\ 0 & 0 & \frac{(x^1)^2}{2} & \frac{(x^1)^3}{6} & 0 & 0 & 0 & 0 \\ 0 & 0 & 0 & 0 & 0 & 0 & -x^1 & -\frac{(x^1)^2}{2} \end{bmatrix} \begin{bmatrix} \bar{n}_L^1 \\ \bar{n}_R^1 - \bar{n}_L^1 \\ \bar{p}_L^2 \\ \bar{p}_R^2 - \bar{p}_L^2 \\ \bar{p}_L^3 \\ \bar{p}_R^3 - \bar{p}_L^3 \\ \bar{m}_L^1 \\ \bar{m}_R^1 - \bar{m}_L^1 \end{bmatrix} \quad (5-99)$$

و يلاحظ أن الجزء غير المتجانس للتابع التقريبي يصبح مكافئاً لمثليه في العلاقة (5-73) أي حالة القوى الموزعة بانتظام عندما يكون  $\bar{p}_L = \bar{p}_R = \bar{p}$ . كما يمكن أن نستنتج منه التابع التقريبي لحالة حمولة مثلثية في الحالة التي يكون فيها  $\bar{p}_R = 0$ . بالإضافة إلى ذلك يمكن استخدام حالة التحميل هذه كحمولة أساسية لتقريب أشكال الحمولات المنحنية المعقدة وذلك بتحويلها إلى خط منكسر تتطابق نقاط انكساره مع قيم الحمولة المعقدة في تلك النقاط. وفي مثل هذه الحالة سوف نضطر إلى تقسيم المنشأ تقسيماً دقيقاً بحيث نستطيع تمثيل الحمولة المعقدة بأقرب شكل ممكن.

## 5-6- اقتراحات لمعالجة طرق العناصر المنتهية:

يلاحظ أثناء تنفيذ طريقة العناصر المنتهية-نموذج الانتقالات أنه في افتراض التوابع التقريبية للانتقالات قد حدد عدد التوابع الاختيارية بحيث يكون مساوياً لعدد درجات الحرية لعقد العنصر المنتهي. وهذا يسمح فقط بإيجاد علاقة تربط بين توابع الانتقالات التقريبية ضمن العنصر و درجات الحرية لعقد العنصر. مما يعني أنه لا توجد هناك علاقة مباشرة على مستوى العنصر بين توابع الانتقالات فيه و بين الحمولات الخارجية المطبقة عليه. و تظهر علاقة الحمولات بالانتقالات فقط على مستوى المنشأ ككل في جملة المعادلات الجبرية الخطية لكامل الجملة المدروسة وذلك بشكل نقطي على عقد الجملة . وفي مثل هذه العلاقة على مستوى المنشأ لا يظهر أي تأثير لشكل توابع الحمولات ضمن العنصر نفسه على شكل توابع الانتقالات . و بالتالي لا يظهر هذا التأثير أيضاً على شكل توابع الإجهادات المشتقة من توابع الانتقالات. و تتعلق توابع الانتقالات لهذه المقاربة التقليدية و عليه توابع الاجهادات المشتقة منها بالتحولات المستقلة الديكارتية و بانتقالات عقد العنصر فقط. وهذا يعني أن منحنيات الانتقالات و الاجهادات الناتجة باستخدام هذه الطريقة هي نفسها لعنصرين أحدهما محمل بحمولة موزعة و الآخر غير محمل و تحصل في عقديهما نفس الانتقالات . في الواقع هناك علاقة مباشرة بين توابع الحمولات للعنصر و توابع الانتقالات و الاجهادات فيه على المستوى التفاضلي للعنصر تجسدها المعادلات التفاضلية للمسألة المطروحة .

لكن الأساس النظري لطريقة الانتقالات و هو مبدأ الطاقة الكامنة الأصغري يسمح باستقلالية توابع الانتقالات ضمن العنصر عن توابع الحمولات، إذ لا يفترض في توابع الاجهادات المشتقة من توابع الانتقالات التقريبية أن تحقق معادلات التوازن ضمن العنصر ، ويتم تحقيق معادلات التوازن بشكل تكاملي على كامل عقد الجملة المدروسة، و هذا ما تجسده جملة المعادلات الجبرية الخطية التابعة للمنشأ بكامله. هناك أعداد لا تحصى من الأعمال العلمية عاجلت مختلف أنواع المنشآت بتطبيق طريقة العناصر المنتهية-نموذج الانتقالات، استخدم فيها قاطبة توابع انتقالات تقريبية لا تراعي الربط المباشر بين الانتقالات و الحمولات ضمن العنصر المنتهي . وفي بعض هذه التطبيقات افترضت توابع تقريبية للانتقالات لا تحقق فقط المتطلبات التي ينص عليها مبدأ الطاقة الكامنة

الأصغري وإنما حققت جزء المعادلة التفاضلية المتجانس للمسألة المطروحة (انظر توابع الانتقالات التقريبية (5.33)، (4.19)). وعلى هذا الأساس طورت عناصر منتهية أعطت على سبيل المثال نتائج جيدة تجاري الحل التحليلي لحالة منشآت غير محملة بمحمولات خارجية موزعة على عناصرها ، بل بمحمولات خارجية مركزة على العقد . و ظهرت أخطاء الحل واضحة و جلية في حالة استخدامها لحل منشآت محملة بمحمولات موزعة ووصلت هذه الأخطاء إلى حدود 50% في حسابات القوى القصية .

أما في التطبيق المهيمن لطريقة العناصر المنتهية-نموذج الاجهادات فهناك ربط مباشر بين توابع الاجهادات التقريبية و توابع المحمولات ضمن العنصر يحكمه مبدأ الطاقة المتممة المعدل الذي يمثل الأساس النظري لهذه الطريقة . فوفق هذا المبدأ يجب أن تحقق توابع الاجهادات التقريبية معادلات التوازن الداخلية ضمن العنصر المنتهي . لذلك لابد من الربط المباشر بين توابع الاجهادات التقريبية و توابع المحمولات ضمن العنصر المنتهي . أما الربط بين الانتقالات و توابع المحمولات فيتم أيضاً بهذه الطريقة بشكل غير مباشر و نقطي بعد حذف المعاملات  $\beta$  - في جملة المعادلات الجبرية الخطية النهائية لانتقالات العقد . جدير بالذكر أيضاً أنه أثناء تطبيق هذه الطريقة لم يراعى الربط المنظم بين توابع الاجهادات التقريبية و توابع المحمولات وإنما اختيرت توابع الإجهادات التقريبية متعلقة بالمحمولات الموزعة ضمن العنصر بحيث تتحقق معادلات التوازن الداخلية ضمن العنصر .

إضافة إلى ذلك طورت زمرة عناصر منتهية من نموذج ترفتز (Trefftz) تراعى الربط المباشر بين توابع الانتقالات التقريبية و توابع المحمولات ضمن العنصر بحيث تتحقق المعادلة التفاضلية للمسألة المطروحة ضمن العنصر المنتهي . لكن هذا الربط تم أيضاً بشكل عشوائي غير منظم لا يراعي العلاقة المباشرة بين توابع المحمولات و شكل منحنى الانتقالات الناتجة ضمن العنصر .

في كل الطرق سابقة الذكر لم يتم اقتراح أي طريقة نظامية للربط المباشر المنظم بين محمولات العنصر و انتقالاته بالإضافة إلى ذلك لم يتم إدخال محمولات العنصر في الخوارزميات الأساسية لاستنباط توابع الشكل أثناء الانتقال من التوابع التقريبية بالتوابت الاختيارية إلى توابع تقريبية متعلقة بدرجات الحرية.

في الفقرة التالية سيتم إدخال توابع حمولات العنصر المنتهي في أساسيات اشتقاق التوابع التقريبية للانتقالات أو التوابع التقريبية للإجهادات بشكل منظم وغير عشوائي. بحيث تتحقق العلاقة الدقيقة بين حمولات العنصر و توابع الانتقالات التقريبية فيه وذلك على المستوى التفاضلي .

#### 5-6-1- عموميات ربط التوابع التقريبية بحمولات العنصر و درجات الحرية:

في البدء نختار توابع الانتقالات التقريبية ضمن العنصر ككثير حدود بنوابت اختيارية عددها  $n$  ثابته

$$u_i = x_i^n \cdot c_n \quad (5-100)$$

حيث  $u_i$  توابع الانتقالات التقريبية التي يمكن معرفتها وصف الحالة الانتقالية لكل نقطة من نقاط الجسم وصفا تاما ،  $x_i^n$  مصفوفة متعلقة فقط بالإحداثيات الديكارتية المحلية المستقلة ،  $c_n$  ثوابت اختيارية ليس لها في البدء أي مضمون إنشائي ونعتبر عددها للوهلة الأولى لانهائي .

لنفرض أن المعادلة التفاضلية التي تحكم المسألة المدروسة من الشكل:

$$\Delta^{\bar{q}}.u_i = \bar{p}^j \quad (5-101)$$

حيث  $\bar{q}$  مصفوفة من المعاملات التفاضلية ،  $\bar{p}^j$  توابع الحمولات الخارجية الموزعة .

إن تطبيق المعادلة التفاضلية (5-101) على التوابع التقريبية يعطي علاقة تربط الثوابت الاختيارية بالحمولات الخارجية .

$$(\Delta^{\bar{q}}.x_i^n).c_n = \bar{p}^j \quad (5-102)$$

جملة المعادلات هذه تقبل بشكل عام عدد لانهائي من الحلول وتعلق حلولها بشكل إعطاء توابع الحمولات الخارجية . فقد تكون توابع الحمولات الخارجية معطاة بشكل تحليلي ، عندها يمكن تحويل هذه التوابع مثلا إلى كثيرات حدود بنشرها حول نقطة ما من العنصر المنتهي (وليكن مركز ثقل العنصر) وفق سلسلة تايلور مثلا، و القيام بمثل هذا النشر يحدده الإنشائي وفق أهمية المنشأ المدروس ، فبعد هذا النشر يمكن بالمقارنة بين الحدود المتشابهة من اتقاء حل مناسب و تعيين بعض الثوابت الاختيارية بدلالة الحمولات الخارجية . أو يمكن في الحالة العامة أن تعطى توابع الحمولات الخارجية كحمولات لا على التعيين موصوفة بشكل نقطي على عقد العنصر وفي نقاط مميزة منه،

إذ تعطى شداتها في النقاط المذكورة . في هذه الحالة يمكن استخدام التوابع التقريبية للحصول على توزيع تقريبي لتوابع الحمولات الخارجية ضمن العنصر المنتهي بدلالة شدة الحمولات الخارجية على عقد العنصر و ذلك بتطبيق مماثل لما ورد في حالة الانتقالات عند تعيينها بدلالة انتقالات عقد العنصر (انظر المعادلات من (5-30) إلى (5-33) و لهذا التوزع الشكل العام التالي :

$$\bar{p}^j = NP_r^j \cdot \bar{p}_0^j \quad (5-103)$$

حيث  $NP_r^j$  توابع الشكل ، و تتعلق بالمتحولات الإحداثية المستقلة .

في هذه الحالة يمكن بمطابقة حدود طر في المعادلة (5-102) من انتقاء حل مناسب يحدد الثوابت الاختيارية المتعلقة بالحمولات الخارجية . و انتقاء الحل المناسب يخضع لضوابط أيضاً كما في اشتقاق التوابع التقريبية بالطريقة التقليدية . و ينصح هنا بانتقاء أبسط حل ممكن و بعد تحديد الثوابت الاختيارية المتعلقة بالحمولات الخارجية يجب أن يكون عدد الثوابت الاختيارية التي لم يتم تعيينها أو إعطائها مضموناً إنشائياً مساوياً لعدد درجات الحرية للعنصر مضروباً بعدد عقد العنصر ، حتى تتمكن من تعيين الثوابت المتبقية بدلالة انتقالات العقد ، أي العدد المعروف في الطريقة التقليدية . و بعد هذا التحديد يجب أن يحقق التابع الناتج متطلبات شروط الاستمرارية الواردة في الطريقة التقليدية . كما يجب أن ينقسم التابع التقريبي إلى جزء متجانس موافق لجزء المعادلات التفاضلية غير المتجانسة للمسألة المطروحة . عندها يأخذ تابع الانتقالات التقريبية الشكل :

$$u_i = M_i^k \cdot c_k + \bar{M}_{ij} \cdot \bar{p}^j \quad (5-104)$$

$c_k$  عدد من الثوابت الاختيارية مكافئة لعدد عقد العنصر المنتهي مضروباً بعدد درجات الحرية على العقدة،  $M_i^k$  ;  $\bar{M}_{ij}$  مصفوفتان تمثلان الجزء المتجانس و غير المتجانس للتوابع التقريبية على التوالي و متعلقتان بالإحداثيات المحلية المستقلة المستخدمة . يمكن الآن تجميع انتقالات عقد العنصر في شعاع  $u_{k(e)}$  عدد عناصره مساو لعدد عقد العنصر مضروباً بعدد درجات الحرية و الحصول على هذا الشعاع من العلاقة (5-104) بعد تعويض إحداثيات عقد العنصر في العلاقة نفسها

$$u_{k(e)} = A_{k(e)}^1 \cdot c_1 + \bar{A}_{k(e)j} \cdot \bar{p}^j \quad (5-105)$$

المصفوفتان  $A_{k(e)}^1$  ;  $\bar{A}_{k(e)j}$  مصفوفتان تنتجان من  $M_i^k$  ;  $\bar{M}_{ij}$  بتعويض الإحداثيات الخاصة لعقد العنصر في المصفوفتين الأخيرتين، و 1 قرينة تتحول كما القرينة  $k$  .  $u_{k(e)}$  شعاع انتقالات العقد وهو مطابق للشعاع  $u_{1(e)}$  في العلاقة (5-33) إلا أن (e) استخدمت الآن ليس كقرينة و



إنما لتمييز انتقالات العقد . بعد نقل الحد الثاني من الطرف الأيمن للمعادلة (5-105) إلى الطرف الأيسر نحصل على جملة المعادلات الخطية لتحديد الثوابت الاختيارية المتبقية .

$$A_{k(e)}^1 \cdot c_1 = u_{k(e)} - \bar{A}_{k(e)j} \cdot \bar{p}^j \quad (5-106)$$

و حل جملة المعادلات هذه يمكن الحصول عليه مثلاً بإيجاد معكوس المصفوفة  $A_{k(e)}^1$  و لتكن  $B_m^{k(e)}$  و بعد ضرب طرفي المعادلة بالمصفوفة  $B_m^{k(e)}$  نحصل على :

$$B_m^{k(e)} \cdot A_{k(e)}^1 \cdot c_1 = \delta_m^1 \cdot c_1 = c_m = B_m^{k(e)} (u_{k(e)} - \bar{A}_{k(e)j} \cdot \bar{p}^j) \quad (5-107)$$

حيث  $\delta_m^1$  المصفوفة الواحدية ، و  $m$  قرينة تتحول كما تتحول  $1$  أو  $k$  . و باعتبار القرينتين  $k, m$  تتحولان مثل بعضهما البعض فيمكن تبديلهما ببعض دون أن يحصل أي تغيير في العلاقة (5-107) أي أن :

$$c_k = B_k^{m(e)} (u_{m(e)} - \bar{A}_{m(e)j} \cdot \bar{p}^j) \quad (5-108)$$

نعوض الآن الثوابت الاختيارية في العلاقة (5-104) التي انطلقنا منها فنحصل على :

$$\begin{aligned} u_i &= M_i^k \cdot B_k^{m(e)} (u_{m(e)} - \bar{A}_{m(e)j} \cdot \bar{p}^j) + \bar{M}_{ij} \cdot \bar{p}^j \\ &= M_i^k \cdot B_k^{m(e)} \cdot u_{m(e)} + (-M_i^k \cdot B_k^{m(e)} \bar{A}_{m(e)j} + \bar{M}_{ij}) \cdot \bar{p}^j \\ &= N_i^{m(e)} \cdot u_{m(e)} + \bar{N}_{ij} \cdot \bar{p}^j \end{aligned} \quad (5-109)$$

حيث :

$$N_i^{m(e)} = M_i^k \cdot B_k^{m(e)} \quad (5-110)$$

هو جزء تابع الشكل المتجانس و :

$$\bar{N}_{ij} = -M_i^k \cdot B_k^{m(e)} \cdot \bar{A}_{m(e)j} + \bar{M}_{ij} = -N_i^{m(e)} \cdot \bar{A}_{m(e)j} + \bar{M}_{ij} \quad (5-111)$$

جزء تابع الشكل غير المتجانس .

و بذلك نكون قد حصلنا على علاقة تربط بين توابع الانتقالات التقريبية ضمن العنصر من جهة وبين انتقالات عقد العنصر بالإضافة إلى الحملات الخارجية الموزعة المطبقة على العنصر من جهة أخرى .

يمكن الآن استخدام التوابع التقريبية للانتقالات المشتقة بهذه الطريقة في تطبيق طريقة العناصر المنتهية-نموذج الانتقالات ، و يلاحظ أن هذا التطبيق يصبح مكافئاً لمثله التقليدي عند انعدام الحملات الخارجية الموزعة ضمن العناصر المنتهية و اقتصار الحملات على حملات خارجية

مركزة على عقد العناصر. إذ بنعدم في هذه الحالة الجزء غير المتجانس من التابع التقريبي (5-109) و المتعلق بالحمولات الخارجية الموزعة و تبقى علاقة تربط بين تابع الانتقالات و درجات حرية عقد العنصر .

كما يمكن أيضاً أن نشق من مثل هذه التوابع التقريبية للانتقالات ، توابع تقريبية للإجهادات أو قوى المقطع لاستخدامها في طريقة العناصر المنتهية-النموذج المجهن للإجهادات، إذ أن توابع الإجهادات أو قوى المقطع المشتقة من توابع انتقالات محققة للمعادلات التفاضلية غير المتجانسة للمسألة المطروحة على المستوى التفاضلي تحقق بدورها بشكل آلي معادلات التوازن غير المتجانسة ضمن العنصر و على المستوى التفاضلي أيضاً .

#### 5-6-2- عنصر إطارى فراغى بتوابع تقريبية متعلقة بحمولات العنصر :

ليكن لدينا عنصر فراغى إطارى منسوب إلى جملة محاور إحداثية عملية و محمل بحمولات تتغير بشكل خطي على شكل شبه منحرف كما في الشكل (5-9). حالة التحميل هذه تعتبر من الحالات العامة بالإضافة إلى ذلك يمكن اعتبارها حمولة أساسية لتقريب حالات تحميل أخرى. لنبدأ الآن بتحديد عدد الثوابت الاختيارية التي يجب اعتبارها لتقريب توابع الانتقالات ضمن العنصر، و لنبدأ أولاً بتابع الانتقالات التقريبي الممثل للانتقال المحوري باتجاه  $x^1$ . و لنفرض أن هذا التابع يحتوي على عدد لانهائي من الثوابت الاختيارية و ممثل بكثير الحدود التالي :

$$u_1^0(x^1) = c_0 + c_1.x^1 + c_2.(x^1)^2 + c_3.(x^1)^3 + ..... + c_n.(x^1)^n \quad (5-112)$$

إن تطبيق المعادلة التفاضلية (الخاصة بالانتقالات المحورية، المعادلة الأولى من العلاقة (5-27) ) على العلاقة (5-112) يؤدي إلى :

$$EA \frac{d^2 u_1^0}{dx^1} = EA[2c_2 + (3)(2)c_3.x^1 + (4)(3)(2)c_4.(x^1)^2 + ... \quad (5-113)$$

$$.. + (n)(n-1)(x^1)^{n-2}] = -\bar{n}^1(x^1)$$

و الحمولة  $\bar{n}^1(x^1)$  على بعد ما  $x^1$  من الطرف اليساري مساوية للتابع:

$$\bar{n}^1(x^1) = \bar{n}_L^1 + \frac{x^1}{1}(\bar{n}_R^1 - \bar{n}_L^1) \quad (5-114)$$

أبسط حل يمكن اختياره لكي تتحقق المعادلة التفاضلية (5-113) ينتج من مقارنة كثير الحدود في العلاقة (5-113) مع كثير الحدود في العلاقة (5-114) فنحصل على :

$$c_2 = -\frac{\bar{n}_L^1}{2EA}; c_3 = -\frac{1}{6EA}(\bar{n}_R^1 - \bar{n}_L^1); c_4 = 0, \dots, c_n = 0 \quad (5-115)$$

و يصبح التابع التقريبي للانتقال باتجاه المحور  $x^1$  والذي يجب افتراضه مكافئ لـ:

$$u_1^0(x^1) = c_0 + c_1 x^1 - \frac{(x^1)^2}{2EA} \bar{n}_L^1 - \frac{(x^1)^3}{6EA} (\bar{n}_R^1 - \bar{n}_L^1) \quad (5-116)$$

وهو يتألف من جزء متجانس متعلق بثوابت اختيارية و آخر غير متجانس متعلق بالحملولة .

نفس المناقشة نجريها الآن للتابع التقريبي للانتقال  $u_3^0$  و لنفرض أن :

$$u_3^0(x^1) = \alpha_0 + \alpha_1 (x^1) + \alpha_2 (x^1)^2 + \alpha_3 (x^1)^3 + \alpha_4 (x^1)^4 + \alpha_5 (x^1)^5 + \dots + \alpha_n (x^1)^n \quad (5-117)$$

بتطبيق المعادلة التفاضلية (الخاصة بهذا الانتقال) يجب أن يكون الحد الأيمن من المعادلة التالية :

$$EI_2 \cdot \frac{d^4 u_3^0}{(dx^1)^4} = EI_2 [(4)(3)(2)(1) \alpha_4 + (5)(4)(3)(2) \alpha_5 x^1 + \dots] \quad (5-118)$$

$$.. + (n)(n-1)(n-2)(n-3) \alpha_n (x^1)^{(n-4)}]$$

مكافئ للحد الأيمن من المعادلة اللاحقة :

$$EI_2 \frac{d^4 u_3^0}{(dx^1)^4} = \bar{p}^2(x^1) = \bar{p}_L^2 + \frac{x^1}{1}(\bar{p}_R^2 - \bar{p}_L^2) \quad (5-119)$$

و الحل الأبسط بنتيجة المقارنة هو :

$$\alpha_4 = \frac{\bar{p}_L^2}{24EI_2}; \alpha_5 = \frac{1}{120EI_2}(\bar{p}_R^2 - \bar{p}_L^2); \alpha_6 = 0; \alpha_7 = 0; \dots; \alpha_n = 0 \quad (5-120)$$

ويصبح التابع التقريبي الذي يجب اعتباره :

$$u_3^0(x^1) = \alpha_0 + \alpha_1 (x^1) + \alpha_2 (x^1)^2 + \alpha_3 (x^1)^3 + \frac{(x^1)^4}{24EI_2} \bar{p}_L^2 + \frac{(x^1)^5}{120EI_2} (\bar{p}_R^2 - \bar{p}_L^2) \quad (5-121)$$

و بنفس الأسلوب السابق نحدد التوابع التقريبية للانتقال  $u_2^0$  و للدوران  $\varphi_1$  . وبتجميع هذه الانتقالات في شعاع وإعادة ترقيم الثوابت الاختيارية من  $c_0$  إلى  $c_{11}$  نحصل على التوابع الاختيارية بشكلها المصفوفي التالي:

$$\begin{bmatrix} u_1^0 \\ u_2^0 \\ u_3^0 \\ \varphi_1 \end{bmatrix} = \begin{bmatrix} 1 & x^1 & 0 & 0 & 0 & 0 & 0 & 0 & 0 & 0 & 0 & 0 \\ 0 & 0 & 1 & x^1 & (x^1)^2 & (x^1)^3 & 0 & 0 & 0 & 0 & 0 & 0 \\ 0 & 0 & 0 & 0 & 0 & 0 & 1 & x^1 & (x^1)^2 & (x^1)^3 & 0 & 0 \\ 0 & 0 & 0 & 0 & 0 & 0 & 0 & 0 & 0 & 0 & 1 & x^1 \end{bmatrix} \cdot \begin{bmatrix} c_0 \\ c_1 \\ c_2 \\ c_3 \\ c_4 \\ c_5 \\ c_6 \\ c_7 \\ c_8 \\ c_9 \\ c_{10} \\ c_{11} \end{bmatrix}$$

$$+ \begin{bmatrix} \overline{M}_{11} & \overline{M}_{12} & 0 & 0 & 0 & 0 & 0 & 0 \\ 0 & 0 & 0 & 0 & \overline{M}_{25} & \overline{M}_{26} & 0 & 0 \\ 0 & 0 & \overline{M}_{33} & \overline{M}_{34} & 0 & 0 & 0 & 0 \\ 0 & 0 & 0 & 0 & 0 & 0 & \overline{M}_{47} & \overline{M}_{48} \end{bmatrix} \cdot \begin{bmatrix} \overline{n}_L^1 \\ \overline{n}_R^1 \\ \overline{p}_L^2 \\ \overline{p}_R^2 \\ \overline{p}_L^3 \\ \overline{p}_R^3 \\ \overline{m}_L^1 \\ \overline{m}_R^1 \end{bmatrix} \dots \quad (5-12)$$

$$u_i^0 = M_i^k c_k + \overline{M}_{ij} \overline{p}^j$$

حيث:

$$\begin{aligned}
 \bar{M}_{11} &= \frac{1}{EA} \left[ -\frac{(x^1)^2}{2} + \frac{(x^1)^3}{6l} \right] \\
 \bar{M}_{12} &= -\frac{1}{EA} \cdot \frac{(x^1)^3}{6l} \\
 \bar{M}_{25} &= \frac{1}{EI_3} \left[ \frac{(x^1)^4}{24} - \frac{(x^1)^5}{120l} \right] \\
 \bar{M}_{26} &= \frac{1}{EI_3} \cdot \frac{(x^1)^5}{120l} \\
 \bar{M}_{33} &= \frac{1}{EI_3} \left[ \frac{(x^1)^4}{24} - \frac{(x^1)^5}{120l} \right] \\
 \bar{M}_{34} &= \frac{1}{EI_2} \cdot \frac{(x^1)^5}{120l} \\
 \bar{M}_{47} &= \frac{1}{GI_D} \left[ -\frac{(x^1)^2}{2} + \frac{(x^1)^3}{6l} \right] \\
 \bar{M}_{48} &= \frac{1}{GI_D} \cdot \frac{(x^1)^3}{6l}
 \end{aligned}
 \tag{5.123}$$

بعد اجراء العمليات المدونة باختصار في الانتقال من العلاقة (5-104) إلى العلاقة (5-109) نحصل على التوابع التقريبية المرغوبة. و القسم المتجانس لتوابع الشكل  $N_i^{m(e)}$  مماثل تمامًا للمصفوفة  $N_i^{l(p)}$  الواردة في العلاقة (5-33) ، أما الجزء غير المتجانس فهو المصفوفة :

$$\bar{N}_q = \begin{bmatrix} \bar{N}_{11} & \bar{N}_{12} & 0 & 0 & 0 & 0 & 0 & 0 \\ 0 & 0 & 0 & 0 & \bar{N}_{25} & \bar{N}_{26} & 0 & 0 \\ 0 & 0 & \bar{N}_{33} & \bar{N}_{34} & 0 & 0 & 0 & 0 \\ 0 & 0 & 0 & 0 & 0 & 0 & \bar{N}_{47} & \bar{N}_{48} \end{bmatrix} .
 \tag{5.124}$$

حيث :

$$\begin{aligned}\bar{N}_{11} &= \frac{1}{EA} \left[ \frac{1 \cdot x^1}{3} - \frac{(x^1)^2}{2} + \frac{(x^1)^3}{6l} \right] \\ \bar{N}_{12} &= -\frac{1}{EA} \left[ \frac{1 \cdot x^1}{6} - \frac{(x^1)^3}{6l} \right] \\ \bar{N}_{25} &= \frac{1}{EI_3} \left[ \frac{l^2 \cdot (x^1)^2}{40} - \frac{7l(x^1)^3}{24} + \frac{(x^1)^4}{24} - \frac{(x^1)^5}{120l} \right] \\ \bar{N}_{26} &= \frac{1}{EI_3} \left[ \frac{l^2 \cdot (x^1)^2}{60} - \frac{l(x^1)^3}{40} + \frac{(x^1)^5}{120l} \right] \\ N_{33} &= \frac{1}{EI_2} \left[ \frac{l^2 \cdot (x^1)^2}{40} - \frac{7l(x^1)^3}{120} + \frac{(x^1)^4}{24} - \frac{(x^1)^5}{120l} \right] \\ \bar{N}_{34} &= \frac{1}{EI_2} \left[ \frac{l^2 \cdot (x^1)^2}{60} - \frac{l(x^1)^3}{40} + \frac{(x^1)^5}{120l} \right] \\ \bar{N}_{47} &= \frac{1}{GI_D} \left[ \frac{1 \cdot x^1}{3} - \frac{(x^1)^2}{2} + \frac{(x^1)^3}{6l} \right] \\ \bar{N}_{48} &= \frac{1}{GI_D} \left[ \frac{1 \cdot x^1}{6} - \frac{(x^1)^3}{6l} \right]\end{aligned}$$

(5.125)

من توابع الانتقالات هذه والمثلة بالعلاقة (5-109) مجزئها المتجانس المفصل في العلاقة (5-33) وجزئها غير المتجانس المفصل بالعلاقات (5-125) , (5-124) يمكن باستخدام العلاقات (5-23) اشتقاق توابع تقريبية لقوى المقطع محققة لمعادلات التوازن الداخلية ضمن العنصر، ويترك للقارئ اشتقاق مثل هذه التوابع. وهذه التوابع المشتقة يمكن استخدامها للتطبيق المحين من نموذج الاجهادات الوارد في الفقرة (5-5). والخوارزميات الواردة في هذه الفقرة سارية المفعول تماماً لمثل هذا التطبيق دون أي تغيير والاختلاف الوحيد يظهر في كون عناصر المصفوفة  $\bar{p}_k^i$  في العلاقة (5-73) مختلفة عن نظيرتها في التوابع المشتقة هنا.

أما في استخدام توابع الانتقالات المشتقة هنا في تطبيق طريقة العناصر المنتهية -نموذج الانتقالات فيظهر اختلاف في تقييم طاقة التشوه الداخلية للعنصر المنتهي نتيجة وجود جزء غير متجانس في

توابع الانتقالات وسنستعرض في الفقرة التالية هذا التطبيق بإيجاز دون أن نعطي تفاصيل التكاملات الواردة، و يترك للقارئ كتمرين إنجاز هذه التكاملات .

### 5-6-3- استخدام توابع تقريبية متعلقة بمحولات العنصر في نموذج الانتقالات:

على غرار العلاقة (5-35) يقيم شعاع مشتقات التوابع التقريبية للانتقالات الواردة في العلاقة (5-109)، و من ثم يمكن تعيين موزة التشوهات المختصرة لنقطة لا على التعيين من مقطع القضيب الإطاري الفراغي فنحصل على :

$$\varepsilon_{ij} = \bar{x}_{ij}^t (Nd_i^{m(p)} \cdot u_{m(p)} + \bar{Nd}_u \cdot \bar{p}^1) \quad (5-126)$$

$$\varepsilon_{ii} = \bar{x}_{ii}^t (Nd_i^{s(q)} \cdot u_{s(q)} + \bar{Nd}_m \cdot \bar{p}^n)$$

حيث  $\bar{Nd}_m, Nd_i^{s(q)}$  أو  $\bar{Nd}_u, Nd_i^{m(p)}$  مشتقة من مثيليهما  $\bar{Nd}_u, Nd_i^{m(p)}$  أو  $\bar{Nd}_m, Nd_i^{s(q)}$  الواردة على التوالي في العلاقة (5-109) بعد استبدال قرائن بأخرى، و  $\bar{x}_{ij}^t$  أو  $\bar{x}_{ii}^t$  ماثلة لـ  $\bar{x}_{ij}^t$  الواردة في العلاقة (5-21)، أما  $\bar{p}^1$  أو  $\bar{p}^n$  فهو شعاع شدة المحولات الخارجية على العقدتين (k),(i) كالشعاع  $\bar{p}^l$  الوارد في العلاقة (5-122) .  
و تصبح طاقة التشوه الداخلية :

$$\begin{aligned} \Pi_i &= \frac{1}{2} \int_V \varepsilon_{ij} \cdot c^{lij} \varepsilon_{ij} dV \\ &= \frac{1}{2} \int_0^1 (Nd_i^{s(q)} \cdot u_{s(q)} + \bar{Nd}_m \cdot \bar{p}^n) \left( \int_0^A \bar{x}_{ij}^t \cdot c^{lij} \cdot \bar{x}_{ij}^t \cdot dA \right) \cdot (Nd_i^{m(p)} \cdot u_{m(p)} + \bar{Nd}_u \cdot \bar{p}^1) \cdot dx^1 \\ &= \frac{1}{2} \cdot u_{s(q)} \cdot K^{s(q)m(p)} \cdot u_{m(p)} + u_{s(q)} \cdot \bar{f} \bar{p}^{s(q)} + c_1 \end{aligned} \quad (5-126)$$

حيث :

$$K^{s(q)m(p)} = \int_0^1 Nd_i^{s(q)} \cdot E^n \cdot Nd_i^{m(p)} \cdot dx^1 \quad (5-127)$$

$$\bar{f} \bar{p}^{s(q)} = \frac{1}{2} \int_0^1 (Nd_i^{s(q)} \cdot E^n \cdot \bar{Nd}_u \cdot \bar{p}^1 + \bar{Nd}_m \cdot \bar{p}^n \cdot E^n \cdot Nd_i^{m(p)}) \cdot dx^1 \quad (5-128)$$

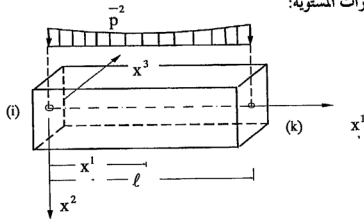
$$c_1 = \frac{1}{2} \int_0^1 \bar{N} d_m \cdot \bar{p}^n \cdot E^n \cdot \bar{N} d_n \cdot \bar{p}^l \cdot dx^1 \quad (5-129)$$

$E^n$  مصفوفة مكافئة لمثيلتها المحسوبة في العلاقة (5-38) ومساوية لتلك المنحزة في العلاقة (5-23) ، و  $c^{III}$  هي كتلك الواردة في العلاقة (5-22) كما أن مصفوفة قساوة العنصر الناتجة عن التكامل (5-127) مكافئة لمثيلتها الواردة في العلاقة (5-40) .

أما بقية حدود الطاقة الكامنة فلا يطرأ عليها أي تعديل. و بالتالي فالتغير الذي يطرأ على خوارزميات طريقة الانتقالات يتمثل في إضافة الحد (5-128) إلى تعبير الطاقة الكامنة. إذا التعبير (5-129) يتعدم بعد أخذ المتغير الأول لانتقالات العقد باعتبارها قيمة معلومة .

و في ختام هذا الفصل سوف نستعرض نتائج الطرق الثلاث الواردة في الفقرات (5-4) (5-5) (5-6) لتطبيق طريقة العناصر المنتهية على الإطارات المستوية.

#### 5-7- الإطارات المستوية:



شكل 5-10: مستوي الحملات الخارجية  $x^1 x^2$

عند تطبيق الحملات الخارجية على المنشآت الإطارية في مستوي واحد، و ليكن المستوي  $x^1 x^2$  شكل (5-10)، لا تكفي مركبات الانتقال  $u_1, u_2$  لنقطة ما لا على التعيين من مقطع القضيب لتحديد الحالة الانتقالية للقضيب. و ذلك باعتبار أن الانتقالات تحدث فقط في المستوي  $x^1 x^2$ ، و بالتالي يكون تغير موضع أي نقطة من القضيب بالنسبة للمحور  $x^3$  مساو للصفر ( $u_3=0$ ) . و هذا يعني أن دوران المقطع حول  $x^2$  مساو للصفر أيضا ( $\phi_2 = 0$ ) انظر العلاقة (5-3)، كما يجب



أن يكون دوران المقطع حول  $x^1$  معلوم ( $\varphi_1 = 0$ ) وذلك لأن دوران المقطع حول  $x^1$  يؤدي إلى انتقال في اتجاه  $x^3$  (انظر المعادلة الثانية من العلاقات (5-1) ) و يبقى للمقطع حرية الدوران حول المحور  $x^3$  ، و عليه يمكن تعيين الحالة الانتقالية تماماً بتعيين انتقالي مركز ثقل المقطع  $u_2^0, u_1^0$  و دوران المقطع  $\varphi_3$  و يتبقى من العلاقات (5-1) المعادلتين التاليتين :

$$u_1 = u_1^0 - \varphi_3 \cdot x^2 \quad (5-130)$$

$$u_2 = u_2^0$$

و دوران المقطع حول  $x^2$  بحسب بدلالة الانتقال  $u_3^0$

$$\varphi_3 = \frac{du_2^0}{dx^1} \quad (5-131)$$

أما جزء موترة التشوهات فتقتصر على التشوه الناطمي  $\varepsilon_{11}$  إذ أن التشوهين  $\varepsilon_{12}, \varepsilon_{13}$  مكلفين للصفر وذلك لأن :

$$\varepsilon_{12} = \frac{\partial u_1}{\partial x^2} + \frac{\partial u_2}{\partial x^1} = -\varphi_3 + \varphi_3 = 0 \quad (5-132)$$

$$\varepsilon_{13} = \frac{\partial u_1}{\partial x^3} + \frac{\partial u_3}{\partial x^1} = 0 \quad (5-133)$$

فالانتقال  $u_1^0$  و الدوران  $\varphi_3$  في العلاقة (5-130) يفترض أنهما تابعة للإحداثي  $x^1$  فقط .

و بناء على ذلك يتم تحديد الحالة الإجهادية بالإجهاد  $\sigma^{11}$  ، أما قوى المقطع فتتخلص لتشمل القوة الناطمية  $N^1$  (العلاقة (5-9) ) و عزم الانعطاف  $M^3$  (العلاقة (5-10) ) و عليه تكون معادلات التوازن الداخلية ممثلة بالمعادلتين الأولى و الثالثة من العلاقة (5-16) .

بالنسبة لعلاقات التشوهات-الانتقالات فتقتصر على العلاقة :

$$\varepsilon_{11} = \frac{du_1^0}{dx^1} - x^2 \frac{d^2 u_2^0}{(dx^1)^2} = \left[ 1 \quad x^2 \right] \begin{bmatrix} \frac{du_1^0}{dx^1} \\ \frac{d^2 u_2^0}{(dx^1)^2} \end{bmatrix} \quad (5-134)$$

$$= \bar{x}_{11}^j \cdot \chi_j$$

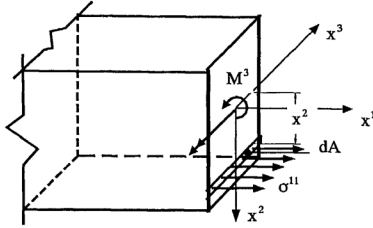
و قانون السلوك يقتصر على العلاقة :

$$\sigma^{11} = E \cdot \varepsilon_{11} \quad (5-135)$$

و تصبح علاقات قوى المقطع -الانتقالات مكافئة لما يلي :

$$\begin{bmatrix} N^1 \\ M^3 \end{bmatrix} = \begin{bmatrix} EA & 0 \\ 0 & EI_3 \end{bmatrix} \cdot \begin{bmatrix} \frac{du_1^0}{dx^1} \\ \frac{d^2 u_2^0}{(dx^1)^2} \end{bmatrix} \quad (5-136)$$

$$M^i = E^j \cdot \chi_i$$



شكل 5-11: العزم الموجب  $M^3$

وإشارة العزم المختارة الموجبة هي تلك المتفقة مع العزم الموجب في مقاومة المواد والذي يسبب شداً للألياف السفلية (الداخلية) و ضغطاً في الألياف العلوية (شكل 5-11) .  
يمكن الآن إنجاز التطبيقات الثلاث لطريقة العناصر المنتهية المشروحة مفصلاً في الفقرات (5-4) (5-5) (5-6) مع اعتبار التبسيط الحاصل في هذه الفقرة ولا داعي لإعادة هذه التفاصيل مرة أخرى. ويكتفى الآن بذكر مصفوفة القساوة الناتجة عن مثل هذه التطبيقات و شعاع القوى المركزة على العقد المكافئ للحمولات الخارجية الموزعة بانتظام . و ذلك في حالة استخدام نفس التتابع التقريبية لمركبات الانتقال أو مركبات قوى المقطع . فمصفوفة القساوة تقتصر على المصفوفة :

$$k^{m(p)s(q)} = \begin{bmatrix} \frac{EA}{l} & 0 & 12EI_3 & -\frac{EA}{l} & 0 & 0 \\ 0 & \frac{12EI_3}{l^3} & \frac{6EI_3}{l^2} & 0 & -\frac{12EI_3}{l^3} & \frac{6EI_3}{l^2} \\ 0 & \frac{6EI_3}{l^2} & \frac{2EI_3}{l} & 0 & -\frac{6EI_3}{l^2} & \frac{2EI_3}{l} \\ -\frac{EA}{l} & 0 & 0 & \frac{EA}{l} & 0 & 0 \\ 0 & -\frac{12EI_3}{l^3} & -\frac{6EI_3}{l^2} & 0 & \frac{12EI_3}{l^3} & -\frac{6EI_3}{l^2} \\ 0 & \frac{6EI_3}{l^2} & \frac{2EI_3}{l} & 0 & -\frac{6EI_3}{l^2} & \frac{2EI_3}{l} \end{bmatrix}$$

(5-137)

و شعاع القوى المركزة على العقد المكافئ لحمولات خارجية خطية  $(\bar{n}^1, \bar{p}^2)$  موزعة بانتظام على طول القضيب (i)(k) يتمثل في الشعاع :

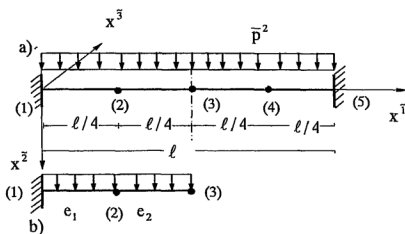
$$\bar{f}^{s(q)} = \begin{bmatrix} \bar{n}^1 \frac{1}{2} & \bar{p}^2 \frac{1}{2} & \bar{p}^2 \frac{l^2}{12} & \bar{n}^1 \frac{1}{2} & \bar{p}^2 \frac{1}{2} & -\bar{p}^2 \frac{l^2}{12} \end{bmatrix} \quad (5-138)$$

و هذه النتائج هي نفسها للتطبيقات الثلاث لطريقة العناصر المنتهية .  
و على هذا الأساس تكون جملة المعادلات الخطية النهائية لكامل المنشأ الإطاري واحدة في التطبيقات الثلاثة . إلا أن اختلاف الحسابات عن بعضها البعض يظهر أثناء حساب الانتقالات ضمن العنصر و حسابات القوى الداخلية على المستوى العنصر و المثال التالي سيوضح هذه الاختلافات .

#### مثال 5-1:

يطلب حساب الانتقالات و قوى المقطع لجائز موثوق من الطرفين، طوله  $L$  و صلابته ثابتة  $EI$  مقسم إلى أربعة عناصر منتهية (شكل م-5-1) و يتعرض لحمولة خطية موزعة بانتظام على كامل الطول شدتها  $p$  . و ذلك باستخدام التطبيقات الثلاثة المذكورة في الفقرات 5-4، 5-5، 5-6 .

يقسم الجائز إلى أربعة عناصر منتهية  $l_1, l_2, l_3, l_4$  أطوالها متساوية و طول كل منها  $(l/4)$  ،  
تستخدم خاصية التناظر للإقلال من عدد الجاهيل إذ يكفي بحل نصف الجائز اليساري . و تكون  
الانتقالات والقوى في النصف اليميني مكافئة لثلاثتها في النصف اليساري. يجب الانتباه هنا إلى  
الشروط الطرفية تقيم الانتقالات و الدورانات في العقدة (1) (الوثيقة) معدومة. أما في العقدة  
التي يمر بها محور التناظر (3) فالدوران فيها معدوم  $(\varphi_{3(3)} = 0)$  .



شكل م 1-5 : جائز موثوق من الطرفين (a) المحاور الإحداثية ،  
التقسيم إلى عناصر منتهية ، الحملات (b) استخدام خاصية التناظر

ينسب الجائز إلى جملة محاور إحداثية عامة. و ينسب كل عنصر إلى جملة محاور إحداثية خاصة به.  
و في هذه الحالة تكون الجملتان متطابقتان و مصفوفة التحويل تكون مكافئة للمصفوفة الواحدة.  
تشكل مصفوفة القساوة الخاصة بكل عنصر في الجملة الإحداثية الخاصة وفق العلاقة (5-137) و  
يشكل شعاع القوى المركزة على العقد المكافئ للحمولة الموزعة وفق العلاقة (5-138) و تجمع  
على كامل الجملة بعد نسبها إلى المحاور الإحداثية العامة فتشكل لدينا جملة المعادلات الخطية  
النهائية بعد معالجة الشروط الطرفية و هذه الجملة تتلخص في جملة المعادلات التالية :

$$\frac{64EI_2}{1} \begin{bmatrix} 24 & 0 & -12 \\ 0 & \frac{l^2}{12} & -\frac{6l}{4} \\ -12 & -\frac{6l}{4} & 12 \end{bmatrix} \cdot \begin{bmatrix} u_{2(2)}^0 \\ \varphi_{3(2)} \\ u_{2(3)}^0 \end{bmatrix} = \bar{p}^2 \frac{1}{8} \begin{bmatrix} 2 \\ 0 \\ 1 \end{bmatrix}$$

بحل هذه المعادلات نحصل على انتقالات العقد المجهولة:

$$\begin{bmatrix} u_{2(2)}^0 \\ \varphi_{3(2)} \\ u_{2(3)}^0 \end{bmatrix} = \begin{bmatrix} \frac{9}{16} \frac{\bar{p}^2 l^4}{384EI_3} \\ \frac{\bar{p}^2 l^3}{128EI_3} \\ \frac{\bar{p}^2 l^4}{384EI_3} \end{bmatrix}$$

حساب الانتقالات ضمن العناصر و قوى المقطع لنموذج الانتقالات.

العنصر  $e_1$  . يعطى التابع التقريبي للانتقالات ضمن العنصر  $e_1$  بالعلاقة :

$$u_2^0 = \left[ 1 - 3 \frac{(x^1)^2}{\left(\frac{l}{4}\right)^2} + 2 \frac{(x^1)^3}{\left(\frac{l}{4}\right)^3} \right] x^1 - 2 \frac{(x^1)^2}{\frac{l}{4}} + \frac{(x^1)^3}{\left(\frac{l}{4}\right)^2} \left[ 3 \frac{(x^1)^2}{\left(\frac{l}{4}\right)^2} - 2 \frac{(x^1)^3}{\left(\frac{l}{4}\right)^3} - \frac{(x^1)^2}{\frac{l}{4}} + \frac{(x^1)^3}{\left(\frac{l}{4}\right)^2} \right] \cdot \begin{bmatrix} 0 \\ 0 \\ \frac{9}{16} \frac{\bar{p}^2 l^4}{384EI_3} \\ \frac{\bar{p}^2 l^3}{128EI_3} \end{bmatrix}$$

$$= \frac{\bar{p}^2}{384EI_3} [15(x^1)^2 l^2 - 24(x^1)^3 l]$$

وبهذا التابع يمكن حساب الانتقالات في أي نقطة من العنصر  $e_1$  بتعويض إحداثي هذه النقطة  $x^1$

الذي يتحول من 0 إلى  $\frac{l}{4}$  . في العلاقة السابقة، يجري حساب قوى المقطع باستخدام علاقات

قوى المقطع-الانتقالات و عليه يكون تابع العزم  $M^3$  و تابع القوة القاسية  $Q^2$  مساويين لما يلي:

$$M^3 = -\frac{\bar{p}^2}{384} [30l^2 - 144(x^1)l]$$

$$Q^2 = \frac{\bar{p}^2}{384} \cdot 144l$$

و يجري حساب العزم  $M^3$  و القوة القاصة  $Q^2$  في أي نقطة بتعويض إحداثياتها  $x^1$  في التوابع السابقة و هي في العقدة (1) حيث  $x^1 = 0$  مساوية لـ:

$$M_{(1)}^3 = -0.078125 \cdot \bar{p}^2 l^2$$

$$Q_{(1)}^2 = 0.375 \cdot \bar{p}^2 l$$

و هي في العقدة (2) حيث  $x^1 = \frac{1}{4}$  مساوية لـ

$$M_{(2)}^3 = -0.015625 \cdot \bar{p}^2 l^2$$

$$Q_{(2)}^2 = 0.375 \cdot \bar{p}^2 l$$

العنصر  $e_2$  :

يعطى التابع التقريبي للانتقالات ضمن العنصر  $e_2$  بالعلاقة :

$$u_2^0 = \left[ 1 - 3 \frac{(x^1)^2}{l^2} + 2 \frac{(x^1)^3}{l^3} \quad x^1 - 2 \frac{(x^1)^2}{l} + \frac{(x^1)^3}{l^2} \quad 3 \frac{(x^1)^2}{l^2} - 2 \frac{(x^1)^3}{l^3} \quad -\frac{(x^1)^2}{l} + \frac{(x^1)^3}{l^2} \right] \begin{bmatrix} \frac{9}{16384} \frac{\bar{p}^2 l^4}{EI_3} \\ \frac{\bar{p}^2 l^3}{128 EI_3} \\ \frac{\bar{p}^2 l^4}{384 EI_3} \\ 0 \end{bmatrix}$$

$$= -\frac{\bar{p}^2}{384 EI_3} \left[ \frac{9}{16} l^4 + 3(x^1)l^3 - 3(x^1)^2 l^2 - 8(x^1)^3 l \right]$$

وعليه تكون توابع قوى المقطع :

$$M^3 = -\frac{\bar{p}^2}{384}[6l^2 - 48(x^1)l]$$

$$Q^2 = \frac{\bar{p}^2}{384} \cdot (48l)$$

و في العقدة (2) حيث  $x^1 = 0$  يكون :

$$M_{(2)}^3 = 0.015625 \cdot \bar{p}^2 l^2$$

$$Q_{(2)}^2 = 0.125 \cdot \bar{p}^2 l$$

و في العقدة (3) حيث  $x^1 = \frac{1}{4}$  يكون :

$$M_{(3)}^3 = 0.046875 \cdot \bar{p}^2 l^2$$

$$Q_{(3)}^2 = 0.125 \cdot \bar{p}^2 l$$

يلاحظ في هذا الحل أن قيم انتقالات العقد الناتجة مطابقة للحل الدقيق، أما بالنسبة لقيم العزوم فلا تتطابق مع الحل الدقيق، و الخطأ الناتج عن الحل بطريقة العناصر المنتهية-نموذج الانتقال يبلغ 6.25% من قيمة العزم عند عقدة الاستناد (1) و 25% من قيمة القوة القاصة عند العقدة نفسها. و يلاحظ أيضاً أن تابع القوة القاصة لا يتمتع بالاستمرارية؛ إذ أن حسابات القوة القاصة في العقدة (2) التي يشترك بها العنصران  $e_1, e_2$  مختلفة عن بعضها البعض عند حسابها من العنصر  $e_1$  و من العنصر  $e_2$ .

مثال 5-2: حل المثال السابق وفق التطبيق المجهين-نموذج الاجهادات:

فلنا أن جملة المعادلات الخطية للجائر في هذا التطبيق مطابقة تماماً لمثليتها في المثال السابق و بالتالي انتقالات العقد المجهولة مطابقة أيضاً للمثال السابق . بعد حساب المجاهيل في المحاور الإحداثية العامة يمكن الآن دراسة كل عنصر من عناصر الجائر .

العنصر  $e_1$  :

نحول أولاً انتقالات عقد العنصر  $e_1$  من المحاور الإحداثية العامة إلى المحاور الإحداثية الخاصة بالعنصر . بعد ذلك يمكن في مستوي العنصر حساب المجاهيل وفق العلاقة :

$$\beta_i = H_{ik} (-\bar{H}_i^k \cdot \bar{\beta}^1 + T^{kj} \cdot u_j)$$

و كل المصفوفات أو الأشعة الواردة في العلاقة السابقة مطورة في حالة عنصر اطارى فراغى و بالتالى فتعاصر هذه المصفوفات أو الأشعة لحالة إطار مستوي محتواة كلها في مثيلاتها من حالة العنصر الإطارى الفراغى، و على القارئ استخلاصها من حالة العنصر الإطارى الفراغى، أو تطويرها بنفسه للحالة المستوية بشكل شبيه لما ورد في الفقرة 5-5 . و يكفى الآن بإعطاء النتيجة.

$$\begin{bmatrix} \beta_3 \\ \beta_4 \end{bmatrix} = \frac{\bar{p}^2}{EI_3} \begin{bmatrix} \frac{1}{24} \left(\frac{1}{4}\right)^2 \\ -\frac{1}{12} \left(\frac{1}{4}\right) \end{bmatrix} + \begin{bmatrix} -\frac{3}{\left(\frac{1}{4}\right)^2} & -\frac{2}{\left(\frac{1}{4}\right)} & \frac{3}{\left(\frac{1}{4}\right)^2} & -\frac{1}{\left(\frac{1}{4}\right)} \\ \frac{2}{\left(\frac{1}{4}\right)^3} & \frac{1}{\left(\frac{1}{4}\right)^2} & -\frac{2}{\left(\frac{1}{4}\right)^3} & \frac{1}{\left(\frac{1}{4}\right)^2} \end{bmatrix} \begin{bmatrix} 0 \\ 0 \\ \frac{9}{16} \cdot \frac{1^4}{384} \\ \frac{1^3}{128} \end{bmatrix} \cdot \frac{\bar{p}^2}{EI_3}$$

$$= \frac{\bar{p}^2}{EI_3} \begin{bmatrix} \frac{1^2}{24} \\ -\frac{1}{12} \end{bmatrix}$$

و عليه يكون تابع العزم  $M^3$  مكافئاً لـ:

$$M^3 = EI_3 \begin{bmatrix} -2 & -6x^1 \end{bmatrix} \frac{\bar{p}^2}{EI_3} \begin{bmatrix} \frac{1^2}{24} \\ -\frac{1}{12} \end{bmatrix} + \begin{bmatrix} -\frac{(x^1)^2}{2} \end{bmatrix} \cdot \bar{p}^2$$

$$= \bar{p}^2 \left[ -\frac{1^2}{12} + \frac{(x^1) \cdot 1}{2} - \frac{(x^1)^2}{2} \right]$$

و تابع القوة القاصة  $Q^2$  :

$$Q^2 = \bar{p}^2 \left[ \frac{1}{2} - x^1 \right]$$

و قيمة هذه التوابع في العقدة (1) حيث  $x^1 = 0$  هي:



$$M_{(1)}^3 = -\bar{p}^2 \frac{l^2}{12}$$

$$Q_{(1)}^2 = \bar{p}^2 \frac{1}{2}$$

و في العقدة (2) حيث  $x^1 = \frac{1}{4}$

$$M_{(2)}^3 = -\bar{p}^2 \frac{l^2}{96}$$

$$Q_{(2)}^2 = \bar{p}^2 \frac{1}{2}$$

العنصر  $e_2$  :

في العنصر  $e_2$  لدينا :

$$\begin{aligned} \begin{bmatrix} \beta_3 \\ \beta_4 \end{bmatrix} &= \frac{\bar{p}^2}{EI_3} \begin{bmatrix} \frac{1}{24} \left(\frac{1}{4}\right)^2 \\ -\frac{1}{12} \left(\frac{1}{4}\right) \end{bmatrix} + \begin{bmatrix} -\frac{3}{\left(\frac{1}{4}\right)^2} & -\frac{2}{\left(\frac{1}{4}\right)} & \frac{3}{\left(\frac{1}{4}\right)^2} & -\frac{1}{\left(\frac{1}{4}\right)} \\ \frac{2}{\left(\frac{1}{4}\right)^3} & \frac{1}{\left(\frac{1}{4}\right)^2} & -\frac{2}{\left(\frac{1}{4}\right)^3} & \frac{1}{\left(\frac{1}{4}\right)^2} \end{bmatrix} \begin{bmatrix} \frac{9}{16} \frac{l^4}{384} \\ \frac{l^3}{128} \\ \frac{l^4}{384} \\ 0 \end{bmatrix} \cdot \frac{\bar{p}^2}{EI_3} \\ &= \frac{\bar{p}^2}{EI_3} \begin{bmatrix} -\frac{2l^2}{384} \\ \frac{16l^2}{384} \end{bmatrix} \end{aligned}$$

و عليه يكون تابع العزم  $M^3$  :

$$\begin{aligned} M^3 &= EI_3 \left[ -2 \quad -6x^1 \right] \frac{\bar{p}^2}{EI_3} \begin{bmatrix} -\frac{2l^2}{384} \\ \frac{16l^2}{384} \end{bmatrix} + \left[ -\frac{(x^1)^2}{2} \right] \cdot \bar{p}^2 \\ &= \bar{p}^2 \left[ -\frac{l^2}{96} + \frac{(x^1)l}{4} - \frac{(x^1)^2}{2} \right] \end{aligned}$$

و تابع القوة القاصة :

$$Q^2 = \bar{p}^2 \left[ \frac{1}{4} - x^1 \right]$$

و قوى المقطع في العقدة (2) حيث  $x^1 = 0$  :

$$M_{(2)}^3 = -\bar{p}^2 \frac{l^2}{96}$$

$$Q_{(2)}^2 = \bar{p}^2 \frac{1}{4}$$

و في العقدة (3) حيث  $x^1 = \frac{1}{4}$  :

$$M_{(3)}^3 = -\bar{p}^2 \frac{l^2}{24}$$

$$Q_{(3)}^2 = 0$$

يلاحظ في هذا الحل أن قيم انتقالات العقد مطابقة للحل الدقيق. كما أن تابعي قوى المقطع للعزم والقوة القاصة يتمتعان بالاستمرارية و مطابقان للحل الدقيق و هذا يرجع إلى حسن اختيار التوابع التقريبية لقوى المقطع. و القارئ المنتبه سوف يلاحظ أن توابع قوى المقطع مشتقة أصلاً من توابع انتقالات تقريبية تحقق المعادلات التفاضلية للمسألة ضمن العنصر المنتهي .

**مثال 3-5:** الحل باستخدام التطبيق المقترح لنموذج الانتقالات مع اعتبار الحمولة:

في التطبيق المقترح تبقى جملة المعادلات الخطية النهائية مطابقة تماماً للمثالين السابقين و يختلف تابع الانتقالات التقريبي ضمن العنصر عن نظيره في التطبيق التقليدي لنموذج الانتقالات بوجود الحد غير المتجانس المتعلق بالحمولة. ننتقل الآن إلى حساب الانتقالات ضمن العناصر المنتهية و قوى المقطع فيها.

العنصر  $e_1$  :

يعطى الآن التابع التقريبي للانتقالات بالشكل:

$$u_2^0 = \begin{bmatrix} 1 - 3\frac{(x^1)^2}{(\frac{1}{4})^2} + 2\frac{(x^1)^3}{(\frac{1}{4})^3} & x^1 - 2\frac{(x^1)^2}{\frac{1}{4}} + \frac{(x^1)^3}{(\frac{1}{4})^2} & 3\frac{(x^1)^2}{(\frac{1}{4})^2} - 2\frac{(x^1)^3}{(\frac{1}{4})^3} - \frac{(x^1)^2}{\frac{1}{4}} + \frac{(x^1)^3}{(\frac{1}{4})^2} \end{bmatrix} \cdot \begin{bmatrix} 0 \\ 0 \\ \frac{9}{16} \frac{\bar{p}^2 l^4}{384EI_3} \\ \frac{\bar{p}^2 l^3}{128EI_3} \end{bmatrix} + \frac{\bar{p}^2}{EI_3} \begin{bmatrix} \frac{(\frac{1}{4})^2 (x^1)^2}{24} - \frac{\frac{1}{4} (x^1)^3}{12} + \frac{(x^1)^4}{24} \end{bmatrix} = \frac{\bar{p}^2}{EI_3} \begin{bmatrix} \frac{l^2 (x^1)^2}{24} - \frac{l (x^1)^3}{12} + \frac{(x^1)^4}{24} \end{bmatrix}$$

و عليه تكون توابع قوى المقطع :

$$M^3 = \bar{p}^2 \left[ -\frac{l^2}{12} + \frac{l(x^1)}{2} - \frac{(x^1)^2}{2} \right]$$

$$Q^2 = \bar{p}^2 \left[ \frac{l}{2} - x^1 \right]$$

و في العقدة (1) حيث  $x^1 = 0$  يكون :

$$M_{(1)}^3 = -\bar{p}^2 \frac{l^2}{12}$$

$$Q_{(1)}^2 = \bar{p}^2 \frac{l}{2}$$

و في العقدة (2) حيث  $x^1 = \frac{l}{4}$  يكون :

$$M_{(2)}^3 = -\bar{p}^2 \frac{l^2}{96}$$

$$Q_{(2)}^2 = \bar{p}^2 \frac{l}{4}$$

العنصر  $e_2$  :

في العنصر  $e_2$  لدينا :

$$u_2^0 = \left[ 1 - 3 \frac{(x^1)^2}{\left(\frac{1}{4}\right)^2} + 2 \frac{(x^1)^3}{\left(\frac{1}{4}\right)^3} \quad x^1 - 2 \frac{(x^1)^2}{\frac{1}{4}} + \frac{(x^1)^3}{\left(\frac{1}{4}\right)^2} \quad 3 \frac{(x^1)^2}{\left(\frac{1}{4}\right)^2} - 2 \frac{(x^1)^3}{\left(\frac{1}{4}\right)^3} - \frac{(x^1)^2}{\frac{1}{4}} + \frac{(x^1)^3}{\left(\frac{1}{4}\right)^2} \right]$$

$$\begin{bmatrix} \frac{9 \bar{p}^4}{16384 E I_3} \\ \frac{\bar{p}^3}{128 E I_3} \\ \frac{\bar{p}^2}{384 E I_3} \\ 0 \end{bmatrix} + \frac{\bar{p}^2}{E I_3} \left[ \frac{\left(\frac{1}{4}\right)^2 (x^1)^2}{24} - \frac{\frac{1}{4} (x^1)^3}{12} + \frac{(x^1)^4}{24} \right]$$

$$= \frac{\bar{p}^2}{E I_3} \left[ \frac{9}{16384} I^4 + \frac{3^3 (x^1)}{384} - \frac{I^2 (x^1)^2}{192} - \frac{l (x^1)^3}{24} + \frac{(x^1)^4}{24} \right]$$

و بالتالي تكون توابع قوى المقطع :

$$M^3 = \bar{p}^2 \left[ -\frac{l^2}{96} + \frac{l(x^1)}{4} - \frac{(x^1)^2}{2} \right]$$

$$Q^2 = \bar{p}^2 \left[ \frac{1}{4} - x^1 \right]$$

و قوى المقطع في العقدة (2) حيث  $x^1 = 0$  يكون :

$$M_{(2)}^3 = -\bar{p}^2 \frac{l^2}{96}$$

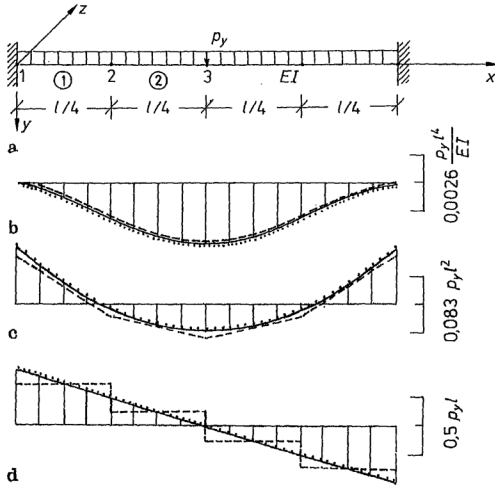
$$Q_{(2)}^2 = \bar{p}^2 \frac{1}{4}$$

و في العقدة (3) حيث  $x^1 = \frac{1}{4}$  يكون :

$$M_{(3)}^3 = \bar{p}^2 \frac{l^2}{24}$$

$$Q_{(3)}^2 = 0$$

و يلاحظ في هذا الحل أن الانتقالات بالإضافة إلى قوى المقطع تتطابق مع الحل الدقيق . و الحلول الثلاثة ممثلة إلى جانب الحل الدقيق في الشكل (م-2-5)



شكل 2-5م: جاذز بسيط موثوق من الطرفين تحت تأثير حمولة مخطية موزعة بانتظام

الخط المستمر : الحل الدقيق

الخط المتقطع : الحل باستخدام نموذج الانتقالات

الخط المنقط : الحل باستخدام النموذج المجهن ، والنموذج المقترح للانتقالات المتعلقة بالحمولات

المصادر العلمية المستخدمة:

1.Mueller,H. ; Jaeger, W.

Stabtragwerke (STATRA) Programmsystem ; Beitrage (4) ,  
Berechnung des Schnittkraft-und Verschiebungszustandes nach  
Elastizitaetstheorie I. und II.Ordnung sowie lineasierte  
Stabilitaetsuntersuchung raeumlicher Stabtragwerke , Baustein 8 des  
Programmsystems STATRA , Grundlagen und Beispiele , Bauforschung  
Baupraxis ,  
Bauinformation der DDR , Berlin 1982, H. 95

2.Mueller,H. ; Graf, W.

Stabtragwerke (STATRA) Programmsystem ; Beitrage (6) , lineare  
Kinetik von Stabtragwerken , Bausteine 4 und 7 des Programmsystems  
STATRA , Grundlagen und Beispiele , Bauforschung Baupraxis ,  
Bauinformation der DDR , Berlin 1984, H. 139

3..Tong , P. ; Mau ,S. T. ; Pian, T. H. H.

Derivation of geometric stiffness and mass matrices for finite element  
hybrid models, Int. J. Solids Structures , Vol 1-10, p. 919-932, Pergamon  
Press., England ,1974

4. Pian , T. H. H.

Element stiffness-matrices for boundary compatibility and for prescribed  
boundary stresses . in : Matrix Method 2 , Session 3, Finite element  
properties, Proceedings of conference on matrix methods in structural  
mechanics , held 26-28, Wright-Patterson AFE, Ohio, 1965.

5. Walder, U.

Beitrag zur Berchnung von Flaechentragwerken nach der Methode der  
Finiten Elemente, Institut fuer Baustatik und Konstruktion, ETH Zuerich,  
Bericht Nr. 77 ,1977.

6. Olson , D. M.

The mixed finite element method in elasticity and elastic contact problems , in: Hybrid and mixed finite element method , edited by S. N. Atluri, R. H. Gallagher and O. C. Zienkiewicz, John Wiley & Sons, Chichester 1983, P. 19-47.

7. Wunderlich, W.

Mixed models for plates and shells, principles-elements-examples, in: Hybrid and mixed finite element method , edited by S. N. Atluri, R. H.

Gallagher and O. C.

Zienkiewicz, John Wiley & Sons, Chichester , Singapore, 1983, P. 215-239.

8. Abo Diab, S.

Entwicklung und Einsatz hybrider finiter Elemente fuer Aufgaben der linearen Statik und Kinetik von Stabtragwerkren kompakte gerade Staebe , Bauingenieur 66, P. 437-440 , Springer-Verlag, 1991.

9. Jerousek, J. ; Guex, L.

The hybrid Trefftz finite element model and its application to plate bending, Int. J. Num. Meth. Eng. , Vol. 13, P. 651-93, 1986.

10. Kolar, V. ; Kratochvil, J.; Leitner, F.; Zinesek, A.

Berechnung von Flaechen- und Raumtragwerken nach der Methode der finiten Elemente, Springer-Verlag , Wien New-York, 1975.

11. Klingmueller, O. ; Lawo, M. ; Thierauf, G.

Stabtragwerke , Matrizen Methoden der Statik und Dynamik , Teil 1 und 2 , Vieweg, Braunschweig, 1983.

12. Szilard, R.

Finite Berchnungsmethoden der Struktur Mechanik, Stabwerke Band 1, Verlag Ernst & Sohn , Berlin (W.), Muenchen, 1982.

13. Szilard, R.; Ziesing, D.; Pickhardt, S.

Basic-Programme fuer Baumechanik , Stabwerke Band 1, Verlag Ernst & Sohn , Berlin (W.), Muenchen, 1986.

14. Bathe, K.-J.

Finite-Element-Methoden, Springer-Verlag, Berlin/Heidelberg/New York/Tokyo,1986

]

15. Abo Diab, S.

Direkte Zuordnung des Verschiebungs-und Schnittkraftzustands zum Belastungszustand bei Finite Elemente Displacementsmethode. In: Festschrift o. Prof. Dr.-Ing. Habil. H. Mueller 65. Jahre ehemalige Doktoranden gratulieren Technische Universitaet Dresden, 1994.

16. Abo Diab ,S.

DE-Variational Formulation and FEM Solution, Int. J. Num. Meth . Eng.,1992 (not published),Paper Nr.2130.

17. Abo Diab ,S.

Differential equation variational formulation for plate bending, Int. J. Num. Meth . Eng.,1992 (not published),Paper Nr.2198.

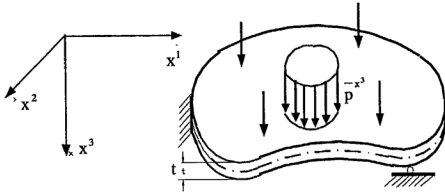
18. Schiefner, R.

Geometrisch und physikalisch nichtlineare Statik räumlich wirkender Stäbe und Stabtragwerke aus homogenen Werkstoff bei kontinuierlicher Plastizierung- Ein Beitrag zum Programmsystem STATRA-FEM ,TU Dresden, Diss. B,1988.



## 6-عناصر منتهية لحل البلاطات الرقيقة

البلاطات الرقيقة هي منشآت مستوية ينحصر حجمها بين مستويين متوازيين البعد بينهما والذي هو سماكة البلاطة أصغر بعشرين مرة على الأقل من أصغر بعد لها. وعلى هذا الأساس يمكن الاستغناء عن دراسة البلاطة في الفراغ الثلاثي الأبعاد والاكتفاء بدراستها في مستوى وسطي يمثل لمستوي البلاطة (المستوي المحدد بالخط المحوري) شكل (6-1) ويفترض أيضاً في طبيعة البلاطة أن تطبق الحمولات الخارجية عليها في مستويات عمودية على مستوى البلاطة. تخضع النظرية الكلاسيكية لدراسة البلاطات الرقيقة إلى جملة فرضيات تسهيلية توجز بما يلي :



شكل 6-1: بلاطة مستوية، المحاور الإحداثية، الحمولات، طبيعة الاستناد، المستوى الوسطي

1. إن انتقالات نقاط المستوي الوسطي للبلاطة صغيرة بالنسبة لسماكة البلاطة. بعد التشوه تشكل نقاط هذا المستوي سطحاً وسطياً يفترض أن تكون ميله صغيرة وبالتالي يمكن اعتبار مربع هذا الميل صغير جداً بالنسبة للواحد .
2. يفترض أن لا يحصل في السطح الوسطي للبلاطة تشوهات ، وهذا السطح الوسطي يسمى السطح المحايد للبلاطة.

3. تعتبر نظريات كيرشوف - لوف Kirchhoff - Love سارية المفعول . وهي تقتضي بأن تبقى المقاطع المستوية العمودية على السطح الوسطي قبل الانتقال مستوية وعمودية على السطح الوسطي بعد حصول الانتقال ، و هذه الفرضية مقابلة لميلتها التي افترضت أثناء دراسة الإطارات . يمكن اعتبار الاجهادات الناعمة على مستوى البلاطة صغيرة مقارنة بالاجهادات الأخرى الحاصلة ولذلك يمكن إهمالها .

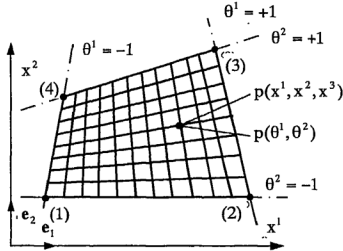
جرت العادة أن تتم دراسة البلاطات ذات الأشكال الهندسية البسيطة والمنظمة في المستوي الديكارتي وتعتقد هذه الدراسة بتعدد الأشكال الهندسية للبلاطة أو كما يقال في حال وجود طوبولوجية هندسية معقدة . و يلجأ عندها عادةً إلى استخدام ما يسمى بالإحداثيات الطبيعية . وباعتبار أن استخدام الإحداثيات الطبيعية ساري المفعول أيضا على الأشكال الهندسية البسيطة لذلك يفضل هنا منذ البداية استخدام الإحداثيات الطبيعية ولهذا لابد من البدء بالتعرف على هذه الإحداثيات وإثبات علاقات التحويل بينها وبين الإحداثيات الديكارتية . والفقرة التالية ستعرفنا ببعض المصطلحات اللازمة لتحقيق مثل هذا الغرض .

## 6-1- استخدام النواع التقريبية في التحويل بين الإحداثيات الطبيعية (المنحنية) والديكارتية

### 6-1-1- الإحداثيات الطبيعية (المنحنية) واختيار النواع التقريبية

من الإحداثيات المنحنية المعروفة والمستخدم بكثرة يمكن أن نذكر الإحداثيات الكروية و الإحداثيات الأسطوانية . يتم تحديد نقطة ما من قشرة كروية أو قشرة أسطوانية تحديدا تاما بمعرفة إحداثياتها الكروية أو إحداثياتها الأسطوانية و هناك علاقة تحليلية دقيقة تربط بين الإحداثيات الديكارتية من جهة وكل من الإحداثيات الأسطوانية والكروية من جهة أخرى . وباستخدام هذه العلاقات التحليلية يمكن الانتقال إلى الإحداثيات الديكارتية بسهولة . في بعض أنواع الإحداثيات الطبيعية لا توجد هناك علاقات تحليلية دقيقة تربط بين الإحداثيات الطبيعية و الإحداثيات الديكارتية و لذلك يلجأ إلى استخدام النواع التقريبية لإيجاد مثل هذه العلاقات . لنقتطع الآن من

البلاطة المبينة في الشكل (1-6) عنصراً على شكل شبه منحرف شكل (2-6)، رؤوسه ممثلة بالعقد (1)، (2)، (3)، (4)، ومنسوب إلى جملة الإحداثيات الديكارتية  $x^1, x^2$  بأشعتها الواحدية  $e_1, e_2$ . شبه المنحرف هذا معين تماماً بإحداثيات رؤوسه والتي هي على التوالي:

$$(x^1_{(1)}, x^2_{(1)}), (x^1_{(2)}, x^2_{(2)}), (x^1_{(3)}, x^2_{(3)}), (x^1_{(4)}, x^2_{(4)})$$


شكل (2-6): الإحداثيات الطبيعية لشبه المنحرف

لنعتبر الآن الإحداثيات الطبيعية  $(\theta^1, \theta^2)$  بحيث يكون الأحداثي الطبيعي  $\theta^1$  على طول حريف شبه المنحرف (1)(2) ثابتاً ويساوي 1 وعلى الحريف المقابل ثابتاً أيضاً ويساوي 1، و الإحداثي الطبيعي  $\theta^2$  على طول الحريف (1)(4) ثابتاً ويساوي أيضاً 1 وعلى الحريف المقابل له (2)(3) مساوياً 1. وبالتالي يمكن رسم شبكة من الخطوط (في الحالة العامة غير متوازية) إحداثياتها الطبيعية  $(\theta^1, \theta^2)$  تتحول بين القيمتين 1، -1. ويمكن تعيين أي نقطة P من شبه المنحرف باعتبارها نقطة تقاطع خطين مستقيمين الأول منهما فيه  $\theta^1$  ثابتة و  $\theta^2$  تتحول بين القيمتين 1، -1، والثاني فيه  $\theta^2$  ثابتة و قيمة  $\theta^1$  تتحول بين القيمتين 1، -1، أو باختصار بالإحداثيات الطبيعية  $p(\theta^1, \theta^2)$  وبالتالي تكون لرؤوس شبه المنحرف على التوالي الإحداثيات الطبيعية (1)(-1، -1)، (2)(1، -1)، (3)(1، 1)، (4)(-1، 1).

لنفرض أن النقطة P معينة أيضا بأحداثها الديكارتية  $p(x^1, x^2)$ . علينا الآن إيجاد علاقة تقريبية تربط بين الإحداثيات الطبيعية والإحداثيات الديكارتية . لهذا الغرض نفرض أننا نستطيع حساب الإحداثيات الديكارتية بالتوابع التقريبية التالية :

$$\begin{aligned} x^1 &= \begin{bmatrix} 1 & \theta^1 & \theta^2 & \theta^1 \theta^2 \end{bmatrix} \begin{bmatrix} c_1^1 \\ c_2^1 \\ c_3^1 \\ c_4^1 \end{bmatrix} \\ x^2 &= \begin{bmatrix} 1 & \theta^1 & \theta^2 & \theta^1 \theta^2 \end{bmatrix} \begin{bmatrix} c_1^2 \\ c_2^2 \\ c_3^2 \\ c_4^2 \end{bmatrix} \\ x^i &= \theta^\alpha c_\alpha^i \end{aligned} \quad (6.1)$$

حيث  $c_\alpha^i$  ثوابت اختيارية ليس لها إلى الآن أي صيغة هندسية ويجب تعيينها .  
 $\theta^\alpha$  التابع التقريبي في  $\theta^1, \theta^2$  هذا الاختيار شبيه بما ورد في طريقة العناصر المنتهية ويجب أن يكون عدد الثوابت الاختيارية بحيث يمكن تحديدها. لتعيين هذه الثوابت الاختيارية نستخدم المحاكمة المنطقية التالية : إذا كانت هذه التوابع يمكننا فعلاً من حساب الإحداثيات الديكارتية لنقطة ما إذا ما علمت إحداثياتها الطبيعية فإن تعويض الإحداثيات الطبيعية لرؤوس شبه المنحرف في هذه العلاقات يجب أن يعطي الإحداثيات الديكارتية لهذه الرؤوس وبالتالي يكون :

$$\begin{bmatrix} x_{(1)}^1 \\ x_{(2)}^1 \\ x_{(3)}^1 \\ x_{(4)}^1 \end{bmatrix} = \begin{bmatrix} 1 & -1 & -1 & 1 \\ 1 & 1 & -1 & -1 \\ 1 & 1 & 1 & 1 \\ 1 & -1 & 1 & -1 \end{bmatrix} \begin{bmatrix} c_1^1 \\ c_2^1 \\ c_3^1 \\ c_4^1 \end{bmatrix}$$

$$\begin{bmatrix} x_{(1)}^2 \\ x_{(2)}^2 \\ x_{(3)}^2 \\ x_{(4)}^2 \end{bmatrix} = \begin{bmatrix} 1 & -1 & -1 & 1 \\ 1 & 1 & -1 & -1 \\ 1 & 1 & 1 & 1 \\ 1 & -1 & 1 & -1 \end{bmatrix} \begin{bmatrix} c_1^2 \\ c_2^2 \\ c_3^2 \\ c_4^2 \end{bmatrix}$$

$$x_{(k)}^i = \bar{\theta}^{\alpha}_{k} c^i_{\alpha}; (k)=(1),(2),(3),(4)$$

(6-2)

والمعادلات السابقة تمكنا من تحديد الثوابت الاختيارية بدلالة الإحداثيات الديكارتية لرؤوس شبة المنحرف . بعد حل هذه المعادلات نحصل على :

$$\begin{bmatrix} c_1^1 \\ c_2^1 \\ c_3^1 \\ c_4^1 \end{bmatrix} = \frac{1}{4} \begin{bmatrix} 1 & 1 & 1 & 1 \\ -1 & 1 & 1 & -1 \\ -1 & -1 & 1 & 1 \\ 1 & -1 & 1 & -1 \end{bmatrix} \begin{bmatrix} x_{(1)}^1 \\ x_{(2)}^1 \\ x_{(3)}^1 \\ x_{(4)}^1 \end{bmatrix}$$

$$\begin{bmatrix} c_1^2 \\ c_2^2 \\ c_3^2 \\ c_4^2 \end{bmatrix} = \frac{1}{4} \begin{bmatrix} 1 & 1 & 1 & 1 \\ -1 & 1 & 1 & -1 \\ -1 & -1 & 1 & 1 \\ 1 & -1 & 1 & -1 \end{bmatrix} \begin{bmatrix} x_{(1)}^2 \\ x_{(2)}^2 \\ x_{(3)}^2 \\ x_{(4)}^2 \end{bmatrix}$$

$$c^i_{\alpha} = \hat{\theta}^{(k)}_{\alpha} x^i_k$$

(6.3)

وبتعويض هذه العلاقات في العلاقات (6-1) نحصل على العلاقات المرغوبة التي تربط بين الإحداثيات الطبيعية لنقطة ما لا على التعيين والإحداثيات الديكارتية وهذه العلاقات هي:

$$x^i = \theta^{\alpha} \hat{\theta}^{(k)}_{\alpha} x^i_k = \Omega^{(k)} x^i_k \quad (6.4)$$

حيث  $\Omega(K)$  هي توابع الشكل.

تتألف العلاقات (6-4) مفصلة من معادلتين هما :

$$x^1 = \begin{bmatrix} \Omega^{(1)} & \Omega^{(2)} & \Omega^{(3)} & \Omega^{(4)} \end{bmatrix} \begin{bmatrix} x^{1(1)} \\ x^{1(2)} \\ x^{1(3)} \\ x^{1(4)} \end{bmatrix} \quad (6.5)$$

$$x^2 = \begin{bmatrix} \Omega^{(1)} & \Omega^{(2)} & \Omega^{(3)} & \Omega^{(4)} \end{bmatrix} \begin{bmatrix} x^{2(1)} \\ x^{2(2)} \\ x^{2(3)} \\ x^{2(4)} \end{bmatrix}$$

حيث :

$$\begin{aligned} \Omega^{(1)} &= \frac{1}{4}(1-\theta^1)(1-\theta^2) & \Omega^{(2)} &= \frac{1}{4}(1+\theta^1)(1-\theta^2) \\ \Omega^{(3)} &= \frac{1}{4}(1+\theta^1)(1+\theta^2) & \Omega^{(4)} &= \frac{1}{4}(1-\theta^1)(1+\theta^2) \end{aligned} \quad (6.6)$$

هي توابيع الشكل الآتية الذكر.

## 6-1-2 شعاع المكان لنقطة ما لا على التعيين من شبه المنحرف

يعطى شعاع المكان لنقطة ما لا على التعيين  $P(x^1, x^2)$  في الإحداثيات الديكارتية بالعلاقة :

$$r = x^1 e_1 + x^2 e_2 + x^3 e_3 \quad (6.7)$$

وبالتالي يمكن حساب شعاع المكان لأي نقطة من شبه المنحرف إذا ما أعطيت الإحداثيات الديكارتية لهذه النقطة . و في الحالة التي تعطي فيها الإحداثيات الطبيعية لهذه النقطة و الإحداثيات الديكارتية لرؤوس شبه المنحرف يمكن حساب شعاع المكان بالعلاقة :

$$r = \Omega^{(k)} x^{i(k)} e_i \quad (6.8)$$

و ذلك بعد ملاحظة العلاقة (6.4) . و باعتبار  $\mathbf{r}_{(k)}$  أشعة المكان لرؤوس شبة المنحرف نجد أن:

$$\mathbf{r}_{(k)} = x^i_{(k)} \mathbf{e}_i \quad (6.9)$$

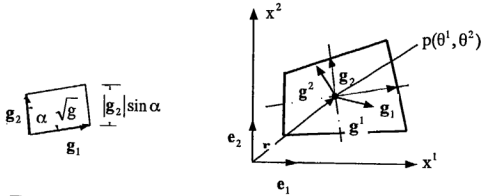
و بالتالي يمكن كتابة العلاقة (6.8) بالشكل:

$$\mathbf{r} = \Omega^{(k)} \mathbf{r}_{(k)} \quad (6.10)$$

أي أنه يمكن إيجاد شعاع المكان لنقطة ما لا على التعيين من شبة المنحرف بمعرفة الاحداثيات الطبيعية لهذه النقطة و الاحداثيات الديكارتية لرؤوسه .

### 6-1-3- أشعة القاعدة الأساسية :

تسمى الأشعة غير الواحدة المماسة للخطوط الاحداثية الطبيعية في نقطة ما  $P(\theta^1, \theta^2)$  بأشعة القاعدة الأساسية . و الشعاع  $\mathbf{g}_1$  المماس للخط الاحداثي الطبيعي  $\theta^1$  و الذي عليه  $(\theta^2 = \text{const})$  هو المشتق الجزئي لشعاع المكان بالنسبة للاحداثي  $\theta^1$  ، و الشعاع  $\mathbf{g}_2$  المماس للخط الاحداثي الطبيعي  $\theta^2$  و الذي عليه  $(\theta^1 = \text{const})$  هو المشتق الجزئي لشعاع المكان بالنسبة للاحداثي  $\theta^2$  شكل (6.3).



شكل (6.3): أشعة القاعدة الأساسية وأشعة

القاعدة الضدية في نقطة ما لا على التعيين

شكل 4-6 : العنصر المساحي  $\sqrt{g}$

و التعبير الرياضي عن هذا التعريف هو .:

$$\begin{aligned} \mathbf{g}_1 &= \frac{\partial \mathbf{r}}{\partial \theta^1} = \mathbf{r}_{,1} \\ \mathbf{g}_2 &= \frac{\partial \mathbf{r}}{\partial \theta^2} = \mathbf{r}_{,2} \end{aligned} \quad (6.11)$$

هاتان العلاقتان يمكن تجميعهما بالعلاقة الوحيدة التالية :

$$\mathbf{g}_\alpha = \frac{\partial \mathbf{r}}{\partial \theta^\alpha} = \mathbf{r}_{,\alpha} \quad (6.12)$$

و القرينة  $\alpha$  تتحول على الاحداثيات الطبيعية في الأسفل و عادة نختار الأحرف اليونانية كقرائن تتحول على الاحداثيات الطبيعية و الأحرف اللاتينية كقرائن تتحول على الاحداثيات الديكارتية . و الحساب التفصيلي لهذه الأشعة يتم بتعويض العلاقة (6.10) في العلاقة (6.12) و من ثم تعويض العلاقة (6.9) في العلاقة الناتجة فنحصل على :

$$\mathbf{g}_\alpha = \Omega^{(k),\alpha} \quad \mathbf{r}(k) = \Omega^{(k)}_{,\alpha} X^i(k) \mathbf{e}_i = g^i_{\alpha} \mathbf{e}_i \quad (6.13)$$

و مركبات هذه الأشعة في اتجاه المحورين الاحداثيين الديكارتين هي :

$$g^i_{\alpha} = \Omega^{(k)}_{,\alpha} \quad r^i(k) \quad (6.14)$$

و بما أن  $(k)$  تتحول على العقد (4), (3), (2), (1) و  $\alpha$  هي المشتق بالنسبة للإحداثيات الطبيعية  $\theta^1, \theta^2$  على التوالي فالتوابع  $\Omega^{(k),\alpha}$  تتألف من ثمانية توابع هي :

$$\begin{aligned} \Omega^{(1)}_{,1} &= -\frac{1}{4}(1-\theta^2) \quad ; \quad \Omega^{(1)}_{,2} = -\frac{1}{4}(1-\theta^1) \\ \Omega^{(2)}_{,1} &= \frac{1}{4}(1-\theta^2) \quad ; \quad \Omega^{(2)}_{,2} = -\frac{1}{4}(1+\theta^1) \\ \Omega^{(3)}_{,1} &= \frac{1}{4}(1+\theta^2) \quad ; \quad \Omega^{(3)}_{,2} = \frac{1}{4}(1+\theta^1) \\ \Omega^{(4)}_{,1} &= -\frac{1}{4}(1+\theta^2) \quad ; \quad \Omega^{(4)}_{,2} = \frac{1}{4}(1-\theta^1) \end{aligned} \quad (6.15)$$

ومفكوك العلاقة (6-13) يتمثل في:



$$\mathbf{g}_1 = (\Omega^{(1)}_{,1} X^1_{(1)} + \Omega^{(2)}_{,1} X^1_{(2)} + \Omega^{(3)}_{,1} X^1_{(3)} + \Omega^{(4)}_{,1} X^1_{(4)}) \mathbf{e}_1 + (\Omega^{(1)}_{,1} X^2_{(1)} + \Omega^{(2)}_{,1} X^2_{(2)} + \Omega^{(3)}_{,1} X^2_{(3)} + \Omega^{(4)}_{,1} X^2_{(4)}) \mathbf{e}_2$$

$$\mathbf{g}_2 = (\Omega^{(1)}_{,2} X^1_{(1)} + \Omega^{(2)}_{,2} X^1_{(2)} + \Omega^{(3)}_{,2} X^1_{(3)} + \Omega^{(4)}_{,2} X^1_{(4)}) \mathbf{e}_1 + (\Omega^{(1)}_{,2} X^2_{(1)} + \Omega^{(2)}_{,2} X^2_{(2)} + \Omega^{(3)}_{,2} X^2_{(3)} + \Omega^{(4)}_{,2} X^2_{(4)}) \mathbf{e}_2 \quad (6-16)$$

و من هذه العلاقات التفصيلية يمكن استنتاج مركبات أشعة القاعدة الأساسية المثلثة بشكل مختصر في العلاقة (6.14). إذاً يمكن أن نحسب في كل نقطة من شبة المنحرف عدد برؤوسه الأربعة في الإحداثيات الديكارتية أشعة القاعدة الأساسية إذا ما أعطيت بالإضافة إلى الإحداثيات الديكارتية للرؤوس الأربعة الإحداثيات الطبيعية لهذه النقطة . و هذه الأشعة تتغير في الحالة العامة شداتها و اتجاهاتها من نقطة إلى أخرى و بالتالي أصبح لدينا في كل نقطة جملة أشعة قاعدة أساسية بمقدورنا تعيينها و لذلك نستطيع أن ننسب قيم التأثيرات الإنشائية في النقطة نفسها إلى تلك الجملة بشكل مماثل لنسبها إلى جملة الأشعة الواحدة الديكارتية مع الفارق أن أطوال الأشعة القاعدية الأساسية غير واحدة ، و أن اتجاهاتها متغيرة من نقطة إلى أخرى .

#### 6-1-4. المعاملات المترية الأساسية

تسمى الجداءات السلمية لأشعة القاعدة الأساسية ببعضها البعض بالمعاملات المترية الأساسية و يرمز لها بالرمز  $g_{\alpha\beta}$  و يعبر عنها بالشكل :

$$g_{\alpha\beta} = \mathbf{g}_\alpha \cdot \mathbf{g}_\beta = g^i_\alpha \mathbf{e}_i g^j_\beta \mathbf{e}_j = g^i_\alpha g^j_\beta \delta_{ij} \quad (6.17)$$

حيث  $\delta$  كرونكر دلتا المعروف في الفصل الأول . و باعتبار أن الجداء السلمي عملية تبديلية فالمصفوفة المثلثة للمعاملات المترية الأساسية مصفوفة متناظرة و سنرى أنه بواسطة المعاملات المترية الأساسية سيتم خفض قرينة متحولة على الإحداثيات الطبيعية كما هو الحال في استخدام موتر كرونكر  $\delta_{ij}$  لخفض قرينة تتحول على الإحداثيات الديكارتية.

## 6-1-5. العنصر المساحي

يسمى جذر قيمة معين مصفوفة المعاملات المترية الأساسية بالعنصر المساحي و يرمز له  $\sqrt{g}$  حيث :

$$g = \det(g_{\alpha\beta}) = \det \begin{pmatrix} g_{11} & g_{12} \\ g_{21} & g_{22} \end{pmatrix} = g_{11}g_{22} - g_{12}g_{21} \quad (6.18)$$

و تسمية جذر هذه القيمة بالعنصر المساحي عائد إلى الخواص الهندسية لهذه القيمة. فلنفترض أن  $\alpha$  هي الزاوية بين شعاعي القاعدة الأساسية فمربع مساحة متوازي الأضلاع المنشأ على هذين الشعاعين هي :

$$\begin{aligned} A^2 &= |g_1|^2 |g_2|^2 \sin^2 \alpha \\ A^2 &= |g_1|^2 |g_2|^2 (1 - \cos^2 \alpha) \\ A^2 &= |g_1|^2 |g_2|^2 - |g_1|^2 |g_2|^2 \cos^2 \alpha \end{aligned} \quad (6.19)$$

و هذه القيمة مكافئة تماماً للقيمة  $g$  الواردة في العلاقة (6.18) و الجذر التربيعي للقيمة  $g$  مسلو للمساحة المنشأة على شعاعي القاعدة الأساسية .

## 6-1-6. المعاملات المترية الضدية

المعاملات المترية الضدية هي مقلوب المعاملات المترية الأساسية و يرمز لها  $g^{\alpha\beta}$  حيث تكتب قرائنها في الأعلى . و بالتالي فجاء المعاملات المترية الضدية في المعاملات المترية الأساسية يساوي إلى موتره كرونيكر .

$$g^{\alpha\beta} g_{\beta\gamma} = \delta_{\alpha}^{\gamma} \quad (6.20)$$

و بواسطة المعاملات المترية الضدية سيتم رفع قرينة متحولة على الإحداثيات الطبيعية كما هو الحال في استخدام موتره كرونيكر  $\delta^{\alpha\beta}$  لرفع قرينة متحولة على الإحداثيات الديكارتية .

## 6-1-7. أشعة القاعدة الضدية

يرمز لأشعة القاعدة الضدية بالرمز  $g^\alpha$  و قرينتها تكتب في الأعلى و تعرف بأنها تلك الأشعة التي ترتبط مع أشعة القاعدة الأساسية بالعلاقة:

$$g^\alpha g_\gamma = \delta^\alpha_\gamma \quad (6.21)$$

في حالتنا المدروسة هذه لدينا جملة قاعدة ضدية مؤلفة من شعاعين وضعهما بالنسبة لأشعة القاعدة الأساسية ينتج مباشرة من التعريف (6.21) إذ أن مفكوك هذه العلاقة هو :

$$\begin{aligned} g^1 \cdot g_1 &= 1 \\ g^2 \cdot g_1 &= 0 \\ g^1 \cdot g_2 &= 0 \\ g^2 \cdot g_2 &= 1 \end{aligned} \quad (6.22)$$

و بالتالي فالشعاع  $g^1$  عمودي على الشعاع  $g_2$  و الشعاع  $g^2$  عمودي على الشعاع  $g_1$  و هما مثالان إلى جانب أشعة القاعدة الأساسية في الشكل 6-3. هذان الشعاعان يشكلان أيضاً جملة يمكن تعيينها لأي نقطة بدلالة الإحداثيات الطبيعية لهذه النقطة و الإحداثيات الديكارتية لرؤوس شبة المنحرف . إذ يتضح من مقارنة العلاقتين (6.20) و (6.21) و بمراعاة العلاقة (6.17) أن :

$$g^\alpha \cdot g_\gamma = g^{\alpha\beta} g_{\beta\gamma} = g^{\alpha\beta} g_\beta g_\gamma \quad (6.23)$$

و من هذه العلاقة ينتج :

$$g^\alpha = g^{\alpha\beta} g_\beta \quad (6.24)$$

إذا أمعن المرء النظر في هذه العلاقة فسوف يجد أن القرينة  $\beta$  قد رفعت إلى الأعلى و استبدلت بقرينة أخرى  $\alpha$  . و مركبات أشعة القاعدة الضدية  $g_i^\alpha$  على المحاور الإحداثية الديكارتية يمكن استنتاجها مباشرة من العلاقة الشعاعية السابقة إذ أن هذه العلاقة الشعاعية مكافئة بعد نسبها إلى الإحداثيات الديكارتية للعلاقة :

$$g_i^\alpha e^i = g^{\alpha\beta} g_\beta e_i \quad (6.25)$$

وللحصول على المركبات فرادى نضرب هذه العلاقة ب  $e_j$  فنحصل على :

$$g_i^\alpha e^i e_j = g_i^\alpha \delta^i_j = g_j^\alpha = g^{\alpha\beta} g^\beta_i e_i e_j = g^{\alpha\beta} g^\beta_i \delta_{ij} \quad (6.26)$$

و منشور هذه العلاقة يحتوي على أربعة معادلات لحساب المركبات الاثنتين لكل شعاع من أشعة القاعدة الضدية و ذلك باعتبار القرائن  $\alpha, j$  قرائن مستقلة. و الجداءات السلمية لأشعة القساعة الضدية ببعضها البعض يمثل المعاملات المترية الضدية فاستنادا إلى العلاقة (24 . 6) و بملاحظة العلاقتين (17 . 6) و (20 . 6) يمكن أن نكتب :

$$g^\alpha \cdot g^\beta = g^{\alpha\gamma} g_\gamma g^{\beta\eta} g_\eta = g^{\alpha\gamma} g^{\beta\eta} g_{\gamma\eta} \quad (6.27)$$

$$g^\alpha \cdot g^\beta = g^{\alpha\gamma} \delta^\beta_\gamma = g^{\alpha\beta}$$

و يبرهن أيضاً أن:

$$g_\alpha = g_{\alpha\beta} g^\beta \quad (6.28)$$

وذلك بالبدء بالبرهان من الطرف الثاني. باستبدال المعاملات المترية الأساسية  $g_{\alpha\beta}$  بالجداءات السلمية لأشعة القاعدة  $g_\alpha \cdot g_\beta$  و من ثم ملاحظة أن الجداء  $g_\alpha g^\beta$  هو موتر كرونيكر  $\delta_\alpha^\beta$  ، الذي نستطيع بواسطته استبدال قرينة الأشعة  $g_\beta$  بالقرينة  $\alpha$  حيث نحصل بعد هذا على النتيجة  $\cdot g_\alpha$

## 6-1-7- مشتقات أشعة القاعدة الأساسية

يمكن اشتقاق أشعة القاعدة الأساسية بالنسبة للإحداثيات الطبيعية فنحصل باعتبار العلاقة (6.13) على المشتقات التالية:

$$g_{\alpha,\beta} = \Omega^{(k)}_{,\alpha\beta} X^{(k)}_i e_i \quad (6.13)$$

و مركبات هذه المشتقات هي :

$$g^i_{\alpha,\beta} = \Omega^{(k)}_{,\alpha\beta} X^{(k)}_i \quad (6.30)$$

وبعد ملاحظة مشتقات توابع الشكل (6.15) ينتج :

$$g_{1,1} = 0$$

$$g_{2,2} = 0$$

$$\mathbf{g}_{1,2} = (\Omega^{(1)}_{,12} X^1_{(1)} + \Omega^{(2)}_{,12} X^1_{(2)} + \Omega^{(3)}_{,12} X^1_{(3)} + \Omega^{(4)}_{,12} X^1_{(4)}) \mathbf{e}_1 \\ + (\Omega^{(1)}_{,12} X^2_{(1)} + \Omega^{(2)}_{,12} X^2_{(2)} + \Omega^{(3)}_{,12} X^2_{(3)} + \Omega^{(4)}_{,12} X^2_{(4)}) \mathbf{e}_2 \quad (6.31)$$

حيث:

$$\Omega^{(1)}_{,12} = \frac{1}{4} \quad ; \quad \Omega^{(2)}_{,12} = -\frac{1}{4}; \\ \Omega^{(3)}_{,12} = \frac{1}{4} \quad ; \quad \Omega^{(4)}_{,12} = -\frac{1}{4}; \quad (6.32)$$

و الشعاع الأخير مكافئ للشعاع  $\mathbf{g}_{2,1}$  و يلاحظ أن الشعاع الأخير ثابت لحالة استخدام توابع الشكل المفترضة في العلاقة (6.5) فهو غير متعلق بالاحداثي الطبيعي  $\theta^1$  أو  $\theta^2$  ويتعلق فقط بإحداثيات رؤوس شبه المنحرف.

#### 6-1-8- تحويل الانتقالات بين الإحداثيات الديكارتية و الطبيعية

ليكن  $\mathbf{u}$  شعاع الانتقالات لنقطة ما لا على التعيين من شبه المنحرف. هذا الشعاع يمكن نسبه إلى جملة الأشعة الواحدة في الإحداثيات الديكارتية , أو إلى أشعة القاعدة الأساسية في النقطة نفسها أو إلى أشعة القاعدة الضدية. و بما أن الأمر متعلق بنفس الشعاع فيجب أن يكون :

$$\mathbf{u} = u_i \mathbf{e}^i = u^i \mathbf{e}_i = u^\alpha \mathbf{g}_\alpha = u_\alpha \mathbf{g}^\alpha \quad (6.33)$$

حيث  $u_\alpha, u^\alpha$  هي المركبات الضدية و الأساسية على التوالي لشعاع الانتقالات. لنحاول الآن الحصول على المركبات  $u_i$  من المركبات  $u_\alpha$  لشعاع الانتقالات . لنأخذ العلاقة :

$$\mathbf{u} = u_i \mathbf{e}^i = u_\alpha \mathbf{g}_i^\alpha \mathbf{e}^i \quad (6.34)$$

لنعوض فيها أشعة القاعدة الضدية مصاغة بدلالة الأشعة الواحدة الديكارتية علاقة (6.25) فنجد أن :

$$\mathbf{u} = u_i \mathbf{e}^i = u_\alpha \mathbf{g}_i^\alpha \mathbf{e}^i \quad (6.35)$$

وبالمقارنة نجد أن :

$$u_i = u_\alpha \mathbf{g}_i^\alpha \quad (6.36)$$

أي أن التحويل يتم بواسطة أشعة القاعدة الضدية. لنحاول الآن الحصول على المركبات  $u_\alpha$  من المركبات  $u_i$  لهذا الغرض نضرب العلاقة (6.34) بأشعة القاعدة الأساسية :

$$u_i e^i g_\beta = u_i e^i g^j_\beta e_j = u_i g^j_\beta \delta^i_j = u_j g^j_\beta = u_\alpha g^\alpha g_\beta = u_\alpha \delta^\alpha_\beta = u_\beta \quad (6.37)$$

و بالتالي لدينا التحويل :

$$u_\beta = g^j_\beta u_j; u_\alpha = g^i_\alpha u_i \quad (6.38)$$

أي أن التحويل يتم بمساعدة مركبات أشعة القاعدة الأساسية. و يمكن بنفس الطرق السابقة برهان التحويلات التالية :

$$u^i = g^i_\alpha u^\alpha \quad (6.39)$$

$$u^\alpha = g^\alpha_i u^i \quad (6.40)$$

وبالتالي نجد أنه ببساطة يمكن الانتقال من المركبات الديكارتية إلى المركبات الطبيعية وبالعكس بفضل تعريف جمل الأشعة هذه . ولاحظ أن القاعدة المشتركة لهذه التحويلات تتلخص في حذف القرينة التي يتم عليها الجمع. يمكن أيضا انطلاقا من العلاقة (6.33) أن نبرهن العلاقات التالية:

$$u^\alpha = g^{\alpha\beta} u_\beta \quad (6.41)$$

$$u_\alpha = g_{\alpha\beta} u^\beta \quad (6.42)$$

أي أننا نستطيع بواسطة المعاملات المترية الأساسية و الضدية التحويل بين المركبات الأساسية و الضدية لشعاع الانتقالات . و يلاحظ أنه بواسطة هذه المعاملات يتم رفع أو خفض قرينة كما ذكر سابقا .

## 6-1-9- المشتق الأساسي

### 6-1-9-1- المشتق الأساسي لقيمة سلمية

لنفترض أن  $I$  قيمة سلمية تابعة للإحداثيات الديكارتية المستقلة  $I(x^i)$ . لنشتق هذه القيمة السلمية بالنسبة للإحداثيات الطبيعية باستخدام قاعدة مشتق تابع التابع فنجد أن :

$$\frac{\partial I}{\partial \theta^\alpha} = \frac{\partial I}{\partial x^i} \frac{\partial x^i}{\partial \theta^\alpha} \quad (6.43)$$

و مشتق الإحداثيات الديكارتية بالنسبة للإحداثيات الطبيعية هو:

$$\frac{\partial x^i}{\partial \theta^\alpha} = \Omega_{\alpha, (k)}^i x^i(k) = g_{\alpha}^i \quad (6.44)$$

فان لذلك العلاقة (6.4) بالعلاقة (6.14). و بالتالي فمشتق القيمة السلمية يأخذ الشكل

$$I_{,\alpha} = g_{\alpha}^i I_{,i} \quad (6.44)$$

## 6-1-9-2 - المشتق الأساسي لمركبات شعاع

ليكن لدينا المركبات  $u_{\alpha}$  لشعاع انتقالات ما . وجدنا أن العلاقة التي تربط هذه المركبات بمركبات شعاع الانتقالات  $u_i$  على المحاور الإحداثية الديكارتية هي من الشكل :

$$u_{\alpha} = g_{\alpha}^i u_i \quad (6.46)$$

نشتق هذه العلاقة بالنسبة للإحداثيات الطبيعية فنحصل على :

$$\frac{\partial u_{\alpha}}{\partial \theta^{\beta}} = \frac{\partial g_{\alpha}^i}{\partial \theta^{\beta}} u_i + g_{\alpha}^i \frac{\partial u_i}{\partial x^k} \frac{\partial x^k}{\partial \theta^{\beta}} \quad (6.47)$$

و باستخدام العلاقة (6.44) و ملاحظة (6.30) يمكن صياغة هذه العلاقة بالشكل :

$$u_{\alpha,\beta} = g_{\alpha,\beta}^i u_i + g_{\alpha}^i g_{\beta}^k u_{i,k} \quad (6.48)$$

نعرف الآن المشتق الأساسي للمركبات  $u_{\alpha}$  بالنسبة للإحداثيات الطبيعية و نرمز له بالشكل :

$$u_{\alpha\beta} = g_{\alpha}^i g_{\beta}^k u_{i,k} \quad (6.49)$$

فنحصل بعد إدخال هذا التعريف إلى العلاقة (6.48) و نقل الحد الأول من الطرف الثاني إلى الطرف الأول على :

$$u_{\alpha\beta} = u_{\alpha,\beta} - g_{\alpha,\beta}^i u_i \quad (6.50)$$

نحول المركبات الديكارتية للانتقالات الموجودة في الحد الثاني من الطرف الثاني للعلاقة السابقة إلى

المركبات الطبيعية باستخدام علاقة التحويل (6.36) فنحصل على :

$$u_{\alpha\beta} = u_{\alpha,\beta} - g_{\alpha,\beta}^i g_i^{\gamma} u_{\gamma} \quad (6.51)$$

و هكذا نجد أن المشتق الأساسي يحوي بالإضافة إلى المشتق العادي بالنسبة للإحداثيات الطبيعية  $u_{\alpha\beta}$  على المركبات الطبيعية لشعاع الانتقالات  $u_\gamma$  مضروبة بجداء مركبات أشعة القاعدة الضدية ومشتقات مركبات أشعة القاعدة الأساسية و التي تسمى عادة في المصادر العلمية بـرموز كرسستوفل (CHRISTOFFEL) :

$$\Gamma_{\alpha\beta}^\gamma = g^{\gamma i} g_{i\alpha} g_{\beta i} \quad (6.52)$$

يملك المشتق الأساسي لمركبات شعاع العلاقة (49 . 6) خلافاً للمشتقات الجزئية له (48 . 6) خواص الموترية نظراً لخاصية تحويل القرائن الواردة في العلاقة (49 . 6) . أما في حالة المشتقات الجزئية . فالحد الأول من الطرف الثاني للعلاقة (48 . 6) يمثل حد غير مرغوب فيه يؤدي إلى خرق قواعد تحويل الموترات و التي سيتم التعرف عليها في الفقرة اللاحقة . بالإضافة إلى المشتق الأساسي للمركبات الأساسية يمكننا أن نعرف المشتق الأساسي للمركبات الضدية  $u^{\alpha\beta}$  و المشتق الضدي للمركبات الضدية  $u_{\alpha\beta}$  .

#### 6-1-10- تعريف الجداء الموترى والموترية

#### 6-1-10-1 تعريف الجداء الموترى

لتكن  $b, a$  مجموعتان مرتبتان من الأعداد على الشكل:

$$\begin{aligned} a_i &= (a_1 \quad a_2 \quad \dots \quad a_m) \\ b_j &= (b_1 \quad b_2 \quad \dots \quad b_n) \end{aligned} \quad (6.53)$$

حيث  $i$  قرينة تتحول من 1 إلى  $m$  و  $j$  قرينة تتحول من 1 إلى  $n$  . يعرف الجداء الموترى بأنه ذلك الجداء الذي يتم فيه ضرب كل عدد من المجموعة الأولى بكل عدد من المجموعة الثانية ويرمز لهذا الجداء بالشكل :

$$c_{ij} = a_i \otimes b_j \quad (6.54)$$

وعناصر المجموعة  $c_{ij}$  تمثل مجموعة مرتبة من الأعداد حيث تتحول فيها القرينة  $i$  من 1 إلى  $m$  والقرينة  $j$  من 1 إلى  $n$  . و نتيجة الضرب مفصلة هي :



$$c_{ij} = \begin{pmatrix} a_1 b_1 & a_1 b_2 & . & . & . & a_1 b_n \\ a_2 b_1 & a_2 b_2 & . & . & . & a_2 b_n \\ . & . & . & . & . & . \\ a_m b_1 & a_m b_2 & . & . & . & a_m b_n \end{pmatrix} \quad (6.55)$$

عملية الجداء هذه غير تبديلية بشكل عام ، إذ أن ترتيب عناصر مجموعة مرتبة من الأعداد يلعب دوراً أيضاً في تمييز هذه المجموعة عن غيرها .

يلاحظ أنه لو كانت المجموعتان  $b_j, a_i$  تحتويان على نفس العدد من المركبات و التي يمكن اعتبارها مركبات في الفراغ البعدي  $n$  فإن مجموع عناصر القطر الرئيسي لحاصل الجداء المتوري يمثل الجداء السلمي لهذين الشعاعين . و يمكن تعميم هذا الجداء ليشمل جداء أي مجموعات مرتبة من الأعداد . فلو تحولت قرائن المجموعة الأولى على بعدين  $a_{ij}$  و قرائن المجموعة الثانية على ثلاثة أبعاد مثلاً  $b_{klm}$  كان الجداء المتوري لهاتين المجموعتين :

$$c_{ijklm} = a_{ij} \otimes b_{klm} \quad (6.56)$$

حيث يتحول هذا الجداء على خمسة أبعاد . يمكن الاستنتاج أيضاً أن ضرب مصفوفتين ليس إلا حالة خاصة من الجداء المتوري المعروف هنا .

## 6-10-2- تعريف المتورة

المتورة هي تعبير رياضي يحتوي على مجموعة مرتبة من المركبات تحددها قرائن متحولة و يرتبط بكل قرينة مجموعة قاعدية تنسب إليها هذه المركبات (مثلاً أشعة القاعدة الأساسية أو غيرها). و تخضع مركباتها لدساتير التحويل نفسها التي تخضع لها المجموعة القاعدية المرتبطة بها . كمثال على هذا التعبير الرياضي يمكن أن نعطي التعبير الرياضي التالي:

$$t = t^{\alpha\beta} g_{\alpha} \otimes g_{\beta} \quad (6.57)$$

$t^{\alpha\beta}$  تمثل مركبات المتورة  $t$  التي تتحول في بعدين و  $g_{\alpha} \otimes g_{\beta}$  مجموعته القاعدية . ولكي يمثل التعبير السابق متورة يجب أن تتحول مركباتها بنفس التحويلات التي تتحول بها مجموعتها القاعدية . فلو عرفنا عن هذه المتورة في الإحداثيات الديكارتية بالشكل :

$$t = t^{ik} e_i \otimes e_k \quad (6.58)$$

حيث  $t^{ik}$  مركبات الموتر في الإحداثيات الديكارتية ،  $e_i \otimes e_k$  قاعدتها المرتبطة بما فيجب أن يكون:

$$t^{ik} e_i \otimes e_k = t^{\alpha\beta} g_\alpha^i \otimes g_\beta^k e_i \otimes e_k \quad (6.59)$$

وكل قرينة من قرائنها يتم تحويلها بالشكل نفسه التي يتم به تحويل شعاع القاعدة المرتبط بها، فمن العلاقة السابقة ينتج أن :

$$t^{ik} = g_\alpha^i g_\beta^k t^{\alpha\beta} \quad (6.60)$$

وبالعكس أيضاً يمكن الحصول على  $t^{\alpha\beta}$  من  $t^{ik}$  بالشكل :

$$t^{\alpha\beta} = g_i^\alpha g_k^\beta t^{ik} \quad (6.61)$$

وبما أن قرائن مركبات الموتر في (6.57) تتحول في بعدين فنقول أنه لدينا موتر من المرتبة الثانية و كمثال على موتر من المرتبة الأولى يمكن أن نذكر شعاع الانتقالات و الذي نسب في العلاقة (6.33) إلى جمل إحداثية مختلفة . ووجدنا أنه يخضع لقوانين التحويل المذكورة في العلاقات (6.36)، (6.38)، (6.39)، (6.42)، (6.41)، (6.40). وهذه التحويلات مكافئة تماماً لتحويل أشعة القاعدة التي عمر عن الانتقالات بدلائنها (انظر التعبير عن أشعة القاعدة الأساسية و الضدية بدلالة الأشعة الإحداثية الديكارتية والتحويلات بين أشعة القاعدة الأساسية و الضدية في العلاقات (6.24)، (6.28). و كمثال على موتر من المرتبة الصفرية يمكن أن نذكر الجداء السلمي لشعاعين و الجداء المختلط لثلاثة أشعة و تكون في هذه الحالة عدد مركبات الموتر مركبة واحدة فقط و كتعميم يمكن أن نعرف الموتر من المرتبة  $n$  بالشكل:

$$\underline{t} = t^{\alpha\beta\gamma\dots} g_\alpha \otimes g_\beta \otimes g_\gamma \otimes g_\gamma \dots \quad (6.62)$$

حيث تحوي مركبات الموتر على  $n$  قرينة و أشعة القاعدة له تحوي على  $n$  شعاع . يلاحظ أن لكل قرينة من قرائن الموتر (مثلاً  $\alpha$ ) شعاع مرتبط بها (مثلاً  $g_\alpha$ ) و يتم تحويل كل قرينة بالطريقة نفسها التي يتم تحويل الشعاع المرتبط بها . و عليه يتم تحويل مركبات الموتر على المحاور الإحداثية الطبيعية  $t^{\alpha\beta\gamma\dots}$  إلى المحاور الإحداثية الديكارتية  $t^{ijkl\dots}$  بالشكل:

$$t^{ijkl\dots} = g_\alpha^i g_\beta^j g_\gamma^k g_\delta^l \dots t^{\alpha\beta\gamma\delta\dots} \quad (6.63)$$

أو بالعكس :

$$t^{\alpha\beta\gamma\delta\dots} = g_i^\alpha g_j^\beta g_k^\gamma g_l^\delta \dots t_{ijkl\dots} \quad (6.64)$$

في حالة تعريف الموتره بقرائن منخفضة يتم التحويل كما يلي :

$$t_{ijkl\dots} = g_i^\alpha g_j^\beta g_k^\gamma g_l^\delta \dots t^{\alpha\beta\gamma\delta\dots} \quad (6.65)$$

أو بالعكس :

$$t^{\alpha\beta\gamma\delta\dots} = g_i^\alpha g_j^\beta g_k^\gamma g_l^\delta \dots t_{ijkl\dots} \quad (6.66)$$

و عند تعريف موتره بمركبات مختلطة قاعدية أساسية و قاعدية ضدية كالموتره  $t^{\alpha\gamma\delta\dots}$  يتم التحويل كما يلي :

$$t_{ijkl\dots}^{\alpha\gamma} = g_i^\alpha g_j^\beta g_k^\gamma g_l^\delta \dots t^{\alpha\gamma\delta\dots} \quad (6.67)$$

$$t^{\alpha\gamma\delta\dots} = g_i^\alpha g_j^\beta g_k^\gamma g_l^\delta \dots t_{ijkl\dots}^{\alpha\gamma} \quad (6.68)$$

و يتم تحويل موتره بمركباتها القاعدية الأساسية إلى موتره بمركبات قاعدية ضدية بنفس طريقة تحويل الأشعة القاعدية الضدية و ذلك لكل قرينة من قرائن الموتره و كمثال على ذلك لدينا التحويلات :

$$t^{\alpha\beta\gamma\delta\dots} = g^{\alpha\lambda} g^{\beta\mu} g^{\gamma\nu} g^{\delta\eta} \dots t_{\lambda\mu\nu\eta\dots} \quad (6.69)$$

أو بالعكس:

$$t_{\lambda\mu\nu\eta\dots} = g_{\alpha\lambda} g_{\beta\mu} g_{\gamma\nu} g_{\delta\eta} \dots t^{\alpha\beta\gamma\delta\dots} \quad (6.70)$$

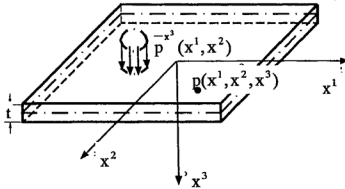
في حالة وجود مركبات مختلطة يتم التحويل بالشكل :

$$t^{\alpha\gamma\delta\dots} = g^{\alpha\lambda} g_{\beta\mu} g^{\gamma\nu} g_{\delta\eta} \dots t_{\lambda}^{\mu\nu\eta} \quad (6.71)$$

و هذه هي الخواص الأساسية التي تحدد ماهية الموتره. و على هذا الأساس يكون من السهل الانتقال بين الإحداثيات المختلفة أثناء التعامل مع مسائل نظرية المرونة إذا علمنا أن التشوهات و الإجهادات و معاملات المرونة للمادة تمثل موترات يحدد مرتبتها بعد المسألة المطروحة (مسألة أحادية البعد، ثنائية البعد، ثلاثية الأبعاد). و بالتالي يمكن معالجة طوبولوجيات معقدة للمنشآت باستخدام الإحداثيات الطبيعية ، و بعد الحصول على قيم التأثير في الإحداثيات الطبيعية نستطيع ببساطة الحصول على مكافئاتها في الإحداثيات الديكارتية باستخدام دساتير تحويل مركبات الموترات .

## 6-2- نظرية المرونة في الإحداثيات الديكارتية

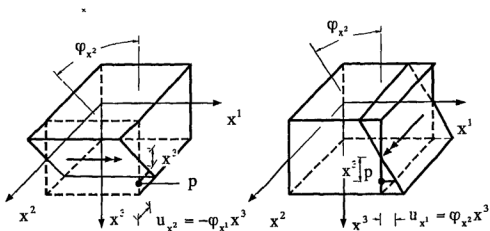
### 6-2-1- مجاهيل نظرية المرونة



شكل 5-6 : بلاطة رقيقة ، المحاور الإحداثية ، الحمل ، المستوى الوسطي

نبدأ أولاً بتحديد المجاهيل التي تعين الحالة الانتقالية لبلاطة رقيقة شكل (5-6) بناءً على الفرضيات الواردة في مقدمة هذا الفصل. لهذا الغرض يجب تحديد الانتقالات  $u_{x^1}, u_{x^2}, u_{x^3}$  لنقطة ما لا على التعيين  $p(x^1, x^2, x^3)$  واقعة في الربع الأول (الموجب) من المحاور الإحداثية الديكارتية التي نسبت إليها البلاطة. حسب الفرضية الثانية لا يتعرض السطح الوسطي للبلاطة لأي تشوهات وبالتالي يجب أن تكون انتقالات السطح الوسطي المحايد في الاتجاه  $x^1, x^2$  معدومة أي أن  $u_{x^1}^0, u_{x^2}^0$  لنقطة ما لا على التعيين من السطح الوسطي للبلاطة معدومة. ويبقى فقط الانتقال  $u_{x^3}$  الذي يحدد الشكل المتشوه للسطح الوسطي. نصيغ انتقالات النقطة  $p$  بدلالة انتقالات نقطة تقاطع العمود النازل من هذه النقطة على السطح الوسطي ودورانات المقاطع حول المحاور الإحداثية والتي تنحصر الآن في دورتين هما دوران المقطع  $\varphi_x$  حول  $x^1$  ودوران المقطع

$\varphi_{x^2}$  حول  $x^2$  أما دوران المقاطع  $\varphi_{x^3}$  حول  $x^3$  فهو معدوم انسجماً مع الفرضية الثانية استناداً إلى ما سبق وإلى الشكل (6-6) نستطيع أن نكتب:



(a)

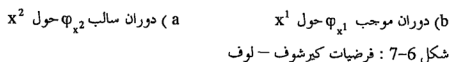
(b)

شكل 6-6 : دورانات المقاطع ، (a) الدوران  $\varphi_{x^1}$  حول  $x^1$  ، (b) الدوران  $\varphi_{x^2}$  حول  $x^2$

$$\begin{aligned} u_{x^1} &= \varphi_{x^2} x^3 \\ u_{x^2} &= -\varphi_{x^1} x^3 \\ u_{x^3} &= u_{x^3}^0 \end{aligned} \quad (6-72)$$

وفقاً لفرضيات كيرشوف - لوف يمكن التعبير عن دورانات المقاطع  $\varphi_{x^1}, \varphi_{x^2}$  بدلالة الانتقال  $u_{x^3}^0$ ، وهذه الفرضيات شبيهة بتلك التي استخدمت في نظرية الجوائز باعتبار مشتقات الانتقالات صغيرة. واستناداً إلى الشكل (7-6) يكون :

$$\begin{aligned} \varphi_{x^1} &= \frac{\partial u_{x^3}^0}{\partial x^2} \\ \varphi_{x^2} &= -\frac{\partial u_{x^3}^0}{\partial x^1} \end{aligned} \quad (6.73)$$



والإشارة السالبة تعني أن انتقالا موجبا للنقطة  $p$  يؤدي إلى زاوية دوران  $\varphi_{x_2}$  سالبة وهذه ما يمكن ملاحظته مباشرة من الشكل 6-7-6.  $a$ . بتعويض (6-73) في (6-72) نحصل على :

وهذا يعني أن باستطاعتنا تحديد الحالة الانتقالية للبلاطة تحديدا تاما بتعيين تابع الانتقال  $u_3^0$

للمستوى الوسطي والمعادلة التي تمثل هذا التابع هي معادلة سطح وبالتالي يتعلق هذا التابع بالإحداثيين  $x^1, x^2$ . بناء على الحالة الانتقالية هذه يجب أن تتعدم التشوهات العرضانية  $\varepsilon_{x^2 x^3}, \varepsilon_{x^1 x^3}$ . إذا نتج باستخدام علاقات التشوهات -الانتقالات ومراعاة العلاقات (6-74) أن:

$$\varepsilon_{x^1 x^3} = \frac{\partial u_{x^1}}{\partial x^3} + \frac{\partial u_{x^3}}{\partial x^1} = -\frac{\partial u_{x^3}^0}{\partial x^1} + \frac{\partial u_{x^1}^0}{\partial x^3} = 0 \quad (6.75)$$

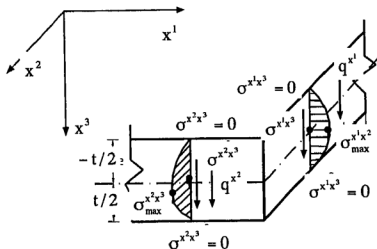
$$\varepsilon_{x^2 x^3} = \frac{\partial u_{x^2}}{\partial x^3} + \frac{\partial u_{x^3}}{\partial x^2} = -\frac{\partial u_{x^3}^0}{\partial x^2} + \frac{\partial u_{x^2}^0}{\partial x^3} = 0$$

يمكن أيضا إهمال التشوه الناطقي  $\varepsilon_{x_3x_3}$  الحاصل في اتجاه  $x^3$  وتقتصر موتره التشوهات التي يجب تعيينها على :

$$\varepsilon_{ij} = \begin{pmatrix} \varepsilon_{x^1x^1} & \varepsilon_{x^1x^2} \\ \varepsilon_{x^2x^1} & \varepsilon_{x^2x^2} \end{pmatrix} \quad (6-76)$$

جزء مواترة الإجهادات المرتبطة مع حالة التشوهات السابقة هي :

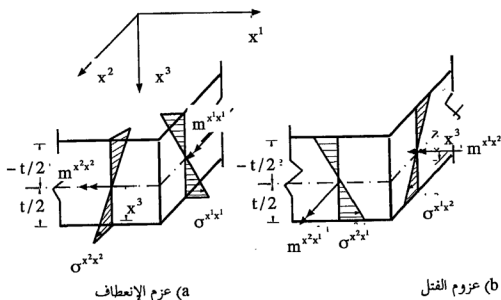
$$\sigma^{ij} = \begin{pmatrix} \sigma^{x^1 x^1} & \sigma^{x^1 x^2} \\ \sigma^{x^2 x^1} & \sigma^{x^2 x^2} \end{pmatrix} \quad (6-77)$$



شكل 6-8 : توزيع الإجهادات القاصة

يحسب الإجهاد  $\sigma^{x^3x^3}$  بمكاملة معادلة توازن القوى في اتجاه  $x^3$  على عنصر تفاضلي كما سنرى لاحقاً . أما وجود الإجهادين  $\sigma^{x^1x^3}$ ,  $\sigma^{x^2x^3}$  فهو ضروري لموازنة الحملنة  $\bar{p}(x^1, x^2)$  , وبالطبع هذا يمثل تناقضاً واضحاً في نظرية البلاطات الرقيقة فمن جهة نفترض التشوهات القاصية مهملة وفق العلاقة (6.75) ومن جهة أخرى تعتبر الإجهادات القاصية الموافقة للتشوهات القاصية هذه موجودة وتلعب دوراً أساسياً في توازن البلاطة وهذا يؤدي إلى عدم التوافق التام بين حالة التشوهات والحالة الإجهادية مما يؤدي بدوره إلى صعوبة صياغة الشروط الطرفية .

وحسب نظرية السطوح الحرة للإجهادات يفترض أن يكون الإجهادين  $\sigma^{x^1x^3}$ ,  $\sigma^{x^2x^3}$  معلومين على السطوح الحرة للبلاطة أي على السطحين  $x^3 = \pm \frac{t}{2}$  وتصل قيمة هذه الإجهادات إلى قيمتها الاعظمية على السطح الوسطي للبلاطة (شكل 6-8) . يجري عادة تجميع الإجهادات على سطوح المقاطع إلى قوى مقطع في واحدة الطول . وتكون وحدات قوى المقطع في البلاطة واحدة قوة مقسومة على واحدة طول . وهذه القوى هي عزوم الإنعطاف المثلثة باتجاهاتها الموجبة في الشكل (6-9-8) ومقاديرها لواحدة الطول:



شكل 6-9 : عزوم المقطع للبلاطة



$$m^{x^1} = \int_{-1/2}^{1/2} \sigma^{x^1} x^3 dx^3 \quad (6.78)$$

$$m^{x^2} = \int_{-1/2}^{1/2} \sigma^{x^2} x^3 dx^3 \quad (6.79)$$

وعزوم القتل الممثلة باتجاهاتها الموجبة في الشكل 6-9-b ومقاديرها لواحدة الطول :

$$m^{x^1} = \int_{-1/2}^{1/2} \sigma^{x^1} x^3 dx^3 \quad (6.80)$$

$$m^{x^2} = \int_{-1/2}^{1/2} \sigma^{x^2} x^3 dx^3 \quad (6.81)$$

والقوى القاصية الممثلة باتجاهاتها الموجبة في الشكل 6-8 ومقاديرها لواحدة الطول

$$q^{x^1} = \int_{-1/2}^{1/2} \sigma^{x^1} dx^3 \quad (6.82)$$

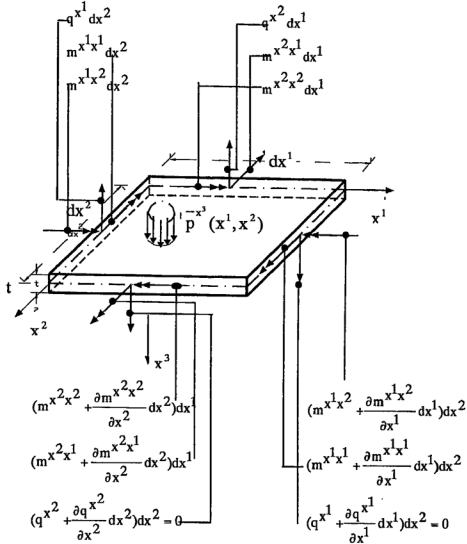
$$q^{x^2} = \int_{-1/2}^{1/2} \sigma^{x^2} dx^3 \quad (6.83)$$

يلاحظ أن قرائن قوى المقطع لا تدل على اتجاه قوة المقطع بالنسبة للمحاور الإحداثية وإنما تدل على الإجهاد الموافق لها .

6 - 2 - 2 - معادلات نظرية المرونة

6 - 2 - 2 - 1 معادلات التوازن

لنقطع من بلاطة عنصرا بأبعاد تفاضلية  $dx^1 dx^2$  و لنمثل عليه محصلات قوى المقطع الشكل (6-10) على الضفة السالبة للمقطع (الضفة السالبة للمقطع هي تلك التي يخترقها المحور الإحداثي داخلا إليها) . و تغيرات قوى المقطع على الضفة الموجبة للمقطع (الضفة الموجبة للمقطع هي تلك



شكل 6-10 : عنصر تفاضلي من بلاطة ، المحاور الإحداثية ، قوى المقطع ، الحمل

التي يخرقها المحور الإحداثي خارجاً منها). و نعتبر أن التغير الحاصل في قوى المقطع مكافئ للحدود الأولى الخطية من منشور توابع قوى المقطع وفق سلسلة تايلور . نكتب معادلات التوازن للعنصر و هي معادلة إسقاط في اتجاه المحور  $x^3$  . و معادلتين عزوم حول محورين مارين بمركز ثقل العنصر و موازيين للمحورين  $x^1, x^2$  على التوالي فنحصل على :

$$\begin{aligned}
& (q^{x^1} + \frac{\partial q^{x^1}}{\partial x^1} dx^1) dx^2 + (q^{x^2} + \frac{\partial q^{x^2}}{\partial x^2} dx^2) dx^1 - \\
& q^{x^1} dx^2 - q^{x^2} dx^1 + p^{-3}(x^1, x^2) dx^1 dx^2 = 0 \\
& m^{x^1 x^2} dx^2 + m^{x^2 x^2} dx^1 - (m^{x^2 x^2} + \frac{\partial m^{x^2 x^2}}{\partial x^2} dx^2) dx^1 - (m^{x^1 x^2} + \frac{\partial m^{x^1 x^2}}{\partial x^1} dx^1) dx^2 + \\
& q^{x^2} dx^1 \frac{dx^2}{2} + (q^{x^2} + \frac{\partial q^{x^2}}{\partial x^2} dx^2) dx^1 \frac{dx^2}{2} = 0 \\
& -m^{x^1 x^1} dx^2 + (m^{x^1 x^2} + \frac{\partial m^{x^2 x^1}}{\partial x^2} dx^2) dx^1 - m^{x^2 x^1} dx^1 + (m^{x^1 x^1} + \frac{\partial m^{x^1 x^1}}{\partial x^1} dx^1) dx^2 - \\
& q^{x^1} dx^2 \frac{dx^1}{2} - (q^{x^1} + \frac{\partial q^{x^1}}{\partial x^1} dx^1) dx^2 \frac{dx^1}{2} = 0
\end{aligned}
\tag{6.84}$$

و باختصار الحدود المتشابهة و إهمال حدود المراتب العليا و إدخال الاختصارات:  $\frac{\partial ()}{\partial x^1} = ()_{,x^1}$

$$\frac{\partial ()}{\partial x^2} = ()_{,x^2} \text{ ينتج أن:}$$

$$\begin{aligned}
& q^{x^1}_{,x^1} + q^{x^2}_{,x^2} + p^{-3}(x^1, x^2) = 0 \\
& m^{x^1 x^2}_{,x^1} + m^{x^2 x^2}_{,x^2} - q^{x^2} = 0 \\
& m^{x^1 x^1}_{,x^1} + m^{x^2 x^1}_{,x^2} - q^{x^1} = 0
\end{aligned}
\tag{6.85}$$

و تصاغ هذه المعادلات باستخدام القرائن بالشكل

$$\begin{aligned}
& q^{i,j} + p^{-3} = 0 \\
& m^{ij}_{,i} - q^j = 0
\end{aligned}
\tag{6.86}$$

يمكن حذف المعادلتين الثانية والثالثة من معادلات التوازن (6.85) والحصول على معادلة وحيدة مكافئة للمعادلات المذكورة باشتقاق المعادلة الثانية بالنسبة للمتحول المستقل  $x^2$  والمعادلة الثالثة



## 6-2-2-3- قانون السلوك

يربط قانون السلوك للحالة المدروسة بين جزء متوترة الإجهادات (6.77) وجزء متوترة التشوهات (6.76) والعلاقات التي تمثل قانون السلوك هنا هي بالتفصيل :

$$\begin{bmatrix} \sigma_{x^1x^1} \\ \sigma_{x^2x^1} \\ \sigma_{x^1x^2} \\ \sigma_{x^2x^2} \end{bmatrix} = \frac{E}{1-\nu^2} \begin{bmatrix} 1 & & & \\ & \frac{1}{2}(1-\nu) & \frac{1}{2}(1-\nu) & \\ & \frac{1}{2}(1-\nu) & \frac{1}{2}(1-\nu) & \\ \nu & & & 1 \end{bmatrix} \begin{bmatrix} \varepsilon_{x^1x^1} \\ \varepsilon_{x^1x^2} \\ \varepsilon_{x^2x^1} \\ \varepsilon_{x^2x^2} \end{bmatrix} \quad (6.90)$$

$$\sigma^{ij} = c^{ijkl} \varepsilon_{kl}$$

هنا لابد من التنويه أن اختيار كتابه قانون السلوك بهذا الشكل نابع من حاجتنا لصياغة هذا القانون

بالشكل المتري و هذه الصياغة تؤدي إلى نفس النتيجة المعروفة في الصياغة العادية فمثلا الإجهاد القاص  $\sigma^{x^1x^2}$  يساوي إلى :

$$\begin{aligned} \sigma^{x^1x^2} &= \frac{E}{1-\nu^2} \frac{1}{2} (1-\nu) (\varepsilon_{x^2x^1} + \varepsilon_{x^1x^2}) \\ &= \frac{E}{2(1+\nu)} \gamma = G\gamma; \gamma = \varepsilon_{x^2x^1} + \varepsilon_{x^1x^2} \end{aligned} \quad (6.91)$$

حيث  $\gamma$  التشوه القاص المعروف في الصياغة العادية و  $G$  معامل مرونة القص .

## 6-2-2-4 - علاقات قوى المقطع - الانتقالات

نستبدل الآن علاقات التشوهات -الانتقالات (6.89) بعلاقة تربط بين التشوهات والانحناءات حيث تعطى الانحناءات بالعلاقة :

$$\chi_{ij} = -\frac{1}{2}(u^0 x^3_{,ij} + u^0 x^3_{,ji}) \quad (6.92)$$

و العلاقة المبتغاة إذا :

$$\varepsilon_{ij} = x^3 \chi_{ij} \quad (6.93)$$

بتعويض هذه العلاقة في قانون السلوك نحصل على علاقة تربط بين الإجهادات و الانحناءات :

$$\sigma^{ij} = x^3 c^{ijkl} \chi_{kl} \quad (6.94)$$

ويتم الحصول على علاقات قوى المقطع -الانحناءات (قوى المقطع - مشتقات الانتقالات )

بإجراء التكاملات (6.78) , (6.79) , (6.80) , (6.81) بعد تعويض الإجهادات الواردة

فيها بمكافئتها من العلاقة (6.94) فنحصل بعد تجميع النتائج في كتابة مصفوفية على :

$$\begin{bmatrix} m^{x^1 x^1} \\ m^{x^2 x^1} \\ m^{x^1 x^2} \\ m^{x^2 x^2} \end{bmatrix} = \frac{E}{12(1-\nu^2)} \begin{bmatrix} 1 & & & \\ & \frac{1}{2}(1-\nu) & \frac{1}{2}(1-\nu) & \\ & \frac{1}{2}(1-\nu) & \frac{1}{2}(1-\nu) & \\ \nu & & & 1 \end{bmatrix} \begin{bmatrix} \chi_{x^1 x^1} \\ \chi_{x^2 x^1} \\ \chi_{x^1 x^2} \\ \chi_{x^2 x^2} \end{bmatrix}$$

$$m^{ij} = E^{ijkl} \chi_{kl} \quad (6-95)$$

### 6-2-3- المعادلة التفاضلية للمسألة

يتم الحصول على المعادلة التفاضلية التي تحكم المسألة المطروحة بتعويض علاقات قوى المقطع -

الانحناءات (6-95) بعد استبدال الانحناءات بمشتقات الانتقالات من العلاقة (6-92) في معادلة

توازن العزوم (6-87) وهي بالنتيجة المعادلة من الدرجة الرابعة :

$$\frac{\partial^4 u^0_{x^3}}{(\partial x^1)^4} + \frac{\partial^4 u^0_{x^3}}{(\partial x^1)^2 (\partial x^2)^2} + \frac{\partial^4 u^0_{x^3}}{(\partial x^2)^2 (\partial x^1)^2} + \frac{\partial^4 u^0_{x^3}}{(\partial x^2)^4} = \frac{p^{-3}(x^1, x^2)}{k}$$

$$u^0_{x^3, ijji} = \frac{p^{-3}(x^1, x^2)}{k}; k = \frac{Et^3}{12(1-\nu^2)} \quad (6-96)$$

تعتمد الطريقة التحليلية على إيجاد حلول المعادلة التفاضلية (6-96) من الدرجة الرابعة. هذه الحلول تحتوي على ثوابت يتم تعيينها عن طريق تحقيق الشروط الطرفية . والشروط الطرفية التي يمكن تحقيقها تمثل هذه الثوابت هي شرطين طرفيين لكل طرف من أطراف البلاطة وفيما يلي سنستعرض الشروط الطرفية الأكثر شيوعاً للبلاطات.

#### 6-2-4- الشروط الطرفية

تكون أطراف البلاطات عادة إما موثوقة أو مستندة استناداً بسيطاً وإما حرة وهذه هي الحالات الأكثر مصادفة في المنشآت المختلفة. وفي الحالة التي تكون فيها البلاطة جزءاً من منشأ مركب يمكن تحديد طبيعة الشروط الطرفية وفق معطيات عمل المنشأ ككل، وطبيعة اتصال البلاطة مع أجزاء المنشأ المتبقية ويتم الاستعاضة عن تأثير بقية المنشأ بالبلاطة بقوى وعزوم طرفية أو بشروط هندسية للانتقالات. وفي مثل هذه المنشآت يتداخل عمل الشريحة وعمل البلاطة في وحدة متكاملة إذ تتعرض البلاطات غالباً بالإضافة إلى الحملات العمودية على مستويها إلى حملات واقعة في مستويها والحالة الأخيرة تميز طبيعة عمل الشريحة .

##### طرف موثوق :

على الطرف الموثوق الذي معادلته  $x^1 = \text{const}$  يجب أن يكون الانتقال والدوران معدومين

$$u_{x^3}^0 = 0 \quad ; \quad u_{x^3, x^1}^0 = 0 \quad (6-97)$$

وباعتبار أن  $u_{x^3, x^2}^0 = 0$  فيجب أن يكون أيضاً  $u_{x^3, x^1, x^2}^0 = 0$  وعليه يكون العزم

$$m^{x^1 x^2} = 0$$

##### طرف $x^1 = \text{const}$ مستند استناداً بسيطاً

يسمح الطرف المستند استناداً بسيطاً بالدوران حوله بينما تكون الانتقالات معلومة والطرف هذا غير قادر على مقاومة عزم الانعطاف  $m^{x^1 x^2}$  إذ يجب أن يكون هذا العزم معلوماً وتتلخص الشروط الطرفية إذاً بالشروط :

$$u_{x^3}^0 = 0 \quad ; \quad m^{x^1 x^2} = -k(u_{x^3, x^1, x^1}^0 + \nu u_{x^3, x^2, x^2}^0) = 0 \quad (6.98)$$

يكون الدوران في اتجاه عمودي على الطرف المستند استناداً بسيطاً معدوماً أي أن مشتق تابع الانتقالات بالنسبة للمتحول  $x^2$  معدوم ( $u_{x^3,x^2}^0 = 0$ ) وكذلك المشتق الثاني

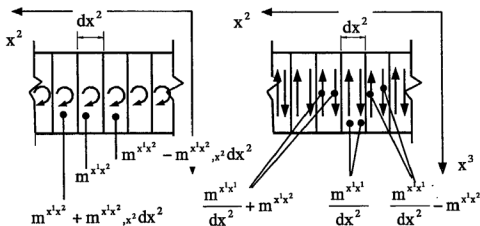
$$u_{x^3,x^2}^0 = 0 \text{ أيضاً } u_{x^3,x^1}^0 = 0 \text{ يكون وبالتالي يكون } m^{x^1x^1} = -k$$

الطرف الحر  $x^1 = \text{const}$

على الطرف الحر تنعدم كافة قوى المقطع الطرفية وهي عزم الانعطاف وعزم الفتل والقوة القاصصة . إذاً على مثل هذا الطرف لدينا ثلاث شروط طرفية :

$$m^{x^1x^1} = 0 ; m^{x^1x^2} = 0 ; q^{x^1} = 0 \quad (6.99)$$

يجب تحقيقها بينما تسمح حلول المعادلة التفاضلية بتحقيق شرطين فقط على كل طرف. للتغلب على هذه الصعوبة التي نوه عنها سابقاً يجري دمج الشرطين الأخيرين من العلاقة (6-99) في شرط واحد بتحويل عزوم الفتل الحاصلة على هذا الطرف إلى مزدوجات قوى لتجميعها مع القوى القاصصة الأخرى (شكل 11-). فبتقسيم الطرف إلى شرائح تفاضلية عرض كل منها  $dx^2$



شكل 11-6 : تحويل عزوم الفتل إلى قوى قاصصة

وباعتبار أن عزم الفتل على شريحه ما  $m^{x^1x^2}$  تكون قوى مزدوجة العزم على هذه الشريحة

مساوية للمقدار  $\frac{m^{x^1x^2}}{dx^2}$  في الشريحة المجاورة للسابقة بالاتجاه الموجب للمحور الإحداثي يتزايد



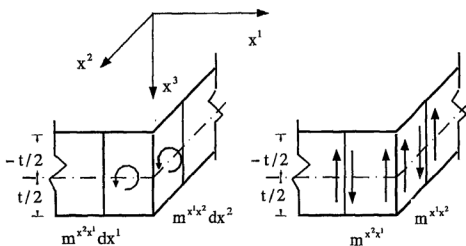
عزم الفتل بالمقدار  $m^{x^1x^2} + m^{x^1x^2}_{,x^2} dx^2$  وعليه تكون قوى مزدوجة العزم مكافئة للمقدار

$\frac{m^{x^1x^2}}{dx^2} + m^{x^1x^2}_{,x^2}$  وفارق حاصل هذه القوى هو  $m^{x^1x^2}_{,x^2}$  لأن هذه القوى تتعاكس مثنى مثنى على الشرائح الداخلية للبلابة. وبالتالي تكون قوة القص البديلة على الطرف  $x^1 = \text{const}$

$$Q^{x^1} = q^{x^1} + m^{x^1x^2}_{,x^2} = -k \left[ u^0_{x^3, x^1 x^2} - (2 - \nu) u^0_{x^3, x^2 x^1} \right] \quad (6.100)$$

وكذلك على الطرف  $x^2 = \text{const}$  تكون قوة القص البديلة :

$$Q^{x^2} = -k \left[ u^0_{x^3, x^2 x^2} - (2 - \nu) u^0_{x^3, x^1 x^2} \right] \quad (6.101)$$



شكل 6-12: الشرائح الركنية ، القوى الركنية المتبقية

في الشرائح الركنية شكل (6-12) ليس لقوة مزدوجة العزم ما يعاكسها وعلى كل ركن من أركان البلابة الأربعة لدينا قوة مقدارها  $(m^{x^2x^1} + m^{x^1x^2})$  يجب اعتبارها . وهذه القوة تحاول رفع أركان البلابة الأربعة عند تحميلها وهذا ما يلاحظ تجريبيا. وعلى ركن حر غير مستند يجب أن تكون هذه القوة معلومة وهذا يحصل فقط عندما يكون :  $u^0_{x^3, x^1 x^2} = 0$  .

## 6-2-5- حساب الإجهادات المتبقية

تسمح للمعالجة السابقة بحساب جزء موترية الإجهادات (6.77) وفق العلاقة (6.94) . و منشور العلاقة الأخيرة التفصيلي بعد مراعاة العلاقتين (6.90) ، (6.92) هو :

$$\begin{aligned}\sigma^{x^1x^1} &= \frac{Ex^3}{1-\nu^2}(u^0_{x^3,x^1x^1} + \nu u^0_{x^3,x^2x^2}) \\ \sigma^{x^2x^2} &= -\frac{Ex^3}{1-\nu^2}(u^0_{x^3,x^2x^2} + \nu u^0_{x^3,x^1x^1}) \\ \sigma^{x^1x^2} &= \sigma^{x^2x^1} = -\frac{Ex^3}{1+\nu}u^0_{x^3,x^1x^2}\end{aligned}\quad (6.102)$$

أما الإجهادات المتبقية وهي  $\sigma^{x^3x^3}$ ,  $\sigma^{x^2x^3}$ ,  $\sigma^{x^1x^3}$  فلا يمكن حسابها من المعادلة السابقة إذ أننا لم تربط مع حالة التشوهات الحاصلة . و تقدير هذه الإجهادات يمكن أن يجري من دراسة معادلات التوازن (2.2a) على عنصر حجمي تفاضلي مقطوع من البلاطة . فمن معادلة التوازن على عنصر حجمي ينتج بإعمال القوى الحجمية  $\bar{f}^{-1}$  و بمراعاة العلاقات (6.102) أن :

$$\begin{aligned}\sigma^{x^3x^1}_{,x^3} &= -\sigma^{x^1x^1}_{,x^1} - \sigma^{x^2x^1}_{,x^2} \\ &= \frac{Ex^3}{1-\nu^2}(u^0_{x^3,x^1x^1} + u^0_{x^3,x^2x^2})_{,x^1}\end{aligned}\quad (6.103)$$

و بمكاملة هذه العلاقة مع مراعاة أن التابع  $u^0_{x^3}$  تابع فقط للمتحويلات  $x^2, x^1$  و أن قيمة التابع  $\sigma^{x^3x^1}$  معدومة على السطحين  $(x^3 = \pm \frac{t}{2})$  نحصل على قيمة الإجهاد  $\sigma^{x^3x^1}$  كتابع لارتفاع المقطع .

$$\sigma^{x^3x^1} = \frac{E}{1-\nu^2} \left( \frac{(x^3)^2}{2} - \frac{t^2}{8} \right) (u^0_{x^3,x^1x^1} + u^0_{x^3,x^2x^2})_{,x^1} \quad (6.104)$$

يمكن الحصول على الإجهاد  $\sigma^{x^3x^1}$  بدلالة القوة القاصية التي يمكن حسابها بدلالة المعادلة الثالثة من العلاقات (6.85) بعد كتابة مشتقات العزوم الواردة فيها بدلالة الانتقالات بمساعدة العلاقتين (6.95) , (6.92) فنحصل على :

$$q^{x^1} = m^{x^1 x^1}_{,x^1} + m^{x^2 x^1}_{,x^2} = -\frac{Et^3}{12(1-v^2)} (u^0_{x^3, x^1 x^1} + u^0_{x^3, x^2 x^2})_{,x^1} \quad (6.105)$$

وبناء عليه يكون الإجهاد  $\sigma^{x^3 x^1}$  مساويا للقيمة:

$$\sigma^{x^3 x^1} = \frac{3}{2} \frac{q^{x^1}}{t} \left[ 1 - \left( \frac{2x^3}{t} \right)^2 \right] \quad (6-106)$$

وبعملية مماثلة نحصل على الإجهاد :

$$\sigma^{x^3 x^2} = \frac{3}{2} \frac{q^{x^2}}{t} \left[ 1 - \left( \frac{2x^3}{t} \right)^2 \right] \quad (6-107)$$

أما الإجهاد  $\sigma^{x^3 x^3}$  فيمكن حسابه من العلاقة (2-2c) بعد إهمال القوى الحجمية  $\bar{f}^3$

$$\sigma^{x^3 x^3}_{,x^3} = \sigma^{x^1 x^3}_{,x^1} - \sigma^{x^2 x^3}_{,x^2} \quad (6-108)$$

وباشتقاق العلاقة (6-104) بالنسبة للمتحول  $x^1$  وكتابة علاقة مماثلة تعطي  $\sigma^{x^2 x^3}$  واشتقاقها بالنسبة للمتحول  $x^2$  وتعويض الناتج في العلاقة السابقة ينتج :

$$\sigma^{x^3 x^3}_{,x^3} = \frac{E}{1-v^2} \left[ \frac{t^2}{8} - \frac{(x^3)^2}{2} \right] \left( u^0_{x^3, x^1 x^1 x^1} + 2u^0_{x^3, x^1 x^2 x^2} + u^0_{x^3, x^2 x^2 x^2} \right) \quad (6-109)$$

وبمكاملة هذه العلاقة على ارتفاع المقطع مع مراعاة العلاقة (6-96) والشروط الطرفية للتكامل

$$\text{حيث } 0 = \bar{p}^{-3}(x^1, x^2) \sigma^{x^3 x^3} \left( -\frac{t}{2} \right) = -\bar{p}^{-3}(x^1, x^2) \sigma^{x^3 x^3} \left( \frac{t}{2} \right)$$

نحصل على الإجهاد :

$$\sigma^{x^3 x^3} = \bar{p}^{-3}(x^1, x^2) \left[ -\frac{1}{2} + \frac{3}{2} \left( \frac{x^3}{t} \right) - 2 \left( \frac{x^3}{t} \right)^3 \right] \quad (6.110)$$

## 6-2-6- مبدأ الطاقة الكامنة الأصغري

بإهمال طاقة التشوه الداخلي العائد للقوى القاصصة والتشوهات القاصصة الموافقة لها يمكن الحصول على مبدأ الطاقة الكامنة الأصغري لحالة البلاطة الرقيقة بتبديل موترة التشوهات بجزئها لحالة البلاطة الواردة في العلاقة (6-76) واستبدال معاملات المرونة العامة بجزئها الخاص للبلاطة الرقيقة الواردة في العلاقة (6-90) وبعد الأخذ بعين الاعتبار أن الحملات الخارجية تقتصر على حملات خارجية في اتجاه المحور  $x^3$  وأن الانتقال المحدد لوضعيات قيم التأثير في البلاطة هو الانتقال في ذلك الاتجاه يمكن أن نكتب :

$$\Pi = \sum_e \left( \frac{1}{2} \int_V \varepsilon_{ij} c^{ijkl} \varepsilon_{kl} dV - \int_A \bar{p}^3 u_{x^3}^0 dA \right) - \sum_m \bar{f}^{(m)} u_{(m)}^0 \quad (6-111)$$

$$(6-112)$$

$$\delta \Pi = 0$$

حيث:  $\sum_e$  المجموع على عناصر البلاطة

$\bar{f}^{(m)}$  القوى الخارجية المركزة في الاتجاه (i) للمحور الإحداثي على العقدة (m) بما فيها العزوم.

$u_{(m)}^0$  شعاع انتقالات العقدة المحملة بقوى خارجية (انتقالات و دورانات).

$dV, dA$  :عنصرين تفاضليين سطحي وحجمي على التوالي للبلاطة .

وبعد تبديل جزء موترة التشوهات  $\varepsilon_{ij}$  بقيمتها الواردة في العلاقة (6-93) وتحويل التكامل الحجمي إلى تكامل على السطح وتكامل على ارتفاع المقطع نحصل على :

$$\Pi = \sum_e \left[ \frac{1}{2} \int_A \chi_{ij} \left( \int_{-1/2}^{1/2} x^3 c^{ijkl} x^3 dx^3 \right) \chi_{kl} dA - \int_A \bar{P}^3 u_{x^3}^0 dA \right] - \sum_m \bar{f}^{(m)} u_{(m)}^0 \quad (6-113)$$

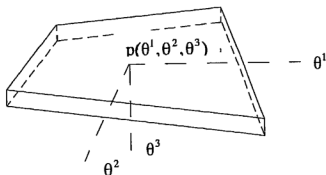
وملاحظة أن التكامل المحصور بين القوسين الصغيرين الوارد في الحد الأول مكافئ للموترة  $E^{ijkl}$  الواردة في العلاقة (6-95) تصبح الطاقة الكامنة للبلاطة الرقيقة :

$$\Pi = \sum_e \left( \frac{1}{2} \int_A \chi_{ij} E^{ijkl} \chi_{kl} dA - \int_A \bar{P}^3 u_{x^3}^0 dA \right) - \sum_m \bar{f}^m u_{(m)}^0 \quad (6-114)$$

### 3-6- نظرية المرونة في الإحداثيات الطبيعية

#### 6-3-1- مجاهيل نظرية المرونة في الإحداثيات الطبيعية

تعتبر الفرضيات التسهيلية الواردة في بداية هذا الفصل سارية المفعول أيضاً لحالة البلاطة الرقيقة المنسوبة إلى جملة محاور إحداثية طبيعية  $(\theta^1, \theta^2, \theta^3)$  شكل (6-13). حيث يتطابق المحوران الطبيعي  $\theta^3$  والديكارتي  $x^3$ . وعلى غرار المناقشة التي وردت بالنسبة للإحداثيات الديكارتية يكفي تعيين انتقالات السطح الوسطي للبلاطة باتجاه المحور  $\theta^3$  أي تعيين التابع  $(u_3^0(\theta^1, \theta^2))$  للسطح الوسطي للتمكن من تعيين المجاهيل الحركية والستاتيكية للمسألة. باعتبار أن الدوران حول المحور  $\theta^1$  هو  $\varphi_1$  والدوران حول المحور  $\theta^2$  هو  $\varphi_2$  نستطيع بناء على هذه الفرضيات التسهيلية إيجاد مركبات شعاع الانتقالات  $u_\alpha$  لنقطة ما لاعلى التعيين  $p(\theta^1, \theta^2, \theta^3)$  وهذه المركبات هي:



شكل 6-13 الإحداثيات الطبيعية في نقطة ما لاعلى التعيين

$$\begin{aligned} u_1 &= \varphi_2 \cdot \theta^3 \\ u_2 &= -\varphi_1 \cdot \theta^3 \\ u_3 &= u_3^0 \end{aligned} \quad (6-115)$$

يفهم ضمناً بأن هذه المركبات هي المركبات الأساسية لشعاع الانتقال والذي يتم نسبه إلى أشعة القاعدة الضدية ( $u = u_\alpha \cdot g^\alpha$ ). تحسب الدورانات حول المحاور الطبيعية وفقاً لفرضيات كيرشوف-لوف كما يلي:

$$\varphi_1 = \frac{\partial u_3}{\partial \theta^2} = u_{3,2}^\circ \quad (6-116)$$

$$\varphi_2 = -\frac{\partial u_3}{\partial \theta^1} = -u_{3,1}^\circ$$

يعبر عن انتقالات نقطة ما لا على التعيين بدلالة انتقالات المستوي الوسطي للبلاطة بتعويض (6-116) في (6-115):

$$\begin{aligned} u_1 &= -\theta^3 \cdot u_{3,1}^\circ \\ u_2 &= -\theta^3 \cdot u_{3,2}^\circ \end{aligned} \quad (6-117)$$

$$u_3 = u_3^\circ$$

تصاغ المعادلتان الأولى والثانية من العلاقة السابقة باستخدام القرائن في المعادلة الوحيدة التالية:

$$u_\alpha = -\theta^3 \cdot u_{3,\alpha}^\circ \quad (6-118)$$

يرتبط جزء موتر الإجهادات في الإحداثيات الطبيعية مع مثيله في الإحداثيات الديكارتية بدمستور التحويل الخاص بالموترات من المرتبة الثانية على الشكل:

$$\varepsilon_{\alpha\beta} = g^i_\alpha \cdot g^j_\beta \cdot \varepsilon_{ij} \equiv \begin{pmatrix} \varepsilon_{11} & \varepsilon_{12} \\ \varepsilon_{21} & \varepsilon_{22} \end{pmatrix} \quad (6-119)$$

وجزاء موتر الإجهادات المرتبط بموتر التشوهات السابق هو:

$$\sigma^{\alpha\beta} = g_i^\alpha \cdot g_j^\beta \cdot \sigma^{ij} \equiv \begin{pmatrix} \sigma^{11} & \sigma^{12} \\ \sigma^{21} & \sigma^{22} \end{pmatrix} \quad (6-120)$$

وترتبط قوى المقطع في الإحداثيات الطبيعية مع مثيلاتها الديكارتية بالعلاقات التالية :

$$m^{\alpha\beta} = g_i^\alpha \cdot g_j^\beta \cdot m^{ij} \quad (6-121)$$

$$q^\alpha = g_i^\alpha \cdot q^i \quad (6-122)$$

حيث تمثل عزوم المقطع موتر من المرتبة الثانية والقوى القاصة فيه موتر من المرتبة الأولى.

وقوى المقطع هذه هي التكاملات على ارتفاع المقطع للإجهادات في الإحداثيات الطبيعية ويمكن الحصول عليها على غرار العلاقات من (6-78) إلى (6-83) باستبدال الإجهادات المنسوبة إلى الإحداثيات الديكارتية بمثلثاتها الموافقة لها في الإحداثيات الطبيعية واستبدال الإحداثي الديكارتى  $x^3$  بالموافق له الطبيعي  $\theta^3$  ، مع العلم أن قوى المقطع يجب أن تحسب لوحدة طول مقدارها  $\sqrt{g}$  . والعلاقات التي تحدد قوى المقطع يمكن اختصارها بالشكل :

$$q^\alpha = \int_{-\frac{1}{2}}^{\frac{1}{2}} \sqrt{g} \cdot \sigma^{\alpha 3} \cdot d\theta^3 \quad (6-123)$$

$$m^{\alpha\beta} = \int_{-\frac{1}{2}}^{\frac{1}{2}} \sqrt{g} \cdot \sigma^{\alpha\beta} \cdot \theta^3 \cdot d\theta^3$$

للحصول مثلاً على موترة التشوهات في الإحداثيات الديكارتية من مثلتها في الإحداثيات الطبيعية نضرب العلاقة (6-119) بمركبات أشعة القاعدة الضدية فنحصل على:

$$g_k^\alpha \cdot g_l^\beta \cdot \varepsilon_{\alpha\beta} = g_k^\alpha \cdot g_l^\beta \cdot g_i^\alpha \cdot g_j^\beta \cdot \varepsilon_{ij} \quad (6-124)$$

وباعتبار أن :

$$g_i^\alpha \cdot g_k^\alpha = \delta^i_k \quad ; \quad g_j^\beta \cdot g_l^\beta = \delta^j_l \quad (6-125)$$

وأن رمز كرونيكر يبدل القرينة التي يتم عليها الجمع بالقرينة الأخرى المستقلة ينتج:

$$g_k^\alpha \cdot g_l^\beta \cdot \varepsilon_{\alpha\beta} = \delta^i_k \cdot \delta^j_l \cdot \varepsilon_{ij} = \varepsilon_{kl} \quad (6-126)$$

إذا استبدلت القرينة  $i$  بالقرينة  $k$  والقرينة  $j$  بالقرينة  $l$  في الطرف الثاني من العلاقة السابقة ، والعلاقة التالية :

$$\varepsilon_{ij} = g_i^\alpha \cdot g_j^\beta \cdot \varepsilon_{\alpha\beta} \quad (6-127)$$

هي نفسها العلاقة (6-126) والأمر لا يتعلق بتسمية القرائن ، وإنما بطريقة التحويل والانتباه إلى القرائن المستقلة والقرائن التي يتم عليها الجمع. وبشكل مشابه نحول الموترات المثلثة لقمم التأخير الأخرى:

$$\sigma^{ij} = g_i^\alpha \cdot g_j^\beta \cdot \sigma^{\alpha\beta} \quad (6-128)$$

$$m^{ij} = g^i_{\alpha} \cdot g^j_{\beta} \cdot m^{\alpha\beta} \quad (6-129)$$

$$q^i = g^i_{\alpha} \cdot q^{\alpha} \quad (6-130)$$

وسوف نستخدم هذه العلاقات في الفقرات المقبلة لتحويل معادلات نظرية المرونة من الإحداثيات الديكارتية إلى الإحداثيات الطبيعية.

### 6-3-2- معادلات نظرية المرونة في الإحداثيات الطبيعية

#### 6-3-2-1- معادلات التوازن

قبل تحويل معادلات التوازن إلى الإحداثيات الطبيعية يجب التنويه إلى أن جداء من الشكل  $g^i_{\alpha} \cdot g^j_{\beta}$  ليس له معنى في علم قواعد حساب المتوترات إذا ما أريد التعبير عن جداء بالشكل  $g^i_{\alpha} \cdot g^j_{\beta} \cdot \delta^{\alpha}_{\gamma}$  وذلك لأن الجداءات  $g^i_{\alpha} \cdot g^j_{\beta}$  غير ممثلة كلها في الجداء  $g^i_{\alpha} \cdot g^j_{\beta}$ . ولذلك يتجنب المرء تكرار استخدام القرائن نفسها أضف إلى ذلك أن استخدام القرينة نفسها قد يؤدي إلى نتائج مغلوطة فمثلاً لا يمكن التعبير عن رمز كرونيكر  $\delta_{ij}$  بالشكل  $\delta_{ij}$  إذ أن  $\delta_{ij} = \delta_{11} + \delta_{22} + \delta_{33} = 3$  وهذا يخالف للتعريف القائل بأن قيمة رمز كرونيكر تساوي الواحد عندما  $i=j$  والصفر عندما  $i \neq j$ .

الآن لتحويل معادلات التوازن (6-86) إلى الإحداثيات الطبيعية نلاحظ فيها أنه يتم الجمع على القرينة  $i$  لهذا نستبدل القرينة  $i$  بقرينة أخرى  $k$  باستخدام رمز كرونيكر وتكون معادلات التوازن هذه مكافئة لـ:

$$m^{ij,k} \cdot \delta_i^k - q^j = 0 \quad (6-131)$$

باعتبار أن المشتق الأساسي  $m^{\alpha\beta}$  يملك خواص المتوترة فالتحويل بينه وبين  $m^{ij,k}$  يتم وفق قواعد حساب المتوترات بالشكل:

$$m^{ij,k} = g^i_{\alpha} \cdot g^j_{\beta} \cdot g^{\gamma}_k \cdot m^{\alpha\beta} \quad (6-132)$$

حيث يتم تحويل كل قرينة بأشعة القاعدة المرتبطة بها وفق موضعها في الأسفل أو في الأعلى. ويتحويل مركبات القوى القاسية أيضاً نحصل على:



$$g^i_\alpha \cdot g^j_\beta \cdot g^{\gamma}_k \cdot \delta^k_i \cdot m^{\alpha\beta} |_\gamma - g^j_\beta \cdot q^\beta = 0 \quad (6-133)$$

وملاحظة أن :

$$g^i_\alpha \cdot g^{\gamma}_k \cdot \delta^k_i = g^i_\alpha \cdot g^{\gamma}_i = \delta^{\gamma}_\alpha \quad (6-134)$$

نحصل بعد إخراج  $g^j_\beta$  خارج قوسين على :

$$g^j_\beta (m^{\alpha\beta} |_\gamma \cdot \delta^{\gamma}_\alpha - q^\beta) = 0 \quad (6-135)$$

وبضرب هذه المعادلة بـ  $g_j^\delta$  نحصل على :

$$\begin{aligned} g_j^\delta g^j_\beta (m^{\alpha\beta} |_\gamma \cdot \delta^{\gamma}_\alpha - q^\beta) &= 0 \quad \delta^\delta_\beta (m^{\alpha\beta} |_\gamma \cdot \delta^{\gamma}_\alpha - q^\beta) = 0 \\ &= \delta^\delta_\beta (m^{\alpha\beta} |_\alpha - q^\beta) = (m^{\alpha\beta} |_\alpha - q^\beta) \end{aligned} \quad (6.136)$$

وهي نفس العلاقة فيما لو كتبنا :

$$m^{\alpha\beta} |_\alpha - q^\beta = 0 \quad ; m^{\alpha\beta} |_\beta - q^\alpha = 0 \quad (6-137)$$

وذلك باعتبار تناظر مؤثرة عزوم المقطع.

وبنفس الأسلوب يتم تحويل معادلة توازن القوى القاصية (المعادلة الأولى من العلاقة (6-86)) لتأخذ الشكل:

$$q^\alpha |_\alpha + \bar{p}^3 = 0 \quad (6-138)$$

## 6-3-2-2-علاقات التشوهات-الانتقالات

يتم تحويل علاقات التشوهات-الانتقالات من الإحداثي الديكارتي إلى الإحداثي الطبيعي بضرب طرفي علاقة التشوهات-الانتقالات في الإحداثي الديكارتي بـ  $g^i_\alpha \cdot g^j_\beta$  :

$$g^i_\alpha \cdot g^j_\beta \cdot \varepsilon_{ij} = \frac{1}{2} g^i_\alpha \cdot g^j_\beta (u_{i,j} + u_{j,i}) \quad (6-139)$$

وملاحظة العلاقاتين (6-119) و(6-49) تصبح علاقات التشوهات-الانتقالات في الإحداثيات الطبيعية كما يلي:

$$\varepsilon_{\alpha\beta} = \frac{1}{2} (u_{\alpha|\beta} + u_{\beta|\alpha}) \quad (6-140)$$

والمشتقات الواردة في العلاقة السابقة هي مشتقات أساسية ولها خواص الموترات ومعرفة كما في العلاقة (6-51).

نريد الآن صياغة المشتق الأساسي  $u_{\alpha|\beta}$  بدلالة الانتقال  $u_3^\circ$  وتعريف المشتق الأساسي من المرتبة الثانية للقيمة الأخيرة وذلك للمحافظة على خواص تحويله كموترة من المرتبة الثانية. يمكن صياغة العلاقة (6-118) بتحويل طرفها الثاني إلى الإحداثي الديكارتي بالشكل:

$$u_\alpha = -\theta^3 \cdot g^i_\alpha \cdot u_{3,i}^\circ \quad (6-141)$$

وبالاشتقاق بالنسبة لـ  $\beta$  ينتج:

$$\begin{aligned} u_{\alpha,\beta} &= -\theta^3 (g^i_{\alpha,\beta} \cdot u_{3,i}^\circ + g^i_\alpha \cdot \frac{\partial u_{3,i}^\circ}{\partial x^j} \cdot \frac{\partial x^j}{\partial \theta^\beta}) \\ &= -\theta^3 (g^i_{\alpha,\beta} \cdot g_i^\gamma u_{3,\gamma}^\circ + g^i_\alpha \cdot g^j_\beta \cdot u_{3,j}^\circ) \end{aligned} \quad (6-142)$$

في الحد الأول من الطرف الثاني للعلاقة السابقة حولت  $u_{3,i}^\circ$  إلى الإحداثي الطبيعي ثانية. وينقل هذا الحد إلى الطرف الأول بعد ملاحظة العلاقة (6-118) نحصل على:

$$u_{\alpha,\beta} - g^i_{\alpha,\beta} \cdot g_i^\gamma \cdot u_\gamma = u_{\alpha|\beta} = -\theta^3 \cdot g^i_\alpha \cdot g^j_\beta \cdot u_{3,j}^\circ \quad (6-143)$$

نعرف الآن المشتق الأساسي من المرتبة الثانية للانتقال  $u_3^\circ$  بالشكل:

$$u_{3|\alpha\beta}^\circ = g^i_\alpha \cdot g^j_\beta \cdot u_{3,j}^\circ \quad (6-144)$$

يلاحظ أن الطرف الثاني يحول كموترة من المرتبة الثانية ، وبضرب هذه العلاقة بالجداء  $g_k^\alpha \cdot g_l^\beta$  نحصل على علاقة التحويل بالاتجاه المعاكس:

$$u_{3,kl}^\circ = g_k^\alpha \cdot g_l^\beta \cdot u_{3|\alpha\beta}^\circ \quad (6-145)$$

ومغازنة العلاقتين (6-143)-(6-144) نحصل على الصياغة المطلوبة :

$$u_{\alpha|\beta} = -\theta^3 \cdot u_{3|\alpha\beta}^\circ \quad (6-146)$$

وبالتالي يمكن التعبير عن موترة التشوهات بدلالة المشتق الأساسي من المرتبة الثانية للانتقال:

$$\varepsilon_{\alpha\beta} = -\frac{1}{2} \theta^3 (u_{3|\alpha\beta}^\circ + u_{3|\beta\alpha}^\circ) \quad (6-147)$$

يحتوي جزء موترة التشوهات هذا على التشوهات  $\varepsilon_{22}, \varepsilon_{21}, \varepsilon_{12}, \varepsilon_{11}$ . أما تشوهات القصر  $\varepsilon_{23}, \varepsilon_{13}$  فنستخدم في علاقات مشابهة للعلاقة (6-75).

### 6-3-2-3- قانون السلوك

للحصول على قانون السلوك للمادة في الإحداثيات الطبيعية نعوض جزءة متوترة التشوهات (127-6) وجزءة متوترة الإجهادات (128-6) في قانون السلوك الخطسي لحالة الإحداثيات الديكارتية (90-6) فنتتج لدينا العلاقة التالية :

$$g^i_\alpha \cdot g^j_\beta \cdot \sigma^{\alpha\beta} = c^{ijkl} \cdot g^i_k \cdot g^j_l \cdot \varepsilon_{\gamma\delta} \quad (6-148)$$

بضرب هذه العلاقة من الطرفين بالجداء  $g_i^\eta \cdot g_j^\zeta$  نحصل على :

$$g_i^\eta \cdot g_j^\zeta \cdot g^i_\alpha \cdot g^j_\beta \cdot \sigma^{\alpha\beta} = \delta_\alpha^\eta \cdot \delta_\beta^\zeta \cdot \sigma^{\alpha\beta} = \sigma^{\eta\zeta} \\ = g_i^\eta \cdot g_j^\zeta \cdot c^{ijkl} \cdot g^i_k \cdot g^j_l \quad (6-149)$$

يلاحظ أنه إذا ألحقنا مركبات أشعة القاعدة الضدية بمعاملات المرونة للمادة بالشكل:

$$c^{\eta\zeta\gamma\delta} = g_i^\eta \cdot g_j^\zeta \cdot c^{ijkl} \cdot g^i_k \cdot g^j_l \quad (6-150)$$

لتمكنا من معاملة معاملات المرونة كموترة من المرتبة الرابعة إذ يتم تحويلها تماماً بنفس أسلوب تحويل الموترة من المرتبة الرابعة ولأصبحت العلاقة (149-6) كالتالي:

$$\sigma^{\eta\zeta} = c^{\eta\zeta\gamma\delta} \cdot \varepsilon_{\gamma\delta} \quad \text{أو} \quad \sigma^{\alpha\beta} = c^{\alpha\beta\gamma\delta} \cdot \varepsilon_{\gamma\delta} \quad (6-151)$$

يمكن الآن أن نطلق على معاملات المرونة متوترة للمادة ويمكن الاستنتاج أن تحويلها بالشكل المعاكس أي من الإحداثيات الطبيعية إلى الإحداثيات الديكارتية يتم بالشكل التالي:

$$c^{ijkl} = g^i_\alpha \cdot g^j_\beta \cdot c^{\alpha\beta\gamma\delta} \cdot g^k_\gamma \cdot g^l_\delta \quad (6-152)$$

### 6-3-2-4- علاقات قوى المقطع-الانتقالات

على غرار تعريف الانحناءات المنسوبة إلى الإحداثيات الديكارتية نعرف الانحناءات في الإحداثيات الطبيعية بالشكل:

$$\chi_{\alpha\beta} = -\frac{1}{2}(u^0_{3|\alpha\beta} + u^0_{3|\beta\alpha}) \quad (6-153)$$

وعلى هذا الأساس يمكن صياغة جزء موترة التشوهات في الإحداثيات الطبيعية بدلالة الانحناءات النسوية إليها بالشكل:

$$\varepsilon_{\alpha\beta} = \theta^3 \cdot \chi_{\alpha\beta} \quad (6-154)$$

وتكون موترة الإجهادات في الإحداثيات الطبيعية مكافئة لـ :

$$\sigma^{\alpha\beta} = \theta^3 \cdot c^{\alpha\beta\gamma\delta} \cdot \chi_{\gamma\delta} \quad (6-155)$$

وبمعاملة الإجهادات على ارتفاع المقطع بشكل مماثل لما فعلناه في الحالة الديكارتية نحصل على موترة عزوم المقطع التالية:

$$m^{\alpha\beta} = E^{\alpha\beta\gamma\delta} \cdot \chi_{\gamma\delta} \quad (6-156)$$

يمكن معاملة  $E^{\alpha\beta\gamma\delta}$  معاملة الموترة، ويجري تحويله بشكل مشابه للموترة  $c^{\alpha\beta\gamma\delta}$  بالشكل:

$$E^{\alpha\beta\gamma\delta} = g_i^{\eta} \cdot g_j^{\zeta} \cdot E^{ijkl} \cdot g_k^{\gamma} \cdot g_l^{\delta} \quad (6-157)$$

أو بالاتجاه العكسي:

$$E^{ijkl} = g^i_{\alpha} \cdot g^j_{\beta} \cdot E^{\alpha\beta\gamma\delta} \cdot g^k_{\gamma} \cdot g^l_{\delta} \quad (6-158)$$

### 6-3-3-المعادلة التفاضلية في الإحداثيات الطبيعية:

يمكن الحصول على المعادلة التفاضلية في الإحداثيات الطبيعية بنفس الطريقة التي تم بها الحصول عليها في الإحداثيات الديكارتية. إذ نقوم أولاً بتشكيل معادلة توازن عزوم المقطع في الإحداثيات الطبيعية بمحذف القوى القاسية من المعادلة (6-138) وذلك باشتقاق المعادلة (6-137) وتعويض الناتج في المعادلة (6-138) بالشكل:

$$m^{\alpha\beta} |_{\beta\alpha} = -p^3 \quad (6-159)$$

في هذه العلاقة يتم الجمع على القريبتين  $\alpha, \beta$ . ويمكن استنتاج هذه العلاقة من مثيلتها الديكارتية (6-87) بتحويل هذه الأخيرة إلى الإحداثيات الطبيعية وفق قواعد التحويل السابقة الذكر. ومن ثم نعوض علاقات قوى المقطع-الانحناءات (6-156) في العلاقة (6-159) وذلك بعد استبدال الانحناءات بمشتقات الانتقالات من العلاقة (6-153) وبعد الإجراءات السابقة نحصل على المعادلة التفاضلية التالية:

$$(E^{\alpha\beta\gamma\delta} \cdot u_{3|\gamma\delta}^{\circ})|_{\alpha\beta} = \bar{p}^3 \quad (6-160)$$

يلاحظ في هذه العلاقة أن الجمع يتم أيضا على القريتين  $\alpha, \beta$  وأنه يجب أن نعرف المشتق الأساسي من الدرجة الرابعة للانتقال  $u_3^{\circ}$ ، ولهذا الغرض ننتقل من العلاقة (6-144) التي عرف بها المشتق الأساسي من المرتبة الثانية للانتقال  $u_3^{\circ}$ . ونعتمد بنفس الطريقة إلى تعريف المشتق الأساسي من المرتبة الثالثة لهذا الانتقال بحيث يملك خواص موترية من المرتبة الثالثة بالشكل:

$$u_{3|\alpha\beta\gamma}^{\circ} = g_{\alpha}^i \cdot g_{\beta}^j \cdot g_{\gamma}^k \cdot u_{3,ijk}^{\circ} \quad (6-161)$$

وبإتباع خطوات مشابهة لما ورد في إيجاد المشتق الأساسي من المرتبة الثانية فسوف نجد أن :

$$u_{3|\alpha\beta\gamma}^{\circ} = (u_{3|\alpha\beta}^{\circ})_{,\gamma} - \Gamma_{\alpha\gamma}^{\eta} \cdot u_{3|\eta\beta}^{\circ} - \Gamma_{\beta\gamma}^{\epsilon} \cdot u_{3|\alpha\epsilon}^{\circ} \quad (6-162)$$

ورمز كريستوفل الواردة في هذه العلاقة يمكن استنتاجها على غرار تلك الواردة في العلاقة (52)-6 ويعرف المشتق الأساسي من المرتبة الرابعة للانتقال  $u_3^{\circ}$  بالشكل:

$$u_{3|\alpha\beta\gamma\delta}^{\circ} = g_{\alpha}^i \cdot g_{\beta}^j \cdot g_{\gamma}^k \cdot g_{\delta}^l \cdot u_{3,ijkl}^{\circ} \quad (6-163)$$

وهذا المشتق يمكن الحصول عليه من المشتق الأساسي (6-161) بإتباع نفس خطوات الاشتقاق بالشكل:

$$u_{3|\alpha\beta\gamma\delta}^{\circ} = (u_{3|\alpha\beta\gamma}^{\circ})_{,\delta} - \Gamma_{\alpha\delta}^{\eta} \cdot u_{3|\eta\beta\gamma}^{\circ} - \Gamma_{\beta\delta}^{\epsilon} \cdot u_{3|\alpha\epsilon\gamma}^{\circ} - \Gamma_{\gamma\delta}^{\epsilon} \cdot u_{3|\alpha\beta\epsilon}^{\circ} \quad (6-164)$$

ويمكن الحصول أيضا على المعادلة التفاضلية في الإحداثيات الطبيعية بتحويل مثلتها في الإحداثيات الديكارتية (6-96) إلى الإحداثيات الطبيعية لهذا الغرض نكتب الأخيرة بالشكل :

$$k \cdot u_{3,ijkl}^{\circ} \cdot \delta_j^k \cdot \delta_i^l = \bar{p}^3 \quad (6-165)$$

حتى يتم تلافي عرق قاعدة الجمع لـ Einstein وذلك باعتبار أن الجمع يتم على القريتين  $j, i$ . والعلاقة السابقة يمكن تحويلها إلى الإحداثيات الطبيعية باستخدام معكوس العلاقة (6-163) التالي:

$$u_{3,ijkl}^{\circ} = g_i^{\alpha} \cdot g_j^{\beta} \cdot g_k^{\gamma} \cdot g_l^{\delta} \cdot u_{3|\alpha\beta\gamma\delta}^{\circ} \quad (6-166)$$

وذلك بالشكل :

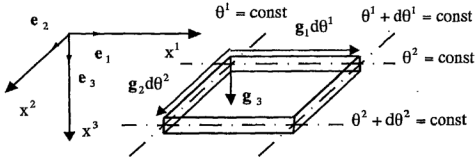
$$k \cdot g_i^{\alpha} \cdot g_j^{\beta} \cdot g_k^{\gamma} \cdot g_l^{\delta} \cdot \delta_j^k \cdot \delta_i^l \cdot u_{3|\alpha\beta\gamma\delta}^{\circ} = \bar{p}^3 \quad (6-167)$$

والمعادلة الأخيرة تمثل المعادلة التفاضلية في الإحداثيات الطبيعية.

ملاحظة: في العلاقتين (6-165) و(6-167) يجب التمييز بين  $k$  المستخدمة كقرينة و  $k$  المستخدمة للتعبير عن قساوة البلاطة.

#### 6-3-4- مبدأ الطاقة الكامنة الأصغري

قبل تحويل مبدأ الطاقة الكامنة الأصغري من الإحداثيات الديكارتية العلاقتين (6-111) و(6-112) (6) لابد من إيجاد العنصر الحجمي  $dV$  في الإحداثيات الطبيعية والمقابل لمثيله  $dV = dx^1 dx^2 dx^3$  في الإحداثيات الطبيعية والمقابل لمثيله في الإحداثيات الديكارتية  $dA = dx^1 dx^2$ .



شكل 6-14: العنصر الحجمي والعنصر السطحي

لنبدأ الآن بحساب عنصر تفاضلي سطحي  $dA$  مقطوع من بلاطة بين تزايد الخط الإحداثي الطبيعي  $\theta^1 = \text{const}$  إلى  $\theta^1 + d\theta^1 = \text{const}$ ، وتزايد الخط الإحداثي الطبيعي  $\theta^2 = \text{const}$  إلى  $\theta^2 + d\theta^2 = \text{const}$ ، انظر الشكل (6-14)، يمكن التعبير عن التزايد التفاضلي على الخط الإحداثي الطبيعي  $\theta^2 = \text{const}$  لتغير الإحداثي الطبيعي من  $\theta^1 = \text{const}$  إلى  $\theta^1 + d\theta^1 = \text{const}$  بالشعاع  $g_1 \cdot d\theta^1$ ، والتزايد التفاضلي على الخط الإحداثي الطبيعي

$\theta^1 = \text{const}$  بتغير الإحداثي الطبيعي من  $\theta^2 = \text{const}$  إلى  $\theta^2 + d\theta^2 = \text{const}$  بالشعاع  $g_2 \cdot d\theta^2$  ومساحة متوازي الأضلاع المنشأ على هذين الشعاعين مساو إلى:

$$dA = |g_1 \times g_2| d\theta^1 \cdot d\theta^2 \quad (6-168)$$

أو:

$$dA = \sqrt{(g_1 \times g_2) \cdot (g_1 \times g_2)} d\theta^1 \cdot d\theta^2 \quad (6-169)$$

ولحساب الجداء نستخدم قاعدة جداءات الأشعة التالية :

$$(u \times v)(y \times z) = (u \cdot y)(v \cdot z) - (v \cdot y)(u \cdot z) \quad (6-170)$$

وذلك باعتبار  $u, v, y, z$  أشعة ما لا على التعمين. وتطبيق هذه القاعدة على الجداء تحت الجذر نحصل على:

$$dA = \sqrt{g_{11}g_{22} - g_{12}g_{21}} d\theta^1 d\theta^2 = \sqrt{g} d\theta^1 d\theta^2 \quad (6-171)$$

وذلك بعد مراعاة العلاقة (6-18).

لحساب العنصر الحجمي  $dV$  يجب أن نعين أيضا الشعاع  $g_3$  وهو لحالة عنصر من بلاطة مستوية ثابت ومساو إلى شعاع الواحدة على المحور  $x^3$  لتطابق المحورين  $x^3, \theta^3$ . أي أن  $g_3 = e_3$  وطويلة هذا الشعاع بالتالي مساوية للواحد، وتزايد العنصر التفاضلي باتجاه  $\theta^3$  يعبر عنه بالشعاع  $g_3 d\theta^3$  وبالتالي يكون العنصر الحجمي:

$$dV = (g_1 d\theta^1 \times g_2 d\theta^2) \cdot g_3 d\theta^3 = \sqrt{g} \cdot 1 \cdot d\theta^1 d\theta^2 d\theta^3 \quad (6-172)$$

يمكن الآن تحويل الطاقة الكامنة (6-111) من الإحداثيات الديكارتية إلى الإحداثيات الطبيعية باستخدام العلاقات (6-127), (6-150), (6-171), (6-172) وبعد اعتبار المعادلة الثالثة من العلاقة (6-115) وأن الجمولات  $\bar{p}^3$  لا تتغير بعد نسبها إلى الإحداثيات الطبيعية نحصل على:

$$\Pi = \sum_{\alpha} \left( \frac{1}{2} \int_V \varepsilon_{\alpha\beta} c^{\alpha\beta\gamma\delta} \varepsilon_{\gamma\delta} dV - \int_A \bar{p}^3 u_3^{\circ} dA \right) - \sum_m \bar{F}^{(m)} u_{(m)}^{\circ} \quad (6-173)$$

نبدل الآن جزء موتر التشوهات  $\varepsilon_{\alpha\beta}$  بقيمتها الواردة في العلاقة (6-154) ونحول التكامل الحجمي إلى تكامل على السطح وعلى ارتفاع المقطع فنحصل على:

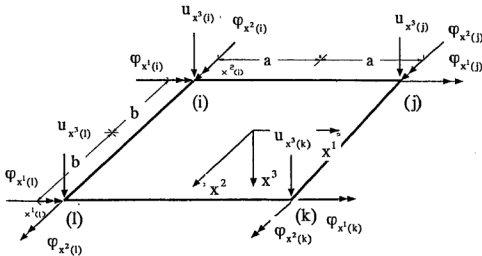
$$\Pi = \sum_{\epsilon} \left[ \frac{1}{2} \int_A \chi_{\alpha\beta} \left( \int_{-\frac{1}{2}}^{\frac{1}{2}} c^{\alpha\beta\gamma\delta} \theta^3 d\theta^3 \right) \chi_{\gamma\delta} dA - \int_A \bar{p}^3 u_3^* dA \right] - \sum_{(m)} \bar{F}^{(m)} u_{(m)}^* \quad (6-174)$$

والتكامل المحصور بين القوسين الصغيرين يساوي إلى الموترية  $E^{\alpha\beta\gamma\delta}$  المعطاة بالعلاقة (6-157) وبالتالي يكون:

$$\Pi = \sum_{\epsilon} \left[ \frac{1}{2} \int_A \chi_{\alpha\beta} E^{\alpha\beta\gamma\delta} \chi_{\gamma\delta} \sqrt{g} d\theta^1 d\theta^2 - \int_A \bar{p}^3 u_3^* \sqrt{g} d\theta^1 d\theta^2 \right] - \sum_m F^{(m)} u_{(m)}^* \quad (6-175)$$

وهو تعبير الطاقة الكامنة في الإحداثيات الطبيعية لبلاطة رقيقة تحت تأثير الحملات الخارجية المعتدلة، وفي حالة وجود حمولات موزعة مؤثرة على أطراف العناصر المنتهية يجب اعتبار العمل الذي تؤديه مثل هذه القوى في البلاطة السابقة. وللإلمام بجوانب الموضوع سوف ندرس في الفقرة القادمة عنصر منته مستطيل من نموذج الانتقالات في الإحداثيات الديكارتية. وهذا العنصر معروف في المصادر العلمية بأنه العنصر ACM لبلاطة رقيقة. ومن ثم تنتقل إلى معالجة عنصر مطور عنه بالطريقة المقترحة لربط الحملات بتتابع الانتقالات وستتم الدراسة الأخيرة في الإحداثيات الطبيعية.

#### 6-4- عنصر منته مستطيل من نموذج الانتقالات



شكل (6-15): عنصر منته مستطيل لبلاطة رقيقة، المحاور الإحداثية، درجات الحرية.



لنقتطع من بلاطة مستوية عنصرا منتهيا مستطيلا أبعاده  $2a \cdot x2b$  ولننسبه إلى جملة محاور إحداثية ديكارتية شكل (6-15). لكل عقدة من عقد العنصر ثلاث درجات حرية وهي مثلا للعقدة (i) الانتقال  $u_x^i$  في اتجاه  $x^3$  والدوران  $\varphi_{x^1}$  حول  $x^1$  والدوران  $\varphi_{x^2}$  حول  $x^2$ . وبالتالي يمكننا فرض تابع انتقالات يحتوي على اثني عشر ثابتا لإمكانية تحديد هذه الثوابت بدلالة انتقالات العقد.

اختير لوصف الحالة الانتقالية ضمن العنصر المنتهي التابع التالي:

$$\begin{aligned} u_x^i(x^1, x^2) = & c_0 + c_1 x^1 + c_2 x^2 + c_3 (x^1)^2 + c_4 x^1 x^2 + c_5 (x^2)^2 + c_6 (x^1)^3 + c_7 (x^1)^2 x^2 \\ & + c_8 x^1 (x^2)^2 + c_9 (x^2)^3 + c_{10} (x^1)^3 x^2 + c_{11} x^1 (x^2)^3 \\ = & x^n \cdot c_n \end{aligned} \quad (6-176)$$

وهذا التابع هو من التوابع التقريبية المصنف في المصادر العلمية كـ *sserendipity class* وهو تابع غير كامل لافتقاره إلى كافة حدود المرتبة الرابعة من مثلث باسكال وهي:  $(x^2)^4, (x^1)^2 (x^2)^2, (x^1)^3 x^2, (x^1)^4$  على التوالي. ولكنه يبدى سلوكا حسنا في تقاربه إلى الحل الدقيق. باستخدام العلاقات (6-73) تشتق الدورانات  $\varphi_{x^2}, \varphi_{x^1}$  ضمن العنصر المنتهي، وبعد القيام بهذا الإجراء وتجميع العلاقات الناتجة بشكل مصفوفي نحصل على الصيغة التالية:

$$\begin{bmatrix} u_x^i \\ \varphi_{x^1} \\ \varphi_{x^2} \end{bmatrix} = \begin{bmatrix} 1 & x^1 & x^2 & (x^1)^2 & x^1 x^2 & (x^2)^2 & (x^1)^3 & (x^1)^2 x^2 & x^1 (x^2)^2 & (x^2)^3 & (x^1)^3 x^2 & x^1 (x^2)^3 \\ & & 1 & & x^1 & 2x^2 & (x^1)^2 & 3x^1 x^2 & 3(x^2)^2 & (x^1)^3 & 3x^1 (x^2)^2 & \\ & & -1 & -2x^1 & -x^2 & & -3(x^1)^2 & -2x^1 x^2 & -(x^2)^3 & & -3(x^1)^2 x^2 & -(x^2)^3 \end{bmatrix} \begin{bmatrix} c_0 \\ c_1 \\ c_2 \\ c_3 \\ c_4 \\ c_5 \\ c_6 \\ c_7 \\ c_8 \\ c_9 \\ c_{10} \\ c_{11} \end{bmatrix}$$

$$u_i^0 = x_i^0 c_n, \quad i = 1, 2, 3, \quad n = 0, 1, 2, \dots, 11 \quad (6-177)$$

حيث يعبر  $u_i^0$  الآن عن الشعاع الوارد في الطرف اليساري للعلاقة السابقة. بتعويض إحداثيات العقد (i), (j), (k), (l) في العلاقة السابقة نحصل على جملة معادلات خطية مؤلفة من اثني عشر معادلة على الشكل التالي:

$$u_{i(p)}^0 = A_{i(p)}^n c_n, \quad (p) = (i), (j), (k), (l) \quad (6-178)$$

بماهيها هي الثوابت الاختيارية  $c_n$  و  $u_{i(p)}^0$  هي انتقالات ودورانات عقد العنصر  $A_{i(p)}^n$  مصفوفة تحتوي فقط على قيم معلومة متعلقة بالإحداثيات الديكارتية لعقد العنصر المنتهي. تبين التجربة أن المصفوفة  $A_{i(p)}^n$  قابلة في هذه الحالة للعكس دوماً باعتبار معكوسها  $B_n^{i(p)}$  تتحدد الثوابت الاختيارية بدلالة انتقالات العقد بالشكل:

$$c_n = B_n^{i(p)} u_{i(p)} \quad (6-179)$$

نعوض الآن الثوابت الاختيارية في العلاقة (6-176) فنحصل على العلاقة التالية:

$$u_{x^3}^0 = x^n B_n^{j(p)} u_{j(p)} = N^{j(p)} u_{j(p)} \quad (6-180)$$

حيث  $N^{j(p)}$  توابع الشكل وهي:

$$N^{1(i)} = [2 - 3\theta^1 - 3\theta^2 + 4\theta^1\theta^2 + (\theta^1)^3 + (\theta^2)^3 - (\theta^1)^3\theta^2 - \theta^1(\theta^2)^3]/8$$

$$N^{2(i)} = [1 - \theta^1 - \theta^2 + \theta^1\theta^2 - (\theta^2)^2 + \theta^1(\theta^2)^2 + (\theta^2)^3 - \theta^1(\theta^2)^3]/8$$

$$N^{3(i)} = [-1 + \theta^1 + \theta^2 + (\theta^1)^2 - \theta^1\theta^2 - (\theta^1)^3 - (\theta^1)^2\theta^2 + (\theta^1)^3\theta^2]/8$$

$$N^{1(j)} = [2 + 3\theta^1 - 3\theta^2 - 4\theta^1\theta^2 - (\theta^1)^3 + (\theta^2)^3 + (\theta^1)^3\theta^2 + \theta^1(\theta^2)^3]/8$$

$$N^{2(j)} = [1 + \theta^1 - \theta^2 - \theta^1\theta^2 - (\theta^2)^2 - \theta^1(\theta^2)^2 + (\theta^2)^3 + \theta^1(\theta^2)^3]/8$$

$$N^{3(j)} = [1 + \theta^1 - \theta^2 - (\theta^1)^2 - \theta^1\theta^2 - (\theta^1)^3 + (\theta^1)^2\theta^2 + (\theta^1)^3\theta^2]/8$$

$$N^{1(k)} = [2 + 3\theta^1 + 3\theta^2 + 4\theta^1\theta^2 - (\theta^1)^3 - (\theta^2)^3 - (\theta^1)^3\theta^2 - \theta^1(\theta^2)^3]/8$$

$$N^{2(k)} = [-1 - \theta^1 - \theta^2 - \theta^1\theta^2 + (\theta^2)^2 + \theta^1(\theta^2)^2 + (\theta^2)^3 + \theta^1(\theta^2)^3]/8$$

$$N^{3(k)} = [1 + \theta^1 + \theta^2 - (\theta^1)^2 + \theta^1\theta^2 - (\theta^1)^3 - (\theta^1)^2\theta^2 - (\theta^1)^3\theta^2]/8$$

$$N^{1(l)} = [2 - 3\theta^1 + 3\theta^2 - 4\theta^1\theta^2 + (\theta^1)^3 - (\theta^2)^3 + (\theta^1)^3\theta^2 + \theta^1(\theta^2)^3]/8$$

$$N^{2(l)} = [-1 + \theta^1 - \theta^2 + \theta^1\theta^2 + (\theta^2)^2 - \theta^1(\theta^2)^2 + (\theta^2)^3 - \theta^1(\theta^2)^3]/8$$

$$N^{3(l)} = [-1 + \theta^1 - \theta^2 + (\theta^1)^2 + \theta^1\theta^2 - (\theta^1)^3 + (\theta^1)^2\theta^2 - (\theta^1)^3\theta^2]/8$$

(6-181)

$$\text{حيث: } \theta^2 = \frac{x^2}{b}, \quad \theta^1 = \frac{x^1}{b}$$

تشتق الانحناءات من التابع التقريبي للانتقالات (6-180) وفق العلاقات (6-92) فينتج أن :

$$\chi_{ij} = -\frac{1}{2} (N_{,ij}^{r(p)} + N_{,ji}^{r(p)}) u_{r(p)} = -N_{,ij}^{r(p)} u_{r(p)} \quad (6-182)$$

بالتوابع التقريبية (6-182)، تأخذ الطاقة الكامنة لحالة بلاطة رقيقة (6-114) الشكل :

$$\begin{aligned} \pi = & \sum_e \left[ \frac{1}{2} u_{r(p)} \left( \int_{\Lambda} N_{,ij}^{r(p)} \cdot E^{ijkl} \cdot N_{,kl}^{s(q)} \cdot dA \right) u_{s(q)} - u_{r(p)} \int_{\Lambda} p^{-3} \cdot N^{r(p)} \cdot dA \right. \\ & \left. - \sum_m \bar{F}^{(m)} \cdot u_{(m)}^{\circ} \right] \\ = & \sum_e \left( \frac{1}{2} \cdot u_{r(p)} k^{r(p)s(q)} u_{s(q)} - u_{r(p)} \bar{F}^{r(p)} \right) - \sum_m \bar{F}^m u_{(m)}^{\circ} \end{aligned} \quad (6-183)$$

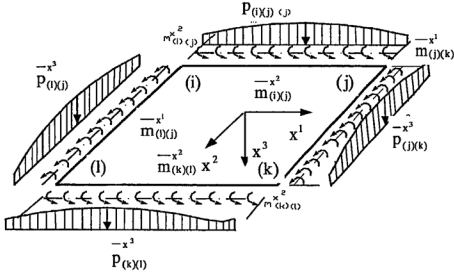
حيث :

$$k^{r(p)s(q)} = \int_{\Lambda} N_{,ij}^{r(p)} \cdot E^{ijkl} \cdot N_{,kl}^{s(q)} \cdot dA \quad (6-184)$$

مصفوفة القساوة لعنصر البلاطة الرقيقة.و:

$$\bar{F}^{r(p)} = \int_{\Lambda} p^{-3} \cdot N^{r(p)} \cdot dA \quad (6-185)$$

الحمولات المركزة على عقد عنصر البلاطة الرقيقة المكافئة للحمولة الموزعة.



شكل 6-16: حمولات خارجية على أطراف العنصر المنتهي.

وفي حال وجود حمولات خارجية على أطراف العنصر المنتهي كما هو مبين في الشكل (6-16) يجري الانتقال من مبدأ الطاقة الكامنة الأصغري لحالة الجسم الفراغي إلى الحالة المستوية لبلاطة رقيقة بشكل مائل لما ورد عند الانتقال من المعادلة (5-57) إلى المعادلة (5-60) وذلك بعد فرض أن الحمولات الخارجية المطبقة على الأطراف الفاصلة بين عنصرين منتهيين متجاورين يمكن توزيعها بشكل عشوائي أو إلحاقها بأحد العنصرين أو كلاهما. والعمل الخارجي المنجز من قبل هذه القوى:

$$T = - \sum_e \int_{s_e} \bar{p}_{b,e} \cdot u_r^{b,e} \cdot dS \quad (6-186)$$

يجب إضافته إلى قيمة الطاقة الكامنة النهائية.

حيث  $\bar{p}_{b,e}$  شعاع القوى الخارجية المؤثرة على أطراف العنصر المنتهي.  $u_r^{b,e}$  توابع الانتقالات على هذه الأطراف. وتشتق توابع الانتقالات على طرف ما من أطراف العنصر المنتهي بتعويض معادلة هذا الطرف في توابع الانتقالات التقريبية ضمن العنصر المنتهي.

تستخدم التوابع التقريبية أيضا لوصف توابع الحمولات الخارجية على أطراف العناصر المنتهية. فعلى سبيل المثال إذا ماتم إعطاء تابع الحمولة  $\bar{p}_{(i)(j)}$  على الطرف (i) (j) بثلاث قيم وهي قيمة الحمولة في العقدة (i) وقيمة الحمولة في منتصف الطرف (i) (j) وقيمتها في العقدة (j) ولتكن هذه القيم  $\bar{p}_{(i)(j)}^{-1}, \bar{p}_{(i)(j)}^{-2}, \bar{p}_{(i)(j)}^{-3}$  على التوالي عندها يمكن التعبير التقريبي عن تابع الحمولة  $\bar{p}_{(i)(j)}$  بتابع شكل من الدرجة الثانية في  $x^1$  يجري استنتاجه على غرار استنتاج التوابع التقريبية أثناء التعبير عن الانتقالات.

ليكن التابع التقريبي الذي يصف الحمولة من الشكل:

$$\bar{p}_{(i)(j)} = [A_1 \quad A_2 \quad A_3] \cdot \begin{bmatrix} \bar{p}_{(i)(j)}^{-1} \\ \bar{p}_{(i)(j)}^{-2} \\ \bar{p}_{(i)(j)}^{-3} \end{bmatrix} = A_k \cdot \bar{p}_{(i)(j)}^{-k} \quad (6-187)$$

حيث  $A_k$  تمثل توابع الشكل، وهي تابعة في حالة الحمولات السابقة للإحداثي  $x^1$ .  
على غرار هذا التابع يمكن كتابة التوابع الأخرى للحمولات. نرتب الآن توابع الحمولة الخارجية  
قاطبة في شعاع من الشكل:

$$\begin{aligned} \bar{p}_{b,e}^{-r} &= \left\{ \bar{p}_{(i)(j)}^{-x^3} \quad \bar{m}_{(i)(j)}^{-x^2} \quad \bar{p}_{(j)(k)}^{-x^3} \quad \bar{m}_{(j)(k)}^{-x^1} \quad \bar{p}_{(k)(l)}^{-x^3} \quad \bar{m}_{(k)(l)}^{-x^2} \quad \bar{p}_{(l)(i)}^{-x^3} \quad \bar{m}_{(l)(i)}^{-x^1} \right\} \\ &= A_k^r \cdot \bar{p}_{b,e}^{-k} \end{aligned} \quad (6-188)$$

$\bar{p}_{b,e}^{-k}$  هي قيم الحمولات الخارجية المعطاة لوصف توابع الحمولات مرتبة وفق التسلسل الوارد  
للشعاع.

نرتب الانتقالات للأطراف في شعاع موافق لتسلسل الحمولات بحيث يعطى الجداء السلمي  
لشعاع الحمولات في شعاع الانتقالات العمل الناتج من الحمولة الخارجية وهذا التسلسل هو:

$$u_r^{b,e} = \left\{ u_{x^3}^{(i)(j)} \quad \varphi_{x^1}^{(i)(j)} \quad u_{x^3}^{(j)(k)} \quad \varphi_{x^2}^{(j)(k)} \quad u_{x^3}^{(k)(l)} \quad \varphi_{x^1}^{(k)(l)} \quad u_{x^3}^{(l)(i)} \quad \varphi_{x^2}^{(l)(i)} \right\} \quad (6-189)$$

نتج هذه التوابع من توابع الشكل (6-180) بتعويض معادلات الأطراف فيها. وبالنسبة نحصل  
بعد التعويض على الشكل المصفوفي التالي:

$$u_r^{b,e} = L_r^{b,e(j)(p)} \cdot u_{j(p)} = L_r^{b,es(q)} \cdot u_{s(q)} \quad (6-190)$$

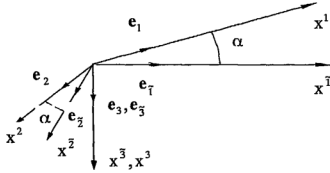
ويصبح العمل الخارجي لهذه الحمولات على مستوى العنصر المنتهي مساوياً لـ:

$$T = \left( - \int_{s_{b,e}^0}^{-k} \bar{p}_{b,e}^r \cdot A_k^r \cdot L_r^{b,es(q)} \cdot dS \right) u_{s(q)} = -\bar{\Gamma}^{(s)(q)} \cdot u_{s(q)} \quad (6-191)$$

يضاف هذا الحد إلى قيمة الطاقة الكامنة الواردة في العلاقة (6-183).

وللتمكن من الجمع على كامل المنشأ يجب كتابة تعابير الطاقة الكامنة بدلالة الانتقالات المنسوبة  
إلى جملة المحاور الإحداثية العامة  $(x^1, x^2, x^3)$  أو  $(x^1, x^2, x^3)$  ذات الأشعة الواحدة  
 $(e^1, e^2, e^3)$  أو  $(e^1, e^2, e^3)$ . شعاع الانتقالات في المحاور الإحداثية الخاصة  
لعقدة  $(e^1, e^2, e^3)$  أو  $(x^1, x^2, x^3)$  ذات الأشعة الواحدة  $(e_1, e_2, e_3)$  أو  $(e^1, e^2, e^3)$

ما  $\{u_{x^3}^0 \quad \varphi_{x^1} \quad \varphi_{x^2}\}$  يقابله شعاع الانتقالات في المحاور الإحداثية العامة  $\{u_{x^3}^0 \quad \varphi_{x^1} \quad \varphi_{x^2}\}$ . وللتحويل بين الشعاعين يجب إيجاد العلاقة التي تربط بينهما. في الحالة التي لا ينطبق فيها مركز الجملتين نحري انسحابا للمحاور الإحداثية العامة لينطبق مركزها على مركز جملة المحاور الإحداثية الخاصة بشكل مشابه لما ورد في العلاقة (44-5).



شكل(6-17): المحاور الإحداثية العامة والخاصة

يتم التعبير عن انتقالات نقطة ما من العنصر ولتكن النقطة p بنفس الطريقة التي عبر بها عنها في العلاقة (46-5)، وبعد أخذ الحالة الخاصة للبلاطة بعين الاعتبار بملاحظة أن شعاعي الواحدة  $e_3, e_3$  متطابقان وعموديان على الأشعة الواحدة الأخرى. تبسط العلاقة التفصيلية (47-5) التي تربط بين الانتقالات في المحاور الإحداثية الخاصة والانتقالات في المحاور الإحداثية العامة إلى:

$$\begin{bmatrix} u_{x^1(p)} \\ u_{x^2(p)} \\ u_{x^3(p)} \end{bmatrix} = \begin{bmatrix} e_1 \cdot e_1 & e_2 \cdot e_1 & 0 \\ e_1 \cdot e_2 & e_2 \cdot e_2 & 0 \\ 0 & 0 & 1 \end{bmatrix} \cdot \begin{bmatrix} u_{x^1(p)} \\ u_{x^2(p)} \\ u_{x^3(p)} \end{bmatrix} \quad (6-192)$$

بالتعبير عن شعاع المكان في الإحداثيات المختلفة للنقطة (p) يمكن بشكل مماثل أن نجد:

$$\begin{bmatrix} x^1 \\ x^2 \\ x^3 \end{bmatrix} = \begin{bmatrix} e_1 \cdot e_1 & e_2 \cdot e_1 & 0 \\ e_1 \cdot e_2 & e_2 \cdot e_2 & 0 \\ 0 & 0 & 1 \end{bmatrix} \cdot \begin{bmatrix} x^1 \\ x^2 \\ x^3 \end{bmatrix} \quad (6-193)$$

ولنفترض أن النقطة p واقعة على العمود النازل من العقدة (i) على مستوي سطح البلاطة  
فالانتقال  $u_{x^3(p)}$  يعبر أيضا عن انتقال العقدة (i) الواقعة على السطح الوسطي للبلاطة كما أن  
الانتقال  $u_{x^3(p)}$  يعبر أيضا عن انتقال العقدة (i) وبالتالي:

$$u_{x^3(i)}^* = u_{x^3(i)}^* \quad (6-194)$$

وتصبح الدورانات حول الإحداثيات الخاصة مكافئة لـ :

$$\begin{aligned} \varphi_{x^1(i)} &= \frac{\partial u_{x^3(i)}^*}{\partial x^2} = \frac{\partial u_{x^3(i)}^*}{\partial x^{\bar{1}}} \cdot \frac{\partial x^{\bar{1}}}{\partial x^2} + \frac{\partial u_{x^3(i)}^*}{\partial x^{\bar{2}}} \cdot \frac{\partial x^{\bar{2}}}{\partial x^2} \\ &= -e_2 \cdot e^{\bar{1}} \cdot \varphi_{x^{\bar{2}}(i)} + e_2 \cdot e^{\bar{2}} \cdot \varphi_{x^{\bar{1}}(i)} \end{aligned} \quad (6-195)$$

$$\begin{aligned} \varphi_{x^2(i)} &= -\frac{\partial u_{x^3(i)}^*}{\partial x^{\bar{1}}} = -\frac{\partial u_{x^3(i)}^*}{\partial x^{\bar{1}}} \cdot \frac{\partial x^{\bar{1}}}{\partial x^1} - \frac{\partial u_{x^3(i)}^*}{\partial x^{\bar{2}}} \cdot \frac{\partial x^{\bar{2}}}{\partial x^1} \\ &= e_1 \cdot e^{\bar{1}} \cdot \varphi_{x^{\bar{2}}(i)} - e_1 \cdot e^{\bar{2}} \cdot \varphi_{x^{\bar{1}}(i)} \end{aligned} \quad (6-196)$$

وذلك باعتبار أن كلا من  $x^1, x^2$  تابعة بمفردها لـ  $x^{\bar{1}}, x^{\bar{2}}$ .

ويمكن للمتابعة بنفس الطريقة لإيجاد دستور التحويل الذي يربط بين موترات التشوهات المنسوب إلى  
الجملة الإحداثية الخاصة ونظيره المنسوب إلى الجملة الإحداثية العامة وكذلك الأمر بالنسبة لتحويل  
موترة الإجهادات.

وبتجميع العلاقات (6-194)، (6-195)، (6-196) نحصل على الشكل المصغوف في التالي:

$$\begin{bmatrix} u_{x^3(i)}^* \\ \varphi_{x^1(i)} \\ \varphi_{x^2(i)} \end{bmatrix} = \begin{bmatrix} 1 & 0 & 0 \\ 0 & e_2 \cdot e^{\bar{2}} & -e_2 \cdot e^{\bar{1}} \\ 0 & -e_1 \cdot e^{\bar{2}} & e_1 \cdot e^{\bar{1}} \end{bmatrix} \cdot \begin{bmatrix} u_{x^3(i)}^* \\ \varphi_{x^{\bar{1}}(i)} \\ \varphi_{x^{\bar{2}}(i)} \end{bmatrix} \quad (6-197)$$

$$u_{r(p)} = T_r^{\bar{r}} \cdot u_{\bar{r}(p)} \quad ; \quad u_{s(q)} = T_s^{\bar{s}} \cdot u_{\bar{s}(q)}$$

وهذا التحويل يتم إنجازه بالنسبة لكل عقدة من عقد العنصر المنتهي. وتصبح الطاقة الكامنة  
(6-183) مساوية لما يلي:

$$\begin{aligned}
\Pi &= \sum_q \left( \frac{1}{2} u_{\bar{\tau}(p)} \cdot T_r^{\bar{\tau}} \cdot k^{\tau(p)\bar{s}(q)} \cdot T_s^{\bar{s}} \cdot u_{\bar{s}(q)} - u_{\bar{\tau}(p)} \cdot T_r^{\bar{\tau}} \cdot \bar{f}^{\tau(p)} \right) \\
&\quad - \sum_m u_{\bar{\tau}(p)} \cdot \bar{f}^{\tau(p)} \cdot T_r^{\bar{\tau}} \\
&= \sum_q \left( \frac{1}{2} u_{\bar{\tau}(p)} \cdot k^{\bar{\tau}(p)\bar{s}(q)} \cdot u_{\bar{s}(q)} - u_{\bar{\tau}(p)} \cdot \bar{f}^{\bar{\tau}(p)} \right) - \sum_m u_{\bar{\tau}(p)} \cdot \bar{f}^{\bar{\tau}(p)}
\end{aligned} \tag{6-198}$$

حيث:

$$k^{\bar{\tau}(p)\bar{s}(q)} = T_r^{\bar{\tau}} \cdot k^{\tau(p)\bar{s}(q)} \cdot T_s^{\bar{s}} \tag{6-199}$$

مصنوفة القساوة في الإحداثيات العامة و :

$$\bar{f}^{\bar{\tau}(p)} = T_r^{\bar{\tau}} \cdot \bar{f}^{\tau(p)} \tag{6-200}$$

شعاع الحمولات الخارجية المكافئة للحمولة الموزعة في الإحداثيات العامة. يمكن الآن الجمع على كامل المنشأ لنحصل على:

$$\Pi = \frac{1}{2} u_{\bar{\tau}(n)} \cdot k^{\bar{\tau}(n)\bar{s}(n')} \cdot u_{\bar{s}(n')} - \bar{f}^{\bar{\tau}(n)} \cdot u_{\bar{\tau}(n)} \quad ; (n), (n') = 1, 2, \dots \tag{6-201}$$

حيث  $k^{\bar{\tau}(n)\bar{s}(n')}$  مصنوفة القساوة العامة لكامل المنشأ و  $u_{\bar{\tau}(n)}$  شعاع الانتقالات لكامل عقد المنشأ. وبعد أخذ المتغير الأول للطاقة الكامنة نحصل على جملة المعادلات الخطية لانتقالات العقد :

$$k^{\bar{\tau}(n)\bar{s}(n')} \cdot u_{\bar{s}(n')} - \bar{f}^{\bar{\tau}(n)} = 0 \tag{6-202}$$

بعد تعويض الشروط الطرفية للانتقالات في المعادلات السابقة وحلها بالطرق المعروفة والحصول على انتقالات العقد في المحاور الإحداثية العامة، تحول هذه إلى المحاور الإحداثية الخاصة ويجري حساب المجاهيل الستاتيكية والكينماتيكية من المعادلات الواردة في هذا الفصل وفق الطريقة الاعتيادية.



## 6-5-عنصر منتهي مستطيل من النموذج المهجين للإجهادات

كما رأينا يمثل مبدأ الطاقة المتممة المعدل الأساس النظري للتطبيق المهجين من نموذج الإجهادات . و قبل البدء بتطبيق هذا المبدأ على حالة بلاطة مستوية يجب تبسيط هذا المبدأ من الحالة الفراغية للوسط المستمر المتمثل بالعلاقتين (3.78),(3.79) إلى الحالة المستوية للوسط المقسم إلى عناصر منتهية و التي يتم فيها مراعاة الحالة الخاصة التي تمثل الوضعية الإجهادية و وضعية التشوهات لبلاطة مستوية . يتم هذا التبسيط بشكل مماثل لما ورد في الفقرة (5-5). ونحصل بعد هذا التبسيط على العلاقة (5.63) و ذلك باعتبار أن نظرية السطوح الحرة الخالية من الإجهادات سارية المفعول و أن تطبيق القوى الخارجية يمكن اعتباره على السطح الوسطي للبلاطة و لاداعي لإعادة هذا التبسيط من جديد . ويمكن الانتقال مباشرة إلى شرح الخطوط الأساسية لهذا التطبيق كما يمكننا اختصار بعض الشروحات لورودها أثناء تطبيق هذه الطريقة على عنصر إطاري فراغي .

## 6-5-1- خوارزميات الطريقة المهيجنة

وجدنا أنه اقتصرنا أثناء معالجة البلاطة الرقيقة على استخدام مؤثرة الإجهادات المحددة في العلاقة (6.77) و مؤثرة التشوهات الموافقة لها المحددة في العلاقة (6.76) . و بناء عليه تختصر العلاقة التي تربط بين الإجهادات و بين التشوهات أو قانون المادة (2.49) للحالة الفراغية في حالة البلاطة الرقيقة إلى العلاقة (6.90) كما أن العلاقة العكسية التي تربط بين مؤثرة التشوهات المختصرة (6.70) و مؤثرة الإجهادات المختصرة (6.77) لحالة البلاطة الرقيقة يمكن استنتاجها من الحالة الفراغية المحددة بالعلاقة (2.50) بعد استبعاد العلاقات الخاصة غير المعتبرة في معالجة البلاطة الرقيقة . و بعد إعادة ترتيب العلاقات الناتجة عن هذا الاستبعاد و مراعاة تناظر مؤثرة الإجهادات و التشوهات للبلاطة الرقيقة نحصل على :

$$\begin{bmatrix} \varepsilon_{x^1x^1} \\ \varepsilon_{x^2x^1} \\ \varepsilon_{x^1x^2} \\ \varepsilon_{x^2x^2} \end{bmatrix} = \frac{1}{E} \begin{bmatrix} 1 & & & -\nu \\ & 1+\nu & 1+\nu & \\ & 1+\nu & 1+\nu & \\ -\nu & & & 1 \end{bmatrix} \begin{bmatrix} \sigma_{x^1x^1} \\ \sigma_{x^2x^1} \\ \sigma_{x^1x^2} \\ \sigma_{x^2x^2} \end{bmatrix} \quad (6.203)$$

$$\varepsilon_{ij} = S_{ijkl} \sigma^{kl}$$

حيث  $S_{ijkl}$  موثرة الليونة لحالة البلاطة الرقيقة. و لتقييم طاقة التشوه الداخلية المتتممة

$$\Pi_i^* = \frac{1}{2} \int_V \sigma^{ij} S_{ijkl} \sigma^{kl} dv \quad (6.204)$$

وجدنا أنه من الأنسب افتراض توابع قوى المقطع بدل من افتراض توابع الإجهادات و ذلك لتغير هذه الأخيرة على ارتفاع المقطع. و لذلك لابد من كتابة الطاقة الداخلية المتتممة بدلالة قوى المقطع. لهذا الغرض نصيغ الطاقة الداخلية المتتممة بدلالة الانحناءات بتعويض العلاقة (6.94) في العلاقة (6.204) فنحصل على :

$$\begin{aligned} \Pi_i^* &= \frac{1}{2} \int_A \chi_{ij} \left( \int_{-t/2}^{t/2} x^3 c^{ijkl} x^3 dx^3 \right) \chi_{kl} dA \\ &= \frac{1}{2} \frac{t^3}{12} \int_A \chi_{ij} c^{ijkl} \chi_{kl} dA \end{aligned} \quad (6.205)$$

بعد ذلك تصاغ الانحناءات بدلالة قوى المقطع بإيجاد معكوس العلاقة (6.95) والذي يمكن صياغته بالشكل :

$$\chi_{ij} = \frac{12}{t^3} S_{ijkl} m^{kl} \quad (6.206)$$

و ذلك بعد الأخذ بعين الاعتبار أن  $m^{x^2x^1} = m^{x^1x^2}$  ;  $\chi_{x^1x^2} = \chi_{x^2x^1}$  أثناء إيجاد معكوس العلاقة للمعتبرة . و بتعويض العلاقة (6.206) في العلاقة (6.201) و بعد مراعاة أن  $S_{ijkl}$  يمثل مقلوب  $c^{ijkl}$  نحصل على :

$$\Pi_i^* = \frac{1}{2} \frac{12}{t^3} \int_A m^{ij} S_{ijkl} m^{kl} dA \quad (6.207)$$

يخضع اختيار توابع قوى المقطع للضوابط نفسها التي شرحت في الفقرة (5-5-2) و للمرة الحرة في اختيار هذه التوابع بحيث تتحقق المتطلبات الواردة في الفقرة المنوه عنها والتابع التقريبي التالي :

$$\begin{bmatrix} m^{x^1x^1} \\ m^{x^2x^1} \\ m^{x^1x^2} \\ m^{x^2x^2} \end{bmatrix} = \begin{bmatrix} 1 & x^1 & x^2 & (x^1)^2 & x^1x^2 & (x^2)^2 \\ 1 & & x^1 & x^2 & -x^1x^2 & \frac{1}{2}(x^1)^2 & \frac{1}{2}(x^2)^2 & -x^1x^2 \\ 1 & & x^1 & x^2 & -x^1x^2 & \frac{1}{2}(x^1)^2 & \frac{1}{2}(x^2)^2 & -x^1x^2 \\ 1 & & & x^1 & x^2 & (x^1)^2 & x^1x^2 & (x^2)^2 \end{bmatrix} \begin{bmatrix} \beta_1 \\ \beta_2 \\ \beta_3 \\ \beta_4 \\ \beta_5 \\ \beta_6 \\ \beta_7 \\ \beta_8 \\ \beta_9 \\ \beta_{10} \\ \beta_{11} \\ \beta_{12} \end{bmatrix}$$

$$+ \begin{bmatrix} -\frac{1}{2}x^1x^2 \\ -\frac{1}{2}x^1x^2 \end{bmatrix} \cdot p$$

$$m^{ij} = p^{ij} \beta_u + \bar{p}^{ij} \beta_v ; i, j = x^1, x^2 ; k = 1, 2 ; \ell = 1, 2, \dots, 6 \quad (6.208)$$

يحقق المتطلبات السابقة لحالة حمولة موزعة بانتظام على مساحة العنصر المنتهي و أهمها معادلة التوازن الداخلية على المستوى التفاضلي .

ينتج الشكل المصفوفي الوارد في العلاقة (6.208) من تجميع قرائن الشكل الموترى في نفس العلاقة . حيث تجمع القريبتين kl في قرينة واحدة مثلا n و القريبتين (i) (j) في قرينة واحدة (m) و شكل العلاقة السابقة المصفوفي يصبح:  $m^m = P^{mn} \beta_n + \bar{p}^{\bar{mn}} \bar{\beta}$  . واستخدمت الأقواس للقرائن لتمييز قرائن الأطراف . بالتابع التقريبي السابق لقوى المقطع تأخذ طاقة التشوه الداخلية المتممة الشكل :

$$\begin{aligned} \Pi_1^* &= \frac{1}{2} \int_{\Lambda} (p^{ijkl} \beta_{kl} + \bar{p}^{ij} \bar{\beta}) S'_{ijmn} (p^{mnop} \beta_{op} + \bar{p}^{\bar{mn}} \bar{\beta}) dA \\ &= \frac{1}{2} \beta_{kl} \left( \int_{\Lambda} p^{ijkl} S'_{ijmn} p^{mnop} dA \right) \beta_{op} + \frac{1}{2} \beta_{kl} \left( \int_{\Lambda} p^{ijkl} S'_{ijmn} \bar{p}^{\bar{mn}} dA \right) \bar{\beta} \\ &\quad + \frac{1}{2} \beta_{op} \left( \int_{\Lambda} \bar{p}^{ij} S'_{ijmn} p^{mnop} dA \right) \bar{\beta} + \frac{1}{2} \bar{\beta} \left( \int_{\Lambda} \bar{p}^{ij} S'_{ijmn} \bar{p}^{\bar{mn}} dA \right) \bar{\beta} \\ &= \frac{1}{2} \beta_{kl} H^{klop} \beta_{op} + \frac{1}{2} \beta_{kl} \bar{H}^{kl} \bar{\beta} + C_1 \end{aligned} \quad (6.209)$$

حيث:

$$H^{klop} = \int_{\Lambda} p^{ijkl} S'_{ijmn} p^{mnop} dA \quad (6.210)$$

$$\bar{H}^{kl} = \int_{\Lambda} p^{ijkl} S'_{ijmn} \bar{p}^{\bar{mn}} dA \bar{\beta} \quad (6.211)$$

$$C_1 = \frac{1}{2} \bar{\beta} \left( \int_{\Lambda} \bar{p}^{ij} S'_{ijmn} \bar{p}^{\bar{mn}} dA \right) \bar{\beta} \quad (6.212)$$

و القرائن الجديدة المستخدمة تتحول بالشكل  $x^1, x^2$  و  $m, n = 1, 2, \dots, 6$  و  $o = 1, 2$

$$S'_{ijmn} \text{ مساوية لـ } \frac{1}{4} S_{ijmn}.$$

يمثل الحد الثاني من الطاقة المتممة المعدلة (5.63) عمل القوى السطحية الطرفية على أطراف العنصر المنتهي . و تنتج القوى السطحية الطرفية من قوى المقطع ضمن العنصر المنتهي بتعويض

معادلات الأطراف الأربعة للعنصر المنتهي هي  $(i)(j), (k)(l), (i)(k), (j)(l)$  ومعادلتها على التوالي:  $x^1 = -a, x^2 = b, x^1 = a, x^2 = -b$ . بتعويض هذه المعادلات في العلاقة (6.208) نحصل على المنحنيات التي تمثل العزوم على هذه الأطراف. وللحصول على المنحنيات التي تمثل القوى القاصصة على هذه الأطراف تشتق الأخيرة و فق المعادلتين الثانية و الثالثة. للعلاقة (6.85) من معادلات العزوم (6.208) و تعوض معادلات الأطراف في العلاقات الناتجة وبعد اتخاذ هذه الإجراءات نحصل على الشكل المصفوفي التالي لقوى المقطع في أطراف العنصر المنتهي :

$$\begin{bmatrix} -q_{(0)(0)}^{x^2} \\ m_{(0)(0)}^{x^2 x^2} \\ q_{(0)(0)}^{x^1} \\ m_{(0)(0)}^{x^1 x^1} \\ q_{(0)(0)}^{x^2} \\ -m_{(0)(0)}^{x^2 x^2} \\ -q_{(0)(0)}^{x^1} \\ -m_{(0)(0)}^{x^1 x^1} \end{bmatrix} = \begin{bmatrix} & -2 & -1 & -2b & -2x^1 & & -x^1 & -x^1 \\ & 1 & & x^1 & -b & (x^1)^2 & -bx^1 & -bx^1 & b^2 \\ & & 1 & 2 & & x^2 & 2x^2 & 2x^2 & -2a \\ & & a & x^2 & & a^2 & ax^2 & (x^2)^2 & \\ & & & 2 & 1 & -2b & 2x^1 & x^1 & x^1 \\ -1 & & & & & & & -(x^1)^2 & -bx^1 & -bx^1 & -b^2 \\ & -1 & & -x^1 & -b & & & -2x^2 & -2x^2 & -2a \\ & & a & x^2 & & -a^2 & ax^2 & (x^2)^2 & \end{bmatrix} \begin{bmatrix} \beta_1 \\ \beta_2 \\ \beta_1 \\ \beta_2 \\ \beta_1 \\ \beta_2 \end{bmatrix}$$

$$+ \begin{bmatrix} -b \\ -a \\ -b \\ -a \end{bmatrix} \frac{1}{p^3}; \quad p_{he}^i = \overline{R}_{he}^i \beta_{hi} + \overline{R}_{be}^i \beta$$

(6.213)

يلاحظ الآن أن  $b, e$  استخدمت كقتران تتحول على أطراف العنصر المنتهي كما يلي :  $b, l =$  (i) (i) , (j) (k) , (k) (l) , (l) (i) و يلاحظ أيضا أن العلاقة السابقة تحتوي على مقادير تتحول

قراءتها على  $x^1, x^2$  و هي عزوم المقطع وأخرى تتحول قراءتها إما على  $x^1$  أو على  $x^2$  وهي قوى القص في المقطع. في الحالة العامة يكون من الأسلم فصل هذه العلاقة إلى علاقتين تحتوي إحداها على عزوم المقطع بمفردها وأخرى تحتوي على القوى القاصة في المقطع وذلك لتلافي الالتباس أثناء التحويل من جملة إحداثيات الديكارتية يمكن أن نعتبر أن القرينة  $i$ ، تتحول بالشكل  $i=1;2$  أما بقية القرائن فتتحول كما في العلاقة (6.208) ويكون عدد عناصر  $p_{b,e}^i$  مساوياً ل  $4*2=8$  وعدد عناصر المصفوفة  $R_{b,e}^{ikl}$  مساوياً ل  $4*2*2*6=96$  أما الانتقالات على أطراف العنصر المنتهي، والتي يمكن افتراضها بشكل مستقل، و الموافقة لشعاع قوى المقطع الطرفية، فسنفترض أنه يمكن تقريبها بالتتابع التالية :

$$\begin{bmatrix} u_{x^2}^{(00)} \\ \varphi_{x^2}^{(00)} \\ u_{x^3}^{(00)} \\ \varphi_{x^3}^{(00)} \\ u_{x^2}^{(00)} \\ \varphi_{x^2}^{(00)} \\ u_{x^2}^{(00)} \\ \varphi_{x^2}^{(00)} \end{bmatrix} = \begin{bmatrix} h_1^2 & -ah_1^2 & h_3^2 & -ah_1^2 & & & & \\ & \frac{1}{2}(1-\theta^2) & & \frac{1}{2}(1+\theta^2) & & & & \\ & & h_1^2 & bh_1^2 & & & & \\ & & & & \frac{1}{2}(1-\theta^2) & & \frac{1}{2}(1+\theta^2) & \\ & & & & & h_3^2 & bh_1^2 & \\ & & & & & & \frac{1}{2}(1-\theta^2) & \\ & & & & & & & \frac{1}{2}(1+\theta^2) & \\ h_1^2 & -bh_1^2 & & & & & & \frac{1}{2}(1-\theta^2) \end{bmatrix} \begin{bmatrix} u_{x^2}^{(0)} \\ \varphi_{x^2}^{(0)} \\ u_{x^3}^{(0)} \\ \varphi_{x^3}^{(0)} \\ u_{x^2}^{(k)} \\ \varphi_{x^2}^{(k)} \\ u_{x^2}^{(k)} \\ \varphi_{x^2}^{(k)} \end{bmatrix}$$

$$u_i^{b,e} = L_i^{b,e m(n)} u_{m(n)}; m = 1,2,3 \quad (n) = (i), (j), (k), (l) \quad (6.214)$$

حيث :

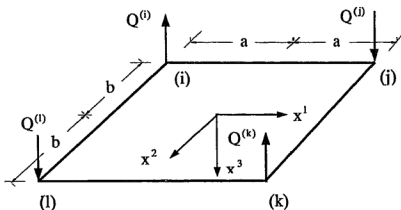
$$\begin{aligned}
h_1^1 &= \frac{1}{4}(2 - 3\theta^1 + (\theta^1)^3); h_3^1 = \frac{1}{4}(2 + 3\theta^1 - (\theta^1)^3) \\
h_2^1 &= \frac{1}{4}(1 - \theta^1 - (\theta^1)^2 + (\theta^1)^3); h_4^1 = \frac{1}{4}(-1 - \theta^1 + (\theta^1)^2 + (\theta^1)^3) \\
h_1^2 &= \frac{1}{4}(2 - 3\theta^2 + (\theta^2)^3); h_3^2 = \frac{1}{4}(2 + 3\theta^2 - (\theta^2)^3) \\
h_2^2 &= \frac{1}{4}(1 - \theta^2 - (\theta^2)^2 + (\theta^2)^3); h_4^2 = \frac{1}{4}(-1 - \theta^2 + (\theta^2)^2 + (\theta^2)^3) \\
\theta^1 &= \frac{x^1}{a} \quad ; \quad \theta^2 = \frac{x^2}{b}
\end{aligned} \tag{6.215}$$

لاستخراج هذه التوابع استخدمت على كل طرف من أطراف البلاطة نفس الطريقة التي استخدمت لاستخراج توابع الانتقالات التقريبية في عنصر منتهي لإطار فراغي . مع ملاحظة أن مركز المحاور الاحداثية منطبق على منتصف العنصر . و بالاستعانة بالعلاقين (6.213),(6.214) يقيم الحد الثاني من العلاقة (5.63) بالشكل :

$$\begin{aligned}
T_1' &= \int_{\Omega} p_{b,e}^i u_i^{b,e} d\Omega \\
&= \int_{\Omega} (R_{b,e}^{ikl} \beta_{kl} + \bar{R}_{b,e}^{ikl} \bar{\beta}_{kl}) L_i^{b,em(n)} u_{m(n)} ds
\end{aligned} \tag{6.216}$$

بقي لايجاد قيمة الحد الثاني النهائية اعتبار عمل القوى الركينة  $2m^{x^1x^2}$  الممثلة في الشكل 6-18. تحسب هذه القوى من التابع التقريبي للعوام (6.208) بتعويض احداثيات عقد العنصر المنتهي في هذه الأخيرة . بعد هذا التعويض نحصل على العلاقات التالية للقوى الركينة :

$$\begin{aligned}
Q^{(1)} &= -2\beta_2 - 2a\beta_5 - 2b\beta_6 + 2ab\beta_8 - a^2\beta_9 - b^2\beta_{11} + 2ab\beta_{12} + abp^{-3} \\
Q^{(1)} &= 2\beta_2 + 2a\beta_5 - 2b\beta_6 + 2ab\beta_8 - a^2\beta_9 - b^2\beta_{11} + 2ab\beta_{12} + abp^{-3} \\
Q^{(k)} &= -2\beta_2 - 2a\beta_5 - 2b\beta_6 + 2ab\beta_8 - a^2\beta_9 - b^2\beta_{11} + 2ab\beta_{12} + abp^{-3} \\
Q^{(1)} &= 2\beta_2 - 2a\beta_5 + 2b\beta_6 + 2ab\beta_8 + a^2\beta_9 + b^2\beta_{11} + 2ab\beta_{12} + abp^{-3}
\end{aligned} \tag{6.217}$$



شكل 6-18: القوى المركبة على زوايا العنصر المنتهي

و العمل الذي تنجزه هذه القوى يساوي إلى مقادير هذه القوى الواردة في العلاقة السابقة مضروباً بانتقالات العقد الموافقة في اتجاه المحور  $x^3$ .

$$T_2' = Q^{m(n)} u_{m(n)} + \bar{Q}^{m(n)} u_{m(n)} \quad (6.218)$$

حيث :

$$Q^{m(n)} = \{Q^{(i)} 00 Q^{(j)} 00 Q^{(k)} 00 Q^{(l)} 00\} \quad (6.219)$$

$$\bar{Q}^{m(n)} = \{abp^{-3} 00 abp^{-3} 00 abp^{-3} 00 abp^{-3} 00\}$$

و تصبح قيمة الحد الثاني مساوية لـ :

$$T = T_1' + T_2' = \beta_{ke} T^{klm(n)} u_{m(n)} + \bar{\beta} T^{m(n)} u_{m(n)} \quad (6.220)$$



حيث :

$$T^{klm(n)} = \int_s R_{b,c}^{kl} L_i^{b,em(n)} dS + \frac{\partial}{\partial \beta_{kl}} Q^{m(n)} \quad (6.221)$$

$$\bar{T}^{m(n)} = \int_s \bar{R}_{b,c}^i L_i^{b,em(n)} dS + \frac{\partial}{\partial \beta} \bar{Q}^{m(n)} \quad (6.222)$$

وذلك لأن:

$$\beta_{kl} \left[ \frac{\partial}{\partial \beta_{kl}} Q^{m(n)} \right] = Q^{m(n)} \quad (6.223)$$

$$\bar{\beta} \left[ \frac{\partial}{\partial \beta} \bar{Q}^{m(n)} \right] = \bar{Q}^{m(n)} \quad (6.224)$$

أثناء جمع  $T_2'$  إلى  $T_1'$  ثم استبدال  $\bar{Q}^{m(n)}$  في العلاقة (6.218) بمكافئاتها من العلاقاتين (6.223)، (6.224).

يتم تقييم الحد الثالث للطاقة المعدلة في العلاقة (5.63) بشكل مماثل للطريقة التي تم شرحها أثناء تقييم الحد المتعلق بالحمولات الطرفية على أطراف عنصر البلاطة الرقيقة شكل (6-16) و التي وردت في العلاقات (6.187) و حتى (6.191) مع الفارق أن التوابع التقريبية على أطراف العنصر المنتهي نموذج الإجهادات يتم اختيارها بشكل مستقل عن التوابع التقريبية الأخرى .

نفرض أن التوابع التقريبية للانتقالات على أطراف العنصر المنتهي ممثلة بالعلاقات (6.214) و أن وصف تابع الحمولة يتم بشكل مماثل لما ورد في العلاقة (6.187) أي تابع من الدرجة الثانية في إحداثي الطرف . حالة مثل هذا الوصف نأخذ التوابع التقريبية مثلا للطرف (j) (i) الشكل المفصل التالي :

$$A_1 = -\frac{1}{2}\theta^1 + \frac{1}{2}(\theta^1)^2; A_2 = 1 - (\theta^1)^2; A_3 = \frac{1}{2}\theta^1 + \frac{1}{2}(\theta^1)^2 \quad (6.225)$$

و يمكن استنتاجها بسهولة لبقية الأطراف .

و يصبح الحد الثالث من الطاقة المتمة المعدلة بعد استخدام التوابع التقريبية المذكورة مكافئاً لـ :

$$T = \int_{S_{b,e}^{0,e}} \bar{p}_{b,e}^{-i} u_i^{b,e} dS = \bar{p}_{b,e}^{-k} \int_{S_{b,e}^{0,e}} A_k^i L_i^{b,em(n)} u_{m(n)} dS = \bar{S}^{m(n)} u_{m(n)} \quad (6.226)$$

حيث :

$$\bar{S}^m = \bar{p}_{b,e}^{-k} \int_{S_{b,e}^{0,e}} A_k^i L_i^{b,em(n)} dS \quad (6.227)$$

شعاع الحملات الخارجية المركزة على العقد والمكافئة للحمولة الموزعة على أطراف العنصر المنتهي . و بهذا تصبح الطاقة المتمة المعدلة :

$$\begin{aligned} \Pi_{ch} = & \frac{1}{2} \beta_{kl} H^{kl,op} \beta_{op} + \frac{1}{2} \beta_{kl} \bar{H}^{kl} \bar{\beta} + c_1 \\ & - \beta_{kl} T^{klm(n)} u_{m(n)} - \bar{\beta} T^{m(n)} u_{m(n)} + \bar{S}^{m(n)} u_{m(n)} \end{aligned} \quad (6.228)$$

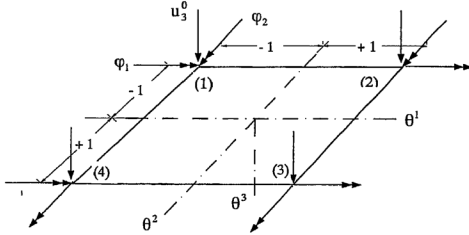
و هذا الشكل مكافئ لما هو وارد في العلاقة (5.86) و ذلك بعد ضم كل من القريتين  $I, k$  والقريتين  $o, p$  قرية واحدة . يتم اتباع نفس الأسلوب الوارد في العلاقات من (5.86) و حتى (5.98) للحصول على جملة المعادلات الخطية النهائية للبلطة الرقيقة و المعادلات الناتجة أثناء هذا الانتقال ماثلة لتلك المشتقة في العلاقات الأخيرة المذكورة مع اختلاف في أبعاد المصفوفات المستخدمة.

## 6-6- عنصر منتهي- نموذج الانتقالات بتوابع تقريبية

### متعلقة بالحملات في الإحداثيات الطبيعية

بعد عرض عنصرين منتهيين من نموذج الانتقالات والنموذج المجهين للإجهادات في الإحداثيات الديكارتية تنتقل إلى عرض النموذج المقترح بتوابع انتقالات متعلقة بالحمولة في الإحداثيات الطبيعية . وسوف نقصر في عرضنا على عنصر منته مستطيل يحمل بحمولة موزعة بانتظام شدتها  $\bar{p}^{-3}$  على واحدة السطح وسوف يراعى في إنجاز هذه الدراسة العمومية في التطبيق بحيث إذا ما

أراد المرء تطبيق مثل هذه الدراسة على عنصر شبه منحرف والممثل للحالة العامة لوجد المفاهيم الضرورية لذلك والتي يمكن أن تساعد في إنجاز دراسته . ليكن لدينا العنصر المنتهي المستطيل المبين في الشكل (6-19) والمنسوب إلى جملة الإحداثيات الطبيعية  $(\theta^1, \theta^2, \theta^3)$  ولكن الإحداثيات الديكارتية لرؤوسه:  $(1)(-a, -b)$ ;  $(2)(a, -b)$ ;  $(3)(a, b)$ ;  $(4)(-a, b)$  والطبيعية:  $(1)(-1, -1)$ ,  $(2)(1, -1)$ ,  $(3)(1, 1)$ ,  $(4)(-1, 1)$  على التوالي .



شكل 6-19: عنصر منتهي مستطيل لبلاطة ، المحاور الإحداثية الطبيعية، درجات الحرية

في البدء نحسب الخواص الهندسية التفاضلية للعنصر وفق العلاقات الواردة في الفقرة 6-1. تبين هذه الحسابات أنها لحالة العنصر المستطيل ثابتة في كل نقطة من تقاطعه ويكتفي بحسابها في نقطة واحدة، بينما تختلف هذه الخواص من نقطة إلى أخرى في الحالة العامة) مثلاً حالة عنصر بشكل شبه منحرف) وحالة العنصر المستطيل المعطى تكون هذه الخواص كالتالي :

$$g_1 = ae_1$$

$$g_2 = be_2$$

$$g_{\alpha\beta} = \begin{pmatrix} (a)^2 & 0 \\ 0 & (b)^2 \end{pmatrix}$$

$$\sqrt{g} = ab$$

$$g^{\alpha\beta} = \begin{pmatrix} \frac{1}{(a)^2} & 0 \\ 0 & \frac{1}{(b)^2} \end{pmatrix}$$

$$g^1 = \frac{1}{a} e^1$$

$$g^2 = \frac{1}{b} e^2$$

$$g_{1,1} = g_{1,2} = g_{2,1} = g_{2,2} = 0$$

$$\Gamma_{\alpha\beta}^\gamma = 0$$

(6.229)

يلاحظ أيضا أن كل رموز كريستوفل معدومة لحالة العنصر المستطيل بينما تكون قيمها في الحالة العامة (حالة شبة المنحرف مثلاً) مغايرة للصفر .

يفترض الآن التابع التقريبي للانتقالات  $u_3^0$  في الإحداثيات الطبيعية على الشكل التالي :

$$\begin{aligned} u_3^0 &= c_0 + c_1\theta^1 + c_2\theta^2 + c_3(\theta^1)^2 + c_4\theta^1\theta^2 + c_5(\theta^2)^2 \\ &+ c_6(\theta^1)^3 + c_7(\theta^1)^2\theta^2 + c_8\theta^1(\theta^2)^2 + c_9(\theta^2)^3 + c_{10}(\theta^1)^3\theta^2 \\ &+ c_{11}\theta^1(\theta^2)^3 + c_{12}(\theta^1)^2(\theta^2)^2 = c_\alpha\theta^\alpha \end{aligned}$$

(6.230)

خلافًا للمعتاد يحتوي التابع التقريبي السابق على عدد من الحدود أكبر من العدد المعتاد و الممثل بعدد من العقد مضروباً بعدد درجات الحرية للعقدة الواحدة . و الحدود التي تزيد عن العدد السابق مخصصة لاحتواء المؤثرات الخارجية . و هذه الحدود ممثلة في التابع التقريبي السابق بالحد الثالث عشر المضاف على التابع المعروف في المصادر العلمية . و باعتبار أن رموز كريستوفل معدومة في حالة العنصر المستطيل ، مما يترتب على ذلك تماثل المشتق الأساسي و المشتق العادي فإن اشتقاق التابع التقريبي (6.230) وفق المعادلة التفاضلية (6.167) يؤدي عندما نريد تحقيقها إلى :

$$2.4.kg_i^1g_j^2g_k^2g_l^1\delta_j^k\delta_l^i c_{12} = \bar{p}^3 \quad (6.231)$$

و ذلك باعتبار أن  $(u_{3,2112}^0 = u_{3,1221}^0)$  و أن  $(u_{3,2222}^0 = u_{3,1111}^0)$  .

و بعد نشر جداء مركبات أشعة القاعدة الأساسية في التركيب (6.231) و تعويض مركباتها من المعادلتين الأولى و الثانية للعلاقة (6.229) نجد أن :

$$8k.a^2b^2c_{12} = \bar{p}^{-3} ; c_{12} = \frac{\bar{p}^{-3}}{8k.a^2b^2} \quad (6.232)$$

و بعد تعيين الثابت الفائض  $c_{12}$  ينقسم التابع التقريبي  $u_3^0$  إلى جزء متجانس يجري على الثوابت من  $c_0$  إلى  $c_{11}$  و جزء آخر غير متجانس يتضمن الحمولة الخارجية في مستوى العنصر بالشكل :

$$\begin{aligned} u_3^0 &= c_0 + c_1\theta^1 + c_2\theta^2 + c_3(\theta^1)^2 + c_4\theta^1\theta^2 + c_5(\theta^2)^2 \\ &+ c_6(\theta^1)^3 + c_7(\theta^1)^2 + c_8\theta^1(\theta^2)^2 + c_9(\theta^2)^3 + c_{10}(\theta^1)^3\theta^2 \\ &+ c_{11}\theta^1(\theta^2)^3 + \frac{\bar{p}^{-3}}{8k.a^2b^2}(\theta^1)^2(\theta^2)^2 \\ &= \theta^{n'}c_{n'} + \bar{\theta}p^{-3} \quad ; \quad \bar{\theta} = \frac{\bar{p}^{-3}}{8k.a^2b^2}(\theta^1)^2(\theta^2)^2 \quad n' = 0,1,2,\dots,11 \end{aligned} \quad (6.233)$$

و الآن تكفي المعادلات الناتجة عن تعويض إحداثيات العقد (1),(2),(3),(4) في العلاقة (6.233) و مشتقاتها بالنسبة للإحداثي  $\theta^2$  (الممثل للدوران  $\varphi_1$ ) و بالنسبة للإحداثي  $\theta^1$  (الممثل للدوران  $\varphi_2$ ) لتعيين الثوابت الإثني عشر المتبقية . و إحداثيات العقد المقصودة هي الإحداثيات الطبيعية و ليس الديكارتية ، لأن التوابع المختارة هي في الإحداثيات الطبيعية . و بعد التعويض نحصل على جملة معادلات خطية مؤلفة من اثني عشر معادلة على الشكل التالي :

$$\begin{bmatrix} u_3^* \\ \varphi_{1(1)} \\ \varphi_2(1) \\ u_3^*(2) \\ \varphi_1(2) \\ \varphi_2(2) \\ u_3^*(3) \\ \varphi_1(3) \\ \varphi_2(3) \\ u_3^*(4) \\ \varphi_1(4) \\ \varphi_2(4) \end{bmatrix} = \begin{bmatrix} 1 & -1 & -1 & 1 & 1 & 1 & -1 & -1 & -1 & -1 & 1 & 1 \\ & & 1 & & -1 & -2 & & 1 & 3 & 3 & -1 & -3 \\ & -1 & & 2 & 1 & & -3 & -2 & 1 & & 3 & 1 \\ 1 & 1 & -1 & 1 & -1 & 1 & 1 & -1 & 1 & -1 & -1 & -1 \\ & & 1 & & 1 & -2 & & 1 & -3 & 3 & 1 & 3 \\ & -1 & & -2 & 1 & & -3 & 2 & 1 & & 3 & 1 \\ 1 & 1 & 1 & 1 & 1 & 1 & 1 & 1 & 1 & 1 & 1 & 1 \\ & & 1 & & 1 & 2 & & 1 & 3 & 3 & 1 & 3 \\ & -1 & & -2 & -1 & & -3 & -2 & -1 & & -3 & -1 \\ 1 & -1 & 1 & 1 & -1 & 1 & -1 & 1 & -1 & 1 & -1 & -1 \\ & & 1 & & -1 & 2 & & 1 & -3 & 3 & -1 & -3 \\ & -1 & & 2 & -1 & & -3 & 2 & -1 & & -3 & -1 \end{bmatrix} \begin{bmatrix} c_0 \\ c_1 \\ c_2 \\ c_3 \\ c_4 \\ c_5 \\ c_6 \\ c_7 \\ c_8 \\ c_9 \\ c_{10} \\ c_{11} \end{bmatrix}$$

$$+ \frac{-3}{8ka^2b^2} \begin{bmatrix} 1 \\ -2 \\ 2 \\ 1 \\ -2 \\ -2 \\ 1 \\ 2 \\ -2 \\ 1 \\ 2 \\ 2 \end{bmatrix}$$

$$u_{\rho(p)}^* = A_{\rho(p)}^{n'} c_{n'} + \bar{A}_{\rho(p)}^{-3} \bar{p}^{-3}; \rho = 1, 2, 3; (p) = (1), (2), (3), (4) \quad (6.235)$$

بجاءيلها هي الثوابت الاختيارية  $c_{n'}$  ,  $u_{\rho(p)}^*$  هي انتقالات ودورانات عقد العنصر . ينقل الحد الثاني من الطرف الثاني للعلاقة السابقة إلى الطرف الأول نحصل على :

$$A_{\rho(p)}^* c_{n'} = u_{\rho(p)}^* - \bar{A}_{\rho(p)} \bar{p}^{-3} \quad (6.235)$$

وبإيجاد مقلوب المصفوفة  $A_{\rho(p)}^{n'}$  يمكن تعيين الثوابت الاختيارية وهي مساوية لما يلي:

$$\begin{bmatrix} c_0 \\ c_1 \\ c_2 \\ c_3 \\ c_4 \\ c_5 \\ c_6 \\ c_7 \\ c_8 \\ c_9 \\ c_{10} \\ c_{11} \end{bmatrix} = \frac{1}{8} \begin{bmatrix} 2 & 1 & -1 & 2 & 1 & 1 & 2 & -1 & 1 & 2 & -1 & -1 \\ -3 & -1 & 1 & 3 & 1 & 1 & 3 & -1 & 1 & -3 & 1 & 1 \\ -3 & -1 & 1 & -3 & -1 & -1 & 3 & -1 & 1 & 3 & -1 & -1 \\ 0 & 0 & 1 & 0 & 0 & -1 & 0 & 0 & -1 & 0 & 0 & 1 \\ 4 & 1 & -1 & -4 & -1 & -1 & 4 & -1 & 1 & -4 & 1 & 1 \\ 0 & -1 & 0 & 0 & -1 & 0 & 0 & 1 & 0 & 0 & 1 & 0 \\ 1 & 0 & -1 & -1 & 0 & -1 & -1 & 0 & -1 & 1 & 0 & -1 \\ 0 & 0 & -1 & 0 & 0 & 1 & 0 & 0 & -1 & 0 & 0 & 1 \\ 0 & 1 & 0 & 0 & -1 & 0 & 0 & 1 & 0 & 0 & -1 & 0 \\ 1 & 1 & 0 & 1 & 1 & 0 & -1 & 1 & 0 & -1 & 1 & 0 \\ -1 & 0 & 1 & 1 & 0 & 1 & -1 & 0 & -1 & 1 & 0 & -1 \\ -1 & -1 & 0 & 1 & 1 & 0 & -1 & 1 & 0 & 1 & -1 & 0 \end{bmatrix} \begin{bmatrix} u_{3(1)}^* \\ \Psi_{1(1)} \\ \Psi_{2(1)} \\ u_{3(2)}^* \\ \Psi_{1(2)} \\ \Psi_{2(2)} \\ u_{3(3)}^* \\ \Psi_{1(3)} \\ \Psi_{2(3)} \\ u_{3(4)}^* \\ \Psi_{1(4)} \\ \Psi_{2(4)} \end{bmatrix} - \frac{\bar{p}^{-3}}{8ka^2b^2} \begin{bmatrix} 1 \\ -2 \\ 2 \\ 1 \\ -2 \\ -2 \\ 1 \\ 2 \\ -2 \\ 1 \\ 2 \\ 2 \end{bmatrix}$$

$$c_{n'} = B_{n'}^{\rho(p)} (u_{\rho(p)}^* - \bar{A}_{\rho(p)} \bar{p}^{-3}) \quad (6.236)$$

بتعويض الثوابت الاختيارية من العلاقة في (6.227) نحصل على توابع الشكل والمؤلفة الآن من جزء متجانس مرتبط بانتقالات العقد وجزء غير متجانس مرتبط بالحمولة الخارجية الموزعة على العنصر وذلك كما يلي :

$$u_3^* = \theta^n B_n^{\rho(p)} u_{\rho(p)}^* - \theta^n B_n^{\rho(p)} \bar{A}_{\rho(p)} \bar{p}^{-3} + \bar{\theta} \bar{p}^{-3} = N^{\rho(p)} u_{\rho(p)}^* + \bar{N} \bar{p}^{-3} \quad (6.237)$$

وتوابع الشكل  $N^{\rho(p)}$  مكافئة تماماً لـ  $N^{j(p)}$  في العلاقة (6.180) والمعطاة تفصيلياً في العلاقة (6,181) وأما  $\bar{N}$  فتعطى بالعلاقة :

$$\bar{N} = \frac{1}{8Ka^2b^2} (1 - (\theta^1)^2 - (\theta^2)^2 + (\theta^1)^2 (\theta^2)^2) \quad (6.238)$$

بمذه التوابع يجب تقييم تعبير الطاقة الكامنة (6.175). وباعتبار أن كل رموز كريستوفل معدومة مما ينتج عنه تكافؤ المشتق الأساسي  $u_{3\alpha\beta}^*$  و المشتق العادي  $u_{3\alpha\beta}^*$  ، وبالتالي يمكن اشتقاق مؤثرة الانحناءات (6.153) من العلاقة (6.237) بالشكل :

$$\chi_{\alpha\beta} = -(N^{\rho(p)},_{\alpha\beta} u^{\circ}_{\rho(p)} + \bar{N},_{\alpha\beta} \bar{p}^{-3}) \quad (6.239)$$

و بهذا يصبح تعبير الطاقة الكامنة كما يلي :

$$\begin{aligned} \Pi &= \sum_a \left[ \frac{1}{2} u^{\circ}_{\rho(p)} \left( \int_{\Lambda} N^{\rho(p)},_{\alpha\beta} E^{\alpha\beta\gamma\delta} N^{\eta(q)},_{\gamma\delta} \sqrt{g} d\theta^1 d\theta^2 \right) u^{\circ}_{\eta(q)} \right. \\ &+ u^{\circ}_{\rho(p)} \left( \int_{\Lambda} N^{\rho(p)},_{\alpha\beta} E^{\alpha\beta\gamma\delta} \bar{N},_{\gamma\delta} \bar{p}^{-3} \sqrt{g} d\theta^1 d\theta^2 \right) \\ &+ \frac{1}{2} \left( \int_{\Lambda} \bar{p}^{-3} \bar{N},_{\alpha\beta} E^{\alpha\beta\gamma\delta} \bar{N},_{\gamma\delta} \bar{p}^{-3} \sqrt{g} d\theta^1 d\theta^2 \right) \\ &- u^{\circ}_{\rho(p)} \left( \int_{\Lambda} N^{\rho(p)} \bar{p}^{-3} \sqrt{g} d\theta^1 d\theta^2 \right) - \int_{\Lambda} \bar{N} \bar{p}^{-3} \sqrt{g} d\theta^1 d\theta^2 \\ &- \sum_m \bar{F}^{\rho(p)} u^{\circ}_{\rho(p)} ; \quad \eta = 1, 2, 3; q = (1), (2), (3), (4) \\ &= \sum_a \left( \frac{1}{2} u^{\circ}_{\rho(p)} k^{\rho(p)\eta(q)} u^{\circ}_{\eta(q)} - u^{\circ}_{\rho(p)} \bar{F}_1^{\rho(p)} + u^{\circ}_{\rho(p)} \bar{F}_2^{\rho(p)} + c \right) - \sum_m \bar{F}^{\rho(p)} u^{\circ}_{\rho(p)} \end{aligned} \quad (6.240)$$

حيث :

$$k^{\rho(p)\eta(q)} = \int_{\Lambda} N^{\rho(p)},_{\alpha\beta} E^{\alpha\beta\gamma\delta} N^{\eta(q)},_{\gamma\delta} \sqrt{g} d\theta^1 d\theta^2 \quad (6.241)$$

$$\bar{F}_1^{\rho(p)} = \int_{\Lambda} N^{\rho(p)} \sqrt{g} d\theta^1 d\theta^2 \quad (6.242)$$

$$\bar{F}_2^{\rho(p)} = \int_{\Lambda} N^{\rho(p)},_{\alpha\beta} E^{\alpha\beta\gamma\delta} \bar{N},_{\gamma\delta} \bar{p}^{-3} \sqrt{g} d\theta^1 d\theta^2 \quad (6.243)$$

$$c = \frac{1}{2} \int_{\Lambda} \bar{p}^{-3} \bar{N},_{\alpha\beta} E^{\alpha\beta\gamma\delta} \bar{N},_{\gamma\delta} \bar{p}^{-3} \sqrt{g} d\theta^1 d\theta^2 - \int_{\Lambda} \bar{N} (\bar{p}^{-3})^2 \sqrt{g} d\theta^1 d\theta^2 \quad (6.243)$$

يلاحظ أثناء الانتقال من العلاقة (6.175) إلى العلاقة (6.240) من أنه بالرغم من أن الحمولات مركزة على بعض عقد البلاطة فقد تم تنضيد شعاع الانتقال  $u^{\circ}_m$  لبعض عقد البلاطة في شعاع الانتقال لكامل عقد البلاطة . قبل تجميع العلاقة (6.240) على كامل عناصر البلاطة يجب نسب الطاقة الكامنة الواردة في العلاقة السابقة بالنسبة للإحداثيات الطبيعية إلى الإحداثيات الديكارتية الخاصة بالعنصر ومن ثم نسبها إلى الإحداثيات الديكارتية العامة لكامل المنشأ . و الخطوة الأخيرة كانت قد نوقشت في الفقرة السابقة و تنجز كما هو وارد في العلاقة (6.197) أما بالنسبة



للتحويل من الإحداثيات الطبيعية إلى الإحداثيات الديكارتية الخاصة بالعنصر فيستنتج بالتعبير عن شعاع انتقالات العقدة في الإحداثيات الطبيعية بدلالة مثيله في الإحداثيات الديكارتية و الشروط التالية تقود إلى مثل هذا التعبير . باعتبار أن المحورين الإحداثيين  $x^3, \theta^3$  متطابقان فالانتقال وفق المحور  $\theta^3$  لعقدة ما (p) مكافئ تماماً لانتقال هذه العقدة وفق المحور  $x^3$  أي :

$$u_{3(p)}^{\circ} = u_{x^3(p)}^{\circ} \quad (6.245)$$

أما الدورانات كمشتملات للانتقالات فيتم تحويلها وفق علاقة التحويل التالية :

$$u_{3,\alpha}^{\circ} = g^i_{\alpha} u_{x^3,i}^{\circ} \quad (6.246)$$

و عليه يكون :

$$u_{3,1}^{\circ} = g^x_1 u_{x^3,x^1}^{\circ} + g^x_2 u_{x^3,x^2}^{\circ} \quad (6.247)$$

$$u_{3,2}^{\circ} = g^x_2 u_{x^3,x^1}^{\circ} + g^x_2 u_{x^3,x^2}^{\circ}$$

و بالاستعانة بالعلاقات (6.73)، (6.116) و تعويض مركبات أشعة القاعدة الأساسية من (6.229) نجد أن:

$$-\varphi_2 = a(-\varphi_{x^2}) \quad (6.248)$$

$$\varphi_1 = b\varphi_{x^1}$$

و العلاقات (6.245)، (6.248) يمكن ترتيبها بالشكل المصفوفي التالي :

$$\begin{bmatrix} u_{3(p)}^{\circ} \\ \varphi_{1(p)} \\ \varphi_{2(p)} \end{bmatrix} = \begin{bmatrix} 1 & 0 & 0 \\ 0 & b & 0 \\ 0 & 0 & a \end{bmatrix} \begin{bmatrix} u_{x^3}^{\circ} \\ \varphi_{x^1(p)} \\ \varphi_{x^2(p)} \end{bmatrix}; u_{(p)}^{\circ} \equiv T_{(p)}^{(i)} u_{(i)}^{\circ} \quad (6.249)$$

و بعد ترتيبها لكامل عقد العنصر كالتالي :

$$u_{p(p)}^{\circ} = T_{p(p)}^{(i)} u_{1(i)}^{\circ}; 1 = x^1, x^2, x^3; (i) = (1), (2), (3), (4) \quad (6.250)$$

والمصفوفة  $T_{p(p)}^{(i)}$  هي مصفوفة أبعادها  $(12 \times 12)$  ، كل عناصرها أصغراً مسا عدداً قطرها الرئيسي الذي يحتوي على العناصر  $1, b, a$  مكررة أربع مرات على التوالي . بتعويض العلاقة (6.240) في (6.250) نحصل على الطاقة الكامنة منسوبة إلى جملة المحاور الإحداثية الخاصة:

$$\begin{aligned}
\pi &= \sum_e \left[ \frac{1}{2} \left( u_{i(i)}^{\circ} T_{p(p)}^{l(i)} K^{p(p)\eta(q)} T_{\eta(q)}^{m(j)} u_{m(j)}^{\circ} \right) - u_{i(i)}^{\circ} T_{\zeta(p)}^{l(i)} \bar{f}_1^{p(p)} \right. \\
&+ u_{i(i)}^{\circ} T_{p(p)}^{l(i)} \bar{f}_2^{p(p)} + c \left. \right] - \sum_m \left( u_{i(i)}^{\circ} T_{p(p)}^{l(i)} \bar{f}^{p(p)} \right) \quad (6.251) \\
&= \sum_e \left[ \frac{1}{2} \left( u_{i(i)}^{\circ} K^{l(i)m(j)} u_{m(j)}^{\circ} \right) - u_{i(i)}^{\circ} \bar{f}_2^{l(i)} + c \right] - \sum_m u_{i(i)}^{\circ} \bar{f}^{l(i)}
\end{aligned}$$

حيث تحسب مصفوفة القساوة وأشعة الحملية محولة إلى الإحداثيات الديكارتية الخاصة وفنق العلاقات:

$$K^{l(i)m(j)} = T_{p(p)}^{l(i)} K^{p(p)\eta(q)} T_{\eta(q)}^{m(j)} \quad (6.252)$$

$$\bar{f}_1^{l(i)} = T_{p(p)}^{l(i)} \bar{f}_1^{p(p)} \quad (6.253)$$

$$\bar{f}_2^{l(i)} = T_{p(p)}^{l(i)} \bar{f}_2^{p(p)} \quad (6.254)$$

$$\bar{f}^{l(i)} = T_{p(p)}^{l(i)} \bar{f}^{p(i)} \quad (6.255)$$

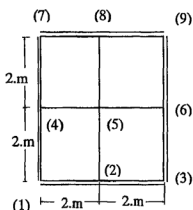
بعد تحويل العلاقة (6.251) ونسبها إلى جملة المحاور الإحداثية العامة والجمع على كامل عناصر المنشأ وأخذ المتغير الأول للطاقة الكامنة الناتجة فنحصل على جملة المعادلات الخطية التالية :

$$K^{\bar{T}(n)\bar{m}(n')} u_{\bar{m}(n')} - \bar{f}^{\bar{T}(n)} = 0 \quad (6.256)$$

يجب التنويه هنا إلى أنه بعد حساب الجاهيل أو انتقالات العقد في المحاور الإحداثية العامة بنتيجة حل المعادلات (6.256) يجب تحويل هذه الانتقالات في البدء إلى جملة المحاور الإحداثية الخاصة ومن ثم تحول إلى جملة المحاور الإحداثية الطبيعية للحصول على الانتقالات في الإحداثيات الطبيعية . عندها يمكن استخدام علاقات نظرية المرونة في الإحداثيات الطبيعية لحساب بقية الجاهيل الحركية والاستاتيكية و تحول بدورها وفق علاقات التحويل الخاصة بها ثانية إلى جملة المحاور الإحداثية الديكارتية . قد يبدو مثل هذا الطريق شاق طويلاً للمبتدئ ولا تتضح فائدته من تطبيقه على عناصر هندسية بأشكال منتظمة، و تتضح هذه الفائدة أكثر بعد التعرض لعناصر منتهية بطبولوجية معقدة كالعناصر شبة المنحرفة و عناصر منتهية بأطراف منحنية . عندها سيبدو استخدام الإحداثيات الديكارتية شاقاً ومعقداً إن لم يكن مستحيلاً . وفيما يلي ستعطى نتائج الاختبار العددي لحالة بلاطة مربعة مستندة استناداً بسيطاً من جميع أطرافها و محملة بحمولة موزعة بانتظام على كامل مساحتها و تملك الخواص الهندسية الواردة في الشكل 6-20 . و قد اختيرت هذه

البلاطة لأنها تملك حلاً تحليلياً دقيقاً تمثل إلى جانب حلول تقريبية بعناصر منتهية معروفة في المصادر العلمية في الأشكال من 6-21 إلى 6-26 وهذه العناصر المنتهية المساقة للمقارنة العددية هي العنصر الشهير بـ DKT و عنصر آخر شهير بـ ACM . أما نتائج العنصر المقترح في الفقرة 6-6 فقد أدرجت تحت اسم العنصر DE و يبين الشكل 6-21 قيم الطاقة الكامنة لكلمل البلاطة بدلالة الشبكة المقسمة لها إلى عناصر منتهية. وقد أنشئ الخط البياني لقيم الطاقة الكامنة من أجل شبكات من العناصر المنتهية قوامها 2\*2 عنصراً و حتى 16\*16 عنصراً. و هذه الشبكات مستخدمة أيضاً لتمثيل القيم الأخرى من انتقالات و عزوم انعطاف و قوى قاصة ممثلة في الأشكال 6-22 حتى 6-26 يلاحظ أن العنصر (DE) يمثل تحسناً نوعياً للطاقة الكامنة و قيم التأثير الأخرى كما أن تقارب حله إلى الحل الدقيق أسرع بكثير من الحلول التقريبية الأخرى . و بالتالي فحساسيته بالنسبة إلى التقسيم الشبكي قليلة و يمكن الحصول به على نتائج مقبولة هندسياً دون الحاجة إلى تقسيم المنشأ تقسيماً شبكياً دقيقاً .

$x^1$



$$E = 1.82 \cdot 10^7 \text{ kN/m}^2$$

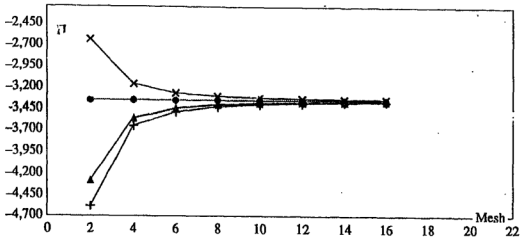
$$t = 0.1 \text{ m}$$

$$\nu = 0.3$$

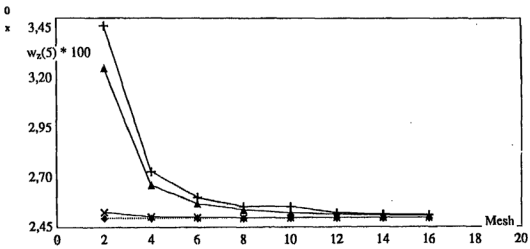
$$\frac{-x^3}{p} = 40. \text{ kN/m}^2$$

$x^2$

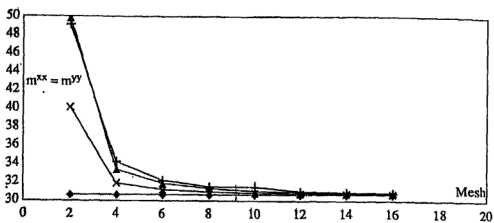
شكل 6-20: بلاطة مستندة استناداً بسيطاً من جميع أطرافها وعملة بحمولة موزعة بانتظام الخواص الهندسية.



شكل 6-21: الطاقة الكامنة

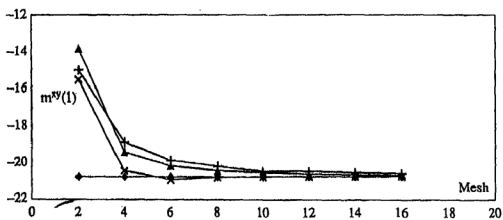


شكل 6-22: انتقالات نقطة منتصف البلاطة  $u_x^0(5)$



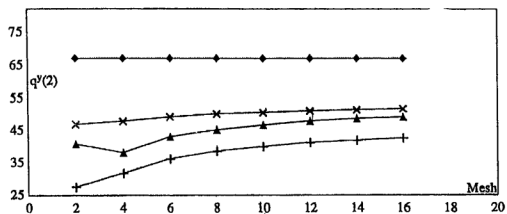
شكل 6-23 : عزوم الانعطاف  $m^{x^1x^1}(5) = m^{x^2x^2}(5)$

$$m^{x^1x^2} = m^{x^2x^1}$$



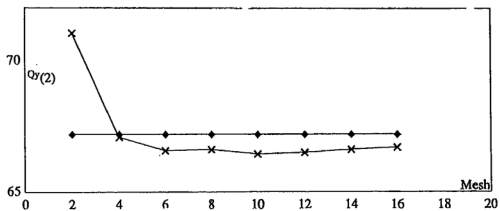
شكل 6-24 : عزوم القتل  $m^{x^1x^2} = m^{x^2x^1}$

$q^{x^2}(2)$



شكل 6-25 : القوة القاصة  $q^{x^2}(2)$

$O^{x^2}(2)$



شكل 6-26 : قوة القص البديلة (قوة قص كيرشهوف)  $Q^{x^2}(2)$

1. Schultz - Piszachich ,W.  
Tensoralgebra und - analysis ,Aus der Serie Mathematik fuer  
Ingenieure Naturwissenschaftler Oekonomen Landwirte (Hrsgb.O.Beyer;  
H. Erfurth ; O .Greuel ;H.Kander ; K.Mateuffel ; G. Zeidler) Bd.11,  
BSB .B.G Teubner verlagsgesellschaft , Leipzig 1988
2. Weaver ,w.;Johnston , P.R.  
Structural dynamics by finite elements  
Prentice-Hall , Englewood cliffs , New Jersey ,1987
3. Abo Diab,S.  
Entwicklung und einsatz gemischt -hybrider finiter Elemente Fuer  
Aufgaben der linearen Kinetik von Faltwerken - Ein Beitrag zu  
FALT-FEM, Technische Universitaet Dresden ,diss 1989.
4. Girkmann,K.  
Flaechentragwerke  
Springer- Verlag , 1983
5. Oden ,J.T.;Kikuchi,N.  
Finite element method for constrained problems in Elasticity  
Int.J.Num.Meth.Eng.,V ol.18,P.701-725,1982.
6. Batoz, J.L.;Ben Tahhar,M.  
Evalution of a new quadrilateral thin plate bending element ,  
Int.J.Num.Meth.Eng, Vol.18,P.1655-77,1982.
7. Brebbia , C.A.  
Finite -Element-Systeme-A Handbook  
Springer-Verlag, 1985
8. Oden , J.T. ;Reddy ,J.N.

Variational Methods in Theoretical Mechanics  
Springer-Verlag , 1976.

9.Timoshenko , S.T. ;Goodier , J.N.  
Theory of elasticity , Third Eddition ,MCGraw-Hill Book Company.  
1970

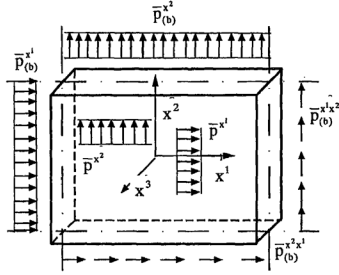
10.Meiszner,U.  
Finite - Element - Analysis  
Springer - Verlag , Berlin 1974

11.Gallagher,R.H.  
Finite - Element - Analysis  
Springer-Verlag,Berlin 1974

12.Clough,R.W;Penzien,J.  
Dynamics of Structures  
MCGrow-Hill Book Company , New York ,1975.



## 7- الشرائح الرقيقة:



شكل (7-1): شريحة رقيقة، المحاور الإحداثية  
المستوي الوسطي، الحمولات

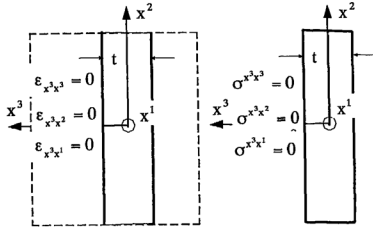
في هذا الفصل سوف تدرس الخطوط الأساسية لنظرية الشرائح الرقيقة بتفصيل مسهب إذ تدرس في البدء الخطوط الأساسية لمعادلات نظرية المرونة الحالي عمل الشرائح كحالة إجهادات مستوية وكحالة تشوهات مستوية وسوف تدرس هاتان الحالتان بصيغة موحدة ويشار إلى نقاط الاختلاف عند وجودها. بالإضافة إلى ذلك سوف يعرض عدد من العناصر المنتهية المطورة لحل مسائل الشرائح الرقيقة وسيتم حل عدد ليس بالقليل من الأمثلة الحسابية لمختلف المشاكل الإنشائية كتعرض الشرائح للحمولات الخارجية والفروقات الحرارية وهبوط المساند.

تعرف الشرائح بأنها منشآت مستوية ينحصر حجمها بين مستويين متوازيين البعد بينهما يمثل سماكة الشريحة وهو أصغر بكثير من البعدين الآخرين، وتعرض الشرائح فقط لحمولات واقعة في مستويها ويفترض أن يبقى المستوي الوسطي للشريحة مستويًا بعد تعرضها للمؤثرات الخارجية. ويمثل الشكل (7-1) شريحة مستوية معرضة لتأثير الأحمال الخارجية، وقد نسبت هذه الشريحة إلى جملة محاور إحداثية وحدد المستوي  $x^1x^2$  كمستوي وسطي للشريحة. يفترض عادة

أن الحملات الخارجية مطبقة في المستوي الوسطي للشريحة. وعلى هذا الأساس وضعت فرضيات تسهيلية لدراسة الشرائح بشكل مبسط واشتقت على أساس هذه الفرضيات معادلات نظرية المرونة. وسوف تستعرض في البدء حالات عمل الشرائح المفترضة قبل البدء باستعراض معادلات نظرية المرونة للشرائح الرقيقة.

يصنف عمل الشرائح وفق طبيعة الإجهادات أو التشوهات المفترض حصولها في الوسط الممثل للشريحة وتنضوي طبيعة عمل الشرائح تحت حالتين أساسيتين، أولهما تسمى حالة الإجهادات المستوية وتسمى الثانية حالة التشوهات المستوية.

في حالة الإجهادات المستوية يفترض بأن السطوح المحددة للشريحة والموازية للمستوي الوسطي للشريحة  $x^1x^2$  أي السطوحين  $x^3 = \pm \frac{t}{2}$  خالية من الإجهادات شكل (7-2-1) وعليه تكون إجهادات هذه السطوح وهي  $\sigma^{x^3x^3}, \sigma^{x^2x^2}, \sigma^{x^3x^1}$  معدومة.



(a) حالة الإجهادات المستوية

(b) حالة التشوهات المستوية

شكل 7-2: حالات عمل الشرائح

كما يفترض أن الإجهادات المتبقية وهي  $\sigma^{x^1x^1}, \sigma^{x^2x^2}, \sigma^{x^1x^2}$  لا تتغير باتجاه  $x^3$  وبالتالي تكون هذه الإجهادات تابعة فقط للإحداثيات المستقلة  $x^1, x^2$  أي أن :

$$\begin{aligned}
\sigma^{x^1x^1} &= \sigma^{x^1x^1}(x^1, x^2) \\
\sigma^{x^2x^1} &= \sigma^{x^2x^1}(x^1, x^2) \\
\sigma^{x^1x^2} &= \sigma^{x^1x^2}(x^1, x^2) \\
\sigma^{x^2x^2} &= \sigma^{x^2x^2}(x^1, x^2)
\end{aligned}
\quad \sigma^{ij} = \sigma^{ij}(x^1, x^2) \quad (7-1)$$

و العلاقات (7-1) تمثل الجاهيل الستاتيكية لحالة الإجهادات المستوية. إذا ما اعتبرت الحالة الإجهادية السائدة هذه كحالة أساسية أو كنقطة انطلاق تكون حالة التشوهات السائدة والمثبتة عن علاقات التشوهات- الإجهادات (العلاقات 32 - 2) ممثلة بالمعادلات التالية:

$$\begin{aligned}
\varepsilon_{x^1x^1} &= \frac{1}{E}(\sigma^{x^1x^1} - \nu\sigma^{x^2x^2}) \\
\varepsilon_{x^2x^1} &= \frac{1+\nu}{E}\sigma^{x^2x^1} \\
\varepsilon_{x^1x^2} &= \frac{1+\nu}{E}\sigma^{x^1x^2} \\
\varepsilon_{x^2x^2} &= \frac{1}{E}(-\nu\sigma^{x^1x^1} + \sigma^{x^2x^2}) \\
\varepsilon_{x^3x^3} &= \frac{1}{E}(-\nu\sigma^{x^1x^1} - \nu\sigma^{x^2x^2})
\end{aligned} \quad (7-2)$$

بناء على هذه العلاقات يكون جزء موترة التشوهات:

$$\begin{aligned}
\varepsilon_{x^1x^1} &= \varepsilon_{x^1x^1}(x^1, x^2) \\
\varepsilon_{x^2x^1} &= \varepsilon_{x^2x^1}(x^1, x^2) \\
\varepsilon_{x^1x^2} &= \varepsilon_{x^1x^2}(x^1, x^2) \\
\varepsilon_{x^2x^2} &= \varepsilon_{x^2x^2}(x^1, x^2)
\end{aligned}
\quad \varepsilon_{ij} = \varepsilon_{ij}(x^1, x^2) \quad (7-3)$$

متعلقا فقط بالإحداثيات المستقلة  $x^1, x^2$ . كما أن التشوه :

$$\varepsilon_{x^3x^3} = \varepsilon_{x^3x^3}(x^1, x^2) \quad (7-4)$$

متعلق فقط بنفس الإحداثيات المستقلة مما يعني أن التشوهات أيضاً ثابتة على سماكة الشريحة. وهذا يؤدي بدوره إلى تناقض هذه النتيجة مع المعطيات الأساسية المفترضة في العلاقات (7-1) إذ أن حالة هذه الإجهادات المفترضة غير متوافقة مع حالة التشوهات الناتجة. ويتجلى هذا التناقض واضحاً في علاقات التوافق، فحالة التشوهات الناتجة تؤدي إلى استحالة تحقيق المعادلات الثانية والثالثة والأخيرة من علاقات التوافق (2-38). وذلك لأن المشتقات :

$$\begin{aligned} \varepsilon_{x^3x^3, x^1x^1} &\neq 0 \\ \varepsilon_{x^3x^3, x^2x^2} &\neq 0 \\ \varepsilon_{x^3x^3, x^1x^2} &\neq 0 \end{aligned} \quad (7.5)$$

غير مساوية للصفر، بينما تكون مشتقات توابع التشوهات جميعها بالنسبة للإحداثي المستقل  $x^3$  معدومة. وبالتالي فالحللول الناتجة عن فرضيات عمل الشرائح وفق الحالة الإجهادية المستوية ما هي إلا حلول تقريبية. جدير بالذكر هنا أن لحساب الجاهيل الستاتيكية والكينماتيكية :

$\sigma^{x^2x^2}, \sigma^{x^1x^2}, \sigma^{x^1x^1}, \varepsilon_{x^3x^3}, \varepsilon_{x^2x^2}, \varepsilon_{x^1x^2}, \varepsilon_{x^1x^1}$  لدينا فقط معادلتين توازن وهي معادلة إسقاط في اتجاه كل من المحاور الإحداثية  $x^1, x^2$  وأربع معادلات ممثلة بعلاقات التشوهات الانتقالات (7-2) (مع اعتبار تناظر  $\sigma^{x^1x^2} = \sigma^{x^2x^1}$  :  $\varepsilon_{x^1x^2} = \varepsilon_{x^2x^1}$ ). والمسألة غير مقررّة ستاتيكية ويستعان بالمعادلة الأولى من علاقات التوافق (2-38) لحساب الجاهيل الستاتيكية والكينماتيكية، وحالة الإجهادات المستوية حالة شائعة بالنسبة للشرائح المحدودة السماكة والمعرضة لقوى في مستوياتها.

تصادف حالة التشوهات المستوية في الشرائح الممتدة إلى مالا نهاية شكل (7-2ب) فعند اقتطاع شريحة بعرض  $t$  من وسط الشريحة بقصد دراسته يمكن الاعتبار بأن التشوه في اتجاه الامتداد اللانهائي للشريحة معرقل. وعليه تعتبر التشوهات  $\varepsilon_{x^3x^1}, \varepsilon_{x^3x^2}, \varepsilon_{x^3x^3}$  معدومة والتشوهات الأخرى:

$$\begin{aligned} \varepsilon_{x^1x^1} &= \varepsilon_{x^1x^1}(x^1, x^2) \\ \varepsilon_{x^2x^1} &= \varepsilon_{x^2x^1}(x^1, x^2) \\ \varepsilon_{x^1x^2} &= \varepsilon_{x^1x^2}(x^1, x^2) \\ \varepsilon_{x^2x^2} &= \varepsilon_{x^2x^2}(x^1, x^2) \end{aligned} \quad , \varepsilon_{ij} = \varepsilon_{ij}(x^1, x^2) \quad (7-6)$$

مستوية وغير متعلقة بالإحداثي المستقل  $x^3$ . في حال اعتبار حالة التشوهات هذه كحالة أساسية وتنبتق عنها الحالة الإجهادية. عندها تعتبر العلاقات التالية:

$$\begin{aligned}\sigma^{x^1x^1} &= \frac{E}{(1+\nu)(1-2\nu)} [(1-\nu)\varepsilon_{x^1x^1} + \nu\varepsilon_{x^2x^2}] \\ \sigma^{x^2x^1} &= \frac{E}{1+\nu} \varepsilon_{x^2x^1} \\ \sigma^{x^1x^2} &= \frac{E}{1+\nu} \varepsilon_{x^1x^2} \\ \sigma^{x^2x^2} &= \frac{E}{(1+\nu)(1-2\nu)} [\nu\varepsilon_{x^1x^1} + (1-\nu)\varepsilon_{x^2x^2}] \\ \sigma^{x^3x^3} &= \frac{E}{(1+\nu)(1-2\nu)} [\nu\varepsilon_{x^1x^1} + \nu\varepsilon_{x^2x^2}]\end{aligned}\quad (7.7)$$

عن علاقات الإجهادات - التشوهات.

وباعتبار أن التشوهات متعلقة فقط بالإحداثيات المستقلة  $(x^1, x^2)$  يكون أيضاً جزءاً مؤثرة الإجهادات:

$$\begin{aligned}\sigma^{x^1x^1} &= \sigma^{x^1x^1}(x^1, x^2) \\ \sigma^{x^2x^1} &= \sigma^{x^2x^1}(x^1, x^2) \\ \sigma^{x^1x^2} &= \sigma^{x^1x^2}(x^1, x^2) \\ \sigma^{x^2x^2} &= \sigma^{x^2x^2}(x^1, x^2)\end{aligned}\quad ; \sigma^{ij} = \sigma^{ij}(x^1, x^2) \quad (7-8)$$

ثابتاً على سماكة الشريحة المعتبرة  $t$  وغير متعلق بالإحداثي المستقل  $x^3$  كما يكون الإجهاد :

$$\sigma^{x^3x^3} = \sigma^{x^3x^3}(x^1, x^2) \quad (7-9)$$

ثابتاً أيضاً وغير متعلق بالإحداثي المستقل  $x^3$ . خلافاً لحالة الإجهادات المستوية تمثل الحلول الناتجة عن فرضيات عمل الشرائح وفق حالة التشوهات المستوية حلاً دقيقاً لنظرية المرونة. إذ أن كـل معادلات التوافق (2-38) باستثناء الأولى محققة بافتراض حالة التشوهات المستوية، ويتم تحقيق المعادلة الأولى أثناء صياغة المعادلة التفاضلية لحالة التشوهات المستوية.

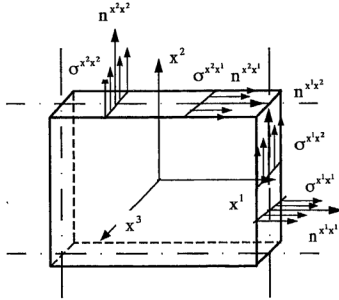
في هذا الفصل لن تتم دراسة كل حالة من حالات عمل الشرائح على حدى. إنما سيتم إعطاء صياغة مناسبة للمعادلات الأساسية لنظرية الشرائح ترتبط فيها الجاهيل الستاتيكية والكينماتيكية مع بعضها البعض بشكل مناسب. وسيتم التنويه عن الاختلافات بين حالة الإجهادات المستوية وحالة التشوهات المستوية أثناء وجودها في سياق الاشتقاق المعطاة.

## 7-1-1- معادلات نظرية المرونة في الإحداثيات الديكارتية:

### 7-1-1-1- الجاهيل نظرية المرونة:

نستنتج مما سبق أن انتقالات نقاط الشريحة جميعها تتعين بتعين انتقالات المستوي الوسطي للشريحة. وباعتبار أن الانتقالات تتم في نفس المستوي الوسطي للشريحة فتعين انتقالات المستوي الوسطي يتم بتعين الانتقالين  $u_{x^1}$ ,  $u_{x^2}$  لكل نقطة من نقاط هذا المستوي. وسوف يستغنى هنا عن تمييز انتقالات المستوي الوسطي بالشكل  $u_{x^1}^0$ ,  $u_{x^2}^0$  وذلك لتطابق  $u_{x^1}^0$  مع  $u_{x^1}$  و  $u_{x^2}^0$  مع  $u_{x^2}$ . بالإضافة إلى الانتقالين  $u_{x^1}$ ,  $u_{x^2}$  سوف نعتبر مؤثرة التشوهات المختصرة (7-3) أو (7-6) ممثلة للجاهيل الكينماتيكية المستقلة التي يجب تعيينها. وتعتبر مؤثرة الإجهادات المختصرة (7-1) أو (7-8) ممثلة للجاهيل الستاتيكية المستقلة المأخوذة بعين الاعتبار. نحصل على قوى المقطع بمعاملة الإجهادات على سطوح المقاطع وباعتبار التوزع المنتظم للإجهادات أو التشوهات على سطوح المقاطع نحصل على قوى المقطع التالية لواحدة الطول من الشريحة:

$$\begin{aligned} n^{x^1 x^1} &= \int_A \sigma^{x^1 x^1} \cdot dA = \int_{-\frac{h}{2}}^{\frac{h}{2}} \sigma^{x^1 x^1} \cdot 1 \cdot dx^3 = \sigma^{x^1 x^1} \cdot t \\ n^{x^2 x^1} &= \int_A \sigma^{x^2 x^1} \cdot dA = \int_{-\frac{h}{2}}^{\frac{h}{2}} \sigma^{x^2 x^1} \cdot 1 \cdot dx^3 = \sigma^{x^2 x^1} \cdot t \\ n^{x^1 x^2} &= \int_A \sigma^{x^1 x^2} \cdot dA = \int_{-\frac{h}{2}}^{\frac{h}{2}} \sigma^{x^1 x^2} \cdot 1 \cdot dx^3 = \sigma^{x^1 x^2} \cdot t \\ n^{x^2 x^2} &= \int_A \sigma^{x^2 x^2} \cdot dA = \int_{-\frac{h}{2}}^{\frac{h}{2}} \sigma^{x^2 x^2} \cdot 1 \cdot dx^3 = \sigma^{x^2 x^2} \cdot t \end{aligned} \quad (7-10)$$



شكل (7-3) قوى المقطع للشريحة

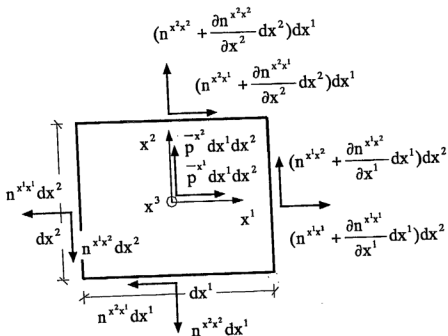
وقوى المقطع هذه بالإضافة إلى الإجهادات ممثلة على الشكل (7-3). ويعبر عن (7-10) باستخدام كتابة القرائن بالشكل :

$$n^{\bar{ij}} = t.\sigma^{\bar{ij}} \quad (7-11)$$

2-1-1-2-معادلات نظرية المرونة:

7-1-2-1-معادلات التوازن:

بعد اقتطاع عنصر تفاضلي  $dx^1 dx^2$  من شريحة مستوية وتمثيل قوى المقطع على الضفة السالبة للمقطع وتغيرات قوى المقطع المكافئة للحدود الأولى الخطية من منشور قوى المقطع وفق سلسلة تايلور على الضفة الموجبة للمقطع وكتابة معادلات التوازن، وهي معادلة إسقاط في اتجاه المحور  $x^1$  ومعادلة إسقاط في اتجاه المحور  $x^2$  ومعادلة عزوم حول المحور  $x^3$  نحصل على النتيجة التالية:



شكل (7-4) عنصر تفاضلي مقطوع من شريحة، المحاور الإحداثية، قوى المقطع، الحملات.

$$n^{x^1x^1},_{x^1} + n^{x^2x^1},_{x^2} + \bar{p}^{x^1} = 0 \quad (7-12)$$

$$n^{x^1x^2},_{x^1} + n^{x^2x^2},_{x^2} + \bar{p}^{x^2} = 0$$

$$n^{x^1x^2} = n^{x^2x^1}$$

ويعبر عن المعادلات السابقة بكتابة القرائن بالشكل :

$$n^{ij},_j + \bar{p}^i = 0 \quad (7.13)$$

$$n^{ij} = n^{ji}$$

يتضح من معادلات التوازن السابقة أن انتقال القوى في المنشآت المستوية لا يتم فقط مع اتجاه تطبيق الحملات وإنما يتعلق بتغير قوى القص في الاتجاه العمودي على اتجاه تطبيق الحملات.

## 7-1-2-2-علاقات الشوهات-الانتقالات:

تعبير العلاقات التالية:



$$\begin{aligned}
\varepsilon_{x^1x^1} &= \frac{\partial u_{x^1}}{\partial x^1} \\
\varepsilon_{x^2x^1} &= \frac{1}{2} \left( \frac{\partial u_{x^2}}{\partial x^1} + \frac{\partial u_{x^1}}{\partial x^2} \right) \\
\varepsilon_{x^1x^2} &= \frac{1}{2} \left( \frac{\partial u_{x^1}}{\partial x^2} + \frac{\partial u_{x^2}}{\partial x^1} \right) \\
\varepsilon_{x^3x^2} &= \frac{\partial u_{x^2}}{\partial x^2}
\end{aligned}
\quad ; \quad \varepsilon_{ij} = \frac{1}{2} (u_{i,j} + u_{j,i}) \quad (7-14)$$

عن علاقات التشوهات الانتقالية لحالة الشريحة الرقيقة.

### 7-1-2-3 قانون السلوك:

يمثل قانون السلوك لحالة الشريحة بالمعادلات التالية:

$$\begin{aligned}
\sigma^{x^1x^1} &= \frac{E}{(1+\nu)(1-2\nu)} [(1-\nu)\varepsilon_{x^1x^1} + \nu\varepsilon_{x^2x^2} + \nu\varepsilon_{x^3x^3}] \\
\sigma^{x^2x^2} &= \frac{E}{(1+\nu)(1-2\nu)} [\nu\varepsilon_{x^1x^1} + (1-\nu)\varepsilon_{x^2x^2} + \nu\varepsilon_{x^3x^3}] \\
\sigma^{x^3x^3} &= \frac{E}{(1+\nu)(1-2\nu)} [\nu\varepsilon_{x^1x^1} + \nu\varepsilon_{x^2x^2} + (1-\nu)\varepsilon_{x^3x^3}] \\
\sigma^{x^1x^2} &= \frac{E}{1+\nu} \varepsilon_{x^1x^2} \\
\sigma^{x^1x^3} &= \frac{E}{1+\nu} \varepsilon_{x^1x^3}
\end{aligned} \quad (7-15)$$

وهذه المعادلات مشتقة من قانون هوك للحالة الفراغية (31-2) بعد اعتبار الحالة الخاصة لعمل الشريحة، فهي إما وفق حالة الإجهادات المستوية والتي يكون فيها  $(\sigma^{x^1x^1} = \sigma^{x^1x^3} = \sigma^{x^3x^2} = \sigma^{x^2x^2} = 0)$  وإما وفق حالة التشوهات المستوية ويكون فيها  $(\varepsilon_{x^3x^1} = \varepsilon_{x^1x^3} = \varepsilon_{x^3x^2} = \varepsilon_{x^2x^3} = 0)$ .

لحالة التشوهات المستوية تنبسط العلاقات (7-15) لتصبح مطابقة للعلاقات (7-7) وذلك باعتبار  $\varepsilon_{x^3x^3} = 0$  . وحالة الإجهادات المستوية يفترض أن يكون  $\sigma^{x^3x^3} = 0$  وهذا يعني أن المعادلة الثالثة من العلاقات (7-15) يجب أن تكون مكافئة للصفر وهذا يقضي إلى المساواة التالية:

$$\varepsilon_{x^3x^3} = -\frac{\nu}{1-\nu}(\varepsilon_{x^1x^1} + \varepsilon_{x^2x^2}) \quad (7-16)$$

وبتعويض هذه القيمة في المعادلتين الأولى والثانية من العلاقات (7-15) نحصل على:

$$\begin{aligned} \sigma^{x^1x^1} &= \frac{E}{1-\nu^2}(\varepsilon_{x^1x^1} + \nu\varepsilon_{x^2x^2}) \\ \sigma^{x^2x^2} &= \frac{E}{1-\nu^2}(\nu\varepsilon_{x^1x^1} + \varepsilon_{x^2x^2}) \end{aligned} \quad (7-17)$$

وللحالتين أي حالة الإجهادات المستوية وحالة التشوهات المستوية يمكن كتابة قانون السلوك بالشكل المهود:

$$\sigma^{ij} = c^{ijkl} \varepsilon_{kl} \quad (7-18)$$

وهو تفصيليا بالشكل:

$$\begin{bmatrix} \sigma^{x^1x^1} \\ \sigma^{x^2x^1} \\ \sigma^{x^1x^2} \\ \sigma^{x^2x^2} \end{bmatrix} = \begin{bmatrix} c^{x^1x^1x^1x^1} & c^{x^1x^1x^2x^1} & c^{x^1x^1x^2x^2} & c^{x^1x^1x^3x^3} \\ c^{x^2x^1x^1x^1} & c^{x^2x^1x^2x^1} & c^{x^2x^1x^2x^2} & c^{x^2x^1x^3x^3} \\ c^{x^1x^2x^1x^1} & c^{x^1x^2x^2x^1} & c^{x^1x^2x^2x^2} & c^{x^1x^2x^3x^3} \\ c^{x^2x^2x^1x^1} & c^{x^2x^2x^2x^1} & c^{x^2x^2x^2x^2} & c^{x^2x^2x^3x^3} \end{bmatrix} \begin{bmatrix} \varepsilon_{x^1x^1} \\ \varepsilon_{x^2x^1} \\ \varepsilon_{x^1x^2} \\ \varepsilon_{x^2x^2} \end{bmatrix} \quad (7-19)$$

والنشر يتم باعتبار أن القرينة i تتحول بأسرع من j والقرينة l تتحول بأسرع من k . وتم تحويل المصفوفة الرباعية  $C^{ijkl}$  إلى مصفوفة ثنائية كما و أن القرينتين jz قد جمعتا في قرينة واحدة وكذلك القرينتين kl . وعلى القارئ نشر العلاقة (7-18) بالمبادئ المعروفة لديه ومقارنة المنشور الناتج مع ذلك المعطى في العلاقة (7-19). ولكلا حالتي الإجهادات المستوية والتشوهات المستوية يكون:

$$c^{x^1x^1x^1x^1} = c^{x^2x^2x^2x^2} = c^{x^1x^1x^2x^2} = c^{x^2x^2x^1x^1} = c^{x^1x^2x^1x^2} = c^{x^2x^1x^2x^1} = c^{x^1x^2x^2x^1} = c^{x^2x^1x^1x^2} = 0 \quad (7-20)$$

وهنا تتميز حالة الإجهادات المستوية عن حالة التشوهات المستوية . فلحالة الإجهادات المستوية يكون:

$$\begin{aligned}
c^{x^1x^1x^1x^1} &= c^{x^2x^2x^2x^2} = c \\
c^{x^1x^1x^2x^2} &= c^{x^2x^2x^1x^1} = v \cdot c \\
c^{x^1x^2x^1x^2} &= c^{x^2x^1x^1x^2} = c^{x^1x^2x^2x^1} = c^{x^2x^1x^1x^2} = \frac{1}{2}(1-v) \cdot c
\end{aligned} \quad (7-21)$$

$$c = \frac{E}{1-v^2}$$

مع العلاقة الإضافية:

$$\varepsilon_{x^3x^3} = -\frac{v}{E}(\sigma^{x^1x^1} + \sigma^{x^2x^2}) \quad (7-22)$$

ولحالة التشوهات المستوية يكون :

$$\begin{aligned}
c^{x^1x^1x^1x^1} &= c^{x^2x^2x^2x^2} = c \\
c^{x^1x^1x^2x^2} &= c^{x^2x^2x^1x^1} = v \cdot c \\
c^{x^1x^2x^1x^2} &= c^{x^2x^1x^1x^2} = c^{x^1x^2x^2x^1} = c^{x^2x^1x^1x^2} = \frac{1}{2}(1-v) \cdot c \\
c &= \frac{E}{(1+v)(1-2v)}
\end{aligned} \quad (7-23)$$

مع العلاقة الإضافية :

$$\sigma^{x^3x^3} = v \cdot (\sigma^{x^1x^1} + \sigma^{x^2x^2}) \quad (7-24)$$

والعلاقة السابقة يمكن استنتاجها مباشرة من مقارنة المعادلتين الأولى والرابعة من العلاقات (7-7) مع المعادلة الخامسة من العلاقات نفسها.

#### 7-1-2-4-علاقات قوى المقطع-الانتقالات:

بتعويض قانون السلوك (7-18) في العلاقة (7-11) نحصل على علاقات تربط بين قوى المقطع والتشوهات:

$$n^{ij} = t \cdot c^{ijkl} \cdot \varepsilon_{kl} \quad (7-25)$$

وبتبديل علاقة التشوهات -الانتقالات (7-14) في العلاقة السابقة نحصل على علاقة قوى المقطع-  
الانتقالات :

$$n^{ij} = \frac{1}{2} \cdot t \cdot c^{ijkl} \cdot (u_{k,l} + u_{l,k}) \quad (7-26)$$

### 7-1-3-المعادلة التفاضلية:

يتم الحصول على المعادلة التفاضلية للانتقالات بتعويض علاقات قوى المقطع-الانتقالات (7-26) في معادلات التوازن (7-13):

$$\left[ \frac{1}{2} \cdot t \cdot c^{ijkl} \cdot (u_{k,l} + u_{l,k}) \right]_{,j} + \bar{p}^i = 0 \quad (7-27)$$

في حالة ثبات المعاملات  $c^{ijkl}$  يمكن إخراجها خارج قوس التفاضل ونحصل بالنتيجة التالية على  
المعادلتين التفاضليتين التاليتين للانتقالات :

$$\begin{aligned} t \cdot c^{x^1 x^1 x^1 x^1} \cdot u_{x^1, x^1 x^1} + t \cdot c^{x^2 x^1 x^1 x^2} \cdot u_{x^1, x^2 x^2} + t \cdot (c^{x^1 x^1 x^2 x^2} + c^{x^2 x^1 x^2 x^1}) \cdot u_{x^2, x^2 x^2} + \bar{p}^{x^1} &= 0 \\ t \cdot c^{x^2 x^2 x^2 x^2} \cdot u_{x^2, x^2 x^2} + t \cdot c^{x^1 x^2 x^2 x^1} \cdot u_{x^2, x^1 x^1} + t \cdot (c^{x^2 x^2 x^1 x^1} + c^{x^1 x^2 x^1 x^2}) \cdot u_{x^1, x^1 x^2} + \bar{p}^{x^2} &= 0 \end{aligned} \quad (7-28)$$

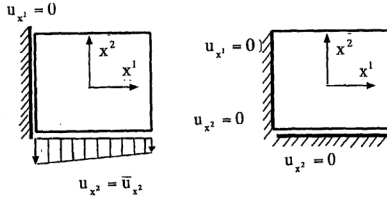
تعتمد الطريقة الكلاسيكية على إيجاد الحلول التحليلية للمعادلات التفاضلية السابقة.

تحتوي مثل هذه الحلول على ثوابت المعادلة التفاضلية والتي يتم تحديدها لكل مسألة على حدى  
من الشروط الطرفية.

### 7-1-4-الشروط الطرفية:

#### 7-1-4-1-الشروط الطرفية الهندسية:

تصاغ الشروط الطرفية الهندسية لتعبير رياضيا عن شروط استناد الشريحة



شكل (5-7): شروط طرفية هندسية

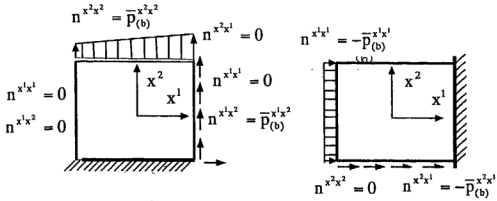
والشكل (5-7) يبين بعض الأمثلة على صياغة مثل هذه الشروط، والتعبير الرياضي كما نعلم هو:

$$u_{x^1} = \bar{u}_{x^1} \quad \text{on} \quad S_u \quad (7.29)$$

حيث  $\bar{u}_{x^1}, \bar{u}_{x^2}$  قيم للانتقالات معلومة على الأطراف والتي تكون فيها الانتقالات معلومة ( $S_u$ ). ويمكن أن تمثل  $\bar{u}_{x^2}, \bar{u}_{x^1}$  توابع ثابتة بقيم معلومة مسبقاً على الأطراف المذكورة.

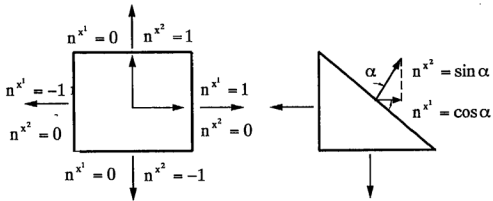
#### 7-1-4-2- الشروط الطرفية الميكانيكية:

من خلال الشروط الطرفية الميكانيكية تعرف الإجهادات على الأطراف  $S_\sigma$ ، بحيث تتساوى توابع الإجهادات الداخلية مع توابع الإجهادات الناشئة عن القوى الخارجية المعلومة المطبقة على تلك الأطراف.



شكل (6-7): شروط طرفية ميكانيكية.

ولاختلاف إشارة العلاقات الطرفية لتساوي القوى الداخلية مع القوى الخارجية كما يبين الشكل (6-7) يعرف شعاع النظم الموجب بأنه شعاع النظم الخارج من الطرف (شكل 7-7) عندها تصاغ الشروط الطرفية الميكانيكية بالشكل:



شكل (7-7): مركبات شعاع النظم الموجب.

$$\begin{aligned}
n^{x^1x^1} \cdot n_{x^1} &= \bar{p}^{x^1} \quad (b) \\
n^{x^2x^2} \cdot n_{x^2} &= \bar{p}^{x^2} \quad (b) \\
n^{x^1x^2} \cdot n_{x^1} &= \bar{p}^{x^1x^2} \quad (b) \\
n^{x^2x^1} \cdot n_{x^2} &= \bar{p}^{x^2x^1} \quad (b)
\end{aligned}
\tag{7-30}$$

من الصعوبة بمكان إيجاد الحلول التحليلية للمعادلات التفاضلية للانتقالات والتي تحقق الشروط الطرفية المذكورة لذلك يلجأ عادة إلى إدخال ما يسمى بتوابع الإجهادات (توابع AIRY). ونختار توابع الإجهادات هذه بحيث تحقق نفس الشروط التي تتطلبها المعادلات التفاضلي الآتية الذكر.

#### 7-1-5- توابع الإجهادات (توابع AIRY):

يجب أن تحقق توابع الإجهادات المدخلة شروط التوازن على عنصر تفاضلي. بافتراض أن تسابع الإجهادات هذا، الذي يحقق شروط التوازن تابع من الشكل  $F(x^1, x^2)$ ؛ فمعادلات التوازن (7-12) تقتضي في حالة عدم وجود حمولات موزعة أن يكون:

$$\begin{aligned}
n^{x^1x^1} &= e^{x^1x^2} e^{x^1x^2} f_{,x^2x^2} \\
n^{x^2x^2} &= e^{x^2x^1} e^{x^2x^1} f_{,x^1x^1} \\
n^{x^1x^2} &= e^{x^1x^2} e^{x^2x^1} f_{,x^2x^1} \\
n^{x^2x^1} &= e^{x^2x^1} e^{x^1x^2} f_{,x^1x^2} \\
e^{x^1x^2} &= 1; e^{x^2x^1} = -1; \bar{p}^{x^1} = 0; \bar{p}^{x^2} = 0
\end{aligned}
\tag{7-31}$$

ويمكن تحقيق معادلات التوازن أيضا في الحالة التي تكون فيها الحمولات  $\bar{p}^{x^1}, \bar{p}^{x^2}$  ثابتة وموزعة بانتظام على مساحة الشريحة. في هذه الحالة تبقى المعادلتان الأولى والثانية من العلاقات (31-7) دون تغيير أما المعادلتان الثالثة والرابعة فتصبحان:

$$n^{x^1x^2} = e^{x^1x^2} e^{x^2x^1} (f_{,x^2x^1} + x^2 p^{-x^1} + x^1 p^{-x^2}) \quad (7-32)$$

$$n^{x^2x^1} = e^{x^2x^1} e^{x^1x^2} (f_{,x^1x^2} + x^2 p^{-x^1} + x^1 p^{-x^2})$$

وبعد اختيار تابع الإجهادات  $F(x^1, x^2)$  محقق لشروط التوازن يفترض به الآن أن يحق علاقات التشوهات-الانتقالات (7-14) وقانون السلوك (7-19) أو علاقات قوى المقطع-التشوهات (7-25) بالإضافة إلى تحقيق للشروط الطرفية الهندسية والميكانيكية. ولكي يحصل ما سبق ذكره يجب إدخال المعادلات السابقة في اشتقاق المعادلة التفاضلية. ولهذا الغرض تجرى بعض التعديلات في كتابة هذه المعادلات. من علاقات التشوهات-الانتقالات نحصل بالتفاضل المباشر على علاقة التوافق التالية:

$$e^{x^1x^2} e^{x^1x^2} \varepsilon_{x^1x^1, x^2x^2} + e^{x^2x^1} e^{x^2x^1} \varepsilon_{x^2x^2, x^1x^1} + e^{x^1x^2} e^{x^1x^2} \varepsilon_{x^1x^2, x^2x^1} + e^{x^2x^1} e^{x^1x^2} \varepsilon_{x^2x^1, x^1x^2} = 0 \quad (7-33)$$

وهذه العلاقة مطابقة لمعادلة التوافق الأولى من العلاقات (2-38). والتي سبق ذكرها بأنها ستستخدم لحساب المجاهيل الستاتيكية والكينماتيكية.

يتم الآن كتابة قانون السلوك بدلالة التشوهات بإيجاد مقلوب العلاقة (7-18) فنحصل على:

$$\varepsilon_{ij} = S_{ijkl} \sigma^{kl} \quad (7-34)$$

وهي تفصيلاً:

$$\begin{bmatrix} \varepsilon_{x^1x^1} \\ \varepsilon_{x^2x^1} \\ \varepsilon_{x^1x^2} \\ \varepsilon_{x^2x^2} \end{bmatrix} = \begin{bmatrix} S_{x^1x^1x^1x^1} & S_{x^1x^1x^2x^1} & S_{x^1x^1x^1x^2} & S_{x^1x^1x^2x^2} \\ S_{x^2x^1x^1x^1} & S_{x^2x^1x^2x^1} & S_{x^2x^1x^1x^2} & S_{x^2x^1x^2x^2} \\ S_{x^1x^2x^1x^1} & S_{x^1x^2x^2x^1} & S_{x^1x^2x^1x^2} & S_{x^1x^2x^2x^2} \\ S_{x^2x^2x^1x^1} & S_{x^2x^2x^2x^1} & S_{x^2x^2x^1x^2} & S_{x^2x^2x^2x^2} \end{bmatrix} \begin{bmatrix} \sigma^{x^1x^1} \\ \sigma^{x^2x^1} \\ \sigma^{x^1x^2} \\ \sigma^{x^2x^2} \end{bmatrix} \quad (7.35)$$

والمعاملات:

$$S_{x^1x^1x^2x^1} = S_{x^1x^1x^1x^2} = S_{x^2x^1x^1x^1} = S_{x^2x^1x^2x^1} = S_{x^1x^2x^2x^1} = S_{x^2x^2x^2x^1} = S_{x^2x^2x^1x^2} = 0 \quad (7-36)$$

لكلا حالي التشوهات المستوية والإجهادات المستوية. وحالة الإجهادات المستوية يكون:



$$\begin{aligned}
S_{x^1x^1x^1x^1} &= S_{x^2x^2x^2x^2} = S \\
S_{x^1x^1x^2x^2} &= S_{x^2x^2x^1x^1} = -v \cdot S \\
S_{x^1x^2x^1x^2} &= S_{x^2x^1x^2x^1} = S_{x^1x^2x^2x^1} = S_{x^2x^1x^1x^2} = \frac{1}{2}(1+v) \cdot S \quad (7-37) \\
s &= \frac{1}{E}
\end{aligned}$$

ولحالة التشوهات المستوية يكون:

$$\begin{aligned}
S_{x^1x^1x^1x^1} &= S_{x^2x^2x^2x^2} = (1-v) \cdot S \\
S_{x^1x^1x^2x^2} &= S_{x^2x^2x^1x^1} = -v \cdot S \\
S_{x^1x^2x^1x^2} &= S_{x^2x^1x^2x^1} = S_{x^1x^2x^2x^1} = S_{x^2x^1x^1x^2} = \frac{1}{2} \cdot S \quad (7-38) \\
s &= \frac{1+v}{E}
\end{aligned}$$

ولتلافي الالتباس ننوه هنا أن  $s, c$  استخدمت بقيم مختلفة في العلاقات (7-21), (7-23), (7-37) و (7-38). ومن العلاقة (7-34) نستطيع استنتاج علاقة تربط بين التشوهات وقوى المقطع:

$$\varepsilon_{ij} = \frac{1}{t} \cdot s_{ijkl} \cdot n^{kl} \quad (7-39)$$

وكان بالإمكان إيجاد مثل هذه العلاقة مباشرة بأخذ معكوس العلاقة (7-25).

بتعويض العلاقات (7-31) في العلاقة (7-33) وإجراء عمليات اشتقاق العلاقة الناتجة وفق علاقة التوافق (7-33) نحصل على المعادلة التفاضلية التي تحكم مسألة الشريحة على الشكل:

$$\frac{\partial^4 F}{(\partial x^1)^4} + \frac{\partial^4 F}{(\partial x^1)^2 (\partial x^2)^2} + \frac{\partial^4 F}{(\partial x^2)^2 (\partial x^1)^2} + \frac{\partial^4 F}{(\partial x^2)^4} = 0 \quad (7-40)$$

أو بإدخال معامل لا بلاس:

$$\Delta \Delta F = 0 \quad (7-41)$$

ولكل مسألة من مسائل الشرائح يجب إيجاد توابع الإجهادات التي تحقق المعادلة التفاضلية (7-41) بالإضافة إلى تحقيقها للشروط الطرفية الهندسية والميكانيكية الخاصة بكل مسألة. وحالات بسيطة وطبولوجيات هندسية منتظمة يمكن إيجاد الحلول التحليلية للمعادلة التفاضلية. أما في الحالة العامة

فيلجأ عادة إلى الطرق العددية وفي مقدمتها طرائق العناصر المنتهية. وفي هذا الفصل لن يتم استعراض كل طرق العناصر المنتهية التي استعرضت في الفصل السادس لحل البلاطات الرقيقة، وإنما سيكتفى بعرض عنصر منتهي مستطيل من النموذج المحين لحل الشرائح، ويجمع هذا العنصر مع نظيره من النموذج المحين لحل البلاطات الرقيقة بغية استخدام العنصر الناتج في حل المنشآت المثنية المستوية.

## 7-2- عنصر شريحة مثلثي في الإحداثيات الديكارتية:

كما رأينا أثناء اشتقاقنا لمبدأ الطاقة الكامنة الأصغري في ميكانيك المرونة الخطية أن هذا المبدأ يقتضي بأن يكون المتغير الأول لتابعي الطاقة الكامنة معلوماً ضمن شروط المسموحية الحركية لانتقالات الجسم المعزول طاقياً والقوى المطبقة المحافضة. وقد عير عن هذا المبدأ رياضياً بالشكل:

$$\delta\pi = \delta \left\{ \sum_v \frac{1}{2} \int_v \varepsilon_{ij} \cdot c^{ijkl} \cdot \varepsilon_{kl} \cdot dV - \int_v \bar{f}^i \cdot u_i \cdot dV - \int_{s_0} \bar{T}^i \cdot u_i \cdot ds \right\} = 0 \quad (7-42)$$

وبعد اعتبار الحالة الخاصة لعمل الشرائح سواءً ضمن صيغة الاجهادات المستوية أو التشوهات المستوية ومراعاة كافة الافتراضات الوارد ذكرها في مقدمة هذا الفصل تحوّل الصيغة الثلاثية الأبعاد (7.42) إلى الصيغة الثنائية البعد التالية:

$$\delta\pi = \delta \left\{ \sum_e \left( \frac{1}{2} \int_A \varepsilon_{ij} \cdot t c^{ijkl} \cdot \varepsilon_{kl} \cdot dA - \int_A \bar{p}^i \cdot u_i \cdot dA - \int_{s_0} \bar{p}_{b,e}^i \cdot u_i^{b,e} \cdot ds \right) - \sum_m \bar{F}^{(m)} \cdot u_m \right\} = 0 \quad (7-43)$$

حيث:

$u_i^{b,e}$ : الانتقالات على محيط العنصر المنتهي.

$\bar{p}_{b,e}^i$ : القوى الخارجية المؤثرة على محيط العنصر المنتهي.

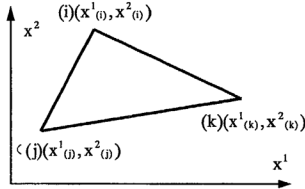
$\sum_m$ : المجموع على العقد المحملة بقوى مركزة.

$\bar{F}^{(m)}$ : القوة المركزة على العقدة (m).

$u_{(m)}$  : انتقالات العقدة (m) .

والرمز  $b, e$  يدل على محيط العنصر المنتهي.

لنقتطع الآن من شريحة مستوية عنصراً مثلثياً منسوباً إلى جملة محاور إحداثية ديكرتية وإحداثيات رؤوسه هي :  $(i)(x^1_{(i)}, x^2_{(i)})$ ,  $(j)(x^1_{(j)}, x^2_{(j)})$ ,  $(k)(x^1_{(k)}, x^2_{(k)})$  على التوالي ولكل عقدة من عقد العنصر درجتي حرية وهي الانتقال  $u_{x^1}$  والانتقال  $u_{x^2}$  . وباعتبار أن انتقالاً في اتجاه  $x^1$  لا يولد أي انتقال في اتجاه  $x^2$  يمكن أن نعتبر أن الانتقالين مستقلين عن بعضهما البعض.



شكل 7-8 : عنصر شريحة مثلثي ، المحاور الاحداثية ، احداثيات العقد

ولهذا باستطاعتنا أن نختار لكل انتقال في اتجاه ما تابعاً تقريبياً متعلقاً فقط بدرجات حرية ذلك الاتجاه ومجموعها ثلاث درجات حرية وهي انتقالات رؤوس المثلث في ذلك الاتجاه. وأبسط اختيار هو أن نختار لتابع الانتقال  $u_{x^1}$  في نقطة ما لا على التعيين  $(x^1, x^2)$  واقعة ضمن المثلث التابع التقريبي التالي:

$$u_{x^1} = \begin{bmatrix} 1 & x^1 & x^2 \end{bmatrix} \begin{bmatrix} c_{x^1 0} \\ c_{x^1 1} \\ c_{x^1 2} \end{bmatrix} \quad (7-44)$$

ولتابع الانتقال  $u_x$  التابع التقريبي المشابه:

$$u_{x^2} = \begin{bmatrix} 1 & x^1 & x^2 \end{bmatrix} \begin{bmatrix} c_{x^2 0} \\ c_{x^2 1} \\ c_{x^2 2} \end{bmatrix} \quad (7-45)$$

وبتجميعهما يمكن التعبير عن العلاقتين السابقتين بالكتابة بالقرائن كما يلي:

$$u_i = x^n c_{in}; n = 0, 1, 2; i = x^1, x^2 \quad (7-46)$$

تقتضي الشروط الطرفية اللازمة للعنصر المنتهي أن يولد كل من تابعي الانتقال ضمن العنصر المنتهي انتقالات العقد عند تعويض إحداثيات هذه الأخيرة في كل من التابعين. أي:

$$\begin{bmatrix} u_{x^1(i)} \\ u_{x^1(j)} \\ u_{x^1(k)} \end{bmatrix} = \begin{bmatrix} 1 & x^1(i) & x^2(i) \\ 1 & x^1(j) & x^2(j) \\ 1 & x^1(k) & x^2(k) \end{bmatrix} \begin{bmatrix} c_{x^1 0} \\ c_{x^1 1} \\ c_{x^1 2} \end{bmatrix} \quad (7-47)$$

$$\begin{bmatrix} u_{x^2(i)} \\ u_{x^2(j)} \\ u_{x^2(k)} \end{bmatrix} = \begin{bmatrix} 1 & x^1(i) & x^2(i) \\ 1 & x^1(j) & x^2(j) \\ 1 & x^1(k) & x^2(k) \end{bmatrix} \begin{bmatrix} c_{x^2 0} \\ c_{x^2 1} \\ c_{x^2 2} \end{bmatrix} \quad (7-48)$$

أو اختصاراً :

$$u_{i(p)} = A_{(p)}^n \cdot c_{in} \quad (p)=(i),(j),(k) \quad (7-49)$$

ونوه هنا إلى أنه يجب عدم الالتباس بين (i) المستخدمة للدلالة على العقدة وبين القرينة i التي تتحول على  $x^1, x^2$ . تتعين الثوابت الاختيارية  $c_{in}$  بدلالة انتقالات العقد بعكس العلاقة السابقة ومعكوسها هو:

$$c_{in} = B_n^{(p)} \cdot u_{i(p)} \quad (7-50)$$

حيث:

$$B_n^{(p)} = \frac{1}{2A} \begin{pmatrix} x^1(j)x^2(k) - x^1(k)x^2(j) & -x^1(i)x^2(k) + x^1(k)x^2(i) & x^1(i)x^2(j) - x^1(j)x^2(i) \\ -x^2(k) + x^2(j) & x^2(k) - x^2(i) & -x^2(j) + x^2(i) \\ x^1(k) - x^1(j) & -x^1(k) + x^1(i) & x^1(j) - x^1(i) \end{pmatrix} \quad (7.51)$$

تنتج توابع الانتقالات التقريبية من تعويض الثوابت الاختيارية بقيمها المحددة في (7-50), (7-51) في (7-46) فنحصل على:

$$u_i = x^n \cdot B^{(p)}_n \cdot u_{i(p)} = N^{(p)} u_{i(p)} \quad (7-52)$$

حيث:

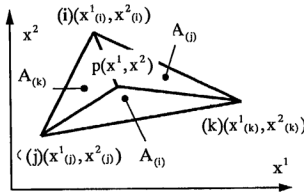
$$N^{(p)} = \begin{bmatrix} N^{(i)} & N^{(j)} & N^{(k)} \end{bmatrix} = \begin{bmatrix} \frac{2A_{(i)}}{2A} & \frac{2A_{(j)}}{2A} & \frac{2A_{(k)}}{2A} \end{bmatrix} \quad (7-53)$$

$$2A_{(i)} = \begin{bmatrix} 1 & x^1 & x^2 \\ 1 & x^1_{(i)} & x^2_{(i)} \\ 1 & x^1_{(k)} & x^2_{(k)} \end{bmatrix}, 2A_{(j)} = \begin{bmatrix} 1 & x^1 & x^2 \\ 1 & x^1_{(j)} & x^2_{(j)} \\ 1 & x^1_{(i)} & x^2_{(i)} \end{bmatrix}, 2A_{(k)} = \begin{bmatrix} 1 & x^1 & x^2 \\ 1 & x^1_{(i)} & x^2_{(i)} \\ 1 & x^1_{(j)} & x^2_{(j)} \end{bmatrix} \quad (7-54)$$

وقيم هذه المعينات تمثل مساحات المثلثات الثلاثة الجزئية المشكلة بوصل النقطة لا على التعيين الواقعة ضمن المثلث الأصلي إلى رؤوسه الثلاثة.

وتوابع الشكل هذه ليست سوى ما يسمى بالإحداثيات الطبيعية المثلثية والمعرفة كالتالي:

$$\lambda_1 = \frac{A_{(i)}}{A}; \lambda_2 = \frac{A_{(j)}}{A}; \lambda_3 = \frac{A_{(k)}}{A} \quad (7-55)$$



شكل 7-9: توابع الشكل كمساحات المثلثات الجزئية

كما سنرى لاحقاً أثناء دراسة المثلث في الإحداثيات الطبيعية.

الآن نستطيع وفق علاقات التشوهات-الانتقالات (7-14) إيجاد موثرة التشوهات:

$$\begin{aligned} u_{i,j} &= N^{(p)}_{,j} \cdot u_{i(p)} \\ u_{j,i} &= N^{(p)}_{,i} \cdot u_{j(p)} \end{aligned} \quad \varepsilon_{ij} = \frac{1}{2}(u_{i,j} + u_{j,i}) \quad (7-56)$$

وذلك بعد الأخذ بعين الاعتبار تماثل المشتقات  $u_{j,i}, u_{i,j}$ ، والمصفوفة  $N^{(p)}_{,j}$  هي بالتفصيل:

$$N^{(p)}_{,j} \equiv \frac{1}{2A} \begin{bmatrix} x^2_{(j)(k)} & x^1_{(k)(j)} \\ x^2_{(k)(i)} & x^1_{(i)(k)} \\ x^2_{(i)(j)} & x^1_{(j)(i)} \end{bmatrix}; \quad x^i_{(m)(n)} = x^i_{(m)} - x^i_{(n)} \quad (7-57)$$

يلاحظ أن موثرة التشوهات ثابتة وتتعلق فقط بإحداثيات رؤوس المثلث وهي غير متعلقة بالإحداثيات المستقلة  $x^1, x^2$ . وتعبير الطاقة الداخلية يمكن تقييمه بكل بساطة بالشكل:

$$\begin{aligned} \pi_i &= \frac{1}{2} \int_A \varepsilon_{ij} \cdot t \cdot c^{ijkl} \cdot \varepsilon_{kl} \cdot dA = \\ &= \frac{1}{2} \cdot \varepsilon_{ij} \cdot t \cdot c^{ijkl} \cdot \varepsilon_{kl} \int_A dA = \frac{A}{2} \cdot \varepsilon_{ij} \cdot t \cdot c^{ijkl} \cdot \varepsilon_{kl} \end{aligned} \quad (7-58)$$

وذلك باعتبار أن التعابير التي أخرجت خارج إشارة التكامل كلها ثابتة ولا تحوي على المتحولات المستقلة  $x^1, x^2$ .

وبعد تعويض موثرة التشوهات بقيمتها من العلاقة (7-56) نحصل على:

$$\begin{aligned} \pi_i &= \frac{A}{2} \cdot \left( \frac{1}{2} N^{(p)}_{,j} u_{i(p)} + \frac{1}{2} N^{(p)}_{,i} u_{j(p)} \right) \cdot t \cdot c^{ijkl} \cdot \left( \frac{1}{2} N^{(q)}_{,l} u_{k(q)} + \frac{1}{2} N^{(q)}_{,k} u_{l(q)} \right) \\ &= \frac{1}{2} \cdot u_{i(p)} \cdot k^{i(p)k(q)} \cdot u_{k(q)} \end{aligned} \quad (7-59)$$

حيث:

$$k^{i(p)k(q)} = \left( \frac{1}{2} N^{(p)}_{,j} + \frac{1}{2} N^{(p)}_{,i} \right) \cdot t \cdot c^{ijkl} \cdot \left( \frac{1}{2} N^{(q)}_{,l} + \frac{1}{2} N^{(q)}_{,k} \right) \quad (7-60)$$

مصفوفة القساوة للعنصر. وهذه المصفوفة تحوي 36 عنصراً كما هو واضح من تحول قرائنها. وعناصر هذه المصفوفة بعد تحويلها إلى مصفوفة ثنائية الأبعاد كما لو ضمت القرينتين  $i(p)$  في قرينة واحدة و  $k(p)$  في قرينة واحدة أيضاً، هي:

$$k^{i(p)k(q)} = \begin{bmatrix} k^{x^1(i)x^1(i)} & k^{x^1(i)x^2(i)} & k^{x^1(i)x^1(j)} & k^{x^1(i)x^2(j)} & k^{x^1(i)x^1(k)} & k^{x^1(i)x^2(k)} \\ k^{x^2(i)x^1(i)} & k^{x^2(i)x^2(i)} & k^{x^2(i)x^1(j)} & k^{x^2(i)x^2(j)} & k^{x^2(i)x^1(k)} & k^{x^2(i)x^2(k)} \\ k^{x^1(j)x^1(i)} & k^{x^1(j)x^2(i)} & k^{x^1(j)x^1(j)} & k^{x^1(j)x^2(j)} & k^{x^1(j)x^1(k)} & k^{x^1(j)x^2(k)} \\ k^{x^2(j)x^1(i)} & k^{x^2(j)x^2(i)} & k^{x^2(j)x^1(j)} & k^{x^2(j)x^2(j)} & k^{x^2(j)x^1(k)} & k^{x^2(j)x^2(k)} \\ k^{x^1(k)x^1(i)} & k^{x^1(k)x^2(i)} & k^{x^1(k)x^1(j)} & k^{x^1(k)x^2(j)} & k^{x^1(k)x^1(k)} & k^{x^1(k)x^2(k)} \\ k^{x^2(k)x^1(i)} & k^{x^2(k)x^2(i)} & k^{x^2(k)x^1(j)} & k^{x^2(k)x^2(j)} & k^{x^2(k)x^1(k)} & k^{x^2(k)x^2(k)} \end{bmatrix} \quad (7-61)$$

حيث:

$$c = \frac{Et}{1-\nu^2} \cdot \frac{1}{4A}$$

$$k^{x^1(i)x^1(i)} = \left[ (x^2_{(j)(k)})^2 + \frac{1-\nu}{2} \cdot (x^1_{(k)(j)})^2 \right] \cdot c$$

$$k^{x^2(i)x^1(i)} = \left[ \nu \cdot x^1_{(k)(j)} \cdot x^2_{(j)(k)} + \frac{1-\nu}{2} \cdot x^2_{(j)(k)} \cdot x^1_{(k)(j)} \right] \cdot c$$

$$k^{x^2(i)x^2(i)} = \left[ (x^1_{(k)(j)})^2 + \frac{1-\nu}{2} \cdot (x^2_{(j)(k)})^2 \right] \cdot c$$

$$k^{x^1(j)x^1(i)} = \left[ x^2_{(k)(j)} \cdot x^2_{(j)(k)} + \frac{1-\nu}{2} \cdot x^1_{(i)(k)} \cdot x^1_{(k)(j)} \right] \cdot c$$

$$k^{x^1(j)x^2(i)} = \left[ \nu \cdot x^2_{(k)(i)} \cdot x^1_{(k)(j)} + \frac{1-\nu}{2} \cdot x^1_{(i)(k)} \cdot x^2_{(j)(k)} \right] \cdot c$$

$$k^{x^1(j)x^1(j)} = \left[ (x^2_{(k)(i)})^2 + \frac{1-\nu}{2} \cdot (x^1_{(i)(k)})^2 \right] \cdot c$$

$$k^{x^2(j)x^1(i)} = \left[ v \cdot x^1_{(i)(k)} \cdot x^2_{(j)(k)} + \frac{1-v}{2} \cdot x^2_{(k)(i)} \cdot x^1_{(k)(j)} \right] \cdot c$$

$$k^{x^2(j)x^2(i)} = \left[ x^1_{(i)(k)} \cdot x^1_{(k)(j)} + \frac{1-v}{2} \cdot x^2_{(k)(i)} \cdot x^2_{(j)(k)} \right] \cdot c$$

$$k^{x^2(j)x^1(i)} = \left[ v \cdot x^1_{(i)(k)} \cdot x^2_{(k)(i)} + \frac{1-v}{2} \cdot x^2_{(k)(i)} \cdot x^1_{(i)(k)} \right] \cdot c$$

$$k^{x^2(j)x^2(j)} = \left[ (x^1_{(i)(k)})^2 + \frac{1-v}{2} \cdot (x^2_{(k)(i)})^2 \right] \cdot c$$

$$k^{x^1(k)x^1(i)} = \left[ x^2_{(i)(j)} \cdot x^2_{(j)(k)} + \frac{1-v}{2} \cdot x^1_{(j)(i)} \cdot x^1_{(k)(j)} \right] \cdot c$$

$$k^{x^1(k)x^2(i)} = \left[ v \cdot x^2_{(i)(j)} \cdot x^1_{(k)(j)} + \frac{1-v}{2} \cdot x^1_{(j)(i)} \cdot x^2_{(j)(k)} \right] \cdot c$$

$$k^{x^1(k)x^1(j)} = \left[ x^2_{(i)(j)} \cdot x^2_{(k)(i)} + \frac{1-v}{2} \cdot x^1_{(j)(i)} \cdot x^1_{(i)(k)} \right] \cdot c \quad (7-62)$$

$$k^{x^1(k)x^2(j)} = \left[ v \cdot x^2_{(i)(j)} \cdot x^1_{(i)(k)} + \frac{1-v}{2} \cdot x^1_{(j)(i)} \cdot x^2_{(k)(i)} \right] \cdot c$$

$$k^{x^1(k)x^1(k)} = \left[ (x^2_{(i)(j)})^2 + \frac{1-v}{2} \cdot (x^1_{(j)(i)})^2 \right] \cdot c$$



$$\begin{aligned}
k^{x^2(k)x^1(i)} &= \left[ v \cdot x^1_{(i)(i)} \cdot x^2_{(j)(k)} + \frac{1-v}{2} \cdot x^2_{(i)(j)} \cdot x^1_{(k)(i)} \right] \cdot c \\
k^{x^2(k)x^2(i)} &= \left[ x^1_{(j)(i)} \cdot x^1_{(k)(k)} + \frac{1-v}{2} \cdot x^2_{(i)(j)} \cdot x^2_{(j)(k)} \right] \cdot c \\
k^{x^2(k)x^1(i)} &= \left[ v \cdot x^1_{(j)(i)} \cdot x^2_{(k)(i)} + \frac{1-v}{2} \cdot x^2_{(i)(j)} \cdot x^1_{(i)(k)} \right] \cdot c \\
k^{x^2(k)x^2(i)} &= \left[ x^1_{(j)(i)} \cdot x^1_{(i)(k)} + \frac{1-v}{2} \cdot x^2_{(i)(j)} \cdot x^2_{(k)(i)} \right] \cdot c \\
k^{x^2(k)x^1(k)} &= \left[ v \cdot x^1_{(j)(i)} \cdot x^2_{(i)(j)} + \frac{1-v}{2} \cdot x^2_{(i)(j)} \cdot x^1_{(i)(i)} \right] \cdot c \\
k^{x^2(k)x^2(k)} &= \left[ (x^1_{(j)(i)})^2 + \frac{1-v}{2} \cdot (x^2_{(i)(j)})^2 \right] \cdot c
\end{aligned}$$

والعلاقة السابقة تمثل عناصر القطر الرئيسي لمصفوفة القساوة بالإضافة إلى العناصر الواقعة تحسب القطر الرئيسي، والعناصر الواقعة فوق القطر الرئيسي تؤخذ بالتناظر.

تنتج القوى المركزة على العقد والمكافئة لحمولة موزعة من تقييم تعبير الحد الثاني من العلاقة (43-7). في الحالة العامة يمكن أن تكون الحمولات الخارجية  $\bar{f}^i$  تابعة للإحداثيات المستقلة  $x^1, x^2$  وغير موزعة بانتظام. في هذه الحالة يمكن استخدام صيغة التوابيع التقريبية أيضاً لتقريب تابع الحملولة.

لنفرض أن قيم توابيع الحملولة الخارجية  $\bar{f}^i$  على العقد  $(i), (j), (k)$  هي على الترتيب  $\bar{f}^i_{(i)}, \bar{f}^i_{(j)}, \bar{f}^i_{(k)}$ ، وهي بالطبع قيمتين على كل عقدة، واحدة في اتجاه  $x^1$  والأخرى في اتجاه  $x^2$ . عندها يمكن استخدام نفس الصيغة المشاهدة للتوابيع التقريبية للانتقالات (52-7) لتقريب تابع الحملولة:

$$\bar{f}^i = N^{(q)} \cdot \bar{f}^i_{(q)} \quad (7-63)$$

ويصبح الحد الثاني من (43-7) كما يلي:

$$\begin{aligned}\pi_a &= -\int_A \bar{f}^i \cdot u_i \cdot dA = \bar{f}^i_{(q)} \left( \int_A N^{(q)} \cdot N^{(p)} \cdot dA \right) \cdot u_{i(p)} \\ &= \bar{f}^i_{(q)} \cdot c^{(q)(p)} \cdot u_{i(p)} = \bar{f}^i_{(p)} \cdot u_{i(p)}\end{aligned}\quad (7-64)$$

والقوى المركزة على العقد والمكافئة للحمولات الموزعة هي:

$$\bar{f}^i_{(p)} = \bar{f}^i_{(q)} \cdot c^{(q)(p)} \quad (7-65)$$

حيث:

$$c^{(q)(p)} = \int_A N^{(q)} \cdot N^{(p)} \cdot dA = \int_A N^{(q)} \cdot N^{(p)} \cdot dx^1 \cdot dx^2 \quad (7-66)$$

إذا لابد لحساب القوى المركزة على العقد والمكافئة للحمولة الموزعة من إجراء التكامل السابق على سطح المثلث. ولتسهيل إجراء هذه التكاملات يمكن إجراء انسحاب للمحاور الإحداثية بحيث يصبح مركزها منطبقاً على مركز ثقل المثلث. ففي هذه الحالة يكون:

$$\frac{x^1_{(i)} + x^1_{(j)} + x^1_{(k)}}{3} = \frac{x^2_{(i)} + x^2_{(j)} + x^2_{(k)}}{3} = 0 \quad (7-68)$$

وتتحقق علاقات التكامل التالية على سطح المثلث:

$$\begin{aligned}\int dx^1 \cdot dx^2 &= A \quad (\text{مساحة المثلث}) \\ \int x^1 \cdot dx^1 \cdot dx^2 &= \int x^2 \cdot dx^1 \cdot dx^2 = 0 \\ \int (x^1)^2 \cdot dx^1 \cdot dx^2 &= \frac{A}{12} \cdot ((x^1_{(i)})^2 + (x^1_{(j)})^2 + (x^1_{(k)})^2)\end{aligned}\quad (7-69)$$

$$\int (x^2)^2 \cdot dx^1 \cdot dx^2 = \frac{A}{12} \cdot ((x^2_{(i)})^2 + (x^2_{(j)})^2 + (x^2_{(k)})^2)$$

$$\int x^1 \cdot x^2 \cdot dx^1 \cdot dx^2 = \frac{A}{12} \cdot (x^1_{(i)} \cdot x^2_{(i)} + x^1_{(j)} \cdot x^2_{(j)} + x^1_{(k)} \cdot x^2_{(k)})$$

والتكاملات المعطاة في العلاقة السابقة والتي سيكتفى بإعطائها دون برهان تمثوي على كل التكاملات التي تظهر في العلاقة (7-66).

تحتوي المصفوفة  $c^{(q)(p)}$  على تسع عناصر وهي:

$$c^{(q)(p)} = \begin{bmatrix} c^{(i)(i)} & c^{(j)(i)} & c^{(k)(i)} \\ c^{(i)(j)} & c^{(j)(j)} & c^{(k)(j)} \\ c^{(i)(k)} & c^{(j)(k)} & c^{(k)(k)} \end{bmatrix} = \frac{2A}{24} \cdot \begin{bmatrix} 2 & 1 & 1 \\ 1 & 2 & 1 \\ 1 & 1 & 2 \end{bmatrix} \quad (7-70)$$

لإيجاد عناصر المصفوفة السابقة من قبل القارئ يمكن الاستفادة من بعض الاختصارات والتسهيلات ملخصة في العلاقات التالية:

$$\begin{aligned} a_i &= x^1_{(j)} x^2_{(k)} - x^1_{(k)} x^2_{(j)}; a_j = x^1_{(k)} x^2_{(i)} - x^1_{(i)} x^2_{(k)}; a_k = x^1_{(i)} x^2_{(j)} - x^1_{(j)} x^2_{(i)} \\ b_i &= x^2_{(j)} - x^2_{(k)}; b_j = x^2_{(k)} - x^2_{(i)}; b_k = x^2_{(i)} - x^2_{(j)} \\ c_i &= x^1_{(k)} - x^1_{(j)}; c_j = x^1_{(i)} - x^1_{(k)}; c_k = x^1_{(j)} - x^1_{(i)} \\ 2A &= a_i + b_i x^1_{(i)} + c_i x^2_{(i)} = a_j + b_j x^1_{(j)} + c_j x^2_{(j)} = a_k + b_k x^1_{(k)} + c_k x^2_{(k)} \\ a_m &= \frac{2}{3} A; m = i, j, k \end{aligned} \quad (7-71)$$

$$\begin{aligned} b_m x^1_n + c_m x^2_n &= \frac{4}{3} A \quad \text{if} \quad m=n \\ &= -\frac{2}{3} A \quad \text{if} \quad m \neq n \quad ; \quad m, n = i, j, k. \end{aligned}$$

وفي الحالة الخاصة التي تكون فيها الحملولة الخارجية  $\bar{f}^i$  في العلاقة (7-63) موزعة بانتظام وشدها بالتالي على كل عقدة ثابتة ومساوية لـ  $\bar{f}^i$  تصبح القوى الخارجية المركزة على عقد العناصر والمكافئة للحملولة الموزعة (العلاقة (7-65)) بالشكل:

$$\bar{f}^{i(p)} = \bar{f}^i_{(q)} \cdot \frac{A}{3} \cdot \delta^{(q)(p)} \quad (7-72)$$

أي أن القوة الموزعة بانتظام على كامل السطح تتوزع بالتساوي على العقد الثلاثة ومقدار القوة المركزة على كل عقدة يكون مساويا لثلث شدة القوة الموزعة مضروباً بمساحة سطح المثلث. يتم الجمع على كامل المنشأ بعد تحويل تعابير طاقة تنشوء الداخلية وعمل القوى الخارجية إلى جملة الإحداثيات العامة وذلك بعد وضع العلاقة التي تربط الانتقالات المنسوبة إلى الإحداثيات الخاصة بالعنصر والانتقالات المنسوبة إلى جملة الإحداثيات العامة. وهذه العلاقة بسيطة واستنتاجها سهل ولا داعي للخوض فيه.

## معالجة التأثيرات الحرارية

تحصل بنتيجة التغيرات الحرارية تشوهات في مستوى الشريحة. وفي التغيرات العادية لدرجة الحرارة يمكن أن نفترض أن التشوهات تتناسب طردياً مع تغيرات درجة الحرارة. وباعتبار أنه في دراستنا اقتصرنا على دراسة المادة المتجانسة فإن التشوه الحراري هو واحد في كل الاتجاهات ومقداره  $\alpha \cdot \Delta T$  حيث  $\alpha$  معامل التمدد الحراري و  $\Delta T$  التغير الحراري الحاصل.

وهذا تصبح علاقات التشوهات-الإجهادات للحالة الفراغية:

$$\begin{aligned}\varepsilon_{x^1x^1} &= \frac{1}{E}[\sigma^{x^1x^1} - \theta(\sigma^{x^2x^2} + \sigma^{x^3x^3})] + \alpha \cdot \Delta T \\ \varepsilon_{x^2x^2} &= \frac{1}{E}[\sigma^{x^2x^2} - \theta(\sigma^{x^1x^1} + \sigma^{x^3x^3})] + \alpha \cdot \Delta T \\ \varepsilon_{x^3x^3} &= \frac{1}{E}[\sigma^{x^3x^3} - \theta(\sigma^{x^1x^1} + \sigma^{x^2x^2})] + \alpha \cdot \Delta T\end{aligned}\quad (7.73)$$

ووفق هذه العلاقات لا تتغير الاتجاهات الرئيسية والتشوهات الرئيسية الحاصلة في المكعب التفاضلي.

في الحقيقة إن الحقل الحراري  $T(x^1, x^2, x^3, t)$  يؤثر في الحالة الإجهادية وحالة التشوهات الحاصلة في جزء من منشأ في اللحظة  $t$ . وكذلك الأمر تؤثر حقول الإجهادات والتشوهات الحاصلة في جزء المنشأ المدروس على توزيع الحقل الحراري. وهذا التأثير المتبادل بين الحقل الحراري وحقول التشوهات والإجهادات يصبح مهما في حالة حصول تشوهات وإجهادات كبيرة جداً. أما في المسائل العملية العادية فإنه يمكن إهمال التغيرات الحرارية الناتجة عن إجهاد المنشأ أو تشغيل المنشأ على الحملات العادية. ويبقى تأثير التغيرات الحرارية غير المنبثقة من المادة المتشوهة. ولهذا الحالة نفترض أن الحقل الحراري معطى بواسطة القياسات ويعامل معاملة الحملات المعطاة. أما بالنسبة لتشوهات القص والتي تعبر عن التغير الزاوي بين ليفين متعامدين فيفترض أنه ليس هناك تداعيل بين تشوه القص والتشوهات الناعمة. أي أن التأثير الحراري كـتأثير مسبق لا يبدل الزاوية بين ليفين متعامدين من المادة والليفان المذكوران يبقيان بعد تعرضهما للتشوه الحراري المسبق

متعامدان وإنما يحصل مثل هذا التغير لاحقاً مُسبباً من الاجتهادات الناتجة عن التشوه الحراري، ولذلك تبقى علاقات التشوهات-الاجتهادات والخاصة بتشوهات القص نفس العلاقات السابقة دون تغيير. أي:

$$\begin{aligned} 2\varepsilon_{x^1x^2} &= \frac{\sigma^{x^1x^2}}{G} \\ 2\varepsilon_{x^2x^3} &= \frac{\sigma^{x^2x^3}}{G} ; G = \frac{E}{2(1+\nu)} \\ 2\varepsilon_{x^3x^1} &= \frac{\sigma^{x^3x^1}}{G} \end{aligned} \quad (7.74)$$

إذا لا تؤثر التشوهات الحرارية المسبقة للمادة المعتبرة في التغير الراوي بين ليفين متعامدين. والعلاقات السابقة تمثل قانون هوك للحالة الإجهادية الفراغية. يجمع العلاقات الثلاثة الأولى نحصل على:

$$\begin{aligned} e &= \frac{1-2\nu}{E} \cdot s + 3\alpha \cdot \Delta T \\ e &= \varepsilon_{x^1x^1} + \varepsilon_{x^2x^2} + \varepsilon_{x^3x^3} \\ s &= \sigma^{x^1x^1} + \sigma^{x^2x^2} + \sigma^{x^3x^3} \end{aligned} \quad (7.75)$$

إذا ما أدخلنا المعامل  $k$  والمسمى معامل الانضغاط بالشكل:

$$k = \frac{E}{3(1-2\nu)} = \frac{2(1+\nu) \cdot G}{3(1-2\nu)} \quad (7.76)$$

يمكن أن نكتب:

$$e = \frac{s}{3k} + 3\alpha \cdot \Delta T \quad (7.77)$$

قانون هوك يمكن صياغته أيضاً باستخدام المعامل  $G$  بالشكل:

$$\varepsilon_{kl} = \frac{1}{2G} [\sigma^{kl} - \frac{\nu}{1+\nu} \cdot s \cdot \delta_{kl}] + \alpha \cdot \Delta T \cdot \delta_{kl} \quad (7.78)$$

وهذه الصياغة هي الصياغة التقليدية لقانون السلوك.

يمكن عكس هذه المعادلات لنحصل على:

$$\sigma^{kl} = 2G[\varepsilon_{kl} + \frac{\nu}{1-\nu} \cdot e \cdot \delta_{kl} - \frac{1-\nu}{1-2\nu} \cdot \alpha \cdot \Delta T \cdot \delta_{kl}] \quad (7.79)$$

وهذه الصيغ مستخدمة في بعض المراجع إضافة إلى الصيغ التي درسناها أثناء دراسة قانون السلوك والتي استخدمت فيها ثوابت Lam :

$$\lambda = \frac{\nu \cdot E}{(1+\nu)(1-2\nu)}; G = \frac{E}{2(1+\nu)} \quad (7.80)$$

إذا نستنتج مما سبق أنه لاعتبار تأثير الحرارة كحمولة خارجية نفترض أن التشوه الحراري الحاصل هو تشوه معطى أو بالأحرى تشوه مسبق . ويكون التشوه الكلي مساويا للتشوه الداخلي الحاصل نتيجة تأثير القوى الداخلية  $\varepsilon_{ij}$  والتشوه المسبق الحاصل نتيجة التشوهات الحرارية  $\bar{\varepsilon}_{ij}$  وتكون الطاقة الكامنة للجملة:

$$\pi = \frac{1}{2} \int_V (\varepsilon_{ij} - \bar{\varepsilon}_{ij}) \cdot c^{ijkl} \cdot (\varepsilon_{kl} - \bar{\varepsilon}_{kl}) \cdot dV - \int_V \bar{f}^i \cdot u_i \cdot dV - \int_{s_0} \bar{T}^i \cdot u_i \cdot ds \quad (7.81)$$

والتغير الأول للطاقة الكامنة باعتبار المقادير والتي عليها - معطاة هو:

$$\begin{aligned} \delta\pi &= \frac{1}{2} \int_V \delta\varepsilon_{ij} \cdot c^{ijkl} (\varepsilon_{kl} - \bar{\varepsilon}_{kl}) dV + \frac{1}{2} \int_V (\varepsilon_{ij} - \bar{\varepsilon}_{ij}) \cdot c^{ijkl} \cdot \delta\varepsilon_{kl} \cdot dV \\ &\quad - \int_V \bar{f}^i \delta u_i dV - \int_{s_0} \bar{T}^i \delta u_i ds = 0 \end{aligned} \quad (7.82)$$

وباعتبار تناظر موترة التشوهات الداخلية والناجمة أيضا عن التأثيرات الحرارية يكون:

$$\begin{aligned} \delta\pi &= \int_V \delta\varepsilon_{ij} \cdot c^{ijkl} \cdot \varepsilon_{kl} \cdot dV - \int_V \delta\varepsilon_{ij} \cdot c^{ijkl} \cdot \bar{\varepsilon}_{kl} \cdot dV \\ &\quad - \int_V \bar{f}^i \cdot \delta u_i \cdot dV - \int_{s_0} \bar{T}^i \cdot \delta u_i \cdot ds = 0 \end{aligned} \quad (7.83)$$

إذا تساهم التأثيرات الحرارية في الحمولة الخارجية عبر الحد الثاني من العلاقة السابقة. ولاعتبار هذه التأثيرات لابد من تقييم الحد المذكور

$$T_1 = \int_V \delta\varepsilon_{ij} \cdot c^{ijkl} \cdot \bar{\varepsilon}_{kl} \cdot dV \quad (7.84)$$

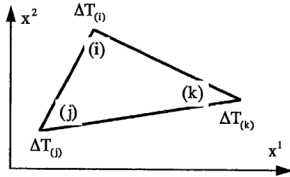
لنعتبر الآن أن التوزيع الحراري منتظم على سماكة الشريحة فيصبح التكامل السابق:

$$T_i = \int_A \delta \varepsilon_{ij} \cdot t \cdot c^{ijkl} \cdot \bar{\varepsilon}_{kl} \cdot dA \quad (7.85)$$

$\delta \varepsilon_{ij}$  كنا قد حسبناها سابقاً بدلالة مشتقات توابع الشكل :

$$\delta \varepsilon_{ij} = \frac{1}{2} (N^{(p)}_{,j} \cdot \delta u_{i(p)} + N^{(p)}_{,i} \cdot \delta u_{j(p)}) \quad (7.86)$$

ولنحسب الآن  $\bar{\varepsilon}_{kl}$ . لنفترض أنه في معطيات المسألة قد وصف تغير الحقل الحراري بقياس تغير درجة الحرارة على عقد الشريحة. على العنصر المنتهي ذو العقد (i),(j),(k) كانت تغيرات درجات الحرارة المقاسة  $\Delta T_{(i)}, \Delta T_{(j)}, \Delta T_{(k)}$  على الترتيب. باعتبار أن التشوه يهمنا في نقطة ما



شكل 7-10: تغيرات درجات الحرارة على عقد العنصر المنتهي

لا على التعيين من مستوي العنصر يمكن أن نستخدم مسودة التوابع التقريبية المستخدمة للاتقالات في تقريب تابع التغيرات الحرارية. إذا تغير درجة الحرارة في نقطة ما لاعلى التعيين يعطى بالشكل:

$$\Delta T = N^{(q)} \cdot \Delta T_{(q)} \quad (7.87)$$

وبالتالي يكون حقل التشوهات المسبقة الناتجة عن تأثير تغير درجة الحرارة:

$$\bar{\varepsilon}_{kl} = \alpha \cdot \Delta T = \alpha \cdot N^{(q)} \cdot \Delta T_{(q)} \cdot \delta_{kl} \quad \text{if } k \neq l \quad (7.88)$$

$$\bar{\varepsilon}_{kl} \neq 0$$

ويصبح التكامل السابق كالتالي:

$$T_1 = \frac{1}{2} \delta u_{i(p)} \int_A N^{(p)}_{,j} \cdot t \cdot c^{ijkl} \cdot \alpha \cdot N^{(q)} \cdot \Delta T_{(q)} \cdot \delta_{kl} \cdot dA$$

$$+ \frac{1}{2} \delta u_{j(p)} \int_A N^{(p)}_{,i} \cdot t \cdot c^{ijkl} \cdot \alpha \cdot N^{(q)} \cdot \Delta T_{(q)} \cdot \delta_{kl} \cdot dA = \frac{1}{2} \delta u_{i(p)} \cdot \bar{f}_{\Delta T}^{i(q)} + \frac{1}{2} \delta u_{j(p)} \cdot \bar{f}_{\Delta T}^{j(q)} \quad (7.89)$$

والحمولة المركزة على عقد العنصر والمكافئة للتأثير الحراري تعطى بالشكل:

$$\bar{f}_{\Delta T}^{i(q)} = \frac{1}{2} \bar{f}_{\Delta T}^{i(q)} + \frac{1}{2} \bar{f}_{\Delta T}^{j(q)} = \frac{1}{2} \left[ \int_A N^{(p)}_{,j} \cdot \alpha t \cdot c^{ijkl} \cdot \delta_{kl} \cdot N^{(q)} \cdot dA \right] \cdot \Delta T_{(q)}$$

$$+ \frac{1}{2} \left[ \int_A N^{(p)}_{,i} \cdot \alpha t \cdot c^{ijkl} \cdot \delta_{kl} \cdot N^{(q)} \cdot dA \right] \cdot \Delta T_{(q)} \equiv c^{i(p)X(q)} \cdot \Delta T_{(q)} \quad (7.90)$$

سوف نقوم الآن بتقييم التعبير  $T_1$  باستخدام الشكل المصفوفي.

لنصيغ الآن التشوهات المسبقة بالشكل المصفوفي التالي:

$$\bar{\epsilon}_{kl} = \begin{bmatrix} \bar{\epsilon}_{x^1x^1} \\ \bar{\epsilon}_{x^1x^2} \\ \bar{\epsilon}_{x^2x^1} \\ \bar{\epsilon}_{x^2x^2} \end{bmatrix} = \alpha \cdot \begin{bmatrix} N^{(i)} & N^{(j)} & N^{(k)} \\ 0 & 0 & 0 \\ 0 & 0 & 0 \\ N^{(i)} & N^{(j)} & N^{(k)} \end{bmatrix} \cdot \begin{bmatrix} \Delta T_{(i)} \\ \Delta T_{(j)} \\ \Delta T_{(k)} \end{bmatrix} \quad (7.91)$$

وكما نعلم فإن  $C^{ijkl}$  معطاة بالعلاقة:

$$C^{ijkl} \equiv \frac{E}{1-\nu^2} \cdot \begin{bmatrix} 1 & 0 & 0 & \nu \\ 0 & \frac{1}{2}(1-\nu) & \frac{1}{2}(1-\nu) & 0 \\ 0 & \frac{1}{2}(1-\nu) & \frac{1}{2}(1-\nu) & 0 \\ \nu & 0 & 0 & 1 \end{bmatrix} \quad (7.92)$$

و  $\delta \epsilon_{ij}$  هي:



$$\begin{bmatrix} \delta \varepsilon_{x^1 x^1} \\ \delta \varepsilon_{x^2 x^1} \\ \delta \varepsilon_{x^1 x^2} \\ \delta \varepsilon_{x^2 x^2} \end{bmatrix} = \frac{1}{2A} \cdot \begin{bmatrix} x^2_{(j)(k)} & 0 & x^2_{(k)(j)} & 0 & x^2_{(j)(j)} & 0 \\ \frac{1}{2} x^1_{(k)(j)} & \frac{1}{2} x^2_{(j)(k)} & \frac{1}{2} x^1_{(j)(k)} & \frac{1}{2} x^2_{(k)(j)} & \frac{1}{2} x^1_{(j)(j)} & \frac{1}{2} x^2_{(j)(j)} \\ \frac{1}{2} x^1_{(k)(j)} & \frac{1}{2} x^2_{(j)(k)} & \frac{1}{2} x^1_{(j)(k)} & \frac{1}{2} x^2_{(k)(j)} & \frac{1}{2} x^1_{(j)(j)} & \frac{1}{2} x^2_{(j)(j)} \\ 0 & x^1_{(k)(j)} & 0 & x^1_{(j)(k)} & 0 & x^1_{(j)(j)} \end{bmatrix} \cdot \begin{bmatrix} \delta u_{x^1(j)} \\ \delta u_{x^2(j)} \\ \delta u_{x^1(i)} \\ \delta u_{x^2(i)} \\ \delta u_{x^1(k)} \\ \delta u_{x^2(k)} \end{bmatrix} \quad (7.93)$$

نقيم أولا الجداء  $\delta \varepsilon_{ij} \cdot c^{ijkl}$  لنحصل على:

$$\delta \varepsilon_{ij} \cdot c^{ijkl} = \begin{bmatrix} \delta u_{x^1(j)} & \delta u_{x^2(j)} & \delta u_{x^1(i)} & \delta u_{x^2(i)} & \delta u_{x^1(k)} & \delta u_{x^2(k)} \end{bmatrix} \cdot \begin{bmatrix} x^2_{(j)(k)} & \frac{1}{2}(1-\nu)x^1_{(j)(k)} & \frac{1}{2}(1-\nu)x^1_{(k)(j)} & \nu x^2_{(j)(j)} \\ \nu x^1_{(j)(k)} & \frac{1}{2}(1-\nu)x^2_{(j)(k)} & \frac{1}{2}(1-\nu)x^2_{(k)(j)} & x^1_{(j)(j)} \\ x^2_{(i)(k)} & \frac{1}{2}(1-\nu)x^1_{(i)(k)} & \frac{1}{2}(1-\nu)x^1_{(k)(i)} & \nu x^2_{(i)(j)} \\ \nu x^1_{(i)(k)} & \frac{1}{2}(1-\nu)x^2_{(i)(k)} & \frac{1}{2}(1-\nu)x^2_{(k)(i)} & x^1_{(i)(j)} \\ x^2_{(k)(j)} & \frac{1}{2}(1-\nu)x^1_{(k)(j)} & \frac{1}{2}(1-\nu)x^1_{(j)(k)} & \nu x^2_{(k)(i)} \\ \nu x^1_{(k)(j)} & \frac{1}{2}(1-\nu)x^2_{(k)(j)} & \frac{1}{2}(1-\nu)x^2_{(j)(k)} & x^1_{(k)(i)} \end{bmatrix} \cdot \frac{1}{2A} \quad (7.94)$$

وفي النهاية يكون الحد  $T_1$  بالشكل:

$$\begin{aligned} \int_A \delta \varepsilon_{ij} \cdot t \cdot c^{ijkl} \cdot \bar{\varepsilon}_{kl} \cdot dA &= \begin{bmatrix} \delta u_{x^1(i)} & \delta u_{x^2(i)} & \delta u_{x^1(j)} & \delta u_{x^2(j)} & \delta u_{x^1(k)} & \delta u_{x^2(k)} \end{bmatrix} \\ &\cdot \left( \int_A \frac{t}{2A} \cdot \begin{bmatrix} (1+\nu)x^2_{(j)(k)}N^{(i)} & (1+\nu)x^2_{(j)(j)}N^{(i)} & (1+\nu)x^2_{(j)(k)}N^{(k)} \\ (1+\nu)x^1_{(k)(j)}N^{(i)} & (1+\nu)x^1_{(k)(j)}N^{(j)} & (1+\nu)x^1_{(k)(j)}N^{(k)} \\ (1+\nu)x^2_{(k)(i)}N^{(i)} & (1+\nu)x^2_{(k)(i)}N^{(j)} & (1+\nu)x^2_{(k)(i)}N^{(k)} \\ (1+\nu)x^1_{(i)(k)}N^{(i)} & (1+\nu)x^1_{(i)(k)}N^{(j)} & (1+\nu)x^1_{(i)(k)}N^{(k)} \\ (1+\nu)x^2_{(i)(j)}N^{(i)} & (1+\nu)x^2_{(i)(j)}N^{(j)} & (1+\nu)x^2_{(i)(j)}N^{(k)} \\ (1+\nu)x^1_{(j)(i)}N^{(i)} & (1+\nu)x^1_{(j)(i)}N^{(j)} & (1+\nu)x^1_{(j)(i)}N^{(k)} \end{bmatrix} dA \right) \begin{bmatrix} \Delta T_{(i)} \\ \Delta T_{(j)} \\ \Delta T_{(k)} \end{bmatrix} \\ &= \delta u_{i(p)} \cdot c^{i(p)(q)} \cdot \Delta T_{(q)} \quad (7.95) \end{aligned}$$

والمصفوفة  $c^{i(p)(q)}$  تعطى بعد إنجاز التكامل السابق بفرض أن مركز الإحداثيات ينطبق على

مركز ثقل المثلث وبعد الانتباه إلى تماثل  $a_i, a_j, a_k$ :

$$c^{i(p)(q)} = \frac{E\alpha t}{6(1-\nu)} \begin{bmatrix} x^2_{(j)(k)} & x^2_{(j)(k)} & x^2_{(j)(k)} \\ x^1_{(k)(j)} & x^1_{(k)(j)} & x^1_{(k)(j)} \\ x^2_{(k)(i)} & x^2_{(k)(i)} & x^2_{(k)(i)} \\ x^1_{(i)(k)} & x^1_{(i)(k)} & x^1_{(i)(k)} \\ x^2_{(i)(j)} & x^2_{(i)(j)} & x^2_{(i)(j)} \\ x^1_{(j)(i)} & x^1_{(j)(i)} & x^1_{(j)(i)} \end{bmatrix} \quad (7.96)$$

ويمكن أيضا استخدام طريقة فك التعبير  $T_1$  للحصول على حدوده فرادى .

#### حالة هبوط المساند أو الانتقالات المسبقة:

من حالات التحميل الخارجية والتي تؤدي إلى نشوء قوى في المنشآت هي حالات هبوط المساند أو حالة وجود انتقالات مسبقة. لنفرض أنه حصل في بعض نقاط المنشأ انتقالات مسبقة. ففي هذه الحالة نقسم شعاع الانتقالات النهائي الكلي  $u$  إلى مجموع شعاعين شعاع الانتقالات الحاصل دون وجود الانتقالات المسبقة  $u_{\tilde{m}(n')}$  وشعاع الانتقالات المسبقة  $\bar{u}_{\tilde{m}(n')}$  ويكون تعبير الطاقة الكامنة الكلي للمنشأ كما يلي:

$$\pi = \frac{1}{2} (u_{\tilde{I}(n)} + \bar{u}_{\tilde{I}(n)}) k^{\tilde{I}(n)\tilde{m}(n')} (u_{\tilde{m}(n')} + \bar{u}_{\tilde{m}(n')}) - \bar{f}^{\tilde{I}(n)} (u_{\tilde{I}(n)} + \bar{u}_{\tilde{I}(n)}) \quad (7.97)$$

عدد عقد المنشأ  $\tilde{m}, \tilde{I} = x^{\tilde{I}}, x^{\tilde{I}}, (n), (n') = 1, 2, 3$

والتغير الأول للطاقة الكامنة هو:

$$\delta\pi = \delta u_{\tilde{I}(n)} [k^{\tilde{I}(n)\tilde{m}(n')} (u_{\tilde{m}(n')} + \bar{u}_{\tilde{m}(n')}) - \bar{f}^{\tilde{I}(n)}] = 0 \quad (7.98)$$

وذلك لأن التغير الأول للانتقالات المسبقة المعلومة ( $\delta u_{\tilde{I}(n)} = 0$ ) مساو للصفر وتصبح جملة المعادلات الخطية بالشكل:

$$k^{\tilde{I}(n)\tilde{m}(n')} u_{\tilde{m}(n')} = -k^{\tilde{I}(n)\tilde{m}(n')} \bar{u}_{\tilde{m}(n')} + \bar{f}^{\tilde{I}(n)} \quad (7.99)$$

أي أن تأثير هبوط المساند أو الانتقالات المسبقة ممثل في الطرف الأيمن بالجداء  $\bar{u}_{\bar{m}(n)} \bar{K}^{\bar{T}(n)\bar{m}(n)} -$  وهو حاصل جداء مصفوفة القساوة العامة في شعاع الانتقالات المسبقة. فليذا كان الانتقال المسبق قد حدث على عدد محدود من العقد فإن الجداء السابق ممثل بجداء الأعمدة من مصفوفة القساوة العامة الموافقة لأرقام العقد التي حصل فيها الانتقال مضروباً في الانتقال المسبق نفسه.

### معالجة النوايض

في حالة وجود نابض ثابت صلابته  $c$  يسند عقدة ما  $(p)$  من الشريحة في اتجاه ما تكون الطاقة الداخلية المتولدة عن قوى مرونة النابض والنايجة عن انتقال العقدة  $(i)$  بالاتجاه بالمقدار  $u_{(p)}$ :

$$\pi_s = \frac{1}{2} u_{(p)} \cdot c \cdot u_{(p)} \quad (7.100)$$

هذه الطاقة يجب تحويلها بدلالة انتقالات العقدة  $(p)$  باتجاه المحاور الإحداثية العامة قبل إضافتها إلى تابع الطاقة الكامنة. لنفترض أن  $u_{(p)}$  ترتبط مع الانتقالات باتجاه المحاور الإحداثية العامة بعلاقة التحويل:

$$u_{(p)} = T^{\bar{T}} \cdot u_{\bar{T}(p)} \quad (7.101)$$

بهذا نحصل على:

$$\pi_s = \frac{1}{2} u_{\bar{T}(p)} T^{\bar{T}} c T^{\bar{m}} u_{\bar{m}(p)} \quad (7.102)$$

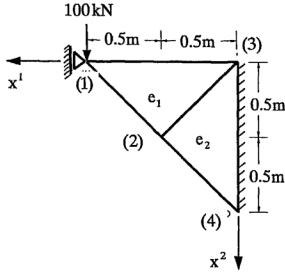
إذا نضيف المقدار  $T^{\bar{T}} c T^{\bar{m}}$  في المكان الموافق للعقدة  $(p)$  المسندة بالنابض.

أما القوة المحورية في النابض فيتم حسابها بعد حساب الانتقالات المجهولة بحساب انتقال العقدة  $(p)$  باتجاه محور النابض وفق علاقة التحويل الواردة أعلاه ومن ثم نحسب القوة في النابض بالعلاقة المعروفة:

$$N_{(p)} = -c \cdot u_{(p)} \quad (7.103)$$

### مثال 7-1

لدينا شريحة مثلثية قائمة أبعادها وخواصها الهندسية بالإضافة إلى تقسيمها إلى عناصر منتهية وترقيم عقد عناصرها مبينة على الشكل م7-1. إذا خضعت الشريحة لقوة شاقولية مقدارها 100 kN في العقدة (1) والمطلوب في جملة المحاور الإحداثية  $x^1 x^2$  :



$$E = 2.1 \times 10^7 \text{ kN/m}^2; t = 0.2\text{m}; \nu = 0.3$$

شكل م7-1: شريحة مثلثية ، المحاور الإحداثية ، الأبعاد والخواص الهندسية ، الحمولة

1- حساب انتقالات العقد.

2- حساب ردود الأفعال وتمثيلها على الشكل.

3- تحديد حالة التشوهات والإجهادات في

العنصرين  $e_1, e_2$  .

4- حساب الطاقة الكامنة للجملة.

الحل:

1- حساب انتقالات العقد:

حساب ثابت مصفوفة القساوة :

$$C = \frac{2.1 \times 10^7 \times 0.2}{1 - 0.09} \cdot \frac{1}{4 \cdot \frac{1 \times 0.5}{2}} = 4615384.615$$

حساب مصفوفة القساوة:

العنصر  $e_1$  :

نرقم عقد العنصر وفق الترتيب التالي:

$$(i)=(1) \quad (j)=(2) \quad (k)=(3)$$

فتكون فروقات إحداثيات العقد كما يلي:

$$\begin{aligned} x^1_{(i)(j)} &= 0.5 & x^2_{(i)(j)} &= -0.5 \\ x^1_{(j)(k)} &= 0.5 & x^2_{(j)(k)} &= 0.5 \\ x^1_{(k)(i)} &= -1 & x^2_{(k)(i)} &= 0 \end{aligned}$$

وعليه تحسب مصفوفة التساوة للعنصر الأول بالشكل:

$$K_{e_1} = 4615384.615 \begin{bmatrix} 0.3375 & -0.1625 & -0.175 & 0.15 & -0.1625 & 0.0125 \\ -0.1625 & 0.3375 & 0.175 & -0.5 & -0.0125 & 0.1625 \\ -0.175 & 0.175 & 0.35 & 0 & -0.175 & -0.175 \\ 0.15 & -0.5 & 0 & 1 & -0.15 & -0.5 \\ -0.1625 & -0.0125 & -0.175 & -0.15 & 0.3375 & 0.1625 \\ 0.0125 & 0.1625 & -0.175 & -0.5 & 0.1625 & 0.3375 \end{bmatrix}$$

العنصر  $e_2$  :

وبشكل مماثل نحصل في العنصر الثاني على:

$$(i)=(3) \quad (j)=(2) \quad (k)=(4)$$

$$\begin{aligned} x^1_{(i)(j)} &= -0.5 & x^2_{(i)(j)} &= -0.5 \\ x^1_{(j)(k)} &= 0.5 & x^2_{(j)(k)} &= -0.5 \\ x^1_{(k)(i)} &= 0 & x^2_{(k)(i)} &= 1 \end{aligned}$$

$$K_{e_2} = 4615384.615 \begin{bmatrix} 0.3375 & 0.1625 & -0.5 & -0.175 & 0.1625 & 0.0125 \\ 0.1625 & 0.3375 & -0.15 & -0.175 & -0.0125 & -0.1625 \\ -0.5 & -0.15 & 1 & 0 & -0.5 & 0.15 \\ -0.175 & -0.175 & 0 & 0.35 & 0.175 & -0.175 \\ 0.1625 & -0.0125 & -0.5 & 0.175 & 0.3375 & -0.1625 \\ 0.0125 & -0.1625 & 0.15 & -0.175 & -0.1625 & 0.3375 \end{bmatrix}$$

وبعد التجميع نحصل على جملة المعادلات الخطية:

$$4615384.615 \begin{bmatrix} 0.3375 & -0.1625 & -0.175 & 0.15 & -0.1625 & 0.0125 & 0 & 0 \\ -0.1625 & 0.3375 & 0.175 & -0.5 & -0.0125 & 0.1625 & 0 & 0 \\ -0.175 & 0.175 & 1.35 & 0 & -0.675 & -0.325 & -0.5 & 0.15 \\ 0.15 & -0.5 & 0 & 1.35 & -0.325 & -0.675 & 0.175 & -0.175 \\ -0.1625 & -0.0125 & -0.675 & -0.325 & 0.75 & 0.325 & 0.1625 & 0.0125 \\ 0.0125 & 0.1625 & -0.325 & -0.675 & 0.325 & 0.75 & -0.0125 & -0.1625 \\ 0 & 0 & -0.5 & 0.175 & 0.1625 & -0.0125 & 0.3375 & -0.1625 \\ 0 & 0 & 0.15 & -0.175 & 0.0125 & -0.1625 & -0.1625 & 0.3375 \end{bmatrix} \begin{bmatrix} u_{2(0)} \\ u_{1(0)} \\ u_{2(0)} \\ u_{1(0)} \\ u_{2(0)} \\ u_{1(0)} \\ u_{2(0)} \\ u_{1(0)} \end{bmatrix} = \begin{bmatrix} \bar{F}_{(0)}^1 \\ 100 \\ 0 \\ 0 \\ \bar{F}_{(0)}^2 \\ \bar{F}_{(0)}^3 \\ \bar{F}_{(0)}^4 \\ \bar{F}_{(0)}^5 \end{bmatrix}$$

بتعويض الشروط الطرفية تتقلص جملة المعادلات الخطية لتصبح كما يلي :

$$4615384.615 \begin{bmatrix} 0.3375 & 0.175 & -0.5 \\ 0.175 & 1.35 & 0 \\ -0.5 & 0 & 1.35 \end{bmatrix} \cdot \begin{bmatrix} u_{2(1)} \\ u_{1(2)} \\ u_{2(2)} \end{bmatrix} = \begin{bmatrix} 100 \\ 0 \\ 0 \end{bmatrix}$$

وتكون انتقالات العقد المجهولة بالشكل :

$$u_{2(1)} = \frac{771.4285}{4395604.396} = 1.67143 \times 10^{-4}$$

$$u_{1(2)} = \frac{-100}{4395604.396} = -2.16667 \times 10^{-5}$$

$$u_{2(2)} = \frac{285.714}{4395604.396} = 6.19048 \times 10^{-5}$$

2- حساب ردود الأفعال :

يتم حساب ردود الأفعال من جملة المعادلات العامة قبل تعويض الشروط الطرفية فيها وذلك بتعويض انتقالات العقد المحسوبة من الفقرة السابقة في المعادلات المذكورة فنحصل بعد حذف العمليات الصغرية على:

$$\begin{bmatrix} \bar{F}_{(1)}^1 \\ \bar{F}_{(3)}^1 \\ \bar{F}_{(3)}^2 \\ \bar{F}_{(4)}^1 \\ \bar{F}_{(4)}^2 \end{bmatrix} = 4615384.615 \begin{bmatrix} -0.1625 & -0.175 & 0.15 \\ -0.0125 & -0.675 & -0.325 \\ 0.1625 & -0.325 & -0.675 \\ 0 & -0.5 & 0.175 \\ 0 & 0.15 & -0.175 \end{bmatrix} \cdot \begin{bmatrix} 1.67134 \times 10^{-4} \\ -2.16667 \times 10^{-5} \\ 6.19048 \times 10^{-5} \end{bmatrix} = \begin{bmatrix} -65 \\ -35 \\ -35 \\ 100 \\ -65 \end{bmatrix}$$

3- تحديد حالة التشوهات والإجهادات:

العنصر :  $e_1$

تحسب في البدء مشتقات الانتقالات :

$$u_{ij} = \begin{bmatrix} 0 & -2.16667 \times 10^{-5} & 0 \\ 1.67143 \times 10^{-4} & 6.19048 \times 10^{-5} & 0 \end{bmatrix} \frac{1}{2} \begin{bmatrix} 0.5 & -0.5 \\ 0 & 1 \\ -0.5 & -0.5 \end{bmatrix} = \begin{bmatrix} 0 & -4.33333 \times 10^{-5} \\ 1.67143 \times 10^{-4} & -4.33333 \times 10^{-5} \end{bmatrix}$$

ومن ثم تحسب التشوهات من علاقات التشوهات-الانتقالات :

$$\varepsilon_{ij} = \begin{bmatrix} 0 & 6.19048 \times 10^{-5} \\ 6.19048 \times 10^{-5} & -4.33333 \times 10^{-5} \end{bmatrix}$$

وبعدئذ نحصل على الاجهادات من قانون السلوك :

$$\begin{bmatrix} \sigma^{11} \\ \sigma^{21} \\ \sigma^{12} \\ \sigma^{22} \end{bmatrix} = \frac{2.1 \times 10^7}{1 - 0.09} \begin{bmatrix} 1 & 0 & 0 & 0.3 \\ 0 & 0.35 & 0.35 & 0 \\ 0 & 0.35 & 0.35 & 0 \\ 0.3 & 0 & 0 & 1 \end{bmatrix} \cdot \begin{bmatrix} 0 \\ 6.19048 \times 10^{-5} \\ 6.19048 \times 10^{-5} \\ -4.3333 \times 10^{-5} \end{bmatrix} = \begin{bmatrix} -300 \\ 1000 \\ 1000 \\ -1000 \end{bmatrix}$$

العنصر  $e_2$  :

وبشكل مماثل نحصل في العنصر الثاني على :

$$u_{i,j} = \begin{bmatrix} 0 & -2.16667 \times 10^{-5} & 0 \\ 0 & 6.19048 \times 10^{-5} & 0 \end{bmatrix} \frac{1}{2} \begin{bmatrix} -0.5 & -0.5 \\ 1 & 0 \\ -0.5 & 0.5 \end{bmatrix} = \begin{bmatrix} -4.33333 \times 10^{-5} & 0 \\ 1.23808 \times 10^{-4} & 0 \end{bmatrix}$$

$$\varepsilon_{ij} = \begin{bmatrix} -4.33333 \times 10^{-5} & 6.19048 \times 10^{-5} \\ 6.19048 \times 10^{-5} & 0 \end{bmatrix}$$

$$\begin{bmatrix} \sigma^{11} \\ \sigma^{21} \\ \sigma^{12} \\ \sigma^{22} \end{bmatrix} = \frac{2.1 \times 10^7}{1 - 0.09} \begin{bmatrix} 1 & 0 & 0 & 0.3 \\ 0 & 0.35 & 0.35 & 0 \\ 0 & 0.35 & 0.35 & 0 \\ 0.3 & 0 & 0 & 1 \end{bmatrix} \begin{bmatrix} -4.33333 \times 10^{-5} \\ 6.19048 \times 10^{-5} \\ 6.19048 \times 10^{-5} \\ 0 \end{bmatrix} = \begin{bmatrix} -1000 \\ 1000 \\ 1000 \\ -300 \end{bmatrix}$$

5- حساب الطاقة الكامنة للجملية:

يمكن حساب الطاقة الكامنة للجملية من الصيغة التالية:

$$\pi = \sum_{e=1}^n \left( \frac{1}{2} \cdot u_{i(p)} \cdot k^{i(p)k(q)} \cdot u_{k(q)} - \bar{F}^{i(p)} \cdot u_{i(p)} \right)$$

لكن لدينا وفق جملة المعادلات الخطية لانتقالات العقد :

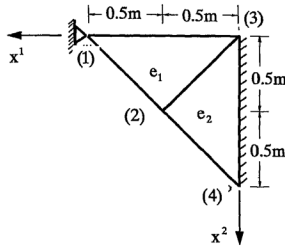
$$\sum_{e=1}^n k^{i(p)k(q)} \cdot u_{i(p)} = \sum_{e=1}^n \bar{F}^{i(p)}$$

وبالتالي يمكن حساب الطاقة الكامنة للحملة كالتالي :

$$\pi = -\frac{1}{2} \cdot \sum_{e=1}^n u_{i(p)} \cdot \bar{F}^{i(p)} = -\frac{1}{2} \times 1.67143 \times 10^{-4} \times 100 = -8.35715 \times 10^{-3} \text{ kN.m}$$

مثال 2-7 :

لدينا شريحة مثلثية قائمة أبعادها وخواصها الهندسية وطبيعية استنادها وتقسيمها إلى عناصر منتهية مبنية على الشكل م 2-7 . بفرض أن الشريحة خضعت لتأثير تغيرات حرارية موزعة خطياً حيث كان تغير درجة الحرارة في العقدة (1) بمقدار  $100^\circ$  درجة مئوية وفي العقدتين (3) و (4) معدوم؛ المطلوب:



$$E = 2.1 \times 10^7 \text{ kN/m}^2; t = 0.2\text{m}; \nu = 0.3; \alpha = 0.000012$$

شكل م 2-7: شريحة مثلثية ، المحاور الإحداثية، الأبعاد والخواص الهندسية ،

الحمولة الحرارية على العقد

1- إيجاد الحالة الانتقالية في الجملة.

2- إيجاد ردود الأفعال.

3- تحديد حالة التشوهات والحالة الاجهادية في العنصرين  $e_1, e_2$ .



#### 4- حساب الطاقة الكامنة للحملة

الحل:

في البدء يجب حساب الحمولات المركزة على العقد والمكافئة للحمل الحراري والمعطاة وفق العلاقة  $\bar{f}^{i(q)} = c^{i(p)(q)} \Delta t_{(q)}$ . باعتبار أن الخواص الهندسية للشريحة ثابتة نحسب في البدء الثابت الوارد في المصفوفة  $C^{i(p)(q)}$  والمتساوي في كل عناصر الشريحة:

$$\frac{E \cdot \alpha \cdot t}{6(1-\nu)} = \frac{2.1 \times 10^7 \times 0.000012 \times 0.2}{6(1-0.3)} = 12$$

العنصر  $e_1$ : باعتبار توزع الحقل الحراري خطي تكون قيم التغيرات الحرارية في عقد العنصر (1), (2), (3) هي على التوالي  $\Delta t_{(1)} = 100^\circ, \Delta t_{(2)} = 50^\circ, \Delta t_{(3)} = 0$  وتكون الحمولات المركزة في عقد العنصر والمكافئة للحمولات الحرارية كما يلي:

$$\begin{bmatrix} \bar{f}^{x^1}_{(1)} \\ \bar{f}^{x^2}_{(1)} \\ \bar{f}^{x^1}_{(2)} \\ \bar{f}^{x^2}_{(2)} \\ \bar{f}^{x^1}_{(3)} \\ \bar{f}^{x^2}_{(3)} \end{bmatrix} = 12 \times \begin{bmatrix} 0.5 & 0.5 & 0.5 \\ -0.5 & -0.5 & -0.5 \\ 0 & 0 & 0 \\ 1 & 1 & 1 \\ -0.5 & -0.5 & -0.5 \\ -0.5 & -0.5 & -0.5 \end{bmatrix} \cdot \begin{bmatrix} 100 \\ 50 \\ 0 \end{bmatrix} = \begin{bmatrix} -900 \\ -900 \\ 0 \\ 1800 \\ -900 \\ -900 \end{bmatrix}$$

العنصر  $e_2$ : هنا تكون قيم التغيرات الحرارية في عقد العنصر (3), (2), (4), (1) هي على التوالي  $\Delta t_{(3)} = 0^\circ, \Delta t_{(2)} = 50^\circ, \Delta t_{(4)} = 0$  والمكافئة للحمولات الحرارية كما يلي:

$$\begin{bmatrix} \bar{f}^{x^1}_{(3)} \\ \bar{f}^{x^2}_{(3)} \\ \bar{f}^{x^1}_{(2)} \\ \bar{f}^{x^2}_{(2)} \\ \bar{f}^{x^1}_{(4)} \\ \bar{f}^{x^2}_{(4)} \end{bmatrix} = 12 \times \begin{bmatrix} -0.5 & -0.5 & -0.5 \\ -0.5 & -0.5 & -0.5 \\ 1 & 1 & 1 \\ 0 & 0 & 0 \\ -0.5 & -0.5 & -0.5 \\ 0.5 & 0.5 & 0.5 \end{bmatrix} \cdot \begin{bmatrix} 0 \\ 50 \\ 0 \end{bmatrix} = \begin{bmatrix} -300 \\ -300 \\ 600 \\ 0 \\ -300 \\ 300 \end{bmatrix}$$

وتصبح جملة المعادلات الخطية النهائية:

$$\begin{bmatrix} 0.3375 & -0.1625 & -0.175 & 0.15 & -0.1625 & 0.0125 & 0 & 0 \\ -0.1625 & 0.3375 & 0.175 & -0.5 & -0.0125 & 0.1625 & 0 & 0 \\ -0.175 & 0.175 & 1.35 & 0 & -0.675 & -0.325 & -0.5 & 0.15 \\ 0.15 & -0.5 & 0 & 1.35 & -0.325 & -0.675 & 0.175 & -0.175 \\ -0.1625 & -0.0125 & -0.675 & -0.325 & 0.75 & 0.325 & 0.1625 & 0.0125 \\ 0.0125 & 0.1625 & -0.325 & -0.675 & 0.325 & 0.75 & -0.0125 & -0.1625 \\ 0 & 0 & -0.5 & 0.175 & 0.1625 & -0.0125 & 0.3375 & -0.1625 \\ 0 & 0 & 0.15 & -0.175 & 0.0125 & -0.1625 & -0.1625 & 0.3375 \end{bmatrix} \begin{bmatrix} u_{1(0)} \\ u_{2(0)} \\ u_{1(0)} \\ u_{2(0)} \\ u_{1(0)} \\ u_{2(0)} \\ u_{1(0)} \\ u_{2(0)} \end{bmatrix} = \begin{bmatrix} 900 \\ -900 \\ 600 \\ 0 \\ 1800 \\ -1200 \\ -1200 \\ 300 \end{bmatrix} + \begin{bmatrix} \bar{F}^{x^1}_{(0)} \\ \bar{F}^{x^2}_{(0)} \\ 0 \\ 0 \\ \bar{F}^{x^1}_{(0)} \\ \bar{F}^{x^2}_{(0)} \\ \bar{F}^{x^1}_{(0)} \\ \bar{F}^{x^2}_{(0)} \end{bmatrix}$$

$$C = 4615384.615$$

بعد تعويض الشروط الطرفية نحصل على جملة المعادلتين لحساب الانتقالات المجهولة:

$$C = \begin{bmatrix} 1.35 & 0 \\ 0 & 1.35 \end{bmatrix} \cdot \begin{bmatrix} u_{1(2)} \\ u_{2(2)} \end{bmatrix} = \begin{bmatrix} 600 \\ 1800 \end{bmatrix}$$

بالحل ينتج :

$$\begin{bmatrix} u_{1(2)} \\ u_{2(2)} \end{bmatrix} = \begin{bmatrix} 9.629629 \times 10^{-5} \\ 2.888889 \times 10^{-4} \end{bmatrix} \quad m$$

أما بقية الانتقالات فهي معلومة .

المعادلات الستة المتبقية تحدد ردود الأفعال . بعد استبعاد العمليات الصفرية تحسب ردود الأفعال كالتالي :

$$\begin{bmatrix} \bar{F}^{x^1}_{(1)} \\ \bar{F}^{x^2}_{(1)} \\ \bar{F}^{x^1}_{(3)} \\ \bar{F}^{x^2}_{(3)} \\ \bar{F}^{x^1}_{(4)} \\ \bar{F}^{x^2}_{(4)} \end{bmatrix} = \frac{c}{1.35} \cdot \begin{bmatrix} -0.175 & 0.15 \\ 0.175 & -0.5 \\ -0.675 & -0.325 \\ -0.325 & -0.675 \\ -0.5 & 0.175 \\ 0.15 & -0.175 \end{bmatrix} \cdot \begin{bmatrix} 1.3 \times 10^{-4} \\ 3.9 \times 10^{-4} \end{bmatrix} - \begin{bmatrix} 900 \\ -900 \\ -1200 \\ -1200 \\ -300 \\ 300 \end{bmatrix} = \begin{bmatrix} -777.7778 \\ 311.1111 \\ 466.6667 \\ 155.5556 \\ 311.1111 \\ -466.6667 \end{bmatrix}$$

تحديد حالة التشوهات والحالة الإجهادية في العنصرين  $e_1, e_2$  :

العنصر  $e_1$  :

يتم حساب مشتقات الانتقالات بالطريقة العادية:

$$u_{i,j} = \begin{bmatrix} 0 & 9.629629 \times 10^{-5} & 0 \\ 0 & 2.888889 \times 10^{-4} & 0 \end{bmatrix} \cdot \frac{1}{2 \cdot \frac{1 \times 0.5}{2}} \cdot \begin{bmatrix} 0.5 & -0.5 \\ 0 & 1 \\ -0.5 & -0.5 \end{bmatrix} = \begin{bmatrix} 0 & 1.9259258 \times 10^{-4} \\ 0 & 5.7777777 \times 10^{-4} \end{bmatrix}$$

والآن نحسب موترتا التشوهات الداخلية والمسبقة الناتجة عن التأثير الحراري وبعد ذلك نحسب

الاجهادات من قانون السلوك المعطى لحالة التشوهات المسبقة

$$\epsilon_{ij} = \begin{bmatrix} 0 & 9.629629 \times 10^{-5} \\ 9.629629 \times 10^{-5} & 5.777777 \times 10^{-4} \end{bmatrix}; \bar{\epsilon}_{ij} = \alpha \cdot \begin{bmatrix} 100N^{(1)} + 50N^{(2)} & 0 \\ 0 & 100N^{(1)} + 50N^{(2)} \end{bmatrix}$$

$$\sigma^{kl} = E^{ijkl} (\epsilon_{ij} - \bar{\epsilon}_{ij})$$

$$E^{ijkl} \cdot \begin{bmatrix} \epsilon_{11} \\ \epsilon_{21} \\ \epsilon_{12} \\ \epsilon_{22} \end{bmatrix} = \frac{2.1 \times 10^7}{1 - 0.09} \cdot \begin{bmatrix} 1 & 0 & 0 & 0.3 \\ 0 & 0.35 & 0.35 & 0 \\ 0 & 0.35 & 0.35 & 0 \\ 0.3 & 0 & 0 & 1 \end{bmatrix} \cdot \begin{bmatrix} 0 \\ 9.629629 \times 10^{-5} \\ 9.629629 \times 10^{-5} \\ 5.777777 \times 10^{-4} \end{bmatrix} = \begin{bmatrix} 4000 \\ 1555.556 \\ 1555.556 \\ 13333.333 \end{bmatrix}$$

العنصر  $e_2$  :

وبشكل مماثل نحصل في العنصر الثاني على حالي التشوهات والاجهادات التاليتين:

$$u_{i,j} = \begin{bmatrix} 0 & 9.629629 \times 10^{-5} & 0 \\ 0 & 2.888889 \times 10^{-4} & 0 \end{bmatrix} \cdot \frac{1}{2} \cdot \begin{bmatrix} -0.5 & -0.5 \\ 1 & 0 \\ -0.5 & 0.5 \end{bmatrix} = \begin{bmatrix} 1.925925 \times 10^{-4} & 0 \\ 5.777777 \times 10^{-4} & 0 \end{bmatrix}$$

$$\epsilon_{ij} = \begin{bmatrix} 1.9259258 \times 10^{-4} & 2.8888889 \times 10^{-4} \\ 2.8888889 \times 10^{-4} & 0 \end{bmatrix}; \bar{\epsilon}_{ij} = \begin{bmatrix} 50N^{(2)} & 0 \\ 0 & 50N^{(2)} \end{bmatrix}$$

$$\sigma^{kl} = E^{ijkl} (\epsilon_{ij} - \bar{\epsilon}_{ij})$$

$$E^{ijkl} \cdot \epsilon_{kl} = \frac{2.1 \times 10^7}{1 - 0.09} \cdot \begin{bmatrix} 1 & 0 & 0 & 0.3 \\ 0 & 0.35 & 0.35 & 0 \\ 0 & 0.35 & 0.35 & 0 \\ 0.3 & 0 & 0 & 1 \end{bmatrix} \cdot \begin{bmatrix} 1.9259258 \times 10^{-4} \\ 2.8888889 \times 10^{-4} \\ 2.8888889 \times 10^{-4} \\ 0 \end{bmatrix} = \begin{bmatrix} 4444.444 \\ 4666.667 \\ 4666.667 \\ 1333.333 \end{bmatrix}$$

نلاحظ هنا أن موترتا التشوهات والاجهادات ليستا ثابتين وإنما متعلقتان بالإحداثيات المستقلة وتوابيع الشكل.

4- حساب الطاقة الكامنة:

نحسب الطاقة الكامنة في حالة وجود التشوه الحراري فقط من العلاقة التالية:

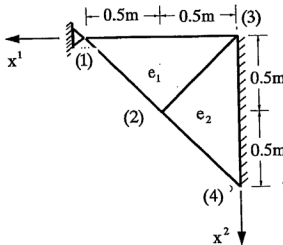
$$\pi = \sum_e \frac{1}{2} \cdot u_{i(p)} \cdot k^{i(p)k(q)} \cdot u_{k(q)} - u_{i(p)} \cdot c^{i(p)k(q)} \Delta T_{(q)}$$

وتطبيق هذه العلاقة بالمعطيات الرقمية للمسألة بعد استبعاد العمليات الصفرية يؤدي إلى:

$$\pi = \frac{1}{2} [9.629629 \times 10^{-5} \cdot 2.888889 \times 10^{-4}] \cdot \begin{bmatrix} 1.35 & 0 \\ 0 & 1.35 \end{bmatrix} \cdot \begin{bmatrix} 9.629629 \times 10^{-5} \\ 2.888889 \times 10^{-4} \end{bmatrix} - [9.62929 \times 10^{-5} \cdot 2.888889 \times 10^{-4}] \cdot \begin{bmatrix} 600 \\ 1800 \end{bmatrix} = 0.2888888 - 0.5777777 = -0.2888888$$

مثال 3-7 :

لدينا شريحة مثلثية قائمة بأبعادها وخواصها الهندسية وطبيعة استنادها وتقسيمها إلى عناصر منتهية مبنية على الشكل م-3. إذا هبط المسند (1) باتجاه  $x^2$  بمقدار  $0.167143 \text{ mm}$ ، المطلوب:



$$E = 2.1 \times 10^7 \text{ kN/m}^2; t = 0.2\text{m}; \nu = 0.3$$

شكل م-3: شريحة مثلثية، المحاور الإحداثية، الأبعاد والخواص الهندسية، هبوط المساند

- 1- إيجاد الحالة الانتقالية في الجملة.
- 2- إيجاد ردود الأفعال .
- 3- تحديد حالة التشوهات والحالة الإجهادية في العنصرين  $e_1, e_2$ .
- 4- حساب الطاقة الكامنة للجملة.

الحل:

1- إيجاد الحالة الانتقالية في الجملة

وجدنا أن مصفوفة القساوة للعنصر الأول معطاة بالشكل :

$$k_{e_1} = 4615384.65 \times \begin{bmatrix} 0.3375 & -0.1625 & -0.175 & 0.15 & -0.1625 & 0.012 \\ -0.1625 & 0.3375 & 0.175 & -0.5 & -0.0125 & 0.1625 \\ -0.175 & 0.175 & 0.35 & 0 & -0.175 & -0.175 \\ 0.15 & -0.5 & 0 & 1 & -0.15 & -0.5 \\ -0.1625 & -0.0125 & -0.175 & -0.15 & 0.3375 & 0.1625 \\ 0.0125 & 0.1625 & -0.175 & -0.5 & 0.1625 & 0.3375 \end{bmatrix}$$

وهي للعنصر الثاني كالتالي :

$$k_{e_2} = 4615384.61 \times \begin{bmatrix} 0.3375 & 0.1625 & -0.5 & -0.175 & 0.1625 & 0.012 \\ 0.1625 & 0.3375 & -0.15 & -0.175 & -0.0125 & -0.1625 \\ -0.5 & -0.15 & 1 & 0 & -0.5 & 0.15 \\ -0.175 & -0.175 & 0 & 0.35 & 0.175 & -0.175 \\ 0.1625 & -0.0125 & -0.5 & 0.175 & 0.3375 & -0.1625 \\ 0.0125 & -0.1625 & 0.15 & -0.175 & -0.1625 & 0.3375 \end{bmatrix}$$

وتكون مصفوفة القساوة الكلية بالشكل :

$$K = 4615384.61 \times \begin{bmatrix} 0.3375 & -0.1625 & -0.175 & 0.15 & -0.1625 & 0.0125 & 0 & 0 \\ -0.1625 & 0.3375 & 0.175 & -0.5 & -0.0125 & 0.1625 & 0 & 0 \\ -0.175 & 0.175 & 1.35 & 0 & -0.675 & -0.325 & -0.5 & 0.15 \\ 0.15 & -0.5 & 0 & 1.35 & -0.325 & -0.675 & 0.175 & -0.175 \\ -0.1625 & -0.0125 & -0.675 & -0.325 & 0.75 & 0.325 & 0.1625 & 0.0125 \\ 0.0125 & 0.1625 & -0.325 & -0.675 & 0.325 & 0.75 & -0.0125 & -0.1625 \\ 0 & 0 & -0.5 & 0.175 & 0.1625 & -0.0125 & 0.3375 & -0.1625 \\ 0 & 0 & 0.15 & -0.175 & 0.0125 & -0.1625 & -0.1625 & 0.3375 \end{bmatrix}$$

تجمع الانتقالات المسبقة الحاصلة في الجملة الإنشائية في شعاع الانتقالات المسبقة:

$$\bar{u} = \begin{bmatrix} \bar{u}_{1(1)} \\ \bar{u}_{2(1)} \\ \bar{u}_{1(2)} \\ \bar{u}_{2(2)} \\ \bar{u}_{1(3)} \\ \bar{u}_{2(3)} \\ \bar{u}_{1(4)} \\ \bar{u}_{2(4)} \end{bmatrix} = \begin{bmatrix} 0 \\ 1.67143 \times 10^{-4} \\ 0 \\ 0 \\ 0 \\ 0 \\ 0 \\ 0 \end{bmatrix}$$

ويكون الطرف الثاني جملة المعادلات الخطية مساوياً لحاصل ضرب مصفوفة القساوة الكلية في شعاع الانتقالات المسبقة:

$$\bar{ku} = 4615384.615 \times \begin{bmatrix} -2.71607 \times 10^{-5} \\ 5.64108 \times 10^{-5} \\ 2.925 \times 10^{-5} \\ -8.35715 \times 10^{-5} \\ -2.08929 \times 10^{-6} \\ 2.716074 \times 10^{-5} \\ 0 \\ 0 \end{bmatrix}$$

وتصبح جملة المعادلات الخطية كمايلي:

$$C \begin{bmatrix} 0.3375 & -0.1625 & -0.175 & 0.15 & -0.1625 & 0.0125 & 0 & 0 \\ -0.1625 & 0.3375 & 0.175 & -0.5 & -0.0125 & 0.1625 & 0 & 0 \\ -0.175 & 0.175 & 1.35 & 0 & -0.675 & -0.325 & -0.5 & 0.15 \\ 0.15 & -0.5 & 0 & 1.35 & -0.325 & 0.675 & 0.175 & -0.175 \\ -0.1625 & -0.0125 & -0.675 & -0.325 & 0.75 & 0.325 & 0.1625 & 0.0125 \\ 0.0125 & 0.1625 & -0.325 & -0.675 & 0.325 & 0.75 & -0.0125 & -0.1625 \\ 0 & 0 & -0.5 & 0.175 & 0.1625 & -0.0125 & 0.3375 & -0.1625 \\ 0 & 0 & 0.15 & -0.175 & 0.0125 & -0.1625 & -0.1625 & 0.3375 \end{bmatrix} \begin{bmatrix} u_{1(1)} \\ u_{2(1)} \\ u_{1(2)} \\ u_{2(2)} \\ u_{1(3)} \\ u_{2(3)} \\ u_{1(4)} \\ u_{2(4)} \end{bmatrix} =$$

$$-C. \begin{bmatrix} -2.71607 \times 10^{-5} \\ 5.64108 \times 10^{-5} \\ 2.925 \times 10^{-5} \\ -8.35715 \times 10^{-5} \\ -2.08929 \times 10^{-6} \\ 2.716074 \times 10^{-5} \\ 0 \\ 0 \end{bmatrix} + \begin{bmatrix} \bar{F}^{x^1}_{(1)} \\ \bar{F}^{x^2}_{(1)} \\ 0 \\ 0 \\ \bar{F}^{x^1}_{(3)} \\ \bar{F}^{x^2}_{(3)} \\ \bar{F}^{x^1}_{(4)} \\ \bar{F}^{x^2}_{(4)} \end{bmatrix}$$

تقلص الشروط الطرفية جملة المعادلات السابقة إلى معادلتين مجهولين نحصل بهما على المجهولين المطلوبين:

$$C. \begin{bmatrix} 1.35 & 0 \\ 0 & 1.35 \end{bmatrix} \cdot \begin{bmatrix} u_{1(2)} \\ u_{2(2)} \end{bmatrix} = -C. \begin{bmatrix} 2.925 \times 10^{-5} \\ -8.35715 \times 10^{-5} \end{bmatrix}$$

$$\begin{bmatrix} u_{1(2)} \\ u_{2(2)} \end{bmatrix} = \begin{bmatrix} -2.16667 \times 10^{-5} \\ 6.19048 \times 10^{-5} \end{bmatrix}$$

2- حساب ردود الأفعال:

بعد اختصار العمليات الصغرية نحسب ردود الأفعال من جملة المعادلات الخطية بعد تعريض الانتقالات المجهولة فنحصل على:

$$\begin{bmatrix} \bar{F}^{x^1}_{(1)} \\ \bar{F}^{x^2}_{(2)} \\ \bar{F}^{x^1}_{(3)} \\ \bar{F}^{x^2}_{(3)} \\ \bar{F}^{x^1}_{(4)} \\ \bar{F}^{x^2}_{(4)} \end{bmatrix} = C. \begin{bmatrix} -0.1625 & -0.175 & 0.15 \\ 0.3375 & 0.175 & -0.5 \\ -0.0125 & -0.675 & -0.325 \\ 0.1625 & -0.325 & -0.675 \\ 0 & -0.5 & 0.175 \\ 0 & 0.15 & -0.175 \end{bmatrix} \cdot \begin{bmatrix} 0.0 \\ -2.16667 \times 10^{-5} \\ 6.19048 \times 10^{-5} \end{bmatrix}$$

$$+ C. \begin{bmatrix} -2.71607 \times 10^{-5} \\ 5.64108 \times 10^{-5} \\ -2.08929 \times 10^{-6} \\ 2.716074 \times 10^{-5} \\ 0 \\ 0 \end{bmatrix} = \begin{bmatrix} -65 \\ 100 \\ -35 \\ -35 \\ 100 \\ -65 \end{bmatrix}$$

3- حالة التشوهات والإجهادات:

العنصر  $e_1$ : تعطى حالة تشوهات وإجهادات العنصر الأول بالشكل :

$$\varepsilon_{ij} = \begin{bmatrix} 0 & 6.19048 \times 10^{-5} \\ 6.19048 \times 10^{-5} & -4.33333 \times 10^{-5} \end{bmatrix}$$

$$\begin{bmatrix} \sigma^{11} \\ \sigma^{21} \\ \sigma^{12} \\ \sigma^{22} \end{bmatrix} = \begin{bmatrix} -300 \\ 1000 \\ 1000 \\ -1000 \end{bmatrix}$$

العنصر  $e_2$ : و حالة تشوهات وإجهادات العنصر الثاني بالشكل

$$\varepsilon_{ij} = \begin{bmatrix} -4.33333 \times 10^{-5} & 6.19048 \times 10^{-5} \\ 6.19048 \times 10^{-5} & 0 \end{bmatrix}$$

$$\begin{bmatrix} \sigma^{11} \\ \sigma^{21} \\ \sigma^{12} \\ \sigma^{22} \end{bmatrix} = \begin{bmatrix} -1000 \\ 1000 \\ 1000 \\ -300 \end{bmatrix}$$

4- حساب الطاقة الكامنة للحملة:

تُحسب الطاقة الكامنة في حالة وجود هبوط المساند فقط من العلاقة التالية:

$$\pi = \sum_{q=1}^n \frac{1}{2} \cdot u_{i(p)} \cdot k^{i(p)k(q)} \cdot u_{k(q)} + u_{i(p)} \cdot k^{i(p)k(q)} \cdot \bar{u}_{k(q)}$$

وتطبيق هذه العلاقة بالمعطيات الرقمية للمسألة بعد استبعاد العمليات الصفرية يؤدي إلى:

$$\pi = \frac{1}{2} \begin{bmatrix} 0 & -2.16667 \times 10^{-5} & 6.19048 \times 10^{-5} \end{bmatrix} \cdot \begin{bmatrix} 0.3375 & 0.175 & -0.5 \\ 0.175 & 1.35 & 0 \\ -0.5 & 0 & 1.35 \end{bmatrix} \cdot \begin{bmatrix} 0 \\ -2.16667 \times 10^{-5} \\ 6.19048 \times 10^{-5} \end{bmatrix}$$

$$+ \begin{bmatrix} 0 & -2.1667 \times 10^{-5} & 6.19048 \times 10^{-5} \end{bmatrix} \cdot \begin{bmatrix} 0.3375 & 0.175 & -0.5 \\ 0.175 & 1.35 & 0 \\ -0.5 & 0 & 1.35 \end{bmatrix} \cdot \begin{bmatrix} 1.67143 \times 10^{-5} \\ 0 \\ 0 \end{bmatrix}$$

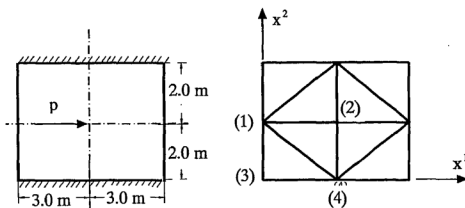
$$= 8.35715 \times 10^{-3} \text{ KN.m}$$



وفيما يلي ستدرس بعض الأمثلة العددية الممكن حلها يدوياً بالاعتماد على خواص التناظر والتناظر العكسي.

#### مثال 4-7:

لدينا شريحة مستطيلة مستوية موثوقة من الطرفين وحررة في الطرفين الآخرين وأبعادها وخواصها الهندسية كما يبين الشكل م 4-7. تخضع الشريحة في مركزها لقوة أفقية والمطلوب: إيجاد انتقالات العقد الناتجة عن التقسيم الشبكي المبين عليها.



$$E = 2.1 \times 10^7 \text{ kN/m}^2; \nu = 0.3$$

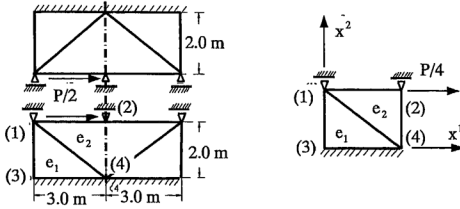
$$t = 0.10 \text{ m} \quad p = 1000 \text{ kN}$$

شكل م 4-7: المنشأ، والخواص الهندسية والتقسيم إلى عناصر منتهية

الحل:

باعتبار أن القوة الأفقية ستولد في حالتنا هذه انتقالاً أفقياً فقط فيمكن دراسة نصف الشريحة خاضعاً لنصف القوة ونعتبر الطرف المقتطع بالتناظر مستنداً استناداً بسيطاً في الاتجاه الشاقولي لمنع حركته في ذلك الاتجاه.

ومن ثم نعمل إلى دراسة ربع الشريحة خاضعة لقوة مقدارها ربع القوة الأساسية والشكل أعلاه يبين الخطوات المتخذة لتبسيط دراسة الشريحة الأساسية، بالإضافة إلى نسب العناصر إلى المحاور الإحداثية وترقيم العقد.



شكل م7-4-2: التناظرفق خط القوة ، ربع الشريحة المدروس

يمكن الآن البدء بتشكيل مصفوفات القساوة للعناصر. فللعنصر  $e_1$  نحصل باعتبار الخواص الهندسية السابقة وباعتبار  $(i)=(3), (j)=(4), (k)=(1)$  على :

$$k_{(e_1)}^{i(p)k(q)} = 192307.7 \times \begin{bmatrix} & & \\ & 3.15 & 0 \\ & 0 & 9 \end{bmatrix}$$

وللعنصر  $e_2$  باعتبار  $(i)=(4), (j)=(2), (k)=(1)$  على :

$$k_{(e_2)} = 192307.7 \times \begin{bmatrix} & 7.15 & 3.9 & -4 & -2.1 \\ & 3.9 & 10.4 & -1.8 & -1.4 \\ & -4 & -1.8 & 4 & 0 \\ & -2.1 & -1.4 & 0 & 1.4 \end{bmatrix}$$

وجملة المعادلات الجبرية الخطية النهائية لانتقالات العقد تصبح من الشكل:

$$192307.7 \times \begin{bmatrix} 7.15 & 3.9 & -4 & -2.1 & * & * & * & * \\ 3.9 & 10.4 & -1.8 & -1.4 & & & & \\ -4 & -1.8 & 7.15 & 0 & & & & \\ -2.1 & -1.4 & 0 & 10.4 & & & & \\ * & & & & & & & \\ * & & & & & & & \\ * & & & & & & & \\ * & & & & & & & \end{bmatrix} \cdot \begin{bmatrix} u_{x^1(1)} \\ u_{x^2(1)} \\ u_{x^1(2)} \\ u_{x^2(2)} \\ u_{x^1(3)} \\ u_{x^2(3)} \\ u_{x^1(4)} \\ u_{x^2(4)} \end{bmatrix} = \begin{bmatrix} 250 \\ 0 \\ 0 \\ 0 \\ \bar{F}_{(3)}^{x^1} \\ \bar{F}_{(3)}^{x^2} \\ \bar{F}_{(4)}^{x^1} \\ \bar{F}_{(4)}^{x^2} \end{bmatrix}$$

حيث تشير  $\bar{F}_{(4)}^{x^2}, \bar{F}_{(4)}^{x^1}, \bar{F}_{(3)}^{x^2}, \bar{F}_{(3)}^{x^1}$  إلى ردود الأفعال المتولدة من العقدتين (3)، (4) على التوالي. بعد تعويض الشروط الطرفية للانتقالات والتي تقتضي أن يكون :

$$u_{x^1(3)} = u_{x^2(3)} = u_{x^1(4)} = u_{x^2(4)} = 0$$

وذلك بجذب الأسطر والأعمدة الموافقة لتلك الانتقالات (والمشار إليها بنجمة) من جملة المعادلات أو بإضافة أعداد قيمها كبيرة جدا إلى عناصر القطر الرئيسي الموافقة لتلك الانتقالات في مصفوفة التساوة العامة، تتقلص جملة المعادلات النهائية إلى التالية:

$$192307.7 \times \begin{bmatrix} 7.15 & 3.9 & -4 & -2.1 \\ 3.9 & 10.4 & -1.8 & -1.4 \\ -4 & -1.8 & 7.15 & 0 \\ -2.1 & -1.4 & 0 & 10.4 \end{bmatrix} \cdot \begin{bmatrix} u_{x^1(1)} \\ u_{x^2(1)} \\ u_{x^1(2)} \\ u_{x^2(2)} \end{bmatrix} = \begin{bmatrix} 250 \\ 0 \\ 0 \\ 0 \end{bmatrix}$$

بالإضافة إلى التبسيطات السابقة يمكن استخدام خاصية التناظر أيضا لتبسيط جملة المعادلات السابقة فنناظر الجملة حول محور أفقي مار بالقوة الخارجية يقتضي بأن يكون :

$$u_{x^2(1)} = u_{x^2(2)} = 0$$

ويحذف الأسطر والأعمدة الموافقة لتلك الانتقالات من جملة المعادلات الأخيرة نحصل على:

$$192307.7 \times \begin{bmatrix} 7.15 & -4 \\ -4 & 7.15 \end{bmatrix} \cdot \begin{bmatrix} u_{x^1(1)} \\ u_{x^1(2)} \end{bmatrix} = \begin{bmatrix} 250 \\ 0 \end{bmatrix}$$

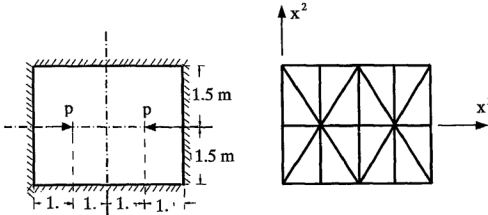
وعليه تكون انتقالات العقدتين (1) , (2):

$$u_{x^1(1)} = 2.6464516 \times 10^{-4} \text{ m}$$

$$u_{x^1(2)} = 1.480532 \times 10^{-4} \text{ m}$$

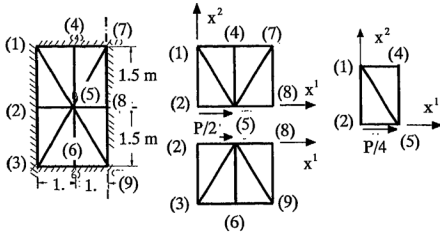
مثال 5-7:

لدينا شريحة مستطيلة موثوقة من جميع أطرافها ومعرضة في مستويها لقوتين مركبتين مركبتين إلى جانب الخواص الهندسية لها في الشكل م 5-7. قسمت الشريحة إلى عناصر منتهية كما يبين الشكل م 5-7. والمطلوب: إيجاد قوى المقطع في العنصرين (1),(2) من الشريحة.



$$P = 50 \text{ kN}; E = 2.1 \times 10^8 \text{ kN/m}^2; \nu = 0.3; t = 1 \text{ cm}$$

شكل م 5-7: التقسيم إلى عناصر منتهية. شكل م 5-7: المنشأ والخواص الهندسية.



شكل م 4-5-7 دراسة ربع الشريحة. شكل م 3-5-7 تقسيم نصف الشريحة إلى جزأين.

الحل:

باعتبار أن الشريحة معرضة لقوى أفقية فقط وبتناظر مزدوج حول المحورين  $x^1$  والمحور 987 الموازي لـ  $x^2$  لشكل الشريحة وحالة التحميل وعليه تكون الانتقالات الشاقولية لكل العقد صفرية.

بالإضافة إلى ذلك وباعتبار العقدة 8 هي مركز التناظر المزدوج يكون الانتقال الأفقي للعقدة 8 معدوماً. وبالتالي يمكن الاكتفاء بدراسة نصف الشريحة المبين في الشكل م 3-5-7 تحت تأثير القوة  $p$ . ونصف الشريحة هذا يمكن تقسيمه إلى جزأين تحت تأثير قوة مقدارها  $P/2$  لتناظره حول المحور  $x^1$  شكل م 3-5-7. ونصف نصف الشريحة متناظر هندسياً حول محور مار في العقدتين (7) و(8). ولذلك يكفي بدراسة نصفه أيضاً تحت تأثير قوة مقدارها  $P/4$  كما يبين الشكل م 7-4-5.

يمكن الآن البدء بحساب مصفوفة القساوة للعناصر وتشكيل جملة المعادلات الخطية الجبرية لانتقالات العقد.

فللعنصر  $e_1$  وباعتبار  $(i)=(1), (j)=(2), (k)=(5)$  تكون مصفوفة التساوة كالتالي:

$$k_{(e_1)}^{l(p)k(q)} = 769230.7 \times \begin{bmatrix} 0.35 & 0 & -0.35 & -0.525 & 0 & 0.525 \\ 0 & 1 & -0.45 & -1 & 0.45 & 0 \\ -0.35 & -0.45 & 2.6 & 0.975 & -2.25 & -0.525 \\ -0.525 & -1 & 0.975 & 1.7875 & -0.45 & -0.7875 \\ 0 & 0.45 & -2.25 & -0.45 & 2.25 & 0 \\ 0.525 & 0 & -0.525 & -0.7875 & 0 & 0.7875 \end{bmatrix}$$

وللعنصر  $e_2$  باعتبار  $(i)=(4), (j)=(1), (k)=(5)$  تكون مصفوفة التساوة كالتالي:

$$k_{(e_2)}^{l(p)k(q)} = 769230.77 \times \begin{bmatrix} 2.6 & 0.975 & -2.25 & -0.525 & -0.35 & -0.45 \\ 0.975 & 1.7875 & -0.45 & -0.7875 & -0.525 & -1 \\ -2.25 & -0.45 & 2.25 & 0 & 0 & 0.45 \\ -0.525 & -0.7875 & 0 & 0.7875 & 0.525 & 0 \\ -0.35 & -0.525 & 0 & 0.525 & 0.35 & 0 \\ -0.45 & -1 & 0.45 & 0 & 0 & 1 \end{bmatrix}$$

وبعد حذف المساند وإبدائها بقوى ردود الأفعال وهي في هذه الحالة قوتين في العقد الموثوقة

(1),(2),(4) قوة في اتجاه  $x^1$  هي  $\bar{F}^{x^1}$  وقوة في اتجاه  $x^2$  وهي  $\bar{F}^{x^2}$  نحصل على جملة

المعادلات الخطية التالية :

$$\begin{matrix} * & * & * & * & * & * \\ * & \begin{bmatrix} 2.6 & 0 & -0.35 & -0.525 & -2.25 & -0.45 & 0 & 0.975 \\ 0 & 1.7875 & -0.45 & -1 & -0.525 & -0.7875 & 0.975 & 0 \\ -0.35 & -0.45 & 2.6 & 0.975 & 0 & 0 & -2.25 & -0.525 \\ -0.525 & -1 & 0.975 & 1.7875 & 0 & 0 & -0.45 & -0.7875 \\ -2.25 & -0.525 & 0 & 0 & 2.6 & 0.975 & -0.35 & -0.45 \\ -0.45 & -0.7875 & 0 & 0 & 0.975 & 1.7875 & -0.525 & -1 \\ 0 & 0.975 & -2.25 & -0.45 & -0.35 & -0.525 & 2.6 & 0 \\ 0.975 & 0 & -0.525 & -0.7875 & -0.45 & -1 & 0 & 1.7875 \end{bmatrix} & * & \begin{bmatrix} u_{x^1(1)} \\ u_{x^1(2)} \\ u_{x^1(3)} \\ u_{x^1(4)} \\ u_{x^1(5)} \\ u_{x^1(6)} \\ u_{x^1(7)} \\ u_{x^1(8)} \end{bmatrix} & * & \begin{bmatrix} \bar{F}^{x^1(1)} \\ \bar{F}^{x^1(2)} \\ \bar{F}^{x^1(3)} \\ \bar{F}^{x^1(4)} \\ \bar{F}^{x^1(5)} \\ \bar{F}^{x^1(6)} \\ \bar{F}^{x^1(7)} \\ \bar{F}^{x^1(8)} \end{bmatrix} \\ * & 769230.77 \times & * & & * & & * & & * & & * & \begin{bmatrix} 12.5 \\ 0 \end{bmatrix} \end{matrix}$$

وباعتبار أن  $u_{x^1(1)} = u_{x^2(1)} = u_{x^1(2)} = u_{x^2(2)} = u_{x^1(4)} = u_{x^2(4)} = 0$  فيمكن حذف

الأسطر والأعمدة الموافقة لهذه الانتقالات من الجملة وقد أشر لها بنجمة ويتبقى لدينا المعادلتين

التاليتين:

$$769230.77 \times \begin{bmatrix} 2.6 & 0 \\ 0 & 1.7875 \end{bmatrix} \cdot \begin{bmatrix} u_{x^1(5)} \\ u_{x^2(5)} \end{bmatrix} = \begin{bmatrix} 12.5 \\ 0 \end{bmatrix}$$

ومنه ينتج أن الانتقالين المجهولين للعقدة (5) هما:

$$u_{x^1(5)} = 6.25 \times 10^{-6} \text{ m}, \quad u_{x^1(5)} = 0$$

تستخدم الأسطر المحنوفة لحساب قيم ردود الأفعال فبتعويض شعاع الانتقالات الكلي السوارد في جملة المعادلات الخطية بقيمه التي أصبحت كلها معلومة نحصل على الترتيب على ردود الأفعال التالية:

$$\bar{F}^{x^1}_{(1)} = 0$$

$$\bar{F}^{x^2}_{(1)} = 4.6875$$

$$\bar{F}^{x^1}_{(2)} = -10.8173077$$

$$\bar{F}^{x^2}_{(2)} = -2.163461541$$

$$\bar{F}^{x^1}_{(4)} = -1.682692309$$

$$\bar{F}^{x^2}_{(4)} = -2.524038464$$

وهذه ناتجة من ضرب العمود الخامس لجملة المعادلات النهائية السابقة بقيمة الانتقال  $u_{x^1(5)}$  وذلك لأن بقية الانتقالات الأخرى كلها صفرية. ويلاحظ أن جملة القوى المحسوبة هذه متوازنة. فمجموع قوى ردود الأفعال الشاقولية يساوي الصفر، ومجموع قوى ردود الأفعال الأفقية والقوة الخارجية  $P/4$  مساو للصفر أيضاً.

لحساب قوى المقطع نبدأ بحساب التشوهات على مستوى العنصر ونستخدم لذلك العلاقة :

$$u_{i,j} = N^{(p)}_{i,j} \cdot u_{i(p)}$$

فللعنصر الأول حيث أخذ ترتيب العقد بالشكل (i)=(1), (j)=(2), (k)=(5) يكون:

$$u_{i,j} = \begin{bmatrix} u_{x^1(1)} & u_{x^1(2)} & u_{x^1(5)} \\ u_{x^2(1)} & u_{x^2(2)} & u_{x^2(5)} \end{bmatrix} \cdot \frac{1}{2A} \cdot \begin{bmatrix} x^2_{(j)(k)} & x^1_{(k)(j)} \\ x^2_{(k)(i)} & x^1_{(i)(k)} \\ x^2_{(i)(j)} & x^1_{(j)(k)} \end{bmatrix}$$

$$= \begin{bmatrix} 0 & 0 & 6.25 \times 10^{-6} \\ 0 & 0 & 0 \end{bmatrix} \cdot \frac{1}{1.5} \cdot \begin{bmatrix} 0 & 1 \\ -1.5 & -1 \\ 1.5 & 0 \end{bmatrix} = \begin{bmatrix} 6.25 \times 10^{-6} & 0 \\ 0 & 0 \end{bmatrix}$$

$$\varepsilon_{ij} = \begin{bmatrix} 6.25 \times 10^{-6} & 0 \\ 0 & 0 \end{bmatrix}$$

وبعدها يمكن حساب الإجهادات بالعلاقة :

$$\sigma^{ij} = C^{ijkl} \cdot \varepsilon_{kl}$$

$$\begin{bmatrix} \sigma^{x^1x^1} \\ \sigma^{x^2x^1} \\ \sigma^{x^1x^2} \\ \sigma^{x^2x^2} \end{bmatrix} = 230769230.8 \times \begin{bmatrix} 1 & 0 & 0 & 0.3 \\ 0 & 0.35 & 0.35 & 0 \\ 0 & 0.35 & 0.35 & 0 \\ 0.3 & 0 & 0 & 1 \end{bmatrix} \cdot \begin{bmatrix} 6.25 \times 10^{-6} \\ 0 \\ 0 \\ 0 \end{bmatrix} = \begin{bmatrix} 1442.31 \\ 0 \\ 0 \\ 432.7 \end{bmatrix}$$

وبالتالي تكون قوى المقطع على الشكل:

$$n^{ij} = t \cdot \sigma^{ij} = \begin{bmatrix} n^{x^1x^1} \\ n^{x^2x^1} \\ n^{x^1x^2} \\ n^{x^2x^2} \end{bmatrix} = \begin{bmatrix} 14.42 \\ 0 \\ 0 \\ 4.33 \end{bmatrix} \text{ kn/m}$$

أما في العنصر الثاني حيث (i)=(4), (j)=(1), (k)=(5) فتكون موترة التشوهات كالتالي:

$$u_{i,j} = \begin{bmatrix} 0 & 0 & 6.25 \times 10^{-6} \\ 0 & 0 & 0 \end{bmatrix} \cdot \frac{1}{1.5} \cdot \begin{bmatrix} 1.5 & 1 \\ -1.5 & 0 \\ 0 & 1 \end{bmatrix} = \begin{bmatrix} 0 & 4.167 \times 10^{-6} \\ 0 & 0 \end{bmatrix}$$

$$\varepsilon_{ij} = \begin{bmatrix} 0 & 2.083 \times 10^{-6} \\ 2.083 \times 10^{-6} & 0 \end{bmatrix}$$

وعليه تكون الإجهادات في العنصر الثاني على الشكل:

$$\begin{bmatrix} \sigma^{x^1x^1} \\ \sigma^{x^2x^1} \\ \sigma^{x^1x^2} \\ \sigma^{x^2x^2} \end{bmatrix} = 23076230.8 \times \begin{bmatrix} 1 & 0 & 0 & 0.3 \\ 0 & 0.35 & 0.35 & 0 \\ 0 & 0.35 & 0.35 & 0 \\ 0.3 & 0 & 0 & 1 \end{bmatrix} \cdot \begin{bmatrix} 0 \\ 2.083 \times 10^{-6} \\ 2.083 \times 10^{-6} \\ 0 \end{bmatrix} = \begin{bmatrix} 0 \\ 336.54 \\ 336.54 \\ 0 \end{bmatrix}$$



وقوى المقطع كالتالي:

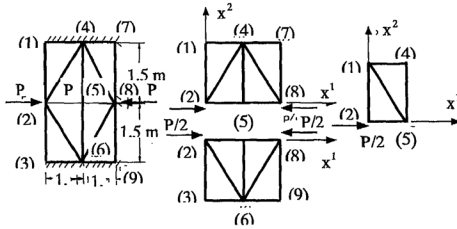
$$\begin{bmatrix} n^{x^1x^1} \\ n^{x^2x^1} \\ n^{x^1x^2} \\ n^{x^2x^2} \end{bmatrix} = \begin{bmatrix} 0 \\ 3.3654 \\ 3.3654 \\ 0 \end{bmatrix}$$

مثال 6-7:

لدينا الشريحة ذات الخواص الهندسية المبينة على

الشكل م-7-1، تتعرض لحمولة مقدارها  $p$

في كل من عقدتيها (2)، (8) والمطلوب:



$$E = 2.1 \times 10^7 \text{ kN/m}^2; \nu = 0.3; t = 0.10 \text{ m} \quad p = 50 \text{ kN}$$

شكل م-7-2: استخدام التناظر      شكل م-6-1: المنشأ، والخواص الهندسية

1- حساب الانتقالات في العقدتين (2)، (5) من الشريحة.

2- حساب ردود الأفعال في العقدتين (1)، (4).

3- حساب التشوهات وقوى المقطع في العنصر  $e_1$ .

الحل:

كالعادة نبدأ بحساب مصفوفات القساوة للعناصر.

مصفوفة القساوة للعنصر  $e_1$ :

$$c = \frac{E.t}{1-\nu^2} \cdot \frac{1}{4A} = \frac{2.1 \times 10^7 \times 0.1}{1-0.09} \cdot \frac{1}{4 \cdot \frac{1.5 \times 1}{2}} = 769230.77$$

$$k_{e_1}^{i(p)k(q)} = 769230.77 \times \begin{bmatrix} 2.6 & -0.975 & -0.35 & 0.45 & -2.25 & 0.525 \\ -0.975 & 1.7875 & 0.525 & -1 & 0.45 & -0.7875 \\ -0.35 & 0.525 & 0.35 & 0 & 0 & -0.525 \\ 0.45 & -1 & 0 & 1 & -0.45 & 0 \\ -2.25 & 0.45 & 0 & -0.45 & 2.25 & 0 \\ 0.525 & -0.7875 & -0.525 & 0 & 0 & 0.7875 \end{bmatrix}$$

مصفوفة القساوة للعنصر  $e_2$ :

$$k_{e_2}^{i(p)k(q)} = 769230.77 \times \begin{bmatrix} 2.25 & 0 & -2.25 & 0.45 & 0 & -0.45 \\ 0 & 0.7875 & 0.525 & -0.7875 & -0.525 & 0 \\ -2.25 & 0.525 & 2.6 & -0.975 & -0.35 & 0.45 \\ 0.45 & -0.7875 & -0.975 & 1.7875 & 0.525 & -1 \\ 0 & -0.525 & -0.35 & 0.525 & 0.35 & 0 \\ -0.45 & 0 & 0.45 & -1 & 0 & 1 \end{bmatrix}$$

جملة المعادلات الخطية الكلية لانتقالات العقد:

$$769230.77 \times \begin{bmatrix} 2.6 & -0.975 & -0.35 & 0.45 & -2.25 & 0.52 & 0 & 0 \\ -0.975 & 1.7875 & 0.525 & -1 & 0.45 & -0.7875 & 0 & 0 \\ -0.35 & 0.525 & 2.6 & 0 & 0 & -0.975 & -2.25 & 0.45 \\ 0.45 & -1 & 0 & 1.7875 & -0.975 & 0 & 0.525 & -0.7875 \\ -2.25 & 0.45 & 0 & -0.975 & 2.6 & 0 & -0.35 & 0.525 \\ 0.525 & -0.7875 & -0.975 & 0 & 0 & 1.7875 & 0.45 & -1 \\ 0 & 0 & -2.25 & 0.525 & -0.35 & 0.45 & 2.6 & -0.975 \\ 0 & 0 & 0.45 & -0.7875 & 0.525 & -1 & -0.975 & 1.7875 \end{bmatrix} \begin{bmatrix} u_{x(0)} \\ u_{x(1)} \\ u_{x(2)} \\ u_{x(3)} \\ u_{x(4)} \\ u_{x(5)} \\ u_{x(6)} \\ u_{x(7)} \end{bmatrix} = \begin{bmatrix} \bar{F}_{(0)}^x \\ \bar{F}_{(1)}^x \\ p/2 \\ 0 \\ \bar{F}_{(4)}^x \\ \bar{F}_{(5)}^x \\ \bar{F}_{(6)}^x \\ \bar{F}_{(7)}^x \end{bmatrix}$$

جملة المعادلات الخطية لانتقالات العقد بعد تعريض الشروط الطرفية:

$$769230.77 \times \begin{bmatrix} 2.6 & 0 \\ 0 & 1.7875 \end{bmatrix} \cdot \begin{bmatrix} u_{x^1(2)} \\ u_{x^2(2)} \end{bmatrix} = \begin{bmatrix} 25 \\ 0 \end{bmatrix}$$

وتكون الانتقالات المجهولة للعقد:

$$u_{x^1(2)} = 1.25 \times 10^{-5} \text{ m}$$

$$u_{x^2(2)} = 0$$

أما ردود الأفعال فتحسب بالشكل:

$$769230.77 \times \begin{bmatrix} -0.35 \\ 0.525 \\ 0 \\ -0.975 \\ -2.25 \\ 0.45 \end{bmatrix} \times 1.25 \times 10^{-5} = \begin{bmatrix} -3.365 \\ 5.048 \\ 0 \\ -9.375 \\ -21.635 \\ 4.327 \end{bmatrix} = \begin{bmatrix} \bar{F}_{(1)}^{x^1} \\ \bar{F}_{(1)}^{x^2} \\ \bar{F}_{(4)}^{x^1} \\ \bar{F}_{(4)}^{x^2} \\ \bar{F}_{(5)}^{x^1} \\ \bar{F}_{(5)}^{x^2} \end{bmatrix}$$

حساب قوى المقطع:

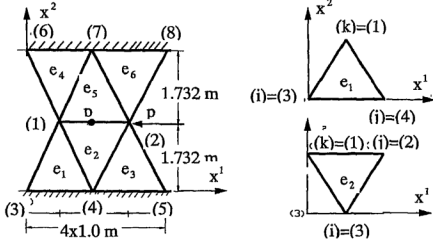
$$u_{ij} = \begin{bmatrix} 0 & 1.25 \times 10^{-5} & 0 \\ 0 & 0 & 0 \end{bmatrix} \cdot \begin{bmatrix} -1.5 & 1 \\ 0 & -1 \\ 1.5 & 0 \end{bmatrix} \cdot \frac{1}{1.5 \times 1} = \begin{bmatrix} 0 & -8.33 \times 10^{-6} \\ 0 & 0 \end{bmatrix}$$

$$\begin{bmatrix} \sigma^{x^1 x^1} \\ \sigma^{x^2 x^1} \\ \sigma^{x^1 x^2} \\ \sigma^{x^2 x^2} \end{bmatrix} = 230769230.8 \times \begin{bmatrix} 1 & 0 & 0 & 0.3 \\ 0 & 0.35 & 0.35 & 0 \\ 0 & 0.35 & 0.35 & 0 \\ 0.3 & 0 & 0 & 1 \end{bmatrix} \cdot \begin{bmatrix} 0 \\ -0.4166 \times 10^{-6} \\ -0.4166 \times 10^{-6} \\ 0 \end{bmatrix} = \begin{bmatrix} 0 \\ -67.31 \\ -67.31 \\ 0 \end{bmatrix}$$

$$n^{ij} = t \cdot \sigma^{ij} = \begin{bmatrix} n^{x^1 x^1} \\ n^{x^2 x^1} \\ n^{x^1 x^2} \\ n^{x^2 x^2} \end{bmatrix} = \begin{bmatrix} 0 \\ -6.731 \\ -6.731 \\ 0 \end{bmatrix} \text{ KN/m}$$

### مثال 7-7:

شريحة مستوية أبعادها وخواصها الهندسية وتقسيمها إلى عناصر منتهية مبنية على الشكل م7-7. تخضع الشريحة لقوة مركزة  $F$  مقدارها 100 kN. فإذا نسبت الشريحة إلى جملة محاور إحداثية المطلوب:



$$E = 2.1 \times 10^6 \text{ kN/m}^2; \nu = 0.3333; t = 0.010 \text{ m} \quad p = 100 \text{ kN}$$

شكل م7-7: المنشأ، والخواص الهندسية

1- حساب انتقالات العقدتين (1), (2).

2- حساب الانتقال في النقطة  $p(2, \sqrt{3})$

المبنية على الشكل.

3- تحديد حالة التشوهات والحالة الإجهادية

في العنصر  $e_2$ .

الحل:

- حساب مصفوفات القساوة :

العنصر  $e_1$ :

$$c = \frac{2.0 \times 10^6 \times 0.01}{1 - 0.1111} \cdot \frac{1}{4 \cdot \sqrt{3}} = 3247.6$$

$$x^1_{(i)(j)} = -2$$

$$x^2_{(i)(j)} = 0$$

$$x^1_{(j)(k)} = +1$$

$$x^2_{(j)(k)} = -\sqrt{3}$$

$$x^1_{(k)(i)} = +1$$

$$x^2_{(k)(i)} = \sqrt{3}$$

$$k_{e_1} = 3247.6 \times \begin{bmatrix} 3.333 & 1.1547 & -2.666 & 0 & -0.66 & -1.1547 \\ 1.1547 & 2 & 0 & 0 & -1.1547 & -2 \\ -2.666 & 0 & 3.333 & -1.1547 & -0.666 & 0.666 \\ 0 & 0 & -1.1547 & 2 & 1.1547 & -2 \\ -0.666 & -1.1547 & -0.666 & 1.1547 & 1.333 & 0 \\ -1.1547 & -2 & 0.666 & -2 & 0 & 4 \end{bmatrix}$$

العنصر  $e_2$ :

$$(i)=(4)$$

$$(j)=(2)$$

$$(k)=(1)$$

$$x^1_{(i)(j)} = -1$$

$$x^2_{(i)(j)} = -\sqrt{3}$$

$$x^1_{(j)(k)} = 2$$

$$x^2_{(j)(k)} = 0$$

$$x^1_{(k)(i)} = -1$$

$$x^2_{(k)(i)} = \sqrt{3}$$

$$k_{e_2} = 3247.6 \times \begin{bmatrix} 1.3333 & 0 & -0.6666 & -1.1547 & -0.666 & 1.1547 \\ 0 & 4 & -1.1547 & -2 & 1.1547 & -2 \\ -0.666 & -1.1547 & 3.333 & 1.1547 & -2.66 & 0 \\ -1.1547 & -2 & 1.1547 & 2 & 0 & 0 \\ -0.666 & 1.1547 & -2.666 & 0 & 3.333 & -1.1547 \\ 1.1547 & -2 & 0 & 0 & -1.1547 & 2 \end{bmatrix}$$

مصفوفة القساوة للعنصرين  $e_3$  و  $e_5$  كتلك التي للعنصر  $e_1$  . ومصفوفة القساوة للعنصرين  $e_4$  و  $e_6$  كتلك التي للعنصر  $e_2$  :

$$\begin{aligned} k^{11}_{e_3} &= k^{33}_{e_1} & k^{22}_{e_3} &= k^{11}_{e_1} \\ k^{11}_{e_4} &= k^{44}_{e_2} & k^{22}_{e_6} &= k^{44}_{e_2} \\ k^{12}_{e_5} &= k^{34}_{e_1} & k^{22}_{e_5} &= k^{44}_{e_1} \end{aligned}$$

وتكون جملة المعادلات بعد تعويض الشروط الطرفية :

$$C \cdot \begin{bmatrix} k^{11}_{e_1} + k^{11}_{e_2} + k^{11}_{e_5} + k^{11}_{e_4} & k^{12}_{e_2} + k^{12}_{e_5} \\ k^{21}_{e_2} + k^{21}_{e_5} & k^{22}_{e_2} + k^{22}_{e_3} + k^{22}_{e_6} + k^{22}_{e_5} \end{bmatrix} =$$

$$C \cdot \begin{bmatrix} 9.333 & 0 & -5.333 & 0 \\ 0 & 12 & 0 & 0 \\ -5.333 & 0 & 9.333 & 0 \\ 0 & 0 & 0 & 16 \end{bmatrix} \cdot \begin{bmatrix} u_{x^{(1)}} \\ u_{x^{(2)}} \\ u_{x^{(1)}} \\ u_{x^{(2)}} \end{bmatrix} = \begin{bmatrix} -100 \\ 0 \\ 0 \\ 0 \end{bmatrix}$$

$$u_{x^{(1)}} = 0$$

$$u_{x^{(2)}} = 0$$

$$u_{x^{(1)}} = -\frac{100}{11 \cdot c} = -\frac{100}{11 \times 3247.6} = -2.79927 \times 10^{-3} \text{ m}$$

$$u_{x^{(2)}} = -\frac{175}{11 \cdot c} = -\frac{175}{11 \times 3247.6} = -4.89872 \times 10^{-3} \text{ m}$$

حساب انتقالات النقطة p :  $(i)=(4)$  ,  $(j)=(2)$  ,  $(k)=(1)$

نحسب انتقالات النقطة p من علاقة الانتقالات ضمن العنصر المنتهي بتعويض إحداثيات النقطة p في العلاقة المذكورة.

$$2A_{(i)} = \begin{bmatrix} 1 & 2 & \sqrt{3} \\ 1 & 3 & \sqrt{3} \\ 1 & 1 & \sqrt{3} \end{bmatrix} = 0$$

$$2A_{(i)} = \begin{vmatrix} 1 & 2 & \sqrt{3} \\ 1 & 1 & \sqrt{3} \\ 1 & 2 & 0 \end{vmatrix} = \sqrt{3}$$

$$2A_{(k)} = \begin{vmatrix} 1 & 2 & \sqrt{3} \\ 1 & 2 & 0 \\ 1 & 3 & \sqrt{3} \end{vmatrix} = \sqrt{3} \quad ; \quad 2A = 2\sqrt{3}$$

$$u_i = N^{(p)} \cdot u_{i(p)} = \begin{bmatrix} 0 & \frac{1}{2} & \frac{1}{2} \end{bmatrix} \cdot \begin{bmatrix} 0 \\ -2.79927 \times 10^{-3} \\ -4.89872 \times 10^{-3} \end{bmatrix} = -3.849 \times 10^{-3}$$

(i)=(4), (j)=(2), (k)=(1) : حساب التشوهات والإجهادات في العنصر  $e_2$

$$u_{i,j} = u_{i(p)} \cdot N^{(p)}_{,j}$$

$$= \begin{bmatrix} u_{x^1(i)} & u_{x^1(j)} & u_{x^1(k)} \\ u_{x^2(i)} & u_{x^2(j)} & u_{x^2(k)} \end{bmatrix} \cdot \frac{1}{2A} \cdot \begin{bmatrix} x^2_{(j)(k)} & x^1_{(k)(j)} \\ x^2_{(k)(i)} & x^1_{(i)(k)} \\ x^2_{(i)(j)} & x^1_{(j)(i)} \end{bmatrix}$$

$$= \begin{bmatrix} 0 & -4.89872 \times 10^{-3} & -2.79927 \times 10^{-3} \\ 0 & 0 & 0 \end{bmatrix} \cdot \begin{bmatrix} 0 & -2 \\ \sqrt{3} & 1 \\ -\sqrt{3} & 1 \end{bmatrix} \cdot \frac{1}{2\sqrt{3}}$$

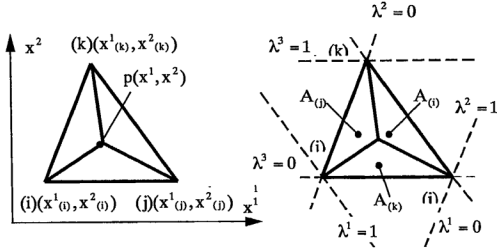
$$\begin{bmatrix} -1.049725 \times 10^{-3} & -2.22222 \times 10^{-3} \\ 0 & 0 \end{bmatrix}$$

$$\epsilon_{ij} = \begin{bmatrix} \epsilon_{x^1 x^1} & \epsilon_{x^1 x^2} \\ \epsilon_{x^2 x^1} & \epsilon_{x^2 x^2} \end{bmatrix} = \begin{bmatrix} -1.049725 \times 10^{-3} & -1.11111 \times 10^{-3} \\ -1.11111 \times 10^{-3} & 0 \end{bmatrix}$$

$$\begin{bmatrix} \sigma^{x^1 x^1} \\ \sigma^{x^2 x^1} \\ \sigma^{x^1 x^2} \\ \sigma^{x^2 x^2} \end{bmatrix} = \frac{2 \times 10^6}{1 - 0.11111} \begin{bmatrix} 1 & 0 & 0 & 0.333 \\ 0 & 0.333 & 0.333 & 0 \\ 0 & 0.333 & 0.333 & 0 \\ 0.333 & 0 & 0 & 1 \end{bmatrix} \cdot \begin{bmatrix} -1.049725 \times 10^{-3} \\ -1.11111 \times 10^{-3} \\ -1.11111 \times 10^{-3} \\ 0 \end{bmatrix} = \begin{bmatrix} -23.6188 \\ -16.6666 \\ -16.6666 \\ -7.87294 \end{bmatrix}$$

حيث:  $A = \frac{2\sqrt{3}}{2} = \sqrt{3}$  مساحة العنصر المنتهي .

### 7-3-عنصر شريحة مثلثي في الإحداثيات الطبيعية:



شكل (7-11): الإحداثيات الديكارتية والإحداثيات الطبيعية.

عند استنتاج تواضع الشكل في الإحداثيات الديكارتية وجدنا أن نقطة ما  $p(x^1, x^2)$  من المثلث تحدد ثلاث مساحات أسميناها  $A_{(k)}, A_{(j)}, A_{(i)}$  على التوالي ويمكن تعيين قيمها وفق العلاقة (7-54) بعد معرفة إحداثيات رؤوس المثلث وقيم إحداثيات النقطة  $p$ . والمساحة  $A_{(i)}$  هي مساحة المثلث الذي تشكله النقطة  $p$  مع العقدتين  $(j), (k)$  وهكذا ..

وبالتالي يمكن توقيع أي نقطة من المثلث بمعرفة هذه المساحات. فلو عرفنا الإحداثيات الطبيعية المثلثية كنسب هذه المساحات إلى المساحة الأصلية كما هو وارد في العلاقة (7-55) لوجدنا أن الثلاثية  $(\lambda^1, \lambda^2, \lambda^3)$  تحدد النقطة  $p$  تحديدا تاما. لنحدد الآن تحول الخط الإحداثي  $\lambda^1$ .  $\lambda^1$  هو نسبة المساحة المثلثية التي تحدها النقطة  $p$  مع العقدتين  $(j), (k)$ . وبالتالي إذا وقعت النقطة  $p$  على المستقيم الواصل بين  $(k), (j)$  لأخذت  $\lambda^1$  القيمة صفر. وفي حال انطباق  $p$  على  $(i)$  لأخذت القيمة واحد. وهكذا الأمر بالنسبة للإحداثيين الآخرين  $\lambda^2, \lambda^3$ . أي أن قيم الإحداثيات الطبيعية المثلثية تتحول بين الصفر والواحد. وبالتالي يمكن أن نكتب :

$$0 \leq \lambda^a \leq 1$$

(7-104)

والشكل (7-11) يبين تحول عطوط الإحداثيات هذه.



وباعتبار أنه في المستوي يكفي خطي إحداثيات لتعيين نقطة ما تعيينا تاما فإن اثنتين من الإحداثيات السابقة مستقلة خطيا والثالث متعلق بهما. وهذا واضح فالإحداثيات الثلاثة تحقق العلاقة التالية:

$$\lambda^1 + \lambda^2 + \lambda^3 = 1 \quad (7-105)$$

وذلك لأن:

$$A_{(i)} + A_{(j)} + A_{(k)} = A \quad (7-106)$$

وفي استخدام الإحداثيات المثلثية ليس هناك من أفضلية في استخدام أي من الإحداثيات على الآخر. وإنما يتم اختيار الإحداثيين المستقلين وفقا لوضوح العناصر الهندسية التفاضلية. ولتعيين الخواص الهندسية التفاضلية للعنصر، لابد في البدء من تحديد العلاقة التي تربط بين الإحداثيات الديكارتية والإحداثيات الطبيعية. تستخدم صيغة التوابع التقريبية لتحديد هذه العلاقة. بافتراض أن النقطة  $p(x^1, x^2)$  تملك أيضا الإحداثيات الطبيعية  $p(\lambda^1, \lambda^2, \lambda^3)$  فبمقدورنا تقريب الإحداثيات الديكارتية بالصيغتين التاليتين:

$$x^1 = \begin{bmatrix} \lambda^1 & \lambda^2 & \lambda^3 \end{bmatrix} \cdot \begin{bmatrix} \alpha_{11} \\ \alpha_{12} \\ \alpha_{13} \end{bmatrix} \quad ; \quad x^i = \lambda^\eta \cdot \alpha^i_\eta \quad (7-107)$$

$$x^2 = \begin{bmatrix} \lambda^1 & \lambda^2 & \lambda^3 \end{bmatrix} \cdot \begin{bmatrix} \alpha_{21} \\ \alpha_{22} \\ \alpha_{23} \end{bmatrix}$$

حيث  $\alpha^i_\eta$  ثوابت اختيارية يجب تعيينها. هاتين العلاقتين يجب أن تعطيا إحداثيات العقد الديكارتية عند تعويض الأخيرة فيهما وذلك لأنهما تصفان الإحداثيات الديكارتية لأي نقطة من المثلث . بإجراء التعويض نحصل على:

$$\begin{bmatrix} x^1_{(i)} \\ x^1_{(j)} \\ x^1_{(k)} \end{bmatrix} = \begin{bmatrix} 1 & 0 & 0 \\ 0 & 1 & 0 \\ 0 & 0 & 1 \end{bmatrix} \cdot \begin{bmatrix} \alpha_{11} \\ \alpha_{12} \\ \alpha_{13} \end{bmatrix}$$

$$\begin{bmatrix} x^2_{(i)} \\ x^2_{(j)} \\ x^2_{(k)} \end{bmatrix} = \begin{bmatrix} 1 & 0 & 0 \\ 0 & 1 & 0 \\ 0 & 0 & 1 \end{bmatrix} \cdot \begin{bmatrix} \alpha_{21} \\ \alpha_{22} \\ \alpha_{23} \end{bmatrix} \quad x^i_{(p)} = \delta^{\eta}_{(p)} \cdot \alpha^i_{\eta} \quad (7-108)$$

بعكس العلاقتين السابقتين نحصل على الثوابت الاختيارية بدلالة إحداثيات رؤوس المثلث:

$$\begin{bmatrix} \alpha_{11} \\ \alpha_{12} \\ \alpha_{13} \end{bmatrix} = \begin{bmatrix} 1 & 0 & 0 \\ 0 & 1 & 0 \\ 0 & 0 & 1 \end{bmatrix} \cdot \begin{bmatrix} x^1_{(i)} \\ x^1_{(j)} \\ x^1_{(k)} \end{bmatrix} \quad \alpha^i_{\eta} = \delta^{(p)}_{\eta} \cdot x^i_{(p)} \quad (7-109)$$

$$\begin{bmatrix} \alpha_{21} \\ \alpha_{22} \\ \alpha_{23} \end{bmatrix} = \begin{bmatrix} 1 & 0 & 0 \\ 0 & 1 & 0 \\ 0 & 0 & 1 \end{bmatrix} \cdot \begin{bmatrix} x^2_{(i)} \\ x^2_{(j)} \\ x^2_{(k)} \end{bmatrix}$$

وبالعودة إلى العلاقة (7-107) نحصل على علاقة تربط بين الإحداثيات الديكارتية والإحداثيات الطبيعية مقترنة بالإحداثيات الديكارتية لرؤوس المثلث:

$$x^1 = \begin{bmatrix} \lambda^1 & \lambda^2 & \lambda^3 \end{bmatrix} \cdot \begin{bmatrix} x^1_{(i)} \\ x^1_{(j)} \\ x^1_{(k)} \end{bmatrix} \quad x^i = \lambda^{\eta} \cdot \delta^{(p)}_{\eta} \cdot x^i_{(p)} \quad (7-110)$$

$$x^2 = \begin{bmatrix} \lambda^1 & \lambda^2 & \lambda^3 \end{bmatrix} \cdot \begin{bmatrix} x^2_{(i)} \\ x^2_{(j)} \\ x^2_{(k)} \end{bmatrix}$$

وباستخدام صيغة توابع الشكل نحصل على:

$$x^i = N^{(p)} \cdot x^i_{(p)} \quad ; \quad N^{(p)} \equiv \lambda^{\eta} \cdot \delta^{(p)}_{\eta} \quad (7-111)$$

$$N^{(i)} = \lambda^1, N^{(j)} = \lambda^2, N^{(k)} = \lambda^3$$

يعبر عن شعاع المكان لنقطة ما من المثلث  $p(x^1, x^2)$  في الإحداثيات الديكارتية بالشكل:

$$\mathbf{r} = x^1 \mathbf{e}_1 + x^2 \mathbf{e}_2 + x^3 \mathbf{e}_3 = x^i \mathbf{e}_i \quad (7-112)$$

ولربط هذه العلاقة بالإحداثيات الطبيعية نعوض العلاقة (7-80) فيها:

$$\mathbf{r} = N^{(p)} \cdot x^i_{(p)} \mathbf{e}_i = N^{(p)} \mathbf{r}_{(p)} \quad (7-113)$$

هي أشعة المكان لرؤوس المثلث والمعينة تماماً بإحداثياتها الديكارتية.

تعين أشعة القاعدة الأساسية بمشتقات شعاع المكان وتختلف أشعة القاعدة في شدتها واتجاهها من نقطة إلى أخرى في المثلث. لنحسب الآن أشعة القاعدة الأساسية في رؤوس المثلث. في العقدة (i) لنعبر أن الإحداثيين المستقلين هما  $\lambda^2, \lambda^3$ . فيكون شعاع القاعدة الأساسي الأول:

$$\mathbf{g}_2 = \mathbf{r}_{,2} = N^{(p)}_{,2} \cdot \mathbf{r}_{(p)} = N^{(i)}_{,2} \cdot \mathbf{r}_{(i)} + N^{(j)}_{,2} \cdot \mathbf{r}_{(j)} + N^{(k)}_{,2} \cdot \mathbf{r}_{(k)} = -\mathbf{r}_{(i)} + \mathbf{r}_{(j)} \quad (7.114)$$

وذلك لأن :

$$N^{(i)} = \lambda^1 = 1 - (\lambda^2 + \lambda^3), N^{(j)} = \lambda^2, N^{(k)} = \lambda^3$$

$$\frac{\partial N^{(i)}}{\partial \lambda^2} = -1, \frac{\partial N^{(j)}}{\partial \lambda^2} = 1, \frac{\partial N^{(k)}}{\partial \lambda^2} = 0 \quad (7.115)$$

وشعاع القاعدة الثاني:

$$\mathbf{g}_3 = \mathbf{r}_{,3} = N^{(p)}_{,3} \cdot \mathbf{r}_{(p)} = N^{(i)}_{,3} \cdot \mathbf{r}_{(i)} + N^{(j)}_{,3} \cdot \mathbf{r}_{(j)} + N^{(k)}_{,3} \cdot \mathbf{r}_{(k)} = -\mathbf{r}_{(i)} + \mathbf{r}_{(k)} \quad (7.116)$$

وبالتالي فمركبات أشعة القاعدة الأساسية السابقة والواردة في العلاقة التالية:

$$\mathbf{g}_\alpha = g^i_\alpha \cdot \mathbf{e}_i \quad (7.117)$$

هي:

$$g^i_\alpha = \begin{bmatrix} x^1_{(j)} - x^1_{(i)} & x^1_{(k)} - x^1_{(i)} \\ x^2_{(j)} - x^2_{(i)} & x^2_{(k)} - x^2_{(i)} \end{bmatrix} \quad (7.118)$$

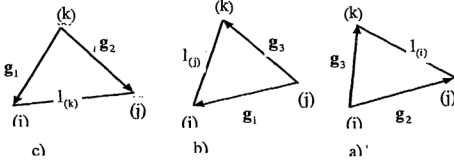
وفي العقدة (j) نعتبر أن الإحداثيات المستقلة هي  $\lambda^1, \lambda^3$ . ونحصل على أشعة القاعدة الأساسية فيها  $\mathbf{g}_1, \mathbf{g}_3$  بتبديل القرينة (i) بالقرينة (j)، والقرينة (j) بالقرينة (i)، والقرينة (k) بالقرينة (i) في العلاقة (7-118):

$$g^i_\alpha = \begin{bmatrix} x^1_{(k)} - x^1_{(j)} & x^1_{(i)} - x^1_{(j)} \\ x^2_{(k)} - x^2_{(j)} & x^2_{(i)} - x^2_{(j)} \end{bmatrix} \quad (7.119)$$

وفي العقدة (k) نعتبر أن الإحداثيات المستقلة هي  $\lambda^2, \lambda^1$ . ونحصل على أشعة القاعدة الأساسية فيها  $\mathbf{g}_2, \mathbf{g}_1$  بتبديل القرينة (i) بالقرينة (k)، والقرينة (j) بالقرينة (i)، والقرينة (k) بالقرينة (j) في العلاقة (7-118):

$$g^i_\alpha = \begin{bmatrix} x^1_{(i)} - x^1_{(k)} & x^1_{(j)} - x^1_{(k)} \\ x^2_{(i)} - x^2_{(k)} & x^2_{(j)} - x^2_{(k)} \end{bmatrix} \quad (7.120)$$

وفي الشكل (7-12) c),b),a) مثلت الأشعة السابقة من أجل الإيضاح.



شكل (7-12) : أشعة القاعدة الأساسية

(a) في العقدة (i) , (b) في العقدة (j) , (c) في العقدة (k) .

تحسب المعاملات المترية الأساسية في نقطة ما من المثلث كجداوات سلمية لأشعة القاعدة الأساسية ببعضها البعض وهي في العقدة (i) مثلاً:

$$g_{\alpha\beta} = \begin{pmatrix} g_{22} & g_{23} \\ g_{32} & g_{33} \end{pmatrix} = \frac{1}{2} \begin{pmatrix} 2(l_{(k)})^2 & (l_{(j)})^2 + (l_{(k)})^2 - (l_{(i)})^2 \\ (l_{(j)})^2 + (l_{(k)})^2 - (l_{(i)})^2 & 2(l_{(j)})^2 \end{pmatrix} \quad (7-121)$$

حيث كتب الجداء  $g_2 \cdot g_3$  بالشكل:

$$\begin{aligned} g_{23} = g_{32} &= (\mathbf{r}_{(k)} - \mathbf{r}_{(i)})(\mathbf{r}_{(j)} - \mathbf{r}_{(i)}) \\ &= \frac{1}{2}(\mathbf{r}_{(j)} - \mathbf{r}_{(i)})(\mathbf{r}_{(j)} - \mathbf{r}_{(i)}) + \frac{1}{2}(\mathbf{r}_{(k)} - \mathbf{r}_{(i)})(\mathbf{r}_{(k)} - \mathbf{r}_{(i)}) - \frac{1}{2}(\mathbf{r}_{(k)} - \mathbf{r}_{(j)})(\mathbf{r}_{(k)} - \mathbf{r}_{(j)}) \\ &= \frac{1}{2}[(l_{(j)})^2 + (l_{(k)})^2 - (l_{(i)})^2] \end{aligned} \quad (7-122)$$

g هو مفكوك معين مصفوفة المعاملات المترية (7-121).

$$\begin{aligned} g &= \frac{1}{4}[-(l_{(i)})^4 - (l_{(j)})^4 - (l_{(k)})^4 + 2(l_{(i)})^2(l_{(j)})^2 \\ &\quad + 2(l_{(i)})^2(l_{(k)})^2 + 2(l_{(j)})^2(l_{(k)})^2] = 4A^2 \end{aligned} \quad (7-123)$$

والعنصر السطحي إذا:

$$\sqrt{g} = 2A \quad (7-124)$$

يلاحظ أن العنصر السطحي هو مساحة متوازي الأضلاع المرسوم على شعاعي القاعدة وله القيمة نفسها في كل عقد المثلث وهي ضعف مساحة المثلث.

نحصل على المعاملات المترية الضدية بعكس مصفوفة المعاملات المترية الأساسية فالعلاقة بينهما ممثلة بالمعادلة التالية:

$$g_{\alpha\beta} \cdot g^{\beta\gamma} = \delta^\gamma_\alpha \quad (7-125)$$

وبالعودة إلى العلاقة (7-121) نجد:

$$g^{\beta\gamma} = \frac{1}{8A^2} \begin{pmatrix} 2(l_{(j)})^2 & (l_{(j)})^2 - (l_{(j)})^2 - (l_{(k)})^2 \\ (l_{(j)})^2 - (l_{(j)})^2 - (l_{(k)})^2 & 2(l_{(k)})^2 \end{pmatrix} \quad (7-126)$$

يمكن حساب أشعة القاعدة الضدية من المعاملات المترية الضدية وأشعة القاعدة الأساسية وفق العلاقة:

$$g^\alpha = g^{\alpha\beta} \cdot g_\beta \quad (7-127)$$

ويمكن أيضا إجراء هذا الحساب من التعريف مباشرة:

$$g^\alpha \cdot g_\beta = \delta^\alpha_\beta \quad ; \quad g_i^\alpha \cdot g_j^\beta \cdot e^i \cdot e_j = g_i^\alpha \cdot g_j^\beta \cdot \delta_j^i = g_i^\alpha g_\beta^i = \delta^\alpha_\beta \quad (7-128)$$

أي بأخذ المعكوس المباشر لمصفوفة مركبات أشعة القاعدة الأساسية وذلك عندما تكون الأخيرة مربعة. فمثلا في العقدة (i) يمكن كتابة العلاقة (7-128) بالشكل التفصيلي:

$$\begin{bmatrix} x^1_{(j)} - x^1_{(i)} & x^2_{(j)} - x^2_{(i)} \\ x^1_{(k)} - x^1_{(i)} & x^2_{(k)} - x^2_{(i)} \end{bmatrix} \cdot \begin{bmatrix} g_{x^1}^2 & g_{x^1}^3 \\ g_{x^2}^2 & g_{x^2}^3 \end{bmatrix} = \begin{bmatrix} 1 & 0 \\ 0 & 1 \end{bmatrix} \quad (7-129)$$

في هذه العلاقة أخذ مبادل المصفوفة (7-118) وذلك باعتبار أن الجداء المصفوفي غير تبديلي وأن الجداء المعروف في العلاقة (7-129) تبديلي. من العلاقة (7-128) نتيج مركبات أشعة القاعدة الضدية التالية:

$$g_i^\alpha = \frac{1}{2A} \begin{bmatrix} x^2_{(k)} - x^2_{(i)} & x^2_{(j)} - x^2_{(i)} \\ x^1_{(j)} - x^1_{(k)} & x^1_{(j)} - x^1_{(i)} \end{bmatrix}, \alpha = 2, 3 \quad (7-130)$$

ونحصل على مركبات أشعة القاعدة الضدية في العقدتين الآخرين (j),(k) بالتبديل الدوري للقرائن ، ففي العقدة (j) نحصل على :

$$g_i^{\alpha} = \frac{1}{2A} \begin{bmatrix} x^2_{(j)} - x^2_{(i)} & x^2_{(j)} - x^2_{(k)} \\ x^1_{(j)} - x^1_{(i)} & x^1_{(k)} - x^1_{(j)} \end{bmatrix}, \alpha = 3,1 \quad (7-131)$$

وفي العقدة (k) على :

$$g_i^{\alpha} = \frac{1}{2A} \begin{bmatrix} x^2_{(j)} - x^2_{(k)} & x^2_{(k)} - x^2_{(i)} \\ x^1_{(k)} - x^1_{(j)} & x^1_{(i)} - x^1_{(k)} \end{bmatrix}, \alpha = 1,2 \quad (7-132)$$

يلاحظ أن عناصر مصفوفات العلاقات (7-130),(7-131),(7-132) مكررة.

وبالتالي يمكن تجميع هذه المصفوفات في مصفوفة واحدة مع اعتبار أن  $\alpha$  تأخذ القيم 3,2,1 .

$$g_i^{\alpha} = \frac{1}{2A} \begin{bmatrix} x^2_{(j)} - x^2_{(k)} & x^2_{(k)} - x^2_{(i)} & x^2_{(i)} - x^2_{(j)} \\ x^1_{(k)} - x^1_{(j)} & x^1_{(i)} - x^1_{(k)} & x^1_{(j)} - x^1_{(i)} \end{bmatrix}, \alpha = 1,2,3 \quad (7-133)$$

بعد حساب الخواص الهندسية التفاضلية للعنصر تنتقل الآن إلى تقريب تابع الانتقالات واشتقاق مصفوفة القساوة. يمكن اختيار تابع الانتقالات  $u_i$  في الإحداثيات الديكارتية بنفس الشكل (7-107) الذي استخدم لتقريب الإحداثيات الديكارتية لنقطة من المثلث، وتحديد الثوابت الاختيارية باتباع خطوات مشابهة للخطوات من (7-107) إلى (7-111) نحصل على التابع التقريبي:

$$u_i = N^{(p)} u_{i(p)} \quad (7-134)$$

حيث  $u_{i(p)}$  هي انتقالات العقد وهي بالتفصيل:

$$u_{i(p)} = \begin{bmatrix} u_{x^1(i)} & u_{x^1(j)} & u_{x^1(k)} \\ u_{x^2(i)} & u_{x^2(j)} & u_{x^2(k)} \end{bmatrix} \quad (7-135)$$

و  $N^{(p)}$  توابع الشكل وهي معطاة في العلاقة (7-111).

يحقق تابع الانتقالات هذا شروط التقارب الواجب تحقيقها في طريقة العناصر المنتهية - نموذج الانتقالات، ومنها التوافق أو التطابق بين الانتقالات عند الانتقال من عنصر منتهي إلى عنصر منتهي مجاور. إذ أن تابع الانتقالات على طول ضلع المثلث يتعلق فقط بالإحداثي على هذا الضلع وبانتقال العقدتين الطرفيتين لهذا الضلع.

نحتاج عند اشتقاق موتره التشوهات من الانتقالات الواردة في العلاقة (7-134) والتابعة للإحداثيات الطبيعية إلى إجراء الاشتقاق وفق الإحداثيات الديكارتية، لهذا الغرض نستخدم قاعدة اشتقاق تابع التابع:

$$\frac{\partial u_i}{\partial x^k} = \frac{\partial u_i}{\partial \lambda^\alpha} \cdot \frac{\partial \lambda^\alpha}{\partial x^k} \quad (7-136)$$

$$u_{i,k} = u_{i,\alpha} \cdot \lambda^{\alpha}_{,k} = u_{i,\alpha} \cdot g_k^\alpha$$

وهذا المشتق يمكن إجراؤه في إحداثيات أي من العقد (i),(j),(k). فمثلا في إحداثيات العقدة (i) حيث التحولات المستقلة المعتبرة  $\lambda^3, \lambda^2$  يساوي هذا المشتق:

$$u_{i,k} = u_{i,2} \cdot g_k^2 + u_{i,3} \cdot g_k^3 \quad (7-137)$$

ويمكن صياغة كل العلاقات منسوبة إلى هذه الإحداثيات. وهناك صياغة أكثر أناقة وهي صياغة العلاقات دون تفضيل إحداثيات أي عقدة على الأخرى. ويتم ذلك بالتظاهر بمعاملة الإحداثيات الطبيعية الثلاثة  $\lambda^1, \lambda^2, \lambda^3$  وكأنها مستقلة عن بعضها البعض. فلو اعتبرنا أن هناك ثلاثة إحداثيات طبيعية  $\lambda^{\bar{1}}, \lambda^{\bar{2}}, \lambda^{\bar{3}}$  مرتبطة مع الأخيرة بالعلاقات الخطية التالية:

$$\lambda^{\bar{1}} = \lambda^1; \lambda^{\bar{2}} = \lambda^2; \lambda^{\bar{3}} = 1 - \lambda^2 - \lambda^3 \quad (7-138)$$

لكان بإمكاننا أن نشكل مشتق الانتقالات وفق ما يلي:

$$u_{i,\alpha} = u_{i,\bar{1}} \cdot \lambda^{\bar{1}}_{,\alpha} + u_{i,\bar{2}} \cdot \lambda^{\bar{2}}_{,\alpha} + u_{i,\bar{3}} \cdot \lambda^{\bar{3}}_{,\alpha} \quad (7-139)$$

$$u_{i,\alpha} = u_{i,\bar{\rho}} \cdot \lambda^{\bar{\rho}}_{,\alpha}; \bar{\rho} = \bar{1}, \bar{2}, \bar{3}; \alpha = 2, 3$$

والمصنوفة  $\lambda^{\bar{\rho}}_{,\alpha}$  تحتوي بالنظر إلى العلاقات (7-138) على العناصر التالية:

$$\lambda^{\bar{\rho}}_{,\alpha} = \begin{bmatrix} -1 & -1 \\ 1 & 0 \\ 0 & 1 \end{bmatrix} \quad (7-140)$$

بتعويض المعادلة الثانية من العلاقة (7-139) في المعادلة الثانية من العلاقة (7-136) نحصل على:

$$u_{i,k} = u_{i,\bar{\rho}} \cdot \lambda^{\bar{\rho}}_{,\alpha} \cdot g_k^\alpha \quad (7-141)$$

ومفكوك هذه العلاقة بالنسبة لـ  $\alpha, \bar{\rho}$  هو:

$$u_{i,k} = u_{i,\bar{1}}(-g_k^2 - g_k^3) + u_{i,\bar{2}} \cdot g_k^2 + u_{i,\bar{3}} \cdot g_k^3 \quad (7-142)$$

وبالعودة إلى العلاقات (7-130), (7-132) نلاحظ أن:

$$g_k^1 = -g_k^2 - g_k^3 \quad (7-143)$$

وبالتالي تصبح العلاقة (7-142) بالشكل:

$$u_{i,k} = u_{i,1} \cdot g_k^1 + u_{i,2} \cdot g_k^2 + u_{i,3} \cdot g_k^3 \quad (7-144)$$

وهي ما يمكن كتابتها بالصيغة المتوتية التالية:

$$u_{i,k} = u_{i,\bar{\alpha}} \cdot g_k^{\bar{\alpha}}, \bar{\alpha} = \alpha = 1, 2, 3 \quad (7-145)$$

والتي تكون فيها القرائن 1, 2, 3 واردة دون تفضيل الواحدة عن الأخرى. وبرغم تمييز القرينة  $\bar{\alpha}$  عن  $\alpha$  بالإشارة - فوقها يفهم ضمنا أن الجمع يتم على هذه القرينة. وإذا أردنا الدقة أكثر في التعبير عن الجداء (7-144) يمكن إدخال متوتة كرونكر  $\delta_{\bar{\alpha}}^{\alpha}$  ضمن الجداء في الطرف الثاني للعلاقة (7-145) ويفهم في ما يلي من علاقات عند ورود  $\bar{\alpha}, \alpha$  إحداهما في الأعلى والأخرى في الأسفل في جداء مضارب أن الجمع يتم على هذه القرينة.

بعد اعتماد الصيغة (7-145) لاشتقاق توابع الانتقالات في الإحداثيات الديكارتية يمكن البدء أولا بحساب المشتق  $u_{i,\bar{\alpha}}$  للتوابع التقريبية (7-134).

$$u_{i,\bar{\alpha}} = N^{(p)}_{,\bar{\alpha}} \cdot u_{i(p)} \quad (7-146)$$

حيث:

$$N^{(p)}_{,\bar{\alpha}} = \begin{bmatrix} 1 & 0 & 0 \\ 0 & 1 & 0 \\ 0 & 0 & 1 \end{bmatrix} \equiv \delta^{(p)}_{\alpha} \quad (7-147)$$

والواضح من العلاقة السابقة أن تقريب حالة التشوهات على مستوى العنصر يتم بتابع ثابت لا علاقة له بالإحداثيات ضمن العنصر المنتهي وإنما فقط بانتقالات عقد العنصر المنتهي.

يتم الحصول على مصفوفة القساوة بتقييم تعبير طاقة التشوه الداخلية.

$$\pi_i = \frac{1}{2} \int_{\Lambda} \varepsilon_{ij} \cdot t \cdot c^{ijkl} \cdot \varepsilon_{kl} \cdot dA = \frac{1}{2} \int_{\Lambda} u_{i,j} \cdot t \cdot c^{ijkl} \cdot u_{k,l} \cdot dA \quad (7-148)$$

بتعويض العلاقة (7-146) في (7-145) وتعويض الناتج في العلاقة (7-148) نحصل على:



$$\pi_i = \frac{1}{2} u_{i,p} \left( \int_A N^{(p)}_{,\alpha} \cdot g_j^\alpha \cdot t \cdot c^{ijkl} \cdot N^{(q)}_{,\beta} \cdot g_l^\beta \cdot dA \right) u_{k(q)} \quad (7-149)$$

$$= \frac{1}{2} u_{i,p} \cdot k^{i(p)k(q)} \cdot u_{k(q)}$$

حيث:

$$k^{i(p)k(q)} = \int_A N^{(p)}_{,\alpha} \cdot g_j^\alpha \cdot t \cdot c^{ijkl} \cdot g_l^\beta \cdot N^{(q)}_{,\beta} \cdot dA \quad (7-150)$$

$$= \int_0^{1-\lambda^2} \int_0^{\lambda^2} N^{(p)}_{,\alpha} \cdot t \cdot c^{iack\beta} \cdot N^{(q)}_{,\beta} \cdot \sqrt{g} \cdot d\lambda^3 \cdot d\lambda^2$$

مصفوفة القساوة للعنصر.

تظهر في العلاقة السابقة المعاملات :

$$t \cdot c^{iack\beta} = g_j^\alpha \cdot t \cdot c^{ijkl} \cdot g_l^\beta \quad (7-151)$$

وهي تمثل معاملات القساوة المحولة إلى الإحداثيات الطبيعية. وباعتبار هذه المعاملات غير متعلقة بالإحداثيات المستقلة وكذلك المصفوفة  $N^{(p)}_{,\alpha}$ ، فيمكن إخراجها خارج إشارة التكامل ويتم الحصول على مصفوفة القساوة في العلاقة (7-150) بإجراء الجداء المصفوفي:

$$k^{i(p)k(q)} = \delta^{(p)}_{,\alpha} \cdot t \cdot c^{iack\beta} \cdot \delta^{(q)}_{,\beta} \iint_A dA = t \cdot A \cdot c^{i(p)k(q)} \quad (7-152)$$

لحساب القوى المركزة على العقد والمكافئة لحمولة موزعة ضمن العنصر ولها الشدات  $\bar{f}^i_{(k)}, \bar{f}^i_{(j)}, \bar{f}^i_{(i)}$  في العقد  $(k), (j), (i)$  على الترتيب، نفترض توزيعاً خطياً لهذه الحمولة ونستخدم نفس تابع الانتقالات (7-111) لاستنباط شدة الحمولة في نقطة ما لاعلى التعمين ضمن العنصر:

$$\bar{f}^i = N^{(q)} \cdot \bar{f}^i_{(q)} \quad (7-153)$$

ويصبح كمون القوى الخارجية بالشكل:

$$\pi_a = - \int_A \bar{f}^i \cdot u_i \cdot dA = - \bar{f}^i_{(q)} \int_A N^{(q)} N^{(p)} dA \cdot u_{i(p)} \quad (7-154)$$

$$= - \bar{f}^i_{(q)} \cdot c^{(q)k(p)} \cdot u_{i(p)} = - \bar{f}^{i(p)} \cdot u_{i(p)}$$

والقوى المركزة على العقد والمكافئة للحمولة الموزعة هي:

$$\bar{f}^i(p) = \bar{f}^i_{(q)} \cdot c^{(q)(p)} \quad (7-155)$$

ويجرى التكامل لحساب المصفوفة  $c^{(q)(p)}$  في الإحداثيات الطبيعية:

$$c^{(q)(p)} = \int_0^{1-\lambda^2} \int_0^1 N^{(q)} \cdot N^{(p)} \cdot \sqrt{g} \cdot d\lambda^2 \cdot d\lambda^3 \quad (7-156)$$

والجداء  $N^{(q)} \cdot N^{(p)}$  هو بالتفصيل:

$$N^{(q)(p)} = \begin{bmatrix} (\lambda^1)^2 & \lambda^1 \lambda^2 & \lambda^1 \lambda^3 \\ \lambda^2 \lambda^1 & (\lambda^2)^2 & \lambda^2 \lambda^3 \\ \lambda^3 \lambda^1 & \lambda^3 \lambda^2 & (\lambda^3)^2 \end{bmatrix} \quad (7-157)$$

ولإجراء هذه التكاملات هناك صيغة عملية سريعة يكتفى بذكرها دون التعرض لبرهانها وهي:

$$\int_0^{1-\lambda^2} \int_0^1 (\lambda^1)^m (\lambda^2)^n (\lambda^3)^l d\lambda^3 d\lambda^2 = \frac{m!n!l!}{(m+n+l+2)!} \quad (7-158)$$

وكأمثلة على استخدام هذه الصيغة، يعطى المثالين التاليين:

$$\int_0^{1-\lambda^2} \int_0^1 (\lambda^1)^2 d\lambda^3 d\lambda^2 = \frac{2!0!0!}{(2+0+0+2)!} = \frac{2}{24} \quad (7-159)$$

$$\int_0^{1-\lambda^2} \int_0^1 \lambda^1 \cdot \lambda^2 \cdot d\lambda^3 d\lambda^2 = \frac{1!1!0!}{(1+1+0+2)!} = \frac{1}{24} \quad (7-160)$$

وعليه تعطى المصفوفة  $c^{(q)(p)}$  بالشكل:

$$c^{(q)(p)} = \frac{2A}{24} \begin{bmatrix} 2 & 1 & 1 \\ 1 & 2 & 1 \\ 1 & 1 & 2 \end{bmatrix} \quad (7-161)$$

في حالة وجود حمولة موزعة بانتظام في اتجاه  $i$  شدتها على كل عقدة من عقد المثلث متساوية

ومقدارها  $\bar{f}^i$  تعطى  $\bar{f}^i_{(q)}$  بالشكل:

$$\bar{f}^i_{(q)} = [1 \ 1 \ 1] \cdot \bar{f}^i \quad (7-162)$$

عندها تكون مقادير القوى المركزة على العقد والمكافئة للحمولة الموزعة كما يلي:

$$\bar{f}^i(p) = \frac{A}{3} [1 \ 1 \ 1] \cdot \bar{f}^i \quad (7-163)$$

أي أن القوة الموزعة تتوزع بالتساوي على العقد الثلاث.

بعد تجميع الطاقة الكامنة على كامل المنشأ وتعويض الشروط الطرفية نحصل على جملة المعادلات الخطية النهائية لانتقالات العقد والتي يمكن بحلها حساب الأخيرة كمجاهيل لمساثلنا هذه. وبعد حساب هذه الأخيرة يبدأ الطريق العكسي لحساب الانتقالات ضمن أي نقطة من أي عنصر منتهي وحساب التشوهات وكذلك الإجهادات وقوى المقطع. فمثلاً في عنصر ما حسبنا انتقالات عقده  $u_{i(p)}$  ، يمكن حساب مشتق الانتقالات (7-145) بمساعدة (7-146) بالشكل:

$$u_{k,l} = N^{(p)}_{,\bar{\alpha}} \cdot g_l^{\alpha} \cdot u_{k(p)} \quad (7-164)$$

ومن ثم تعويض الأخيرة في العلاقة التالية:

$$n^{ij} = t \cdot \sigma^{ij} = t \cdot c^{ijkl} \cdot u_{k,l} \quad (7-165)$$

لحساب قوى المقطع، وهي بالنتيجة:

$$n^{ij} = t \cdot N^{(p)}_{,\bar{\alpha}} \cdot g_l^{\alpha} \cdot u_{k(p)} \quad (7-166)$$

وعتباراً يمكن ملاحظة الفائدة العملية من استخدام الإحداثيات الطبيعية بملاحظة التبسيط الكبير الذي حصلنا عليه أثناء إجراء التكاملات على العنصر المنتهي.

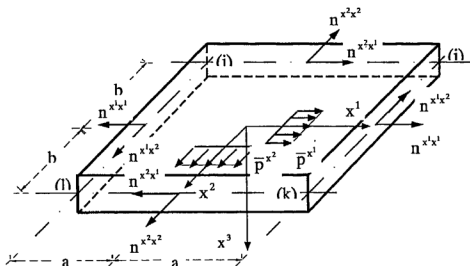
#### 7-4- عنصر شريحة منته مستطيل من النموذج المهجين للإجهادات

يسط مبدأ الطاقة المتممة المعدل والذي يشكل الأساس النظري لهذه الطريقة من الحالة الفراغية للوسط المستمر (العلاقات (3-78)-(3-79)) إلى الحالة المستوية لوسط الشريحة المقسم إلى عناصر منتهية بشكل مشابه لما ورد في الفقرة 5-5 مع مراعاة الحالة الخاصة بالإجهادية ووضعية التشوهات لحالة الشريحة. والعلاقة الناتجة مماثلة لتلك المعطاة في العلاقة (5-63) وهي كالتالي:

$$\delta \pi_{ch} = \delta \left\{ \int_{\Omega} \left[ \frac{1}{2} \sigma^{ij} \cdot s_{ijkl} \cdot \sigma^{kl} \cdot dV - \int_{\Omega} p^i_{b,e} \cdot u_i^{b,e} \cdot ds + \int_{\Omega} \bar{p}^i_{b,e} \cdot u_i^{b,e} \cdot ds \right] \right\} = 0 \quad (7.167)$$

لتقييم تعبير الطاقة الداخلية المتممة تستخدم كالسابق توابع قوى مقطع تقريبية بدلا من استخدام توابع الإجهادات ولذلك تصاغ الطاقة الداخلية المتممة بدلالة قوى المقطع باستخدام العلاقة (7.11) كما يلي:

$$\begin{aligned} \pi_i^* &= \frac{1}{2} \int_v \sigma^{ij} \cdot s_{ijkl} \cdot \sigma^{kl} \cdot du = \frac{1}{2} \left( \int_A \frac{1}{t} \cdot n^{ij} \cdot s_{ijkl} \cdot \frac{1}{t} \cdot n^{kl} \cdot dA \right) \int_{-\frac{1}{2}}^{\frac{1}{2}} dx^3 \\ &= \frac{1}{2} \int_A n^{ij} \cdot \frac{1}{t} \cdot s_{ijkl} \cdot n^{kl} \cdot dA \end{aligned} \quad (7.168)$$



لاختيار توابع قوى المقطع يمكن أن نبداً مثلاً بافتراض تابع الإجهادات ضمن العنصر المنتهضي. لنفترض أن هذا التابع تام وممثل بكافة حدود المرتبة الرابعة من مثلث باسكال أي أنه يحوي خمسة عشر حداً وهي التالية :

يلاحظ أن هذا التابع لا يحقق المعادلة التفاضلية ( $F=0$ ) واستخدام مبدأ الطاقة المتضمن المعدل لا يحوي مثل هذه المتطلبات وإنما يجب فقط أن تحقق توازن قوى المقطع المشققة علاقات التوازن

على المستوي التفاضلي للعنصر. ولهذا الغرض يجري اشتقاق توابع قوى المقطع وفق العلاقات (7.31) لحالة عنصر غير محمل أو وفق المعادلتين الأولى والثانية من العلاقات (7.31) مع العلاقات (7.32) لحالة عنصر منته محمل بمحمولة موزعة بانتظام. وللحالة الأخيرة تكون توابع قوى المقطع كالتالي:

$$\begin{aligned} n^{x^1 x^1} &= 2c_5 + 2c_8 x^1 + 6c_9 x^2 + 2c_{12} (x^1)^2 + 6c_{14} x^1 x^2 + 12c_{14} (x^1)^2 \\ n^{x^2 x^1} &= -c_4 - 2c_7 x^1 - 2c_8 x^2 - 3c_{11} (x^1)^2 - 4c_{12} x^1 x^2 - 3c_{13} (x^2)^2 - x^2 \bar{p}^{x^1} - x^1 \bar{p}^{x^2} \\ n^{x^1 x^2} &= -c_4 - 2c_7 x^1 - 2c_8 x^2 - 3c_{11} (x^1)^2 - 4c_{12} x^1 x^2 - 3c_{13} (x^2)^2 - x^2 \bar{p}^{x^1} - x^1 \bar{p}^{x^2} \\ n^{x^2 x^2} &= 2c_3 + 6c_6 x^1 + 2c_7 x^2 + 12c_{10} (x^1)^2 + 6c_{11} x^1 x^2 + 2c_{12} (x^2)^2 \end{aligned} \quad (7.170)$$

وبالانتقال من الثوابت  $c$  إلى الثوابت بالتركيب الخطي التالي:

$$\begin{aligned} \beta_1 &= 2c_3; \beta_2 = c_4; \beta_3 = c_5; \beta_4 = 6c_5 \\ \beta_5 &= 2c_7; \beta_6 = 2c_8; \beta_7 = 6c_9; \beta_8 = 12c_{10} \\ \beta_9 &= 6c_{11}; \beta_{10} = 2c_{12}; \beta_{11} = 6c_{13}; \beta_{12} = 12c_{14} \end{aligned} \quad (7.171)$$

نحصل بعد كتابة العلاقات (7.170) بالطريقة المصفوفية على التابع الافتراضي التالي:

$$\begin{bmatrix} n^{x^1 x^1} \\ n^{x^2 x^1} \\ n^{x^1 x^2} \\ n^{x^2 x^2} \end{bmatrix} = \begin{bmatrix} 1 & x^1 & x^2 & (x^1)^2 & x^1 x^2 & (x^2)^2 \\ -1 & -x^1 & -x^2 & -\frac{1}{2}(x^1)^2 & -2x^1 x^2 & -\frac{1}{2}(x^2)^2 \\ -1 & -x^1 & -x^2 & -\frac{1}{2}(x^1)^2 & -2x^1 x^2 & -\frac{1}{2}(x^2)^2 \\ 1 & x^1 & x^2 & (x^1)^2 & x^1 x^2 & (x^2)^2 \end{bmatrix} \begin{bmatrix} \beta_1 \\ \beta_2 \\ \beta_3 \\ \beta_4 \\ \beta_5 \\ \beta_6 \\ \beta_7 \\ \beta_8 \\ \beta_9 \\ \beta_{10} \\ \beta_{11} \\ \beta_{12} \end{bmatrix} + \begin{bmatrix} -x^2 & -x^1 \\ -x^2 & -x^1 \end{bmatrix} \cdot \begin{bmatrix} \bar{p}^{x^1} \\ \bar{p}^{x^2} \end{bmatrix}$$

$$n^{ij} = p^{ijkl} \cdot \beta_{kl} + \bar{p}^{ij} \cdot \bar{\beta} \quad ; i, j = x^1, x^2; k = 1, 2; l = 1, 2, \dots, 6 \quad (7.172)$$

والتابع المفترض هذا يحقق المتطلبات التي ورد ذكرها في الفقرة 5-2-5. ويتم بهذا التابع تقييم الطاقة الداخلية المتممة بشكل مطابق لما ورد في العلاقات (6-208) وحسب (6-211).

$$\pi_i^* = \frac{1}{2} \beta_{kl} \cdot H^{klop} \cdot \beta_{op} + \frac{1}{2} \beta_{kl} \cdot \bar{H}^{kl} \cdot \bar{\beta} + c_1 \quad (7.173)$$

حيث:

$$H^{klop} = \int_A p^{ijkl} \cdot s'_{ijmn} \cdot p^{mnop} \cdot dA \quad (7.174)$$

$$\bar{H}^{kl} = \int_A p^{ijkl} \cdot s'_{ijmn} \cdot \bar{p}^{mn} \cdot dA \quad (7.175)$$

$$c_1 = \frac{1}{2} \bar{\beta} \left( \int_A \bar{p}^{ij} \cdot s'_{ijmn} \cdot \bar{p}^{mn} \cdot dA \right) \bar{\beta} \quad (7.176)$$

والقارئ الجديدة المستخدمة لتحول بالشكل 6  $p=1,2$  ;  $m,n=x^1, x^2$  ;  $o=1,2$  أما

$$s'_{ijmn} \text{ فهي مساوية لـ } \frac{1}{t} \cdot s_{ijmn}$$

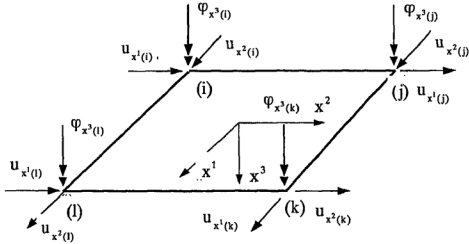
يمثل الحد الثاني من العلاقة (7.167) عمل القوى السطحية الطرفية، وتنتج هذه القوى من التسابع التقريبي لقوى المقطع بتعويض معادلات الأطراف الأربعة للعنصر المنتهي في العلاقات (7.172).

$$\begin{bmatrix} -n^{x^1 x^1}_{(00)} \\ -n^{x^1 x^1}_{(00)} \\ n^{x^1 x^1}_{(00)} \\ n^{x^1 x^1}_{(00)} \\ n^{x^1 x^1}_{(00)} \\ n^{x^1 x^1}_{(00)} \\ -n^{x^1 x^1}_{(00)} \\ -n^{x^1 x^1}_{(00)} \end{bmatrix} = \begin{bmatrix} -1 & -x^1 & b & -(x^1)^2 & x^1 b & -b^2 & & \\ & 1 & x^1 & -b & \frac{1}{2}(x^1)^2 & -2x^1 b & \frac{1}{2}b^2 & \\ & & 1 & a & x^2 & a^2 & ax^2 & (x^2)^2 \\ & -1 & -a & -x^2 & -\frac{1}{2}a^2 & -2ax^2 & -\frac{1}{2}(x^2)^2 & \\ 1 & & x^1 & b & (x^1)^2 & x^1 b & b^2 & \\ & -1 & -x^1 & -b & -\frac{1}{2}(x^1)^2 & -2x^1 b & -\frac{1}{2}b^2 & \\ & & -1 & a & -x^2 & -a^2 & ax^2 & -(x^2)^2 \\ & 1 & -a & x^2 & \frac{1}{2}a^2 & -2ax^2 & \frac{1}{2}(x^2)^2 & \end{bmatrix} \begin{bmatrix} \beta_1 \\ \beta_2 \\ \beta_3 \\ \beta_4 \\ \beta_5 \\ \beta_6 \\ \beta_7 \\ \beta_8 \\ \beta_9 \\ \beta_{10} \\ \beta_{11} \\ \beta_{12} \end{bmatrix}$$

$$+ \begin{bmatrix} -b & x^1 \\ -x^2 & -a \\ -b & -x^1 \\ x^2 & -a \end{bmatrix} \cdot \begin{bmatrix} -x^1 \\ \frac{p}{x^2} \\ \frac{p}{x^2} \end{bmatrix}$$

$$p^i_{b,e} = R^{ikl}_{b,e} \cdot \beta_{kl} + \bar{R}^{-i}_{b,e} \cdot \bar{\beta} \quad ; b,e=(i)(j);(j)(k);(k)(l);(l)(i) \quad (7.177)$$

يلاحظ الآن أن  $b,e$  استخدمت كقارئ تحول على أطراف العنصر المنتهي.



شكل 7-14: درجات الحرية لعنصر الشريحة.

كما رأينا في تطبيق الطريقة المحبنة-نموذج الإجهادات يمكن افتراض توابع الانتقالات على أطراف  
العنصر المنتهي باستقلالية تامة. يفترض شعاع انتقالات الأطراف الموافق لشعاع قوى المقطع  
الطرفية على الشكل التالي:

$$\begin{bmatrix} u_{i,000} \\ u_{i,001} \\ u_{i,002} \\ u_{i,003} \\ u_{i,004} \\ u_{i,005} \\ u_{i,006} \\ u_{i,007} \\ u_{i,008} \\ u_{i,009} \end{bmatrix} = \begin{bmatrix} \frac{1}{2}(1-\theta^2) & h_1^1 & ah_1^1 & & h_3^1 & ah_3^1 & & & & \\ & \frac{1}{2}(1+\theta^2) & & h_1^2 & & bh_1^2 & h_3^2 & & bh_3^2 & \\ & & & \frac{1}{2}(1-\theta^2) & & & & \frac{1}{2}(1+\theta^2) & & \\ & & & & & & & h_1^1 & -ah_1^1 & \\ & & & & & & & \frac{1}{2}(1-\theta^2) & & \\ & & & & & & & & \frac{1}{2}(1+\theta^2) & \\ & h_1^2 & -bh_1^2 & & & & & & & \\ & & & \frac{1}{2}(1-\theta^2) & & & & & & \\ & & & & & & & & \frac{1}{2}(1+\theta^2) & \\ & & & & & & & & & \frac{1}{2}(1-\theta^2) \end{bmatrix} \begin{bmatrix} u_{i,n} \\ u_{i,n} \\ \varphi_{i,n} \\ u_{i,n} \\ u_{i,n} \\ \varphi_{i,n} \\ u_{i,n} \\ u_{i,n} \\ \varphi_{i,n} \\ u_{i,n} \end{bmatrix}$$

$$u_i^{b,e} = L_i^{b,em(n)} \cdot u_{m(n)} ; m=1,2,3 ; (n)=(i),(j),(k),(l) \quad (7.178)$$

والتوابع المذكورة في العلاقة السابقة مطابقة لمثيلاتها المعطاة في العلاقة (6.215). وشعاع انتقالات  
العقد  $u_{m(n)}$  مبين على الشكل 7-14 .

بالتابع التقريبي للانتقالات (7.178) وتوابع القوى السطحية الطرفية (7.177) يقيم الحد الثاني  
من الطاقة المتضمنة المعدلة (7.167) كالآتي:

$$T = \int_s p_{b,e}^i \cdot u_i^{b,e} \cdot ds = \beta_{kl} \cdot T^{klm(n)} \cdot u_{m(n)} + \bar{\beta} \cdot \bar{T}^{m(n)} \cdot u_{m(n)} \quad (7.179)$$

(n),m قرائن سابقة انتفت الحاجة لها وقد استخدمت من جديد بقيم مختلفة.

حيث:

$$T^{klm(n)} = \int_s R_{b,e}^{ikl} \cdot L_i^{b,em(n)} \cdot ds \quad (7.180)$$

$$\bar{T}^{m(n)} = \int_s \bar{R}_{b,e}^i \cdot L_i^{b,em(n)} \cdot ds \quad (7.181)$$

ولتقييم عمل القوى الخارجية المؤثرة على أطراف العنصر المنتهي ترتب هذه الأخيرة في شعاع.



$$\bar{p}_{b,e}^{-i} = \left\{ \bar{p}_{(i)(j)}^{-x^2} \quad \bar{p}_{(i)(j)}^{-x^1 x^1} \quad \bar{p}_{(i)(k)}^{-x^1} \quad \bar{p}_{(i)(k)}^{-x^1 x^2} \quad \bar{p}_{(i)(i)}^{-x^2} \quad \bar{p}_{(i)(i)}^{-x^1 x^1} \quad \bar{p}_{(i)(i)}^{-x^1} \quad \bar{p}_{(i)(i)}^{-x^1 x^1} \right\} \quad (7.182)$$

وحمولة كل طرف من الأطراف يمكن تقريبها بتابع من الدرجة الثانية، فمثلاً حمولة الطرف (i)(j) يمكن كتابته بشكل مماثل للعلاقة (6.186) وتوابعه التقريبية  $A_0$  مماثلة لتلك الواردة في العلاقة (6.224):

$$\bar{p}_{(i)(j)}^{-i} = [A_1 \quad A_2 \quad A_3] \cdot \begin{bmatrix} \bar{p}_{(i)(j)}^{-1} \\ \bar{p}_{(i)(j)}^{-2} \\ \bar{p}_{(i)(j)}^{-3} \\ \bar{p}_{(i)(j)}^{-i} \end{bmatrix} \quad (7.183)$$

وشعاع القوى الخارجية المؤثرة على الأطراف يأخذ الشكل المصفوفي:

$$\bar{p}_{b,e}^{-i} = A^i_k \cdot \bar{p}_{b,e}^{-k} \quad (7.184)$$

$\bar{p}_{b,e}^{-k}$  تشير إلى قيم الحمولات الخارجية المعطاة لوصف توابع الحمولة مرتبة وفق التسلسل الوارد للشعاع  $\bar{p}_{b,e}^{-i}$  العلاقة (7.182).  $A^i_k$  تمثل توابع الشكل مكررة بعدد تكرار توابع الحمولات (ثمان مرات كما تشير العلاقة (7.182)).

يمكن الآن تقييم الحد الأخير من العلاقة (7.167) بالشكل:

$$\begin{aligned} \bar{T} &= \int_{s_{b,e}^{-i}} \bar{p}_{b,e}^{-i} \cdot u_i^{b,e} \cdot ds = \bar{p}_{b,e}^{-k} \left( \int_{s_{b,e}^{-i}} A^i_k \cdot L_i^{b,em(n)} \cdot ds \right) u_{m(n)} \\ &= \bar{s}^{-m(n)} \cdot u_{m(n)} \end{aligned} \quad (7.185)$$

حيث:

$$\bar{s}^{-m(n)} = \bar{p}_{b,e}^{-k} \int_{s_{b,e}^{-i}} A^i_k \cdot L_i^{b,em(n)} \cdot ds \quad (7.186)$$

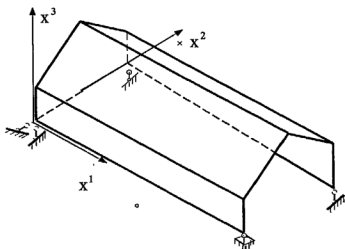
هنا يجب ملاحظة أن  $b,e$  قرينة تعبر عن تنالي أطراف العنصر المنتهي وتأخذ القيم:

(i)(i), (j)(k), (k)(l), (l)(i) على التوالي.

يتم تجميع الطاقة المتتممة المعدلة بالشكل المألوف على مستوى العنصر وتحسب الجاهيل بدلالة انتقالات العقد بعد أخذ المتغير الأول للطاقة المتتممة المعدلة على مستوى العنصر. وخطوات الاشتقاق واردة في العلاقات (5.86) وحتى (5.98) ولاداعي لتكرارها والاختلاف الوحيد هنا

هو في تحويل مصفوفات العنصر للشريحية من المحاور الإحداثية الخاصة إلى المحاور الإحداثية العام .  
وعلى القارئ استنتاجها بنفسه على غرار ما فعلناه لحالة البلاطة الرقيقة والحالات أخرى.

#### 7-5- عنصر منتهي مستطيل هجين لحل مسائل المنشآت المثنية المستوية:



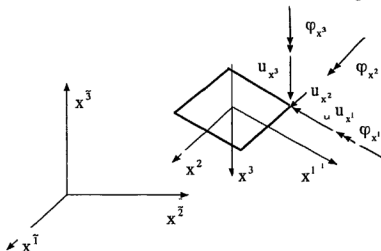
شكل (7-15): منشأ مثني مستوي.

المنشآت المثنية المستوية هي هندسيا عبارة عن منشآت مركبة من سطوح متعددة تلتقي سطوحها في حروف أو زوايا (شكل 7-15). وقد تكون أحيانا سطوحها منحنية. وتصنف هذه المنشآت عادة حسب شكلها فنجد فيها المنشآت الموشورية والهرمية والنصف هرمية ومنشآت مثنية منحنية. تتميز هذه المنشآت عادة بطبولوجيتها الهندسية غير المستمرة نظرا لوجود حروف أو زوايا فيها وبالتالي تكون التوابع التي تصف هذه السطوح غير مستمرة حيث يكون مشتقها الأول عند نقاط الانكسار مختلفا ويقال عندها أنها لا تحقق شرط الاستمرارية  $c^1$ .

تستخدم عادة الطريقة المحينة لحل مثل هذه المنشآت وذلك بغية التخلص من شروط الاستمرارية الواجب تحقيقها عند استخدام الطرق الأخرى.

وبتوافر المعطيات الأساسية للعنصر المنتهي -النموذج المحين لدراسة البلاطات وللعنصر المنتهي- النموذج المحين لدراسة الشرائح والمعرضين في الفصل السادس والسابع من هذا الكتاب. تتوفر

للمعطيات الأساسية للعنصر المنتهي في حل المنشآت المثنية المستوية. إذ أن العنصر هذا ليس إلا تركيب للعنصرين السابقين.



شكل 7-16: عنصر منتهي مثني مستوي مستطيل.

لنتأمل الشكل 7-16، فدرجات الحرية لعقدة ما في الفراغ هي ستة وهي الانتقالات في اتجاه المحاور الإحداثية الثلاثة والدورانات حولها. ثلاثة منها تميز درجات الحرية للشريحة وهي:  $\varphi_{x^1}, \varphi_{x^2}, u_{x^3}$ ، والأخرى تميز درجات الحرية للبلاطة وهي:  $\varphi_{x^1}, \varphi_{x^2}, u_{x^1}, u_{x^2}, u_{x^3}$ . وتتميز طبيعة عمل العنصر المثني المستوي باحتوائها على طبيعة عمل الشريحة. وطبيعة عمل عنصر البلاطة في نفس الوقت. وعليه يتركب شعاع انتقالات عقدة ما من عنصر مثني مستوي من درجات الحرية الستة هذه:

$$\begin{aligned} u_f &= \{u_s, u_p\} \\ u_s &= \{u_{x^1}^0, u_{x^2}^0, \varphi_{x^3}^0\}, u_p = \{u_{x^3}^0, \varphi_{x^1}, \varphi_{x^2}\} \end{aligned} \quad (7.187)$$

وتستخدم الأحرف  $p, s, f$  للدلالة على قيم التأثير المميزة للعنصر المثني المستوي وعنصر الشريحة وعنصر البلاطة على التوالي.

ويتركب تابع القوى المفترض لعنصر مثني مستوي من تابعين أولهما عائد لعنصر الشريحة ويحوي قوى المقطع:  $n_{x^1x^1}, n_{x^2x^1}, n_{x^1x^2}, n_{x^2x^2}$  (7.172)

وثانيهما عائد للبلاطة ويحوي قوى المقطع  $\{m^{x^1} \ m^{x^2} \ m^{x^2} \ m^{x^2}\}$  المثلة  $m_p$  وتابعها بالتابع المفترض (6.207) .

$$s_f = \{n_s \ m_p\} \quad (7.188)$$

كما يتركب تابع الانتقالات الطرفية  $u_i^{fb,e}$  من جزأين أولهما خاص بالشريحة  $u_i^{sb,e}$  وممثل بالعلاقة (7.178) وثانيهما خاص بالبلاطة  $u_i^{pb,e}$  وممثل بالعلاقة (6.213).

$$u_i^{fb,e} = \{u_i^{sb,e} \ u_i^{pb,e}\} \quad (7.189)$$

وكذلك الأمر بالنسبة لتابع قوى المقطع الطرفية  $p_{pb,e}^i$  والمثلة بالجزأين  $p_{sb,e}^i$  المعطى بالعلاقة (7.177) و  $p_{pb,e}^i$  المعطى بالعلاقة (6.212).

$$p_{fb,e}^i = \{p_{sb,e}^i \ p_{pb,e}^i\} \quad (7.190)$$

وتجمع أيضا القوى الخارجية المؤثرة على أطراف العنصر المثني المستوي  $\bar{p}_{fb,e}^i$  من الجزء الخاص بالشريحة  $\bar{p}_{sb,e}^i$  وهو معطى بالعلاقة (7.184) ومن الجزء الخاص بالبلاطة  $\bar{p}_{pb,e}^i$  وهو معطى بالعلاقة (6.187).

$$\bar{p}_{fb,e}^i = \{\bar{p}_{sb,e}^i \ \bar{p}_{pb,e}^i\} \quad (7.191)$$

وعلى هذا الأساس تكون مصفوفات العنصر (على سبيل المثال  $\bar{S}, \bar{K}, \bar{T}, \bar{H}, H$ ) للعنصر المثني المستوي ما هي إلا تجميع لماتلاثما لحالة الشريحة والمستنتجة في الفقرة 4-7 وتلك لحالة البلاطة والمستنتجة في الفقرة 5-6 . والعلاقة التالية تمثل هذا التجميع:

$$K_f = \begin{bmatrix} k_s & 0 \\ 0 & k_p \end{bmatrix} \quad (7.192)$$

$K_f$  : مصفوفة القساوة للعنصر المثني المستوي.  $K_s$  : مصفوفة القساوة للشريحة.

$K_p$  : مصفوفة القساوة للبلاطة.

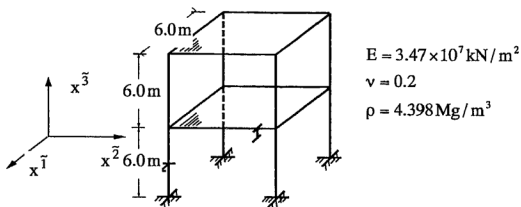
وكأحد الأمثلة العملية لاستخدام العناصر المنتهية المثنية المستوية المشروحة في الفقرة 5-7 يدرس إطار طابقي فراغي (شكل 7-17-1) مقوى ببلاطات تغطية بيتونية. تتواجد على سطوح البلاطات كتلة إضافية موزعة بانتظام اعتبرت ككثافة إضافية لمادة البلاطات وهذا ما يفسر الكثافة الذاتية المرتفعة لهذه البلاطات. صنعت بلاطات التغطية من صنف البيتون BK35 وفق المواصفات

المعيارية الألمانية. وأعمدة الإطار الطابقي وجوائزه المتوضعة تحت الأطراف الأربعة لكل بلاطة تمتلك المقطع 1400 وفق المواصفات المعيارية الألمانية.

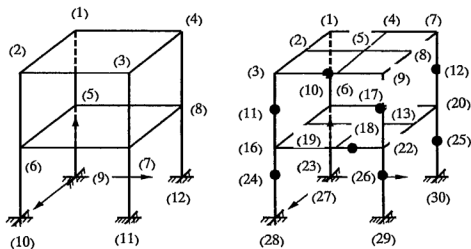
يدرس المنشأ تحت تأثير حالات تحميل مختلفة وبتقسيمين شبكيين. التقسيم الشبكي الأول يمثل الشكل 7-17-ب، ويتألف من عنصرين مثنيين مستويين حيث اعتبرت كل بلاطة تغطية بأكملها كعنصر منتهي، ومن ستة عشر عنصرا منتهيا إطاريا فراغيا حيث أخذ القضيبي بأكمله كعنصر منتهي. والتقسيم الشبكي الثاني يتألف من ثمانية عناصر منتهية مثنية مستوية واثناون وثلاثون عنصرا منتهيا إطاريا فراغيا (شكل 7-17-ج). وقد نسب المنشأ إلى جملة محاور إحدائية عامة ونسب كل عنصر منتهي إلى جملة محاور إحدائية خاصة.

تمثل حالات التحميل التي درس المنشأ تحت تأثيرها بأربعة حالات تحميل وهي حالتين لكل تقسيم شبكي. والحالي التحميل للتقسيم الشبكي المبين في الشكل (7-17-ب) مثلت في الشكلين (7-18-أ) و (7-18-ب). والحمولات متساوية على أركان البلاطات الأربعة وهي متساوية أيضا في منتصف أطراف البلاطات بالنسبة للتقسيم الشبكي الثاني. ومثلت العزوم  $M_T$  المنسوبة إلى جملة المحاور الإحدائية العامة والناشئة عن حالي التحميل السابقتين في الشكلين (7-18-ج) و (7-18-د). وحالي التحميل للتقسيم الشبكي المبين في الشكل (7-17-ح) مثلت في الشكلين (7-19-أ) و (7-19-ب) والعزوم  $M_T$  الناشئة عنها في الشكلين (7-19-ج) و (7-19-د). وقد استغني عن تمثيل العزوم الناشئة في بلاطات التغطية لضآلتها بالنسبة للعزوم الممتصة من قبل القضبان الإطارية. واستغني أيضا عن كتابة مقادير العزوم المتماثلة على الأشكال السابقة، إذ بإمكان القارئ استنتاجها من دراسته لحالة تناظر الحمولات. ولكي نوضح للقارئ طبيعة هذه الحمولات ولماذا اختيرت بهذا الشكل نود أن نذكر هنا أن الحمولات السابقة ناشئة عن دراسة المنشأ الإطاري الفراغي تحت تأثير الزلازل بطريقة طيوف التجاوب الخطية وهي الحمولات الستاتيكية المكافئة لتأثير تسارع أرضي في قاعدة المنشأ مقداره  $1.08 \text{ m/sec}^2$ . وقد شكلت مصفوفات التساوة العامة من مصفوفات العناصر للبلاطة والشرجة وقضيبي الإطار الفراغي. و المثال يهدف قبل أي شيء إلى إعطاء القارئ لمحة بسيطة عن إمكانية استخدام العناصر السابقة في

التطبيقات العملية وربما حسابات مقارنة في حال أراد القارئ تطوير العناصر السابقة بنفسه في برنامج حساب بطريقة العناصر المنتهية.

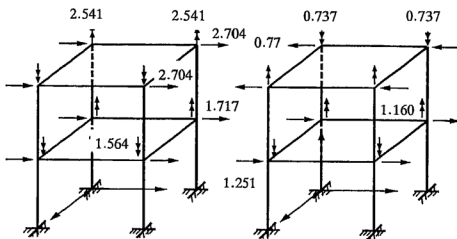


شكل 7-17-أ) منشأ إطار فراغي بـ بلاطات تغطية بيتونية أفقية



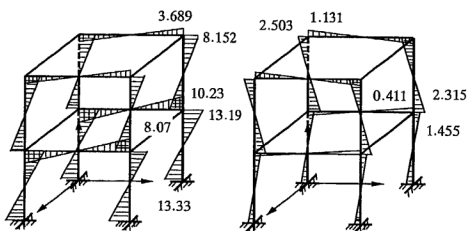
شكل 7-17-ج: التقسيم إلى عناصر منتهية      شكل 7-17-ب: التقسيم إلى عناصر منتهية

8 عناصر مثنية مستوية ، 32 عنصر إطارى  
 عنصران مثنيان مستويان ، 16 عنصر إطارى  
 فراغى ، ترقيم العناصر .



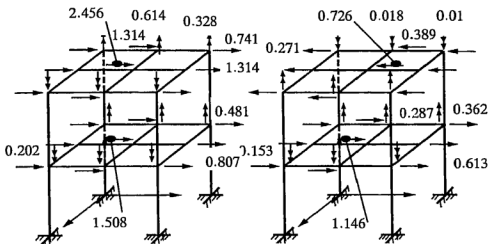
شكل 7-18-آ) حالة التحميل ب

شكل 7-18-ب) حالة التحميل آ



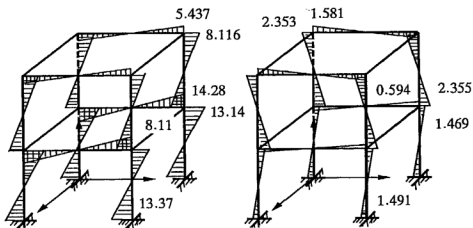
شكل 7-18-د)  $M_T$  لحالة التحميل ب

شكل 7-18-ج) العزم  $M_T$  لحالة التحميل آ



شكل 7-19-ب) حالة التحميل ب

شكل 7-19-آ) حالة التحميل آ



شكل 7-19-د) لحالة التحميل ب  $M_T$

شكل 7-19-ج) العزم  $M_T$  لحالة التحميل آ



## المصادر العلمية:

استخدمت بالإضافة إلى مصادر الفصلين الخامس والسادس المصادر التالية:

- 1-Mueller,H.  
Arbeitsblaetter fuer den Weiterbildungslehrgang  
Rechner orientierte Kontinuumsmechanik-Einfuehrung in die Methode  
der finiten Elemente. TU Dresden 1984
- 2- Mueller,H.;Moeller,B.  
Lineare und physikalisch nichtlineare statik von Falt-werken Baustein 1  
und 2 des programm systems FALT-FEM Grundlage und Beispiele;  
Bauforschung-Baupraxis Bauinformation der DDR,Berlin 1985 ;  
Heft 155.
- 3- Mattheiss  
Platten und Scheiben  
Werner Verlag,Duesseldorf,1982.
- 4- Mueller,H.;Moeller,B.;Hoffman,A.;Abo Diab,S.  
Faltwerksmechanik mit FALT-FEM-Kinetik und Stabilitaet  
sowie neuere Anwendungsfaelle  
Bauplanung-Bautechnik,4(1987) 1,s.30-30
- 5- Moeller,B.  
Nichtlineare Statik von Stahlbeton-Faltwerken  
TU Dresden,Forschungsbericht 1983.
- 6- Mueller,H.;Moeller,B.  
Ein hybrides mehrschichtiges Faltwerkelement  
Wissenschaftliche Zeitschrift der TU Dresden,Heft 5,1979.

7- Baumgaertel, W.

Erweiterungen zur Statik von Faltwerken im Rahmen  
von FALT-FEM 1 und 2 und Aufbau einer PL-Version  
TU Dresden, Diss., 1989.

8- Poerschmann, H. (Hrsg.)

Bautechnische Berechnungstabellen fuer Ingenieure  
BSB B.G. Teubner Verlagsgesellschaft, Leipzig 1984.

الملحق الأول :

مثلث باسكال ، كثيرات حدود لاغرنج كثيرات حدود من نموذج Serendipity

تسمى عملية إيجاد تابع تقريبي ما  $\hat{g}(x^1)$  من مجموعة معينة من التوابيع  $G$  ( مجموعة كثيرات الحدود ، مجموعة التوابيع المثلثية ، التوابيع القطعية ، التوابيع الأسية ، ... ) والذي تختلف قيمته عن قيمة تابع ما  $f(x^1)$  غير منتمي للمجموعة  $G$  أقل اختلاف ممكن بعملية التقريب أو ما يطلق عليها (Approximation) . و كمقياس لاختلاف قيم التابع التقريبي عن التابع المقرب يوجد ما يسمى بالمعيار النصفى وهو العدد  $\|\ell(x^1)\|$  الذي يخص التابع  $\varphi(x^1)$  المنتمي إلى مجموعة تابعة  $V$  و يحقق الخواص التالية :

$$\begin{aligned} \|\varphi\| &\geq 0; \text{ for all } \varphi \in V \\ \|a\varphi\| &\geq |a|\|\varphi\|; \text{ for all } a \in \mathbb{R}, \varphi \in V \end{aligned} \quad (1)$$

$$\|\varphi + \phi\| \leq \|\varphi\| + \|\phi\|; \text{ for all } \varphi, \phi \in V$$

$\mathbb{R}$  مجموعة الأعداد الحقيقية ،  $a$  قيمة من  $\mathbb{R}$  ،  $\phi$  تابع كـ  $\varphi$  من المجموعة  $V$  . و المسألة المطروحة في عملية التقريب يمكن التعبير عنها رياضياً بمايلي :

لأجل تابع معطى  $f \in V$  يجب إيجاد التابع  $\hat{g} \in G$  الخقق للشرط :

$$\|f - \hat{g}\| = \inf_{g \in G} \|f - g\| \text{ or } \|f - \hat{g}\| \leq \|f - g\| \quad (2)$$

من أجل أي تابع آخر  $g$  من المجموعة  $G$  . يسمى المقدار :

$$D_G(f) = \inf_{g \in G} \|f - g\| \quad (3)$$

بالانحراف الأصغري عن  $f$  ، يتعلق بالمجموعة  $G$  . في حال وجود التابع  $\hat{g}$  الخقق للشرط (2) يسمى هذا التابع بأفضل تقريب لـ  $f$  في المجموعة  $G$  . و تختلف مسائل التقريب عن بعضها البعض بالمعيار النصفى المتخذ  $\varphi$  أو المجموعة التي يتم فيها التقريب  $G$  . في حالة استخدام ما يسمى التقريب الخطي تكون المجموعة  $G$  فراغا خطيا . و في مسائل الحساب العددي يكون علدة الفراغ  $G = G_n$  فراغا محدود الأبعاد حيث يمكن لأي تابع  $g(x^1)$  من  $G_n$  أن يكون تركيبا خطيا من توابيع مستقلة خطيا متتمية إلى  $G_n$  ( توابيع القاعدة ) بالشكل :

$$g(x^1) = a_1 g^1(x^1) + a_2 g^2(x^1) + \dots + a_n g^n(x^1) \quad (4)$$

و التوابع المستقلة الشائعة الاستعمال في التقريب هي كثيرات الحدود بالأمثال الحقيقية و تكون توابع قاعدتها الواردة في (4) كمايلي :

$$g^1(x^1) = 1; g^2(x^1) = x^1; g^3(x^1) = (x^1)^2; \dots; g^n(x^1) = (x^1)^{n-1} \quad (5)$$

و هناك أيضاً التوابع المثلثية ، التي يتركب فيها التابع من كثير حدود مثلثي :

$$\hat{g}(x^1) = c/2 + \sum_{i=1}^n c_i \cos ix^1 + \sum_{j=1}^n d_j \sin jx^1 \quad (6)$$

و بما يتعلق بالمعيار النصف المتخذ هناك أنواع من التقريب يكتفى بذكرها و هي تقريب Tschebyschow و التقريب المربع .

الآن في فراغ ثنائي الأبعاد متحولاته المستقلة  $x^1, x^2$  تشكل بانتظام التراكيب :

$$g(x^1, x^2) = (x^1 + x^2)^n; n = 0, 1, 2, 3, \dots, n-1 \quad (7)$$

وحتى المرتبة السادسة تكون هذه التراكيب كالتالي:

$(x^1 + x^2)^0 \rightarrow$	درجة أولى
$(x^1 + x^2)^1 \rightarrow$	درجة ثانية
$(x^1 + x^2)^2 \rightarrow$	درجة ثالثة
$(x^1 + x^2)^3 \rightarrow$	درجة رابعة
$(x^1 + x^2)^4 \rightarrow$	درجة خامسة
$(x^1 + x^2)^5 \rightarrow$	درجة سادسة

فإذا رتبنا منشير هذه التراكيب بعد حذف أمثال المتحولات حصلنا على التركيب الهرمي :

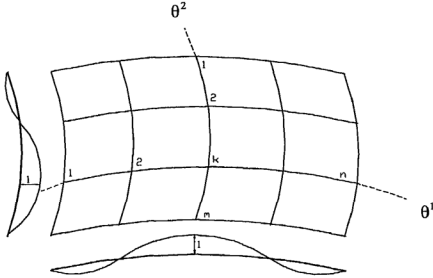
			1			
		$x^1$		$x^2$		
	$(x^1)^2$		$x^1 x^2$		$(x^2)^2$	
$(x^1)^3$		$(x^1)^2 x^2$		$x^1 (x^2)^2$		$(x^2)^3$
$(x^1)^4$	$(x^1)^3 x^2$		$(x^1)^2 (x^2)^2$		$x^1 (x^2)^3$	$(x^2)^4$
$(x^1)^5$	$(x^1)^4 x^2$	$(x^1)^3 (x^2)^2$		$(x^1)^2 (x^2)^3$	$x^1 (x^2)^4$	$(x^2)^5$

حيث يوجد في كل سطر كافة المتحولات المستقلة الموجودة في منشور الدرجة الموافقة لرقم السطر . يطلق على التركيب الهرمي السابق اسم مثلث باسكال . فلو كتبنا أمثال مفكوك التراكيب السابقة لتشكّل المثلث التالي المسمى أمثال مثلث باسكال:

$$\begin{array}{ccccccc}
 & & & & 1 & & & & \\
 & & & & & 1 & & 1 & \\
 & & & 1 & & 2 & & 1 & \\
 & & 1 & & 3 & & 3 & & 1 \\
 & 1 & & 4 & & 6 & & 4 & & 1 \\
 1 & & 5 & & 10 & & 10 & & 5 & & 1
 \end{array}$$

يلاحظ في مثلث باسكال الرتبة في استنباط الحدود ، إذ أن كل درجة من توابع باسكال تحتوي كافة التباديل الممكنة للمتحوّلين المستقلين بحيث يكون المجموع الأسّي لهما مساو لدرجة كثير الحدود نفسها . كما أن أي حد من حدود درجة معينة في مثلث المتحولات المستقلة ينتج من ضرب الحدين الواقعين فوقه للدرجة الأدنى ببعضهما البعض و أمثال الحد المقصود في مثلث الأمثال تنتج بجمع الحدين المذكورين . و يلاحظ أن مشتق كثير حدود من درجة ما سواء بالنسبة لـ  $x^1$  أو لـ  $x^2$  يحوي كافة حدود الدرجة الأدنى . هذا يعني أن هذه التوابع يمكن أن تحقق شروط الاستمرارية من المرتبة الأولى . ( الاستمرارية  $C^1$  ) عند استخدامها لوصف حالة الانتقالات لسطح إنشائي ما . و باعتبار أن استنباط حدود الدرجات العليا يتم بنظامية من الدرجات الأدنى يقال عن هذه التوابع بأنها تامة . و توابع باسكال هذه تحقق كل شروط التقارب إلى الحل الدقيق المفترض أن تحققها التوابع التقريبية للعناصر المنتهية . و لكن من المؤسف عدم تطابق عدد حدود توابع باسكال مع عدد درجات الحرية مضروباً بعدد عقد العنصر لغالبية العناصر المنتهية . و في قليل من العناصر يتطابق هذان العددان كالعنصر المنتهي للمثلث الخطي و العنصر المنتهي المربع الخطي . يذكر بأن الدراسة السابقة سارية المفعول أيضاً للإحداثيات الطبيعية

توابيع لاغرنج :



شكل a1 : نقاط الاستناد وتوابيع لاغرنج

لنفرض أنه لدينا عنصر منتهي نود فرض التوابيع التقريبية للاتصالات فيه بحيث تكون قيمة هذا التابع واحد في عقدة ما (k) فيه ، و لتكن المحاطة بدائرة و في بقية العقد الأخرى مساوية للصفر . لنرسم شبكة من الخطوط الإحداثية و لتكن للموافقة للإحداثيات الطبيعية  $(\theta^1, \theta^2)$  والتي تتقاطع فيما بينها في العقد . على الخط الإحداثي  $\theta^1$  حيث يكون  $\theta^2$  ثابتاً لنفرض أنه تشكلت لدينا n عقدة . على هذا الخط يمكن فرض تابع تقريبي متعلق بالإحداثي  $\theta^1$  فقط و يملك في العقدة (k) القيمة 1 و في بقية العقد الأخرى القيمة صفر . و التابع التقريبي التالي يملك مثل هذه الخاصية :

$$L^n_{(k)} = \frac{(\theta^1 - \theta^1_{(1)})(\theta^1 - \theta^1_{(2)}) \dots (\theta^1 - \theta^1_{(k-1)})(\theta^1 - \theta^1_{(k+1)}) \dots (\theta^1 - \theta^1_{(n)})}{(\theta^1_{(k)} - \theta^1_{(1)})(\theta^1_{(k)} - \theta^1_{(2)}) \dots (\theta^1_{(k)} - \theta^1_{(k-1)})(\theta^1_{(k)} - \theta^1_{(k+1)}) \dots (\theta^1_{(k)} - \theta^1_{(n)})} \quad (7)$$

بالفعل إذا عوضنا الإحداثي  $\theta^1$  بقيمته عند العقدة (k) و هي  $\theta^1_{(k)}$  في العلاقة السابقة تكون قيمة  $L^n_{(k)}$  مساوية للواحد ، و عند تعويض قيمة الإحداثي  $\theta^1$  لأي عقدة أخرى يأخذ التابع

التقريبي السابق القيمة صفر . و بالمثل على الخط الإحداثي  $\theta^2$  حيث يكون  $\theta^1$  ثابتا و تتشكل عليه  $m$  عقدة يفرض التابع التقريبي متعلق بالإحداثي  $\theta^2$  فقط على نفس الشاكلة :

$$L^m_{(k)} = \frac{(\theta^2 - \theta^2_{(1)})(\theta^2 - \theta^2_{(2)}) \dots (\theta^2 - \theta^2_{(k+1)})(\theta^2 - \theta^2_{(k+1)}) \dots (\theta^2 - \theta^2_{(m)})}{(\theta^2_{(k)} - \theta^2_{(1)})(\theta^2_{(k)} - \theta^2_{(2)}) \dots (\theta^2_{(k)} - \theta^2_{(k-1)})(\theta^2_{(k)} - \theta^2_{(k+1)}) \dots (\theta^2_{(k)} - \theta^2_{(m)})} \quad (8)$$

يفترض الآن تابع الشكل على مساحة العنصر والموافق للعقدة  $(k)$  كجداء للتابعين  $L^m_{(k)}, L^n_{(k)}$

$$N^{mn}_{(k)} = L^m_{(k)} L^n_{(k)} \quad (9)$$

وهذا التابع يحقق خاصية مساواته للواحد في العقدة  $(k)$  والصفر في بقية العقد الأخرى . وهكذا تشكل توابع الشكل الخاصة بكل عقدة . والتابع التقريبي المفترض لكامل العنصر يصبح بمجموع جداول تابع الشكل الخاص بكل عقدة في درجة الحرية المفترضة للعقدة نفسها . يتضح من طريقة التشكيل لتوابع الشكل أنه باستطاعتنا نظريا الحصول على توابع تقريبية ككثيرات حدود من أي درجة نريدها و ذلك بزيادة عدد عقد العنصر المستخدمة للاستنباط . عمليا يؤدي زيادة عدد العقد إلى ظهور عدد كبير من العقد الداخلية ضمن العنصر والمنفصلة تماما عن عقد العناصر المنتهية الأخرى المجاورة ويجب اعتبارها في جملة المعادلات النهائية لانتقالات العقد ، ومعاملتها كمجاهيل حيث يجب حسابها مع أنها لا تؤثر رياضيا على العناصر المنتهية الأخرى . وعلاقتها الرياضية أو الإنشائية خاصة بالعنصر المفترض وجودها فيه . كما أن كثيرات الحدود من الدرجات العليا تبدي سلوكا سيئا في تقريبها للإغتمعات . ويلاحظ في كثيرات الحدود الناتجة من طريقة لاغرنج هذه وجود المتحولات المستقلة بدرجات عليا بينما يفتقد أحيانا وجود هذه المتحولات بدرجات دنيا . وهذا يؤدي في كثير من الأحيان إلى خواص عددية سيئة لمصفوفة القساوة للعناصر المنتهية وتظهر هذه الخواص السيئة جلية أثناء حلول المعادلات النهائية لكامل المنشأ أو أثناء حساب القيم الذاتية لمصفوفة القساوة . ويلاحظ أن، هذه التوابع تنتج أيضا من مثلث باسكال ( في الحالة  $m = n$  ) من أخذ الحدود الواقعة في مساحة معين مقتطع من المثلث .





والتابع التقريبي الذي افترض ممثلاً لانتقالات سطح العنصر المنتهي للبلابة الرقيقة و المسمى بـ  $ACM$  هو من نموذجنا هذا . يجب الانتباه أثناء افتراض التوابع التقريبية إلى المحافظة على تناظرها بالنسبة لمنصف مثلث باسكال و ذلك من أجل ضمان خاصية ثبات خواص العنصر المنتهي أثناء تبديل تسمية المحاور الإحداثية . تختلف مسودة افتراض التوابع التقريبية وفق اختلاف الشكل الهندسي للعنصر المنتهي و بالتالي عدد درجات الحرية المتخذة لكل عقدة. وبالتالي هذه المسودة مختلفة بالنسبة للعناصر المنتهية المثلثية الشكل وعلى القارئ تلبية احتياجاته في مجال معالجة الأشكال الهندسية المختلفة للعناصر المنتهية من المراجع المذكورة في هذا الكتاب أو من مراجع أخرى .

#### الملحق الثاني :

#### التكامل العددي :

التكامل العددي هو عملية إيجاد قيم التكاملات المحددة الأحادية أو المتعددة الأبعاد عددياً . فسي كثير من الأحيان و خاصة للتكاملات المحدودة المتعددة الأبعاد من الصعوبة بمكان إيجاد التابع الأصلي التابع للمكامل . يحسب التكامل الأحادي الأبعاد بالصيغة التريبيعية العامة :

$$\int_a^b f(x^1) dx^1 = [f] + R_a^b[f] \quad (1)$$

$I_a^b[f]$  قيمة التكامل التقريبية ،  $R_a^b[f]$  الخطأ المتبقي . و يحسب التكامل المحدود المتعدد الأبعاد بالصيغة التكميحية التالية :

$$\int_a^b \dots \int_a^b f(x^1, x^2, \dots, x^m) dx^1 dx^2 \dots dx^m = I_B[f] + R_B[f] \quad (2)$$

$I_B[f]$  قيمة التكامل التقريبية ،  $R_B[f]$  الخطأ المتبقي . في كثير من صيغ التكامل العددي يمكن تخمين الأخطاء المتبقية . و فيما يلي ستعرض الصيغ التريبيعية للتكامل العددي بإيجاز بينما سيستغنى عن عرضها للصيغ التكميحية .

### صيغة القيمة المتوسطة للتكامل العددي :

فكرة هذه الصيغة بسيطة و تلخص بما يلي : إذا علمت قيم التابع المراد مكاملته  $y = f(x)$  في النقاط  $x_i$  و لتكن هذه القيم  $y_i = f(x_i)$  حيث  $x_i$  قيم تقع ضمن مجال التكامل  $[a, b]$  أي  $a \leq x_0 \leq x_1 \leq \dots \leq x_n \leq b$  ، عندها يمكن تقريب التابع المراد مكاملته بكثير حدود من الدرجة  $n+1$  ( إذ أن عدد النقاط  $x_i$  المعتبرة  $n+1$  ) والأخير يملك تابعاً أصلياً معروفاً و يمكن حساب تكامله بدقة . والشكل العام لصيغة القيم المتوسطة للتكامل العددي هو :

$$\int_a^b f(x)dx = \frac{b-a}{p} \sum_{i=1}^n p^i y_i + R_n^b[f] \quad (3)$$

حيث  $p^i > 0$  و  $p^1 + p^2 + \dots + p^n = p$  و يطلق عليها أوزان القيم  $y_i$  للتابع  $y(x)$  . و تنتج الصيغ المختلفة المعروفة للتكامل العددي وفق الفرضيات حول عدد و موقع نقاط الاستنباط  $y_i$  أو حول الأوزان  $p^i$  . هناك صيغ متعددة للتكامل العددي تنتج من استخدام توابع لاغرنج المذكورة في الملحق الأول لتقريب التابع المكامل ، حيث تصبح الصيغة (3) كما يلي :

$$\int_a^b f(x)dx = \frac{nh}{p^n} \sum_{j=0}^n f(a+jh)p^{jn} + R_n^b[f] \quad (4)$$

حيث :

$$p^n = \sum_{j=0}^n p^{jn}; h = \frac{b-a}{n}; x_0 = a; x_n = b \quad (5)$$

هذه الصيغة العامة تحوي صيغ معروفة في التكامل العددي . فمن أجل  $n=1$  تمثل الصيغة (4) صيغة شبه المنحرف في التكامل العددي ، و من  $n=2$  صيغة سمبسون أو كبلر و من أجل  $n=3$  تمثل صيغة  $(\frac{3}{8} - \text{نيوتن})$  و الجدول التالي يعطي المعاملات  $p^n, p^{jn}, n$  للصيغ المعروفة هذه :

n	p <sup>n</sup>	p <sup>0n</sup>	p <sup>1n</sup>	p <sup>2n</sup>	p <sup>3n</sup>	p <sup>4n</sup>	p <sup>5n</sup>	p <sup>6n</sup>
1	2	1	1					
2	6	1	4	1				
3	8	1	3	3	1			
4	90	7	32	12	32	7		
5	288	19	75	20	20	75	19	
6	840	41	216	27	272	27	216	41

عند تحويل التكامل العددي إلى تكامل ضمن المجال  $[-1, +1]$  بالشكل :

$$I = \int_{-1}^{+1} f(x) dx = \sum_{i=1}^n H_i f(x_i) \quad (6)$$

سوف نجد أن صيغة شبه المنحرف و صيغة سمبسون و صيغة نيوتن تمثل على التوالي بالعلاقات :

$$I = f(-1) + f(+1)$$

$$I = \frac{1}{3} [f(-1) + 4f(0) + f(+1)] \quad (7)$$

$$I = \frac{1}{4} [f(-1) + 3f(-\frac{1}{3}) + 3f(\frac{1}{3}) + f(+1)]$$

و هذه العلاقات تفسر طريقة استخدام معاملات الجداول السابق .

**صيغة غاوس التربيعية :**

هذه الطريقة في إنجاز التكاملات العددية تعتمد في البدء على تحديد عدد نقاط الاستنباط  $x_i$  و

ليس على تحديد مواقعها . بعد تحديد عدد نقاط الاستنباط أو نقاط غاوس الوزنية يحاول المرء

حساب الأوزان و تحديد إحداثيات نقاط الاستنباط بحيث يكون خطأ التكامل أصغر مما يمكن .

فإذا أردنا تحديد التابع التقريبي الممثل لتابع التكامل :

$$I = \int_{-1}^{+1} f(\theta) d\theta = \sum_{i=1}^n H_i f(\theta^i) \quad (8)$$

حيث  $\theta^i$  إحداثيات نقاط الاستنباط ،  $H_i$  أوزان غاوس ، فلعدد  $n$  من هذه النقاط لدينا  $2n$  مجهول ممثلة بقيم التابع  $f(\theta^i)$  و الأوزان  $H_i$  . وكثير الحدود الذي يجب افتراضه للتقريب من الدرجة  $2n-1$  و خطأ التكامل من الدرجة  $(\Delta^{2n})$  . يبرهن أن للمعادلات الآتية الناتجة عن افتراض التابع التقريبي حلولاً بصيغة ما يعرف بكثيرات حدود Legendre . و في الجدول a2 نجد قيم الإحداثيات  $\theta$  لنقاط الاستنباط و الأوزان  $H$  لأعداد مختلفة من نقاط غاوس . أثبتت صيغة غاوس التريبية جدارتها للاستخدام في تطوير مصفوفات العنصر للعناصر المنتهية ذات الطوبولوجية الهندسية المعقدة . و سوف ترمج هذه الطريقة لتطوير مصفوفة القساوة لعنصر البلاطة ACM في الملحق الثالث من هذا الكتاب .

n	$\pm \theta$			H		
1	0.00000	00000	00000	2.00000	00000	00000
2	0.57735	02691	89626	1.00000	00000	00000
	0.77459	66692	41483	0.55555	55555	55556
3	0.00000	00000	00000	0.88888	88888	88889
	0.86113	63115	94053	0.34785	48451	37454
4	0.33998	10435	84856	0.65214	51548	62546
	0.90617	98459	38664	0.23692	68850	56189
5	0.53846	93101	05683	0.47862	86704	99366
	0.00000	00000	00000	0.56888	88888	88889
	0.93246	95142	03152	0.17132	44923	79170
6	0.66120	93864	66265	0.36076	15730	48139
	0.23861	91860	83197	0.46791	39345	72691
	0.94910	79123	42759	0.12948	49661	68870
7	0.74153	11855	99394	0.27970	53914	89277
	0.40584	51513	77397	0.38183	00505	05119
	0.00000	00000	00000	0.41795	91836	73469

الجدول a2 : قيم الإحداثيات  $\theta$  لنقاط الاستنباط و الأوزان  $H$  لأعداد مختلفة من نقاط غاوس.

أثناء تطوير مصفوفة القساوة للعنصر المذكور نجد أنفسنا أمام تكامل ثنائي على مساحة سطح العنصر من الشكل :

$$I = \int_{-1}^{+1} \int_{-1}^{+1} f(\theta^1, \theta^2) d\theta^1 d\theta^2 \quad (9)$$

بحسب في البدء التكامل بالنسبة لـ  $\theta^1$  باعتبار  $\theta^2$  ثابت و ذلك كما يلي :

$$\int_{-1}^{+1} f(\theta^1, \theta^2) d\theta^1 = \sum_{j=1}^n H_j f(\theta_{(j)}^1, \theta^2) d\theta^1 = \psi(\theta^2) \quad (10)$$

و من ثم بحسب التكامل بالنسبة لـ  $\theta^2$  :

$$\begin{aligned} I &= \int_{-1}^{+1} \psi(\theta^2) d\theta^2 = \sum_{i=1}^n H_i \psi(\theta_{(i)}^2) = \sum_{i=1}^n H_i \sum_{j=1}^n H_j f(\theta_{(i)}^1, \theta_{(j)}^2) \\ &= \sum_{i=1}^n \sum_{j=1}^n H_i H_j f(\theta_{(i)}^1, \theta_{(j)}^2) \end{aligned} \quad (11)$$

و هكذا تحسب قيمة التكامل (9) ببساطة بحساب قيم التابع  $f(\theta^1, \theta^2)$  في نقاط الاستنباط أو نقاط غاوس الوزنية المعطاة إحداثياتها  $\theta^1, \theta^2$  و أوزانها  $H_i$  في الجدول السابق ومن ثم تجمع القيم الناتجة بعد ضربها بالأوزان  $H_i$  على كامل النقاط المعتمدة . و عند الإنتقال إلى دراسة العناصر المنتهية الحجمية نواجه مسألة حساب التكامل الحجمي :

$$I = \int_{-1}^{+1} \int_{-1}^{+1} \int_{-1}^{+1} f(\theta^1, \theta^2, \theta^3) d\theta^1 d\theta^2 d\theta^3 \quad (12)$$

بحسب هذا التكامل بشكل مشابه للعلاقة (11) ، و العلاقة التالية تمثل طريقة هذا الحساب :

$$I = \int_{-1}^{+1} \int_{-1}^{+1} \int_{-1}^{+1} f(\theta^1, \theta^2, \theta^3) d\theta^1 d\theta^2 d\theta^3 = \sum_{i=1}^n \sum_{j=1}^n \sum_{k=1}^n H_i H_j H_k f(\theta_{(i)}^1, \theta_{(j)}^2, \theta_{(k)}^3) \quad (13)$$

و نتيجة التكامل هي مجموع جداء قيم التابع  $f(\theta^1, \theta^2, \theta^3)$  في نقاط الاستنباط أو نقاط غلوس الوزنية في أوزان هذه النقاط .

### الملحق الثالث :

في هذا الملحق ستم إيراد نصوص برامج جزئية مكتوبة بلغة الـ C لإنشاء مصفوفة القساوة لعنصر البلاطة المسمى ب (ACM) و المشروح في الفصل السادس الفقرة 6 - 4 و لحل جملة المعادلات الخطية بطريقة غاوس Gauss للمصفوفات غير المتناظرة و بطريقة غاوس المترابطة للمصفوفات المتناظرة . يستدعى البرنامج الجزئي الذي ينشئ مصفوفة القساوة لعنصر البلاطة بالشكل :

Stiff(mat,koor,prop);

mat : حقل ثنائي الأبعاد يتألف من  $12 \times 12$  عنصراً يتم إنشاؤه من خلال البرنامج .  
 koor : حقل ثنائي يتألف من  $4 \times 3$  عنصراً و يجب أن يحتوي أثناء استدعاء البرنامج Stiff على الإحداثيات الديكارتية لعقد العنصر المنتهي مرتبة باتجاه دوران واحد مثلاً  $(i), (j), (k), (\ell)$   
 prop : حقل أحادي البعد يتألف من ثلاثة عناصر ، عنصره الأول prop[o] يحتوي على معامل مرونة E ، وعنصره الثاني prop[1] على معامل بواسون  $\nu$  وعنصره الثالث prop[2] سماكة عنصر البلاطة . يستخدم البرنامج التكامل العددي على نقاط غاوس لإنشاء مصفوفة القساوة . و عدد النقاط المستخدمة أربع نقاط تحدد إحداثياتها الطبيعية في البرنامج الجزئي (header,file) . gauss.h

يجري تطوير مصفوفة القساوة في البدء في الإحداثيات الطبيعية و من ثم تحول إلى الإحداثيات الديكارتية . يستدعى برنامج حل جملة المعادلات الخطية بطريقة غاوس للمصفوفات غير المتناظرة بالتعليمة :

gauss(a,n,x,b);

a : مؤشر على مصفوفة الأمثال المختزنة سطرأ بعد الآخر . ويبين الشكل التالي تقابل عناصر المصفوفة و المؤشر :

$a_{11}$	$a_{12}$	...	$a_{1n}$
$a_{21}$	$a_{22}$	...	$a_{2n}$
..	..	$a_{ij}$	...
$a_{n1}$	$a_{n2}$	...	$a_{nn}$

مصفوفة الأمثال

a	a+1	..	a+n-1
a+n	a+n+1	..	a+2n-1
..	..	a+i.n+j	..
a+n(n-1)	...	...	a+n.n-1

مصفوفة المؤشر على مصفوفة الأمثال

n : عدد أسطر مصفوفة الأمثال و هو مساو لعدد أعمدها .

x : مؤشر على مجاهيل جملة المعادلات الخطية .

b : مؤشر على الطرف الثاني لجملة المعادلات .

يستدعى برنامج حل جملة المعادلات الخطية بطريقة غاوس المترابطة للمصفوفات المتناظرة بالتعليمية

التالية: vk - gauss ( a,az,x,b);

a : مؤشر على مصفوفة الأمثال المختزن نصفها كما يلي :

$$\begin{bmatrix} a_{11} & a_{12} & \dots & a_{1n} \\ .. & a_{22} & \dots & a_{2n} \\ .. & \dots & .. & : \\ .. & .. & .. & a_{nn} \end{bmatrix} \quad \begin{bmatrix} a_{11} & a_{12} & \dots & a_{1n} \\ a_{22} & .. & a_{2n} \\ : & .. \\ a_{nn} \end{bmatrix}$$

مصفوفة الأمثال المتناظرة

اختزان نصف مصفوفة الأمثال

و قد اختير هذا الشكل من الاختزان لأنه يلائم طريقة العناصر المنتهية و يمكننا من استبعاد العمليات الصفرية أثناء حل جملة المعادلات الخطية لكامل المنشأ . فمصفوفة القساوة العامة تمتلك كما رأينا الشكل الشريطي و اختزان مصفوفة الأمثال بهذا الشكل يماثل اختزان مصفوفة القساوة العامة في أغلبية برامج طريقة العناصر المنتهية .

az : عدد أسطر مصفوفة الأمثال .

as : عدد أعمدة مصفوفة الأمثال و هو مساو لـ az .

x : مؤشر على مجاهيل جملة المعادلات الخطية .

b : مؤشر على الطرف الثاني لها .

في نصوص البرامج المعطاة الكثير من الشروحات واردة كتعليق للدلالة على العملية المراد إنجازها . كما أن أسماء المتحولات قد اختيرت بحيث تشير إلى القيم التي تمثلها . فمثلاً *etens* تمثل مؤثرة المرونة في الإحداثيات الديكارتية و *enat* تمثل مؤثرة المرونة في الإحداثيات الطبيعية .

جدير بالملاحظة أن البرامج الجزئية التي لم يشر إلى اسم مؤلفها في سياق النص قد كتبت بالتعاون مع الدكتور المهندس J. Olden أثناء عمل المؤلف في المعهد العالي للطرق العددية والمعلوماتية في الهندسة المدنية والتابع لجامعة دارمشتات. وفيما يلي نصوص البرامج المذكورة :

```

/* ===== stz.c ===== */
/* F E M */
/* Abo Diab 24/4/92 */
/* ===== */
/* stiffness matrix Rectangular element */
/* P L A T T E B E N D I N G E L E M E N T (ACM) */
/* void ete() Transforming E- Tensor in nat. coord. */
/* void () calculating stiffness matrix */
/* ===== */

#include <stdio.h>
#include <math.h>
#include "gauss.h"
#include "sunc.h"
#include "fkt.h"
#define DOF 3
#define NODES 4
#define DIM 3
#define PR 3
#define LENHIFEL 20
main()
{
    static double coor[NODES][DIM] = {
        0. , 0. , 0.,
        2. , 0. , 0. ,
        2. , 2. , 0.,
        0. , 2. , 0.
    };
    static double props[] = {
        18200000.0000 , .3000 , 0.1
    };
    double mat[NODES*DOF*NODES*DOF]; /* stiffness matrix */
    /* Initializing the stiffness matrix */
    mv1000(mat,NODES*DOF*NODES*DOF );
    mv2000("element coordinates", coor, NODES, DOF, 8);
    mv2000("element properties", props, 3, 1, 0);
    /* Calculating the stiffness matrix */
    zenkie(mat, coor, props);
    /* Printing the stiffness matrix */
    mv2000("the stiffness matrix is:", mat,NODES*DOF ,
    NODES*DOF, 0); /*
}
/* ===== F E M ===== */

void zenkie(mat, coor, props)

```



```

double          mat[3 * 4][3 * 4];      /* Stiffness
matrix */
double          coor[4][3]; /* Coordinates */
double props[PR]; /* Material properties */
{
#define two_gauss_points
#include "gauss.h"

double          emo, mue, di; /* Material properties */
double          etens[16], enat[16], omab[4 * 12], rootg,
conbas[3][2],
gab[3], dum[4];

int             iz, is, kdr = 1;
emo = props[0];
mue = props[1];
di = props[2];
etensor(etens, emo, mue, di);
mv1000(mat, 12 * 12);
for (is = 0; is < stu; is++)
    for (iz = 0; iz < stu; iz++) {
        met(1, coor, gat[iz], gat[is], conbas, gab, &rootg);
        etnat(4, etens, conbas, enat);
        zktok(omab, gat[iz], gat[is]);
        mv2230b(enat, omab, mat, 4, 12, rootg * gaw[iz] *
gaw[is]);
    }
    if (kdr)
        mv2000("k in zenkie.c before transformation", mat, 12,
12, 0);
    for (iz = 1; iz <= 4; iz++) {
        met(2, coor, t1(iz), t2(iz), conbas, gab, &rootg);
        if (kdr)
            mv2000("covbas", conbas, 3, 2, 0);
        dum[0] = conbas[1][1];
        dum[1] = -conbas[1][0];
        dum[2] = -conbas[0][1];
        dum[3] = conbas[0][0];
        mv2240(mat, dum, 4, iz, 0);
    }
    if (kdr)
        mv2000("Stiffness matrix in stiff.c after
transformation", mat, 12, 12, 0);
}
void            zktok(omab, x, y)
double          omab[4][12], x, y;

```

```

{
    int                i, j;
    double             x2, xy, y2;

    x2 = x * x;
    xy = x * y;
    y2 = y * y;

    omab[0][0] = 6. * x - 6. * xy;
    omab[0][1] = 0.;
    omab[0][2] = 2. - 6. * x - 2. * y + 6. * xy;
    omab[0][3] = -6. * x + 6. * xy;
    omab[0][4] = 0.;
    omab[0][5] = -2. - 6. * x + 2. * y + 6. * xy;
    omab[0][6] = -6. * x - 6. * xy;
    omab[0][7] = 0.;
    omab[0][8] = -2. - 6. * x - 2. * y - 6. * xy;
    omab[0][9] = 6. * x + 6. * xy;
    omab[0][10] = 0.;
    omab[0][11] = 2. - 6. * x + 2. * y - 6. * xy;

    omab[1][0] = 4. - 3. * x2 - 3. * y2;
    omab[1][1] = 1. + 2. * y - 3. * y2;
    omab[1][2] = -1. - 2. * x + 3. * x2;
    omab[1][3] = -4. + 3. * x2 + 3. * y2;
    omab[1][4] = -1. - 2. * y + 3. * y2;
    omab[1][5] = -1. + 2. * x + 3. * x2;
    omab[1][6] = 4. - 3. * x2 - 3. * y2;
    omab[1][7] = -1. + 2. * y + 3. * y2;
    omab[1][8] = 1. - 2. * x - 3. * x2;
    omab[1][9] = -4. + 3. * x2 + 3. * y2;
    omab[1][10] = 1. - 2. * y - 3. * y2;
    omab[1][11] = 1. + 2. * x - 3. * x2;

    omab[2][0] = 4. - 3. * x2 - 3. * y2;
    omab[2][1] = 1. + 2. * y - 3. * y2;
    omab[2][2] = -1. - 2. * x + 3. * x2;
    omab[2][3] = -4. + 3. * x2 + 3. * y2;
    omab[2][4] = -1. - 2. * y + 3. * y2;
    omab[2][5] = -1. + 2. * x + 3. * x2;
    omab[2][6] = 4. - 3. * x2 - 3. * y2;
    omab[2][7] = -1. + 2. * y + 3. * y2;
    omab[2][8] = 1. - 2. * x - 3. * x2;
    omab[2][9] = -4. + 3. * x2 + 3. * y2;
    omab[2][10] = 1. - 2. * y - 3. * y2;
    omab[2][11] = 1. + 2. * x - 3. * x2;

```

```

omab[3][0] = 6. * y - 6. * xy;
omab[3][1] = -2. + 2. * x + 6. * y - 6. * xy;
omab[3][2] = 0.;
omab[3][3] = 6. * y + 6. * xy;
omab[3][4] = -2. - 2. * x + 6. * y + 6. * xy;
omab[3][5] = 0.;
omab[3][6] = -6. * y - 6. * xy;
omab[3][7] = 2. + 2. * x + 6. * y + 6. * xy;
omab[3][8] = 0.;
omab[3][9] = -6. * y + 6. * xy;
omab[3][10] = 2. - 2. * x + 6. * y - 6. * xy;
omab[3][11] = 0.;
for (i = 0; i < 4; i++)
    for (j = 0; j < 12; j++)
        omab[i][j] = omab[i][j] / 8.;
}

/*A===== */

void          etensor(etens, emo, mue, di)
double        etens[4][4], emo, mue, di;
!
/* Calculating Elasticity tensor */
/* */

/*E===== */

{
double        f;
f = emo * di * di * di / 12. / (1. - mue * mue);
etens[0][0] = etens[3][3] = f;
etens[0][3] = etens[3][0] = mue * f;
etens[0][1] = etens[0][2] = etens[3][1] = etens[3][2] = 0.;
etens[1][0] = etens[1][3] = etens[2][0] = etens[2][3] = 0.;
etens[1][1] = etens[1][2] =
    etens[2][1] = etens[2][2] = .5 * (1. - mue) * f;
}

/*A===== */

void          met(art, coor, t1, t2, bas, gab, rootg)
int           art;
/* 1 - contravariant Base vectors */
/* 2 - covariante Base vectors */
/* 3 calculating until rootg */
397

```

```

double coor[4][3];    /* Element cartisien Coordinates */
double t1, t2; /* points natural Coordinates */
double bas[3][2]; /* Base vectors: contra-/covariant */
double gab[3]; /* Derivatives of covariant Base vectors */
double *rootg; /* root of Determinant of covarianten */
/* Metric */
/* Metric, contravariante Base vectors usw. */
/* */

/*E===== */

{
    int i, k, alf, bet, kdr = 0;
    double formab[4][2], covmet[2][2], konmet[2][2],
    conbas[3][2], detg,fak;
    /* derivatives of Form functions for geometry of linear
    quadrangle */
    formab[0][0] = .25 * (t2 - 1.);
    formab[0][1] = .25 * (t1 - 1.);
    formab[1][0] = .25 * (1. - t2);
    formab[1][1] = -.25 * (1. + t1);
    formab[2][0] = .25 * (1. + t2);
    formab[2][1] = .25 * (1. + t1);
    formab[3][0] = -.25 * (1. + t2);
    formab[3][1] = .25 * (1. - t1);
    if (kdr)
        mv2000("Formab", formab, 4, 2, 0);
    /* calculating covariant Base vectors */
    /* bas(i,alf)=coor(i,k)*formab(k,alf) */
    for (alf = 0; alf <= 1; alf++)
        for (i = 0; i <= 2; i++) {
            bas[i][alf] = 0.;
            for (k = 0; k <= 3; k++)
                bas[i][alf] += coor[k][i] * formab[k][alf];
        }
    if (kdr)
        mv2000("bas in str.c", bas, 3, 2, 0);
    if (art != 2) {
        /* calculating covariant metric */
        /* covmet(alf,bet) = bas(i,alf)*bas(i,bet) */
        for (bet = 0; bet <= 1; bet++)
            for (alf = 0; alf <= 1; alf++) {
                covmet[alf][bet] = 0.;
                for (i = 0; i <= 2; i++)
                    covmet[alf][bet] += bas[i][alf] * bas[i][bet];
            }
    }
}

```

```

        if (kdr)
            mv2000("covmet", covmet, 2, 2, 0);
/* root of determinant of covariant metric */
        detg = covmet[0][0] * covmet[1][1] - covmet[1][0] *
covmet[0][1];
        *rootg = sqrt(detg);
        if (art != 3) {
/* derivative of covariant Base vectors */
            for (i = 0; i <= 2; i++)
                gab[i] = .25 * (coor[0][i] - coor[1][i] + coor[2][i]
- coor[3][i]);
/* calculating contravariant metric konmet=1/covmet */
            fak = 1. / detg;
            konmet[0][0] = fak * covmet[1][1];
            konmet[0][1] = -fak * covmet[0][1];
            konmet[1][0] = -fak * covmet[1][0];
            konmet[1][1] = fak * covmet[0][0];
/* Calculating of contravariant Base vectors */
/* bas(i,alf)=bas(i,bet)*konmet(bet,alf) */
            for (alf = 0; alf <= 1; alf++)
                for (i = 0; i <= 2; i++) {
                    conbas[i][alf] = 0.;
                    for (bet = 0; bet <= 1; bet++)
                        conbas[i][alf] += bas[i][bet] * konmet[bet][alf];
                }
            for (alf = 0; alf <= 1; alf++)
                for (i = 0; i <= 2; i++)
                    bas[i][alf] = conbas[i][alf];
        }
    }
}

/*A===== */

void      etnat(art, etens, conbas, enat)
int      art;                      /* 2 - enat(i,k,gam,del) */
                      /* 4 - enat(alf,bet,gam,del) */
double   etens[2][2][2][2];      /* E - Tensor, kart. Base */
double   conbas[3][2];           /* contravar. Base vectors */
double   enat[2][2][2][2];       /* E - Tensor, nat. Base */

/* Transformation of E- Tensors in nat. Coord. */

/*E===== */

```

```

{
    int            i, k, l, m, alf, bet, gam, del, kdr;
    double         c[2][2][2][2];
    kdr = 0;
    if (kdr)
        mv2000("conbas in etnat", conbas, 3, 2, 0);

    for (i = 0; i < 2; i++)
        for (k = 0; k < 2; k++)
            for (l = 0; l < 2; l++)
                for (del = 0; del < 2; del++) {
                    c[i][k][l][del] = 0.0;
                    for (m = 0; m < 2; m++)
                        c[i][k][l][del] += etens[i][k][l][m] *
conbas[m][del];
                }
    for (i = 0; i < 2; i++)
        for (k = 0; k < 2; k++)
            for (gam = 0; gam < 2; gam++)
                for (del = 0; del < 2; del++) {
                    enat[i][k][gam][del] = 0.0;
                    for (l = 0; l < 2; l++)
                        enat[i][k][gam][del] += c[i][k][l][del] *
conbas[l][gam];
                }
    if (art == 4 || art == 3) {
        for (i = 0; i < 2; i++)
            for (bet = 0; bet < 2; bet++)
                for (gam = 0; gam < 2; gam++)
                    for (del = 0; del < 2; del++) {
                        c[i][bet][gam][del] = 0.0;
                        for (k = 0; k < 2; k++)
                            c[i][bet][gam][del] += enat[i][k][gam][del] *
conbas[k][bet];
                    }
        if (art != 3) {
            for (alf = 0; alf < 2; alf++)
                for (bet = 0; bet < 2; bet++)
                    for (gam = 0; gam < 2; gam++)
                        for (del = 0; del < 2; del++) {
                            enat[alf][bet][gam][del] = 0.0;
                            for (i = 0; i < 2; i++)
                                enat[alf][bet][gam][del] += c[i][bet][gam][del]
* conbas[i][alf];
                        }
        }
    }
}

```

```

    }
    if (art == 3)
        for (i = 0; i < 2; i++)
            for (k = 0; k < 2; k++)
                for (l = 0; l < 2; l++)
                    for (m = 0; m < 2; m++)
                        enat[i][k][l][m] = c[i][k][l][m];
    if (kdr) {
        for (i = 0; i < 2; i++)
            for (k = 0; k < 2; k++)
                for (l = 0; l < 2; l++)
                    for (m = 0; m < 2; m++)
                        printf("\n (%d ,%d ,%d ,%d )= %f\n", i, k, l, m,
                            enat[i][k][l][m]);
    }
}
/*A===== */

void          mv2230b(a, b, c, abz, bs, f)
double        *a, *b, *c; /* erstes Element von A ,B, C */
int           abz, bs; /* Dimensionen der Matrizen A, B */
double        f; /* Skalierungsfaktor */

/* Matrix C = Matrix C + Matrix B T * Matrix A * Matrix B *
Faktor f */
/* */

/*E===== */

{
double hifel[ LENHIFEL*LENHIFEL];
    if ((abz * bs) > (LENHIFEL * LENHIFEL))
        fprintf(stderr, "FEHLER:mv2230b:internes Feld zu klein:
%d < %d\n",
            LENHIFEL * LENHIFEL, abz * bs);
    else {
        mv2221(b, a, hifel, abz, bs, abz);
        mv2220b(hifel, b, c, abz, bs, bs, f);
    }
}

/*A===== */

void          mv2221(a, b, c, abz, as, bs)
double        *a, *b, *c; /* first Element der Matrices
A, B, C */

```

```

int          azbz, as, bs; /* Dimension of A, B und C */

/* Matrix C = Matrix A T * Matrix B, nicht ueberschreibend
*/
/* */

/*E===== */

{
    register          lauf = 0, iz, is;
    double            t, *la, *lb;

    for (iz = 0; iz < as; iz++) {
        for (is = 0; is < bs; is++) {
            la = a;
            lb = b;
            t = 0.;
            for (lauf = 0; lauf < azbz; lauf++) {
                t += (*la) * (*lb);
                lb += bs;
                la += as;
            }
            (*c++) = t;
            b++;
        }
        a++;
        b -= bs;
    }
}

/*A===== */

void mv2220b(a, b, c, asbz, az, bs, fak)
double *a, *b, *c; /* first Element of Matrices A, B, C */
int     az, bs, asbz; /* Dimensionen von A, B und C */
double  fak;          /* Skalierungsfaktor */

/* Matrix C += Matrix A * Matrix B * Faktor f */
/* */

/*E===== */

{
    register          lauf = 0, iz, is;
    double            t, *la, *lb;

```



```

    for (iz = 0; iz < az; iz++) {
        for (is = 0; is < bs; is++) {
            la = a;
            lb = b;
            t = 0.;
            for (lauf = 0; lauf < asbz; lauf++) {
                t += (*la++) * (*lb);
                lb += bs;
            }
            (*c++) += t * fak;
            b++;
        }
        a += asbz;
        b -= bs;
    }
}

/*A===== */

void          mv1000(a, dim)
double        *a;          /* nullzusetzender Vector */
int           dim;         /* Groesze des Vectors */

/* Nullsetzen */
/* */

/*E===== */

{
    register    lauf = 0;
    while (lauf++ < dim)
        *a++ = 0.;
}

/*A===== */

void          mv2000(text, mat, zei, spa, art)
char          *text;        /* row head with printing */
double        mat[];        /* printed Matrix */
int           zei, spa;     /* Matrix size*/
int           art;          /* output control: */
/* 1 - without row head */
/* 2 - without column numbering */
/* 4 - without row numbering */
/* 8 - without new line after 3 rows */
/* 16 - without page proof after 6 columns */

```

```

/* 32 - without Stop after output */
/* 64   separating elements with commas */

/* control print with e- or. f- Format */
/* */

/*E===== */

{
    int          iz, is, isa = -6, ise, next;
    double       out;
    char         tren[2];
/* unknown Bit placed */
    if ((art > 127) || (art < 0))
        art = 0;
/* row head */
    if (!(art & 1))
        printf("%s: %d row %d column\n", text, zei, spa);
    do {
/* separating in row blocks */
        isa += 6;
        if (((spa - isa) < 7) || (art & 16)) {
            ise = spa;
            next = 0;
        } else {
            ise = isa + 6;
            next = 1;
        }
/* columns numbering */
        if (!(art & 2)) {
            if (!(art & 4))
                printf(" ");
            for (is = isa; is < ise; is++)
                printf(" %3d ", is + 1);
            printf("\n");
        }
/* separating symbols */
        tren[0] = ((art & 64) ? ',' : ' ');
        tren[1] = '\0';
/* Table */
        for (iz = 0; iz < zei; iz++) {
/* row numbering */
            if (!(art & 4))
                printf("%3d: ", iz + 1);
            for (is = isa; is < ise; is++) {
                out = mat[iz * spa + is];

```

```

/* Format control */
    if (out >= 100000. || out <= -10000. ||
        (out < .1 && out > -.1))
        printf("%11.4e%s", out, tren);
    else
        printf("%12.5f%s", out, tren);
    }
    printf("\n");
/* new line */
    if (!(art & 8) && ((iz + 1) % 3 == 0) && iz && (zei -
iz - 1))
        printf("\n");
    }
/* Stop after output of one Block */
    if (!(art & 32)) {
        printf("<Enter>\n");
        getchar();
    } else if (next)
        printf("\n");
    } while (next);
}

/*A===== */

void      mv2240(a, t, ba, bt, art)
double    *a;                /* first Element of A */
double    *t;                /* first of 4 main Elements of T */
int        ba;               /* A has the size (ba * 3) * (ba * 3) */
int        bt;               /* only the bt-te 3- Block of T is != E */
int        art;              /* Art of Transformation: */
/* art = 0 : Matrix T T * Matrix A * Matrix T */
/* art = 1 : only T T * A */
/* art = 2 : only A * T */
/* art = 3 : A is Vector (ba * 3) * 1, nur A * T == T T *
A */
/* art = 4 : A ist Vector (ba * 3) * 1, nur A * T T == T
* A */

/*      1   0   0 */
/* T =  0  t0  t1 */
/*      0  t2  t3 */
/* */

/*E===== */

{

```

```

int          iz, is, ib, spa;
double       *lp, r1, r2;

spa = 3 * ba;

if (art == 0 || art == 1) {
/* T T * A */
    lp = a + (bt * 3 - 2) * spa;
    for (ib = 0; ib < 3 * ba; ib++) {
        r1 = *lp;
        r2 = *(lp + spa);
        *lp = r1 * *t + r2 * *(t + 2);
        *(lp + spa) = r1 * *(t + 1) + r2 * *(t + 3);
        lp++;
    }
}
if (art == 0 || art == 2 || art == 3) {
/* A * T or Vector A * T */
    lp = a + bt * 3 - 2;
    for (ib = 0; ib < 3 * ba; ib++) {
        r1 = *lp;
        r2 = *(lp + 1);
        *lp = r1 * *t + r2 * *(t + 2);
        *(lp + 1) = r1 * *(t + 1) + r2 * *(t + 3);
        if (art == 3)
            break;
        lp += spa;
    }
}
if (art == 4) {
/* Vector A * T T */
    lp = a + bt * 3 - 2;
    r1 = *lp;
    r2 = *(lp + 1);
    *lp = r1 * *t + r2 * *(t + 1);
    *(lp + 1) = r1 * *(t + 2) + r2 * *(t + 3);
}
}

/*A===== */

double       t1(lnr)
int          lnr;

/* coordinates of nodes in depending on lfd. Nr. */

```

```

/*E===== */
{
    if (lnr == 1)
        return -1.;
    else if (lnr == 2)
        return 1.;
    else if (lnr == 3)
        return 1.;
    else
        return -1.;
}

/*A===== */

double          t2(lnr)
    int          lnr;

/* coordinates of nodes depending on lfd. Nr. */

/*E===== */
{
    if (lnr == 1)
        return -1.;
    else if (lnr == 2)
        return -1.;
    else if (lnr == 3)
        return 1.;
    else
        return 1.;
}

/* ===== EOF ===== */

/* ===== */
/* Standard library IiB : Include-File with all subprograms
/Functions */
/*===== */
/*
*/
/* ===== */

#ifndef    _libsunc_h

```

```

#define      _libsunc_h

#define mv2212(a,b,c,azbs,as) mv2211(a,b,c,azbs,as)
#define mv2213(a,b,c,asbs,az) mv2210(a,b,c,asbs,az)

extern int      mi2021( /* mat, zei, spa */ );
extern int      mi2300( /* a, len */ );
extern int      mi2310( /* a, ub */ );
extern int      mi2320( /* a, b, ub, rs */ );
extern int      mi2341( /* a, b, c, az */ );
extern int      mi2342( /* a, b, c, az */ );
extern void     mv1000( /* a, dim */ );
extern void     mv1001( /* a, b, dim */ );
extern void     mv1100( /* a, b, c, dim */ );
extern void     mv1101( /* a, b, c, dim */ );
extern void     mv1201( /* a, b, dim, f */ );
extern void     mv1202( /* a, b, c, dim, f */ );
extern void     mv2000( /* text, mat, zei, spa, art
*/ );
extern void     mv2010( /* mat, zei, spa, min, max,
art */ );
extern void     mv2011( /* mat, zei, spa */ );
extern void     mv2030( /* a, b, az, as */ );
extern void     mv2210( /* a, b, c, asbz, az */ );
extern void     mv2210a( /* a, b, c, asbz, az */ );
extern void     mv2210b( /* a, b, c, asbz, az */ );
extern void     mv2211( /* a, b, c, azbz, as */ );
extern void     mv2211a( /* a, b, c, azbz, as */ );
extern void     mv2220( /* a, b, c, asbz, az, bs */
);
extern void     mv2220a( /* a, b, c, asbz, az, bs */
);
extern void     mv2220b( /* a, b, c, asbz, az, bs,
fak */ );
extern void     mv2221( /* a, b, c, azbz, as, bs */
);
extern void     mv2221a( /* a, b, c, azbz, as, bs */
);
extern void     mv2222( /* a, b, c, asbs, az, bz */
);
extern void     mv2222b( /* a, b, c, asbs, az, bz, f
*/ );
extern void     mv2223( /* a, b, c, azbs, as, bz */
);
extern void     mv2230( /* a, b, c, abz, bs */ );

```

```

extern void          mv2230b( /* a, b, c, abz, bs, f */
);
extern void          mv2231( /* a, b, c, abs, bz */ );
extern void          mv2231b( /* a, b, c, abs, bz, f */
);
extern void          mv2232( /* a, b, c, abz, bs */ );
extern void          mv2233( /* a, b, c, abs, bz */ );
extern void          mv2240( /* a, t, ba, bt, art */ );
extern void          mv2240a( /* a, t, ba, bt, art */ );
extern void          mv2315( /* a, b, x, ub, rs */ );
extern void          mv2321( /* a, b, x, n */ );
extern void          mv2322( /* a, b, x, n */ );
extern void          mv2330( /* a, b, x, ub, rs */ );
extern double        md1200( /* a, b, dim */ );
extern double        md2200( /* a, b, c, az, as */ );
extern double        md2201( /* a, b, dim */ );
extern double        sd0010( /* */ );
extern double        *mp2020( /* zei, spa, art */ );

#endif                                /* !_libsunc_h */
/*=====gauss.h===== */
/* FEM : Include-File Gauss-Integration: coordinates of
Gauss pointss and weights */
/*===== */
/* */
/*===== */

#ifdef _gauss_h
#define _gauss_h
#endif                                /* !_gauss_h */

#ifdef one_gauss_point
static int           stu = 1;
static double        gat[1] = {0.};
static double        gaw[1] = {2.};
#endif
#ifdef two_gauss_points
static int           stu = 2;
static double        gat[2] = {-0.577350269189626,
.577350269189626};
static double        gaw[2] = {1., 1.};
#endif
#ifdef three_gauss_points
static int           stu = 3;
static double        gat[3] = {.774596669241483, 0., -
.774596669241483};

```

```

static double   gaw[3] = {.5555555555555556,
.888888888888889,
.5555555555555556};
#endif
#ifdef four_gauss_points
static int      stu = 4;
static double   gat[4] = {.861136311594053,
.339981043584856,
-.339981043584856, -.861136311594053};
static double   gaw[4] = {.347854845137454,
.652145154862546,
.652145154862546, .347854845137454};
#endif
#ifdef five_gauss_points
static int      stu = 5;
static double   gat[5] = {.906179845938664,
.538469310105683,
0., -.538469310105683, -.906179845938664};
static double   gaw[5] = {.236926885056189,
.478628670499366,
.568888888888889, .478628670499366, .236926885056189};
#endif
#ifdef sechs_gauss_points
static int      stu = 6;
static double   gat[6] = {.932469514203152,
.661209386466265,
.238619186083197, -.238619186083197, -.661209386466265,
-.932469514203152};
static double   gaw[6] = {.171324492379170,
.360761573048139,
.467913934572691, .467913934572691, .360761573048139,
.171324492379170};
#endif
#ifdef seven_gauss_points
static int      stu = 7;
static double   gat[7] = {.949107912342759,
.741531185599394,
.405845151377397, 0., -.405845151377397, -
.741531185599394,
-.949107912342759};
static double   gaw[7] = {.129484966168870,
.279705391489277,
.381830050505119, .417959183673469, .381830050505119,
.279705391489277, .129484966168870};
#endif
#ifdef eight_gauss_points

```



```

static int      stu = 8;
static double   gat[8] = {.960289856497536,
.796666477413627,
.525532409916329, .183434642495650, -.183434642495650,
-.525532409916329, -.796666477413627, -.960289856497536};
static double   gaw[8] = {.101228536290376,
.222381034453374,
.313706645877887, .362683783378362, .362683783378362,
.313706645877887, .222381034453374, .101228536290376};
#endif
#ifdef nine_gauss_points
static int      stu = 9;
static double   gat[9] = {.968160239507626,
.836031107326636,
.613371432700590, .324253423403809, 0., -
.324253423403809,
-.613371432700590, -.836031107326636, -.968160239507626};
static double   gaw[9] = {.081274388361574,
.180648160694857,
.260610696402935, .312347077040003, .330239355001260,
.312347077040003, .260610696402935, .180648160694857,
.081274388361574};
#endif
#ifdef ten_stst
static int      stu = 10;
static double   gat[10] = {.973906528517172,
.865063366688985,
.679409568299024, .433395394129247, .148874338981631,
-.148874338981631, -.433395394129247, -.679409568299024,
-.865063366688985, -.973906528517172};
static double   gaw[10] = {.066671344308688,
.149451349150581,
.219086362515982, .269266719309996, .295524224714753,
.295524224714753, .269266719309996, .219086362515982,
.149451349150581, .066671344308688};
#endif

/* ===== EOF ===== */
/*A===== */
/*
/* mv2321(a,b,x,n) : system of equaion  a * x = b
/* GAUSS Algorithm
/* a : pointer to a-Matrix ,n number of rows or columns
/* b : pointer to b matrix
/* x : pointer to unknowns
/* ===== Abo Diab ,den 20.04.91 =====*/

```

```

void          gauss(a, b, x, n)
double        *a, *b, *x;
int           n;

/*E===== */

{
    int          i, j, k, l, in, ln, kn;
    double        s, t;
    /*-----forward elimination-----*/
    for (i = 0; i < n - 1; i++) {
        /*----- greatest Pivot element -----*/
        s = 0;
        in = i * n;
        for (k = i; k < n; k++) {
            t = fabs(*(a + k * n + i));
            if (t > s) {
                s = t;
                l = k;
                ln = l * n;
            }
        }
        /*----- rows exchange-----*/
        for (j = 0; j < n; j++) {
            s = *(a + in + j);
            *(a + in + j) = *(a + ln + j);
            *(a + ln + j) = s;
        }
        s = *(b + i);
        *(b + i) = *(b + l);
        *(b + l) = s;
        /*----- a singular -----*/
        if (fabs(*(a + in + i) / *(a + ln + l)) < 0.000000001)
            printf("\n coefficient matrix a is singular");
        /*----- Elimination stage k -----*/
        for (k = i + 1; k < n; k++) {
            kn = k * n;
            s = *(a + kn + i) / *(a + in + i);
            *(a + kn + i) = 0;
            for (j = i + 1; j < n; j++) {
                *(a + kn + j) -= s * (*(a + in + j));
            }
            *(b + k) -= s * *(b + i);
        }
    }
    /*----- backward elimination -----*/

```

```

*(x + n - 1) = (*(b + n - 1)) / (*(a + n * n - 1));
for (i = (n - 2); i >= 0; i--) {
    in = i * n + i;
    *(x + i) = *(b + i);
    for (k = 1; k < n - i; k++) {
        *(x + i) -= (*(a + in + k)) * (*(x + i + k));
    }
    *(x + i) = (*(x + i)) / (*(a + in));
}
}

/*A=====vk_gauss.c===== */
/*
/* mv2322(a,b,x,n) : system of equations  a * x = b      */
/* interlinked GAUSS Algorithmu                      */
/* a : pointer to a-Matrix , n number of rows or columns */
/* b : pointer to right side b                        */
/* x : pointer to the vector of Unknowns x            */
/* matrix a is symmetric and Over diagonal elements  */
/* are arranged as one row .                          */
/*                                                     */
/* ===== Abo Diab ,den 09.04.91 ===== */
void      vk_gauss(a, b, x, n)
double    *a, *b, *x;
int       n;

/*E===== */

{
    int      i, j, k, zde, zd, zdi, zdk, zdj, zdjr;
    zd = n;
/*----- forward elimination -----*/

    for (i = 1; i < n; i++) {

        for (k = 0; k < (n - i); k++) {
            zdj = 0;
            zdi = i;
            zdk = i + k;
            for (j = 0; j < i; j++) {

                *(a + zd + k) -= ((*a + zdi)) * (*(a + zdk))) / (*(a
+ zdj));

                zdj += n - j;

```

```

        zdi += n - j - 1;
        zdk += n - j - 1;
    }
}
zdjr = 0;
zdi = i;
for (j = 0; j < i; j++) {

    *(b + i) -= ((*a + zdi) * *(b + j)) / (*(a +
zdjr));

    zdjr += n - j;
    zdi += n - j - 1;
}
zd += (n - i);

}

/*----- backward elimination -----*/
zde = n * (n - 1) / 2 + n - 1;
*(x + n - 1) = *(b + n - 1) / (*(a + zde));
zd = 1;
for (i = (n - 2); i >= 0; i--) {
    zd++;
    zde -= zd;
    zdi = n - zd;
    *(x + zdi) = *(b + zdi);
    for (k = 1; k < (n - i); k++) {
        *(x + zdi) -= (*(a + zde + k)) * (*(x + zdi + k));
    }
    *(x + zdi) = (*(x + zdi)) / (*(a + zde));
}
}
}

```

وفيما يلي حسابات مصفوفة القساورة لعنصر بلاطة مستطيل إحداثيات رؤوسه الأربعة معطاة بالشكل التالي:

$x^1(1) = 0.0$	$x^2(1) = 0.0$	$x^3(1) = 0$
$x^1(2) = 2.0$	$x^2(2) = 0.0$	$x^3(2) = 0$
$x^1(3) = 2.0$	$x^2(3) = 2.0$	$x^3(3) = 0$
$x^1(4) = 0.0$	$x^2(4) = 2.0$	$x^3(4) = 0$

Covariant basis vectors: 3 rows 2 columns

	1	2
1:	1.000	0.000e+000
2:	0.000e+000	1.000

Stiffness matrix in stiff.c after transformation: 12 rows 12 columns

	1	2	3	4	5	6
1:	4166.667	1916.667	-1916.667	-1666.667	583.333	-1666.667
2:	1916.667	2416.667	-500.000	583.333	916.667	-1.563e-013
3:	-1916.667	-500.000	2416.667	1666.667	1.847e-013	916.667
4:	-1666.667	583.333	1666.667	4166.667	1916.667	1916.667
5:	583.333	916.667	1.563e-013	1916.667	2416.667	500.000
6:	-1666.667	-1.847e-013	916.667	1916.667	500.000	2416.667
7:	-833.333	-833.333	833.333	-1666.667	-1666.667	583.333
8:	833.333	750.000	-1.421e-014	1666.667	916.667	1.563e-013
9:	-833.333	0.000e+000	750.000	583.333	-1.563e-013	916.667
10:	-1666.667	-1666.667	-583.333	-833.333	-833.333	-833.333
11:	1666.667	916.667	-1.563e-013	833.333	750.000	1.421e-014
12:	-583.333	1.563e-013	916.667	833.333	0.000e+000	750.000

<Enter>

	7	8	9	10	11	12
1:	-833.333	833.333	-833.333	-1666.667	1666.667	-583.333
2:	-833.333	750.000	-1.421e-014	-1666.667	916.667	1.421e-013
3:	833.333	0.000e+000	750.000	-583.333	-1.492e-013	916.667
4:	-1666.667	1666.667	583.333	-833.333	833.333	833.333
5:	-1666.667	916.667	-1.421e-013	-833.333	750.000	1.421e-014
6:	583.333	1.563e-013	916.667	-833.333	0.000e+000	750.000
7:	4166.667	-1916.667	1916.667	-1666.667	-583.333	1666.667
8:	-1916.667	2416.667	-500.000	-583.333	916.667	-1.563e-013
9:	1916.667	-500.000	2416.667	-1666.667	1.847e-013	916.667
10:	-1666.667	-583.333	-1666.667	4166.667	-1916.667	-1916.667
11:	-583.333	916.667	1.563e-013	-1916.667	2416.667	500.000
12:	1666.667	-1.847e-013	916.667	-1916.667	500.000	2416.667

<Enter>

في ختام هذا الكتاب سوف تعرض جملة من الملاحظات حول الأسلوب المقترح لاستنباط توابع تقريبية متعلقة بالمؤثرات الخارجية بالإضافة إلى تعلقها بدرجات الحرية ضمن العنصر المنتهي والتي عرضت أثناء معالجة مشاكل المنشآت الخطوطية والبلاطات في الفصلين الخامس والسادس من هذا الكتاب. وسيعاد عرضها بشكلها العام وهي وإن عرضت الآن لتناسب قالب نظرية المرونة في ميكانيك الإنشاءات إلا أنها قابلة للاستخدام في مجالات العلوم الأخرى التي تستخدم فيها طريقة العناصر المنتهية لحل محل المعادلات التفاضلية غير المتجانسة والتي تملك شروطاً طرفية لازمة وأخرى طبيعية. وسوف يشار إلى إمكانية استخدام التوابع التقريبية المشتقة وفق الأسلوب المقترح في طرق العناصر المنتهية المختلفة. ويناقش الشكل التغيراتي المناسب لاستخدام هذه التوابع والناعبة من خصوصيتها في تحقيقها لمحل المعادلات التفاضلية غير المتجانسة الحاكمة للمسألة المطروحة والشروط الطرفية اللازمة. كما سيناقش ترابط طرق العناصر المنتهية والتي تعتمد صيغ متغيرات مختلفة عند استخدام مثل هذه التوابع كتوابع تقريبية. وهنا أنه يجب النظر إلى هذه الملاحظات كمسودة عمل أولية نحسن الاستفادة منها بشكل أفضل بتطوير طرق استنباط تؤدي الغرض المطلوب في الحصول على توابع تقريبية تحقق المعادلات التفاضلية غير المتجانسة الحاكمة للمسألة المطروحة والشروط الطرفية اللازمة. وفي هذا السياق ستعرض فكرة لاستخدام مبرهنه غاوس في تحويل التكامل الحجمي إلى تكامل سطحي في تعيين الثوابت العشوائية للتوابع التقريبية بدلاً من عملية الاستنباط الهندسي التقليدي.

لفرض أن المعادلات التفاضلية غير المتجانسة التي تحكم المسألة المطروحة هي:

$$\Delta^{ij} u_i = \bar{p}^j \quad (8.1)$$

$\Delta$  مصفوفة من المعاملات التفاضلية،  $u_i$  التوابع المجهولة،  $\bar{p}^j$  توابع المؤثرات الخارجية. وأن

الشروط الطرفية هي التالية:

الشروط الطرفية اللازمة:

$$u_i = \bar{u}_i \quad \text{on } s_u \quad (8.2)$$

والشروط الطرفية الطبيعية:

$$\sigma^{ij} n_j = \bar{T}^i \quad \text{on } s_\sigma \quad (8.3)$$

$s_u$  جزء سطح الوسط الذي عليه التوابع  $u_i$  معلومة،  $s_\sigma$  جزء سطح الوسط الذي عليه بعد تقسيم الوسط إلى عناصر منتهية، بالإضافة إلى متطلبات الاستمرارية، والاستقلالية الخطئية

للتوابع المفترضة  $u_i$  ومتطلبات كونها كاملة أيضا تتطلب الشروط الطرفية اللازمة للعنصر المنتهي ان يكون:

$$[u_i]_{x_i = x_i(e)} = u_i(e) \quad (8.4)$$

$x_i(e)$  هي إحداثيات عقد العنصر المنتهي و  $u_i(e)$  درجات حرية عقده.

في البدء نختار التوابع التقريبية بالشكل المعاملي:

$$u_i = x_i^n \quad c_n \quad (8.5)$$

حيث تتعلق المصفوفة  $x_i^n$  بالإحداثيات المحلية  $x_i (i = 1, 2, 3)$  ، عدد من المعاملات العشوائية أكبر من العدد المعتاد بحيث يسمح باحتواء المؤثر الخارجي. بتعويض التوابع التقريبية (8.5) في المعادلات التفاضلية (8.1) نحصل على علاقة تربط بين التوابع التقريبية هذه وبين المؤثر

الخارجي:

$$(\Delta^{ij} x_i^n) c_n = \bar{p}^j \quad (8.6)$$

بمقارنة معاملات طرفي المعادلة (8.6) مع بعضها البعض يمكن التعبير عن بعض الثوابت  $c_n$  بدلالة المؤثرات الخارجية على العنصر  $\bar{p}^j$ .

لا اعتبار مؤثرات خارجية لاعلى التعيين ضمن العنصر المنتهي يمكننا استخدام التوابع التقريبية للتعبير عن المؤثرات الخارجية ضمن العنصر بدلالة شداقها على عقد العنصر:

$$(\Delta^j x_i^n) c_n = \bar{p}^j = NP_r^j \bar{p}_0^r \quad (8.7)$$

$NP_r^j$  مصفوفة توابع الشكل للمؤثرات الخارجية،  $\bar{p}_0^r$  هي قيم توابع المؤثرات الخارجية على عقد العنصر. محل مناسب للمعادلة (8.6) أو (8.7) يمكن أن ينفصل التابع التقريبي (8.5) إلى جزء متجانس بعدد من الثوابت  $c_k$  مساو لعدد درجات الحرية لعقد العنصر وآخر غير متجانس متعلق بالمؤثرات الخارجية:

$$u_i = M_i^k c_k + \bar{M}_{ij} \bar{p}^j \quad (8.8)$$

يمكن الآن تحديد الثوابت الاختيارية  $c_k$  بتعويض إحداثيات عقد العنصر في المعادلة (8.8) وعكس العلاقة الناتجة:

$$u_i(e) = A_i(e)^k c_k + \bar{A}_i(e) z \bar{p}^j \quad (8.9)$$

$$c_k = B_k^{m(e)} (u_{m(e)} - \bar{A}_m(e) z \bar{p}^j)$$

حيث  $A_i(e)^k$  و  $\bar{A}_i(e) z$  مصفوفتان تنتجان عن تعويض إحداثيات عقد العنصر في المصفوفتين  $\bar{M}_{ij}$  و  $M_i^k$  على التوالي.  $B_k^{m(e)}$  المصفوفة المعاكسة للمصفوفة  $A_i(e)^k$ ، و  $m$  قرينة تتحول مثل  $i$ . بتعويض الثوابت الاختيارية بقيمها من العلاقة (8.9) في العلاقة (8.8) نحصل على علاقة تقريبية تربط بين التوابع الانتقالات  $u_i$  ودرجات الحرية لعقد العنصر  $u_{m(e)}$  بالإضافة إلى محولات العنصر  $\bar{p}^j$

$$u_i = M_i^k B_k^{m(e)} (u_{m(e)} - \bar{A}_m(e) z \bar{p}^j) + \bar{M}_{ij} \bar{p}^j \quad (8.10)$$

$$u_i = N_i^{m(e)} u_{m(e)} + \bar{N}_{ij} \bar{p}^j$$



$$N_i^{m(e)} = M_i^k B_k^{m(e)} \quad (8.11)$$

$$\bar{N}_{ij} = -M_i^k B_k^{m(e)} \bar{A}_{m(e)j} + \bar{M}_{ij} = -N_i^{m(e)} \bar{A}_{m(e)j} + \bar{M}_{ij}$$

$N_i^{m(e)}$  هي توابع الشكل وتمثل الجزء المتحانس للتابع التقريبي،  $\bar{N}_{ij}$  هي الجزء الغير متحانس للتابع التقريبي ويتبين من المعادلة (8.11) أنه مرتبط بالجزء المتحانس آنف الذكر.

من الجدير بالذكر أيضا أن التابع التقريبي (8.10) المشتق بهذه الطريقة يمكن استخدامه في تطبيق طريقة العناصر المنتهية — نموذج Trefftz. بالإضافة إلى ذلك يمكن أن نشق منه باستخدام علاقات الإجهادات — الانتقالات توابع تقريبية للإجهادات صالحة للاستخدام في التطبيق المحين لطريقة العناصر المنتهية — نموذج الإجهادات، وذلك لأن التابع (8.10) المحقق للمعادلات التفاضلية غير المتجانسة للمسألة المعتبرة يحقق بشكل آلي معادلات التوازن غير المتجانسة لهذه المسألة.

في كثير من الأحيان قد لا نجدي طريقة الاستنباط الهندسية الموصوفة في المعادلات (8.11), (8.10), (8.9) في إيجاد علاقة تطابقية محققة للشروط الطرفية اللازمة وينتج عنها بدلا من ذلك توابع انتقالات تنصف بعدم الاستمرارية كما هو الحال مثلا عند استنباط التوابع التقريبية لعنصر بلاطة مستطيل بثلاث درجات حرية على كل عقدة. عندها يمكن الاستغناء عن طريقة الاستنباط الهندسية هذه وتستبدل بطريقة أخرى لتعيين الثوابت الاختيارية  $c_k$  حيث تستخدم التوابع التقريبية بشكلها الوارد في العلاقة (8.8) في التطبيق وتنتفي الحاجة إلى إيجاد علاقة شبيهة بالعلاقة (8.10).

### 8-3 — الصياغة المتغيرة:

لنعتبر مسألة المرونة الخطية المحكومة بالمعادلات الأساسية التالية:

معادلات التوازن

$$\sigma_{ij,j} + \bar{f}^i = 0 \quad \text{in } V \quad (8.12)$$

## علاقات التشوهات — الانتقالات

$$\varepsilon_{ij} = 1/2(u_{i,j} + u_{j,i}) \quad \text{in} \quad V \quad (8.13)$$

قانون السلوك:

$$\sigma^{ij} = c^{ijkl} \varepsilon_{kl} \quad (8.14)$$

والشروط الطرفية

الشروط الطرفية الهندسية:

$$u_i = \bar{u}_i \quad \text{on} \quad s_u \leq s \quad (8.15)$$

الشروط الطرفية الميكانيكية

$$\sigma^{ij} n_j = \bar{T}^i \quad \text{on} \quad s_\sigma = s/s_u \quad (8.16)$$

حيث  $\bar{u}_i$  توابع انتقالات معلومة على جزء السطح  $s_u$ ،  $\bar{T}^i$  توابع قوى معلومة على جزء السطح  $s_\sigma$ ،  $n_i$  مركبات شعاع النظم الخارج من السطح. يتم الحصول على المعادلة التفاضلية مصاغة باستخدام الانتقالات والمثلة بالمعادلة (8.1) بإيجاد علاقات الإجهادات — الانتقالات وذلك بتعويض علاقات التشوهات — الانتقالات (8.13) في قانون السلوك (8.14) ومن ثم تعويض الناتج في معادلات التوازن (8.12). وباعتبار ان التوابع التقريبية (المعادلة (8.10)) والمختارة بحيث تحقق المعادلة التفاضلية (8.1) وبالتالي فهي تحقق بشكل آلي المعادلات (8.12)، (8.13)، (8.14) وتحقق أيضا الشروط الطرفية الهندسية (8.15) لذا فان التعبير المتغيراتي يجب أن يقود إلى تحقيق الشروط الطرفية الميكانيكية (8.16) بشكل تقريبي. ولهذا فان التعبير المتغيراتي يجب ان يتركب من الشكل التكاملي للشروط الطرفية الميكانيكية:

$$\delta I = \int_{s_\sigma} (\sigma^{ij} n_j - \bar{T}^i) \delta u_i \, ds = 0 \quad (8.17)$$

وباعتبار أن التركيب السابق هو تعبير عام بسيط للشروط الطرفية الميكانيكية، فمن الممكن استخدامه لتطبيقات في مسائل لا تملك بالضرورة مبدأ متغيراتها. كما أنه من الممكن تحويله إلى

أشكال أخرى. فتكامل الحد على السطح الذي عليه القوى معلومة يمكن استبداله بالفارق بين تكاملين أحدهما على كامل السطح والآخر على السطح الذي عليه الانتقالات معلومة بالشكل:

$$\int_{s_{\sigma}} \sigma_{ij}^j n_j \delta u_i ds = \int_s \sigma_{ij}^j n_j \delta u_i ds - \int_{s_u} \sigma_{ij}^j n_j \delta u_i ds = 0 \quad (8.18)$$

لنحصل على:

$$\delta I = \int_s \sigma_{ij}^j n_j \delta u_i ds - \int_{s_u} \sigma_{ij}^j n_j \delta u_i ds - \int_{s_{\sigma}} \bar{T}^i \delta u_i ds = 0 \quad (8.19)$$

وبعد تعويض الشروط الطرفية الهندسية في المعادلة الأخيرة نحصل على العلاقة المتغيرية التالية:

$$\delta I = \int_s \sigma_{ij}^j n_j \delta u_i ds - \int_{s_{\sigma}} \bar{T}^i \delta u_i ds = 0 \quad (8.20)$$

هذه العلاقة تشكل أساسا متغيريا صالحا لاستخدام هذه الطريقة كطريقة طرفية يتم فيها حساب مصفوفة القساوة للعنصر المنتهي بتكاملات على اطراف العنصر فقط. وينصح باستخدام هذه المعادلة كأساس حسابي متغيري في حال لم تتمكن بطريقة الاستنباط الهندسية الموصوفة في المعادلات (8.10), (8.11), (8.9) من إيجاد تابع تقريبي بشكل المعادلة (8.10) يتصف بصفة الاستمرارية والتطابق. وتستخدم هذه الطريقة أيضا في حال وجود ثقب وفنحات ضمن الوسط المدروس.

أما ما عدا ذلك وعند تمكنا من إيجاد التابع التقريبي المتطابق والمتوافق والمستمر فيمكن ان تطبق هذه الطريقة بخوارزميات شبيهة بطريقة العناصر المنتهية التقليدية من نموذج الانتقالات والنموذج المحين للإجهادات. والطرق الأخيرة يجب أن تقود إلى نفس نتائج الطريقة الطرفية المثلة بالمعادلة (8.20). وللبرهان على ذلك سوف نغير شكل المعادلة (8.19) بأسلوبين. الأسلوب الأول بشكل مباشر باستخدام مقولة غاوس في تحويل التكامل الحجمي إلى تكامل سطحي:

$$\int_V (\sigma_{ij}^j \delta u_i)_{,j} dV = \int_s \sigma_{ij}^j n_j \delta u_i ds = \int_V \sigma_{ij,j}^j \delta u_i ds + \int_V \sigma_{ij}^j \delta u_{i,j} dV \quad (8.21)$$

ومعادلات التوازن:

$$\sigma_{ij,j}^j = -\bar{f}^i \quad (8.22)$$

فناخذ العلاقة (8.19) الشكل:

$$\delta I = \int_V \sigma^{ij} \delta u_{i,j} dV - \int_V \bar{f}^i \delta u_i dV - \int_{s_u} \sigma^{ij} n_j \delta u_i ds - \int_{s_\sigma} \bar{T}^i \delta u_i ds = 0 \quad (8.23)$$

والتي تصبح بعد تعويض الشروط الطرفية الهندسية التالية:

$$u_i = \bar{u}_i \quad \text{on} \quad s_u; \quad \delta u_i = \delta \bar{u}_i = 0 \quad (8.24)$$

وعلاقات التشوهات-الانتقالات كما يلي:

$$\delta I = \int_V \sigma^{ij} \delta \epsilon_{ij} dV - \int_V \bar{f}^i \delta u_i dV - \int_{s_\sigma} \bar{T}^i \delta u_i ds = 0 \quad (8.25)$$

هذه العلاقة تشبه تماماً مبدأ الانتقالات الوهمية. لكنها تختلف عنه في الشروط التي يجب أن يحققها تابع الانتقالات. هنا يجب أن يحقق تابع الانتقالات المعادلة التفاضلية ضمن الوسط والشروط الطرفية الهندسية وعليه يجب أن تحقق توابع الإجهادات الواردة في العلاقة (8.24) والمشتقة من توابع الانتقالات هذه معادلات التوازن ضمن الوسط.

والأسلوب الثاني لتغيير شكل المعادلة (8.19) يكمن باستخدام التحويل:

$$\int_s \sigma^{ij} n_j \delta u_i ds = \delta \int_s f(\sigma^{ij} n_j) u_i ds - \int_s [\delta(\sigma^{ij} n_j)] u_i ds \quad (8.26)$$

ومن ثم نستخدم مقولة غاوس في تحويل توابع الإجهادات المكاملة على الحجم إلى تكامل سطحي:

$$\int_s [\delta(\sigma^{ij} n_j)] u_i ds = \int_V u_i \delta \sigma^{ij,j} dV + \int_V u_{i,j} \delta \sigma^{ij} dV \quad (8.27)$$

ومتغير العلاقة (8.12):

$$\delta \sigma^{ij,j} = \delta \bar{f}^i = 0 \quad (8.28)$$

لنحصل بعد عدد من العمليات الجبرية والاختصارات على العلاقة التالية:

$$\delta I = - \int_V u_{i,j} \delta \sigma^{ij} dV + \delta \int_s u_i (\sigma^{ij} n_j) ds + \int_{s_\sigma} \bar{T}^i \delta u_i ds - \int_{s_u} \sigma^{ij} n_j \delta u_i ds = 0 \quad (8.29)$$

والتي تصبح بعد تعويض الشروط الطرفية الهندسية(15) بالشكل:

$$\delta I = -\int_V \epsilon_{ij} \delta \sigma^{ij} dV + \int_{s_u} \bar{u}_i \delta \sigma^{ij} n_j ds + \int_{s_\sigma} \delta \left[ (\sigma^{ij} n_j - \bar{T}^i) u_i \right] ds = 0 \quad (8.30)$$

وهذه العلاقة تشبه مبدأ القوى الوهمية المعدل. وبالطبع تختلف شروط استخدامها عن شروط استخدام المبدأ السابق فهنا يجب البدء بتابع انتقالات يحقق معادلة اويلر التفاضلية ضمن الوسط والشروط الطرفية الهندسية وتوابع الإجهادات الواردة في العلاقة(8.30) هي توابع مشتقة من تلبع الانتقالات هذا كما أن  $u_i$  على  $s_\sigma$  لا يمكن اختيارها بشكل مستقل.

وباعتبار ان العلاقة(8.25) تشبه مبدأ الانتقالات الوهمية والذي يمثل الأساس النظري لطريقة الانتقالات وأن العلاقة(8.30) تشبه مبدأ القوى الوهمية المعدل والذي يمثل الأساس النظري لطريقة القوى المحجبة وأن للعلاقتين(8.25) و(8.30) أصل مشترك واحد وهو العلاقة(8.20) فيمكن الاستنتاج أنه باختيار توابع انتقالات محققة لمعادلة اويلر التفاضلية والشروط الطرفية الهندسية فلا فرق بين استخدام أي من العلاقتين(8.25) أو(8.30) أو(8.20) كأساس نظري للحل.

وفي مسائل المرونة الخطية حيث يوجد تابع كمون لتعبير العمل الوهمي للقوى الداخلية وللقوى الخارجية نحصل من العلاقة(8.25) على:

$$\delta I = \delta \left\{ 1/2 \int_V \epsilon_{ij} c^{ijkl} \epsilon_{kl} dV - \int_V \bar{f}^i u_i dV - \int_{s_\sigma} \bar{T}^i u_i ds \right\} = 0 \quad (8.31)$$

وهي مشابهة لمبدأ الطاقة الكامنة الاصغري. كما نحصل من العلاقة(8.29) على:

$$\delta I = \delta \left\{ -1/2 \int_V (\sigma^{ij} (c^{ijkl})^{-1} \sigma^{kl}) dV + \int_{s_u} \sigma^{ij} n_j \bar{u}_i ds + \int_{s_\sigma} (\sigma^{ij} n_j - \bar{T}^i) u_i ds \right\} = 0 \quad (8.32)$$

وهي مشابهة لمبدأ الطاقة المتممة للمعدل.

وعلى هذا الاساس فإن النتائج التي نحصل عليها باستخدام التوابع التقريبية المشتقة كما ورد في الفقرة 2 وفق الاساس المتغيراتي (8.31) أو وفق الاساس المتغيراتي (8.32) واحدة لكلا الحالتين وهي بدورها مماثلة لتلك النتائج التي تعطيها المعادلة (8.20) شرط أن تراعى كافة الشروط المتغيراتية للعلاقات المذكورة.

#### 8-4- التطبيق العام للطريقة

سيعرض في هذه الفقرة التطبيق العام للطريقة باعتبارها طريقة طرفية يتم فيها تعيين الثوابت العشوائية  $c_k$  الواردة في التابع التقريبي (8.8) دون اللجوء إلى عملية الاستنباط الهندسي المشروحة في المعادلات (8.9), (8.10), (8.11) حيث لا نحتاج في هذا التطبيق إلى العلاقة المباشرة التي تربط بين تابع الانتقالات ضمن العنصر وانتقالات العقد وهذا يؤدي بدوره إلى تجنب الصعوبة في تحقيق الاستمرارية  $c^1$  والناجمة عن عملية الاستنباط الهندسي ويمكن من تطوير عناصر منتهية تتصف بالعمومية.

لنطلق الآن من التوابع التقريبية (8.8) والمحققة لمعادلة لاغرانج

$$u_i = M_i^k c_k + \bar{M}_{im} \bar{p}^m \text{ in } V \quad (8.33)$$

على السطح  $s$  يكون تابع الانتقالات المترابط مع مثيله السابق في  $V$  بالشكل:

$$u_i = B_i^k c_k + \bar{B}_{im} \bar{p}^m \text{ on } s \quad (8.34)$$

ولنفترض أن لهذا التابع الجزء

$$u_i = A_i^k c_k + \bar{A}_{im} \bar{p}^m \text{ on } s_\sigma \quad (8.35)$$

على جزء السطح  $s_\sigma$ .

يتوافق مع تابع الانتقالات المفترض هذا تابع إجهادات مفترض ضمن الوسط يشتق من سابقه باستخدام علاقات التشوهات-الانتقالات وقانون السلوك

$$\sigma^{ij} = p^{ijk} c_k + \bar{p}^m \bar{p}^m \text{ in } V \quad (8.36)$$

ولنشتق منها التوابع  $\sigma^{ij} n_j$  على السطح  $s$

$$\sigma_{ij}^n n_j = R^{ik} c_k + \bar{R}_m^i p^m \text{ on } s \quad (8.37)$$

لفترض أن لهذا التابع الجزأين :

$$\sigma_{ij}^n n_j = R u^{ik} c_k + \bar{R} u_m^i p^m \text{ on } s_u \quad (8.38)$$

$$\sigma_{ij}^n n_j = R \sigma^{ik} c_k + \bar{R} \sigma_m^i p^m \text{ on } s_\sigma \quad (8.39)$$

على السطحين  $s_u$  ,  $s_\sigma$  على التوالي.

باعتبار أن توابع الإجهادات الواردة في العلاقة (8.36) تحقق معادلات التوازن فالعلاقة (8.27) سوف تختصر إلى :

$$\int_V u_{i,j} \delta \sigma_{ij}^n dV = \int_s (\delta \sigma_{ij}^n n_j) u_i ds = \int_{s_\sigma} (\delta \sigma_{ij}^n n_j) u_i ds + \int_{s_u} (\delta \sigma_{ij}^n n_j) u_i ds \quad (8.40)$$

وبعد تعويض الشروط الطرفية الهندسية فيها تصبح العلاقة السابقة بالشكل :

$$\int_V u_{i,j} \delta \sigma_{ij}^n dV = \int_s (\delta \sigma_{ij}^n n_j) u_i ds = \int_{s_\sigma} (\delta \sigma_{ij}^n n_j) u_i ds + \int_{s_u} (\delta \sigma_{ij}^n n_j) \bar{u}_i ds \quad (8.41)$$

سوف تستخدم العلاقة السابقة بأحد الشكلين التاليين :

$$\int_V u_{i,j} \delta \sigma_{ij}^n dV = \int_{s_\sigma} (\delta \sigma_{ij}^n n_j) u_i ds + \int_{s_u} (\delta \sigma_{ij}^n n_j) \bar{u}_i ds \quad (8.42)$$

$$\int_s (\delta \sigma_{ij}^n n_j) u_i ds = \int_{s_\sigma} (\delta \sigma_{ij}^n n_j) u_i ds + \int_{s_u} (\delta \sigma_{ij}^n n_j) \bar{u}_i ds \quad (8.43)$$

لتعيين الثوابت العشوائية  $c_k$  على مستوى العنصر , والنتيجة واحدة في كلا الحالتين.

يتميز استخدام العلاقة (8.43) عن استخدام العلاقة (8.42) في تعيين الثوابت العشوائية بإمكانية تطبيق الطريقة دون اللجوء إلى تكاملات ضمن العنصر المنتهي, وإنهاء تطبيق الطريقة بنجاح بتقييم تكاملات على أطراف العناصر المنتهية. مما يمكننا من معالجة عناصر منتهية تتصف بالعمومية ويمكن أن تكون ذات فتحات داخلية أو شقوق شرط أن نستخدم للأخيرة توابع تقريبية تحقق الشروط الطرفية للفتحات أو الشقوق هذه.

لنفرض الآن أن  $\bar{u}_i$  تابع يحقق شروط الاستمرارية ومتطابق مع  $u_i$  على  $S_u$  وأن هذه الاستمرارية وهذا التطابق يتطلب أن يكون:

$$\bar{u}_i = L_i^k q_k \quad (8.44)$$

حيث  $L_i^k$  مصفوفة تابعة للإحداثيات المستقلة، و  $q_k$  إحداثيات معمة كانتقالات العقد والتي نرغب بأن تكون المجاهيل النهائية في جملة المعادلات النهائية للحملة المدروسة. بتعويض العلاقات من (8.33) وحتى (8.39) والعلاقة (8.44) في العلاقة (8.42) أو (8.43) نحصل على جملة معادلات في مستوى العنصر لتحديد الثوابت العشوائية. فمثلا بعد التعويض في العلاقة (8.43) نحصل على:

$$\begin{aligned} \delta c_1 \left( \int_S R^{il} N_i^k ds \right) c_k + \delta c_1 \left( \int_S R^{il} \bar{N}_{im} ds \right) \bar{p}^m = \delta c_1 \left( \int_{S_\sigma} R^{il} A_i^k ds \right) c_k \\ + \delta c_1 \left( \int_{S_\sigma} R^{il} \bar{A}_{im} ds \right) \bar{p}^m + \delta c_1 \left( \int_{S_u} R^{il} L_i^k ds \right) q_k \end{aligned} \quad (8.45)$$

أو بالشكل المختصر:

$$\delta c_1 H^{lk} c_k + \delta c_1 \bar{H}_m^l \bar{p}^m = \delta c_1 T^{lk} q_k \quad (8.46)$$

حيث:

$$H^{lk} = \left( \int_S R^{il} N_i^k ds \right) - \left( \int_{S_\sigma} R^{il} A_i^k ds \right) \quad (8.47)$$

$$\bar{H}_m^l = \left( \int_S R^{il} \bar{N}_{im} ds \right) - \left( \int_{S_\sigma} R^{il} \bar{A}_{im} ds \right) \quad (8.48)$$

$$T^{lk} = \left( \int_{S_u} R^{il} L_i^k ds \right) \quad (8.49)$$

وباعتبار أنه يمكن أن تكون قيم  $\delta c_1$  عشوائية ينتج من العلاقة (8.45) أن:

$$H^{lk} c_k = -\bar{H}_m^l \bar{p}^m + T^{lk} q_k \quad (8.50)$$

وبعكس هذه العلاقة نحصل على قيم الثوابت العشوائية بدلالة حمولات العنصر وانتقالات العقد

$$c_p = -(H^{lp})^{-1} \bar{H}_m^l \bar{p}^m + (H^{lp})^{-1} T^{lk} q_k \quad (8.51)$$



في العناصر المنتهية الواقعة على الأطراف الحقيقية للوسط المدروس قد لا تكفي المعادلات (8.42) أو (8.43) لتحديد الثوابت العشوائية عندها يجب الاستعانة بالعلاقة التالية:

$$\int_{s_u} \sigma_{ij}^n \delta u_i = 0 \quad (8.52)$$

وهذا يؤدي بدوره إلى اعتبار تأثير شروط الاستناد الطرفية للعنصر المنتهي على قساوته.

يمكن الحصول على نفس النتائج السابقة بتعويض العلاقات من (8.33) وحتى (8.39) في العلاقة (8.42) ويمكن التأكد ببساطة من هذه المقولة بملاحظة مقولة غاوس في تحويل التكامل الحجمي إلى تكامل سطحي الواردة في العلاقة (8.41).

يتم الحصول على جملة المعادلات النهائية لانتقالات العقد بتقييم التكاملات الواردة في العلاقة (8.20).

$$\delta I = \delta q_n \int_s L_i^n (R^{ip} c_p + \bar{R}_m^i \bar{p}^m) ds - \delta q_n \int_{s_\sigma} L_i^n \bar{T}^i ds \quad (8.53)$$

$$= \delta q_n T^{np} c_p + \delta q_n \bar{T}_m^n \bar{p}^m - \delta q_n \bar{r}^n = 0$$

وبتعويض الثوابت الاختيارية بقيمتها المحسوبة في العلاقة (8.51) ينتج:

$$\delta I = -\delta q_n T^{np} (H^{lp})^{-1} \bar{H}_m^l \bar{p}^m + \delta q_n T^{np} (H^{lp})^{-1} T^{lk} q_k + \delta q_n \bar{T}_m^n \bar{p}^m - \delta q_n \bar{r}^n = 0 \quad (8.54)$$

ومنها نحصل بعد التجميع على كامل عقد المنشأ على جملة المعادلات الخطية النهائية لانتقالات العقد

$$\sum_1^n (k^{nk} q_k - \bar{r}^n) = 0 \quad (8.55)$$

حيث:

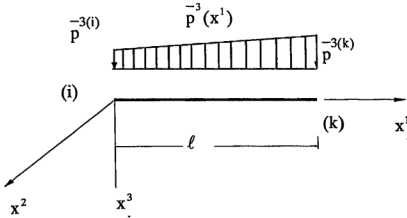
$$k^{nk} = T^{np} (H^{lp})^{-1} T^{lk} \quad (8.56)$$

مصفوفة القساوة للعنصر المنتهي والمقدار:

$$\bar{r}^n = T^{np} (H^{lp})^{-1} \bar{H}_m^l \bar{p}^m - \bar{T}_m^n \bar{p}^m + \bar{r}^n = 0 \quad (8.57)$$

هو شعاع القوى المركزة على العقد والمكافئة للحمولة الموزعة.

### 8-6-عنصر منتهي إطاري مستوي



شكل 8-1: عنصر منتهي إطارى مستوى محمل بحمولة موزعة على شكل شبه منحرف

سوف يتم إيضاح الخطوط الأساسية للتطبيق العام للطريقة كطريقة طرفية بناء على تطبيق بسيط وسهل وهو العنصر الإطاري ، والذي درس في الفصل الخامس بتطبيق طرق عناصر منتهية مختلفة. حيث درس بالطريقة التقليدية- نموذج الانتقالات وبالطريقة المحبنة- نموذج الإجهادات وباستخدام التطبيق المقترح لنموذج الانتقالات مع اعتبار تأثير الحمولة أي بعبارة أخرى استخدام التطبيق الحالي مع اتخاذ العلاقة (8.31) كأساس متغيراتي. وفي التطبيق الأخير استنبطت توابع تقريبية محققة لمجمل المعادلة التفاضلية الحاكمة للمسألة موضوع الدراسة والشروط الطرفية اللازمة "على العنصر المنتهي". وشرحت تفاصيل الحصول عليها ولا حاجة هنا لتكرار هذه التفاصيل ويكتفى بإعطاء صيغة التوابع التقريبية الخاصة بسهم الانعطاف:

$$u_{x^3}(x) = \begin{vmatrix} 1 & x^1 & (x^1)^2 & (x^2)^3 \\ c_0 \\ c_1 \\ c_2 \\ c_3 \end{vmatrix} + \frac{1}{E I_z} \begin{vmatrix} x^4 & -x^5 \\ 24 & -120l \end{vmatrix} \frac{x^5}{120l} \begin{vmatrix} -x^3(i) \\ p \\ -x^3(k) \\ p \end{vmatrix}$$

$$u_i = M_i^k c_k + \overline{M}_{i(r)} p^{-x^3(r)}; i = x^3; k = 0, 1, 2, 3, 4; (r) = (i), (k)$$

(8.58)

شددات تابع الحمولة شبه المنحرفة في العقدتين (i), (k) على التوالي.  
 باستخدام علاقات قوى المقطع - الانتقالات :

$$M^{x^2} = -EI x^2 \frac{\partial^2 u_{x^3}(x)}{(\partial x^1)^2} \quad (8.59)$$

$$Q^{x^3} = \frac{\partial M^{x^2}}{\partial x^1} - EI x^2 \frac{\partial^3 u_{x^3}(x)}{(\partial x^1)^3}$$

نحصل من التوابيع  $u_i$  على توابيع قوى المقطع  $\sigma$  ضمن العنصر المنتهي:

$$\begin{bmatrix} Q^{x^3} \\ M^{x^2} \end{bmatrix} = EI x^2 \begin{bmatrix} 0 & 0 & 0 & -6 \\ & -2 & -6x^1 & \end{bmatrix} \begin{bmatrix} c_0 \\ c_1 \\ c_2 \\ c_3 \end{bmatrix} + \begin{bmatrix} -x^1 + \frac{(x^1)^2}{2l} & \frac{(x^1)^2}{2l} \\ -\frac{(x^1)^2}{2} + \frac{(x^1)^3}{6l} & -\frac{(x^1)^3}{6l} \end{bmatrix} \begin{bmatrix} -x^3(i) \\ p \\ -x^3(k) \\ p \end{bmatrix} \quad (8.60)$$

وبتمويض معادلات الأطراف  $s_\sigma$  في العلاقة الأخيرة أي:  $x^1(i) = 0$ ;  $x^1(k) = l$   
 نحصل على توابيع قوى المقطع  $T^i = \sigma^{ij} n_j$  على الأطراف  $s_\sigma$  بالشكل التالي:

$$\begin{bmatrix} -Q^{x^3(i)} \\ -M^{x^2(i)} \\ Q^{x^3(i)} \\ M^{x^2(i)} \end{bmatrix} = EI x^2 \begin{bmatrix} 0 & 0 & 0 & 6 \\ 0 & 0 & 2 & 0 \\ 0 & 0 & 0 & -6 \\ 0 & 0 & -2 & -6l \end{bmatrix} \begin{bmatrix} c_0 \\ c_1 \\ c_2 \\ c_3 \end{bmatrix} + \begin{bmatrix} 0 & 0 \\ 0 & 0 \\ -\frac{1}{2} & -\frac{1}{2} \\ -\frac{l^2}{3} & -\frac{l^2}{6} \end{bmatrix} \begin{bmatrix} -x^3(i) \\ p \\ -x^3(k) \\ p \end{bmatrix} \quad (8.61)$$

$$T^i = \sigma^{ij} n_j$$

$$= T^{i(b)} = R^{i(b)k} c_k + \bar{R}^{i(b)}_{(r)} \bar{p}^{x^3(r)}$$

تشتق توابع الانتقالات على الأطراف من تابع الانتقالات ضمن العنصر المنتهي (8.58) بتعويض معادلات الأطراف في العلاقة المذكورة وفي تابع الدورانات المشتق منها وفق العلاقة

$$\varphi_{x^2} = -\partial u_{x^3} / \partial x^1$$

$$\begin{bmatrix} u_{x^3(i)} \\ \varphi_{x^2(i)} \\ u_{x^3(k)} \\ \varphi_{x^2(k)} \end{bmatrix} = \begin{bmatrix} 1 & 0 & 0 & 0 \\ 0 & -1 & 0 & 0 \\ 1 & 1 & l^2 & l^3 \\ 0 & -1 & -2l & -3l^2 \end{bmatrix} \begin{bmatrix} c_0 \\ c_1 \\ c_2 \\ c_3 \end{bmatrix} + \frac{1}{EI x^2} \begin{bmatrix} 0 & 0 \\ 0 & 0 \\ \frac{l^4}{30} & \frac{l^4}{120} \\ \frac{l^3}{8} & -\frac{l^3}{24} \end{bmatrix} \begin{bmatrix} -x^3(i) \\ \bar{p} \\ -x^3(k) \\ \bar{p} \end{bmatrix}$$

$$u_{i(b)} = N_{i(b)}^k c_k + \bar{N}_{i(b)(r)} \bar{p} x^3(r)$$

(8.62)

التوابع السابقة المشتقة من توابع الانتقالات ضمن العنصر المنتهي يجب أن تتطابق مع توابع الانتقالات على أطراف العنصر المنتهي التي تحقق شروط الاستمرارية والتطابق. وحيث تحقق هذه الأخيرة مثل هذه الشروط يجب أن يتعلق تابع الانتقالات على طرف ما بالاحداثيات الديكارتية المستقلة وبدرجات الحرية لعقد هذا الطرف دون الأطراف الأخرى. والتوابع التالية:

$$\begin{bmatrix} u_{x^3(i)} \\ \varphi_{x^2(i)} \\ u_{x^3(k)} \\ \varphi_{x^2(k)} \end{bmatrix} = \begin{bmatrix} 1 & 0 & 0 & 0 \\ 0 & 1 & 0 & 0 \\ 0 & 0 & 1 & 0 \\ 0 & 0 & 0 & 1 \end{bmatrix} \begin{bmatrix} u_{x^3(i)} \\ \varphi_{x^2(i)} \\ u_{x^3(k)} \\ \varphi_{x^2(k)} \end{bmatrix} \quad (8.63)$$

$$u_{i(b)} = I_{i(b)}^{m(e)} u_{m(e)}$$

تحقق شروط الاستمرارية والتطابق.

لتحديد الثوابت العشوائية  $c_k$  تستخدم العلاقة (8.42) ولذلك لابد من حساب التكامل

$$\int_V u_{i,j} \delta \sigma_{ij}^0 dV \text{ على حجم العنصر.}$$

في حالة العنصر الإطاري الخاضع لتأثير الإنعطاف وباعتبار الفرضيات التبسيطية الخاصة بهذه الحالة كفرضيات بقاء المقاطع مستوية وفرضية برنولي وإهمال تأثير تشوهات القص وجدنا أن المركبت  $u_{i,j}$  تنقلص لتقتصر على المركبة  $u_{x^3,x^1}$  وأن مركبات الإجهادات  $\sigma_{ij}^0$  تنقلص أيضا لتقتصر على الإجهاد  $\sigma^{x^1x^1}$  واللتين يمكن حسابهما بالعلاقين:

$$u_{x^3,x^1} = -x^3 \frac{\partial^2 u_{x^3}}{(\partial x^1)^2} \quad (8.64)$$

$$\sigma^{x^1x^1} = -Ex^3 \frac{\partial^2 u_{x^3}}{(\partial x^1)^2}$$

والمشتق الثاني لتابع الانتقالات (8.58) هو بالتفصيل:

$$\frac{\partial^2 u_{x^3}}{(\partial x^1)^2} = \begin{bmatrix} 0 & 0 & 2 & 6x^1 \end{bmatrix} \begin{vmatrix} c_0 \\ c_1 \\ c_2 \\ c_3 \end{vmatrix} + \frac{1}{EI_{x^2}} \begin{vmatrix} (x^1)^2 & -\frac{(x^1)^3}{6l} \\ \frac{(x^1)^3}{6l} & \end{vmatrix} \begin{vmatrix} -x^3(i) \\ -x^3(k) \end{vmatrix}$$

$$u_i = P_i^k c_k + \bar{P}_i(r) p^{-x^3(r)} ; i = x^3 ; k = 0,1,2,3,4; (r) = (i),(k) \quad (8.65)$$

ويصبح التكامل الحجمي كما يلي:

$$\begin{aligned}
\int_V u_{i,j} \delta \sigma^{ij} dV &= \int_0^1 \int_A -x^3 \frac{\partial^2 u_{x^3}}{(\partial x^1)^2} E (-x^3 \delta \frac{\partial^2 u_{x^3}}{(\partial x^1)^2}) dx^1 dA \\
&= \int_A (x^3)^2 dA \int_0^1 \frac{\partial^2 u_{x^3}}{(\partial x^1)^2} E \delta \left( \frac{\partial^2 u_{x^3}}{(\partial x^1)^2} \right) dx^1 \\
&= EI_{x^2} \int_0^1 \frac{\partial^2 u_{x^3}}{(\partial x^1)^2} \delta \left( \frac{\partial^2 u_{x^3}}{(\partial x^1)^2} \right) dx^1
\end{aligned} \tag{8.66}$$

وبعد تعويض (8.65) في العلاقة السابقة يأخذ التكامل الحجمي السابق الصيغة التفصيلية التالية:

$$\begin{aligned}
\int_V u_{i,j} \delta \sigma^{ij} dV &= \int_0^1 (P^k c_k + \bar{P}(r) P^{-x^3}(r)) EI_{x^2} P^1 \delta c_1 dx^1 \\
&= c_k \left( \int_0^1 P^k EI_{x^2} P^1 dx^1 \right) \delta c_1 + P^{-x^3}(r) \left( \int_0^1 \bar{P}(r) EI_{x^2} P^1 dx^1 \right) \delta c_1 \\
&= c_k H^{kl} \delta c_1 + P^{-x^3}(r) \bar{H}_{(r)}^1 \delta c_1
\end{aligned} \tag{8.67}$$

حيث:

$$\begin{aligned}
H^{kl} &= \int_0^1 P^k EI_{x^2} P^l dx^1 = \begin{bmatrix} 0 & 0 & 0 & 0 \\ 0 & 0 & 0 & 0 \\ 0 & 0 & 4l & 6l^2 \\ 0 & 0 & 6l^2 & 12l^3 \end{bmatrix} \\
\bar{H}_{(r)}^1 &= \int_0^1 \bar{P}(r) EI_{x^2} P^1 dx^1 = \begin{bmatrix} l^3 & 11l^4 \\ 4 & 20 \\ l^3 & l^4 \\ 12 & 5 \end{bmatrix}
\end{aligned} \tag{8.68}$$

نلاحظ أن المصفوفات السابقة يمكن الحصول عليها بإيجاز التكامل الطرقي على أطراف العنصر المنتهي  $\int_s \delta \sigma_{ij}^n u_i dV$  المكافئ للتكامل  $\int_V u_{i,j} \delta \sigma_{ij}^n dV$  وهي لحالة التكامل الطرقي كما يلي:

$$\begin{aligned} \int_V u_{i,j} \delta \sigma_{ij}^n dV &= \int_s \delta \sigma_{ij}^n u_i ds = c_k R^{i(b)l} N_{i(b)}^k \delta c_l + p^{-x^3}(r) R^{i(b)l} \bar{N}_{i(b)(r)} \delta c_l \\ H^{kl} &= R^{i(b)l} N_{i(b)}^k \\ \bar{H}_{(r)}^l &= R^{i(b)l} \bar{N}_{i(b)(r)} \end{aligned} \quad (8.69)$$

ويمكن ببساطة التأكد من تطابق المصفوفات الواردة في العلاقة (8.68) والعلاقة (8.69).  
نستخدم الآن إحدى العلاقتين (8.42) و (8.43) لتعيين الثوابت العشوائية  $c_k$ . في الحالتين لابد من إيجاز التكامل  $\int_{s_u} \delta \sigma_{ij}^n u_i dV$  والتكامل  $\int_{s_\sigma} \delta \sigma_{ij}^n u_i dV$ . وهنا يجب التنويه أن عملية تحديد الثوابت العشوائية هي عملية بديلة للاستنباط الهندسي وتجري على مستوى العنصر المنتهي وهي عمليا تستخدم مرهنة غاوص السارية المفعول على أي جزء مقتطع من الوسط المدروس سواء كان منتهيا أو تفاضليا. وأن الأطراف  $s_\sigma$  و  $s_u$  هي الأطراف الحقيقية للعنصر التي تكون عليها القوى مفترضة والانتقالات مفترضة على التوالي والتي يجب تحديدها وفقا للمجاهيل التي يجري استخدامها للاستنباط. ففي مثالنا هذا لا يوجد قوى خارجية أو إجهادات مفترضة على مستوى العنصر ولا تستخدم أي قوى مفترضة في عملية الاستنباط بالتالي فالتكامل  $\int_{s_\sigma} \delta \sigma_{ij}^n u_i dV$  معدوم. وعليه تكون أطراف العنصر كلها من النموذج  $s_u$  حيث تستخدم درجات الحرية الأربعة للعنصر المنتهي أي الانتقال والدوران لكل عقدة في عملية الاستنباط.  
نستخدم الآن لحقل الانتقالات المفترضة  $\bar{u}_i$  التابع التالي الذي يحقق شروط الاستمرارية والتطابق ويتطابق مع  $u_i$ :

$$\begin{bmatrix} u_{x^3(i)} \\ \varphi_{x^2(i)} \\ u_{x^3(k)} \\ \varphi_{x^2(k)} \end{bmatrix} = \begin{bmatrix} 1 & 0 & 0 & 0 \\ 0 & 1 & 0 & 0 \\ 0 & 0 & 1 & 0 \\ 0 & 0 & 0 & 1 \end{bmatrix} \begin{bmatrix} u_{x^3(i)} \\ \varphi_{x^2(i)} \\ u_{x^3(k)} \\ \varphi_{x^2(k)} \end{bmatrix} \quad (8.70)$$

$$\bar{u}_{i(b)} = I_{i(b)}^{m(e)} u_{m(e)}$$

عندها يأخذ التكامل  $\int_{s_u} \delta \sigma_{ij}^n \bar{u}_i dV$  الصيغة التالية:

$$\begin{aligned} \int_{s_u} \delta \sigma_{ij}^n \bar{u}_i ds &= \delta c_1 R^{i(b)l} I_{i(b)}^{m(e)} u_{m(e)} = \delta c_1 \left( \int_{s_u} R^{i(b)l} I_{i(b)}^{m(e)} ds \right) u_{m(e)} \\ &= \delta c_1 T^{lm(e)} u_{m(e)} \end{aligned} \quad (8.71)$$

والمكافئة تفصيليا لما يلي:

$$\delta c_1 T^{lm(e)} u_{m(e)} = \begin{bmatrix} \delta c_0 & \delta c_1 & \delta c_2 & \delta c_3 \end{bmatrix} EI_{x^2} \begin{bmatrix} 0 & 0 & 0 & 0 \\ 0 & 0 & 0 & 0 \\ 0 & 2 & 0 & -2 \\ 6 & 0 & -6 & -6l \end{bmatrix} \begin{bmatrix} u_{x^3(i)} \\ \varphi_{x^2(i)} \\ u_{x^3(k)} \\ \varphi_{x^2(k)} \end{bmatrix} \quad (8.72)$$

$$T^{lm(e)} = EI_{x^2} \begin{bmatrix} 0 & 0 & 0 & 0 \\ 0 & 0 & 0 & 0 \\ 0 & 2 & 0 & -2 \\ 6 & 0 & -6 & -6l \end{bmatrix} \quad (8.73)$$

بتعويض التكاملات السابقة في إحدى العلاقتين (8.42) أو (8.43) نحصل على:



$$\delta c_1 T^{lm(e)} u_{m(e)} = c_k H^{kl} \delta c_1 + \bar{p} x^3(r) \bar{H}_{(r)}^l \delta c_1 \quad (8.74)$$

$$H^{kl} c_k = T^{lm(e)} u_{m(e)} - \bar{p} x^3(r) \bar{H}_{(r)}^l$$

بحل جملة المعادلات السابقة بالنسبة للثوابت العشوائية نجد أنه يمكننا بعد استبعاد العمليات الصفرية الحصول على الثوابت العشوائية اللازمة لمتابعة الحل وتقييم الحد الوارد في المبدأ المتغيراتي أي الشكل التكاملي للشروط الطرفية الطبيعية:

$$c_q = H_{ql} T^{lm(e)} u_{m(e)} - H_{ql} \bar{p} x^3(r) \bar{H}_{(r)}^l \quad (8.75)$$

حيث تعطى المصفوفة  $H_{ql}$  بالشكل:

$$H_{ql} = \frac{1}{EI x^2} \begin{bmatrix} 0 & 0 & 0 & 0 \\ 0 & 0 & 0 & 0 \\ 0 & 0 & 1 & -\frac{1}{2l^2} \\ 0 & 0 & -\frac{1}{2l^2} & \frac{1}{3l^3} \end{bmatrix} \quad (8.76)$$

وبعد إنجاز جداء المضاريب الوارد في العلاقة (8.75) نحصل تفصيليا على:

$$\begin{bmatrix} c_0 \\ c_1 \\ c_2 \\ c_3 \end{bmatrix} = \begin{bmatrix} ? & ? & ? & ? \\ ? & ? & ? & ? \\ -\frac{3}{l^2} & \frac{2}{l} & \frac{3}{l^2} & \frac{1}{l} \\ \frac{2}{l^3} & -\frac{1}{l^2} & -\frac{2}{l^3} & -\frac{1}{l^2} \end{bmatrix} \begin{bmatrix} u x^3(i) \\ \varphi x^2(i) \\ u x^3(k) \\ \varphi x^2(k) \end{bmatrix} - \frac{1}{EI x^2} \begin{bmatrix} ? & ? \\ ? & ? \\ \frac{40}{120} & -\frac{60}{40} \\ \frac{71}{120} & \frac{1}{40} \end{bmatrix} \begin{bmatrix} \bar{p} x^3(i) \\ \bar{p} x^3(k) \end{bmatrix} \quad (8.77)$$

نقيم الآن التابعي الوارد في المبدأ المتغيراتي والذي يمثل الشكل التكاملي للشروط الطرفية الطبيعية بتعويض  $\sigma_j^n$  بمكافئها من العلاقة (8.61) وأخذ متغير  $u_i$  من العلاقة (8.63) لنحصل على:

$$\begin{aligned}
\delta I &= \int_S \sigma_{ij}^n \delta u_i ds - \int_{s_\sigma} \bar{T}^i \delta u_i ds \\
&= \int_S (R^{i(b)k} c_k + \bar{R}^{i(b)}(r) \bar{p}^{x^3}(r)) I_{i(b)}^{m(e)} \delta u_{m(e)} - \int_{s_\sigma} \bar{T}^{i(b)} I_{i(b)}^{m(e)} \delta u_{m(e)}
\end{aligned} \tag{8.78}$$

وبعد تعويض الثوابت العشوائية  $c_k$  المحسوبة وفق العلاقة (8.75) في التابعي السابق نحصل على:

$$\begin{aligned}
\delta I &= \int_S (R^{i(b)k} H_{kl} T^{ln(d)} u_{n(d)} I_{i(b)}^{m(e)} \delta u_{m(e)} \\
&\quad - H_{kl} \bar{H}_{(r)}^l R^{i(b)}(r) \bar{p}^{x^3}(r) I_{i(b)}^{m(e)} \delta u_{m(e)} \\
&\quad + \bar{R}^{i(b)}(r) \bar{p}^{x^3}(r) I_{i(b)}^{m(e)} \delta u_{m(e)}) ds \\
&\quad - \int_{s_\sigma} \bar{T}^{i(b)} I_{i(b)}^{m(e)} \delta u_{m(e)} \\
&= u_{n(d)} T^{km(e)} H_{kl} T^{ln(d)} \delta u_{m(e)} - H_{kl} \bar{H}_{(r)}^l T^{km(e)} \delta u_{m(e)} \\
&\quad + \bar{T}^{m(e)}(r) \bar{p}^{x^3}(r) \delta u_{m(e)} - \bar{f}_2^{m(e)} \delta u_{m(e)} \\
&= u_{n(d)} k^{n(d)m(e)} \delta u_{m(e)} - f_1^{m(e)} \delta u_{m(e)} - \bar{f}_2^{m(e)} \delta u_{m(e)}
\end{aligned} \tag{8.79}$$

حيث:

$$\begin{aligned}
K^{m(e)n(d)} &= T^{km(e)} H_{kl} T^{ln(d)} \\
f_1^{m(e)} &= T^{km(e)} H_{kl} \bar{H}_{(r)}^l \bar{p}^{x^3}(r) - \bar{T}^{m(e)}(r) \bar{p}^{x^3}(r) \\
\bar{f}_2^{m(e)} &= \int_{s_\sigma} \bar{T}^{i(b)} I_{i(b)}^{m(e)} ds \\
\bar{T}^{m(e)}(r) &= \int_S \bar{R}^{i(b)}(r) I_{i(b)}^{m(e)} ds
\end{aligned} \tag{8.80}$$

نلاحظ أنه لتقييم الحد الوارد في المبدأ المتغيراني أي الشكل التكاملي للشروط الطرفية الطبيعية  
 لا حاجة لنا لمعرفة الثوابت العشوائية  $c_0, c_1$  وذلك لأن المصفوفة  $R^{i(b)k}$  تحتوي في عموديهما  
 الأول والثاني على أصفار .

وأخيراً نجد بعد تقييم الجداءات الواردة في العلاقات (8.80) أن:

$$K^{m(e)n(d)} = \begin{bmatrix} \frac{12}{l^3} & -\frac{6}{l^2} & -\frac{12}{l^3} & -\frac{6}{l^2} \\ -\frac{6}{l^2} & \frac{4}{l} & \frac{6}{l^2} & \frac{2}{l} \\ -\frac{12}{l^3} & \frac{6}{l^2} & \frac{12}{l^3} & \frac{6}{l^2} \\ -\frac{6}{l^2} & \frac{2}{l} & \frac{6}{l^2} & \frac{4}{l} \end{bmatrix} \quad (8.81)$$

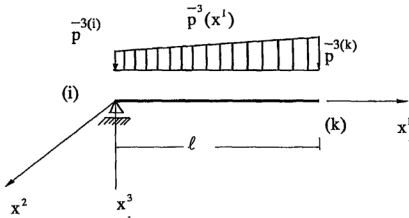
$$\bar{T}^{m(e)}_{(r)} = \begin{bmatrix} 0 & 0 \\ 0 & 0 \\ -\frac{1}{2} & -\frac{1}{2} \\ -\frac{l^2}{3} & -\frac{l^2}{6} \end{bmatrix} \quad (8.82)$$

$$\bar{f}^m(e) = \left\{ \begin{bmatrix} \frac{71}{20} & \frac{31}{20} \\ -\frac{l^2}{20} & -\frac{30}{20} \\ -\frac{71}{20} & -\frac{31}{20} \\ -\frac{31^2}{10} & -\frac{71^2}{60} \end{bmatrix} - \begin{bmatrix} 0 & 0 \\ 0 & 0 \\ -\frac{1}{2} & -\frac{1}{2} \\ -\frac{l^2}{3} & -\frac{l^2}{6} \end{bmatrix} \right\} \begin{bmatrix} \bar{p}^{x^3(i)} \\ \bar{p}^{x^3(k)} \end{bmatrix} \quad (8.83)$$

$$= \begin{bmatrix} \frac{71}{20} & \frac{31}{20} \\ -\frac{l^2}{20} & -\frac{30}{20} \\ \frac{31}{20} & \frac{71}{20} \\ \frac{l^2}{30} & \frac{l^2}{20} \end{bmatrix} \begin{bmatrix} \bar{p}^{x^3(i)} \\ \bar{p}^{x^3(k)} \end{bmatrix}$$

يلاحظ أن القوى المركزة المكافئة للحمولة الموزعة مساوية لتلك التي تنتج في وثاقات جاذز موثوق من الطرفين ومحمل بالحمولة الموزعة نفسها.

## 8-7- اعتبار تأثير شروط الاستناد على مصفوفة القساوة



شكل 8-2: عنصر منتهي إطارى مستوى بشروط استناد مختلفة

سوف يتم إيضاح الخطوط الأساسية للحصول على مصفوفة القساوة لعنصر إطارى مستند استناداً بسيطاً في طرافه اليساري حيث مبدأ الإحداثيات الخاصة بالعنصر.

هنا نجد أن درجات الحرية  $u_{x^2(i)}$ ,  $u_{x^3(k)}$  و  $\varphi_{x^2(k)}$  هي التي يجب استخدامها للاستنباط الهندسي حيث لدينا على الطرف اليساري جزء سطح  $s_\sigma$  عليه القوى معلومة وهو عزم الانعطاف  $M^{x^2(i)}$  وبالتالي يكون  $T^i$  على  $s_\sigma$  مكافئاً لما يلي :

$$\begin{bmatrix} 0 \\ -M^{x^2(i)} \\ 0 \\ 0 \end{bmatrix} = EI_{x^2} \begin{bmatrix} 0 & 0 & 0 & 0 \\ 0 & 0 & 2 & 0 \\ 0 & 0 & 0 & 0 \\ 0 & 0 & 0 & 0 \end{bmatrix} \begin{bmatrix} c_0 \\ c_1 \\ c_2 \\ c_3 \end{bmatrix} + \begin{bmatrix} 0 & 0 \\ 0 & 0 \\ 0 & 0 \\ 0 & 0 \end{bmatrix} \begin{bmatrix} \bar{p}^{x^2(i)} \\ \bar{p}^{x^2(k)} \end{bmatrix} \quad (8.84)$$

$$T^i = \sigma_{ij} n_j$$

$$= T^{i(b)} = R \sigma^{i(b)k} c_k + \bar{R} \sigma^{i(b)}(r) \bar{p}^{x^3(r)}$$

والانتقالات الموافقة لهذه المركبة هي:

$$\begin{bmatrix} 0 \\ \varphi x^2(i) \\ 0 \\ 0 \end{bmatrix} = \begin{bmatrix} 0 & 0 & 0 & 0 \\ 0 & -1 & 0 & 0 \\ 0 & 0 & 0 & 0 \\ 0 & -1 & 0 & 0 \end{bmatrix} \begin{bmatrix} c_0 \\ c_1 \\ c_2 \\ c_3 \end{bmatrix} + \frac{1}{EI x^2} \begin{bmatrix} 0 & 0 \\ 0 & 0 \\ 0 & 0 \\ 0 & 0 \end{bmatrix} \begin{bmatrix} -x^3(i) \\ p \\ -x^3(k) \\ p \end{bmatrix}$$

$$u_{i(b)} = A_{i(b)}^k c_k + \bar{A}_{i(b)(r)} \bar{p} x^3(r) \quad (8.85)$$

وتصبح المصفوفات  $H^{ik}, \bar{H}^l(r)$  المحسوبة وفق العلاقات (8.47)، (8.48) معطاة تفصيلياً كالتالي:

$$H^{ik} = \begin{bmatrix} 0 & 0 & 0 & 0 \\ 0 & 0 & 0 & 0 \\ 0 & 2 & 4l & 6l^2 \\ 0 & 0 & 6l^2 & 12l^3 \end{bmatrix} \quad (8.86)$$

$$\bar{H}^l(r) = \begin{bmatrix} 0 & 0 \\ 0 & 0 \\ -\frac{1}{2} & -\frac{1}{2} \\ -\frac{l^2}{3} & -\frac{l^2}{6} \end{bmatrix}$$

وجملة المعادلات لتحديد الثوابت العشوائية  $c_k$  هي من الشكل:

$$EI_{x^2} \begin{bmatrix} 0 & 0 & 0 & 0 \\ 0 & 0 & 0 & 0 \\ 0 & 2 & 4l & 6l^2 \\ 0 & 0 & 6l^2 & 12l^3 \end{bmatrix} \begin{bmatrix} c_0 \\ c_1 \\ c_2 \\ c_3 \end{bmatrix} = \begin{bmatrix} 0 & 0 & 0 & 0 \\ 0 & 0 & 0 & 0 \\ 0 & 0 & 0 & -2 \\ 6 & 0 & -6 & -6l \end{bmatrix} \begin{bmatrix} u x^3(i) \\ \varphi x^2(i) \\ u x^3(k) \\ \varphi x^2(k) \end{bmatrix} - \begin{bmatrix} 0 & 0 \\ 0 & 0 \\ -\frac{1}{2} & -\frac{1}{2} \\ -\frac{l^2}{3} & -\frac{l^2}{6} \end{bmatrix} \begin{bmatrix} -x^3(i) \\ p \\ -x^3(k) \\ p \end{bmatrix}$$

$$H^{lk} c_k = T^{lm(e)} u_{m(e)} + \bar{H}^l(r) \bar{p} x^3(r) \quad (8.87)$$

نستخدم الآن الشرط (8.52) لإيجاد علاقة تربط المجهول غير المستقل  $\varphi_{x^3(k)}$  وغير المستخدم في عملية الاستنباط وبين بقية الجاهيل. وبالتالي يجب علينا حساب توابع قوى المقطع  $T^i = \sigma^{ij} n_j$  على الأطراف  $s_u$  والمكافئة لمابلي:

$$\begin{bmatrix} -Qx^3(i) \\ 0 \\ Qx^3(i) \\ Mx^2(i) \end{bmatrix} = EI_x^2 \begin{bmatrix} 0 & 0 & 0 & 6 \\ 0 & 0 & 0 & 0 \\ 0 & 0 & 0 & -6 \\ 0 & 0 & -2 & -6l \end{bmatrix} \begin{bmatrix} c_0 \\ c_1 \\ c_2 \\ c_3 \end{bmatrix} + \begin{bmatrix} 0 & 0 \\ 0 & 0 \\ -\frac{1}{2} & -\frac{1}{2} \\ -\frac{l^2}{3} & -\frac{l^2}{6} \end{bmatrix} \begin{bmatrix} -x^3(i) \\ \frac{p}{p} \\ -x^3(k) \\ \frac{p}{p} \end{bmatrix}$$

$$T^i = \sigma^{ij} n_j \quad (8.88)$$

$$= T^{i(b)} = Ru^{i(b)k} c_k + \bar{R}u^{i(b)}(r) \bar{p} x^3(r)$$

نستخدم الآن لحقل الانتقالات المعلومة  $\bar{u}_i$  التابع (8.70) الذي يحقق شروط الاستمرارية والتطابق، عندها يجب أن يكون:

$$\int_{s_u} \sigma^{ij} n_j \delta \bar{u}_i ds = \delta c_1 \left\{ \int_{s_u} I_{i(b)}^{m(e)} Ru^{li(b)} ds + \int_{s_u} \bar{R}u^{i(b)}(r) \bar{p} x^3(r) ds \right\}$$

$$= \delta c_1 \{ Tu^{lm(e)} u_{m(e)} + \bar{T}u^l(r) \bar{p} x^3(r) \}$$

$$= \left[ \delta c_0 \quad \delta c_1 \quad \delta c_2 \quad \delta c_3 \right] \left\{ EI_x^2 \begin{bmatrix} 0 & 0 & 0 & 6 \\ 0 & 0 & 2 & 0 \\ 0 & 0 & 0 & -6 \\ 6 & 0 & -2 & -6l \end{bmatrix} \begin{bmatrix} u x^3(i) \\ \varphi x^2(i) \\ u x^3(k) \\ \varphi x^2(k) \end{bmatrix} + \begin{bmatrix} 0 & 0 \\ 0 & 0 \\ -\frac{1}{2} & -\frac{1}{2} \\ \frac{l^2}{3} & -\frac{l^2}{6} \end{bmatrix} \begin{bmatrix} -x^3(i) \\ \frac{p}{p} \\ -x^3(k) \\ \frac{p}{p} \end{bmatrix} \right\} = 0.$$

$$(8.89)$$

وباعتبار أن المقادير المستخدمة للاستنباط هي  $u_{x^3(i)}, u_{x^3(k)}, \varphi_{x^2(i)}, \varphi_{x^2(k)}$  وأن  $\varphi_{x^2(i)}$  غير مستخدمة للاستنباط ولا يمكن أن تكون قيمتها عشوائية، إذ أنها قيمة مرتبطة بالجهيل الأخرى حيث لا يمكن أن نختار  $\delta \varphi_{x^2(i)} = 0$  وبالتالي فالمعادلة الثانية من المعادلات السابقة تقضي إلى النتيجة التالية:

$$2c_2 = 0; c_2 = 0 \quad (8.90)$$

وبتعميـض هذه النتيجة في جملة المعادلات (8.87) وحل هذه المعادلات بالنسبة للثوابت  $c_1$  سنجد أن:

$$\begin{bmatrix} c_0 \\ c_1 \\ c_2 \\ c_3 \end{bmatrix} = \begin{bmatrix} ? & ? & ? & ? \\ \frac{3}{2l^2} & 0 & -\frac{3}{2l} & -\frac{1}{2} \\ 0 & 0 & 0 & 0 \\ \frac{1}{2l^3} & 0 & -\frac{1}{2l^3} & -\frac{1}{2l^2} \end{bmatrix} \begin{bmatrix} u_{x^3(i)} \\ \varphi_{x^2(i)} \\ u_{x^3(k)} \\ \varphi_{x^2(k)} \end{bmatrix} - \frac{1}{EI} \frac{1}{x^2} \begin{bmatrix} ? & ? \\ \frac{l^3}{80} & \frac{l^3}{120} \\ 0 & 0 \\ \frac{11l}{240} & \frac{1}{60} \end{bmatrix} \begin{bmatrix} \bar{p} x^3(i) \\ \bar{p} x^3(k) \end{bmatrix} \quad (8.91)$$

نلاحظ أن قيمة الثابت  $c_1$  مساوية لقيمة  $\varphi_{x^2(i)}$  فيما لو حسب الدوران في طرف الجائز اليساري

والناتج عن الحملات الموزعة وانتقال ودوران العقد.

وأخيراً، وبمعرفة المصفوفة  $T^{km(e)}$  نجد بعد تقييم الجداءات الواردة في العلاقات (8.80) أن:

$$K^{m(e)n(d)} = EI x^2 \begin{bmatrix} \frac{3}{l^3} & 0 & -\frac{3}{l^3} & -\frac{3}{l^2} \\ 0 & 0 & 0 & 0 \\ -\frac{3}{l^3} & 0 & \frac{3}{l^3} & \frac{3}{l^2} \\ -\frac{3}{l^2} & 0 & \frac{3}{l^2} & 1 \end{bmatrix} \quad (8.92)$$

مصفوفة القساوة للعنصر المستند استناداً بسيطاً من طرفه اليساري وأن:

$$\bar{T}^{m(e)}_{(r)} = \begin{bmatrix} 0 & 0 \\ 0 & 0 \\ -\frac{1}{2} & -\frac{1}{2} \\ \frac{l^2}{2} & \frac{l^2}{2} \\ -\frac{1}{3} & -\frac{1}{6} \end{bmatrix} \quad (8.93)$$

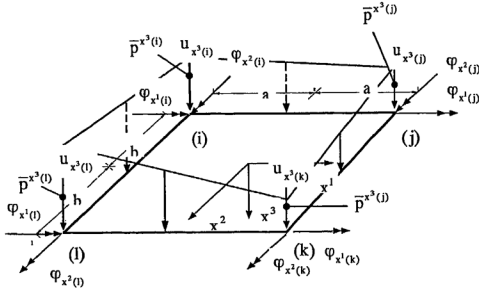
وبالتالي تكون القوى المركزة على العقد والمكافئة للحمولة الموزعة كما يلي:

$$\begin{aligned} \bar{f}^{m(e)} = & \left\{ \begin{bmatrix} \frac{11}{40} & \frac{1}{10} \\ 0 & 0 \\ -\frac{11}{40} & -\frac{1}{10} \\ -\frac{11l^2}{40} & -\frac{l^2}{10} \end{bmatrix} - \begin{bmatrix} 0 & 0 \\ 0 & 0 \\ -\frac{1}{2} & -\frac{1}{2} \\ -\frac{l^2}{3} & -\frac{l^2}{6} \end{bmatrix} \right\} \begin{bmatrix} \bar{p}x^3(i) \\ \bar{p}x^3(k) \end{bmatrix} \\ & (8.94) \\ = & \begin{bmatrix} \frac{11}{40} & \frac{1}{10} \\ 0 & 0 \\ \frac{9}{40} & \frac{2}{15} \\ \frac{7l^2}{120} & \frac{l^2}{15} \end{bmatrix} \begin{bmatrix} \bar{p}x^3(i) \\ \bar{p}x^3(k) \end{bmatrix} \end{aligned}$$

وهي بنورها مساوية لتلك التي تنتج في مساند الجائز الموثوق من الطرف اليميني والمتفصل من الطرف اليساري والحمل بالحمولة الموزعة نفسها.



# 8-8-عنصر مستطيل لانعطاف البلاطات بمحولات لا على التعيين:



شكل(8-3):عنصر منته مستطيل لبلاطة رقيقة محملة بمحولات موزعة لا على التعيين،المحاور الإحداثية،درجات الحرية ،الحمولات.

لنقطع من بلاطة محملة بمحمولة موزعة لا على التعيين  $\bar{p}^{x^3}(x^1, x^2)$  عنصراً مستطيلاً ونشير إلى جملة محاور إحداثية كما في الشكل. لتكن قيم شدة الحمولة على عقد العنصر  $\bar{p}^{x^3(i)}$ ,  $\bar{p}^{x^3(j)}$ ,  $\bar{p}^{x^3(k)}$ ,  $\bar{p}^{x^3(l)}$ . لنفترض أن المعادلة التفاضلية الحاكمة والمعتبرة لحالة البلاطة هذه من الشكل:

$$u^0_{x^3, x^1 x^1 x^1} + u^0_{x^3, x^2 x^1 x^1} + u^0_{x^3, x^1 x^2 x^1} + u^0_{x^3, x^2 x^2 x^1} = \frac{\bar{p}^{x^3}(x^1, x^2)}{k} \quad (8.95)$$

حيث  $u^0_{x^3}$  هي تابع الانتقالات،  $k$  ثابت صلابة البلاطة.

يحتوي التابع التقريبي العادي لهذا العنصر على اثني عشر ثابتاً وعددها مساوٍ لعدد درجات الحرية وهي انتقال ودورانين لكل عقدة. لكي تتمكن من تمثيل حمولات العنصر نختار توابع الانتقال بالشكل:

$$\begin{aligned} u_x^s(x^1, x^2) = & c_0 + c_1 x^1 + c_2 x^2 + c_3 (x^1)^2 + c_4 x^1 x^2 + c_5 (x^2)^2 + c_6 (x^1)^3 + c_7 (x^1)^2 x^2 \\ & + c_8 x^1 (x^2)^2 + c_9 (x^2)^3 + c_{10} (x^1)^3 x^2 + c_{11} x^1 (x^2)^3 + c_{12} (x^1)^2 (x^2)^2 \\ & + c_{13} (x^1)^4 x^2 + c_{14} x^1 (x^2)^4 + c_{15} (x^1)^3 (x^2)^3 \end{aligned} \quad (8.96)$$

لمثل هذا الاختيار يمكن تعيين الثوابت الاختيارية الزائدة باستخدام الشروط التي تنتج عن اشتقاق المعادلة (8.96) وفق المعادلة (8.95) كما سنرى لاحقاً. بالطبع يمكن اختيار التسابع التقريبي بأشكال مختلفة. على سبيل المثال يمكن نختار كثير حدود يحتوي 22 حداً وهي كل حدود الدرجة السادسة من مثلث باسكال (21 حداً) والحد  $(x^1)^3 (x^2)^3$ . لكن في مثل هذه الحالات تعطي المعادلة التفاضلية عدداً من الشروط أقل من اللازم لتحديد الثوابت الاختيارية. وهذا يعني أن هناك حلولاً مختلفة لتحقيق المعادلة التفاضلية (8.95). بعد هذه الملاحظة لنعد إلى مسألة تحديد الثوابت الاختيارية.

باشتقاق التابع التقريبي (8.96) وفق المعادلة التفاضلية (8.95) يجب أن يكون:

$$k \begin{bmatrix} 8 & 24x^1 & 24x^2 & 72x^1x^2 \\ c_{12} \\ c_{13} \\ c_{14} \\ c_{15} \end{bmatrix} = \bar{p}^{x^3}(x^1, x^2) \quad (8.97)$$

نستخدم الآن التوابع التقريبية للتعبير عن تابع الحمولة  $\bar{p}^{x^3}(x^1, x^2)$  ضمن العنصر المنتهي بدلالة قيم الحمولة على عقده ولهذا الغرض نختار التابع التقريبي لـ  $\bar{p}^{x^3}(x^1, x^2)$  بالشكل:

$$\bar{p}^{x^3}(x^1, x^2) = \begin{bmatrix} 1 & x^1 & x^2 & x^1x^2 \end{bmatrix} \begin{bmatrix} \alpha_0 \\ \alpha_1 \\ \alpha_2 \\ \alpha_3 \end{bmatrix} \quad (8.98)$$

والعلاقة التالية بين الثوابت الاختيارية c و

$$\begin{vmatrix} c_{13} \\ c_{14} \\ c_{15} \\ c_{16} \end{vmatrix} = \frac{1}{k} \begin{vmatrix} \frac{1}{8}\alpha_0 \\ \frac{1}{24}\alpha_1 \\ \frac{1}{24}\alpha_2 \\ \frac{1}{72}\alpha_3 \end{vmatrix} \quad (8.99)$$

تُحقق المعادلة التفاضلية.

تحدد الآن الثوابت بدلالة قيم الحملولة على عقد العنصر من التابع التقريبي (8.98) بتعويض إحداثيات العنصر فيها وعكس العلاقة الناتجة:

$$\begin{bmatrix} -x^3(i) \\ p \\ -x^3(j) \\ p \\ -x^3(k) \\ p \\ -x^3(l) \\ p \end{bmatrix} = \begin{bmatrix} 1 & -a & -b & ab \\ 1 & a & -b & -ab \\ 1 & a & b & ab \\ 1 & -a & b & -ab \end{bmatrix} \begin{bmatrix} \alpha_0 \\ \alpha_1 \\ \alpha_2 \\ \alpha_3 \end{bmatrix} \quad (8.100)$$

$$\begin{bmatrix} \alpha_0 \\ \alpha_1 \\ \alpha_2 \\ \alpha_3 \end{bmatrix} = \frac{1}{4} \begin{bmatrix} \frac{1}{ab} & \frac{1}{ab} & \frac{1}{ab} & -\frac{1}{ab} \\ -\frac{1}{a} & \frac{1}{a} & \frac{1}{a} & \frac{1}{a} \\ -\frac{1}{b} & -\frac{1}{b} & \frac{1}{b} & \frac{1}{b} \\ \frac{1}{ab} & -\frac{1}{ab} & \frac{1}{ab} & -\frac{1}{ab} \end{bmatrix} \begin{bmatrix} -x^3(i) \\ p \\ -x^3(j) \\ p \\ -x^3(k) \\ p \\ -x^3(l) \\ p \end{bmatrix} \quad (8.101)$$

بتعويض الثوابت الاختيارية  $C_{12}, C_{13}, C_{14}, C_{15}$  الفائضة عن عدد درجات حرية عقد العنصر بقيمتها المحددة من العلاقتين (8.99), (8.101) في العلاقة (8.96) نحصل على:

$$u_x(x^1, x^2) = \begin{bmatrix} 1 & x^1 & x^2 & (x^1)^2 & x^1 x^2 & (x^2)^2 & (x^1)^2 x^2 & (x^1)^3 & (x^2)^3 & (x^1)^3 x^2 & x^1 (x^2)^3 \end{bmatrix} \begin{Bmatrix} c_0 \\ c_1 \\ c_2 \\ c_3 \\ c_4 \\ c_5 \\ c_6 \\ c_7 \\ c_8 \\ c_9 \\ c_{10} \\ c_{11} \end{Bmatrix} + \frac{1}{4k} \begin{bmatrix} (x^1)^2 (x^2)^2 & (x^1)^4 x^2 & x^1 (x^2)^4 & (x^1)^3 (x^2)^3 \end{bmatrix} \begin{bmatrix} \frac{1}{8} & \frac{1}{8} & \frac{1}{8} & \frac{1}{8} \\ \frac{1}{1} & \frac{1}{1} & \frac{1}{1} & \frac{1}{1} \\ \frac{24a}{1} & \frac{24a}{1} & \frac{24a}{1} & \frac{24a}{1} \\ \frac{24b}{1} & \frac{24b}{1} & \frac{24b}{1} & \frac{24b}{1} \\ \frac{72ab}{72ab} & \frac{72ab}{72ab} & \frac{72ab}{72ab} & \frac{72ab}{72ab} \end{bmatrix} \quad (8.102)$$

بعد حذف الثوابت الاختيارية المتبقية من العلاقة السابقة باستخدام عملية الاستتباط الهندسي المعروفة نحصل على التابع التقريبي للانتقال ويكتفى بذلك جزؤه غير المتجانس إذ أن جزؤه المتجانس مكافئ للتابع التقريبي لعنصر البلاطة غير المتطابق الوارد في [12] والمعطى تفصيليا في هذا الكتاب عبر العلاقة (6.181):

$$\bar{N}_{ij} \bar{p}^j = \frac{1}{4k} \begin{bmatrix} \bar{N}_1 & \bar{N}_2 & \bar{N}_3 & \bar{N}_4 \end{bmatrix} \begin{bmatrix} \frac{1}{8} & \frac{1}{8} & \frac{1}{8} & \frac{1}{8} \\ \frac{1}{1} & \frac{1}{1} & \frac{1}{1} & \frac{1}{1} \\ \frac{24a}{1} & \frac{24a}{1} & \frac{24a}{1} & \frac{24a}{1} \\ \frac{24b}{1} & \frac{24b}{1} & \frac{24b}{1} & \frac{24b}{1} \\ \frac{72ab}{72ab} & \frac{72ab}{72ab} & \frac{72ab}{72ab} & \frac{72ab}{72ab} \end{bmatrix} \begin{Bmatrix} -x^3(i) \\ -x^3(j) \\ -x^3(k) \\ -x^3(l) \end{Bmatrix} \quad (8.103)$$

حيث:

$$\bar{N}_1 = a^2 b^2 \left(1 - \frac{(x^1)^2}{a^2}\right) \left(1 - \frac{(x^2)^2}{b^2}\right)$$

$$\bar{N}_2 = a^4 b \frac{x^2}{b} \left(1 - \frac{(x^1)^2}{a^2}\right)^2$$

$$\bar{N}_3 = ab^4 \frac{x^1}{a} \left(1 - \frac{(x^2)^2}{b^2}\right)^2$$

$$\bar{N}_4 = a^3 b^3 \frac{x^1}{a} \frac{x^2}{b} \left(1 - \frac{(x^1)^2}{a^2}\right) \left(1 - \frac{(x^2)^2}{b^2}\right)$$

(8.104)

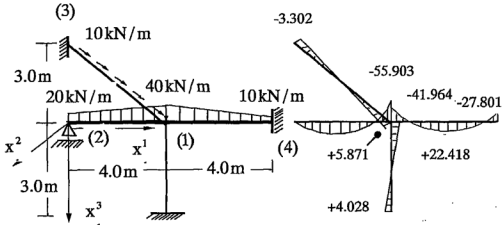
من المعادلات (8.103)، (8.104) يمكن إستنتاج التوابيع التقريبية لحالة حمولات موزعة بانتظام على سطح البلاطة. ففي هذه الحالة يكون  $\bar{p} = \bar{p}^{x^{(l)}} = \bar{p}^{x^{(k)}} = \bar{p}^{x^{(i)}} = \bar{p}$  ونعدها يتقلص الجزء غير المتجانس للتابع التقريبي ليصبح على الشكل:

$$\bar{N}_{ij} \bar{p}^j = \bar{p} \frac{a^2 b^2}{8k} \left(1 - \frac{(x^1)^2}{a^2}\right) \left(1 - \frac{(x^2)^2}{b^2}\right) \quad (8.105)$$

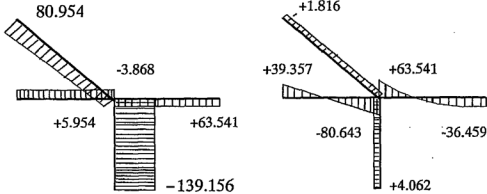
## 8-9 — نتائج عددية

إطار مؤلف من أربع قضبان أبعاده وخواصه الهندسية معطاة في الشكل 8-4-8. الإطار متمفصل في نقطة استناده (2) وهو موثوق في نقاط استناده (3)، (4)، (5). يخضع القضيب (1) (3) إلى حمولة ناظرية باتجاه محور القضيب ومتغيرة خطياً شدتها في العقدة (3) 10 kN/m وفي العقدة (1) 20 kN/m. كما يخضع القضبان (1) (2) و (1) (4) إلى حمولة عرضانية عمودية على محوريهما وموزعة خطياً شدتها موضحة على الشكل نفسه. جمعت نتائج الحل في مخططات القوى الناظرية والقوى القاصة وعزوم الانعطاف، وهي موضحة في الأشكال 8-4-8، b، c، d. يلاحظ أن نتائج الحل متطابقة باستخدام أي من المبادئ المتغيرة (8.20)، (8.30)، (8.32)، وهي بدورها

مطابقة للحل الدقيق. من الجدير بالذكر أيضاً أن استخدام التوابع التقريبية المحققة لمعادلة لاغرانج بالإضافة إلى الشروط الطرفية اللازمة قد سمح باعتبار شروط استناد العنصر (1)(2) على قساوته. والنتائج التي حصلنا عليها باستخدام الطريقة الحالية تمثل تحسناً نوعياً لنتائج طريقة العناصر المنتهية ويكفي حل هذا المنشأ بالطرق التقليدية المعروفة للتأكد من ذلك. إن تطابق نتائج المبادئ المتغيرة الثلاث (8.20)، (8.30)، (8.32) يعود إلى تمكنا من إيجاد توابع تقريبية تامة تتصف بصفة الاستمرارية وتحقق كافة شروط استخدام المبادئ المتغيرة المذكورة أعلاه. أما إذا لم تتمكن من إيجاد مثل هذه التوابع فينصح باستخدام التطبيق العام الوارد في الفقرة 4-8.



شكل 8-4-ب: إطار مستوي: مخطط عزوم الإنعطاف شكل 8-4-أ: إطار مستوي: الحملات، الخواص الهندسية الحملات، الاستناد، العناصر المنتهية والمحاور الإحداثية



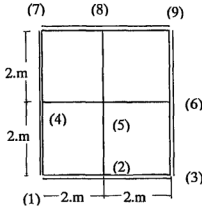
شكل 8-4-د: مخطط القوى الناعمة

شكل 8-4-ج: مخطط قوى القص

من الواضح أن طريقة الاستنباط الهندسية لعنصر البلاطة الموصوف في الفقرة 8-8 لا تؤدي إلى توابع محققة لشروط الاستمرارية وشروط استخدام المبادئ المتغيرية المقترحة، إذ نحصل بنتيجة الاستنباط الهندسي على عنصر منتهي يتصف بعدم التوافق (nonconform). وإذا أردنا تحقيق الشروط المذكورة لابد من استخدام التطبيق العام للطريقة الوارد في الفقرة 8-4. بالرغم من ذلك يمكن أن تعرض نتائج العنصر المنتهي المدروس في الفقرة 8-8 وتقارن بالحلول التقليدية. ولهذا الغرض درست بلاطة مربعة مستندة استناداً بسيطاً من جميع أطرافها ومحملة بمحمولة موزعة بانتظام على كل مساحتها وثوابتها الهندسية معطاة في الشكل 8-5. قورنت النتائج الحالية للسهم وعزم الإنعطاف في منتصف البلاطة ولعزم القتل في زاوية البلاطة مع الحل الدقيق وحلول أخرى من المصدرين [13]، [14] ورتبت النتائج في الجدول التالي:

		w(5)	mxx(5)	mxy(1)
الحل الدقيق		0.02495	30.647	-20.789
2x2	DE	0.02526	40.140	-15.509
elements	ACM	0.03250	49.856	-13.828
	DKT	0.3463	49.162	-14.981
6x6	DE	0.02500	31.177	-20.948
elements	ACM	0.02600	32.194	-19.789
	DKT	0.02569	31.854	-20.181
8x8	DE	0.02497	30.954	-20.823
elements	ACM	0.02554	31.512	-20.170
	DKT	0.02537	31.329	-20.452

يلاحظ أن تحسين النتائج ظاهر للعيان وخاصة عند استخدام شبكة عناصر منتهية خشنة.



$$E = 1.82 \times 10^7 \text{ kN/m}^2$$

$$h = 0.1$$

$$\nu = 0.3$$

$$p = 40 \text{ kN/m}^2$$

شكل 8: 5: بلاطة مربعة مستندة استناداً بسيطاً تحت تأثير حمولة موزعة بانتظام.

## 8-10 استنتاجات ختامية

عرضت في فقرة الملاحظات الختامية طريقة تستخدم الشروط الطرفية الطبيعية كقاعدة حسابية متغيرة لحل المعادلات التفاضلية التي تملك شروطاً طرفية لازمة وأخرى طبيعية وبينت الطرق الضرورية لاستنباط التوابع التقريبية الواجب استخدامها مع مثل هذه القاعدة الحسابية. فبالإضافة إلى تغيير الشكل التقليدي للاستنباط الهندسي من أجل حساب الثوابت العشوائية استخدمت مقولة غاوس في التكامل في تعيين الثوابت العشوائية وتحقيق الشروط الطرفية اللازمة. المخاض النهائي في هذه الطريقة هي أيضاً انتقالات العقد وتحدد من الشروط الطرفية الطبيعية للمسألة المطروحة. وبين أيضاً أن نتائج التقنيات الحسابية لطريقة العناصر المنتهية التقليدية-نموذج الانتقالات. والطريقة التقليدية المحيطة-نموذج الإجهادات وطريقة ترفتر تتوحد مع نتائج الطريقة الحالية عند استخدام توابع تقريبية محققة لمعادلة لاغرانج والشروط الطرفية اللازمة. بالإضافة إلى ذلك درس الترابط الوثيق بين الطرق الطرفية (boundary methods) وطرق الوسط (domain methods) وكيفية الانتقال من الأولى إلى الأخيرة أو بالعكس باستخدام مقولة غاوس في تحويل التكامل الحجمي إلى تكامل سطحي. ووضح أن نتائج هذه الطرق واحدة عند مراعاة الشروط المتغيرة المطلوبة.



فيما سبق وقفنا في حالة دراسة الإطارات في إيجاد توابع تقريبية للانتقالات تحقق المعادلة التفاضلية للمسألة المطروحة بالإضافة إلى تحقيقها للشروط الطرفية الكينماتيكية وشروط الاستمرارية والتطابق على أطراف العناصر المنتهية المتجاورة. أما في حالة البلاطة لم تتمكن بعملية الاستنباط الهندسي التقليدية من تحقيق كافة الشروط المتغيرة، والشروط التي لم تحقق هي للشروط الطرفية الكينماتيكية، في مثل هذه الحالة يتوقع أن لا تؤدي الطرق المختلفة الممكن استخدامها إلى نفس النتائج. وينصح في مثل هذه الحالة اللجوء إلى تعيين الثوابت العشوائية بالطريقة المشروحة في الفقرة 8-4. ويمكن إضافة الشروط الطرفية الكينماتيكية  $\int \delta \sigma^{\#} n_j (u_i - \bar{u}_i)$  إلى المبدأ للتغرياني (8.17) باستخدام طريقة مضارب لاغرانج حينها يتعدل أسلوب المعالجة المطروح ليصبح مكافئاً لطريقة ترفتز.

وختاماً أنه أن الفقرات المعروضة في جملة الملاحظات الختامية هذه تمثل وجهة نظر المؤلف المستمدة من خبرته في معالجة طرق العناصر المنتهية المختلفة.

## 10-. References

- 1 PIAN, T. H. H.: Finite element methods by Variational principles with relaxed continuity requirement in Engineering, Vol 1-3, Southampton England, Southampton Uni. Press, 1973.
- 2 TREFFTZ, E: Ein Gegenstueck zum Ritzchen Verfahren , Proc, 2nd Int. Cong. Applied mechanics, Zurich , 1926.
- 3 JIROUSEK, J. and GUEX, L: The hybrid Trefftz finite element model and it is application to plate bending, Int. J. Num. Meth. Eng., Vol. 13(1986), 651-93.
- 4 PILTNER, R.: Recent developments in the Trefftz method for finite element and boundary element applications, Advances in Engineering Software 24(1995) 107-115, Elsevier Science, Great Britain, 1995.
- 5 JIROUSEK, J.; VENKATESH, A.: A new FE approach for adaptive reliability assurance , Comp. Struct., Vol. 37(1990) 217-230.
- 6 Szybinski, B.; Zielinski, A. P.: Alternative T-Complete systems of shape functions applied in analytical Trefftz finite elements, Numerical Methods for Partial Differential Equations 11, 375-388(1995).

- 7 ABO DIAB, S : DE - Variationad formulation and FEM solution, Int. J. Num. Meth. Eng., 1992 (not published), paper No. 2130.
- 8 ABODIAB, S.: Differential equation variational formulation for plate bending, Int J. Num. Meth. Eng., 1992 (not published), Paper No. 2198.
- 9 ABO DIAB, S : Direkte Zuordnung des Verschiebungs - und Schnittkraftzustand zum Belastungszustand bei der FEM - Verschiebungsmethode in : Festschrift o. prof. Dr.-Ing habil. Heinz mueller 65 Jahre ehemalige Doktoranden gratulieren, Dresden 1994.
- 10 - أبو دياب، سليمان: وجهة نظر في معالجة طريقة العناصر المحددة نموذج الانتقالات, مجلة باسل الأسد للعلوم الهندسية, العدد الثالث, ص 17-29, أيلول 1995
- 11 ABO DIAB, S.: A suggestion for a finite element approach, The first international workshop on Trefftz method-recent development and perspectives, Summaries and final programme, cracow, Poland, 1996
- 12 ABODIAB, S.: Entwicklung und Einsatz hybrider finiter Stabelemente fuer Aufgaben der linearen Kinetik und Statik von raumlichen Stabtragwerke - kompakte gerade Staebe, Bauingenieur 66(1991), 437-440.
- 13 ZIENKIEWICZ, O. C. : Methode der finiten Elemente, VEB-Fachbuchverlag, Leipzig 1987.
- 14 BATOZ, L. J. BEN TAHHAR, M.: Evalution of a new quadrilateral thin plate bending element, Int. J. Num. Meth. Eng., 12(1982), 1655-77.

Address : Sulaiman Abo Diab , Faculty of Civil Engineering,  
Tishreen University, Lattakia, Syria .

-المصطلحات العلمية -

إنكليزي	فرنسي	عربي
Admissible functions	fonctions admissibles	توابع افتراضية
Airy stress functions( Airy)	fonctions des contraintes (Airy)	توابع إجهادات (Airy)
Anisotrope	Anisotrope	لامتناحي
Antisymmetrical	Antisymmetrique	متناظر عكساً
Approximation functions	fonctions Approximatives	توابع تقريبية
Arbitrary parameters	Paramètres Arbitraires	معاملات عشوائية
Axisymmetrical	Axisymmetrique	متناظر محورياً
Banded matrix	Matrice Creuse	مصغوفة شريطية
Bars	Treillis	القضبان ( المحملة محورياً )
Beams	Poutres	جوائز
Bending moment	Moment de Flexion	عزم انعطاف
Bernoulli- Euler hypothesis	Hypotheses de / /	فرضيات اويلر - برنولي
Body forces	Forces du Volume	القوى الحجمية
Boundary conditions	Conditions aux limites	الشروط الطرفية
- geometrical	- géométrique	- هندسية
- mechanical	- mécanique	- ميكانيكية
Boundary integrals	Integral aux limites	تكامل طرفي

Calculus of variation	Calcul des Variations	حساب المتغيرات
Cauchy stress tensor	Tenseur des contraintes de Cauchy	موثرة إجهادات كوشي
Compatibility	Compatibilité	تطابق ( توافق )
Complementary energy	Energie complementaire	الطاقة المتممة
Complementary virtual work	Travail virtuelle	العمل الوهمي المتمم
Conditions of compatibility	Condititons de compapatibilite'	شروط التطابق
Conservative force	Forces conservatives	قوى محافظة
Constitutive equations	Equations de comportement	معادلات السلوك
Contravariant basis vectors	Vecteurs de base contravariante	أشعة القاعدة الضدية
Covariant basis vectors	Vecteurs de base covariant	أشعة القاعدة الأساسية
Covariant derivative	Covariant derive'	المشتق الأساسي
Convergence of finite element solution	Convergence de solution des Elements finis	تقارب الحل بطريقة العناصر المنتهية
Curvilinear coordinates	Coordonnées curvilignaires	الإحداثيات المنحنية
Cylindrical coordinates	Coordonnées cylindriques	الإحداثيات الأسطوانية
Deformation	Deformation	تشوه
Degrees of freedom	Degrés de liberté	درجات الحرية
Delta operator ( $\delta$ )	Operateur variationnel	رمز المتغير ( $\delta$ )
Determinant of a matrix	Determinant d'une matrice	معين مصنوفة
Differential equations	Equations differntielles	معادلات تفاضلية
Discretization of a domain	Discretisation d'un domaine	الفصل النقطي للمجال
Displacement model	Modele des déplacements	نموذج الانتقالات

Displacement shape functions	Functions des formes	توابع الشكل للانتقالات
isplacement , the principle of virtual	Deplacement, principe des virtuels	مبدأ الانتقالات الوهمية
Divergence theorem	Théoreme de divergence	مبرهنة التفرق
Eigenvalue problem	Probleme des valeurs propres	مسألة القيم الذاتية
Eigenvalues	Valeurs propres	القيم الذاتية
Eigenvectors	Vecteurs propres	الأشعة الذاتية
Elasticity , matrix	Elasticité, Matrice d'	مصفوفة المرونة
Element , finite	Element Fini	عنصر منتهي
Element matrix	Matrice Elementaire	مصفوفة العنصر
Energy principles	Principes d'énergie	مبادئ الطاقة
Equilibrium equations	Equations d'Equilibres	معادلات التوازن
Essential boundary conditions	condition aux limites Essentielles	الشروط الطرفية اللازمة
Euler lagrange equations	Equations d'Euler Lagrange	معادلات أولر لاغرانج
Extremum	Extremum	القيمة الحدية
Field equations	Equations du Champ	معادلات الحقل
Finite element mesh	Maillage des Elements Finis	شبكة العناصر المنتهي
Finite element method	Méthode des	طريقة العناصر المنتهية

	Elements Finis	
First variation	Premiere Variation	المتغير الأول
Force vector	Vecteur des Forces	شعاع القوى
Functional	Fonctionnelle	تابعي
Gauss points	Points de Gauss	نقاط غاوس
Gauss theorem	Théorème de Gauss	مقولة غاوس
Generalized	Généralisé, ée	معمم
Geometrical boundary conditions	Conditions aux limites géométriques	الشروط الطرفية الهندسية
Global coordinates system	Système des Coordonées global	جملّة الإحداثيات العامة
Governing equation	Equations gouvernées	المعادلة الحاكمة
Gradient operator	Operateur gradient	معامل التدرج
	Tenseur des Contraintes de Green	موثرة غرين للتشوهات
Hermite polynoms	Polynômes d'Hermite	كثيرات حدود هيرميت
Homogeneous material	Matériaux homogènes	مادة متجانسة
	Loi d'Hook	قانون هوك
Hybrid model	Modèle hybride	النموذج الهجين
Index	Indice	قرينة
Infinite strain	deformation infinitesimale	تشوّه لا متناهي في الصغر
Initial conditions	Conditions initiales	الشروط البدائية
Inner product	Multiplication interne	الجداء الداخلي
Inplane stress	Contraintes planes	الإجهاد المستوي

Interlement continuity	Continuité entere element	الاستمرارية بين العناصر
Internal energy	Energie interne	الطاقة الداخلية
Interpolation functions	Fonctions d'interpolation	توابع استنباط
Invariant property	Propriété invariant	خاصة غير متغيرة
Isotropic material	Materiau isotrope	مادة متناحية
Jacobian matrix	Matrice de Jacobie	مصفوفة ياكوبي
Kinetic energy	Energie cinétique	الطاقة الحركية
Kinetics	Cinetique	علم التحريك
Kirchhoff - Love assumptions	Hypothese de Kirchhoff-Love	فرضيات كيرشهوف - لوف
Kroneker delta	Delta de Kroneker	رمز كرونكر
Lagrange multiplier	Multiplieur de Lagrange	مضارب لاغرانج
Laplace operator	Opérateur de Laplace	مؤثر لابلاس
Load	Charge	حمولة
Local coordinates	Coordonnées locales	الإحداثيات المحلية ( الخاصة )
Material properties	Propriétés des Matériaux	خواص المادة
Mixed model	Modele Mixte	نموذج مختلط
Moment of inertia	Moment d'Inertie	عزم العطالة
Moment resultants	Moment resultant	محصلة العزوم
Natural coordinates	Coordonnées naturelles	الإحداثيات الطبيعية

Neutral axis	Axes naturelles	المحاور المحايدة ( السليمة )
Neutral surface	Surfaces naturelles	السطوح المحايدة
Nodal degrees of freedom	Degrés de libertés nodales	درجات حرية العقد
Nonconforming element	Element non-conforme	العنصر غير المتطابق (المنسجم)
Nonlinearity	Nonlinéarité	اللاخطية
Normal stress	Contraintes normales	الإجهادات الناعمية
Numerical convergence of finite element solution	Convergence numérique de Solution Elements Finis	التقارب العددي لحلل طريقة العناصر المنتهية
Numerical integration	Integration numérique	التكامل العددي
One dimensional problem	Problèmes unilatérales	المسائل الأحادية البعد
Operator	Operateur	مؤثر
Orthogonality	Orthogonalité	التعامدية
Orthotropic material	Materiau orthotropique	مادة تناحي متعامد
Particular solution	Solution partieuiliere	الحل الخاص
Plane strain	deformation plane	التشوهات المستوية
Plane stress	Contraintes planes	الإجهادات المستوية
Plate	Plaque	بلاطة
Poisson	Ratio de Poisson	معامل بواسون
Potential energy	Energie potentielle	الطاقة الكامنة
Principle of	Principe de -	مبادئ
Complementary energy	Energie complementaire	- الطاقة التتممة
Potential energy	Energie potentionelle	- الطاقة الكامنة



Virtual forces	Forces virtuelles	- القوى الوهمية
Virtual work	Travaille virtuelle	- العمل الوهمي
Quadratic elements	Element Quadratique	عناصر مربعة
Rectangular element	Element Rectangulaire	عناصر مستطيلة
Rigid body motion	Mouvement de corps Rigide	حركة الجسم الصلب
Rigidity	Rigidité	الصلابة
Ritz approximation	Approximation de Ritz	تقريب ريتز
Shear force resultants	Forces de eissaillement resultantes	محصلة القوى القصية
Shear moduli	Module de eissaillement	معامل مقاومة القص
Shear stresses	Contraintes de eissaillement	إجهادات القص
Shells	Coques	قشريات
Stiffness matrix	Matrice de rigidité	مصفوفة القساوة
Stokes theorem	Théoreme de Stokes	مبرهنة ستوكس
Strain	deformation	تشوه
Stress	Contraintes	إجهاد
Stress strain relation	Relation de Contraites-deformations	علاقات الإجهادات - التشوهات
Surface integral	Integral de surface	تكامل سطحي
Surface traction	Traction surfacique	قوى السحب السطحي
Tensor	Tenseur	موثرة
Thin plates	Plaques minces	بلاطات رقيقة

Torsion	Torsion	فتل
Trefftz	Méthode de Trefftz	طريقة ترفتز
Triangular element	Element triangulaire	عنصر مثلثي
Truss member	membre de treillis	عنصر جائر شبكي
Unit normal	Vecteur normale	الناظم الواحدي
Unit vector	Vecteur unitaire	شعاع الوحدة
Uniqueness		وحدانية
Variables	Variables	متحولات
Variation	Variation	تغيراتي
Variational calculus	Calcul des variation	حساب المتغيرات
Variational operator	Operateur variationel	مؤثر تغيراتي
Variational principles	Principes variationelles	مبادئ متغيراتية
Virtual	virtuelle	وهمي

المصادر العلمية :

1. Al-Khatib, Ahmed Sh.

A new Dictionary of Scientific and Technical Terms, English-Arabic  
(fifth Edition) , Librairie Du Liban, Riad Solh 1981.

2. Briese, K. and others

Dictionary English-German , 24<sup>th</sup> edition , VEB Verlag Enzyklopaedie ,  
Leipzig 1980.











يتناول الكتاب طرق العناصر المنتهية المختلفة (نموذج الانتقالات، النموذج الهجين للإجهادات، نموذج ترفنر) وتطبيقاتها في حلول مختلف أنواع المنشآت كالجوائز الشبكية المستوية والفراغية، والإطارات المستوية والفراغية، والبلاطات الرقيقة، والشرائح الرقيقة في حالتها الإجهادات المستوية والتشوّهات المستوية. ويقدم معلومات علمية قيمة وحديثة في مجال مبادئ الطاقة وطرق العناصر المنتهية مستخدماً أساليب وأدوات رياضية متطورة.

يخدم الكتاب الباحثين العلميين وأعضاء الهيئة التدريسية في الكثير من مجالات العلوم الهندسية والرياضية والفيزيائية والمهندسين الراغبين في فهم معمق لتطبيقات طرق العناصر المنتهية كما يمكن أن يستخدمه الطالب الراغب في التعرف على العرض العصري للمواضيع المذكورة والتعمق في فهمها.

### المؤلف:

- حصل على الإجازة في الهندسة المدنية من جامعة دمشق بدرجة جيد جداً.
- حاز على الدبلوم والدكتوراه في الهندسة المدنية بدرجة ممتاز من جامعة درسدن في ألمانيا.
- عمل باحثاً ومدرساً في جامعة دارمشتات - ألمانيا من عام ١٩٩١ إلى عام ١٩٩٣.
- يعمل حالياً أستاذاً مساعداً في كلية الهندسة المدنية - جامعة تشرين - اللاذقية.
- مواليد حصين البحر - سورية ١٩٥٧ .
- سيصلر له: طرق الطاقة في ميكانيك الإنشاءات الحطّي - طرق العناصر المنتهية «الديناميك».

